



**Facultad de Medicina y Odontología**

**Departamento de Genética, Antropología Física y Fisiología Animal**

**Tesis doctoral**

**Variantes genéticas implicadas en la susceptibilidad del  
osteosarcoma pediátrico**

**Nerea Bilbao Aldaiturriaga**

**Leioa, 2015**



*Si piensas que puedes, tú puedes. Y si piensas que no puedes, estás en lo cierto.*

*Mary Kay Ash*



## **Agradecimientos**

Siempre he oído que “es de bien nacido ser agradecido” y es por ello que quiero agradecer a todas aquellas personas que de una forma u otra me han ayudado a realizar este trabajo.

En primer lugar, quiero agradecer a mis dos directoras de tesis, Dra. África García-Orad y la Dra. Idoia Martín Guerrero no solo por todo lo que me habéis ayudado en el plano personal y profesional sino también por todo vuestro ánimo y dedicación. Os agradezco enormemente todo el tiempo y recursos que habéis puesto a mi alcance para seguir adelante.

A mi super familia del labo!! En especial a Ángela que has estado conmigo desde el primer día. Tu has creido mucho mas en mi que yo misma y siempre me lo has recordado en el banco tomando café. Muchas gracias por ser la perfecta compañera, por todos esos momentos de risa, de no tan risa, de lloros y por todo, todo y todo tu apoyo, sin el que hubiera sido imposible que hubiera seguido. Idoia, que además de ser mi codirectora, has sido la persona que mas me ha enseñado y te has preocupado de que aprenda. Me has enseñado lo importante que es el buen hacer y a relativizar. Has sido mi ejemplo de profesional sin perder calidad humana. Realmente valoro que hayas sido tú quien haya estado a mi lado y precisamente tu has sido una de las razones por las que he seguido con este proyecto a pesar de las dificultades. Como ya sabes, esta tesis es tan tuya como mia. Eskerrik asko benetan! Aiixxx lo que os voy a echar de menos!! Muchas muchas gracias a mi María!! Mi super coach de ánimos!! Muchas gracias por estar conmigo, animarme como si fuera Indurain en su último repecho cuando hacía una simple presentación. Muchas gracias por tu calidad humana, por tu generosidad y por ser tan mona y elegante!! Por favor, el blog de moda!! Eli!!! De ti no me olvido!! Muchas gracias por estar ahí detrás en los comienzos y no tan comienzos!! Muchas gracias por darme la oportunidad de aprender. Eres un gran referente y no lo dudo!! Tampoco quiero olvidarme de todas esas personas que han sido mis dobles y triples ojos que han ayudado en esta tesis María López, Alba, Itsasne, Ziorza, Ander, María Constantin.

Amaia Jauregi handiari eskerrik beroenak, beti animo hitzak eta hitz zintzoak euki dozuzalako eta zu bezalako pertsonarik ez dagoelako, benetan, ez aldatu inoiz!!! Irati, zuri ere eskerrik asko zure konfidantza emon zenidalako lehenengo egunetik, nire bizitzako proiektu oso garrantzitsu batean. Eskerrik asko zuen afarietan, trikipoteoetan, karaokean, en fin zuekin egoteko aukerak emoteagatik. Nola ez, eskerrik asko Leticia, Nora, Izortze, Koldo eta Buli

laborategiari bizitasune emoten dotsezuelako eta niri aholku zein lagunza eskaintzearren. Piloa estimatuot, eskerrik asko!!!

Eskerrik asko nire Mary Kay familiari, bereziki Maidertxuri. Maider, eskerrik asko nire ametsak egia bihurtzeko proiektua erakusteagatik. Eskerrik asko astelehenero zure animo hitzek nire buruhauasteak burutik kendum eta etxera barre batekin joatea lortu duzulako bi urte terdi hauetan. Eskerrik asko por enseñarme a pensar en grande!!! Ezin dodaz ahaztu nire Sarandongaaaak!!! Eskerrik asko por intentar entenderme y por la fuerza que me dan vuestras palabras!

A toda la gente de la piscina!!! Jose Ignacio, Teresita, Patricia, Belén, Iciar, Gloria que me habéis visto crecer brazada tras brazada!! Por fin he terminado!!!!

Nire kuadrillari asko eskertu behar dotset beti hor egoteagatik. Zenbat jai, opor eta zenbat kalimotxo!! Asko, asko eta asko lagundu izan dostezue nire bajoi momentuetan zutuntzen lagundu didazuelako, nahiz eta askotan ez dozuen jakin. Eskerrik asko nire auzora etorteagatik nik zerbezatzu bet edateko eta beti plan bat eukitzea ahalbidetu dozuelako. Aupa K87!!!!Eskerrik asko familia!!

A toda mi familia, en especial a Aita y a Ama que me habéis cuidado, apoyado y aguantado aunque muchas veces no me hayais entendido. De verdad muchas gracias. A mi hermana y a mi cuñado por acogerme en vuestra casa y hacerme reir y sobre todo por tener a Anne!!! A mi tía preferida Lurdes, porque todos los viernes me preguntaba qué tal iba la tesis y no sabía cómo responderle!! A mi prima preferida, Anita, por creer muchísimo en mi, por escucharme en mis malos momentos. Eskerrik asko de verdad. Arantzi eta Josu, zuei ere eskerrik asko zuen etxeak orduak eta orduak egon nazielako eta nire etxeak banengo moduan sentiraziz izan nozuelako. Eskerrik asko benetan zuen lagunza, animo zintzoak eta ni entzuteagatik Mila esker!!!

Ta azkenik, zuri, Aitzol. Eskerrik asko nire alboan egoteagatik momentu onetan eta batez ere momentu txarretan. Eskerrik asko ni zaintzeagatik eta behar izan dodanean, nire eskuak ordenagailutik kendum eta kalera joateko behartzeagatik. Eskerrik asko nire alderik onena atera duzulako momentu latzenetan.

## **Publicaciones**

El trabajo de esta tesis ha sido reflejado en las siguientes publicaciones:

**Bilbao-Aldaiturriaga N**, Martin-Guerrero I, Garcia-Orad A. "Research commentary regarding Savage et al entitled "Genome-wide association study identifies two susceptibility loci for osteosarcoma"". (Enviado a Tumor Biology IF:3.611 Oncology Q2 68/211).

**Bilbao-Aldaiturriaga N**, Askaiturrieta Z, Granado-Tajada I, Goričar K, Dolžan V for the Slovenian Osteosarcoma Study Group, Garcia-Miguel P, Garcia de Andoin N, Martin-Guerrero I\* and Garcia-Orad A\*. An updated systematic review and meta-analysis of MDM2 polymorphisms in osteosarcoma susceptibility. (Enviado Critical reviews in Oncology and Hematology Q2 Oncology 51/202 IF: 4.046)

**Bilbao-Aldaiturriaga N**, Gutiérrez-Camino A, Martin-Guerrero I, Pombar-Gómez M, Zalacain-Díez M, Patiño-García A, López-López E, Garcia-Orad A. Polymorphisms in miRNAprocessing genes and their role in osteosarcoma risk. Pediatr Blood Cancer. 2015 May;62(5):766-9 (Pediatrics Q1 27/122 IF: 2.353)

**Bilbao-Aldaiturriaga N**, Martin-Guerrero I, García-Orad A. Re: Letter regarding Wang et al., entitled "Effects of murine double minute 2 polymorphisms on the risk and survival of osteosarcoma: a systematic review and meta-analysis". Tumour Biol. 2014 Jul;35(7):6179 (Oncology T2 102/197 IF: 2.51).

**Bilbao Aldaiturriaga, N**, Martin-Guerrero, I, Lopez-Lopez E, Gutierrez-Camino A, García-Orad Carles, A. miRNAen prozesamendu geneen aldakortasun genetikoa osteosarkoman. Ikergazte. 808-815.

**Bilbao Aldaiturriaga, N**, Martin-Guerrero, I, García-Orad Carles, A. Meta-analisiengarritasunaren analisi kritikoa. Ekaia. Volumen 27. ISSN: 0214-9001.

Durante esta tesis también participé en las siguientes publicaciones:

**Bilbao Aldaiturriaga, N**, Askaiturrieta Ostolaza, Z, Callado Hernando, K, García-Orad Carles, A. Farmakogenetika, etorkizuneko medikuntza pertsonalizatua. Elhuyar. Volumen X. ISSN: 0212-1735.

Martin-Guerrero I, Gutiérrez-Camino A, Lopez-Lopez E, **Bilbao-Aldaiturriaga N**, Pombar-Gómez M, Ardanaz M, Garcia-Orad A. Genetic variants in microRNA processing genes and pre-miRNAs are associated with the risk of Chronic Lymphocytic Leukemia. PLoS One. 2015 Mar 20;10(3):e0118905. (Multidisciplinary Sciences Q1 8/55 IF: 3.534).

Lopez-Lopez E; Gutierrez-Camino A; **Bilbao-Aldaiturriaga N**; Pombar-Gómez M; Martin-Guerrero I; Garcia-Orad A. Pharmacogenetics of childhood acute lymphoblastic leukemia.

Pharmacogenomics. 2014 Jul;15(10):1383-98 (Pharmacology & Pharmacy Q1 47/261 IF: 3.857).

## Abreviaturas

|              |  |
|--------------|--|
| 3UTR         | Región 3' no traducida del gen                             |
| 5UTR         | Región 5' no traducida del gen                             |
| 95%IC        | Intervalo de confianza del 95%                             |
| aa           | Aminoácido   |
| ADN          | Ácido desoxirribonucleico                                  |
| Ala          | Alanina  |
| AP1          | <i>Gen activator protein 1 transcription factor</i>        |
| ARID5B       | Gen <i>AT rich interactive domain 5B</i>                   |
| ARMS-PCR     | PCR alelo específica                                       |
| ASO          | Oligonucleótido alelo específico                           |
| BIB          | Bibliográfico  |
| BMP2         | Gen <i>bone morphogenetic protein 2</i>                    |
| C9orf3       | Gen <i>chromosome 9 open reading frame 3</i>               |
| CASP3        | Gen <i>caspase 3</i> ,                                     |
| CCNE1        | Gen <i>cyclin E1</i>                                       |
| CDK4         | Gen <i>cyclin-dependent kinase 4</i>                       |
| CEBPE        | Gen <i>CCAAT/enhancer binding protein (C/EBP), epsilon</i> |
| CeGen-ISCIII | Centro Nacional de Genotipado                              |
| CGH          | Hibridación genómica comparada                             |
| c-MET        | Gen <i>MET proto-oncogene</i> ,                            |
| CMM          | Células madre mesenquimales                                |
| CNOT1        | Gen <i>CCR4-NOT transcription complex, subunit 1</i>       |
| CNOT2        | Gen <i>CCR4-NOT transcription complex, subunit 2</i>       |
| CNOT3        | Gen <i>CCR4-NOT transcription complex, subunit 3</i>       |
| CNOT4        | Gen <i>CCR4-NOT transcription complex, subunit 4</i>       |
| CNOT5        | Gen <i>CCR4-NOT transcription complex, subunit 5</i>       |
| CNOT6        | Gen <i>CCR4-NOT transcription complex, subunit 6</i>       |
| CNV          | Variaciones en número de copia                             |
| cod          | Codominante  |
| COL1A1       | Gen <i>collagen, type I, alpha 1</i>                       |
| CSMD3        | Gen <i>CUB and Sushi multiple domains 3</i>                |
| CTLA4        | Gen <i>cytotoxic T-lymphocyte-associated protein 4</i>     |
| DDX17        | Gen <i>DEAD (Asp-Glu-Ala-Asp) box helicase 17</i>          |
| DGCR8        | Gen <i>DGCR8 microprocessor complex subunit</i>            |
| DGV          | <i>Database of Genomic Variation</i>                       |
| DICER        | Gen <i>dicer 1, ribonuclease type III</i>                  |
| dNTPs        | Deoxinucleótidos trifosfato                                |
| dom          | Dominante  |
| DROSHA       | Gen <i>drosha, ribonuclease type III</i>                   |
| dsRNA        | ARN de doble cadena  |
| DTT          | Ditiotreitol   |
| E2F1         | Gen <i>E2F transcription factor 1</i>                      |
| EDTA         | Ácido etilen-diaminotetraacético                           |

|                   |   |
|-------------------|---|
| EHW               | Equilibrio de Hardy-Weinberg                                      |
| <i>EIF2C1</i>     | Gen <i>eukaryotic translation initiation factor 2C, 1</i>         |
| <i>EIF2C2</i>     | Gen <i>eukaryotic translation initiation factor 2C, 2</i>         |
| ENCODE            | Enciclopedia de elementos del ADN                                 |
| F                 | Forward   |
| FDR               | False Discovery Rate  |
| <i>GEMIN3</i>     | Gen <i>DEAD (Asp-Glu-Ala-Asp) box helicase 20</i>                 |
| <i>GEMIN4</i>     | Gen <i>gem (nuclear organelle) associated protein 4</i>           |
| <i>GEMIN5</i>     | Gen <i>gem (nuclear organelle) associated protein 5</i>           |
| <i>GH1</i>        | Gen <i>growth hormone 1</i>                                       |
| <i>GRM4</i>       | Gen <i>glutamate receptor, metabotropic 4</i>                     |
| GWAS              | Estudio de asociación de genoma completo                          |
| H <sub>2</sub> O  | Agua  |
| <i>HIWI</i>       | Gen <i>piwi-like RNA-mediated gene silencing 1</i>                |
| <i>IGF1</i>       | Gen <i>insulin-like growth factor 1 (somatomedin C)</i>           |
| <i>IGF2R</i>      | Gen <i>insulin-like growth factor 2 receptor</i>                  |
| <i>IKZF1</i>      | Gen <i>IKAROS family zinc finger 1</i>                            |
| Ile               | Isoleucina  |
| ISCIII            | Instituto de Salud Carlos III                                     |
| <i>JUND</i>       | Proto-oncogen <i>jun D</i>  |
| log               | Log-aditivo   |
| LOH               | Pérdida de heterocigosidad  |
| <i>LSAMP</i>      | Gen <i>limbic system-associated membrane protein</i>              |
| LSO               | Oligonucleótido locus específico                                  |
| LLA               | Leucemia linfoblástica aguda infantil                             |
| M                 | Maduro  |
| MA                | Meta-análisis   |
| MAF               | Frecuencia del alelo menor  |
| <i>MDM2</i>       | Gen <i>MDM2 proto-oncogene, E3 ubiquitin protein ligase</i>       |
| MgCl <sub>2</sub> | Cloruro magnésico   |
| miRISC            | Complejo RISC junto con miRNA                                     |
| miRNAs            | MicroRNAs   |
| miR-SNPs          | SNPs en pre-miRNAs/miRNAs   |
| MIRTS             | Diana de miRNA  |
| mRNA              | ARN mensajero   |
| <i>MYC</i>        | Gen <i>v-myc avian myelocytomatisis viral oncogene homolog</i>    |
| NaCl              | Cloruro sódico  |
| <i>NBN</i>        | Gen <i>nibrin</i>   |
| ncRNA             | ARN no codificante  |
| ND                | No disponible   |
| NGS               | Secuenciación masiva  |
| <i>NPNT</i>       | Gen <i>nefronectin</i>  |
| NS                | No sinónimo   |
| OD260             | Absorbancia a 260 nm  |
| OD280             | Absorbancia a 280 nm  |
| OMS               | Organización Mundial de la Salud                                  |
| OR                | Odds ratio  |
| OS                | Osteosarcoma  |
| pb                | Pares de bases  |
| PCR               | Reacción en cadena de la polimerasa                               |
| PCR-RFLP          | Polimorfismos en la longitud de los fragmentos de restricción-PCR |
| PE                | Presente estudio  |

|               |   |
|---------------|---|
| <i>PIWIL1</i> | Gen <i>piwi-like RNA-mediated gene silencing 1</i>                        |
| PM            | Pre-maduro  |
| pRB           | Proteina del retinoblastoma   |
| PRISMA        | <i>Preferred Reporting Items for Systematic Reviews and Meta-Analyses</i> |
| <i>PTBP1</i>  | Gen <i>polypyrimidine tract binding protein 1</i>                         |
| <i>PTEN</i>   | Gen <i>phosphatase and tensin homolog</i>                                 |
| R             | Reverse   |
| RAN           | Gen <i>RAN, member RAS oncogene family</i>                                |
| <i>RB1</i>    | Gen <i>retinoblastoma 1</i>   |
| rec           | Recesivo  |
| <i>RECQL4</i> | Gen <i>RecQ protein-like 4</i>  |
| Ref           | Referencia  |
| RISC          | Complejo <i>RNA-inducing silencing</i>                                    |
| RNTI          | Registro Nacional de Tumores Infantiles                                   |
| <i>RUNX2</i>  | Gen <i>runt-related transcription factor 2</i>                            |
| sd            | Desviación estandar   |
| <i>SF1</i>    | Gen <i>splicing factor 1</i>  |
| SGIKER        | Servicios Generales de Investigación                                      |
| <i>SMAD5</i>  | Gen <i>SMAD family member 5</i>   |
| <i>SND1</i>   | Gen <i>staphylococcal nuclease and tudor domain containing 1</i>          |
| SNP           | Polimorfismos de un solo nucleotido                                       |
| SP            | Sangre periférica   |
| Sp1           | Factor de transcripción Sp1   |
| SR            | Regulación <i>splicing</i>  |
| TARBP2        | Gen TAR (HIV-1) RNA binding protein 2                                     |
| TBE           | Solución Tris/Borato/EDTA   |
| <i>TGFBR1</i> | Gen <i>transforming growth factor, beta receptor 1</i>                    |
| Thr           | Treonina  |
| <i>TNRC6A</i> | Gen <i>trinucleotide repeat containing 6A</i>                             |
| <i>TNRC6B</i> | Gen <i>trinucleotide repeat containing 6B</i>                             |
| <i>TP53</i>   | Gen <i>tumor protein p53</i>  |
| TRAF6         | Gen <i>TNF receptor associated factor 6</i>                               |
| Tris          | Solución Tris(hidroximetil)aminometano                                    |
| UR            | Regulación aguas arriba   |
| Val           | Valina  |
| <i>VEGFA</i>  | Gen <i>vascular endothelial growth factor A</i>                           |
| <i>XPO5</i>   | Gen <i>exportin 5</i>   |



## ***Indice***

|  |                  |
|--|------------------|
| <b><u>INTRODUCCIÓN</u></b>   | <b><u>27</u></b> |
| <b>OSTEOSARCOMA .....</b>  | <b>29</b>        |
| Definición .....   | 29               |
| Epidemiología.....   | 29               |
| Factores pronósticos y tratamiento.....                                | 30               |
| Características del tumor .....  | 30               |
| Características histopatológicas.....                                  | 31               |
| Características genéticas.....   | 31               |
| Etiología.....   | 32               |
| Susceptibilidad genética del Osteosarcoma .....                        | 34               |
| Estudios de genes candidato.....                                       | 36               |
| Estudios de genoma completo.....                                       | 41               |
| <b>REGIONES NO CODIFICANTES.....</b>                                   | <b>42</b>        |
| miRNAs.....  | 42               |
| Genes de procesamiento de miRNAs y cáncer .....                        | 47               |
| miRNAs y cáncer.....   | 48               |
| <b>ANEXO .....</b>   | <b>51</b>        |
| <b><u>HIPÓTESIS Y OBJETIVOS</u></b>                                    | <b><u>79</u></b> |
| <b>    HIPÓTESIS .....</b>   | <b>81</b>        |
| <b>    OBJETIVOS .....</b>   | <b>83</b>        |
| <b><u>MATERIALES Y MÉTODOS</u></b>                                     | <b><u>85</u></b> |
| <b>    POBLACIÓN DE ESTUDIO.....</b>                                   | <b>87</b>        |
| <b>    SNPs PREVIAMENTE ASOCIADOS A LA SUSCEPTIBILIDAD DEL OS.....</b> | <b>89</b>        |

|  |                   |
|--|-------------------|
| Búsqueda de genes asociados a la susceptibilidad del OS.....               | 89                |
| Genotipado del SNP rs1690916 en el gen <i>MDM2</i> .....                   | 89                |
| Genotipado del SNP rs2279744 en el gen <i>MDM2</i> .....                   | 92                |
| Meta-análisis de los SNPs rs1690916 y rs2279744 en el gen <i>MDM2</i> .... | 94                |
| Genotipado del SNP rs231775 en el gen <i>CTLA4</i> .....                   | 98                |
| Meta-análisis del SNP rs231775 en el gen <i>CTLA4</i> .....                | 99                |
| <b>SNPS EN GENES RELACIONADOS CON LOS MIRNAS.....</b>                      | <b>100</b>        |
| Búsqueda de miRNAs desregulados en la susceptibilidad del OS.....          | 100               |
| SNPs en genes de procesamiento de miRNAs .....                             | 101               |
| Selección de SNPs en genes de procesamiento de miRNAs.....                 | 101               |
| Genotipado de SNPs en genes de procesamiento de miRNAs.                    | 103               |
| SNPs en miRNAs .....   | 105               |
| Selección de SNPs en miRNAs .....  | 105               |
| Genotipado de SNPs en miRNAs .....   | 106               |
| Análisis <i>in silico</i> de estructura secundaria de miRNAs .....         | 107               |
| <b>ANÁLISIS ESTADÍSTICOS .....</b>   | <b>107</b>        |
| <b>ANEXO .....</b>   | <b>109</b>        |
| <b><u>RESULTADOS</u></b>   | <b><u>125</u></b> |
| <b>VALIDACIÓN DE SNPS ASOCIADOS A LA SUSCEPTIBILIDAD DEL OS.....</b>       | <b>127</b>        |
| SNPs en el gen <i>MDM2</i> .....   | 127               |
| Revisión sistemática y meta-análisis SNPs MDM2.....                        | 134               |
| SNP en el gen <i>CTLA4</i> .....   | 142               |
| Revisión sistemática y meta-análisis del SNP en <i>CTLA4</i> .....         | 145               |
| <b>SNPS EN GENES RELACIONADOS CON LOS MIRNAS.....</b>                      | <b>149</b>        |

|   |            |
|---|------------|
| Búsqueda de miRNAs desregulados en la susceptibilidad del OS..... | 149        |
| SNPs en genes de procesamiento de miRNAs .....                    | 151        |
| SNPs en genes de pre-miRNAs .....                                 | 154        |
| <b>ANEXO .....</b>  | <b>165</b> |

**DISCUSIÓN** **207**

|   |            |
|---|------------|
| <b>SNPS EN EL GEN <i>MDM2</i> .....</b>               | <b>209</b> |
| <b>SNPS EN EL GEN <i>CTLA4</i>.....</b>               | <b>211</b> |
| <b>SNPS EN GENES RELACIONADOS CON LOS MIRNAS.....</b> | <b>213</b> |
| SNPs en genes de procesamiento de miRNAs.....         | 213        |
| SNPs en pre-miRNAs.....                               | 216        |

**CONCLUSIONES** **227**



# ***INTRODUCCIÓN***



# **OSTEOSARCOMA**

## **1.1 DEFINICIÓN**

El osteosarcoma (OS) o sarcoma osteogénico es el cáncer óseo primario más común, representando aproximadamente el 20% de todos los cánceres óseos primarios (1, 2). Se trata de un tumor intramedular severo caracterizado por la destrucción del tejido óseo y tejido blando debido a la presencia de células neoplásicas malignas que producen hueso inmaduro, también denominado osteoide (3).

## **1.2 EPIDEMIOLOGÍA**

El OS es el tumor óseo primario sólido más frecuente, con una incidencia en torno a 4-5 casos por millón de habitantes. Aunque puede darse en todos los grupos de edad, se presenta principalmente en niños, adolescentes y adultos jóvenes y, de hecho, el 70% de los casos se producen en menores de 40 años.

En general, el OS es ligeramente más frecuente en varones que en mujeres en una proporción 1,35:1 (3). Según Parkin DM y cols existe una mayor incidencia de OS pediátrico en el Sur de Europa (4). Según los datos del Registro Nacional de Tumores Infantiles (RNTI), el número de pacientes entre 0 y 15 años diagnosticados anualmente en España oscila entre 32 y 36 (<http://www.uv.es/rnti/cancerinfantil.html>).

En los pacientes jóvenes, la incidencia del OS se ha correlacionado con la pubertad y el crecimiento óseo (5, 6). Se ha descrito un segundo pico de incidencia mucho más pequeño en la tercera edad, relacionado con enfermedades óseas preexistentes como la enfermedad de Paget (constituye aproximadamente el 1% de los casos de OS) o tejidos previamente irradiados (aproximadamente el 4% de los casos).

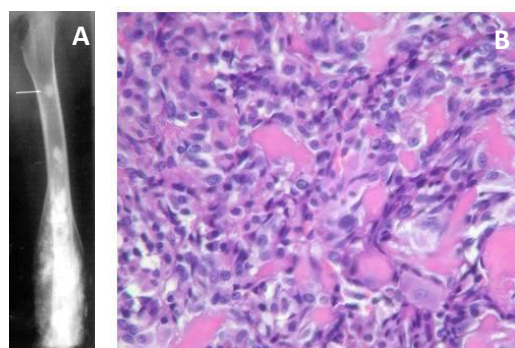
### **1.3 FACTORES PRONÓSTICOS Y TRATAMIENTO**

El OS es una enfermedad agresiva y frecuentemente mortal. El tratamiento estándar combina quimioterapia (doxorubicina, carboplatino, ifosfamida y metotrexato) y cirugía (7) siendo la tasa de supervivencia a cinco años del 50%-70% en tumores localizados y en torno al 20% en los casos de OS metástasico (mal pronóstico).

Además de las metástasis, se conocen otros factores de mal pronóstico como la localización del tumor en el extremo proximal o en el esqueleto axial, el tamaño y volumen del mismo y una mala respuesta a la quimioterapia pre-operatoria (3).

### **1.4 CARACTERÍSTICAS DEL TUMOR**

El OS se origina en sitios de rápido crecimiento óseo y muestra predisposición por las extremidades de huesos largos; en particular, el fémur distal, la tibia y el húmero proximal (Figura 1a). Aunque los huesos largos son el lugar más frecuente para el desarrollo del OS, su incidencia relativa en huesos no-largos (p. ej. pelvis, columna vertebral y cráneo) tiende a incrementarse con la edad (3).



**Figura 1.** A) Radiografía de OS en fémur (3). B) Población densa de células fusiformes mostrando atipia nuclear y producción osteoide -material eosinófilo (8).

#### **1.4.1 Características histopatológicas**

A nivel histológico, el OS se caracteriza por la presencia de células fusiformes osteoblásticas de malignidad evidente productoras de osteoide (Figura 1b). El osteoide es el conjunto de osteoblastos, osteocitos y matriz orgánica aún no mineralizada; es decir, la matriz ósea, recién formada, no calcificada, adyacente a los osteoblastos activos. Existen diferentes subtipos histológicos de OS, que se clasifican por las características del tumor (aspecto, crecimiento y capacidad de extensión), de las células malignas (alto y bajo grado) o por su localización. Con respecto a la localización, la Organización Mundial de la Salud (OMS) reconoce 12 subtipos de tumores osteogénicos malignos. Aproximadamente, el 80% de los casos de OS son del subtipo OS convencional que se caracterizan porque el tumor se localiza en la cavidad medular del hueso (9). El OS convencional, además de tejido osteoide, también puede producir tejido fibroso y cartilaginoso. En la actualidad, la OMS admite tres subtipos de OS convencional dependiendo del material predominante presente en la matriz: OS osteoblástico (76-80%), OS condroblástico (10-13 %) y OS fibroblástico (10 %) (3). A pesar de presentar diferencias histológicas, el comportamiento clínico y el manejo médico son similares en los diferentes subgrupos.

#### **1.4.2 Características genéticas**

A nivel genético, el OS convencional presenta cariotipos complejos con múltiples aberraciones cromosómicas numéricas y estructurales. Estudios de arrays de hibridación genómica comparada (CGH) en tejido tumoral han detectado amplificaciones recurrentes y ganancias en el número de copias en distintas localizaciones cromosómicas: 1p36, 1q21-22, 6p12-21, 8q21-24, 12q11-14, 17p11-13 y 19q12-13. En menor medida, también se han detectado pérdidas en 3q13, 8p21, 9p13 y 13q14 (3). En estas regiones se han descrito múltiples genes candidatos, algunos de los cuales podrían tener una implicación biológica directa en la osteosarcomagenesis. Por ejemplo, la delección o pérdida de heterocigosis (*loss of heterozygosity*, LOH) en 3q13, donde se localiza el gen *limbic system-associated membrane protein* (LSAMP), ha sido asociada con la progresión y una peor supervivencia del OS (10). La amplificación de la región 6p12-21, que ocurre en el 40-50% de los tumores, alberga el gen *runt-related transcription factor 2* (RUNX2), encargado de la diferenciación osteoblástica (11) y el gen *vascular endothelial growth factor A* (VEGFA) involucrado en la angiogénesis (12). Otro ejemplo es la amplificación y ganancia de la región 8q21-24, observada en el 45-55% de los

tumores que incluye el oncogen *v-myc avian myelocytomatisis viral oncogene homolog (MYC)* (13-15), implicado en muchos procesos tumorigénicos.

Los genes de la vía de la reparación del ácido desoxiribonucléico (ADN) y del ciclo celular también se han visto alterados en este tipo de tumor. Con respecto a los genes implicados en la reparación y estabilización del genoma cabe destacar el gen del retinoblastoma (*RB1*) en la región 13q14 y el gen de la proteína supresora de tumores p53 (*TP53*) en 17p13.1, inactivados en aproximadamente el 35% y 40% de los OS esporádicos, respectivamente (16-18). En ambos casos, se ha observado que la inactivación de los genes se debe a mutaciones, LOH o delecciones del propio gen. Con una frecuencia menor también se encuentran alterados los genes protooncogen *MDM2*, (antagonista del gen *TP53*) amplificado en un 10% de los OS esporádicos y el gen *RecQ protein-like 4 (RECQL4)*, mutado en el 5% de los tumores (18, 19). Con respecto a los genes implicados en el ciclo celular, la amplificación de las ciclinas *CDK4* en 12q13-14 y *CCNE1* en 19q12 ha sido detectada en el 10% de los tumores (20, 21).

Recientemente, además, mediante estudios de *Next Generation Sequencing (NGS)* o secuenciación masiva del genoma del tejido tumoral del OS, se ha descrito un nuevo mecanismo genético denominado *chromotripsy* (demolición del cromosoma) implicado en el desarrollo de la enfermedad. Este fenómeno se caracteriza por alternar variaciones en número de copia (CNV) y LOH en un brazo del cromosoma o puede afectar al cromosoma completo (22). Este mecanismo parece estar implicado en el desarrollo de los casos esporádicos de OS (23).

A pesar de todos los estudios realizados, no se ha logrado definir ninguna aberración cromosómica específica de este tumor.

## **1.5 ETIOLOGÍA**

En relación a las causas que originan el OS se han descrito factores ambientales (trauma, radioterapia o quimioterapia previa y lesiones óseas benignas,) y los factores genéticos (mutaciones heredadas o somáticas).

La aparición del OS es muy frecuente en zonas con mucha renovación de tejido óseo donde las células madre mesenquimales (CMM) proliferan y se diferencian rápidamente a células del hueso y cartílago. Esta rápida división favorece la aparición de mutaciones y por tanto, el origen de las células madre tumorales (24).

Actualmente existen dos teorías para explicar la aparición de OS. La primera de ellas postula que las mutaciones se producen en distintos puntos durante la diferenciación de los osteoblastos precursores a maduros (25), dando lugar a distintos subtipos histológicos (condroblástico, fibroblástico y osteoblástico). La segunda hipótesis apunta que las mutaciones se originan en un único osteoblasto precursor, surgiendo de aquí los distintos subtipos histológicos mencionados previamente (26) (Figura 2).

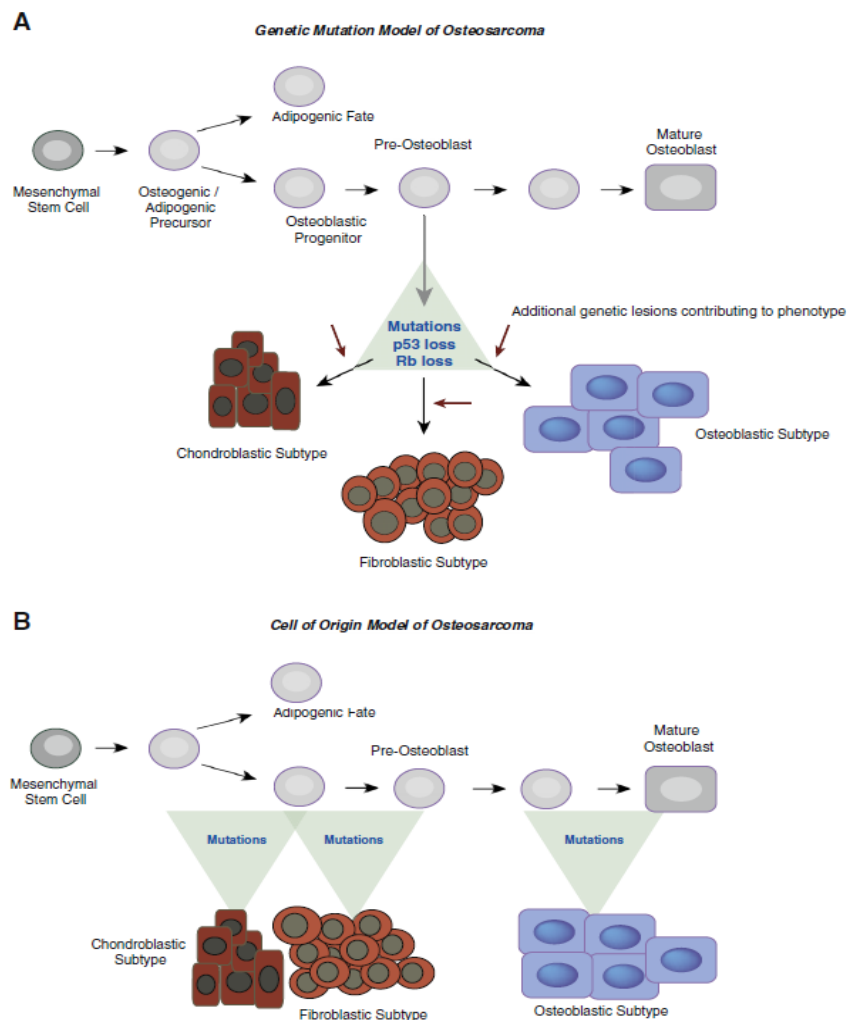


Figura 2. Teorías del origen del osteosarcoma (27)

## **1.6 SUSCEPTIBILIDAD GENÉTICA DEL OSTEOSARCOMA**

El hecho de que el OS se produzca a una edad temprana sugiere que existe un fuerte componente genético en su origen. La existencia de este componente genético viene avalada también, por el hecho de que diversas enfermedades genéticas como Síndrome de Li-Fraumeni, Retinoblastoma hereditario, Síndrome de Rothmund-Thomson, Síndromes de Bloom y de Werner y la Anemia de Diamond Blackfan, tienen un riesgo aumentado a desarrollar OS (Tabla 1). Todas estas enfermedades están causadas por mutaciones de alta penetrancia en genes implicados en la reparación y mantenimiento del ADN (28).

**Tabla 1.** Síndromes de predisposición hereditaria al cáncer relacionados con la aparición de OS (adaptado de (28)).

| Síndrome         | Gen                   |
|------------------|-----------------------|
| Li-Fraumeni      | <i>TP53</i>           |
| Retinoblastoma   | <i>RB1</i>            |
| Rothmund Thomson | <i>REQL4</i>          |
| Werner           | <i>WRN</i>            |
| Bloom            | <i>BLM</i>            |
| Diamond Blackfan | Proteínas ribosómicas |

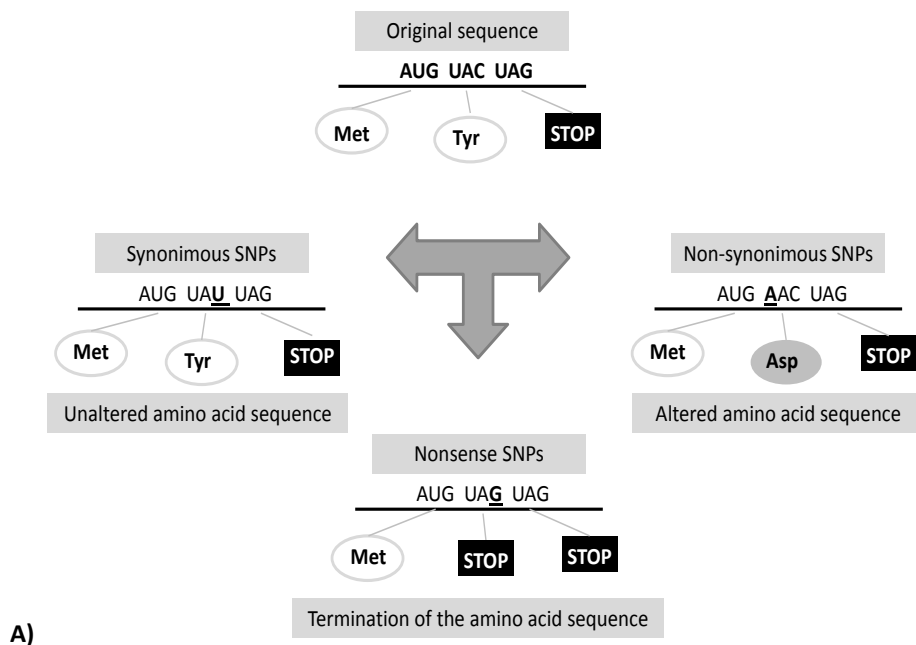
Sin embargo, todos estos desórdenes son extremadamente raros, constituyendo el 5% de los casos de OS (1). La mayor parte de los OS son esporádicos y no se deben a mutaciones en los genes antes mencionados. Diversos estudios han sugerido que la susceptibilidad a desarrollar OS se debe a pequeñas variantes comunes de baja penetrancia, es decir, variantes en genes que por sí solas contribuyen de forma débil al desarrollo de la enfermedad (28), por lo que es necesario la suma de pequeños efectos para conferir la susceptibilidad a la enfermedad. Una de las variantes genéticas comunes más frecuentes en el genoma son los cambios de un único nucleótido (SNPs) (Figura 3). Se estima que en el genoma hay 10 millones de SNPs distribuidos con una frecuencia media de 1/300 pares de bases (pb), constituyen el 90 % de la variación del genoma humano (28).

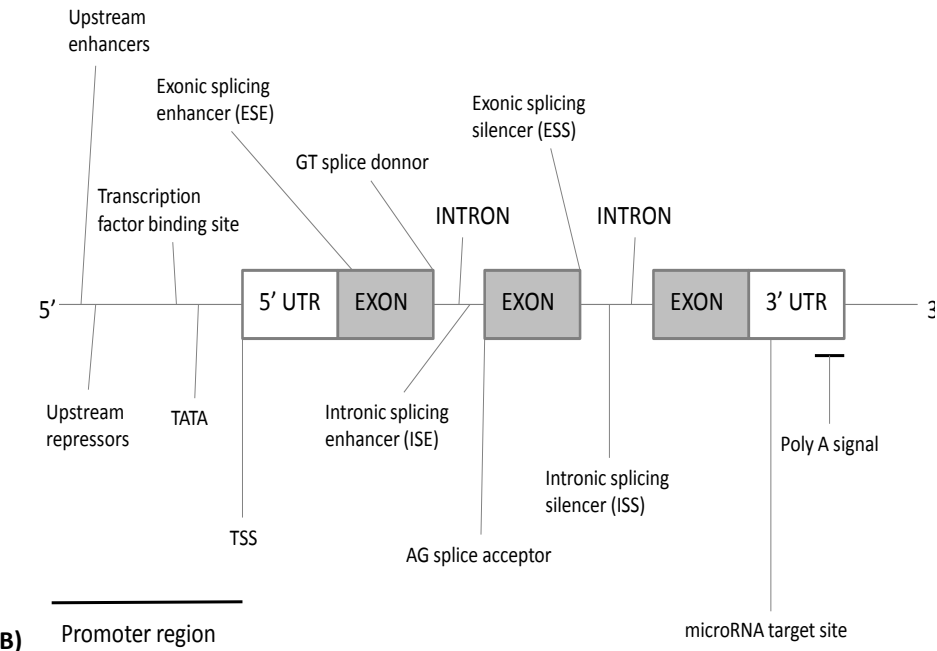
agttc **G** aagcccatatatgtactgaagccaaagcccattatgtacttagttcaagccatataatgt

agttc **A** aagcccatatatgtactgaagccaaagcccattatgtacttagttcaagccatataatgt

**Figura 3.** Ejemplo de un SNP. Dos cromosomas de un individuo con el genotipo G/A para el SNP (elaboración propia).

Los SNPs están distribuidos a lo largo de todo nuestro genoma tanto en regiones génicas como en regiones extragénicas. En el caso de los genes, el cambio de alelo de un SNP puede afectar a la secuencia de la proteína (cambio de aminoácido (aa), lugar de inicio o finalización, lugar de *splicing*) o a su regulación (promotor, sitios CpG, unión o estructura del ARN no codificante (ncRNA), región UTR) (Figura 4).





**Figura 4. A)** SNPs en los exones con posible efecto funcional en la secuencia aminoacídica. **B)** SNPs con otros posibles efectos funcionales sobre el gen.

La implicación de las variantes genéticas comunes en la susceptibilidad a desarrollar cáncer ya se ha demostrado en diversos estudios. En el caso de la leucemia linfoblástica aguda, uno de los cánceres pediátricos más comunes en este momento, se estima que el 25% de la susceptibilidad se debe a variantes genéticas comunes ya identificadas en los genes *ARID5B*, *IKZF1*, *PIP4K2* y *CEBPE* (29), pero todavía es necesario detectar otras variantes menos comunes que expliquen el resto.

En el caso del OS, el estudio de la implicación de SNPs en el riesgo a desarrollar la enfermedad se ha abordado siguiendo dos estrategias: búsqueda en genes candidatos o mediante el estudio del genoma completo

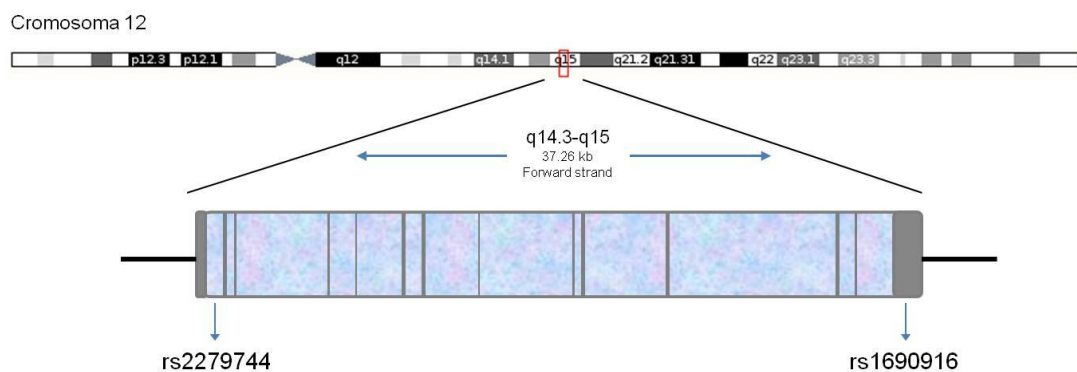
### 1.6.1 Estudios de genes candidatos

Los estudios de genes candidatos se basan en la selección *a priori* de genes potencialmente implicados en la biología del OS. Por esta razón, la interpretación de los resultados en este tipo de estudios resulta relativamente sencilla, dado que se parte de una hipótesis previa.

En OS, hasta el momento, se han realizado 37 estudios de genes candidatos, en los que se han analizado un total de 5250 SNPs en 283 genes (Tabla anexa 1). La mayoría de los genes ( $n=250$ ) fueron analizados tan solo una vez, obteniendo en gran parte de ellos resultados de no

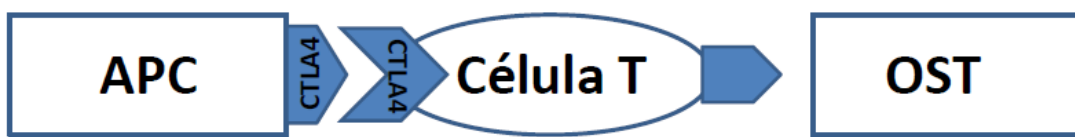
asociación o con asociaciones de poco valor estadístico. Solamente 10 genes fueron estudiados más de dos veces. Centrándonos en estos 10 genes, observamos que en 5 de ellos (*IGF2R*, *TGFBR1*, *COL1A1*, *RECQL4* y *NBN*), a pesar del número elevado de SNPs analizados, ninguno se analizó en más de un estudio (n=42) (Tabla 2). En 3 genes (*TP53*, *GH1* e *IGF1*) encontramos 4 SNPs que se estudiaron al menos 2 veces, pero los resultados entre los estudios eran contradictorios y con poco valor estadístico. Solamente en 2 genes, *MDM2* y *CTLA4*, se analizaron 3 SNPs en más de un estudio y los resultados fueron significativos en dos trabajos o más. Estos resultados y la función de estos genes sugieren la posible implicación de estos genes en la etiología del OS (Tabla 3).

El gen *MDM2* es un factor importante en la regulación de la homeostasis celular y controla procesos como el crecimiento celular, apoptosis y senescencia mediante la interacción con proteínas como p53, pRB y E2F1 (30, 31). Este gen codifica una proteína nuclear E3 ubiquitín ligasa que regula la degradación de la proteína supresora de tumores p53 (32). La función de la proteína MDM2 podría verse alterada por polimorfismos en el gen. Por ello, diversos trabajos han analizado la asociación entre dichos polimorfismos y el riesgo de OS. Los dos polimorfismos más estudiados son rs1690916 y rs2279744, localizados en diferentes regiones reguladoras del gen *MDM2*, lo que podría alterar la expresión de la proteína (Figura 5). Estos dos polimorfismos han sido asociados a OS en varios estudios (33-36), lo que les convierte en posibles marcadores de riesgo de esta patología.



**Figura 5.** Localización de los polymorfismos rs1690916 y rs2279744 en el gen *MDM2*.

El gen *CTLA4* es miembro de la familia de las inmunoglobulinas y codifica para una proteína que transmite una señal inhibitoria a los linfocitos T, células clave en la respuesta antitumoral (Figura 6). La proteína *CTLA4* podría elevar el umbral de activación de las células T, atenuando la respuesta antitumoral e incrementando la susceptibilidad a desarrollar cánceres (37, 38).



**Figura 6.** Función del gen *CTLA4*. Representación hipotética de interacción entre células T y células tumorales de OS (adaptado de (39)).

Hasta el momento, se han estudiado 6 SNPs en el gen *CTLA4* en relación con el riesgo a desarrollar OS. Entre ellos, el más estudiado es rs231775 (+49G>A), una variante de cambio de sentido o *missense* que provoca un cambio de treonina por alanina, lo que lleva a una mayor eficacia y a un incremento de la producción de *CTLA4* (40). Este SNP ha sido asociado a diferentes tipos de cáncer, como el cáncer de mama, cáncer de pulmón o cáncer colorrectal (41-43) y se ha asociado con el riesgo de OS en al menos dos estudios. En este caso, también este polimorfismo podría estar asociado a la etiología del OS.

**Tabla 2.** Listado de 5 genes analizados en relación con el riesgo de OS en más de dos artículos

| Gen                  | Polimorfismos | Casos | Controles | Asociación | Bibliografía |
|----------------------|---------------|-------|-----------|------------|--------------|
| <b><i>IGF2R</i></b>  | rs1003737     | 290   | NA        | SI         | (44)         |
|                      | rs12202350    | 96    | 1426      | SI         | (35)         |
|                      | rs2282141     | 96    | 1426      | SI         |              |
|                      | rs2297372     | 96    | 1426      | SI         |              |
|                      | rs384167      | 96    | 1426      | SI         |              |
|                      | rs600324      | 96    | 1426      | SI         |              |
|                      | rs9456484     | 96    | 1426      | SI         |              |
|                      | rs1570070     | 104   | 74        | NO         | (45)         |
|                      | rs1803989     | 104   | 74        | SI         |              |
|                      | rs2065396     | 104   | 74        | NO         |              |
|                      | rs2282140     | 104   | 74        | NO         |              |
|                      | rs3777411     | 104   | 74        | NO         |              |
|                      | rs3798180     | 104   | 74        | NO         |              |
|                      | rs416572      | 104   | 74        | NO         |              |
|                      | rs435612      | 104   | 74        | NO         |              |
|                      | rs4709390     | 104   | 74        | NO         |              |
|                      | rs4709392     | 104   | 74        | NO         |              |
|                      | rs4709393     | 104   | 74        | NO         |              |
|                      | rs629849      | 104   | 74        | NO         |              |
|                      | rs648253      | 104   | 74        | NO         |              |
|                      | rs687088      | 104   | 74        | NO         |              |
|                      | rs7746102     | 104   | 74        | NO         |              |
|                      | rs894817      | 104   | 74        | NO         |              |
|                      | rs9456497     | 104   | 74        | NO         |              |
|                      | rs998074      | 104   | 74        | SI         |              |
|                      | rs998075      | 104   | 74        | SI         |              |
| <b><i>TGFB1</i></b>  | rs1800469     | 202   | 216       | ND         | (46)         |
|                      | rs1800470     | 202   | 216       | SI         |              |
|                      | rs334354      | 168   | 168       | SI         | (47)         |
|                      | rs10819639    | 96    | 1426      | NO         | (35)         |
|                      | rs11466445    | 168   | 168       | SI         | (47)         |
| <b><i>COL1A1</i></b> | rs1061970     | 189   | 195       | SI         | (48)         |
|                      | rs2075559     | 189   | 195       | SI         |              |
|                      | rs17639446    | 96    | 1426      | SI         | (35)         |
|                      | rs1800012     | 72    | 143       | NO         | (49)         |
| <b><i>RECQL4</i></b> | Polimorfismos | 96    | 1426      | ND         | (35)         |
|                      | rs4251689     | 98    | 69        | NO         | (50)         |
|                      | rs2721191     | 71    | 82        | NO         | (51)         |
|                      | rs372372052   | 71    | 82        | NO         |              |
| <b><i>NBN</i></b>    | rs1805794     | 120   | 120       | SI         | (52)         |
|                      | rs709816      | 120   | 120       | NO         |              |
|                      | rs1063054     | 120   | 120       | NO         |              |
|                      | rs13312970    | 96    | 1426      | SI         | (35)         |
|                      | Polimorfismos | 98    | 69        | ND         | (50)         |

Abreviaturas: 1. ND: No disponible.

Genes con SNPs analizados en un único estudio

**Tabla 3.** Listado de 5 genes analizados en relación con el riesgo de OS en más de dos artículos.

|   | Gen          | Polimorfismos | Casos | Controles | Asociación | Bibliografía |
|---|--------------|---------------|-------|-----------|------------|--------------|
| Genes con SNPs que muestran resultados contradictorios en al menos 2 estudios | <i>TP53</i>  | rs2909430     | 96    | 1426      | NO         | (35)         |
|   |              | rs1042522     | 201   | 250       | SI         | (33)         |
|   |              | rs8079544     | 74    | 104       | NO         |              |
|   |              | rs1642785     | 74    | 104       | NO         |              |
|   |              | rs1042522     | 74    | 104       | NO         |              |
|   |              | rs9895829     | 74    | 104       | NO         |              |
|   |              | rs2909430     | 74    | 104       | NO         |              |
|   |              | rs1800372     | 74    | 104       | NO         | (53)         |
|   |              | rs1625895     | 74    | 104       | NO         |              |
|   |              | rs12947788    | 74    | 104       | NO         |              |
|   |              | rs1614984     | 74    | 104       | NO         |              |
|   |              | rs9894946     | 74    | 104       | NO         |              |
|   |              | rs56275308    | 17    | 37        | ND         |              |
|   |              | rs17878362    | 17    | 37        | ND         | (34)         |
| Genes con SNPs significativos en más de dos estudios                          | <i>GH1</i>   | rs7921        | 24    | 96        | NO         | (36)         |
|   |              | rs7921        | 96    | 1426      | SI         | (35)         |
|   |              | rs11079515    | 96    | 1426      | SI         |              |
|   |              | rs6771        | 104   | 74        | NO         |              |
|   |              | rs6173        | 104   | 74        | NO         | (45)         |
| <i>IGF1</i>   | <i>IGF1</i>  | rs7956547     | 24    | 96        | NO         | (36)         |
|   |              | rs10860864    | 96    | 1426      | SI         |              |
|   |              | rs10860869    | 96    | 1426      | SI         |              |
|   |              | rs17796225    | 96    | 1426      | SI         |              |
|   |              | rs2195240     | 96    | 1426      | NO         |              |
|   |              | rs2288378     | 96    | 1426      | SI         | (35)         |
|   |              | rs5742692     | 96    | 1426      | SI         |              |
|   |              | rs5742714     | 96    | 1426      | SI         |              |
|   |              | rs7956547     | 96    | 1426      | SI         |              |
|   |              | rs9651925     | 96    | 1426      | SI         |              |
|   |              | rs1019731     | 104   | 74        | NO         |              |
|   |              | rs2162679     | 104   | 74        | NO         |              |
|   |              | rs2288378     | 104   | 74        | NO         | (45)         |
| <i>MDM2</i>   | <i>MDM2</i>  | rs6220        | 104   | 74        | NO         |              |
|   |              | rs2279744     | 96    | 1426      | NO         |              |
|   |              | rs1690916     | 96    | 1426      | SI         |              |
|   |              | rs1196334     | 96    | 1426      | SI         | (35)         |
|   |              | rs1695147     | 96    | 1426      | SI         |              |
|   |              | rs1846402     | 96    | 1426      | SI         |              |
|   |              | rs201821879   | 415   | 431       | SI         |              |
|   |              | rs199812774   | 415   | 431       | SI         | (54)         |
|   |              | rs1690169     | 24    | 96        | SI         | (36)         |
|   |              | rs2279744     | 201   | 250       | SI         | (33)         |
| <i>CTLA4</i>  | <i>CTLA4</i> | rs2279744     | 17    | 37        | SI*        | (34)         |
|   |              | c.75G>C       | 415   | 316       | SI         |              |
|   |              | c.326G>A      | 415   | 316       | SI         | (55)         |
|   |              | rs231775      | 267   | 282       | SI         |              |
|   |              | rs4553808     | 267   | 282       | NO         |              |
|   |              | rs5742909     | 267   | 282       | NO         | (56)         |
|   |              | CT60A/G       | 267   | 282       | NO         |              |
|   |              | rs231775      | 205   | 216       | SI         | (57)         |

Abreviaturas: ND: No disponible. \*: Valores significativos obtenidos a partir de los datos brutos del artículo. En rojo, estudios analizando rs2279744; en verde, estudios analizando rs1690916 y en azul, estudios analizando rs231775.

En resumen, bajo la estrategia de genes candidatos, observamos que los únicos SNPs asociados y replicados en al menos dos estudios fueron los SNPs rs2279744 y rs1690916 en

*MDM2* y rs231775 en *CTLA4*. Esto sugiere que estos 3 SNPs son, hasta el momento, los únicos SNPs que pueden ser “marcadores” de susceptibilidad a desarrollar OS.

### **1.6.2 Estudio de genoma completo**

La segunda estrategia de búsqueda de variantes genéticas comunes se basa en el estudio del genoma completo o GWAS (*Genome Wide Association Study*). Hasta el momento se ha realizado un único GWAS en OS, incluyendo 941 casos y 3291 controles. Los autores de este estudio encontraron dos *loci* asociados con la susceptibilidad al OS (58). El SNP más significativo se localizó en una zona cercana al gen *GRM4*, miembro de la familia de los receptores glutamatérgicos, que se expresan en osteoblastos (formación del hueso) y osteoclastos (reabsorción del hueso) (59). Los autores proponen que el gen *GRM4* podría participar en la diferenciación y regulación de osteoblasto, células claves en la formación del hueso (58). El segundo *locus* más significativo se localizó en una zona intergénica. En este caso los autores solo encuentran una explicación: este SNP está en desequilibrio de ligamiento ( $r^2 > 0,6$ ) con SNPs que alteran la unión de factores de transcripción y/o motivos reguladores *in silico*. Un dato de interés de este estudio es el hecho que, además de este SNP localizado en una región intergénica, otros 8 de los 30 SNPs más significativos encontrados en el GWAS se encontraron en regiones intergénicas, aproximadamente un 30% (58).

La mayoría de los estudios realizados hasta el momento en OS se han centrado en la búsqueda de variantes genéticas en regiones codificantes. Sin embargo, tal y como pone de manifiesto el GWAS, hay variantes asociadas con la enfermedad en regiones intergénicas sin ningún tipo de explicación biológica aparente. De hecho, en los diferentes GWAS realizados hasta la fecha en diferentes tipos de cáncer, se han descrito alrededor de 300 SNPs significativos, de los cuales sólo el 3,3% provocan cambios en la proteína, el 40% están localizados en regiones intrónicas y el 44% se localizan en regiones intergénicas. Estos resultados “inesperados” llevan a pensar que las regiones no codificantes pueden ser un punto clave en el desarrollo del cáncer (60).

## REGIONES NO CODIFICANTES

En 2001 como resultado del Proyecto Genoma Humano se publicó el mapa provisional del genoma revelando que el número real de secuencias que codifican proteínas se corresponde con solo 20000-25000 genes, aproximadamente un 1,5% del genoma (61). En un principio, la región restante no funcional del genoma se consideró “ADN basura”.

Posteriormente, el proyecto ENCODE (ENcyclopedia Of DNA Elements), un proyecto cuyo objetivo principal era delinear todos los elementos funcionales codificados en el genoma humano (62), reveló que más de un 80% del genoma se transcribe como elementos que no codifican a proteínas llamados ARNs no codificantes o ncRNA.

Los ncRNAs se clasifican en función de su tamaño. Dentro del grupo de los ncRNA de pequeño tamaño, están los microRNAs (miRNAs) (18-20 pb) (63) (Figura 7).

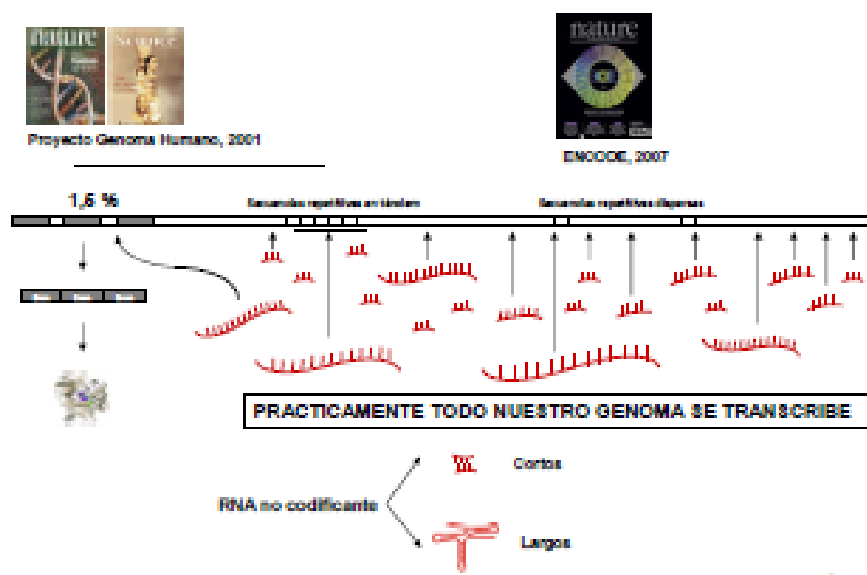


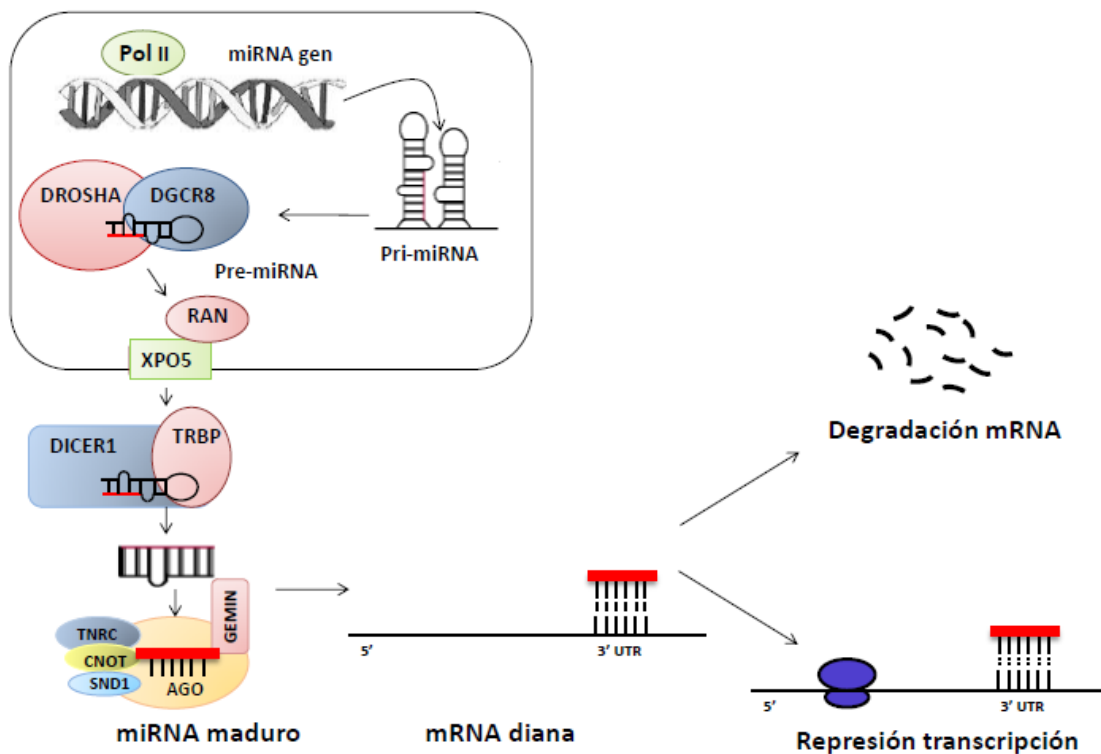
Figura 7. Transcripción del genoma (elaboración propia).

### 2.1 miRNAs

Los microRNAs (miRNAs) son un tipo de ncRNA que regulan aproximadamente el 50% de nuestros genes (63). Los miRNAs se transcriben a partir de diferentes localizaciones del genoma mediante la ARN polimerasa II en forma de transcritos primarios largos denominados pri-miRNAs (ADN de doble cadena, 300-5000pb). Los pri-miRNAs se caracterizan por presentar una región central de ARN de doble cadena (dsRNA), de unos 30-40 nucleótidos, un lazo u

horquilla terminal y dos regiones de ARN de cadena sencilla (ssRNA) a cada extremo opuesto de la región central. Estos pri-miRNAs van a ser procesados en el núcleo mediante la RNasa DROSHA y la proteína DGCR8, que contiene dominios de unión al dsRNA. La secuencia de dsRNA determina su estructura secundaria y su unión a las proteínas de procesamiento.

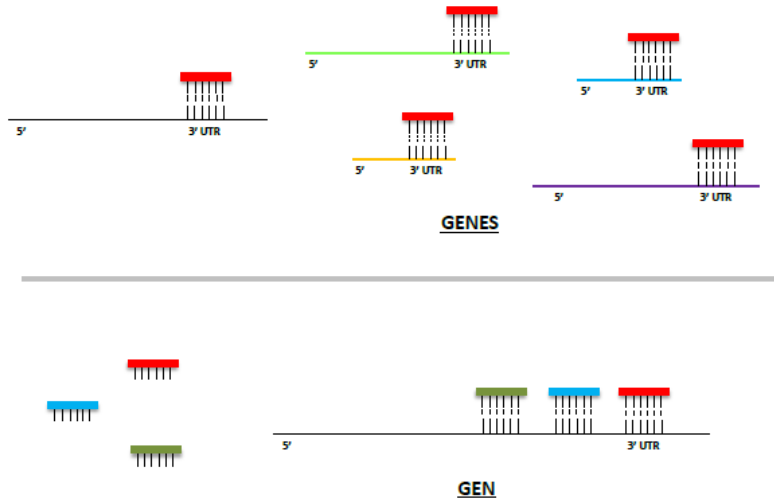
Tras el procesamiento de los pri-miRNAs, las nuevas moléculas formadas mantienen la estructura de dsRNA y la horquilla terminal. Estas moléculas de menor tamaño (aproximadamente 70 nucleótidos) se conocen con el nombre de pre-miRNAs. Los pre-miRNAs se exportan desde el núcleo hasta el citoplasma por medio de la proteína Exportina5 (Xpo-5) y la GTPasa RAN (64, 65). En el citoplasma, los pre-miRNAs se procesan nuevamente por la enzima Dicer (66-68) que junto con TARBP2, eliminan la estructura en forma de horquilla, generando una molécula de dsRNA conocida como dúplex de miRNA (69). El dúplex de miRNA debe separarse para formar el miRNA maduro que es de cadena sencilla. La cadena seleccionada del dúplex de miRNA se incorpora al complejo multiprotéico conocido como RISC (*RNA-inducing silencing complex*), compuesto por los genes *EIF2C1*, *EIF2C2*, *SND1*, *GEMIN3*, *GEMIN4* y el complejo CCR-NOT (70). El miRNA ya maduro es transportado por el complejo RISC hasta el, o los ARN mensajeros (mRNA) objeto de la regulación (71). El miRNA se une al ARN mensajero por complementariedad de bases (Figura 8).



**Figura 8.** Descripción general de la biogénesis y mecanismo de acción de los miRNAs (adaptado de (72)).

Los miRNAs presentan una secuencia característica de reconocimiento de dianas de aproximadamente 7 pb conocida como región semilla o *seed*. El miRNA actúa por unión específica de la secuencia *seed* a una secuencia complementaria en la que cuando la complementariedad es exacta se produce la degradación del mRNA, mediante el complejo RISC. En el caso en el que no haya complementariedad total en la unión se produce el silenciamiento de la traducción (73).

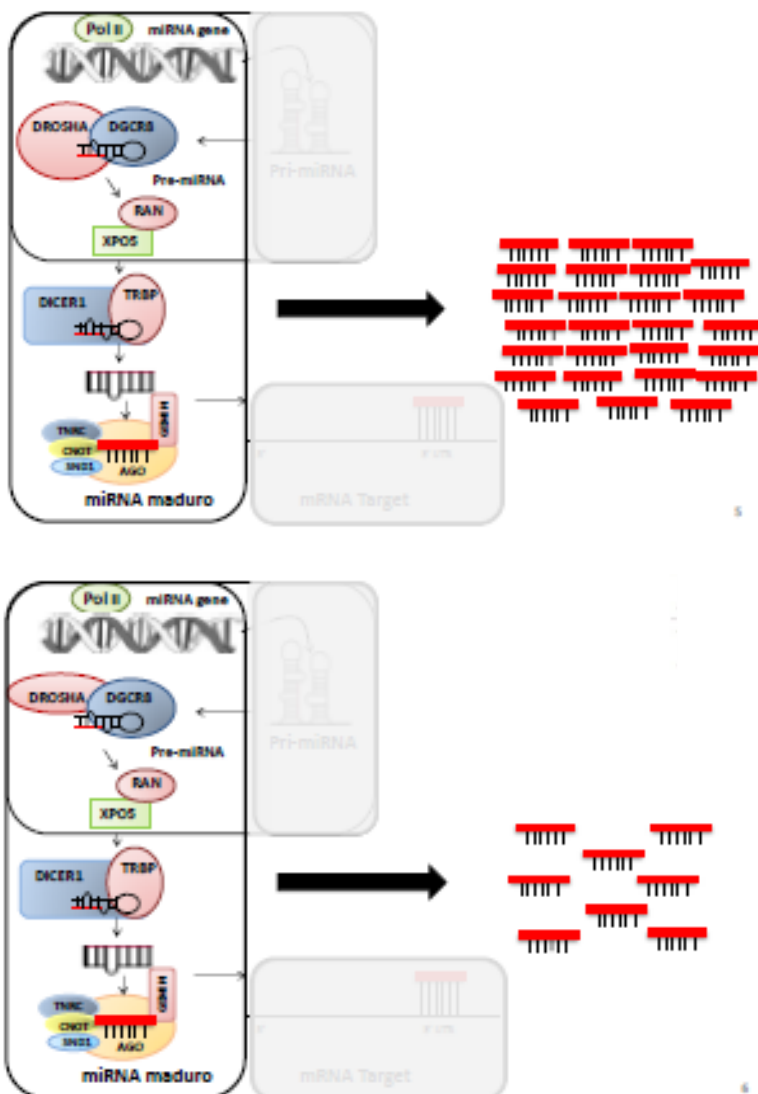
Los miRNAs regulan genes implicados en numerosos procesos biológicos como desarrollo, diferenciación y proliferación celular, así como hematopoyesis, angiogénesis y apoptosis (74). Sin embargo, debido a que la secuencia complementaria al *seed* de un miRNA, es corta, por probabilidad se podrá encontrar en más de un lugar de nuestro genoma. Por tanto, un miRNA puede degradar o reprimir la traducción de muchos mRNA dianas que contengan secuencias complementarias a su región *seed*. Pero también existe la posibilidad de que un gen pueda ser regulado por múltiples miRNAs (Figura 9). Para cada miRNA, hoy en día, existen muchas bases de datos (Mirwalk y Targetsca entre otras) que proponen *in silico* posibles dianas de miRNAs. Sin embargo, pocas interacciones están validadas experimentalmente.



**Figura 9.** Representación de la unión mediada por los miRNAs. A) un miRNA puede regular varias dianas, B) Un gen puede estar regulado por mas de un miRNA (elaboración propia).

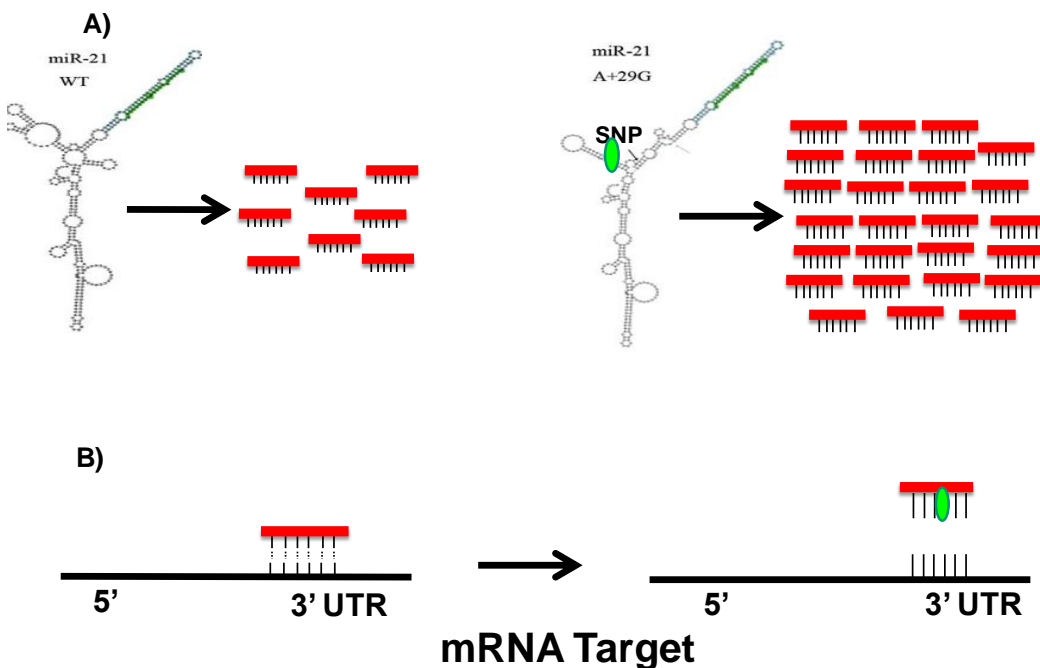
Además, los miRNAs pueden agruparse en familias, miRNAs que comparten la totalidad o parte de la secuencia de nucleótidos de la región *seed*; o en grupos génicos (*clusters* de miRNAs) formados por miRNAs localizados en la misma región dentro del genoma transcripto como una larga cadena de ARN (75). Al compartir la región *seed*, los miembros de una misma familia de miRNAs son potenciales reguladores del mismo conjunto de mRNAs (76, 77).

La regulación mediada por los miRNAs puede verse afectada tanto por alteraciones en los niveles de los miRNAs (debido a cambios en los genes de procesamiento y/o pre-miRNAs) o por cambios en la secuencia de unión a la diana. Por un lado, en cuanto a alteraciones en los genes de procesamiento de miRNAs, cualquier alteración en dichos genes puede cambiar los niveles de miRNAs que afectaran, a su vez, a la regulación de sus genes diana (78). En consecuencia, SNPs en genes de procesamiento podrían alterar la función de éstos y por tanto, alterar los niveles de los miRNAs (79) (Figura 10).



**Figura 10.** Variantes genéticas en genes de procesamiento de miRNAs (como el gen *DROSHA*) pueden alterar los niveles de los miRNAs (elaboración propia).

Además, la secuencia de los miRNAs determina por un lado, su estructura secundaria, y por otro lado, la especificidad de unión a sus dianas. Alteraciones en la estructura afectarán al procesamiento y por tanto, a los niveles de miRNAs y cambios en la secuencia *seed* afectarán a la unión con el mRNA. Por lo tanto, polimorfismos en el pri-, pre-, miRNA maduro pueden variar los niveles y la función de los miRNAs (Figura 11 A y B).



**Figura 11.** SNPs en el pre-miRNA pueden A) alterar la estructura secundaria del miRNA, afectando así los niveles de expresión o B) alterar la secuencia de unión del miRNA, alterando entonces la unión a su diana (elaboración propia).

## 2.2 Genes de procesamiento de miRNAs y cáncer

Recientemente, se ha demostrado la implicación de los genes de la ruta de procesamiento de los miRNAs en los procesos de transformación celular y tumorigénesis (80). Por ejemplo, varios genes de esta ruta están desregulados en cáncer, bien porque están sobre-expresados, como *EIF2C2* (complejo AGO) y *TARBP2* (complejo DICER) en cáncer de próstata, o porque están sub-expresados, como *DROSHA* y *DICER* en cáncer de mama (81). Diversos estudios han observado además, que alteraciones en los genes de esta ruta afectan a los niveles de miRNAs (82-85). De hecho, en cáncer de pulmón se ha demostrado que un SNP en *DROSHA* (rs640831) provoca la desregulación de 56 miRNAs (86). Otros ejemplos de polimorfismos en 7 genes de la ruta del procesamiento de miRNAs asociados con cáncer aparecen en la Tabla 4.

**Tabla 4.** SNPs en genes de procesamiento de miRNAs asociados a cáncer.

| Gen           | SNP       | Enfermedad                   | Referencia |
|---------------|-----------|------------------------------|------------|
| <b>TNRC6B</b> | rs139919  | Leucemia linfoblástica aguda | (87)       |
| <b>XPO5</b>   | rs11077   | Cárcinoma hepatocelular      | (88)       |
| <b>RAN</b>    | rs14035   | Cáncer oral                  | (89)       |
| <b>AGO</b>    | rs636832  | Cáncer pulmón                | (90)       |
| <b>DGCR8</b>  | rs417309  | Cáncer de mama               | (91)       |
|               | rs197412  | Cáncer oral                  | (89)       |
| <b>GEMIN3</b> | rs197414  | Cáncer de vejiga             | (93)       |
|               | rs197412  | Carcinoma renal              | (94)       |
| <b>GEMIN4</b> | rs2740348 | Cáncer próstata              | (95)       |
|               | rs7813    |                              |            |
|               | rs2740351 | Cáncer ovario                | (96)       |
|               | rs7813    |                              |            |
|               | rs2740351 | Cáncer renal                 | (94)       |
|               | rs7813    |                              |            |

A pesar de estas evidencias, por el momento existen pocos estudios que analicen la implicación de SNPs en genes de procesamiento de miRNAs en el riesgo a desarrollar OS.

### 2.3 miRNAs y cáncer

El papel de los ncRNAs en la tumorigénesis está hoy en día demostrado. Dentro de los ncRNA, los miRNAs han sido los más estudiados. Hasta la fecha, diversos trabajos han mostrado que la expresión de los miRNAs difiere entre tejido normal y tumoral (97-99), estando generalmente disminuida en tejidos tumorales (100). Estos estudios han permitido clasificar los miRNAs en dos grupos: oncomirs (miRNAs sobre-expresados en cáncer) y miRNAs supresores de tumores (miRNAs sub-expresados en cáncer).

En OS ya se han descrito miRNAs desregulados asociados con la enfermedad (101-103). Sin embargo, el papel de los miRNAs en la osteosarcomagenésis es aún desconocido. Se sabe que más de 600 miRNAs participan en la regulación de la osteogénesis, por lo que se piensa que la desregulación de cualquiera de estos miRNAs podría predisponer a enfermedades óseas (104). Por ejemplo, la ganancia de mir-34c inhibe la diferenciación de los osteoblastos y aumenta la osteoclastogénesis, debido a la supresión de la vía de señalización Notch, implicada en el mantenimiento del balance de proliferación y diferenciación celular (105). Otro ejemplo es la desregulación del *cluster* de miRNAs localizado en la región 14q32, asociado con la progresión y el pronóstico del OS (106).

El papel de los SNPs en pre-miRNAs/miRNAs (miR-SNPs) en la función de los miRNAs y su implicación en cáncer ha sido ampliamente estudiado. De hecho, ya se han realizado revisiones y meta-análisis (MA) que analizan la asociación entre miR-SNPs como rs2910164 en mir-146a, rs11614913 en mir-196a2, rs2292832 en mir-149 y rs3746444 en mir-499 y el riesgo de cáncer en más de 21 neoplasias (107, 108).

Específicamente en OS, solo se han realizado 2 estudios en los que se analizaron 4 SNPs en 4 miRNAs (mir-34b/c, mir-34a, mir-146 y mir-21) y de ellos, cabe destacar que se obtuvieron resultados significativos para 2 SNPs en miRNAs pertenecientes a la familia mir-34 (mir-34b/c y mir-34a) (109, 110). Sin embargo, a pesar de la importancia que parecen tener los miR-SNPs en el desarrollo del cáncer, son muy pocos los estudios realizados en OS.



## *Anexo*



**Tabla anexa 1.** Polimorfismos analizados en estudios de asociación de genes candidatos de la susceptibilidad del OS (continúa).

| N | Genes | SNP        | N SNPs estudiados | Origen | N casos | N controles | Metodo                | Alelo/Genotipo | OR   | IC95% | P valor | Referencia |
|---|-------|------------|-------------------|--------|---------|-------------|-----------------------|----------------|------|-------|---------|------------|
| 1 | ACD   | ND         | 4                 | EEUU   | 98      | 69          | iSelect from Illumina | ND             | ND   | ND    | ND      | (50)       |
|   |       | rs4879580  |                   | EEUU   | 96      | 1428        | Illumina SNParray     | C              | 1,14 | ND    | 0,63    | (111)      |
|   |       | rs7857056  |                   | EEUU   | 96      | 1428        | Illumina SNParray     | G              | 1,16 | ND    | 0,54    | (111)      |
|   |       | rs10970943 |                   | EEUU   | 96      | 1428        | Illumina SNParray     | T              | 0,82 | ND    | 0,28    | (111)      |
|   |       | rs7855483  |                   | EEUU   | 96      | 1428        | Illumina SNParray     | C              | 0,76 | ND    | 0,22    | (111)      |
|   |       | rs1023087  |                   | EEUU   | 96      | 1428        | Illumina SNParray     | G              | 0,85 | ND    | 0,46    | (111)      |
|   |       | rs7866419  |                   | EEUU   | 96      | 1428        | Illumina SNParray     | A              | 0,95 | ND    | 0,72    | (111)      |
|   |       | rs1041320  |                   | EEUU   | 96      | 1428        | Illumina SNParray     | C              | ND   | ND    | ND      | (111)      |
|   |       | rs1041321  |                   | EEUU   | 96      | 1428        | Illumina SNParray     | C              | 1,00 | ND    | 0,99    | (111)      |
|   |       | rs7847742  |                   | EEUU   | 96      | 1428        | Illumina SNParray     | T              | 1,15 | ND    | 0,36    | (111)      |
|   |       | rs10813808 |                   | EEUU   | 96      | 1428        | Illumina SNParray     | T              | 0,98 | ND    | 0,89    | (111)      |
|   |       | rs6476361  |                   | EEUU   | 96      | 1428        | Illumina SNParray     | A              | 0,94 | ND    | 0,69    | (111)      |
|   |       | rs10758138 |                   | EEUU   | 96      | 1428        | Illumina SNParray     | T              | 1,15 | ND    | 0,36    | (111)      |
|   |       | rs17288067 |                   | EEUU   | 96      | 1428        | Illumina SNParray     | A              | 0,73 | ND    | 0,17    | (111)      |
|   |       | rs4442231  |                   | EEUU   | 96      | 1428        | Illumina SNParray     | T              | 1,16 | ND    | 0,55    | (111)      |
|   |       | rs11793098 |                   | EEUU   | 96      | 1428        | Illumina SNParray     | G              | 0,69 | ND    | 0,04    | (111)      |
|   |       | rs4879583  |                   | EEUU   | 96      | 1428        | Illumina SNParray     | A              | 0,81 | ND    | 0,40    | (111)      |
|   |       | rs13292540 |                   | EEUU   | 96      | 1428        | Illumina SNParray     | T              | 1,06 | ND    | 0,72    | (111)      |
|   |       | rs7026133  | 35                | EEUU   | 96      | 1428        | Illumina SNParray     | T              | 1,40 | ND    | 0,14    | (111)      |
|   |       | rs10970971 |                   | EEUU   | 96      | 1428        | Illumina SNParray     | G              | 1,05 | ND    | 0,75    | (111)      |
|   |       | rs10813813 |                   | EEUU   | 96      | 1428        | Illumina SNParray     | T              | 1,00 | ND    | 1,00    | (111)      |
|   |       | rs7032871  |                   | EEUU   | 96      | 1428        | Illumina SNParray     | T              | 0,93 | ND    | 0,67    | (111)      |
|   |       | rs10813814 |                   | EEUU   | 96      | 1428        | Illumina SNParray     | A              | 1,06 | ND    | 0,72    | (111)      |
|   |       | rs2375965  |                   | EEUU   | 96      | 1428        | Illumina SNParray     | A              | ND   | ND    | ND      | (111)      |
|   |       | rs4878497  |                   | EEUU   | 96      | 1428        | Illumina SNParray     | G              | 0,94 | ND    | 0,69    | (111)      |
|   |       | rs10758139 |                   | EEUU   | 96      | 1428        | Illumina SNParray     | G              | 0,93 | ND    | 0,66    | (111)      |
|   |       | rs7022554  |                   | EEUU   | 96      | 1428        | Illumina SNParray     | A              | 1,25 | ND    | 0,14    | (111)      |
|   |       | rs12238573 |                   | EEUU   | 96      | 1428        | Illumina SNParray     | T              | ND   | ND    | ND      | (111)      |
|   |       | rs12985    |                   | EEUU   | 96      | 1428        | Illumina SNParray     | C              | 1,05 | ND    | 0,77    | (111)      |
|   |       | rs10970985 |                   | EEUU   | 96      | 1428        | Illumina SNParray     | C              | 1,17 | ND    | 0,32    | (111)      |
|   |       | rs10970986 |                   | EEUU   | 96      | 1428        | Illumina SNParray     | C              | 1,02 | ND    | 0,93    | (111)      |
|   |       | rs12006123 |                   | EEUU   | 96      | 1428        | Illumina SNParray     | A              | 0,83 | ND    | 0,32    | (111)      |
|   |       | rs12555727 |                   | EEUU   | 96      | 1428        | Illumina SNParray     | A              | 0,80 | ND    | 0,25    | (111)      |
|   |       | rs12236816 |                   | EEUU   | 96      | 1428        | Illumina SNParray     | G              | ND   | ND    | ND      | (111)      |
|   |       | rs10738890 |                   | EEUU   | 96      | 1428        | Illumina SNParray     | C              | 1,01 | ND    | 0,97    | (111)      |
|   |       | rs3205166  |                   | EEUU   | 96      | 1428        | Illumina SNParray     | G              | 1,00 | ND    | 0,99    | (111)      |

**Tabla anexa 1.** Polimorfismos analizados en estudios de asociación de genes candidato de la susceptibilidad del OS (continúa).

| N  | Genes          | SNP        | N SNPs estudiados | Origen | N casos | N controles | Metodo                       | Alelo/Genotipo | OR   | IC95%      | P valor    | Referencia |
|----|----------------|------------|-------------------|--------|---------|-------------|------------------------------|----------------|------|------------|------------|------------|
| 3  | AKR1C3         | rs11252932 | 1                 | EEUU   | 96      | 1426        | iSelect from Illumina        | G              | 1,62 | 1,07-2,45  | 0,02       | (35)       |
| 4  | AKT            | rs6973569  | 1                 | China  | 59      | 63          | TaqMan                       | AG             | 1,19 | 0,49-2,86  | ND         | (112)      |
| 5  | ALKBH3         | rs12804822 | 32                | EEUU   | 96      | 1426        | iSelect from Illumina        | ND             | ND   | ND         | 0,20       | (35)       |
| 6  | APEX1          | rs12878052 | 37                | EEUU   | 96      | 1426        | iSelect from Illumina        | ND             | ND   | ND         | 0,06       | (35)       |
| 7  | APTX           | rs10971259 | 8                 | EEUU   | 96      | 1426        | iSelect from Illumina        | T              | 1,79 | 1,17-2,75  | 0,008      | (35)       |
|    |                | rs10971263 | 8                 | EEUU   | 96      | 1426        | iSelect from Illumina        | G              | 0,46 | 0,24-0,87  | 0,017      | (35)       |
| 8  | AR             | rs1415270  | 1                 | EEUU   | 290     | NA          | Sequenom platform Iplex Gold | ND             | 0,53 | ND         | <0,0001    | (44)       |
| 9  | ARHGAP35       | rs1052667  | 1                 | China  | 247     | 428         | TaqMan                       | TT             | 7,35 | 3,95-13,68 | 1,92x10-11 | (113)      |
| 10 | ATM            | rs1800889  | 20                | EEUU   | 96      | 1426        | iSelect from Illumina        | T              | 0,27 | 0,08-0,87  | 0,028      | (35)       |
|    |                | rs228606   |                   | EEUU   | 96      | 1426        | iSelect from Illumina        | T              | 1,39 | 1,03-1,88  | 0,029      | (35)       |
|    |                | rs618499   |                   | EEUU   | 96      | 1426        | iSelect from Illumina        | A              | 0,73 | 0,54-1,00  | 0,049      | (35)       |
|    |                | rs1800889  |                   | EEUU   | 98      | 69          | iSelect from Illumina        | T              | 0,27 | 0,08-0,87  | 0,028      | (50)       |
|    |                | rs228606   | 36                | EEUU   | 98      | 69          | iSelect from Illumina        | T              | 1,39 | 1,03-1,88  | 0,029      | (50)       |
|    |                | rs618499   |                   | EEUU   | 98      | 69          | iSelect from Illumina        | A              | 0,73 | 0,54-0,99  | 0,049      | (50)       |
| 11 | ATR            | rs7632782  | 18                | EEUU   | 96      | 1426        | iSelect from Illumina        | ND             | ND   | ND         | 0,07       | (35)       |
| 12 | BLM            | rs2532105  | 30                | EEUU   | 96      | 1426        | iSelect from Illumina        | A              | 1,58 | 1,03-2,43  | 0,04       | (35)       |
|    |                | rs2518968  |                   | EEUU   | 96      | 1426        | iSelect from Illumina        | C              | 1,37 | 1,01-1,85  | 0,04       | (35)       |
|    |                | rs2532105  | 31                | EEUU   | 98      | 69          | iSelect from Illumina        | A              | 1,58 | 1,03-2,42  | 0,04       | (50)       |
|    |                | rs2518968  |                   | EEUU   | 98      | 69          | iSelect from Illumina        | C              | 1,37 | 1,01-1,85  | 0,04       | (50)       |
| 13 | BMP6           | rs270407   | 43                | EEUU   | 96      | 1426        | iSelect from Illumina        | C              | 1,46 | 1,06-2,00  | 0,02       | (35)       |
|    |                | rs1322239  |                   | EEUU   | 96      | 1426        | iSelect from Illumina        | T              | 0,57 | 0,34-0,95  | 0,03       | (35)       |
|    |                | rs911749   |                   | EEUU   | 96      | 1426        | iSelect from Illumina        | A              | 0,62 | 0,40-0,97  | 0,04       | (35)       |
|    |                | rs12210175 |                   | EEUU   | 96      | 1426        | iSelect from Illumina        | G              | 1,36 | 1,01-1,83  | 0,04       | (35)       |
|    |                | rs270398   |                   | EEUU   | 96      | 1426        | iSelect from Illumina        | A              | 1,54 | 1,01-2,34  | 0,04       | (35)       |
|    |                | rs267174   |                   | EEUU   | 96      | 1426        | iSelect from Illumina        | A              | 0,73 | 0,53-1,00  | 0,05       | (35)       |
| 14 | BRCA1          | rs3737559  | 11                | EEUU   | 96      | 1426        | iSelect from Illumina        | T              | 1,68 | 1,02-2,76  | 0,04       | (35)       |
| 15 | BRCA2          | rs206117   | 43                | EEUU   | 96      | 1426        | iSelect from Illumina        | ND             | ND   | ND         | 0,26       | (35)       |
| 16 | BRIP1          | rs9908659  | 18                | EEUU   | 96      | 1426        | iSelect from Illumina        | C              | 0,64 | 0,46-0,88  | 0,005      | (35)       |
|    |                | rs12937080 |                   | EEUU   | 96      | 1426        | iSelect from Illumina        | G              | 2,12 | 1,09-4,13  | 0,027      | (35)       |
| 17 | C19orf40       | rs16967668 | 19                | EEUU   | 96      | 1426        | iSelect from Illumina        | T              | 1,59 | 1,04-2,43  | 0,03       | (35)       |
|    |                | rs4805834  |                   | EEUU   | 96      | 1426        | iSelect from Illumina        | T              | 0,57 | 0,33-0,99  | 0,04       | (35)       |
| 18 | CASC8 upstream | rs10808555 | 4                 | EEUU   | 99      | 1365        | iSelect from Illumina        | AG             | 1,61 | 1,04-2,48  | 0,03       | (114)      |
|    |                | rs17766217 |                   | EEUU   | 99      | 1365        | iSelect from Illumina        | CC             | 0,56 | 0,28-1,13  | 0,1        | (114)      |
|    |                | rs12155672 |                   | EEUU   | 99      | 1365        | iSelect from Illumina        | AA             | 1,59 | 0,92-2,76  | 0,098      | (114)      |
|    |                | rs7386167  |                   | EEUU   | 99      | 1365        | iSelect from Illumina        | AA             | 1,95 | 1,12-3,39  | 0,018      | (114)      |

**Tabla anexa 1.** Polimorfismos analizados en estudios de asociación de genes candidato de la susceptibilidad del OS (continúa).

| N  | Genes  | SNP        | N SNPs estudiados | Origen | N casos | N controles | Metodo                | Alelo/Genotipo | OR   | IC95%     | P valor | Referencia |
|----|--------|------------|-------------------|--------|---------|-------------|-----------------------|----------------|------|-----------|---------|------------|
| 19 | CCNH   | rs7702564  | 12                | EEUU   | 96      | 1426        | iSelect from Illumina | G              | 0,73 | 0,54-0,99 | 0,05    | (35)       |
|    |        | rs3093816  | 12                | EEUU   | 96      | 1426        | iSelect from Illumina | G              | 0,72 | 0,53-0,99 | 0,036   | (35)       |
| 20 | CD86+  | rs1129055  | 1                 | China  | 205     | 216         | PCR-RFLP              | A              | 1,43 | 1,08-1,88 | 0,01    | (115)      |
| 21 | CDK7   | rs12656918 | 11                | EEUU   | 96      | 1426        | iSelect from Illumina | ND             | ND   | ND        | 0,41    | (35)       |
| 22 | CDKN1A | rs6912480  | 21                | EEUU   | 96      | 1426        | iSelect from Illumina | ND             | ND   | ND        | 0,1300  | (35)       |
| 23 | CDKN1B | rs10492237 | 12                | EEUU   | 96      | 1426        | iSelect from Illumina | C              | 1,75 | 1,09-2,81 | 0,02    | (35)       |
| 24 | CDKN2A | rs10757261 | 14                | EEUU   | 96      | 1428        | Illumina SNParray     | A              | 0,87 | ND        | 0,37    | (111)      |
| 25 | CDKN2A | rs3731257  | 29                | EEUU   | 96      | 1426        | iSelect from Illumina | A              | 1,44 | 1,05-1,96 | 0,02    | (35)       |
|    |        | rs10757261 | 17                | EEUU   | 96      | 1428        | Illumina SNParray     | A              | 0,87 | ND        | 0,37    | (111)      |
|    |        | rs717326   |                   | EEUU   | 96      | 1428        | Illumina SNParray     | C              | 0,89 | ND        | 0,67    | (111)      |
|    |        | rs7041637  |                   | EEUU   | 96      | 1428        | Illumina SNParray     | A              | 1,33 | ND        | 0,07    | (111)      |
|    |        | rs3731257  |                   | EEUU   | 96      | 1428        | Illumina SNParray     | A              | 1,44 | ND        | 0,02    | (111)      |
|    |        | rs3088440  |                   | EEUU   | 96      | 1428        | Illumina SNParray     | A              | 0,75 | ND        | 0,39    | (111)      |
|    |        | rs11515    |                   | EEUU   | 96      | 1428        | Illumina SNParray     | C              | 0,88 | ND        | 0,61    | (111)      |
|    |        | rs2811708  |                   | EEUU   | 96      | 1428        | Illumina SNParray     | T              | 0,92 | ND        | 0,62    | (111)      |
|    |        | rs3731239  |                   | EEUU   | 96      | 1428        | Illumina SNParray     | G              | 0,84 | ND        | 0,27    | (111)      |
|    |        | rs4074785  |                   | EEUU   | 96      | 1428        | Illumina SNParray     | A              | 0,86 | ND        | 0,61    | (111)      |
|    |        | rs3731222  |                   | EEUU   | 96      | 1428        | Illumina SNParray     | C              | 0,96 | ND        | 0,88    | (111)      |
|    |        | rs3731217  |                   | EEUU   | 96      | 1428        | Illumina SNParray     | C              | 1,01 | ND        | 0,98    | (111)      |
|    |        | rs7036656  |                   | EEUU   | 96      | 1428        | Illumina SNParray     | C              | 0,95 | ND        | 0,74    | (111)      |
|    |        | rs3218020  |                   | EEUU   | 96      | 1428        | Illumina SNParray     | A              | 1,22 | ND        | 0,18    | (111)      |
|    |        | rs2811712  |                   | EEUU   | 96      | 1428        | Illumina SNParray     | G              | 0,69 | ND        | 0,22    | (111)      |
|    |        | rs3218018  |                   | EEUU   | 96      | 1428        | Illumina SNParray     | G              | 0,55 | ND        | 0,08    | (111)      |
|    |        | rs3218009  |                   | EEUU   | 96      | 1428        | Illumina SNParray     | G              | 0,78 | ND        | 0,35    | (111)      |
|    |        | rs3731257  | 29                | EEUU   | 96      | 1426        | iSelect from Illumina | A              | 1,44 | 1,05-1,96 | 0,02    | (35)       |

**Tabla anexa 1.** Polimorfismos analizados en estudios de asociación de genes candidato de la susceptibilidad del OS (continúa).

| N  | Genes    | SNP        | N SNPs estudiados | Origen | N casos | N controles | Metodo                | Alelo/Genotipo | OR   | IC95%     | P valor | Referencia |
|----|----------|------------|-------------------|--------|---------|-------------|-----------------------|----------------|------|-----------|---------|------------|
| 26 | CDKN2B   | rs10738604 | 6                 | EEUU   | 96      | 1426        | iSelect from Illumina | A              | 1,37 | 1,02-1,84 | 0,04    | (35)       |
|    |          | rs3217992  |                   | EEUU   | 96      | 1428        | Illumina SNParray     | T              | 1,13 | ND        | 0,41    | (111)      |
|    |          | rs1063192  |                   | EEUU   | 96      | 1428        | Illumina SNParray     | G              | 1,01 | ND        | 0,96    | (111)      |
|    |          | rs3217986  |                   | EEUU   | 96      | 1428        | Illumina SNParray     | G              | 0,87 | ND        | 0,63    | (111)      |
|    |          | rs495490   |                   | EEUU   | 96      | 1428        | Illumina SNParray     | G              | 1,18 | ND        | 0,53    | (111)      |
|    |          | rs575427   |                   | EEUU   | 96      | 1428        | Illumina SNParray     | G              | 1,19 | ND        | 0,50    | (111)      |
|    |          | rs573687   |                   | EEUU   | 96      | 1428        | Illumina SNParray     | A              | 0,88 | ND        | 0,41    | (111)      |
|    |          | rs13298881 |                   | EEUU   | 96      | 1428        | Illumina SNParray     | C              | 1,07 | ND        | 0,80    | (111)      |
|    |          | rs10811640 |                   | EEUU   | 96      | 1428        | Illumina SNParray     | T              | 1,21 | ND        | 0,21    | (111)      |
|    |          | rs2106119  |                   | EEUU   | 96      | 1428        | Illumina SNParray     | G              | 1,27 | ND        | 0,11    | (111)      |
|    |          | rs643319   |                   | EEUU   | 96      | 1428        | Illumina SNParray     | A              | 0,82 | ND        | 0,18    | (111)      |
|    |          | rs518394   |                   | EEUU   | 96      | 1428        | Illumina SNParray     | C              | 0,86 | ND        | 0,34    | (111)      |
|    |          | rs10738604 |                   | EEUU   | 96      | 1428        | Illumina SNParray     | A              | 1,36 | ND        | 0,04    | (111)      |
|    |          | rs615552   |                   | EEUU   | 96      | 1428        | Illumina SNParray     | C              | 0,89 | ND        | 0,45    | (111)      |
|    |          | rs7049105  |                   | EEUU   | 96      | 1428        | Illumina SNParray     | G              | 1,18 | ND        | 0,26    | (111)      |
| 27 | CDKN2BAS | rs4977750  | 16                | EEUU   | 96      | 1428        | Illumina SNParray     | C              | 0,59 | ND        | 0,05    | (111)      |
|    |          | rs10965197 |                   | EEUU   | 96      | 1428        | Illumina SNParray     | T              | 0,83 | ND        | 0,25    | (111)      |
|    |          | rs564398   |                   | EEUU   | 96      | 1428        | Illumina SNParray     | C              | 0,95 | ND        | 0,75    | (111)      |
|    |          | rs17694493 |                   | EEUU   | 96      | 1428        | Illumina SNParray     | G              | 0,79 | ND        | 0,37    | (111)      |
|    |          | rs11790231 |                   | EEUU   | 96      | 1428        | Illumina SNParray     | A              | 0,76 | ND        | 0,34    | (111)      |
|    |          | rs1011970  |                   | EEUU   | 96      | 1428        | Illumina SNParray     | T              | 0,64 | ND        | 0,08    | (111)      |
|    |          | rs10811650 |                   | EEUU   | 96      | 1428        | Illumina SNParray     | G              | 1,24 | ND        | 0,15    | (111)      |
|    |          | rs4977756  |                   | EEUU   | 96      | 1428        | Illumina SNParray     | G              | 0,91 | ND        | 0,55    | (111)      |
|    |          | rs16905599 |                   | EEUU   | 96      | 1428        | Illumina SNParray     | A              | 0,70 | ND        | 0,28    | (111)      |
|    |          | rs1412832  |                   | EEUU   | 96      | 1428        | Illumina SNParray     | C              | 0,85 | ND        | 0,32    | (111)      |
|    |          | rs10965228 |                   | EEUU   | 96      | 1428        | Illumina SNParray     | G              | 1,25 | ND        | 0,39    | (111)      |
|    |          | rs1333040  |                   | EEUU   | 96      | 1428        | Illumina SNParray     | C              | 0,86 | ND        | 0,33    | (111)      |
|    |          | rs10757274 |                   | EEUU   | 96      | 1428        | Illumina SNParray     | G              | 1,03 | ND        | 0,86    | (111)      |
|    |          | rs944797   |                   | EEUU   | 96      | 1428        | Illumina SNParray     | T              | 0,95 | ND        | 0,71    | (111)      |
|    |          | rs10757278 |                   | EEUU   | 96      | 1428        | Illumina SNParray     | G              | 1,07 | ND        | 0,67    | (111)      |
|    |          | rs10811661 |                   | EEUU   | 96      | 1428        | Illumina SNParray     | C              | 1,25 | ND        | 0,32    | (111)      |
| 28 | CDKN2C   | rs6668495  | 5                 | EEUU   | 96      | 1426        | iSelect from Illumina | A              | 1,43 | 1,05-1,93 | 0,02    | (35)       |
| 29 | CDKN2D   | rs10403668 | 6                 | EEUU   | 96      | 1426        | iSelect from Illumina | ND             | ND   | ND        | 0,21    | (35)       |
| 30 | CHEK1    | rs492510   | 10                | EEUU   | 96      | 1426        | iSelect from Illumina | ND             | ND   | ND        | 0,06    | (35)       |
| 31 | CHEK2    | rs5752785  | 21                | EEUU   | 96      | 1426        | iSelect from Illumina | ND             | ND   | ND        | 0,08    | (35)       |

**Tabla anexa 1.** Polimorfismos analizados en estudios de asociación de genes candidato de la susceptibilidad del OS (continúa).

| N  | Genes   | SNP        | N SNPs estudiados | Origen | N casos | N controles | Metodo               | Alelo/Genotipo | OR   | IC95%     | P valor | Referencia |
|----|---------|------------|-------------------|--------|---------|-------------|----------------------|----------------|------|-----------|---------|------------|
| 32 | COL1A1  | rs17639446 | 1                 | EEUU   | 96      | 1426        | iSelect from Ilumina | C              | 1,60 | 1,02-2,52 | 0,04    | (35)       |
|    |         | rs1800012  | 1                 | Spain  | 72      | 143         | PCR-RFLP             | ND             | ND   | ND        | NS      | (49)       |
|    |         | rs1061970  | 2                 | China  | 189     | 195         | TaqMan               | C              | 0,44 | 0,22-0,89 | 0,022   | (48)       |
|    |         | rs2075559  | 2                 | China  | 189     | 195         | TaqMan               | G              | 0,38 | 0,16-0,91 | 0,029   | (48)       |
| 33 | COL1A2  | rs760043   | 42                | EEUU   | 96      | 1426        | iSelect from Ilumina | G              | 0,41 | 0,24-0,71 | 0,001   | (35)       |
|    |         | rs42527    |                   | EEUU   | 96      | 1426        | iSelect from Ilumina | T              | 0,56 | 0,38-0,83 | 0,004   | (35)       |
|    |         | rs2521205  |                   | EEUU   | 96      | 1426        | iSelect from Ilumina | T              | 1,49 | 1,11-2,00 | 0,01    | (35)       |
|    |         | rs42521    |                   | EEUU   | 96      | 1426        | iSelect from Ilumina | C              | 0,66 | 0,48-0,91 | 0,01    | (35)       |
|    |         | rs17166206 |                   | EEUU   | 96      | 1426        | iSelect from Ilumina | T              | 0,46 | 0,24-0,87 | 0,02    | (35)       |
|    |         | rs6970279  |                   | EEUU   | 96      | 1426        | iSelect from Ilumina | A              | 0,67 | 0,46-0,97 | 0,03    | (35)       |
|    |         | rs7788014  |                   | EEUU   | 96      | 1426        | iSelect from Ilumina | G              | 0,70 | 0,49-1,00 | 0,05    | (35)       |
| 34 | CTGF    | rs928501   | 13                | EEUU   | 96      | 1426        | iSelect from Ilumina | T              | 0,58 | 0,39-0,84 | 0,005   | (35)       |
|    |         | rs4897555  |                   | EEUU   | 96      | 1426        | iSelect from Ilumina | C              | 1,76 | 1,11-2,79 | 0,016   | (35)       |
| 35 | CTLA4   | 1661A/G    | 4                 | China  | 267     | 282         | PCR-RFLP             | G              | 1,16 | 0,86-1,58 | 0,33    | (56)       |
|    |         | c.75G>C    | 2                 | China  | 415     | 431         | PCR-RFLP             | C              | 1,3  | 1,06-1,60 | ND      | (55)       |
|    |         | +49G/A     | 1                 | China  | 205     | 216         | PCR                  | AA             | 2,27 | 1,21-4,25 | 0,01    | (57)       |
|    |         | 318C/T     | 4                 | China  | 267     | 282         | PCR-RFLP             | T              | 1,25 | 0,92-1,70 | 0,15    | (116)      |
|    |         | 49G/A      | 4                 | China  | 267     | 282         | PCR-RFLP             | A              | 1,32 | 1,03-1,69 | 0,03    | (116)      |
|    |         | CT60A/G    | 4                 | China  | 267     | 282         | PCR-RFLP             | A              | 1,07 | 0,79-1,45 | 0,66    | (116)      |
|    |         | c.326G>A   | 2                 | China  | 415     | 431         | PCR-RFLP             | A              | 1,31 | 1,07-1,61 | ND      | (55)       |
| 36 | CYP11B1 | rs4736349  | 6                 | EEUU   | 96      | 1426        | iSelect from Ilumina | T              | 0,70 | 0,52-0,95 | 0,02    | (35)       |
| 37 | CYP11B2 | rs7016924  | 9                 | EEUU   | 96      | 1426        | iSelect from Ilumina | A              | 0,72 | 0,53-0,97 | 0,03    | (35)       |
| 38 | CYP17A1 | rs2486758  | 14                | EEUU   | 96      | 1426        | iSelect from Ilumina | C              | 1,55 | 1,03-2,35 | 0,04    | (35)       |
| 39 | CYP19A1 | rs28757184 | 82                | EEUU   | 96      | 1426        | iSelect from Ilumina | ND             | 2,4  | 1,28-4,45 | 0,006   | (35)       |
|    |         | rs1902584  |                   | EEUU   | 96      | 1426        | iSelect from Ilumina | T              | 1,8  | 1,103-043 | 0,020   | (35)       |
|    |         | rs868475   |                   | EEUU   | 96      | 1426        | iSelect from Ilumina | C              | 0,4  | 0,14-0,89 | 0,026   | (35)       |
|    |         | rs2470150  |                   | EEUU   | 96      | 1426        | iSelect from Ilumina | G              | 0,4  | 0,18-0,95 | 0,038   | (35)       |
| 40 | DCLRE1A | rs11196524 | 8                 | EEUU   | 96      | 1426        | iSelect from Ilumina | ND             | ND   | ND        | 0,10    | (35)       |
| 41 | DCLRE1B | rs1217401  | 10                | EEUU   | 96      | 1426        | iSelect from Ilumina | ND             | ND   | ND        | 0,09    | (35)       |
| 42 | DCLRE1C | rs7921238  | 15                | EEUU   | 96      | 1426        | iSelect from Ilumina | ND             | ND   | ND        | 0,05    | (35)       |
| 43 | DDB1    | rs6591651  | 2                 | EEUU   | 96      | 1426        | iSelect from Ilumina | ND             | ND   | ND        | 0,13    | (35)       |
| 44 | DDB2    | rs4647709  | 11                | EEUU   | 96      | 1426        | iSelect from Ilumina | ND             | ND   | ND        | 0,16    | (35)       |

**Tabla anexa 1.** Polimorfismos analizados en estudios de asociación de genes candidato de la susceptibilidad del OS (continúa).

| N  | Genes   | SNP        | N SNPs estudiados | Origen | N casos | N controles | Metodo                | Alelo/Genotipo | OR   | IC95%     | P valor | Referencia |
|----|---------|------------|-------------------|--------|---------|-------------|-----------------------|----------------|------|-----------|---------|------------|
| 45 | DDX1    | rs2890489  | 14                | EEUU   | 98      | 69          | iSelect from Illumina | G              | 1,49 | 1,11-2,01 | 0,009   | (50)       |
|    |         | rs10169288 |                   | EEUU   | 98      | 69          | iSelect from Illumina | G              | 1,49 | 1,10-2,01 | 0,01    | (50)       |
|    |         | rs4668944  |                   | EEUU   | 98      | 69          | iSelect from Illumina | A              | 1,41 | 1,05-1,89 | 0,02    | (50)       |
|    |         | rs807629   |                   | EEUU   | 98      | 69          | iSelect from Illumina | G              | 1,38 | 1,02-1,87 | 0,04    | (50)       |
| 46 | DMC1    | rs1980455  | 9                 | EEUU   | 96      | 1426        | iSelect from Illumina | ND             | ND   | ND        | 0,19    | (35)       |
| 47 | DOCK5   | rs2709618  | 1                 | EEUU   | 104     | 74          | ABI sequencer         | ND             | ND   | ND        | NS      | (45)       |
| 48 | DUT     | rs16960758 | 11                | EEUU   | 96      | 1426        | iSelect from Illumina | C              | 1,68 | 1,10-2,57 | 0,02    | (35)       |
|    |         | rs8037626  |                   | EEUU   | 96      | 1426        | iSelect from Illumina | G              | 1,65 | 1,07-2,53 | 0,02    | (35)       |
|    |         | rs3784619  |                   | EEUU   | 96      | 1426        | iSelect from Illumina | G              | 1,59 | 1,03-2,43 | 0,03    | (35)       |
| 49 | E2F1    | rs6059418  | 3                 | EEUU   | 96      | 1426        | iSelect from Illumina | ND             | ND   | ND        | 0,07    | (35)       |
| 50 | EIF2AK2 | rs2307466  | 24                | EEUU   | 96      | 1426        | iSelect from Illumina | C              | 2,00 | 1,18-3,39 | 0,01    | (35)       |
|    |         | rs4670185  |                   | EEUU   | 96      | 1426        | iSelect from Illumina | G              | 1,73 | 1,01-2,96 | 0,05    | (35)       |
| 51 | EME1    | rs16948981 | 9                 | EEUU   | 96      | 1426        | iSelect from Illumina | ND             | ND   | ND        | 0,23    | (35)       |
| 52 | EME2    | rs17135510 | 14                | EEUU   | 96      | 1426        | iSelect from Illumina | G              | ND   | ND        | 0,04    | (35)       |
| 53 | ER      | Pvull      | 1                 | Spain  | 72      | 143         | PCR-RFLP              | ND             | ND   | ND        | NS      | (49)       |
| 54 | ERCC1   | rs3212986  | 2                 | Italia | 130     | 250         | TaqMan                | ND             | ND   | ND        | 0,31    | (117)      |
|    |         | rs11615    |                   | Italia | 130     | 250         | TaqMan                | ND             | ND   | ND        | 0,37    | (117)      |
|    |         | rs11615    |                   | EEUU   | 96      | 1426        | iSelect from Illumina | ND             | ND   | ND        | 0,18    | (35)       |
| 55 | ERCC2   | rs11878644 | 9                 | EEUU   | 96      | 1426        | iSelect from Illumina | ND             | ND   | ND        | 0,07    | (35)       |
| 56 | ERCC3   | rs3088374  | 17                | EEUU   | 96      | 1426        | iSelect from Illumina | ND             | ND   | ND        | 0,07    | (35)       |
| 57 | ERCC4   | rs1799797  | 30                | EEUU   | 96      | 1426        | iSelect from Illumina | A              | 0,65 | 0,46-0,94 | 0,02    | (35)       |
|    |         | rs6498486  |                   | EEUU   | 96      | 1426        | iSelect from Illumina | C              | 0,66 | 0,46-0,95 | 0,02    | (35)       |
|    |         | rs1799801  |                   | EEUU   | 96      | 1426        | iSelect from Illumina | C              | 0,68 | 0,48-0,96 | 0,03    | (35)       |
|    |         | rs9646271  |                   | EEUU   | 96      | 1426        | iSelect from Illumina | T              | 0,68 | 0,48-0,96 | 0,03    | (35)       |
|    |         | rs4781563  |                   | EEUU   | 96      | 1426        | iSelect from Illumina | A              | 0,68 | 0,48-0,97 | 0,03    | (35)       |
|    |         | rs3136189  |                   | EEUU   | 96      | 1426        | iSelect from Illumina | C              | 0,70 | 0,49-0,99 | 0,04    | (35)       |
| 58 | ERCC5   | rs7334764  | 19                | EEUU   | 96      | 1426        | iSelect from Illumina | ND             | ND   | ND        | 0,06    | (35)       |
| 59 | ERCC6   | rs4253200  | 29                | EEUU   | 96      | 1426        | iSelect from Illumina | C              | 1,98 | 1,09-3,61 | 0,02    | (35)       |
|    |         | rs3810944  |                   | EEUU   | 96      | 1426        | iSelect from Illumina | G              | 1,62 | 1,02-2,57 | 0,04    | (35)       |
|    |         | rs4253099  |                   | EEUU   | 96      | 1426        | iSelect from Illumina | A              | 1,61 | 1,01-2,56 | 0,04    | (35)       |
|    |         | rs4253211  |                   | EEUU   | 96      | 1426        | iSelect from Illumina | G              | 1,60 | 1,01-2,54 | 0,05    | (35)       |
| 60 | ERCC8   | rs7722373  | 15                | EEUU   | 96      | 1426        | iSelect from Illumina | ND             | ND   | ND        | 0,26    | (35)       |
| 61 | ESR1    | rs4986934  | 85                | EEUU   | 96      | 1426        | iSelect from Illumina | T              | 2,22 | 1,19-4,14 | 0,01    | (35)       |
| 62 | ESR2    | rs1256064  | 33                | EEUU   | 96      | 1426        | iSelect from Illumina | G              | 1,63 | 1,02-2,59 | 0,04    | (35)       |
| 63 | EXO1    | rs1635502  | 26                | EEUU   | 96      | 1426        | iSelect from Illumina | ND             | ND   | ND        | 0,13    | (35)       |

**Tabla anexa 1.** Polimorfismos analizados en estudios de asociación de genes candidato de la susceptibilidad del OS (continúa).

| N  | Genes  | SNP        | N SNPs estudiados | Origen | N casos | N controles | Metodo                   | Alelo/Genotipo | OR   | IC95%     | P valor | Referencia |
|----|--------|------------|-------------------|--------|---------|-------------|--------------------------|----------------|------|-----------|---------|------------|
| 64 | FANCA  | rs1800287  | 43                | EEUU   | 96      | 1426        | iSelect from Ilumina     | ND             | ND   | ND        | 0,11    | (35)       |
| 65 | FANCC  | rs10993509 | 26                | EEUU   | 96      | 1426        | iSelect from Ilumina     | ND             | ND   | ND        | 0,07    | (35)       |
| 66 | FANCD2 | rs7638846  | 7                 | EEUU   | 96      | 1426        | iSelect from Ilumina     | ND             | ND   | ND        | 0,08    | (35)       |
| 67 | FANCE  | rs7739161  | 19                | EEUU   | 96      | 1426        | iSelect from Ilumina     | ND             | ND   | ND        | 0,43    | (35)       |
| 68 | FANCF  | rs337501   | 9                 | EEUU   | 96      | 1426        | iSelect from Ilumina     | ND             | ND   | ND        | 0,12    | (35)       |
| 69 | FANCG  | rs10972310 | 11                | EEUU   | 96      | 1426        | iSelect from Ilumina     | A              | 1,80 | 1,02-3,17 | 0,04    | (35)       |
| 70 | FANCL  | rs11894186 | 33                | EEUU   | 96      | 1426        | iSelect from Ilumina     | A              | 1,40 | 1,03-1,89 | 0,03    | (35)       |
| 71 | FANCM  | rs1367580  | 11                | EEUU   | 96      | 1426        | iSelect from Ilumina     | T              | 1,97 | 1,26-3,08 | 0,003   | (35)       |
|    |        | rs11845507 |                   | EEUU   | 96      | 1426        | iSelect from Ilumina     | A              | 1,96 | 1,25-3,06 | 0,003   | (35)       |
|    |        | rs4900664  |                   | EEUU   | 96      | 1426        | iSelect from Ilumina     | T              | 2,00 | 1,25-3,17 | 0,003   | (35)       |
|    |        | rs7141145  |                   | EEUU   | 96      | 1426        | iSelect from Ilumina     | A              | 1,95 | 1,24-3,07 | 0,004   | (35)       |
|    |        | rs3783702  |                   | EEUU   | 96      | 1426        | iSelect from Ilumina     | A              | 2,10 | 1,21-3,66 | 0,009   | (35)       |
|    |        | rs11157432 |                   | EEUU   | 96      | 1426        | iSelect from Ilumina     | G              | 1,64 | 1,02-2,62 | 0,040   | (35)       |
| 72 | Fas    | rs2234767  | 4                 | EEUU   | 123     | 510         | PCR-RFLP                 | AA             | 0,8  | 0,20-3,80 | 0,88    | (118)      |
|    |        | rs1800682  |                   | EEUU   | 123     | 510         | PCR-RFLP                 | GG             | 1,3  | 0,7-2,2   | NS      | (118)      |
|    |        | Fas exon 3 |                   | EEUU   | 123     | 510         | PCR-RFLP                 | AG             | 1,8  | 1,1-3,0   | 0,028   | (118)      |
|    |        | Fas exon 7 |                   | EEUU   | 123     | 510         | PCR-RFLP                 | TT             | 0,7  | 0,3-1,8   | 0,932   | (118)      |
| 73 | FEN1   | rs695867   | 10                | EEUU   | 96      | 1426        | iSelect from Ilumina     | ND             | ND   | ND        | 0,13    | (35)       |
| 74 | FGF2   | rs11737764 | 22                | EEUU   | 96      | 1426        | iSelect from Ilumina     | T              | 2,12 | 1,33-3,39 | 0,002   | (35)       |
|    |        | rs1137764  |                   | Rusia  | 24      | 96          | MALDI-TOF minisequencing | T              | ND   | ND        | NS      | (36)       |
|    |        | rs3789138  |                   | EEUU   | 96      | 1426        | iSelect from Ilumina     | A              | 1,37 | 1,02-1,83 | 0,037   | (35)       |
|    |        | rs3804158  |                   | EEUU   | 96      | 1426        | iSelect from Ilumina     | G              | 1,35 | 1,01-1,82 | 0,04    | (35)       |
| 75 | FGFR1  | rs6983315  | 14                | EEUU   | 96      | 1426        | iSelect from Ilumina     | A              | 0,68 | 0,50-0,93 | 0,02    | (35)       |
| 76 | FGFR2  | rs3135819  | 40                | EEUU   | 96      | 1426        | iSelect from Ilumina     | G              | 0,32 | 0,13-0,79 | 0,01    | (35)       |
|    |        | rs3750815  |                   | EEUU   | 96      | 1426        | iSelect from Ilumina     | A              | 1,75 | 1,10-2,76 | 0,02    | (35)       |
|    |        | rs12572779 |                   | EEUU   | 96      | 1426        | iSelect from Ilumina     | C              | 1,42 | 1,04-1,94 | 0,03    | (35)       |
|    |        | rs2247088  |                   | EEUU   | 96      | 1426        | iSelect from Ilumina     | G              | 1,58 | 1,04-2,40 | 0,03    | (35)       |
| 77 | FGFR3  | rs6599400  | 3                 | EEUU   | 96      | 1426        | iSelect from Ilumina     | A              | 1,51 | 1,12-2,03 | 0,007   | (35)       |
| 78 | FGFR3  | rs6599400  | 1                 | Russia | 24      | 96          | MALDI-TOF minisequencing | A              | ND   | ND        | 0,02    | (36)       |

**Tabla anexa 1.** Polimorfismos analizados en estudios de asociación de genes candidato de la susceptibilidad del OS (continúa).

| N  | Genes    | SNP        | N SNPs estudiados | Origen | N casos | N controles | Metodo                   | Alelo/Genotipo | OR   | IC95%     | P valor | Referencia |
|----|----------|------------|-------------------|--------|---------|-------------|--------------------------|----------------|------|-----------|---------|------------|
| 79 | FLJ35220 | rs8065843  | 17                | EEUU   | 96      | 1426        | iSelect from Illumina    | G              | 0,56 | 0,38-0,83 | 0,004   | (35)       |
|    |          | rs12938834 |                   | EEUU   | 96      | 1426        | iSelect from Illumina    | G              | 0,62 | 0,44-0,87 | 0,006   | (35)       |
|    |          | rs4603608  |                   | EEUU   | 96      | 1426        | iSelect from Illumina    | C              | 1,49 | 1,11-2,00 | 0,007   | (35)       |
|    |          | rs4491586  |                   | EEUU   | 96      | 1426        | iSelect from Illumina    | C              | 0,60 | 0,41-0,88 | 0,009   | (35)       |
|    |          | rs4074303  |                   | EEUU   | 96      | 1426        | iSelect from Illumina    | A              | 0,55 | 0,35-0,86 | 0,009   | (35)       |
|    |          | rs4074302  |                   | EEUU   | 96      | 1426        | iSelect from Illumina    | C              | 0,59 | 0,37-0,92 | 0,02    | (35)       |
|    |          | rs4424945  |                   | EEUU   | 96      | 1426        | iSelect from Illumina    | T              | 1,55 | 1,02-2,34 | 0,04    | (35)       |
| 80 | FOSL1    | rs694994   | 3                 | EEUU   | 96      | 1426        | iSelect from Illumina    | C              | 0,61 | 0,38-0,98 | 0,04    | (35)       |
|    |          | rs568617   |                   | EEUU   | 96      | 1426        | iSelect from Illumina    | T              | 0,61 | 0,38-0,98 | 0,041   | (35)       |
| 81 | FRS2     | rs12371904 | 11                | EEUU   | 96      | 1426        | iSelect from Illumina    | A              | 0,59 | 0,37-0,93 | 0,02    | (35)       |
| 82 | GC       | rs705117   | 17                | EEUU   | 96      | 1426        | iSelect from Illumina    | C              | 0,50 | 0,28-0,87 | 0,02    | (35)       |
|    |          | rs1155563  |                   | EEUU   | 96      | 1426        | iSelect from Illumina    | C              | 1,39 | 1,02-1,89 | 0,04    | (35)       |
| 83 | GDF2     | rs9421731  | 19                | EEUU   | 96      | 1426        | iSelect from Illumina    | G              | 1,46 | 1,07-2,00 | 0,02    | (35)       |
|    |          | rs7093975  |                   | EEUU   | 96      | 1426        | iSelect from Illumina    | T              | 1,43 | 1,03-1,98 | 0,03    | (35)       |
|    |          | rs2125064  |                   | EEUU   | 96      | 1426        | iSelect from Illumina    | T              | 1,39 | 1,02-1,89 | 0,03    | (35)       |
|    |          | rs743509   |                   | EEUU   | 96      | 1426        | iSelect from Illumina    | C              | 1,37 | 1,01-1,84 | 0,04    | (35)       |
| 84 | GH1      | rs7921     | 3                 | EEUU   | 96      | 1426        | iSelect from Illumina    | A              | 0,52 | 0,35-0,76 | 0,001   | (35)       |
|    |          | rs7921     | 1                 | Russia | 24      | 96          | MALDI-TOF minisequencing | A              | ND   | ND        | NS      | (36)       |
|    |          | rs6171     | 2                 | EEUU   | 104     | 74          | ABI sequencer            | ND             | ND   | ND        | NS      | (45)       |
|    |          | rs11079515 | 3                 | EEUU   | 96      | 1426        | iSelect from Illumina    | G              | 1,61 | 1,20-2,16 | 0,002   | (35)       |
| 85 | GHR      | rs2940927  | 7                 | EEUU   | 104     | 74          | ABI sequencer            | ND             | ND   | ND        | NS      | (45)       |
|    |          | rs1876790  |                   | EEUU   | 104     | 74          | ABI sequencer            | ND             | ND   | ND        | NS      | (45)       |
|    |          | rs7735889  |                   | EEUU   | 104     | 74          | ABI sequencer            | ND             | ND   | ND        | NS      | (45)       |
|    |          | rs6179     |                   | EEUU   | 104     | 74          | ABI sequencer            | ND             | ND   | ND        | NS      | (45)       |
|    |          | rs6182     |                   | EEUU   | 104     | 74          | ABI sequencer            | ND             | ND   | ND        | NS      | (45)       |
|    |          | rs6180     |                   | EEUU   | 104     | 74          | ABI sequencer            | ND             | ND   | ND        | NS      | (45)       |
|    |          | rs6184     |                   | EEUU   | 104     | 74          | ABI sequencer            | ND             | ND   | ND        | NS      | (45)       |
| 86 | GHRL     | rs26802    | 19                | EEUU   | 96      | 1426        | iSelect from Illumina    | G              | 1,38 | 1,01-1,90 | 0,04    | (35)       |
| 87 | GLI1     | ND         | 9                 | EEUU   | 96      | 1426        | iSelect from Illumina    | ND             | ND   | ND        | 0,26    | (35)       |
| 88 | GNRH1    | rs6185     | 1                 | EEUU   | 104     | 74          | ABI sequencer            | ND             | ND   | ND        | NS      | (45)       |

**Tabla anexa 1.** Polimorfismos analizados en estudios de asociación de genes candidato de la susceptibilidad del OS (continúa).

| N  | Genes   | SNP        | N SNPs estudiados | Origen | N casos | N controles | Metodo                   | Alelo/Genotipo | OR   | IC95%     | P valor | Referencia |
|----|---------|------------|-------------------|--------|---------|-------------|--------------------------|----------------|------|-----------|---------|------------|
| 89 | GNRH2   | rs3761243  | 15                | EEUU   | 96      | 1426        | iSelect from Illumina    | C              | 1,60 | 1,19-2,16 | 0,002   | (35)       |
|    |         | rs3761243  | 1                 | Russia | 24      | 96          | MALDI-TOF minisequencing | C              | ND   | ND        | NS      | (36)       |
|    |         | rs6076466  | 15                | EEUU   | 96      | 1426        | iSelect from Illumina    | C              | 1,41 | 1,03-1,92 | 0,030   | (35)       |
| 90 | GNRHR   | rs13138607 | 7                 | EEUU   | 104     | 74          | ABI sequencer            | ND             | ND   | ND        | NS      | (45)       |
|    |         | rs4986942  |                   | EEUU   | 104     | 74          | ABI sequencer            | ND             | ND   | ND        | NS      | (45)       |
|    |         | rs10031252 |                   | EEUU   | 104     | 74          | ABI sequencer            | ND             | ND   | ND        | NS      | (45)       |
|    |         | rs3822196  |                   | EEUU   | 104     | 74          | ABI sequencer            | ND             | ND   | ND        | NS      | (45)       |
|    |         | rs3796718  |                   | EEUU   | 104     | 74          | ABI sequencer            | ND             | ND   | ND        | NS      | (45)       |
|    |         | rs1843593  |                   | EEUU   | 104     | 74          | ABI sequencer            | ND             | ND   | ND        | NS      | (45)       |
|    |         | rs2630488  |                   | EEUU   | 104     | 74          | ABI sequencer            | ND             | ND   | ND        | NS      | (45)       |
|    |         | rs7591996  |                   | China  | 168     | 216         | PCR                      | ND             | ND   | ND        | ND      | (119)      |
| 91 | GRM4    | rs10208273 | 4                 | China  | 168     | 216         | PCR                      | ND             | ND   | ND        | 0,823   | (119)      |
|    |         | rs17206779 |                   | China  | 168     | 216         | PCR                      | ND             | ND   | ND        | 0,837   | (119)      |
|    |         | rs1906953  |                   | China  | 168     | 216         | PCR                      | T              | 1,57 | 2,09-1,18 | 0,002   | (119)      |
|    |         | GSTM1      |                   | China  | 124     | 241         | Taqman                   | non-null       | 1,46 | 0,90-2,37 | ND      | (120)      |
| 92 | GST     | GSTT1      | 1                 | China  | 124     | 241         | Taqman                   | non-null       | 1,81 | 1,11-2,98 | ND      | (120)      |
| 93 | GTF2H1  | rs4150674  | 15                | EEUU   | 96      | 1426        | iSelect from Illumina    | ND             | ND   | ND        | 0,09    | (35)       |
| 94 | GTF2H3  | rs1050448  | 19                | EEUU   | 96      | 1426        | iSelect from Illumina    | ND             | ND   | ND        | 0,08    | (35)       |
| 95 | GTF2H4  | rs1264320  | 14                | EEUU   | 96      | 1426        | iSelect from Illumina    | T              | 0,71 | 0,52-0,97 | 0,03    | (35)       |
|    |         | rs9378150  |                   | EEUU   | 96      | 1426        | iSelect from Illumina    | G              | ND   | ND        | 0,04    | (35)       |
| 96 | GTF2H5  | rs2363781  | 9                 | EEUU   | 96      | 1426        | iSelect from Illumina    | ND             | ND   | ND        | 0,42    | (35)       |
| 97 | HEL308  | rs11940490 | 9                 | EEUU   | 96      | 1426        | iSelect from Illumina    | ND             | ND   | ND        | 0,07    | (35)       |
| 98 | HSD17B1 | rs676387   | 8                 | EEUU   | 96      | 1426        | iSelect from Illumina    | A              | 0,64 | 0,44-0,92 | 0,02    | (35)       |
|    |         | rs2676530  |                   | EEUU   | 96      | 1426        | iSelect from Illumina    | T              | 1,39 | 1,02-1,90 | 0,04    | (35)       |

**Tabla anexa 1.** Polimorfismos analizados en estudios de asociación de genes candidato de la susceptibilidad del OS (continúa).

| N   | Genes   | SNP        | N SNPs estudiados | Origen | N casos | N controles | Metodo                | Alelo/Genotipo | OR   | IC95%     | P valor | Referencia |
|-----|---------|------------|-------------------|--------|---------|-------------|-----------------------|----------------|------|-----------|---------|------------|
| 99  | HSD17B2 | rs8045494  | 84                | EEUU   | 96      | 1426        | iSelect from Illumina | A              | ND   | ND        | 0,004   | (35)       |
|     |         | rs16956406 |                   | EEUU   | 96      | 1426        | iSelect from Illumina | G              | ND   | ND        | 0,01    | (35)       |
|     |         | rs16956238 |                   | EEUU   | 96      | 1426        | iSelect from Illumina | A              | ND   | ND        | 0,02    | (35)       |
|     |         | rs16956274 |                   | EEUU   | 96      | 1426        | iSelect from Illumina | T              | ND   | ND        | 0,02    | (35)       |
|     |         | rs7192075  |                   | EEUU   | 96      | 1426        | iSelect from Illumina | A              | ND   | ND        | 0,02    | (35)       |
|     |         | rs8049423  |                   | EEUU   | 96      | 1426        | iSelect from Illumina | C              | ND   | ND        | 0,02    | (35)       |
|     |         | rs8058561  |                   | EEUU   | 96      | 1426        | iSelect from Illumina | C              | ND   | ND        | 0,02    | (35)       |
|     |         | rs4404064  |                   | EEUU   | 96      | 1426        | iSelect from Illumina | G              | 1,79 | 1,07-3,00 | 0,03    | (35)       |
|     |         | rs11648233 |                   | EEUU   | 96      | 1426        | iSelect from Illumina | C              | 1,37 | 1,02-1,84 | 0,03    | (35)       |
|     |         | rs11150436 |                   | EEUU   | 96      | 1426        | iSelect from Illumina | C              | ND   | ND        | 0,03    | (35)       |
|     |         | rs8191167  |                   | EEUU   | 96      | 1426        | iSelect from Illumina | G              | ND   | ND        | 0,03    | (35)       |
|     |         | rs8052451  |                   | EEUU   | 96      | 1426        | iSelect from Illumina | C              | ND   | ND        | 0,04    | (35)       |
|     |         | rs8059915  |                   | EEUU   | 96      | 1426        | iSelect from Illumina | C              | 1,36 | 1,02-1,83 | 0,04    | (35)       |
|     |         | rs13337293 |                   | EEUU   | 96      | 1426        | iSelect from Illumina | C              | ND   | ND        | 0,04    | (35)       |
|     |         | rs8048090  |                   | EEUU   | 96      | 1426        | iSelect from Illumina | A              | ND   | ND        | 0,04    | (35)       |
|     |         | rs16956419 |                   | EEUU   | 96      | 1426        | iSelect from Illumina | G              | ND   | ND        | 0,05    | (35)       |
| 100 | HSD17B3 | rs12552648 | 49                | EEUU   | 96      | 1426        | iSelect from Illumina | T              | 1,84 | 1,03-3,28 | 0,04    | (35)       |
|     |         | rs8190534  |                   | EEUU   | 96      | 1426        | iSelect from Illumina | G              | 0,63 | 0,39-0,99 | 0,05    | (35)       |
| 101 | HUS1    | rs3176580  | 14                | EEUU   | 96      | 1426        | iSelect from Illumina | ND             | ND   | ND        | 0,1     | (35)       |
| 102 | ID2     | rs4669330  | 3                 | EEUU   | 96      | 1426        | iSelect from Illumina | ND             | ND   | ND        | 0,1     | (35)       |
| 103 | IFNA1   | rs1332179  | 7                 | EEUU   | 96      | 1428        | Illumina SNParray     | G              | ND   | ND        | ND      | (111)      |
|     |         | rs1591033  |                   | EEUU   | 96      | 1428        | Illumina SNParray     | C              | 1,00 | ND        | 1,0     | (111)      |
|     |         | rs10811542 |                   | EEUU   | 96      | 1428        | Illumina SNParray     | A              | 0,60 | ND        | 0,2     | (111)      |
|     |         | rs1929977  |                   | EEUU   | 96      | 1428        | Illumina SNParray     | G              | ND   | ND        | ND      | (111)      |
|     |         | rs1854696  |                   | EEUU   | 96      | 1428        | Illumina SNParray     | A              | 0,98 | ND        | 0,9     | (111)      |
|     |         | rs1332190  |                   | EEUU   | 96      | 1428        | Illumina SNParray     | G              | 0,99 | ND        | 0,9     | (111)      |
|     |         | rs7864960  |                   | EEUU   | 96      | 1428        | Illumina SNParray     | A              | 0,97 | ND        | 0,8     | (111)      |
|     |         | rs2007448  |                   | EEUU   | 96      | 1428        | Illumina SNParray     | A              | 0,91 | ND        | 0,7     | (111)      |
| 104 | IFNA10  | rs4977686  | 2                 | EEUU   | 96      | 1428        | Illumina SNParray     | T              | 1,05 | ND        | 0,7     | (111)      |
| 105 | IFNA14  | rs10811518 | 3                 | EEUU   | 96      | 1428        | Illumina SNParray     | T              | 1,24 | ND        | 0,3     | (111)      |
|     |         | rs1330320  |                   | EEUU   | 96      | 1428        | Illumina SNParray     | G              | 1,02 | ND        | 0,9     | (111)      |
|     |         | rs1330317  |                   | EEUU   | 96      | 1428        | Illumina SNParray     | A              | 0,91 | ND        | 0,7     | (111)      |
| 106 | IFNA16  | rs7033839  | 2                 | EEUU   | 96      | 1428        | Illumina SNParray     | A              | 0,99 | ND        | 1,0     | (111)      |
|     |         | rs10964912 |                   | EEUU   | 96      | 1428        | Illumina SNParray     | C              | 1,18 | ND        | 0,3     | (111)      |
| 107 | IFNA17  | rs6475526  | 1                 | EEUU   | 96      | 1428        | Illumina SNParray     | T              | 0,98 | ND        | 0,9     | (111)      |

**Tabla anexa 1.** Polimorfismos analizados en estudios de asociación de genes candidato de la susceptibilidad del OS (continúa).

| N   | Genes  | SNP        | N SNPs estudiados | Origen | N casos | N controles | Metodo            | Alelo/Genotipo | OR   | IC95% | P valor | Referencia |
|-----|--------|------------|-------------------|--------|---------|-------------|-------------------|----------------|------|-------|---------|------------|
| 108 | IFNA2  | rs7025293  | 7                 | EEUU   | 96      | 1428        | Illumina SNParray | T              | 0,74 | ND    | 0,4     | (111)      |
|     |        | rs7034410  |                   | EEUU   | 96      | 1428        | Illumina SNParray | C              | 0,94 | ND    | 0,8     | (111)      |
|     |        | rs647167   |                   | EEUU   | 96      | 1428        | Illumina SNParray | G              | 1,05 | ND    | 0,8     | (111)      |
|     |        | rs615544   |                   | EEUU   | 96      | 1428        | Illumina SNParray | A              | 0,92 | ND    | 0,8     | (111)      |
|     |        | rs624704   |                   | EEUU   | 96      | 1428        | Illumina SNParray | G              | 0,88 | ND    | 0,5     | (111)      |
|     |        | rs10120977 |                   | EEUU   | 96      | 1428        | Illumina SNParray | G              | 1,15 | ND    | 0,5     | (111)      |
|     |        | rs632941   |                   | EEUU   | 96      | 1428        | Illumina SNParray | A              | 0,88 | ND    | 0,5     | (111)      |
| 109 | IFNA21 | rs7037868  | 4                 | EEUU   | 96      | 1428        | Illumina SNParray | G              | 1,11 | ND    | 0,5     | (111)      |
|     |        | rs7041635  |                   | EEUU   | 96      | 1428        | Illumina SNParray | G              | 0,91 | ND    | 0,7     | (111)      |
|     |        | rs10964880 |                   | EEUU   | 96      | 1428        | Illumina SNParray | G              | 1,17 | ND    | 0,4     | (111)      |
|     |        | rs2019226  |                   | EEUU   | 96      | 1428        | Illumina SNParray | G              | 0,95 | ND    | 0,8     | (111)      |
| 110 | IFNA5  | rs12156640 | 3                 | EEUU   | 96      | 1428        | Illumina SNParray | A              | 0,51 | ND    | 0,1     | (111)      |
|     |        | rs1330313  |                   | EEUU   | 96      | 1428        | Illumina SNParray | C              | 0,88 | ND    | 0,6     | (111)      |
|     |        | rs12341875 |                   | EEUU   | 96      | 1428        | Illumina SNParray | C              | 1,25 | ND    | 0,2     | (111)      |
| 111 | IFNA6  | rs10119678 | 3                 | EEUU   | 96      | 1428        | Illumina SNParray | A              | 0,84 | ND    | 0,5     | (111)      |
|     |        | rs597408   |                   | EEUU   | 96      | 1428        | Illumina SNParray | G              | 1,07 | ND    | 0,8     | (111)      |
|     |        | rs2480927  |                   | EEUU   | 96      | 1428        | Illumina SNParray | T              | 0,86 | ND    | 0,5     | (111)      |
| 112 | IFNA8  | rs1224391  | 11                | EEUU   | 96      | 1428        | Illumina SNParray | T              | 1,13 | ND    | 0,4     | (111)      |
|     |        | rs16938384 |                   | EEUU   | 96      | 1428        | Illumina SNParray | G              | 0,63 | ND    | 0,2     | (111)      |
|     |        | rs4978113  |                   | EEUU   | 96      | 1428        | Illumina SNParray | C              | 1,00 | ND    | 1,0     | (111)      |
|     |        | rs4978114  |                   | EEUU   | 96      | 1428        | Illumina SNParray | G              | 1,17 | ND    | 0,5     | (111)      |
|     |        | rs10757219 |                   | EEUU   | 96      | 1428        | Illumina SNParray | G              | 0,93 | ND    | 0,7     | (111)      |
|     |        | rs4978115  |                   | EEUU   | 96      | 1428        | Illumina SNParray | A              | 0,93 | ND    | 0,6     | (111)      |
|     |        | rs10811537 |                   | EEUU   | 96      | 1428        | Illumina SNParray | C              | 1,01 | ND    | 1,0     | (111)      |
|     |        | rs1332180  |                   | EEUU   | 96      | 1428        | Illumina SNParray | G              | 0,66 | ND    | 0,3     | (111)      |
|     |        | rs7025006  |                   | EEUU   | 96      | 1428        | Illumina SNParray | A              | 0,96 | ND    | 0,8     | (111)      |
|     |        | rs2104880  |                   | EEUU   | 96      | 1428        | Illumina SNParray | T              | 1,56 | ND    | 0,1     | (111)      |
|     |        | rs1888889  |                   | EEUU   | 96      | 1428        | Illumina SNParray | A              | ND   | ND    | ND      | (111)      |

**Tabla anexa 1.** Polimorfismos analizados en estudios de asociación de genes candidato de la susceptibilidad del OS (continúa).

| N   | Genes | SNP        | N SNPs estudiados | Origen | N casos | N controles | Metodo            | Alelo/Genotipo | OR   | IC95% | P valor | Referencia |
|-----|-------|------------|-------------------|--------|---------|-------------|-------------------|----------------|------|-------|---------|------------|
| 113 | IFNB1 | rs10964823 | 19                | EEUU   | 96      | 1428        | Illumina SNParray | T              | 0,93 | ND    | 0,6     | (111)      |
|     |       | rs4977657  |                   | EEUU   | 96      | 1428        | Illumina SNParray | C              | 1,05 | ND    | 0,8     | (111)      |
|     |       | rs1539746  |                   | EEUU   | 96      | 1428        | Illumina SNParray | T              | ND   | ND    | ND      | (111)      |
|     |       | rs10435777 |                   | EEUU   | 96      | 1428        | Illumina SNParray | A              | 1,00 | ND    | 1,0     | (111)      |
|     |       | rs967102   |                   | EEUU   | 96      | 1428        | Illumina SNParray | G              | 1,01 | ND    | 0,9     | (111)      |
|     |       | rs1051922  |                   | EEUU   | 96      | 1428        | Illumina SNParray | A              | 1,01 | ND    | 1,0     | (111)      |
|     |       | rs10964831 |                   | EEUU   | 96      | 1428        | Illumina SNParray | T              | 0,85 | ND    | 0,5     | (111)      |
|     |       | rs1424855  |                   | EEUU   | 96      | 1428        | Illumina SNParray | C              | 1,00 | ND    | 1,0     | (111)      |
|     |       | rs9333358  |                   | EEUU   | 96      | 1428        | Illumina SNParray | C              | 1,00 | ND    | 1,0     | (111)      |
|     |       | rs12156577 |                   | EEUU   | 96      | 1428        | Illumina SNParray | C              | 0,91 | ND    | 0,8     | (111)      |
|     |       | rs7033217  |                   | EEUU   | 96      | 1428        | Illumina SNParray | A              | 0,92 | ND    | 0,7     | (111)      |
|     |       | rs10811467 |                   | EEUU   | 96      | 1428        | Illumina SNParray | C              | 0,86 | ND    | 0,5     | (111)      |
|     |       | rs10757181 |                   | EEUU   | 96      | 1428        | Illumina SNParray | C              | 0,96 | ND    | 0,8     | (111)      |
|     |       | rs12684687 |                   | EEUU   | 96      | 1428        | Illumina SNParray | A              | 1,02 | ND    | 0,9     | (111)      |
|     |       | rs17692260 |                   | EEUU   | 96      | 1428        | Illumina SNParray | A              | 0,93 | ND    | 0,8     | (111)      |
|     |       | rs10964832 |                   | EEUU   | 96      | 1428        | Illumina SNParray | C              | 0,82 | ND    | 0,4     | (111)      |
|     |       | rs10757182 |                   | EEUU   | 96      | 1428        | Illumina SNParray | G              | 0,94 | ND    | 0,7     | (111)      |
|     |       | rs10964833 |                   | EEUU   | 96      | 1428        | Illumina SNParray | G              | 0,95 | ND    | 0,8     | (111)      |
|     |       | rs17754055 |                   | EEUU   | 96      | 1428        | Illumina SNParray | A              | 1,13 | ND    | 0,5     | (111)      |
| 114 | IFNE1 | rs1412395  | 5                 | EEUU   | 96      | 1428        | Illumina SNParray | C              | 0,89 | ND    | 0,5     | (111)      |
|     |       | rs4246868  |                   | EEUU   | 96      | 1428        | Illumina SNParray | C              | 0,83 | ND    | 0,2     | (111)      |
|     |       | rs1125488  |                   | EEUU   | 96      | 1428        | Illumina SNParray | G              | 0,66 | ND    | 0,3     | (111)      |
|     |       | rs10965040 |                   | EEUU   | 96      | 1428        | Illumina SNParray | C              | 0,90 | ND    | 0,7     | (111)      |
|     |       | rs10811554 |                   | EEUU   | 96      | 1428        | Illumina SNParray | G              | 1,06 | ND    | 0,7     | (111)      |
| 115 | IFNK  | rs2166128  | 8                 | EEUU   | 96      | 1428        | Illumina SNParray | T              | 0,74 | ND    | 0,33    | (111)      |
|     |       | rs10812605 |                   | EEUU   | 96      | 1428        | Illumina SNParray | C              | 1,01 | ND    | 0,94    | (111)      |
|     |       | rs12553951 |                   | EEUU   | 96      | 1428        | Illumina SNParray | C              | 0,95 | ND    | 0,88    | (111)      |
|     |       | rs2814708  |                   | EEUU   | 96      | 1428        | Illumina SNParray | C              | 1,01 | ND    | 0,94    | (111)      |
|     |       | rs11792285 |                   | EEUU   | 96      | 1428        | Illumina SNParray | T              | 1,01 | ND    | 0,96    | (111)      |
|     |       | rs4879540  |                   | EEUU   | 96      | 1428        | Illumina SNParray | A              | 0,90 | ND    | 0,48    | (111)      |
|     |       | rs903603   |                   | EEUU   | 96      | 1428        | Illumina SNParray | A              | 1,05 | ND    | 0,74    | (111)      |
|     |       | rs10812610 |                   | EEUU   | 96      | 1428        | Illumina SNParray | C              | 0,91 | ND    | 0,55    | (111)      |

**Tabla anexa 1.** Polimorfismos analizados en estudios de asociación de genes candidato de la susceptibilidad del OS (continúa).

| N   | Genes | SNP        | N SNPs estudiados | Origen | N casos | N controles | Metodo                   | Alelo/Genotipo | OR   | IC95%     | P valor | Referencia |
|-----|-------|------------|-------------------|--------|---------|-------------|--------------------------|----------------|------|-----------|---------|------------|
| 116 | IFNW1 | rs2113716  | 12                | EEUU   | 96      | 1428        | Illumina SNParray        | A              | 0,92 | ND        | 0,72    | (111)      |
|     |       | rs12236000 |                   | EEUU   | 96      | 1428        | Illumina SNParray        | C              | 1,15 | ND        | 0,62    | (111)      |
|     |       | rs10118667 |                   | EEUU   | 96      | 1428        | Illumina SNParray        | A              | 0,92 | ND        | 0,64    | (111)      |
|     |       | rs10118669 |                   | EEUU   | 96      | 1428        | Illumina SNParray        | T              | 0,99 | ND        | 0,93    | (111)      |
|     |       | rs17692502 |                   | EEUU   | 96      | 1428        | Illumina SNParray        | G              | 1,11 | ND        | 0,53    | (111)      |
|     |       | rs10757190 |                   | EEUU   | 96      | 1428        | Illumina SNParray        | G              | 0,94 | ND        | 0,71    | (111)      |
|     |       | rs2081381  |                   | EEUU   | 96      | 1428        | Illumina SNParray        | C              | 0,93 | ND        | 0,63    | (111)      |
|     |       | rs10964862 |                   | EEUU   | 96      | 1428        | Illumina SNParray        | A              | 1,15 | ND        | 0,35    | (111)      |
|     |       | rs10964863 |                   | EEUU   | 96      | 1428        | Illumina SNParray        | T              | 0,99 | ND        | 0,94    | (111)      |
|     |       | rs10811482 |                   | EEUU   | 96      | 1428        | Illumina SNParray        | G              | 1,11 | ND        | 0,56    | (111)      |
|     |       | rs4977976  |                   | EEUU   | 96      | 1428        | Illumina SNParray        | C              | 1,07 | ND        | 0,77    | (111)      |
|     |       | rs10757193 |                   | EEUU   | 96      | 1428        | Illumina SNParray        | G              | 0,94 | ND        | 0,66    | (111)      |
| 117 | IGF1  | rs7956547  | 9                 | EEUU   | 96      | 1426        | iSelect from Illumina    | C              | 0,53 | 0,36-0,79 | 0,002   | (35)       |
|     |       | rs7956547  | 1                 | Russia | 24      | 96          | MALDI-TOF minisequencing | C              | ND   | ND        | NS      | (36)       |
|     |       | rs2162679  | 4                 | EEUU   | 104     | 74          | ABI sequencer            | ND             | ND   | ND        | NS      | (45)       |
|     |       | rs1019731  |                   | EEUU   | 104     | 74          | ABI sequencer            | ND             | ND   | ND        | NS      | (45)       |
|     |       | rs2288378  |                   | EEUU   | 104     | 74          | ABI sequencer            | ND             | ND   | ND        | NS      | (45)       |
|     |       | rs2288378  |                   | EEUU   | 96      | 1426        | iSelect from Illumina    | T              | 0,69 | 0,48-0,99 | 0,04    | (35)       |
|     |       | rs6220     |                   | EEUU   | 104     | 74          | ABI sequencer            | ND             | ND   | ND        | NS      | (45)       |
|     |       | rs5742714  |                   | EEUU   | 96      | 1426        | iSelect from Illumina    | G              | 0,34 | 0,16-0,70 | 0,004   | (35)       |
|     |       | rs10860864 |                   | EEUU   | 96      | 1426        | iSelect from Illumina    | T              | 0,46 | 0,27-0,78 | 0,004   | (35)       |
|     |       | rs17796225 |                   | EEUU   | 96      | 1426        | iSelect from Illumina    | C              | 0,57 | 0,39-0,83 | 0,004   | (35)       |
|     |       | rs5742692  |                   | EEUU   | 96      | 1426        | iSelect from Illumina    | G              | ND   | ND        | 0,01    | (35)       |
|     |       | rs10860869 |                   | EEUU   | 96      | 1426        | iSelect from Illumina    | T              | 0,64 | 0,44-0,93 | 0,02    | (35)       |
|     |       | rs9651925  |                   | EEUU   | 96      | 1426        | iSelect from Illumina    | G              | 0,65 | 0,46-0,93 | 0,02    | (35)       |
|     |       | rs2195240  |                   | EEUU   | 96      | 1426        | iSelect from Illumina    | G              | 0,68 | 0,47-0,99 | 0,05    | (35)       |

**Tabla anexa 1.** Polimorfismos analizados en estudios de asociación de genes candidato de la susceptibilidad del OS (continúa).

| N   | Genes   | SNP       | N SNPs estudiados | Origen | N casos | N controles | Metodo                | Alelo/Genotipo | OR   | IC95%     | P valor | Referencia |
|-----|---------|-----------|-------------------|--------|---------|-------------|-----------------------|----------------|------|-----------|---------|------------|
| 118 | IGF1R   | rs2684806 | 4                 | EEUU   | 96      | 1426        | iSelect from Illumina | T              | 1,45 | 1,08-1,93 | 0,01    | (35)       |
|     |         | rs907806  |                   | EEUU   | 104     | 74          | ABI sequencer         | ND             | ND   | ND        | NS      | (45)       |
|     |         | rs2684777 |                   | EEUU   | 96      | 1426        | iSelect from Illumina | C              | 1,68 | 1,11-2,54 | 0,01    | (35)       |
|     |         | rs4966017 |                   | EEUU   | 96      | 1426        | iSelect from Illumina | T              | 0,39 | 0,16-0,97 | 0,04    | (35)       |
|     |         | rs1546713 |                   | EEUU   | 96      | 1426        | iSelect from Illumina | A              | 1,36 | 1,01-1,84 | 0,04    | (35)       |
|     |         | rs9282718 |                   | EEUU   | 104     | 74          | ABI sequencer         | ND             | ND   | ND        | NS      | (45)       |
|     |         | rs2137680 |                   | EEUU   | 104     | 74          | ABI sequencer         | ND             | ND   | ND        | NS      | (45)       |
|     |         | rs2175795 |                   | EEUU   | 104     | 74          | ABI sequencer         | ND             | ND   | ND        | NS      | (45)       |
|     |         | rs3743258 |                   | EEUU   | 104     | 74          | ABI sequencer         | ND             | ND   | ND        | NS      | (45)       |
|     |         | rs3743259 |                   | EEUU   | 104     | 74          | ABI sequencer         | ND             | ND   | ND        | NS      | (45)       |
|     |         | rs2272037 |                   | EEUU   | 104     | 74          | ABI sequencer         | ND             | ND   | ND        | NS      | (45)       |
|     |         | rs2229765 |                   | EEUU   | 104     | 74          | ABI sequencer         | ND             | ND   | ND        | NS      | (45)       |
|     |         | rs2016347 |                   | EEUU   | 104     | 74          | ABI sequencer         | ND             | ND   | ND        | NS      | (45)       |
|     |         | rs9282715 |                   | EEUU   | 104     | 74          | ABI sequencer         | ND             | ND   | ND        | NS      | (45)       |
| 119 | IGF2    | rs3213216 | 4                 | EEUU   | 104     | 74          | ABI sequencer         | ND             | ND   | ND        | NS      | (45)       |
|     |         | rs3213221 |                   | EEUU   | 104     | 74          | ABI sequencer         | ND             | ND   | ND        | NS      | (45)       |
|     |         | rs3213223 |                   | EEUU   | 104     | 74          | ABI sequencer         | ND             | ND   | ND        | NS      | (45)       |
|     |         | rs734351  |                   | EEUU   | 104     | 74          | ABI sequencer         | ND             | ND   | ND        | NS      | (45)       |
| 120 | IGF2BP2 | rs9850770 | 1                 | EEUU   | 96      | 1426        | iSelect from Illumina | A              | 0,59 | 0,36-0,95 | 0,03    | (35)       |

**Tabla anexa 1.** Polimorfismos analizados en estudios de asociación de genes candidato de la susceptibilidad del OS (continúa).

| N   | Genes  | SNP        | N SNPs estudiados | Origen | N casos | N controles | Metodo                       | Alelo/Genotipo | OR   | IC95%     | P valor | Referencia |
|-----|--------|------------|-------------------|--------|---------|-------------|------------------------------|----------------|------|-----------|---------|------------|
| 121 | IGF2R  | rs2282141  | 20                | EEUU   | 96      | 1426        | iSelect from Illumina        | T              | 0,65 | 0,47-0,89 | 0,008   | (35)       |
|     |        | rs1003737  |                   | EEUU   | 290     | NA          | Sequenom platform Iplex Gold | ND             | 0,91 | ND        | <0,0001 | (44)       |
|     |        | rs1570070  |                   | EEUU   | 104     | 74          | ABI sequencer                | ND             | ND   | ND        | 0,84    | (45)       |
|     |        | rs9456484  |                   | EEUU   | 96      | 1426        | iSelect from Illumina        | T              | 0,39 | 0,19-0,82 | 0,01    | (35)       |
|     |        | rs384167   |                   | EEUU   | 96      | 1426        | iSelect from Illumina        | A              | 1,64 | 1,08-2,51 | 0,02    | (35)       |
|     |        | rs2297372  |                   | EEUU   | 96      | 1426        | iSelect from Illumina        | C              | 0,66 | 0,46-0,95 | 0,02    | (35)       |
|     |        | rs12202350 |                   | EEUU   | 96      | 1426        | iSelect from Illumina        | C              | 1,72 | 1,08-2,75 | 0,02    | (35)       |
|     |        | rs600324   |                   | EEUU   | 96      | 1426        | iSelect from Illumina        | T              | 1,63 | 1,03-2,56 | 0,04    | (35)       |
|     |        | rs894817   |                   | EEUU   | 104     | 74          | ABI sequencer                | ND             | ND   | ND        | 1,0     | (45)       |
|     |        | rs998075   |                   | EEUU   | 104     | 74          | ABI sequencer                | GG             | 2,27 | 1,12-4,58 | 0,02    | (45)       |
|     |        | rs998074   |                   | EEUU   | 104     | 74          | ABI sequencer                | CC             | 2,29 | 1,14-4,60 | 0,02    | (45)       |
|     |        | rs629849   |                   | EEUU   | 104     | 74          | ABI sequencer                | ND             | ND   | ND        | 0,1     | (45)       |
|     |        | rs2282140  |                   | EEUU   | 104     | 74          | ABI sequencer                | ND             | ND   | ND        | 0,07    | (45)       |
|     |        | rs1803989  |                   | EEUU   | 104     | 74          | ABI sequencer                | ND             | 0,35 | 0,13-0,98 | 0,044   | (45)       |
|     |        | rs9456497  |                   | EEUU   | 104     | 74          | ABI sequencer                | ND             | ND   | ND        | NS      | (45)       |
|     |        | rs4709390  |                   | EEUU   | 104     | 74          | ABI sequencer                | ND             | ND   | ND        | NS      | (45)       |
|     |        | rs4709392  |                   | EEUU   | 104     | 74          | ABI sequencer                | ND             | ND   | ND        | NS      | (45)       |
|     |        | rs435612   |                   | EEUU   | 104     | 74          | ABI sequencer                | ND             | ND   | ND        | NS      | (45)       |
|     |        | rs687088   |                   | EEUU   | 104     | 74          | ABI sequencer                | ND             | ND   | ND        | NS      | (45)       |
|     |        | rs416572   |                   | EEUU   | 104     | 74          | ABI sequencer                | ND             | ND   | ND        | NS      | (45)       |
|     |        | rs648253   |                   | EEUU   | 104     | 74          | ABI sequencer                | ND             | ND   | ND        | NS      | (45)       |
|     |        | rs4709393  |                   | EEUU   | 104     | 74          | ABI sequencer                | ND             | ND   | ND        | NS      | (45)       |
|     |        | rs3777411  |                   | EEUU   | 104     | 74          | ABI sequencer                | ND             | ND   | ND        | NS      | (45)       |
|     |        | rs7746102  |                   | EEUU   | 104     | 74          | ABI sequencer                | ND             | ND   | ND        | NS      | (45)       |
|     |        | rs2065396  |                   | EEUU   | 104     | 74          | ABI sequencer                | ND             | ND   | ND        | NS      | (45)       |
|     |        | rs3798180  |                   | EEUU   | 104     | 74          | ABI sequencer                | ND             | ND   | ND        | NS      | (45)       |
| 122 | IGFALS | rs2575352  | 4                 | EEUU   | 290     | NA          | Sequenom platform Iplex Gold | ND             | 2,62 | ND        | <0,0001 | (44)       |
|     |        | rs9282731  |                   | EEUU   | 104     | 74          | ABI sequencer                | ND             | ND   | ND        | NS      | (45)       |
|     |        | rs2230053  |                   | EEUU   | 104     | 74          | ABI sequencer                | ND             | ND   | ND        | NS      | (45)       |
|     |        | rs17559    |                   | EEUU   | 104     | 74          | ABI sequencer                | ND             | ND   | ND        | NS      | (45)       |
|     |        | rs3751893  |                   | EEUU   | 104     | 74          | ABI sequencer                | ND             | ND   | ND        | NS      | (45)       |
| 123 | IGFBP2 | rs9341105  | 2                 | EEUU   | 96      | 1426        | iSelect from Illumina        | G              | 1,49 | 1,09-2,04 | 0,01    | (35)       |
|     |        | rs12694392 |                   | EEUU   | 96      | 1426        | iSelect from Illumina        | A              | 0,57 | 0,35-0,91 | 0,020   | (35)       |

**Tabla anexa 1.** Polimorfismos analizados en estudios de asociación de genes candidato de la susceptibilidad del OS (continúa).

| N   | Genes  | SNP        | N SNPs estudiados | Origen | N casos | N controles | Metodo                | Alelo/Genotipo | OR   | IC95%      | P valor | Referencia |
|-----|--------|------------|-------------------|--------|---------|-------------|-----------------------|----------------|------|------------|---------|------------|
| 124 | IGFBP3 | rs6953668  | 1                 | EEUU   | 96      | 1426        | iSelect from Illumina | A              | ND   | ND         | 0,009   | (35)       |
|     |        | rs2471551  |                   | EEUU   | 104     | 74          | ABI sequencer         | ND             | ND   | ND         | NS      | (45)       |
|     |        | rs9282734  |                   | EEUU   | 104     | 74          | ABI sequencer         | ND             | ND   | ND         | NS      | (45)       |
|     |        | rs6413441  |                   | EEUU   | 104     | 74          | ABI sequencer         | ND             | ND   | ND         | NS      | (45)       |
| 125 | IGFBP5 | rs7420849  | 1                 | EEUU   | 96      | 1426        | iSelect from Illumina | T              | 1,36 | 1,01-1,84  | 0,04    | (35)       |
|     |        | rs2067039  | 1                 | EEUU   | 104     | 74          | ABI sequencer         | ND             | ND   | ND         | NS      | (45)       |
| 126 | IL-10  | 1082A      | 1                 | Brazil | 80      | 160         | PCR-RFLP              | ND             | ND   | ND         | ND      | (121)      |
| 127 | IL-12A | rs568408   | 2                 | China  | 106     | 72          | PCR-RFLP              | GA             | 1,86 | 1,11-3,12  | ND      | (122)      |
|     |        | rs2243115  |                   | China  | 106     | 72          | PCR-RFLP              | GG             | 0,49 | 0,05-4,46  |         | (122)      |
| 128 | IL-12B | rs3212227  | 1                 | China  | 106     | 72          | PCR-RFLP              | CC             | 2,7  | 1,38-5,28  | ND      | (122)      |
| 129 | IL-1B  | 31T/C      | 3                 | China  | 120     | 120         | PCR-RFLP              | CC             | 0,4  | 0,17-0,92  | 0,03    | (123)      |
|     |        | 511C/T     |                   | China  | 120     | 120         | PCR-RFLP              | TT             | 0,4  | 0,17-0,95  | 0,04    | (123)      |
|     |        | 3954C/T    |                   | China  | 120     | 120         | PCR-RFLP              | TT             | 1,48 | 0,60-3,67  | 0,4     | (123)      |
| 130 | IL-6   | 174G>C     | 1                 | Brazil | 80      | 160         | PCR-RFLP              | ND             | ND   | ND         | ND      | (121)      |
| 131 | IL-27  | IL-27 -964 | 3                 | China  | 160     | 250         | PCR-RFLP              | ND             | ND   | ND         | ND      | (124)      |
|     |        | IL-27 2905 |                   | China  | 160     | 250         | PCR-RFLP              | ND             | ND   | ND         | 0,897   | (124)      |
|     |        | IL-27 4730 |                   | China  | 160     | 250         | PCR-RFLP              | ND             | ND   | ND         | 0,819   | (124)      |
| 132 | ITGA3  | rs2230392  | 3                 | China  | 118     | 126         | TaqMan                | AA             | 2,34 | 1,18-4,64  | ND      | (125)      |
|     |        | rs2285524  |                   | China  | 118     | 126         | TaqMan                | AA             | 1,3  | 0,66-2,57  | ND      | (125)      |
|     |        | rs16948627 |                   | China  | 118     | 126         | TaqMan                | AC             | 4,96 | 2,42-10,18 | ND      | (125)      |
| 133 | KCTD9  | rs1812594  | 1                 | EEUU   | 104     | 74          | ABI sequencer         | ND             | ND   | ND         | NS      | (45)       |
| 134 | KLHL9  | rs913931   | 2                 | EEUU   | 96      | 1428        | Illumina SNParray     | G              | 0,84 | ND         | 0,50    | (111)      |
|     |        | rs8729     |                   | EEUU   | 96      | 1428        | Illumina SNParray     | T              | 0,87 | ND         | 0,55    | (111)      |
| 135 | LHCGR  | rs6711321  | 74                | EEUU   | 96      | 1426        | iSelect from Illumina | G              | 0,55 | 0,35-0,86  | 0,01    | (35)       |
|     |        | rs7371084  |                   | EEUU   | 96      | 1426        | iSelect from Illumina | C              | 0,51 | 0,29-0,88  | 0,02    | (35)       |
|     |        | rs12618729 |                   | EEUU   | 96      | 1426        | iSelect from Illumina | A              | 0,56 | 0,32-0,97  | 0,04    | (35)       |
| 136 | LIG1   | rs274875   | 31                | EEUU   | 96      | 1426        | iSelect from Illumina | C              | ND   | ND         | 0,02    | (35)       |
|     |        | rs3730872  |                   | EEUU   | 96      | 1426        | iSelect from Illumina | A              | 0,5  | 0,24-0,92  | 0,028   | (35)       |
|     |        | rs3730912  |                   | EEUU   | 96      | 1426        | iSelect from Illumina | T              | 0,5  | 0,27-0,93  | 0,029   | (35)       |
|     |        | rs380359   |                   | EEUU   | 96      | 1426        | iSelect from Illumina | T              | 1,9  | 1,05-3,47  | 0,034   | (35)       |
|     |        | rs3786763  |                   | EEUU   | 96      | 1426        | iSelect from Illumina | A              | 0,5  | 0,28-0,96  | 0,037   | (35)       |
| 137 | LIG3   | rs931196   | 20                | EEUU   | 96      | 1426        | iSelect from Illumina | T              | ND   | ND         | 0,05    | (35)       |
| 138 | LIG4   | rs9670655  | 20                | EEUU   | 96      | 1426        | iSelect from Illumina | ND             | ND   | ND         | 0,06    | (35)       |
| 139 | LIPE   | rs11673645 | 1                 | EEUU   | 96      | 1426        | iSelect from Illumina | ND             | ND   | ND         | 0,24    | (35)       |

**Tabla anexa 1.** Polimorfismos analizados en estudios de asociación de genes candidato de la susceptibilidad del OS (continúa).

| N   | Genes        | SNP        | N SNPs estudiados | Origen    | N casos | N controles | Metodo                   | Alelo/Genotipo | OR   | IC95%      | P valor | Referencia |
|-----|--------------|------------|-------------------|-----------|---------|-------------|--------------------------|----------------|------|------------|---------|------------|
| 140 | LOC101930033 | rs896324   | 2                 | EEUU      | 99      | 1365        | iSelect from Illumina    | AG             | 1,79 | 1,08-2,97  | 0,03    | (114)      |
|     |              | rs185852   |                   | EEUU      | 99      | 1365        | iSelect from Illumina    | AA             | 2,28 | 1,04-5,02  | 0,04    | (114)      |
|     |              | 22 G/C     |                   | China     | 326     | 433         | Sequencing               | C              | 3,88 | 1,94-27,78 | 0,00004 | (126)      |
| 141 | LOX          | 225 C/G    | 3                 | China     | 326     | 433         | Sequencing               | G              | 0,86 | 0,40-21,84 | 0,7     | (126)      |
|     |              | 473 G/A    |                   | China     | 326     | 433         | PCR-RFLP                 | A              | 1,38 | 1,07-21,78 | 0,01    | (126)      |
|     |              | 22 G/C     |                   | EEUU      | 96      | 1426        | iSelect from Illumina    | T              | 1,66 | 1,02-2,71  | 0,04    | (35)       |
| 142 | MAD2L2       | rs6694489  | 12                | EEUU      | 96      | 1426        | iSelect from Illumina    | ND             | ND   | ND         | 0,41    | (35)       |
| 143 | MAPK7        | rs2048230  | 3                 | EEUU      | 96      | 1426        | iSelect from Illumina    | G              | 0,59 | 0,35-1,00  | 0,05    | (35)       |
| 144 | MBD4         | rs12485319 | 11                | EEUU      | 96      | 1426        | iSelect from Illumina    | ND             | ND   | ND         | ND      | (50)       |
| 145 | MCM4         | ND         | 3                 | EEUU      | 98      | 69          | iSelect from Illumina    | ND             | ND   | ND         | ND      | (50)       |
| 146 | MDM2         | c.44C>T    | 2                 | China     | 415     | 431         | CRS-PCR                  | T              | 1,36 | 1,11-1,67  | 0,003   | (54)       |
|     |              | c.1002T>C  |                   | China     | 415     | 431         | PCR-RFLP                 | C              | 1,27 | 1,02-1,56  | 0,03    | (54)       |
|     |              | rs1690916  | 9                 | EEUU      | 96      | 1426        | iSelect from Illumina    | A              | 0,62 | 0,45-0,85  | 0,003   | (35)       |
|     |              | rs1690916  |                   | Russia    | 24      | 96          | MALDI-TOF minisequencing | A              | ND   | ND         | NS      | (36)       |
|     |              | rs2279744  |                   | Italy     | 201     | 250         | Pyrosequencing           | GG             | 2,09 | 1,15-3,78  | 0,003   | (33)       |
|     |              | rs2279744  |                   | EEUU      | 96      | 1426        | iSelect from Illumina    | G              | 1,31 | 0,96-1,78  | 0,09    | (35)       |
|     |              | rs2279744  |                   | Australia | 17      | 37          | Taqman                   | G              | 1,46 | 0,56-3,71  | 0,39    | (34)       |
|     |              | rs1196334  |                   | EEUU      | 96      | 1426        | iSelect from Illumina    | G              | 1,78 | 1,16-2,72  | 0,008   | (35)       |
|     |              | rs1695147  |                   | EEUU      | 96      | 1426        | iSelect from Illumina    | G              | 1,75 | 1,14-2,67  | 0,010   | (35)       |
|     |              | rs1846402  |                   | EEUU      | 96      | 1426        | iSelect from Illumina    | A              | 1,63 | 1,07-2,49  | 0,023   | (35)       |
| 147 | MEN1         | ND         | 8                 | EEUU      | 98      | 69          | iSelect from Illumina    | ND             | ND   | ND         | ND      | (50)       |
| 148 | MGMT         | rs10829619 | 77                | EEUU      | 96      | 1426        | iSelect from Illumina    | G              | 0,62 | 0,45-0,84  | 0,002   | (35)       |
|     |              | rs11592922 |                   | EEUU      | 96      | 1426        | iSelect from Illumina    | T              | 0,62 | 0,46-0,85  | 0,003   | (35)       |
|     |              | rs10741191 |                   | EEUU      | 96      | 1426        | iSelect from Illumina    | C              | 1,44 | 1,07-1,94  | 0,016   | (35)       |
|     |              | rs2026975  |                   | EEUU      | 96      | 1426        | iSelect from Illumina    | T              | 0,65 | 0,45-0,94  | 0,022   | (35)       |
|     |              | rs11016811 |                   | EEUU      | 96      | 1426        | iSelect from Illumina    | C              | 1,39 | 1,01-1,93  | 0,044   | (35)       |
| 149 | MLH1         | rs1800734  | 17                | EEUU      | 96      | 1426        | iSelect from Illumina    | ND             | ND   | ND         | 0,17    | (35)       |
| 150 | MLH3         | rs10142770 | 10                | EEUU      | 96      | 1426        | iSelect from Illumina    | ND             | ND   | ND         | 0,51    | (35)       |
| 151 | MMS19L       | rs17112809 | 17                | EEUU      | 96      | 1426        | iSelect from Illumina    | ND             | ND   | ND         | 0,08    | (35)       |
| 152 | MNAT1        | rs4151225  | 26                | EEUU      | 96      | 1426        | iSelect from Illumina    | ND             | ND   | ND         | 0,09    | (35)       |
| 153 | MPG          | rs216614   | 13                | EEUU      | 96      | 1426        | iSelect from Illumina    | A              | 4,80 | ND         | 0,004   | (35)       |
|     |              | rs1013358  |                   | EEUU      | 96      | 1426        | iSelect from Illumina    | C              | 1,61 | 1,05-2,49  | 0,030   | (35)       |
|     |              | rs2288490  |                   | EEUU      | 96      | 1426        | iSelect from Illumina    | T              | 0,70 | 0,50-0,97  | 0,035   | (35)       |
|     |              | rs1045001  |                   | EEUU      | 96      | 1426        | iSelect from Illumina    | T              | 1,57 | 1,03-2,40  | 0,035   | (35)       |

**Tabla anexa 1.** Polimorfismos analizados en estudios de asociación de genes candidato de la susceptibilidad del OS (continúa).

| N   | Genes  | SNP        | N SNPs estudiados | Origen | N casos | N controles | Metodo               | Alelo/Genotipo | OR   | IC95%     | P valor | Referencia |
|-----|--------|------------|-------------------|--------|---------|-------------|----------------------|----------------|------|-----------|---------|------------|
| 154 | MPO    | 463A>G     | 1                 | Brazil | 80      | 160         | PCR-RFLP             | ND             | ND   | ND        | ND      | (121)      |
| 155 | MRE11A | ND         | 34                | EEUU   | 98      | 69          | iSelect from Ilumina | ND             | ND   | ND        | ND      | (50)       |
|     |        | rs10831225 | 26                | EEUU   | 96      | 1426        | iSelect from Ilumina | NA             | NA   | NA        | 0,0936  | (35)       |
| 156 | MSH2   | rs2042649  | 27                | EEUU   | 96      | 1426        | iSelect from Ilumina | ND             | ND   | ND        | 0,07    | (35)       |
| 157 | MSH3   | rs245407   | 41                | EEUU   | 96      | 1426        | iSelect from Ilumina | ND             | ND   | ND        | 0,08    | (35)       |
| 158 | MSH4   | rs11161848 | 24                | EEUU   | 96      | 1426        | iSelect from Ilumina | G              | 1,42 | 1,05-1,93 | 0,02    | (35)       |
|     |        | rs946163   |                   | EEUU   | 96      | 1426        | iSelect from Ilumina | A              | 1,40 | 1,04-1,90 | 0,03    | (35)       |
|     |        | rs11161887 |                   | EEUU   | 96      | 1426        | iSelect from Ilumina | A              | 1,38 | 1,03-1,86 | 0,03    | (35)       |
| 159 | MSH5   | rs6905572  | 18                | EEUU   | 96      | 1426        | iSelect from Ilumina | ND             | ND   | ND        | 0,1     | (35)       |
| 160 | MSH6   | rs6742522  | 20                | EEUU   | 96      | 1426        | iSelect from Ilumina | ND             | ND   | ND        | 0,2     | (35)       |
| 161 | MTAP   | rs12378701 | 17                | EEUU   | 96      | 1428        | Illumina SNParray    | C              | 0,59 | ND        | 0,1     | (111)      |
|     |        | rs7865829  |                   | EEUU   | 96      | 1428        | Illumina SNParray    | C              | 1,18 | ND        | 0,5     | (111)      |
|     |        | rs10757257 |                   | EEUU   | 96      | 1428        | Illumina SNParray    | A              | 0,80 | ND        | 0,15    | (111)      |
|     |        | rs2039971  |                   | EEUU   | 96      | 1428        | Illumina SNParray    | T              | ND   | ND        | ND      | (111)      |
|     |        | rs7023329  |                   | EEUU   | 96      | 1428        | Illumina SNParray    | A              | 1,26 | ND        | 0,1     | (111)      |
|     |        | rs7027989  |                   | EEUU   | 96      | 1428        | Illumina SNParray    | A              | 1,25 | ND        | 0,1     | (111)      |
|     |        | rs1544195  |                   | EEUU   | 96      | 1428        | Illumina SNParray    | A              | 0,91 | ND        | 0,8     | (111)      |
|     |        | rs7874112  |                   | EEUU   | 96      | 1428        | Illumina SNParray    | G              | 1,08 | ND        | 0,8     | (111)      |
|     |        | rs10811629 |                   | EEUU   | 96      | 1428        | Illumina SNParray    | G              | 0,78 | ND        | 0,1     | (111)      |
|     |        | rs4478653  |                   | EEUU   | 96      | 1428        | Illumina SNParray    | C              | 1,02 | ND        | 0,9     | (111)      |
|     |        | rs10965163 |                   | EEUU   | 96      | 1428        | Illumina SNParray    | T              | 0,95 | ND        | 0,9     | (111)      |
|     |        | rs3935920  |                   | EEUU   | 96      | 1428        | Illumina SNParray    | A              | 0,93 | ND        | 0,8     | (111)      |
|     |        | rs4977734  |                   | EEUU   | 96      | 1428        | Illumina SNParray    | C              | 1,01 | ND        | 1,0     | (111)      |
|     |        | rs7871127  |                   | EEUU   | 96      | 1428        | Illumina SNParray    | T              | 1,19 | ND        | 0,6     | (111)      |
|     |        | rs7047648  |                   | EEUU   | 96      | 1428        | Illumina SNParray    | G              | 1,09 | ND        | 0,6     | (111)      |
|     |        | rs10811631 |                   | EEUU   | 96      | 1428        | Illumina SNParray    | G              | 0,93 | ND        | 0,7     | (111)      |
|     |        | rs3802394  |                   | EEUU   | 96      | 1428        | Illumina SNParray    | G              | 0,89 | ND        | 0,6     | (111)      |
| 162 | MTHFR  | rs1801133  | 1                 | Turkey | 44      | 44          | PCR-RFLP             | ND             | ND   | ND        | ND      | (127)      |
| 163 | MUS81  | rs11227332 | 6                 | EEUU   | 96      | 1426        | iSelect from Ilumina | ND             | ND   | ND        | 0,06    | (35)       |
| 164 | MUTYH  | rs7535487  | 9                 | EEUU   | 96      | 1426        | iSelect from Ilumina | ND             | ND   | ND        | 0,13    | (35)       |
| 165 | MYC    | ND         | 26                | EEUU   | 98      | 69          | iSelect from Ilumina | ND             | ND   | ND        | ND      | (50)       |

**Tabla anexa 1.** Polimorfismos analizados en estudios de asociación de genes candidato de la susceptibilidad del OS (continúa).

| N   | Genes | SNP        | N SNPs estudiados | Origen   | N casos | N controles | Metodo                | Alelo/Genotipo | OR   | IC95%     | P valor | Referencia |
|-----|-------|------------|-------------------|----------|---------|-------------|-----------------------|----------------|------|-----------|---------|------------|
| 166 | NBN   | rs1805794  | 4                 | China    | 120     | 120         | PCR-RFLP              | GC+CC          | 0,42 | 0,19-0,94 | 0,04    | (52)       |
|     |       | rs1805794  | 21                | EEUU     | 98      | 69          | iSelect from Illumina | ND             | ND   | ND        | ND      | (50)       |
|     |       | rs1805794  | 4                 | Slovenia | 120     | 120         | PCR-RFLP              | GC+CC          | 0,42 | 0,19-0,94 | 0,04    | (52)       |
|     |       | rs709816   |                   | Slovenia | 120     | 120         | PCR-RFLP              | CT+TT          | 0,99 | 0,53-1,84 | 1,0     | (52)       |
|     |       | rs1063054  |                   | Slovenia | 120     | 120         | PCR-RFLP              | AC+CC          | 0,81 | 0,44-1,51 | 0,5     | (52)       |
|     |       | rs13312970 |                   | EEUU     | 96      | 1426        | iSelect from Illumina | NA             | NA   | NA        | 0,3     | (35)       |
| 167 | NEIL1 | rs11072542 | 4                 | EEUU     | 96      | 1426        | iSelect from Illumina | G              | 1,39 | 1,01-1,90 | 0,04    | (35)       |
| 168 | NEIL2 | rs8191604  | 42                | EEUU     | 96      | 1426        | iSelect from Illumina | G              | 0,61 | 0,41-0,90 | 0,01    | (35)       |
|     |       | rs17754589 |                   | EEUU     | 96      | 1426        | iSelect from Illumina | T              | 0,56 | 0,35-0,90 | 0,02    | (35)       |
| 169 | NEIL3 | ND         | 44                | EEUU     | 96      | 1426        | iSelect from Illumina | ND             | ND   | ND        | 0,07    | (35)       |
| 170 | NHEJ1 | ND         | 12                | EEUU     | 96      | 1426        | iSelect from Illumina | ND             | ND   | ND        | 0,13    | (35)       |
| 171 | NOG   | rs16957413 | 9                 | EEUU     | 96      | 1426        | iSelect from Illumina | T              | 0,50 | 0,27-0,90 | 0,02    | (35)       |
|     |       | rs17822219 |                   | EEUU     | 96      | 1426        | iSelect from Illumina | T              | 1,39 | 1,03-1,88 | 0,031   | (35)       |
| 172 | NOLA1 | ND         | 11                | EEUU     | 98      | 69          | iSelect from Illumina | ND             | ND   | ND        | ND      | (50)       |
| 173 | NOLA2 | ND         | 6                 | EEUU     | 98      | 69          | iSelect from Illumina | ND             | ND   | ND        | ND      | (50)       |
| 174 | NOLA3 | rs17236875 | 15                | EEUU     | 98      | 69          | iSelect from Illumina | C              | 1,62 | 1,03-2,56 | 0,04    | (50)       |
|     |       | rs2279686  |                   | EEUU     | 98      | 69          | iSelect from Illumina | C              | 1,36 | 1,02-1,83 | 0,04    | (50)       |
|     |       | rs7162607  |                   | EEUU     | 98      | 69          | iSelect from Illumina | A              | 0,74 | 0,55-0,99 | 0,04    | (50)       |
| 175 | NTHL1 | ND         | 22                | EEUU     | 96      | 1426        | iSelect from Illumina | ND             | ND   | ND        | 0,09    | (35)       |
| 176 | NUDT1 | ND         | 13                | EEUU     | 96      | 1426        | iSelect from Illumina | ND             | ND   | ND        | 0,11    | (35)       |
| 177 | OGG1  | ND         | 11                | EEUU     | 96      | 1426        | iSelect from Illumina | ND             | ND   | ND        | 0,34    | (35)       |
| 178 | p53   | rs8079544  | 12                | EEUU     | 104     | 74          | Taqman                | ND             | ND   | ND        | 0,35    | (53)       |
|     |       | rs1042522  | 1                 | Italy    | 201     | 250         | Pyrosequencing        | Arg/Pro        | 0,48 | 0,30-0,77 | 0,002   | (33)       |
|     |       | rs1042522  | 12                | EEUU     | 104     | 74          | Taqman                | ND             | ND   | ND        | 0,69    | (53)       |
|     |       | ND         |                   | EEUU     | 96      | 1426        | iSelect from Illumina | ND             | ND   | ND        | 0,13    | (35)       |
|     |       | rs1642785  |                   | EEUU     | 104     | 74          | Taqman                | ND             | ND   | ND        | 0,81    | (53)       |
|     |       | rs9895829  |                   | EEUU     | 104     | 74          | Taqman                | ND             | ND   | ND        | 0,49    | (53)       |
|     |       | rs2909430  |                   | EEUU     | 104     | 74          | Taqman                | ND             | ND   | ND        | 0,97    | (53)       |
|     |       | rs1800372  |                   | EEUU     | 104     | 74          | Taqman                | ND             | ND   | ND        | 0,19    | (53)       |
|     |       | rs1625895  |                   | EEUU     | 104     | 74          | Taqman                | ND             | ND   | ND        | 0,77    | (53)       |
|     |       | rs12947788 |                   | EEUU     | 104     | 74          | Taqman                | ND             | ND   | ND        | 0,51    | (53)       |
|     |       | rs1614984  |                   | EEUU     | 104     | 74          | Taqman                | ND             | ND   | ND        | 0,32    | (53)       |
|     |       | rs9894946  |                   | EEUU     | 104     | 74          | Taqman                | ND             | ND   | ND        | 0,35    | (53)       |
| 179 | PARP1 | rs3219123  | 24                | EEUU     | 96      | 1426        | iSelect from Illumina | A              | 0,28 | 0,09-0,90 | 0,03    | (35)       |
|     |       | rs3219123  | 25                | EEUU     | 98      | 69          | iSelect from Illumina | A              | 0,28 | 0,09-0,89 | 0,03    | (50)       |

**Tabla anexa 1.** Polimorfismos analizados en estudios de asociación de genes candidato de la susceptibilidad del OS (continúa).

| N   | Genes   | SNP        | N SNPs estudiados | Origen | N casos | N controles | Metodo                | Alelo/Genotipo | OR       | IC95%      | P valor | Referencia |
|-----|---------|------------|-------------------|--------|---------|-------------|-----------------------|----------------|----------|------------|---------|------------|
| 180 | PARP2   | rs3093938  | 27                | EEUU   | 96      | 1426        | iSelect from Illumina | G              | ND       | ND         | 0,004   | (35)       |
|     |         | rs3093938  | 31                | EEUU   | 98      | 69          | iSelect from Illumina | G              | 2,4x1010 | 0-inf      | 0,004   | (50)       |
|     |         | rs10147163 | 31                | EEUU   | 98      | 69          | iSelect from Illumina | C              | 1,41     | 1,03-1,92  | 0,03    | (50)       |
|     |         | rs10147163 | 27                | EEUU   | 96      | 1426        | iSelect from Illumina | C              | 1,41     | 1,03-1,92  | 0,03    | (35)       |
|     |         | rs3093919  | 27                | EEUU   | 96      | 1426        | iSelect from Illumina | G              | ND       | ND         | 0,01    | (35)       |
|     |         | rs3093919  | 31                | EEUU   | 98      | 69          | iSelect from Illumina | G              | 31,07    | 2,78-347,8 | 0,01    | (50)       |
|     |         | rs11622655 | 27                | EEUU   | 96      | 1426        | iSelect from Illumina | G              | 1,40     | 1,03-1,92  | 0,03    | (35)       |
|     |         | rs11622655 | 31                | EEUU   | 98      | 69          | iSelect from Illumina | G              | 1,4      | 1,02-1,92  | 0,03    | (50)       |
|     |         | rs3093942  | 27                | EEUU   | 96      | 1426        | iSelect from Illumina | C              | 1,5      | 1,01-2,31  | 0,05    | (35)       |
|     |         | rs3093942  | 31                | EEUU   | 98      | 69          | iSelect from Illumina | C              | 1,53     | 1,01-2,31  | 0,05    | (50)       |
|     |         | rs4981998  | 27                | EEUU   | 96      | 1426        | iSelect from Illumina | T              | 1,38     | 1,00-1,90  | 0,05    | (35)       |
|     |         | rs4981998  | 31                | EEUU   | 98      | 69          | iSelect from Illumina | T              | 1,38     | 1,00-1,90  | 0,05    | (50)       |
| 181 | PARP3   | ND         | 2                 | EEUU   | 96      | 1426        | iSelect from Illumina | ND             | ND       | ND         | 0,70    | (35)       |
| 182 | PARP4   | rs12863638 | 29                | EEUU   | 96      | 1426        | iSelect from Illumina | A              | 0,6      | 0,40-0,87  | 0,01    | (35)       |
|     |         | rs9511308  |                   | EEUU   | 96      | 1426        | iSelect from Illumina | T              | 0,6      | 0,4-0,89   | 0,01    | (35)       |
|     |         | rs1807271  |                   | EEUU   | 96      | 1426        | iSelect from Illumina | T              | 1,6      | 1,07-2,48  | 0,02    | (35)       |
|     |         | rs750391   |                   | EEUU   | 96      | 1426        | iSelect from Illumina | T              | 0,7      | 0,50-0,96  | 0,03    | (35)       |
|     |         | rs4770687  |                   | EEUU   | 96      | 1426        | iSelect from Illumina | G              | 0,7      | 0,54-1,00  | 0,05    | (35)       |
| 183 | PCNA    | ND         | 9                 | EEUU   | 96      | 1426        | iSelect from Illumina | ND             | ND       | ND         | 0,14    | (35)       |
| 184 | PECAM-1 | 125C>G     | 1                 | Brazil | 80      | 160         | PCR-RFLP              | ND             | ND       | ND         | ND      | (121)      |
| 185 | PIK3C3  | ND         | 12                | EEUU   | 98      | 69          | iSelect from Illumina | ND             | ND       | ND         | ND      | (50)       |
|     |         | rs7646409  | 1                 | China  | 59      | 63          | TaqMan                | CC             | 3,47     | 1,26-9,56  | ND      | (112)      |
| 186 | PINX1   | ND         | 39                | EEUU   | 98      | 69          | iSelect from Illumina | ND             | ND       | ND         | ND      | (50)       |

**Tabla anexa 1.** Polimorfismos analizados en estudios de asociación de genes candidato de la susceptibilidad del OS (continúa).

| N   | Genes  | SNP        | N SNPs estudiados | Origen | N casos | N controles | Metodo                | Alelo/Genotipo | OR   | IC95%     | P valor | Referencia |
|-----|--------|------------|-------------------|--------|---------|-------------|-----------------------|----------------|------|-----------|---------|------------|
| 187 | PLAA   | rs4977722  | 14                | EEUU   | 96      | 1428        | Illumina SNParray     | G              | 1,17 | ND        | 0,3     | (111)      |
|     |        | rs10967588 |                   | EEUU   | 96      | 1428        | Illumina SNParray     | T              | 1,42 | ND        | 0,2     | (111)      |
|     |        | rs7860542  |                   | EEUU   | 96      | 1428        | Illumina SNParray     | A              | ND   | ND        | ND      | (111)      |
|     |        | rs1336338  |                   | EEUU   | 96      | 1428        | Illumina SNParray     | G              | ND   | ND        | ND      | (111)      |
|     |        | rs4977723  |                   | EEUU   | 96      | 1428        | Illumina SNParray     | A              | 0,9  | ND        | 0,7     | (111)      |
|     |        | rs16910873 |                   | EEUU   | 96      | 1428        | Illumina SNParray     | G              | 0,8  | ND        | 0,5     | (111)      |
|     |        | rs7871286  |                   | EEUU   | 96      | 1428        | Illumina SNParray     | T              | 0,8  | ND        | 0,4     | (111)      |
|     |        | rs10120342 |                   | EEUU   | 96      | 1428        | Illumina SNParray     | G              | 1,1  | ND        | 0,5     | (111)      |
|     |        | rs12003612 |                   | EEUU   | 96      | 1428        | Illumina SNParray     | T              | 0,9  | ND        | 0,7     | (111)      |
|     |        | rs7039400  |                   | EEUU   | 96      | 1428        | Illumina SNParray     | A              | 1,2  | ND        | 0,5     | (111)      |
|     |        | rs3758218  |                   | EEUU   | 96      | 1428        | Illumina SNParray     | A              | 0,9  | ND        | 0,7     | (111)      |
|     |        | rs7020010  |                   | EEUU   | 96      | 1428        | Illumina SNParray     | A              | ND   | ND        | ND      | (111)      |
|     |        | rs10967624 |                   | EEUU   | 96      | 1428        | Illumina SNParray     | A              | 1,5  | ND        | 0,1     | (111)      |
|     |        | rs10967627 |                   | EEUU   | 96      | 1428        | Illumina SNParray     | C              | ND   | ND        | ND      | (111)      |
| 188 | PMP22  | ND         | 13                | EEUU   | 96      | 1426        | iSelect from Illumina | ND             | ND   | ND        | 0,1     | (35)       |
| 189 | PMS1   | ND         | 16                | EEUU   | 96      | 1426        | iSelect from Illumina | ND             | ND   | ND        | 0,06    | (35)       |
| 190 | PMS2   | ND         | 21                | EEUU   | 96      | 1426        | iSelect from Illumina | ND             | ND   | ND        | 0,07    | (35)       |
| 191 | PMS2L3 | rs1167795  | 15                | EEUU   | 96      | 1426        | iSelect from Illumina | A              | 0,72 | 0,53-0,97 | 0,03    | (35)       |
| 192 | PNKP   | rs2305922  | 12                | EEUU   | 96      | 1426        | iSelect from Illumina | G              | 0,70 | 0,51-0,95 | 0,02    | (35)       |
| 193 | POLB   | ND         | 13                | EEUU   | 96      | 1426        | iSelect from Illumina | ND             | ND   | ND        | 0,55    | (35)       |
| 194 | POLD1  | ND         | 10                | EEUU   | 96      | 1426        | iSelect from Illumina | ND             | ND   | ND        | 0,05    | (35)       |
| 195 | POLE   | ND         | 21                | EEUU   | 96      | 1426        | iSelect from Illumina | ND             | ND   | ND        | 0,07    | (35)       |
| 196 | POLG   | ND         | 22                | EEUU   | 96      | 1426        | iSelect from Illumina | ND             | ND   | ND        | 0,11    | (35)       |
| 197 | POLH   | ND         | 6                 | EEUU   | 96      | 1426        | iSelect from Illumina | ND             | ND   | ND        | 0,65    | (35)       |
| 198 | POLI   | ND         | 7                 | EEUU   | 96      | 1426        | iSelect from Illumina | ND             | ND   | ND        | 0,09    | (35)       |
| 199 | POLK   | rs979182   | 16                | EEUU   | 96      | 1426        | iSelect from Illumina | T              | 0,54 | 0,29-0,10 | 0,05    | (35)       |
| 200 | POLL   | rs10883663 | 13                | EEUU   | 96      | 1426        | iSelect from Illumina | C              | 1,43 | 1,06-1,93 | 0,02    | (35)       |
|     |        | rs11191064 |                   | EEUU   | 96      | 1426        | iSelect from Illumina | C              | 1,71 | 1,07-2,74 | 0,03    | (35)       |

**Tabla anexa 1.** Polimorfismos analizados en estudios de asociación de genes candidato de la susceptibilidad del OS (continúa).

| N   | Genes    | SNP        | N SNPs estudiados | Origen    | N casos | N controles | Metodo                | Alelo/Genotipo | OR   | IC95%     | P valor | Referencia |
|-----|----------|------------|-------------------|-----------|---------|-------------|-----------------------|----------------|------|-----------|---------|------------|
| 201 | POLM     | rs6955679  | 11                | EEUU      | 96      | 1426        | iSelect from Illumina | A              | 0,50 | 0,28-0,88 | 0,02    | (35)       |
|     |          | rs3218655  |                   | EEUU      | 96      | 1426        | iSelect from Illumina | A              | 0,5  | 0,31-0,93 | 0,03    | (35)       |
|     |          | rs4640970  |                   | EEUU      | 96      | 1426        | iSelect from Illumina | T              | 1,4  | 1,02-1,86 | 0,04    | (35)       |
| 202 | POLN     | ND         | 31                | EEUU      | 96      | 1426        | iSelect from Illumina | ND             | ND   | ND        | 0,09    | (35)       |
| 203 | POLQ     | rs4676727  | 26                | EEUU      | 96      | 1426        | iSelect from Illumina | A              | 0,58 | 0,34-0,97 | 0,04    | (35)       |
| 204 | PON1     | rs662      | 2                 | China     | 50      | 50          | PCR-RFLP              | R              | 2,74 | 1,20-6,23 | 0,02    | (128)      |
|     |          | rs854560   |                   | China     | 50      | 50          | PCR-RFLP              | L              | 0,14 | 0,04-0,50 | 0,001   | (128)      |
| 205 | POT1     | rs727505   | 7                 | EEUU      | 98      | 69          | iSelect from Illumina | A              | 0,7  | 0,49-0,99 | 0,05    | (50)       |
| 206 | PRKDC    | ND         | 15                | EEUU      | 98      | 69          | iSelect from Illumina | ND             | ND   | ND        | ND      | (50)       |
|     |          | rs8178179  | 14                | EEUU      | 96      | 1426        | iSelect from Illumina | NA             | NA   | NA        | 0,15    | (35)       |
| 207 | PTEN     | rs478839   | 15                | EEUU      | 96      | 1426        | iSelect from Illumina | G              | 0,64 | 0,47-0,88 | 0,01    | (35)       |
|     |          | rs9783238  |                   | EEUU      | 96      | 1426        | iSelect from Illumina | G              | ND   | ND        | 0,02    | (35)       |
| 208 | RAD1     | rs2069478  | 11                | EEUU      | 96      | 1426        | iSelect from Illumina | ND             | ND   | ND        | 0,20    | (35)       |
| 209 | RAD17    | rs4976162  | 9                 | EEUU      | 96      | 1426        | iSelect from Illumina | ND             | ND   | ND        | 0,17    | (35)       |
| 210 | RAD18    | rs615967   | 14                | EEUU      | 96      | 1426        | iSelect from Illumina | ND             | ND   | ND        | 0,18    | (35)       |
| 211 | RAD23A   | rs2974754  | 6                 | EEUU      | 96      | 1426        | iSelect from Illumina | ND             | ND   | ND        | 0,15    | (35)       |
| 212 | RAD23B   | rs10978792 | 27                | EEUU      | 96      | 1426        | iSelect from Illumina | G              | 0,12 | 0,02-0,88 | 0,04    | (35)       |
|     |          | rs11573709 |                   | EEUU      | 96      | 1426        | iSelect from Illumina | A              | 1,53 | 1,11-2,11 | 0,010   | (35)       |
| 213 | RAD50    | ND         | 29                | EEUU      | 98      | 69          | iSelect from Illumina | ND             | ND   | ND        | ND      | (50)       |
|     |          | rs11955168 | 14                | EEUU      | 96      | 1426        | iSelect from Illumina | NA             | NA   | NA        | 0,2     | (35)       |
| 214 | RAD51    | rs1801320  | 3                 | Eslavonia | 120     | 120         | PCR-RFLP              | GC+CC          | 0,65 | 0,26-1,58 | 0,34    | (52)       |
|     |          | rs1801320  | 11                | EEUU      | 96      | 1426        | iSelect from Illumina | ND             | ND   | ND        | 0,07    | (35)       |
|     |          | rs1801321  | 3                 | Eslavonia | 120     | 120         | PCR-RFLP              | GT+TT          | 0,92 | 0,50-1,72 | 0,8     | (52)       |
|     |          | rs12593359 |                   | Eslavonia | 120     | 120         | PCR-RFLP              | TG+GG          | 1,14 | 0,57-2,29 | 0,7     | (52)       |
| 215 | RAD51AP1 | ND         | 15                | EEUU      | 98      | 69          | iSelect from Illumina | ND             | ND   | ND        | ND      | (50)       |
| 216 | RAD51C   | ND         | 8                 | EEUU      | 98      | 69          | iSelect from Illumina | ND             | ND   | ND        | ND      | (50)       |
|     |          | rs302864   | 7                 | EEUU      | 96      | 1426        | iSelect from Illumina | NA             | NA   | NA        | 0,3260  | (35)       |
| 217 | RAD51L3  | ND         | 21                | EEUU      | 98      | 69          | iSelect from Illumina | ND             | ND   | ND        | ND      | (50)       |
| 218 | RAD52    | rs17833575 | 29                | EEUU      | 96      | 1426        | iSelect from Illumina | ND             | ND   | ND        | 0,10    | (35)       |
| 219 | RAD54B   | rs3136405  | 27                | EEUU      | 96      | 1426        | iSelect from Illumina | G              | ND   | ND        | 0,03    | (35)       |

**Tabla anexa 1.** Polimorfismos analizados en estudios de asociación de genes candidato de la susceptibilidad del OS (continúa).

| N   | Genes  | SNP        | N SNPs estudiados | Origen | N casos | N controles | Metodo                | Alelo/Genotipo | OR   | IC95%     | P valor | Referencia |
|-----|--------|------------|-------------------|--------|---------|-------------|-----------------------|----------------|------|-----------|---------|------------|
| 220 | RAD54L | ND         | 14                | EEUU   | 98      | 69          | iSelect from Illumina | ND             | ND   | ND        | ND      | (50)       |
|     |        | rs17102098 | 11                | EEUU   | 96      | 1426        | iSelect from Illumina | NA             | NA   | NA        | 0,1     | (35)       |
| 221 | RAD9A  | ND         | 7                 | EEUU   | 96      | 1426        | iSelect from Illumina | ND             | ND   | ND        | 0,2     | (35)       |
| 222 | RB1    | ND         | 21                | EEUU   | 96      | 1426        | iSelect from Illumina | ND             | ND   | ND        | 0,07    | (35)       |
| 223 | RBAK   | rs6971796  | 7                 | EEUU   | 96      | 1426        | iSelect from Illumina | ND             | ND   | ND        | ND      | (35)       |
| 224 | RDM1   | rs2735482  | 12                | EEUU   | 96      | 1426        | iSelect from Illumina | ND             | ND   | ND        | ND      | (35)       |
| 225 | RECQL  | ND         | 30                | EEUU   | 98      | 69          | iSelect from Illumina | ND             | ND   | ND        | ND      | (50)       |
|     |        | rs1061626  | 30                | EEUU   | 96      | 1426        | iSelect from Illumina | NA             | NA   | NA        | 0,09    | (35)       |
| 226 | RECQL4 | ND         | 9                 | EEUU   | 98      | 69          | iSelect from Illumina | ND             | ND   | ND        | ND      | (50)       |
|     |        | G1814A     | 2                 | Japan  | 71      | 82          | PCR-RFLP              | ND             | ND   | ND        | NS      | (51)       |
|     |        | C2474T     |                   | Japan  | 71      | 82          | PCR-RFLP              | NA             | NA   | ND        | NS      | (51)       |
|     |        | rs4251689  | 7                 | EEUU   | 96      | 1426        | iSelect from Illumina | NA             | NA   | NA        | 0,26    | (35)       |
| 227 | RECQL5 | ND         | 7                 | EEUU   | 98      | 69          | iSelect from Illumina | ND             | ND   | ND        | ND      | (50)       |
|     |        | rs820151   |                   | EEUU   | 96      | 1426        | iSelect from Illumina | NA             | NA   | NA        | 0,29    | (35)       |
| 228 | REV1   | rs12479064 | 10                | EEUU   | 96      | 1426        | iSelect from Illumina | ND             | ND   | ND        | 0,08    | (35)       |
| 229 | REV3L  | rs11755082 | 21                | EEUU   | 96      | 1426        | iSelect from Illumina | ND             | ND   | ND        | 0,13    | (35)       |
| 230 | RPA1   | rs8067195  | 32                | EEUU   | 96      | 1426        | iSelect from Illumina | G              | 1,77 | 1,11-2,84 | 0,02    | (35)       |
| 231 | RPA2   | ND         | 12                | EEUU   | 96      | 1426        | iSelect from Illumina | ND             | ND   | ND        | 0,06    | (35)       |
| 232 | RPA3   | rs2024374  | 40                | EEUU   | 96      | 1426        | iSelect from Illumina | ND             | ND   | ND        | 0,02    | (35)       |
| 233 | RPS24  | rs11002385 | 3                 | EEUU   | 96      | 1426        | iSelect from Illumina | T              | 0,69 | 0,49-0,95 | 0,03    | (35)       |
| 234 | RPS6   | rs7048650  | 6                 | EEUU   | 96      | 1426        | iSelect from Illumina | A              | 0,68 | 0,47-1,00 | 0,05    | (35)       |
| 235 | RRM2B  | rs2853229  | 21                | EEUU   | 96      | 1426        | iSelect from Illumina | ND             | ND   | ND        | 0,08    | (35)       |
| 236 | RTEL1  | ND         | 16                | EEUU   | 98      | 69          | iSelect from Illumina | ND             | ND   | ND        | ND      | (50)       |
| 237 | RXRB   | rs383711   | 13                | EEUU   | 96      | 1426        | iSelect from Illumina | A              | 1,84 | 1,10-3,08 | 0,02    | (35)       |
| 238 | SHFM1  | rs6968090  | 13                | EEUU   | 96      | 1426        | iSelect from Illumina | ND             | ND   | ND        | 0,30    | (35)       |
| 239 | SMUG1  | rs3136386  | 13                | EEUU   | 96      | 1426        | iSelect from Illumina | ND             | ND   | ND        | 0,18    | (35)       |
| 240 | SPO11  | rs6070061  | 10                | EEUU   | 96      | 1426        | iSelect from Illumina | ND             | ND   | ND        | 0,13    | (35)       |
| 241 | SQSTM1 | rs515110   | 15                | EEUU   | 96      | 1426        | iSelect from Illumina | C              | 2,05 | 1,02-4,10 | 0,04    | (35)       |
| 242 | SRD5A2 | rs6732223  | 28                | EEUU   | 96      | 1426        | iSelect from Illumina | C              | 1,37 | 1,02-1,85 | 0,04    | (35)       |
| 243 | TDG    | rs4135128  | 34                | EEUU   | 96      | 1426        | iSelect from Illumina | C              | 0,40 | 0,19-0,84 | 0,02    | (35)       |
| 244 | TDP1   | rs8010627  | 24                | EEUU   | 96      | 1426        | iSelect from Illumina | C              | 1,96 | 1,10-3,51 | 0,02    | (35)       |
| 245 | TEP1   | rs2104977  | 41                | EEUU   | 98      | 69          | iSelect from Illumina | A              | 1,56 | 1,02-2,40 | 0,04    | (50)       |
| 246 | TERC   | ND         | 7                 | EEUU   | 98      | 69          | iSelect from Illumina | ND             | ND   | ND        | ND      | (50)       |

**Tabla anexa 1.** Polimorfismos analizados en estudios de asociación de genes candidato de la susceptibilidad del OS (continúa).

| N   | Genes     | SNP        | N SNPs estudiados | Origen | N casos | N controles | Metodo                | Alelo/Genotipo | OR       | IC95%     | P valor | Referencia |
|-----|-----------|------------|-------------------|--------|---------|-------------|-----------------------|----------------|----------|-----------|---------|------------|
| 247 | TERF1     | rs2306492  | 22                | EEUU   | 98      | 69          | iSelect from Illumina | A              | 0,48     | 0,33-0,69 | 0,0001  | (50)       |
|     |           | rs9298211  |                   | EEUU   | 98      | 69          | iSelect from Illumina | T              | 0,5      | 0,34-0,72 | 0,0003  | (50)       |
|     |           | rs2306494  |                   | EEUU   | 98      | 69          | iSelect from Illumina | G              | 0,51     | 0,35-0,74 | 0,0003  | (50)       |
|     |           | rs2929585  |                   | EEUU   | 98      | 69          | iSelect from Illumina | G              | 0,52     | 0,36-0,75 | 0,0005  | (50)       |
|     |           | rs2929586  |                   | EEUU   | 98      | 69          | iSelect from Illumina | G              | 0,52     | 0,36-0,75 | 0,0005  | (50)       |
|     |           | rs2929593  |                   | EEUU   | 98      | 69          | iSelect from Illumina | T              | 0,52     | 0,36-0,75 | 0,0005  | (50)       |
|     |           | rs7001277  |                   | EEUU   | 98      | 69          | iSelect from Illumina | A              | 0,53     | 0,37-0,76 | 0,0006  | (50)       |
|     |           | rs3116136  |                   | EEUU   | 98      | 69          | iSelect from Illumina | C              | 1,42     | 1,04-1,94 | 0,028   | (50)       |
|     |           | rs6990223  |                   | EEUU   | 98      | 69          | iSelect from Illumina | T              | 2,72     | 1,02-7,27 | 0,047   | (50)       |
| 248 | TERF2     | ND         | 9                 | EEUU   | 98      | 69          | iSelect from Illumina | ND             | ND       | ND        | ND      | (50)       |
| 249 | TERF2IP   | ND         | 9                 | EEUU   | 98      | 69          | iSelect from Illumina | ND             | ND       | ND        | ND      | (50)       |
| 250 | TERT      | rs4073918  | 16                | EEUU   | 98      | 69          | iSelect from Illumina | C              | 1,51     | 1,11-2,07 | 0,01    | (50)       |
| 251 | TGFA      | rs559567   | 45                | EEUU   | 96      | 1426        | iSelect from Illumina | T              | 0,51     | 0,27-0,94 | 0,03    | (35)       |
| 252 | TGFBR1    | Int7G24A   | 2                 | China  | 168     | 168         | PCR-RFLP              | AA             | 2,89     | 1,46-4,92 | 0,001   | (129)      |
|     |           | rs10819639 | 18                | EEUU   | 96      | 1426        | iSelect from Illumina | ND             | ND       | ND        | 0,13    | (35)       |
|     |           | rs11466445 | 2                 | China  | 168     | 168         | PCR+ABI Sequencer     | 6A/6A          | 4,59     | 2,33-7,97 | 0,0018  | (129)      |
|     |           | rs1800469  | 2                 | China  | 202     | 216         | ND                    | ND             | ND       | ND        | ND      | (46)       |
|     |           | rs1800470  |                   | China  | 202     | 216         | ND                    | ND             | 2,28     | 1,30-3,98 | p<0,001 | (46)       |
| 253 | TINF2     | rs2748516  | 14                | EEUU   | 98      | 69          | iSelect from Illumina | A              | 2,01     | 1,18-3,41 | 0,01    | (50)       |
| 254 | TNF-alpha | 308G>A     | 1                 | Brazil | 80      | 160         | PCR-RFLP              | ND             | ND       | ND        | ND      | (121)      |
|     |           | rs1800629  | 2                 | Spain  | 126     | 222         | PCR-DGGE              | A              | 0,94     | 0,48-1,83 | 0,85    | (130)      |
|     |           | rs361525   |                   | Spain  | 126     | 222         | PCR-DGGE              | A              | 0,18     | 0,042-0,8 | 0,012   | (130)      |
| 255 | TNF-beta  | 252A>G     | 1                 | Brazil | 80      | 160         | PCR-RFLP              | ND             | ND       | ND        | ND      | (121)      |
| 256 | TNFRSF11A | rs4941129  | 40                | EEUU   | 96      | 1426        | iSelect from Illumina | C              | 0,62     | 0,43-0,88 | 0,008   | (35)       |
|     |           | rs2981006  |                   | EEUU   | 96      | 1426        | iSelect from Illumina | G              | 0,637904 | 0,44-0,92 | 0,01    | (35)       |
|     |           | rs884205   |                   | EEUU   | 96      | 1426        | iSelect from Illumina | A              | 0,671758 | 0,46-0,97 | 0,04    | (35)       |
|     |           | rs7239261  |                   | EEUU   | 96      | 1426        | iSelect from Illumina | A              | 1,342512 | 1,00-1,79 | 0,05    | (35)       |

**Tabla anexa 1.** Polimorfismos analizados en estudios de asociación de genes candidato de la susceptibilidad del OS (continúa).

| N   | Genes  | SNP        | N SNPs estudiados | Origen   | N casos | N controles | Metodo                | Alelo/Genotipo | OR   | IC95%     | P valor | Referencia |
|-----|--------|------------|-------------------|----------|---------|-------------|-----------------------|----------------|------|-----------|---------|------------|
| 267 | UGT1A8 | rs7556676  | 12                | EEUU     | 96      | 1426        | iSelect from Illumina | G              | 1,41 | 1,05-1,89 | 0,02    | (35)       |
|     |        | rs3806597  |                   | EEUU     | 96      | 1426        | iSelect from Illumina | G              | 1,40 | 1,04-1,87 | 0,03    | (35)       |
|     |        | rs871514   |                   | EEUU     | 96      | 1426        | iSelect from Illumina | C              | 1,40 | 1,04-1,87 | 0,03    | (35)       |
|     |        | rs10179091 |                   | EEUU     | 96      | 1426        | iSelect from Illumina | C              | 1,39 | 1,04-1,86 | 0,03    | (35)       |
|     |        | rs4294999  |                   | EEUU     | 96      | 1426        | iSelect from Illumina | G              | 1,39 | 1,04-1,87 | 0,03    | (35)       |
|     |        | rs3755319  |                   | EEUU     | 96      | 1426        | iSelect from Illumina | C              | 1,38 | 1,02-1,85 | 0,03    | (35)       |
|     |        | rs4663963  |                   | EEUU     | 96      | 1426        | iSelect from Illumina | G              | 1,37 | 1,02-1,84 | 0,04    | (35)       |
|     |        | rs17862866 |                   | EEUU     | 96      | 1426        | iSelect from Illumina | G              | 1,37 | 1,02-1,84 | 0,04    | (35)       |
|     |        | rs2741042  |                   | EEUU     | 96      | 1426        | iSelect from Illumina | T              | 1,36 | 1,01-1,84 | 0,04    | (35)       |
|     |        | rs17863803 |                   | EEUU     | 96      | 1426        | iSelect from Illumina | G              | ND   | ND        | 0,04    | (35)       |
|     |        | rs4663969  |                   | EEUU     | 96      | 1426        | iSelect from Illumina | A              | 1,35 | 1,00-1,81 | 0,05    | (35)       |
|     |        | rs2741048  |                   | EEUU     | 96      | 1426        | iSelect from Illumina | C              | 0,72 | 0,52-1,00 | 0,05    | (35)       |
| 268 | UNG    | rs34260    | 15                | EEUU     | 96      | 1426        | iSelect from Illumina | ND             | ND   | ND        | 0,27    | (35)       |
| 269 | VDR    | FokI       | 3                 | Spain    | 72      | 143         | PCR-RFLP              | Ff             | ND   | ND        | 0,05    | (49)       |
|     |        | Apal       |                   | Spain    | 72      | 143         | PCR-RFLP              | NA             | NA   | ND        | NS      | (49)       |
|     |        | TaqI       |                   | Spain    | 72      | 143         | PCR-RFLP              | NA             | NA   | ND        | NS      | (49)       |
| 270 | VEGF   | 634G>C     | 3                 | China    | 330     | 342         | PCR-RFLP              | C              | 1,05 | 0,84-1,30 | ND      | (131)      |
|     |        | 936C>T     |                   | China    | 330     | 342         | PCR-RFLP              | T              | 1,31 | 1,02-1,68 | ND      | (131)      |
|     |        | 1612G>A    |                   | China    | 330     | 342         | PCR-RFLP              | A              | 0,96 | 0,78-1,19 | ND      | (131)      |
| 271 | VEGFA  | rs833061   | 26                | EEUU     | 96      | 1426        | iSelect from Illumina | C              | 1,37 | 1,01-1,85 | 0,05    | (35)       |
| 272 | WRN    | ND         | 28                | EEUU     | 98      | 69          | iSelect from Illumina | ND             | ND   | ND        | ND      | (50)       |
|     |        | rs13278463 | 25                | EEUU     | 96      | 1426        | iSelect from Illumina | NA             | NA   | NA        | 0,0813  | (35)       |
| 273 | XAB2   | rs4804756  | 14                | EEUU     | 96      | 1426        | iSelect from Illumina | ND             | ND   | ND        | 0,19    | (35)       |
| 274 | XPA    | rs10817938 | 14                | EEUU     | 96      | 1426        | iSelect from Illumina | ND             | ND   | ND        | 0,08    | (35)       |
| 275 | XPC    | rs3731143  | 37                | EEUU     | 96      | 1426        | iSelect from Illumina | ND             | ND   | ND        | 0,05    | (35)       |
| 276 | XPD    | rs13181    | 2                 | Italy    | 130     | 250         | TaqMan                | ND             | ND   | ND        | 0,11    | (117)      |
| 277 | XPG    | rs17655    |                   | Italy    | 130     | 250         | TaqMan                | ND             | ND   | ND        | ND      | (117)      |
| 278 | XRCC1  | rs2023614  | 20                | EEUU     | 96      | 1426        | iSelect from Illumina | ND             | ND   | ND        | 0,11    | (35)       |
| 279 | XRCC2  | rs13232006 | 15                | EEUU     | 96      | 1426        | iSelect from Illumina | ND             | ND   | ND        | 0,27    | (35)       |
| 280 | XRCC3  | rs861539   | 2                 | Slovenia | 79      | 373         | KASPAR assay          | CT+TT          | 0,54 | 0,30-0,99 | 0,05    | (52)       |
|     |        | rs3212092  | 21                | EEUU     | 96      | 1426        | iSelect from Illumina | A              | ND   | ND        | 0,01    | (35)       |
|     |        | rs1799794  | 2                 | Slovenia | 79      | 373         | KASPAR assay          | AG+GG          | 1,53 | 0,83-2,80 | 0,175   | (52)       |
| 281 | XRCC4  | rs2619778  | 62                | EEUU     | 96      | 1426        | iSelect from Illumina | ND             | ND   | ND        | 0,06    | (35)       |

**Tabla anexa 1.** Polimorfismos analizados en estudios de asociación de genes candidato de la susceptibilidad del OS (continúa).

| N   | Genes | SNP        | N SNPs estudiados | Origen | N casos | N controles | Metodo                | Alelo/Genotipo | OR   | IC95%     | P valor | Referencia |
|-----|-------|------------|-------------------|--------|---------|-------------|-----------------------|----------------|------|-----------|---------|------------|
| 282 | XRCC5 | rs16855552 | 48                | EEUU   | 96      | 1426        | iSelect from Illumina | T              | 2,1  | 1,32-3,27 | 0,002   | (35)       |
|     |       | rs2241320  |                   | EEUU   | 96      | 1426        | iSelect from Illumina | G              | 2,1  | 1,31-3,25 | 0,002   | (35)       |
|     |       | rs828918   |                   | EEUU   | 96      | 1426        | iSelect from Illumina | G              | 1,8  | 1,17-2,79 | 0,007   | (35)       |
|     |       | rs207876   |                   | EEUU   | 96      | 1426        | iSelect from Illumina | T              | 1,4  | 1,06-1,92 | 0,02    | (35)       |
|     |       | rs16855489 |                   | EEUU   | 96      | 1426        | iSelect from Illumina | T              | 1,4  | 1,05-1,89 | 0,022   | (35)       |
|     |       | ND         | 15                | EEUU   | 98      | 69          | iSelect from Illumina | ND             | ND   | ND        | ND      | (50)       |
| 283 | XRCC6 | rs132767   | 8                 | EEUU   | 96      | 1426        | iSelect from Illumina | GT             | 0,63 | 0,40-0,99 | 0,05    | (35)       |

## ***HIPOTESIS Y OBJETIVOS***



## HIPÓTESIS

El OS es el tumor óseo más común en jóvenes. Su inicio en edades tempranas apunta a que en su origen, existe un importante componente genético. Diversos estudios han sugerido que la susceptibilidad a desarrollar OS podría ser debido a pequeñas variantes comunes de baja penetrancia; sin embargo, todavía no han sido establecidas.

La mayoría de los estudios realizados hasta el momento, se han centrado en la búsqueda de variantes genéticas en regiones codificantes. De todos los estudios tan solo los SNPs rs2279744 y rs1690916 en *MDM2* y rs231775 en *CTLA4* muestran resultados que sugieren la posible asociación con la enfermedad.

Recientemente se ha demostrado la implicación de las regiones no codificantes en el origen y evolución de distintos cánceres. Los ncRNAs mas estudiados son los miRNAs que ya se han descrito desregulados en OS. Además, ya se han asociado variantes genéticas que alteran la expresión de miRNAs con el origen y evolución de distintos cánceres.

Por lo tanto, nos planteamos que la susceptibilidad del OS podría ser debida, en parte, a variantes genéticas comunes como las encontradas en los genes *MDM2* y *CTLA4* y/o a variantes en genes que afecten a la función de los miRNAs.



## **OBJETIVOS**

El objetivo principal de este estudio fue la identificación de nuevos marcadores genéticos de riesgo en OS juvenil.

Para ello, nos marcamos los siguientes objetivos específicos:

- 1. Validar los marcadores genéticos de susceptibilidad del OS propuestos en la literatura.**
  1. Comprobar la asociación de los polimorfismos rs1690916 y rs2279744 en el gen *MDM2* y el riesgo de OS mediante un estudio caso-control en dos nuevas poblaciones, revisión sistemática y MA.
  2. Comprobar la asociación del polimorfismo rs231775 en el gen *CTLA4* y el riesgo de OS, en un estudio caso control en nuestra población, revisión sistemática y MA.
- 2. Identificar los miRNAs cuya desregulación está asociada con la susceptibilidad a desarrollar OS.**
  1. Selección de miRNAs desregulados mediante la revisión sistemática de la literatura.
- 3. Determinar las variantes genéticas en genes relacionados con los miRNAs asociadas con la susceptibilidad a desarrollar OS.**
  1. Determinar la asociación de variantes genéticas en genes de procesamiento de miRNAs con la susceptibilidad del OS y su posible efecto funcional.
  2. Definir la asociación de variantes genéticas en pre-miRNAs con la susceptibilidad del OS y su posible efecto funcional.



## ***MATERIALES Y MÉTODOS***



## **1. POBLACIÓN DE ESTUDIO**

La población de estudio incluyó un total de 1076 individuos: 176 pacientes con OS y 900 controles. Las muestras de pacientes con OS se obtuvieron de 4 hospitales de referencia en España (Clínica Universitaria de Navarra, Pamplona; Hospital La Paz, Madrid; y Hospital Universitario Donostia, San Sebastián) y de la Unidad de Oncología Pediátrica del Hospital “University Children’s” de Liubliana, Eslovenia. Todos los casos fueron diagnosticados por expertos patólogos y oncólogos entre los años 1985 y 2013. El grupo control estuvo compuesto por individuos donantes sanos sin parentesco entre ellos procedentes de la colección C.0001171 registrada en el Instituto de Salud Carlos III (ISCIII).

Se obtuvo el correspondiente consentimiento informado y en los casos de los donantes menores de edad, el consentimiento fue autorizado y firmado por sus padres. Las muestras fueron codificadas y tratadas de acuerdo con la Declaración de Helsinki. El estudio fue aprobado por los comités de ética locales (105/2009 y 67/02/12). De cada individuo se recogieron los datos de edad y sexo. Las características demográficas de la población se detallan en la Tabla 5.

**Tabla 5.** Distribución de la población de estudio en cuanto a edad, sexo, origen y estudio.

|   | Total        | Controles    | Casos        |          |          |          |
|---|--------------|--------------|--------------|----------|----------|----------|
| <b>Número de participantes en el estudio</b>          | <b>1076</b>  | <b>900</b>   | <b>176</b>   |          |          |          |
| Edad (media, sd)                                      | 46,63(18,48) | 51,83(14,29) | 18,94(12,59) |          |          |          |
| Rango de edad cubierto                                | 3-93         | 18-93        | 3-69         |          |          |          |
| <b>Sexo</b>   | <b>n</b>     | <b>%</b>     | <b>n</b>     | <b>%</b> | <b>n</b> | <b>%</b> |
| Masculino   | 540          | 50,18        | 447          | 49,66    | 93       | 52,84    |
| Femenino  | 435          | 40,43        | 365          | 40,55    | 70       | 39,77    |
| Desconocido   | 101          | 9,38         | 88           | 9,77     | 13       | 7,39     |
| <b>Número individuos/Centro</b>                       | <b>n</b>     | <b>%</b>     | <b>n</b>     | <b>%</b> | <b>n</b> | <b>%</b> |
| Universidad del País Vasco (UPV/EHU)                  | 712          | 66,17        | 712          | 79,11    |          |          |
| Clínica Universitaria de Navarra                      | 104          | 9,66         |              |          | 104      | 59,42    |
| Hospital La Paz, Madrid                               | 9            | 0,84         |              |          | 9        | 45,71    |
| Hospital Universitario de Donostia                    | 4            | 0,37         |              |          | 4        | 22,85    |
| University Children's Hospital de Liublana            | 247          | 22,95        | 188          | 20,88    | 59       | 33,71    |
| <b>Número individuos/Estudio</b>                      |              |              |              |          |          |          |
| Análisis asociación polimorfismos en gen <i>MDM2</i>  | 432          |              | 259          |          | 173      |          |
| Análisis asociación polimorfismos en gen <i>CTLA4</i> | 233          |              | 125          |          | 108      |          |
| Análisis asociación genes de procesamiento miRNAs     | 514          |              | 411          |          | 103      |          |
| Análisis asociación miRNAs                            | 352          |              | 256          |          | 96       |          |

Sd= desviación estándar

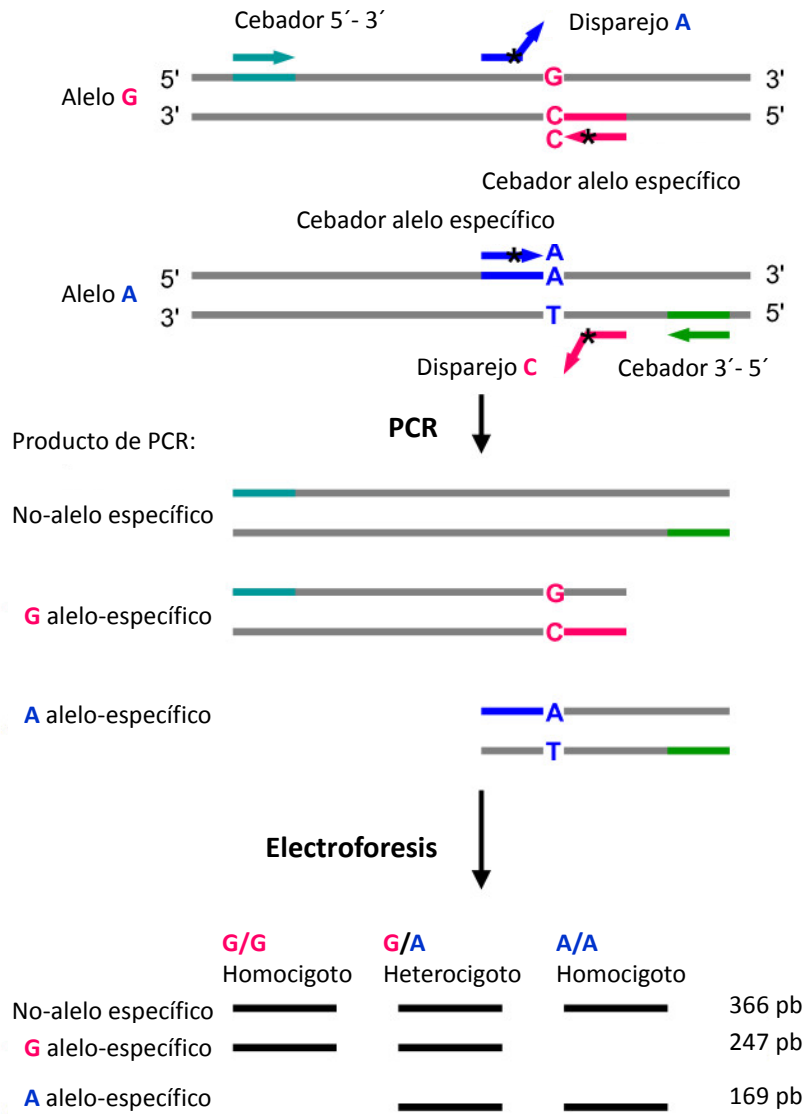
## **2. SNPs PREVIAMENTE ASOCIADOS A LA SUSCEPTIBILIDAD DEL OS**

### **2.1 BÚSQUEDA DE GENES ASOCIADOS A LA SUSCEPTIBILIDAD DEL OS**

Para la búsqueda de los SNPs asociados al riesgo a desarrollar OS se realizó una búsqueda en la base de datos de Pubmed introduciendo los términos (polymorphisms OR “genetic variant” AND osteosarcoma OR “bone tumor”) hasta el 21 de noviembre de 2013. Para la validación se seleccionaron el rs1690916 y el rs2279744 para el gen *MDM2* y el rs231775 en el gen *CTLA4* debido a que fueron los SNPs asociados con el riesgo a desarrollar OS al menos en dos estudios.

### **2.2 GENOTIPADO DEL SNP rs1690916 EN EL GEN MDM2 MEDIANTE ARMS-PCR**

Se utilizó la técnica *Amplification Refractory Mutation System-Polymerase chain reaction* o amplificación por PCR de alelos (ARMS-PCR), la cual permite detectar cualquier variación genética que implique cambios de una sola base o pequeñas delecciones. Fundamentalmente, se basa en la amplificación de la región donde se sitúa el polimorfismo mediante el uso de dos parejas de cebadores, que permiten diferenciar cada uno de los alelos. La técnica se esquematiza en la figura 12.



**Figura 12.** Esquema de ARMS-PCR para el polimorfismo rs1690916 (elaboración propia).

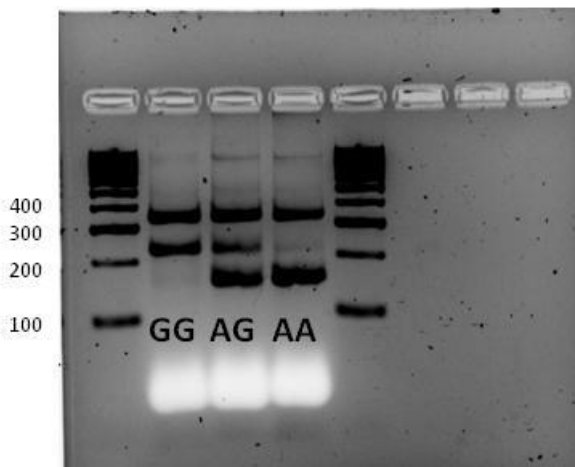
Los cebadores están diseñados de manera que se solapan en la ubicación del polimorfismo rs1690916, pero cada pareja solo se une perfectamente a uno de los alelos. Cada una de las parejas tiene un cebador en sentido 5'- 3' (Forward o F) y otro en sentido 3'- 5' (Reverse o R). Además, los dos pares de cebadores están diseñados con el objetivo de que sus productos de PCR sean de una longitud significativamente diferente. De modo que el producto del amplificado consta de una banda no-alelo específica y la banda alelo-específica correspondiente al alelo del polimorfismo. Las secuencias de los cebadores se especifican en la Tabla 6.

**Tabla 6.** Secuencia de los cebadores utilizados para el genotipado del SNP rs1690916 mediante ARMS-PCR.

| Nombre       | Secuencia (5'-3')           | T <sup>g</sup> de<br>anillamiento | Tamaño |
|--------------|-----------------------------|-----------------------------------|--------|
|              |                             |                                   | (pb)   |
| MDM2_rs16_F1 | CCCCTAACATTGAAAAACAACTCTAAG | 60°C                              |        |
| MDM2_rs16_R1 | TGCTGACCCCTGTCATTCTTG       | 60°C                              | 247bp  |
| MDM2_rs16_F2 | CCACCATTACCCGTAAGACA        | 60°C                              | 169bp  |
| MDM2_rs16_R2 | GGCCAAGAAGGTACTTTAAAGTGTT   | 60°C                              |        |

En el caso de los individuos homocigotos para el alelo G se obtuvieron 2 bandas de 247 y 366 pb (calle 2, Figura 13), los individuos homocigotos para el alelo A generaron 2 bandas de 169 y 366 pb (calle 4, Figura 13) y los heterocigotos obtuvieron 3 bandas de 169, 247 y 366 pb (calle 3, Figura 13).

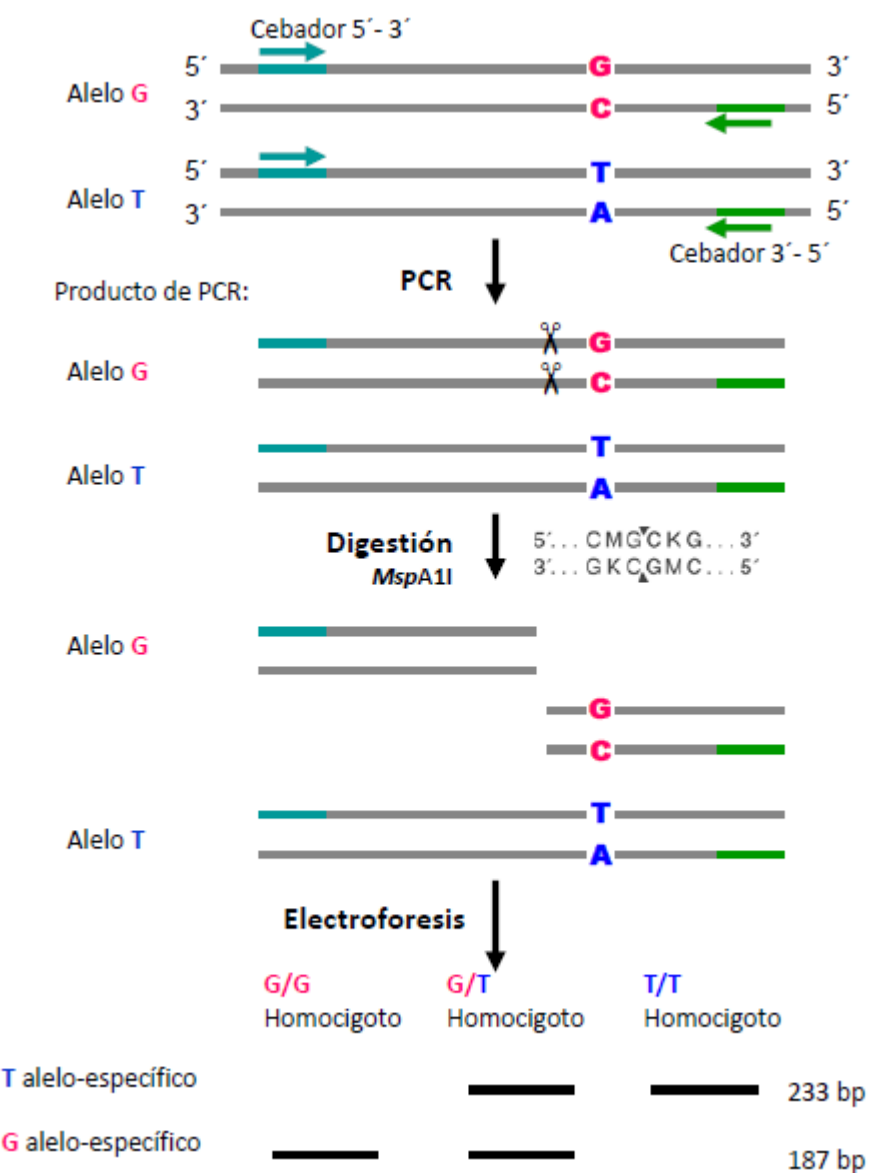
La electroforesis se realizó en geles de agarosa al 2% en tampón TBE 1X, teñidos con SYBR Safe durante 30 minutos a voltaje constante de 90V. Por cada muestra se mezclaron 6 µl de amplificado y 4 µl de solución de carga, junto al marcador molecular Hyperladder IV (100–1000 pb). Los resultados fueron visualizados bajo luz ultravioleta con el equipo de documentación ChemiDoc XRS de BioRad.



**Figura 13.** Gel de agarosa mostrando los resultados del genotipado de rs1690916.

## 2.3 GENOTIPADO DEL SNP rs2279744 EN MDM2 MEDIANTE PCR-RFLP

La técnica *polymerase chain reaction-restriction fragment length polymorphism* (PCR-RFLP) está basada en el uso de enzimas de restricción que reconocen dianas específicas. Tras amplificar por PCR el fragmento del ADN en el que se sitúa el polimorfismo, éste se digiere con una enzima de restricción concreta que cortará en función del alelo. De ese modo, se formarán fragmentos de diferentes longitudes, que permitirán determinar el genotipo mediante electroforesis. La técnica se esquematiza en la figura 14.



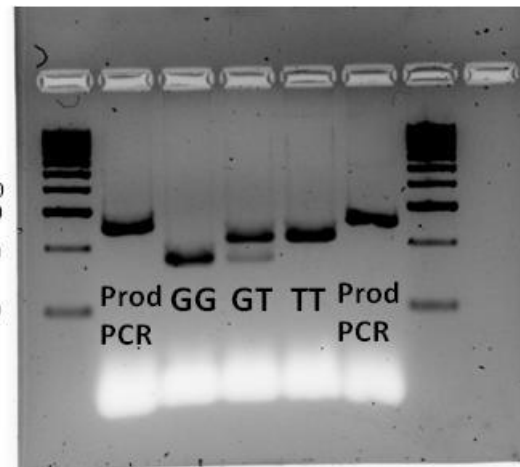
**Figura 14.** Esquema de la PCR-RFLP para el polimorfismo rs2279744. La banda que determina el alelo T en la figura es de 233 pb. La banda que determina el alelo G en la figura es de 187 pb. En la figura no se han mostrado las bandas inferiores a 100 pb.

Tras comprobar la correcta amplificación de la PCR en geles de agarosa al 2% (264pb), digerimos los fragmentos amplificados con la enzima de restricción MspA1I a 37°C durante toda la noche. Esta enzima reconoce de forma específica la secuencia 5'-C(A/C)G'C(G/T)G-3' donde se sitúa el polimorfismo rs2279744 en quinta posición (Tabla 7). Los individuos homocigotos para el alelo G dieron lugar a tres fragmentos de 31 pb, 46 pb y 187 pb; las muestras heterocigotas generaron 4 fragmentos: 31 pb, 46 pb, 187 pb y 233 pb y los homocigotos para el alelo T generaron 2 fragmentos de 31 pb y 233 pb.

**Tabla 7.** Secuencia de los cebadores utilizados para el genotipado del SNP rs2279744 mediante RFLP.

| Nombre      | Secuencia (5'-3')    | T <sup>a</sup> de<br>anillamiento | Tamaño |
|-------------|----------------------|-----------------------------------|--------|
|             |                      |                                   | (pb)   |
| MDM2_rs22_F | CGGGAGTTCAAGGTAAAGG  | 60°C                              | 264 pb |
| MDM2_rs22_R | CTGGGAAAATGCATGGTTAA | 60°C                              |        |

El enzima de restricción se eligió utilizando el software NEBcutter v2.0 de New England Biolabs (<http://tools.neb.com/NEBcutter2/>). Las electroforesis de ambos procesos (de la PCR y de la digestión de los fragmentos) se realizaron en geles de agarosa al 2%. La representación de las bandas en un gel se muestra en la figura 15.



**Figura 15.** Gel de agarosa mostrando los resultados del genotipado de rs2279744.

## 2.4 META-ANÁLISIS DE LOS SNPS rs1690916 y rs2279744 DEL GEN MDM2

### *Estrategia de búsqueda*

Se realizó una búsqueda informatizada para identificar las publicaciones que estudiaban la asociación entre los polimorfismos rs1690916 y rs2279744 (también conocido como T309G) del gen *MDM2* y el riesgo de padecer OS. Para ello, se utilizaron las bases de datos Pubmed ([www.ncbi.nlm.nih.gov/pubmed](http://www.ncbi.nlm.nih.gov/pubmed)) y Scopus ([www.scopus.com](http://www.scopus.com)). Con el fin de identificar todos los estudios realizados hasta el momento, se fijaron los siguientes criterios de búsqueda:

1. ("bone tumor" or osteosarcoma) and (polymorphism or SNP)
2. rs1690916 or rs2279744 or T309G
3. (*MDM2* or "murine double minute 2") and ("bone tumor" or osteosarcoma)

En la búsqueda se incluyeron todos los registros publicados hasta el 24 de febrero del 2014.

### *Criterios de inclusión y exclusión*

Los criterios de inclusión que se tuvieron en cuenta fueron los siguientes:

- a) Estudios de asociación independientes.

- b) Estudios que analizaran los polimorfismos rs1690916 y/o rs2279744 y susceptibilidad a OS.

A continuación se eliminaron todos los artículos duplicados y se hizo una primera fase de selección. Los criterios de exclusión se aplicaron en el siguiente orden:

- a) Otro tipo de publicación: En esta categoría se clasificaron todas aquellas publicaciones que no fueran artículos: Revisiones, cartas al editor, MA, etc.
- b) Otra enfermedad: Artículos que estudiaban otras enfermedades.
- c) Estudio no en humanos: Estudios realizados en otro tipo de organismos.
- d) No publicado en inglés
- e) Otra región genómica: En esta categoría fueron incluidos los estudios que analizaban otros genes, genomas (ADN mitocondrial) u otras regiones cromosómicas.
- f) No estudio de polimorfismos: Estudios de expresión, metilación, diferenciación, caracterización bioquímica o morfológica, ligamiento o estudios funcionales, de clonación, interacción génica, etc.
- g) Otra variante: Los artículos que estudiaban otros polimorfismos, otras mutaciones, CNV, LOH, microsatélites o alteraciones del ADN fueron incluidos en esta categoría.
- h) No estudia susceptibilidad: Los estudios de farmacogenética, respuesta a fármacos, pronóstico, supervivencia, toxicidad, etc. conforman esta categoría.
- i) Anterior a 1990.

La primera fase de selección se basó únicamente en el resumen de las publicaciones. Aquellos artículos sin resumen disponible pasaron directamente a una segunda fase de selección. Esta fase posterior se basó en una lectura del texto completo del artículo. En esta ocasión se utilizaron los mismos criterios de exclusión, añadiendo dos más: (1) Menos de 10 muestras y (2) Artículos sin texto completo. De esta forma se obtuvo el número final de artículos que se incluyeron en el estudio. En estos artículos se revisaron además las referencias citadas, para identificar artículos adicionales no indexados en las bases de datos habituales.

La búsqueda y selección de artículos fue realizada por dos investigadores de modo independiente y los desacuerdos se solventaron por consenso. Todo el proceso seguido en la revisión sistemática ha sido representado gráficamente en un *flow chart* (sección de resultados), en el que se especifica el total de artículos incluidos y el número de publicaciones excluidas por cada criterio.

### ***Extracción de datos***

De cada artículo seleccionado se recopiló el año de la publicación, los nombres de los autores, la etnia de la población utilizada, el número de pacientes y controles y las frecuencias genotípicas de los polimorfismos rs1690916 y rs2279744 del gen *MDM2*. En aquellos casos en los que la información genotípica no estaba disponible, se solicitó la información directamente a los autores.

Con el fin de determinar si los polimorfismos rs1690916 y rs2279744 del gen *MDM2* influían en el riesgo de OS, se llevó a cabo un meta-análisis, incluyendo los datos brutos de los artículos obtenidos en la revisión sistemática, y los datos brutos de las dos poblaciones estudiadas en este trabajo (ver apartados 2.2 y 2.3).

### ***Análisis de la calidad de los estudios***

La calidad de los estudios incluidos fue evaluada por dos investigadores independientes. Cada estudio se puntuó de acuerdo a una “escala para la evaluación de la calidad metodológica” (Tabla 8), que fue modificada de anteriores MA (132, 133). En la escala se incluyeron 5 secciones: representatividad de los casos, procedencia de la muestra control, tamaño de muestra, control de calidad del método de genotipado y EHW; que fueron cuidadosamente revisadas. La puntuación osciló entre 0 y 10. Puntuaciones superiores a 5 se consideraron aceptables.

**Tabla 8.** Escala para la evaluación de la calidad metodológica de los estudios.

| Criterio  | Puntuación |
|---|------------|
| <b>1. Representatividad de casos</b>                                |            |
| OS diagnosticado de acuerdo a criterios reconocidos                 | 2          |
| Criterio de diagnóstico mencionado pero no específicamente descrito | 1          |
| No descrito   | 0          |
| <b>2. Procedencia de la muestra control</b>                         |            |
| Poblacional   | 3          |
| Controles de hospital sin OS  | 2          |
| Voluntarios sanos sin descripción completa                          | 1          |
| Controles sin OS con enfermedades relacionadas                      | 0,5        |
| No descrito   | 0          |
| <b>3. Tamaño de muestra</b>   |            |
| >100  | 2          |
| 25-100  | 1          |
| <25   | 0          |
| <b>4. Control de calidad del método de genotipado</b>               |            |
| Repetición de parte/todas las muestras con un método diferente      | 2          |
| Repetición de parte/todas las muestras con el mismo método          | 1          |
| No descrito   | 0          |
| <b>5. Equilibrio de Hardy-Weinberg (EHW)</b>                        |            |
| Equilibrio de Hardy-Weinberg en población control                   | 1          |
| Desequilibrio de Hardy-Weinberg en población control                | 0          |

### Meta-análisis

Se evaluó la asociación de los polimorfismos rs1690916 y rs2279744 con el riesgo a desarrollar OS mediante el modelo alélico, codominante, dominante y recesivo. Se combinaron los datos de los genotipos de cada estudio para analizar la asociación con la susceptibilidad, obteniendo el estimador global del riesgo mediante OR y 95%IC calculado mediante el método de Mantel-Haenszel con el modelo de efectos aleatorios (134). El modelo de efectos aleatorios asume que la variación entre estudios se debe al azar y al efecto individual de cada estudio. Los datos se procesaron utilizando la librería meta del software R (Versión de R 3.0.3, the R Foundation for Statistical Computing). El resultado del MA se representó gráficamente en un *forest plot*. Esta figura representa en un solo eje los valores del OR y 95%IC de cada estudio, el tamaño de muestra y el estimador global del MA.

### Análisis de heterogeneidad

La heterogeneidad en el MA fue evaluada con el estadístico  $I^2$ , que cuantifica la variabilidad entre los estudios, proporcionando un valor del grado de inconsistencia de los resultados obtenidos. Este estadístico es independiente del número de estudios incluidos en el MA. Tiene un valor entre 0 y 100 % y describe el porcentaje de variación total entre los estudios que es debida a la heterogeneidad que hay entre ellos más que al azar. Un valor de  $I^2$

alto denota un grado elevado de heterogeneidad. Habitualmente se considera que el valor  $I^2$  de 0-25 %, no hay heterogeneidad, 25-50 % heterogeneidad moderada, 50-75 % gran heterogeneidad y 75-100 % heterogeneidad alta. En los casos de heterogeneidad alta en el MA, se realizó un análisis de influencias para saber qué estudio era el causante de dicha heterogeneidad. El análisis de influencias consiste en una estimación del propio MA, omitiendo un estudio cada vez que se vuelve a recalcular el MA.

### ***Análisis del sesgo de publicación***

El sesgo de publicación, es decir, la publicación selectiva de estudios en base a sus hallazgos, representa un riesgo para la validez de cualquier MA. Independientemente de la calidad de los estudios, es menos probable que se publiquen estudios con resultados no concluyentes o negativos (135, 136), por lo que su exclusión puede sesgar los resultados de la revisión sistemática. Es el llamado sesgo de publicación, que da lugar a que es más probable que en la revisión sistemática que excluye estudios no publicados sobreestimen la relación entre la exposición y el evento de interés (137).

El análisis del sesgo de publicación de la literatura empleada en el meta-análisis se analizó mediante el test de Egger (138) y se representó en el “funnel plot” de Begg que contrastan la hipótesis nula de ausencia de sesgo de publicación.

## **2.5 GENOTIPADO DEL SNP rs231775 EN *CTLA4***

El SNP rs231775 situado en el gen *CTLA4*, se genotipó mediante PCR-RFLP con la enzima de restricción *BstEII*. Las secuencias de cebadores se muestran en la tabla 9.

**Tabla 9.** Secuencia de los cebadores utilizados para el genotipado del SNP rs231775 mediante RFLP.

| Nombre       | Secuencia (5'-3')     | T <sup>a</sup> de<br>anillamiento | Tamaño |
|--------------|-----------------------|-----------------------------------|--------|
|              |                       |                                   | (pb)   |
| CTLA4_rs23_F | AAGGCTCAGCTGAACCTGGC  | 60°C                              | 153 pb |
| CTLA4_rs23_R | CTGCTGAAACAAATGAAACCC | 60°C                              |        |

## 2.6 META-ANÁLISIS DEL SNP rs231775 DEL GEN CTLA4

Con el fin de determinar si el polimorfismo rs231775 del gen *CTLA4* estaba asociado con el riesgo de OS, se llevó a cabo una búsqueda sistemática y un MA, siguiendo la misma estrategia metodológica que la realizada para *MDM2* (apartado 2.4), salvo con algunas excepciones.

En este caso, los criterios de búsqueda fueron los siguientes:

1. ("bone tumor" or osteosarcoma) and (polymorphism or SNP)
2. rs231775 OR +49G>A
3. (CTLA4 or "cytotoxic T-lymphocyte-associated protein 4") and ("bone tumor" or osteosarcoma)

En la búsqueda se incluyeron todos los registros publicados hasta el 25 de marzo del 2014.

Todos los artículos obtenidos en la revisión sistemática, además de los resultados obtenidos en población española, fueron incluidos en el MA.

La asociación entre el polimorfismo rs231775 y OS se evaluó mediante la comparación de los genotipos AA vs GG+GA y el modelo alélico (A vs G).

### **3. SNPS EN GENES RELACIONADOS CON LOS MIRNAS**

El segundo objetivo de esta tesis fue determinar los miRNAs desregulados en relación a la susceptibilidad a desarrollar OS.

#### **3.1 BÚSQUEDA DE MIRNAS DESREGULADOS EN LA SUSCEPTIBILIDAD DEL OSTEOSARCOMA**

##### ***Estrategia de búsqueda***

Se realizó una búsqueda informatizada para identificar las publicaciones que estudiaban la asociación entre la desregulación de los miRNAs y la susceptibilidad del OS. Para ello, se utilizó la base de datos Pubmed ([www.ncbi.nlm.nih.gov/pubmed](http://www.ncbi.nlm.nih.gov/pubmed)). Con el fin de identificar todos los estudios realizados hasta el momento, se fijó el algoritmo de búsqueda ((“mir” OR “miRNA”) AND osteosarcoma). En la búsqueda se incluyeron todos los registros publicados hasta el 12 de septiembre del 2014.

##### ***Criterios de inclusión y exclusión***

Esta búsqueda tenía como objetivo localizar artículos en los que se estudiara las diferencias de expresión de miRNAs en tejido óseo no afectado de individuos con OS pediátrico frente a tejido óseo de individuos sanos.

Los criterios de exclusión se aplicaron en el siguiente orden:

- a) Artículo sobre base de datos.
- b) Otra enfermedad: Artículos que estudiaban otras enfermedades.
- c) Estudio no en humanos: Estudios realizados en otro tipo de organismos.
- d) Artículos centrados en la búsqueda de dianas de miRNAs.
- e) Otro tipo de publicación: En esta categoría se clasificaron todas aquellas publicaciones que no fueran artículos: Revisiones, cartas al editor, MA, etc.

f) Otra región genómica: En esta categoría fueron incluidos los estudios que analizaban otros genes o RNAs no codificantes.

g) Estudio de comportamiento de los miRNAs tras administrar el fármaco.

h) No estudia susceptibilidad: Los estudios de farmacogenética, respuesta a fármacos, pronóstico, supervivencia, toxicidad, etc. conforman esta categoría.

Aquellos artículos sin resumen disponible pasaron directamente a una segunda fase de selección. Esta fase posterior se basó en una lectura del texto completo del artículo. En esta ocasión se utilizaron los mismos criterios de exclusión, añadiendo dos más: (1) OS no pediátrico o juvenil ( $> 34$  años) y (2) Artículos sin texto completo. En estos artículos se revisaron además las referencias citadas, para identificar artículos adicionales no indexados en las bases de datos habituales.

La búsqueda y selección de artículos fue realizada por dos investigadores de modo independiente y los desacuerdos se solventaron por consenso. Todo el proceso seguido en la revisión sistemática ha sido representado gráficamente en un *flow chart* (sección de resultados), en el que se especifica el total de artículos incluidos y el número de publicaciones excluidas por cada criterio.

No se encontró ningún trabajo que analizara diferencias de expresión de miRNAs comparando tejido óseo sano de paciente con OS y tejido óseo de individuo sano.

## **3.2. ESTUDIO DE SNPS EN GENES DE PROCESAMIENTO DE MIRNAS**

### **3.2.1 SELECCIÓN DE GENES DE PROCESAMIENTO DE MIRNAS Y SNPS**

Tras revisión bibliográfica utilizando los términos “microRNA-machinery genes” OR “microRNA Biosynthesis Pathways” en Pubmed (hasta marzo 2011) y la base de datos Patrocles, se seleccionaron los genes implicados en el procesamiento de los miRNAs; un total de 21 genes (72, 139) (Tabla 10).

**Tabla 10.** Genes implicados en la biogénesis y procesamiento de miRNAs.

GENES DEL PROCESAMIENTO DE MIRNAS

| COMPLEJO RISC    | COMPLEJO GENIM | GENIM3        |
|------------------|----------------|---------------|
|                  |                | <i>GENIM4</i> |
|                  |                | <i>GENIM5</i> |
| AGO              |                | <i>EIF2C1</i> |
|                  |                | <i>EIF2C2</i> |
|                  |                | <i>HIWI</i>   |
| COMPLEJO CCR-NOT |                | <i>CNOT1</i>  |
|                  |                | <i>CNOT2</i>  |
|                  |                | <i>CNOT3</i>  |
|                  |                | <i>CNOT4</i>  |
|                  |                | <i>CNOT5</i>  |
|                  |                | <i>CNOT6</i>  |
| GW182            |                | <i>TNRC6A</i> |
|                  |                | <i>TNRC6B</i> |
| SND1             |                | <i>SND1</i>   |
| DROSHA/DGR8      | DGCR8          | <i>DGCR8</i>  |
|                  | DROSHA         | <i>DROSHA</i> |
| COMPLEJO DICER   | XPO5           | <i>XPO5</i>   |
|                  | RAN            | <i>RAN</i>    |
|                  | DICER          | <i>DICER</i>  |
|                  | TRBP           | <i>TRBP</i>   |

En estos 21 genes, se seleccionaron un total de 72 SNPs siguiendo los siguientes criterios (a) tagSNPs con  $r^2 > 0,8$ , con el objetivo de captar toda la variabilidad genética de los genes seleccionados. Para ello se utilizó la base de datos del proyecto Internacional HapMap (versión #24; <http://www.hapmap.org>) y el software Haploview v4.2 (<http://www.broad.mit.edu/mpg/haploview/>) (Broad Institute, Cambridge, USA), SNPs con posible efecto funcional, considerando aquellos que provocaban cambios de aa, *splicing* alternativo, aquellos localizados en la región promotora en lugares de unión de factores de

transcripción, o que creaban/eliminaban dianas de miRNAs. Para ello se emplearon las bases de datos, F-SNP (<http://compbio.cs.queensu.ca/F-SNP/>) (Queen's University, Kingston, Canada), Fast-SNP (<http://fastsnp.ibms.sinica.edu.tw>) (Academia Sinica, Taipei, Taiwan) y Patrocles. Adicionalmente, se seleccionaron SNPs que habían sido previamente asociados con el riesgo de cáncer en la literatura.

Se seleccionaron los SNPs que tenían una frecuencia del alelo menor (MAF) mayor del 5% ( $MAF \geq 0,05$ ) en poblaciones europeas y caucásicas (tabla 11 y tabla anexa 10).

**Tabla 11.** Selección de polimorfismos en genes de procesamiento de miRNAs.

| Gen            | SNP  |
|----------------|--|
| <i>CNOT1</i>   | rs11644694, rs11866002, rs37060  |
| <i>CNOT2</i>   | rs10506586   |
| <i>CNOT3</i>   | rs42318  |
| <i>CNOT4</i>   | rs1003226, rs3763425, rs3812265  |
| <i>CNOT6</i>   | rs11738060, rs6877400  |
| <i>DGCR8</i>   | rs1640299, rs35987994, rs3757, rs417309, rs9606248   |
| <i>DICER1</i>  | rs1057035, rs1209904, rs13078, rs3742330   |
| <i>DROSHA</i>  | rs10035440, rs10719, rs17408716, rs2287584, rs3792830, rs3805500, rs4867329, rs493760, rs55656741, rs639174, rs6877842, rs6884823, rs7735863 |
| <i>EIF2C1</i>  | rs595961, rs636832   |
| <i>EIF2C2</i>  | rs2292778, rs2293939, rs4961280  |
| <i>GEMIN3</i>  | rs197388, rs197412, rs197414, rs563002   |
| <i>GEMIN4</i>  | rs1062923, rs2740348, rs34610323, rs3744741, rs7813, rs910924  |
| <i>GEMIN5</i>  | rs1974777, rs6865950, rs816736   |
| <i>PIWIL1</i>  | rs1106042  |
| <i>RAN</i>     | rs11061209, rs14035  |
| <i>SMAD5</i>   | rs3764941, rs3764942   |
| <i>SND1</i>    | rs17151639, rs17676986, rs322825, rs3823994  |
| <i>TNRC6A</i>  | rs6497759  |
| <i>TNRC6B</i>  | rs139919, rs2413621, rs470113, rs4821943, rs9611280  |
| <i>TARBP2P</i> | rs784567   |
| <i>XPO5</i>    | rs1106841, rs2227301, rs2257082, rs34324334, rs7755135   |

### 3.2.2 GENOTIPADO DE SNPs EN GENES DE PROCESAMIENTO DE MIRNAS

El genotipado de SNPs en genes de procesamiento de miRNAs se llevó a cabo en los Servicios Generales de Investigación (SGIKER) de la Universidad del País Vasco (UPV/EHU) mediante la tecnología Taqman Open Array (Applied Biosystems) siguiendo las instrucciones del fabricante.

La plataforma de genotipado Taqman Open Array contiene ensayos Taqman de genotipado de SNPs en un formato de array de 3072 nanoporos. En cada nanoporo se colocan las sondas de un único SNP (cada reacción es independiente).

Las sondas TaqMan permiten medir la producción de productos de PCR mediante un sistema de sondas marcadas mediante dos fluorocromos: un fluoróforo en su extremo 5' (denominado en inglés «*reporter*») y una molécula en el 3' que bloquea la emisión de fluorescencia (denominada en inglés «*quencher*»). Esta sonda marcada hibrida específicamente en la parte central del producto de PCR a obtener. De este modo, cuando se efectúa la PCR (con la sonda más el par de cebadores específicos), la sonda hibrida con el amplicón, pero debido a la cercanía del fluoróforo al *quencher*, no se emite fluorescencia. Cuando la polimerasa se topa con la sonda, la hidroliza mediante su actividad exonucleasa 5'-3', lo cual provoca la separación del *quencher* del fluoróforo y, por tanto, la emisión de fluorescencia. La fluorescencia estará, por tanto, relacionada con la cantidad de amplicón producido (Figura 16).

La fluorescencia se detectó utilizando “Real Time ABI PRISM 7900 sequence detector”. Para cada SNP, cada genotipo tuvo una fluorescencia específica: verde en el caso de homocigosidad del alelo 1 (fluoróforo VIC en extremo 5'), azul en el caso de homocigosidad del alelo 2 (fluoróforo FAM en extremo 5') y amarillo en el caso de heterocigosidad (Figura 16).

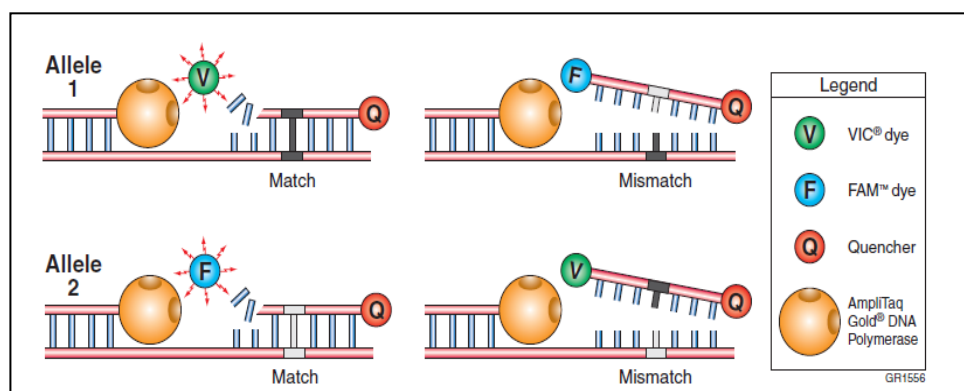
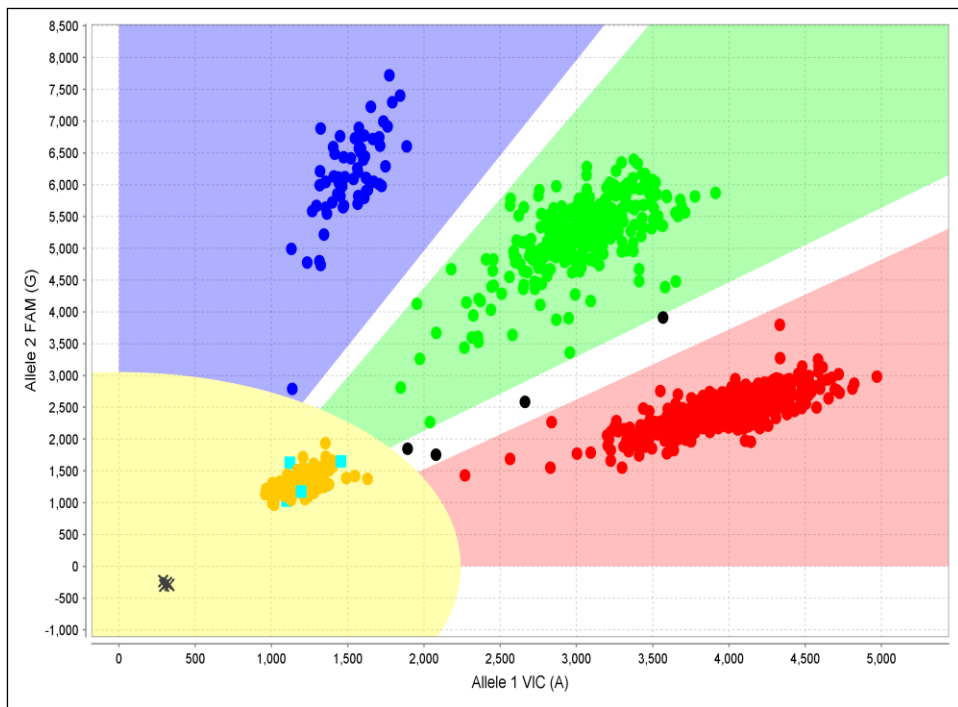


Figura 16. Representación del genotipado de polimorfismos mediante sondas TaqMan (140).

Los resultados se analizaron mediante el software “Taqman Genotyper” que permite el análisis de *clusters* y *calling* (Figura 17). El *clustering* es el proceso de agrupación de muestras en base a la señal de fluorescencia. El *calling* es el proceso de asignación de genotipo a cada muestra.



**Figura 17.** Representación del análisis de “cluster” y “calling” con el software TaqmanGnnotyper. Los individuos AA están marcados en rojo, AG en verde, GG en azul, los individuos cuyo genotipado fallido en amarillo y los blancos se representan mediante cuadros azul claro.

Como control de genotipado, se analizaron 10 muestras por duplicado. Los SNPs que mostraron errores de transmisión alélica mendeliana o que mostraron genotipos discordantes se excluyeron del análisis.

### 3.3 SNPS EN MIRNAS

#### 3.3.1 SELECCIÓN DE GENES DE MIRNAS Y MIR-SNPs

Debido a que no se han estudiados los miRNAs desregulados en la susceptibilidad a desarrollar OS infantil y teniendo en cuenta que:

1. Los SNPs localizados en la región *seed* del pre-miRNA pueden desestabilizar la interacción miRNA-mRNA o incluso cambiar las dianas del miRNA.
2. Los SNPs localizados en los pre-miRNAs pueden influir en su procesamiento y/o selección de dianas (interacciones miRNA-mRNA) (141).

3. Los miRNAs pueden regular un gran número de genes que no están completamente definidos, por lo que cualquier miRNA podría estar implicado en la regulación de los genes que afectan al riesgo de OS pediátrico.

4. El número de polimorfismos en mir-SNPs con una frecuencia del alelo menor (MAF) mayor del 1% descritos en la población caucásica fue abordable metodológicamente en el momento de la selección.

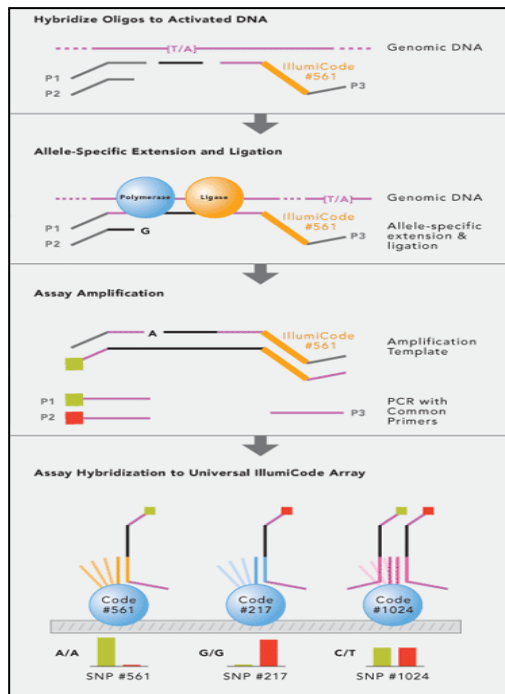
Se decidió incluir en el estudio todos los SNPs descritos en pre-miRNAs.

Para la búsqueda de los mir-SNPs se introdujeron todos los miRNAs descritos hasta el momento ([www.mirbase.org](http://www.mirbase.org)) en la base de datos miRNA SNIPER (<http://www.integratomics-time.com/miRNAs-SNIPER/>). Posteriormente, se introdujeron todos los SNPs en la base de datos dbSNP (<http://www.ncbi.nlm.nih.gov/snp/>) para la búsqueda de la MAF. Se seleccionaron todos aquellos SNPs con un MAF mayor del 1% ( $MAF \geq 0,01$ ) en la población caucásica.

### 3.3.2 GENOTIPADO DE POLIMORFISMOS EN GENES DE PRE-MIRNAS

El genotipado de SNPs en miRNAs se realizó utilizando la tecnología GoldenGate de VeraCode, Illumina, en el Centro Nacional de Genotipado (CeGen-ISCI). Esta plataforma permite un ensayo multiplex de PCR, lo que significa que es posible procesar un gran número de SNPs de manera simultánea (más de 1536 SNPs) por lo que se minimiza el tiempo, volumen de reactivos y requisitos materiales en el proceso.

El ensayo GoldenGate consiste en varios pasos. En primer lugar, la muestra de ADN se marca con Biotina o Estreptavidina (250ng de ADN a 50 ng/ $\mu$ L). Esta marca sirve para que, posteriormente, se le unan los *primers* específicos diseñados para cada SNP. En concreto, se diseñan 3 *primers*: dos de ellos son específicos para cada alelo del SNP (denominados ASOs); el tercer *primer* hibrida unas bases aguasabajo del locus del SNP (denominado LSO). El LSO contiene un código que identifica cada SNP. El siguiente paso es la extensión de los ASOs hacia la LSO y posteriormente se amplifican esta región mediante PCR con *primers* universales. Estos *primers* están marcados con diferentes colorantes para cada ASO (Cy-3 y Cy-5). De esta manera se puede identificar cada alelo del SNP. Estos productos se hibridan en una matriz permitiendo el análisis de cada SNP mediante señal fluorescente (Figura 18).



**Figura 18.** Resumen del ensayo GoldenGate.

### 3.3.3 ANÁLISIS *IN SILICO* DE LA PREDICCIÓN DE LA ESTRUCTURA SECUNDARIA DE LOS MIRNAS

Con el objetivo de establecer los cambios provocados por los SNPs en la estructura del pre-miRNA se realizó un análisis *in silico* con la herramienta bioinformática miRNAsNP (versión 2) (<http://www.bioguo.org/miRNAsNP/>).

## 4. ANÁLISIS DE ESTADÍSTICOS DE LOS ESTUDIOS DE ASOCIACIÓN

El éxito de genotipado para cada SNP se calculó con el software Haploview (v 4.2).

Antes de realizar un análisis de asociación se debe comprobar si se cumple el principio de EHW en la muestra de controles para saber si este grupo es representativo de la población general desde el punto de vista genético. El principio del EHW determina qué frecuencias deben observarse en la población para cada genotipo en el caso de que no ocurran fenómenos distorsionadores que dieran lugar a la desviación de los genotipos. Esta desviación puede deberse a errores en el método de genotipado, cosanguinidad entre individuos o a la

existencia de fenómenos de selección de alelos. El EHW en la población control se evaluó mediante el test de  $\chi^2$  o test exacto de Fisher. Se tomó un nivel de significancia de 0,05. Solo se incluyeron aquellos SNPs que estaban en equilibrio en la población control.

El análisis de asociación se calculó mediante la OR y el correspondiente 95%IC de cada genotipo respecto de la referencia para cuantificar la magnitud de la asociación. La comparación de frecuencias genotípicas entre casos y controles se llevó a cabo mediante el modelo de regresión logística utilizando 5 modelos de herencia genéticos diferentes (alélico, codominante, dominante, recesivo y aditivo). El modelo alélico postula que uno de los alelos provoca el riesgo, el modelo codominante postula que cada genotipo proporciona un riesgo de la enfermedad diferente y no aditivo; el modelo dominante supone que una única copia del alelo de riesgo es suficiente para modificar el riesgo; el modelo recesivo supone que son 2 copias del alelo para modificar el riesgo y el modelo aditivo supone que cada copia del alelo modifica el riesgo en una cantidad aditiva (142). La comparación de frecuencias alélicas entre casos y controles se llevó a cabo mediante el test de  $\chi^2$ . Se tomó un nivel de significancia de 0,05. Debido al gran número de SNPs en estudio y por tanto, al gran número de comparaciones, es frecuente que haya falsos positivos. En consecuencia, los valores de significancia se corrigieron mediante dos métodos (1) False Discovery Rate (FDR): se calcula teniendo en cuenta el número de SNPs significativos obtenidos (2) Bonferroni: se calcula teniendo en cuenta todos los SNPs estudiados y por ello, es un método más conservador (143). Los datos se procesaron utilizando la librería SNPAssoc para el software R (Versión de R 3.0.3, "the R Foundation for Statistical Computing").

## *Anexo*

## **1. PROTOCOLOS DE PROCESAMIENTO DE LAS MUESTRAS**

Las muestras de ADN se extrajeron a partir de distintos tejidos: 2-4 ml de sangre periférica (SP) en el caso de pacientes con OS españoles y controles; 2-4 ml de saliva en el caso de los controles españoles; y tejido parafinado no afectado en el caso de pacientes eslovenos.

### **1.1 EXTRACCIÓN DE ADN A PARTIR DE SANGRE PERIFÉRICA**

Se siguió el método de Fenol-Cloroformo estándar (144).

1. Añadir 250μl de SP en un tubo de 1,5ml.
2. Añadir 500μl de buffer de Lisis (Tris 10mM, EDTA 10mM, NaCl 0,1M, SDS 2%, DTT 40mM y Proteinasa K 0,2mg/ml) e incubar en baño termostático con agitación a 37°C toda la noche ó a 56°C durante 2-3 horas.
3. Añadir 200μl de fenol-cloroformo-isoamiloalcohol en proporción 25:24:1. Homogeneizar invirtiendo suavemente los tubos.
4. Centrifugar durante 10 minutos a 13000 rpm. Con ayuda de una pipeta, recuperar la fase acuosa en un tubo nuevo.
5. Precipitar el ADN añadiendo acetato sódico 2M en proporción 1/10, 1 μl de glucógeno (20 mg/ml) y 2 volúmenes de etanol absoluto frío. Homogeneizar invirtiendo suavemente los tubos.
6. Centrifugar durante 20 minutos a 13000 rpm. Eliminar el sobrenadante.
7. Lavar el pellet de ADN con 1 ml de etanol al 80% frío.
8. Centrifugar de nuevo durante 5 minutos a 13000 rpm.
9. Secar el pellet de ADN al aire y resuspender en 40 μl de H<sub>2</sub>O bd estéril.
10. Almacenar a – 20°C.

El ADN se conservó a una concentración de 50ng/ml para el genotipado.

### **1.2 EXTRACCIÓN DE ADN DE TEJIDO FIJADO EN FORMOL E INCLUIDO EN PARAFINA**

El ADN de muestras parafinadas se extrajo con el Mini kit QIAamp DNA de acuerdo con las instrucciones del fabricante (Qiagen, Hilden, Alemania).

La extracción de ADN comienza con una fase de desparafinización con xileno. La parafina se derrite en la incubación a 56°C.

1. Poner una pequeña porción (no más de 25mg) de tejido embebido en parafina en 2ml de tubo de microcentrifuga.
2. Añadir 1200 µl de Xileno. Vortexear vigorosamente.
3. Centrifugar a velocidad máxima durante 5 minutos a temperatura ambiente.
4. Eliminar sobrenadante sin eliminar pellet.
5. Añadir 1200 µl de etanol (96–100%) al pellet y eliminar el xilol residual mezclando con vortex.
6. Centrifugar a velocidad máxima 5 minutos a temperatura ambiente.
7. Eliminar el etanol evitando tocar el pellet.
8. Repetir lavado de etanol (96-100%) para eliminar el Xilol restante.
9. Incubar el tubo a 37°C durante 10–15 minutos hasta que el etanol se evapore.
10. Resuspender el pellet con 180 µl de Buffer ATL.

Posteriormente, se siguió el protocolo de purificación de ADN

11. Añadir 20 µl de Proteinasa K e incubar durante toda la noche a 56°C en baño húmedo con agitación.
12. Añadir 200 µl Buffer AL a la muestra, e incubar a 70°C durante 10 min.
13. Añadir 200 µl de etanol (96–100%) a la muestra.
14. Incluir el precipitado en la columna QIAamp Mini spin (2 ml) y centrifugar a (8000 rpm) durante 1 minuto.
15. Añadir 500 µl Buffer AW1 y centrifugar a 8000 rpm durante 1 minuto. Cambiar la columna QIAamp Mini spin a un tubo nuevo de 2 ml.
16. Añadir 500 µl Buffer AW2 y centrifugar a 14.000 rpm durante 3 min. Cambiar la columna a un nuevo tubo de 1,5ml.
17. Añadir 200 µl de agua destilada a la columna. Incubar a temperatura ambiente durante un 1 minuto, y centrifugar a 8000 rpm durante 1 minuto.

### **1.3 EXTRACCIÓN DE ADN A PARTIR DE SALIVA**

El ADN de las muestras de individuos sanos españoles se extrajo con el kit Orangene DNA de DNA Genotek.

1. En 250 µl de saliva añadir 470 µl de buffer de lisis (Tris 10mM, EDTA 10mM, NaCl 0,1M, SDS 2%, DTT 40mM y Proteinasa K 0,2mg/ml).
2. Añadir 20 µl de DTT (1M).
3. Añadir 10 µl de Proteinasa K (10mg/ml).
4. Incubar 1-3 h a 56 °C (ó 58°C).
5. Añadir 1/25 volumen de la solución Purifier [(500 µl de “saliva + buffer” 20 µl de Purifier)].
6. Incubar en hielo 10 minutos.
7. Centrifugar a 13000rpm durante 15 min a temperatura ambiente.
8. Recoger el sobrenadante y transferir a un tubo nuevo. Desechar el tubo con pellet.
9. Opcional: Añadir 5 ul de Glucógeno (20mg/ml).
10. Añadir 1 volumen de etanol al 96-100% a 750 µl de sobrenadante Voltear suavemente 10 veces.
11. Incubar a temperatura ambiente durante 10 minutos para que el ADN precipite.
12. Centrifugar 2 min a 13000 rpm.
13. Quitar sobrenadante.
14. Opcional: Lavado de etanol. Añadir 250 µl de 70% de etanol. Incubar 1 min a temperatura ambiente.
15. Centrifugar 13000 rpm durante 5 min.
16. Eliminar el sobrenadante (etanol) y dejar seco
17. Resuspender el pellet en 50 µl H<sub>2</sub>O bidestilada estéril.

#### **1.4 VALORACIÓN DE LA CANTIDAD Y CALIDAD DEL ADN GENÓMICO**

La concentración del ADN extraído se estimó espectrofotométricamente en el Nanodrop ND1000. La relación obtenida entre las lecturas a 260 nm y 280 nm (OD260/OD280) proporcionó una estimación de la pureza del ADN (valores comprendidos entre 1,8 y 2 indican que la pureza del ADN es alta).

## 2. PROTOCOLOS DE GENOTIPADO

### 2.1 GENOTIPADO DE rs1690916 EN EL GEN MDM2

**Tabla anexa 1.** Protocolo de PCR para el genotipado del SNP rs1690916 mediante ARMS-PCR.

| <i>Reactivos del MIX [stock]</i>     | <i>Concentración final</i> | <i>Volumen muestra (<math>\mu</math>l)</i> |
|--------------------------------------|----------------------------|--|
| Agua estéril                         | -                          | 16,15                                      |
| dNTPs (10 mM)                        | 0,2mM                      | 0,5  |
| MgCl <sub>2</sub> (50 mM)            | 1,5 mM                     | 0,75                                       |
| Buffer (10X)                         | 1x                         | 2,5  |
| Cebador F1 rs16 10 $\mu$ M           | 10pmol                     | 1  |
| Cebador F2 rs16 10 $\mu$ M           | 10pmol                     | 1  |
| Cebador R1 rs16 10 $\mu$ M           | 10pmol                     | 1  |
| Cebador R2 rs16 10 $\mu$ M           | 10pmol                     | 1  |
| Enzima Immolasa (5 U/ $\mu$ l)       | 0,5 U                      | 0,1  |
| <b>Totales</b>                       | -                          | <b>24</b>                                  |
| <b>ADN (50 ng/<math>\mu</math>l)</b> | 100 ng                     | 1  |
| <b>Volumen final</b>                 | -                          | <b>25</b>                                  |

**Tabla anexa 2.** Condiciones de PCR para el genotipado del SNP rs1690916 mediante ARMS-PCR.

|                           | <i>Temperatura</i> | <i>Tiempo</i> | <i>Nº Ciclos</i> |
|---------------------------|--------------------|---------------|------------------|
| Desnaturalización inicial | 95°C               | 10 min        |                  |
| Desnaturalización         | 95°C               | 30seg         |                  |
| Anillamiento              | 60°C               | 30 seg        | 35 ciclos        |
| Extensión                 | 72°C               | 30 seg        |                  |
| Extensión final           | 72°C               | 10 min        |                  |

## 2.2 GENOTIPADO DE rs2279744 EN EL GEN MDM2

**Tabla anexa 3.** Protocolo de PCR para el genotipado del SNP rs2279744 mediante RFLP.

| <i>Reactivos del MIX [stock]</i> | <i>Concentración final</i> | <i>Volumen muestra (μl)</i> |
|----------------------------------|----------------------------|-----------------------------|
| Agua estéril                     | -                          | 18,15                       |
| dNTPs (10 mM)                    | 0,2mM                      | 0,5                         |
| MgCl <sub>2</sub> (50 mM)        | 1,5 mM                     | 0,75                        |
| Buffer (10X)                     | 1x                         | 2,5                         |
| Cebador F rs22 10 μM             | 10pmol                     | 1                           |
| Cebador R rs22 10 μM             | 10pmol                     | 1                           |
| Enzima Immolasa (5 U/μl)         | 0,5 U                      | 0,1                         |
| <b>Totales</b>                   | -                          | <b>23</b>                   |
| <b>ADN (50 ng/ul)</b>            | 100 ng                     | 1                           |
| <b>Volumen final</b>             | -                          | <b>25</b>                   |

**Tabla anexa 4.** Condiciones de PCR para el genotipado del SNP rs2279744 mediante RFLP.

|                           | <i>Temperatura</i> | <i>Tiempo</i> | <i>Nº Ciclos</i> |
|---------------------------|--------------------|---------------|------------------|
| Desnaturalización inicial | 95°C               | 10 min        |                  |
| Desnaturalización         | 95°C               | 30seg         |                  |
| Anillamiento              | 60°C               | 30 seg        | 35 ciclos        |
| Extensión                 | 72°C               | 30 seg        |                  |
| Extensión final           | 72°C               | 10 min        |                  |

**Tabla anexa 5.** Protocolo de digestión con enzima MspA1I para el genotipado del SNP rs2279744 mediante RFLP.

| <b>Reactivos</b>            | <b>Concentración final</b> | <b>Volumen muestra (<math>\mu</math>l)</b> |
|-----------------------------|----------------------------|--|
| Agua estéril                | -                          | 2,9  |
| Enzima MspA1I               | 1 U                        | 0,1  |
| Buffer IV                   | 1X                         | 2  |
| <b>Total</b>                | -                          | <b>5</b>                                   |
| <b>Producto amplificado</b> | -                          | <b>15</b>                                  |
| <b>Volumen final</b>        | -                          | <b>20</b>                                  |

### 2.3 GENOTIPADO DE rs231775 EN EL GEN CTLA4

**Tabla anexa 6.** Protocolo de PCR para el genotipado del SNP rs231775 mediante RFLP.

| <b>Reactivos del MIX [stock]</b>     | <b>Concentración final</b> | <b>Volumen muestra (<math>\mu</math>l)</b> |
|--------------------------------------|----------------------------|--|
| Agua estéril                         | -                          | 18,15                                      |
| dNTPs (10 mM)                        | 0,2 mM                     | 0,5  |
| MgCl <sub>2</sub> (50 mM)            | 1,5 mM                     | 0,75                                       |
| Buffer (10X)                         | 1x                         | 2,5  |
| Cebador F rs23 10 $\mu$ M            | 10pmol                     | 1  |
| Cebador R rs23 10 $\mu$ M            | 10pmol                     | 1  |
| Enzima Immolasa (5 U/ $\mu$ l)       | 0,5 U                      | 0,1  |
| <b>Totales</b>                       | -                          | <b>23</b>                                  |
| <b>ADN (50 ng/<math>\mu</math>l)</b> | 100 ng                     | 1  |
| <b>Volumen final</b>                 | -                          | <b>25</b>                                  |

**Tabla anexa 7.** Condiciones de PCR para el genotipado del SNP rs231775 mediante RFLP.

|                           | <i>Temperatura</i> | <i>Tiempo</i> | <i>Nº Ciclos</i> |
|---------------------------|--------------------|---------------|------------------|
| Desnaturalización inicial | 95°C               | 10 min        |                  |
| Desnaturalización         | 95°C               | 30seg         |                  |
| Anillamiento              | 58°C               | 30 seg        | 35 ciclos        |
| Extensión                 | 72°C               | 30 seg        |                  |
| Extensión final           | 72°C               | 10 min        |                  |

**Tabla anexa 8.** Protocolo de digestión con enzima *BstEII* para el genotipado del SNP rs231775 mediante RFLP.

| <b>Reactivos</b>            | <b>Concentración final</b> | <b>Volumen muestra (<math>\mu</math>l)</b> |
|-----------------------------|----------------------------|--|
| Agua estéril                | -                          | 2,9  |
| Enzima <i>BstEII</i>        | 1 U                        | 0,1  |
| Buffer IV                   | 1X                         | 2  |
| <b>Total</b>                | -                          | <b>5</b>                                   |
| <b>Producto amplificado</b> | -                          | <b>15</b>                                  |
| <b>Volumen final</b>        | -                          | <b>20</b>                                  |

### 3. SELECCIÓN DE POLIMORFISMOS

**Tabla anexa 9.** Selección de SNPs en genes de procesamiento de miRNAs (continua).

|    | Gen           | SNP        | Alelos | Chr | Localización | Función      | Razón de selección              |
|----|---------------|------------|--------|-----|--------------|--------------|---------------------------------|
| 1  | <i>GEMIN3</i> | rs197412   | T>C    | 1   | 112308953    | no sinónimos | NS, BIB(93, 94, 96, 145-148)    |
| 2  | <i>GEMIN3</i> | rs197414   | C>A    | 1   | 112309123    | no sinónimos | NS, BIB (93, 94, 145-148)       |
| 3  | <i>GEMIN3</i> | rs197388   | T>A    | 1   | 112297482    | aguasarriba  | NS, BIB(93, 94, 145-148)        |
| 4  | <i>GEMIN3</i> | rs563002   | T>C    | 1   | 112317135    | aguasabajo   | BIB(96)                         |
| 5  | <i>CNOT2</i>  | rs10506586 | C>A    | 12  | 70715490     | no sinónimos | NS, SR                          |
| 6  | <i>TNRC6A</i> | rs6497759  | G>A    | 16  | 24801737     | no sinónimos | NS                              |
| 7  | <i>CNOT1</i>  | rs11644694 | G>A    | 16  | 58557342     | no sinónimos | NS, SR                          |
| 8  | <i>CNOT1</i>  | rs37060    | C>T    | 16  | 58566304     | intrónico    | SR                              |
| 9  | <i>CNOT1</i>  | rs11866002 | C>T    | 16  | 58587737     | sinónimos    | SR                              |
| 10 | <i>GEMIN4</i> | rs1062923  | T>C    | 17  | 649067       | no sinónimos | NS, BIB(93, 94, 146-148)        |
| 11 | <i>GEMIN4</i> | rs2740348  | G>C    | 17  | 649935       | no sinónimos | NS, BIB(93, 94, 146-148)        |
| 12 | <i>GEMIN4</i> | rs34610323 | C>T    | 17  | 648546       | no sinónimos | NS                              |
| 13 | <i>GEMIN4</i> | rs3744741  | C>T    | 17  | 649232       | no sinónimos | NS, BIB(93, 94, 145-148)        |
| 14 | <i>GEMIN4</i> | rs7813     | C>T    | 17  | 648186       | no sinónimos | NS, BIB(93, 94, 96, 145-148)    |
| 15 | <i>GEMIN4</i> | rs910924   | C>T    | 17  | 655920       | 5'UTR        | 5UTR, BIB(93, 94, 145, 146)     |
| 16 | <i>CNOT3</i>  | rs42318    | G>A    | 19  | 54657069     | no sinónimos | NS                              |
| 17 | <i>TNRC6B</i> | rs2413621  | T>C    | 22  | 40673999     | intrónico    | SR                              |
| 18 | <i>TNRC6B</i> | rs9611280  | G>A    | 22  | 40552119     | no sinónimos | NS, SR                          |
| 19 | <i>TNRC6B</i> | rs4821943  | A>G    | 22  | 40722745     | 3'UTR        | MIRTS                           |
| 20 | <i>TNRC6B</i> | rs470113   | A>G    | 22  | 40729614     | 3'UTR        | MIRTS                           |
| 21 | <i>TNRC6B</i> | rs139919   | T>C    | 22  | 40726183     | 3'UTR        | MIRTS                           |
| 22 | <i>DGCR8</i>  | rs35987994 | T>C    | 22  | 20074006     | no sinónimos | NS                              |
| 23 | <i>DGCR8</i>  | rs417309   | G>A    | 22  | 20098544     | 3'UTR        | 3UTR, BIB(93, 94, 145, 146)     |
| 24 | <i>DGCR8</i>  | rs3757     | G>A    | 22  | 20099331     | 3'UTR        | MIRTS, BIB(93, 94, 96, 145-148) |
| 25 | <i>DGCR8</i>  | rs1640299  | T>G    | 22  | 20098359     | 3'UTR        | BIB(93, 94, 145-148)            |
| 26 | <i>DGCR8</i>  | rs9606248  | A>G    | 22  | 20087539     | intrónico    | BIB(96)                         |
| 27 | <i>GEMIN5</i> | rs1974777  | A>G    | 5   | 154291409    | no sinónimos | NS                              |
| 28 | <i>GEMIN5</i> | rs6865950  | G>A    | 5   | 154275786    | no sinónimos | NS                              |
| 29 | <i>GEMIN5</i> | rs816736   | T>C    | 5   | 154271948    | sinónimos    | SR                              |
| 30 | <i>CNOT6</i>  | rs6877400  | T>C    | 5   | 179996111    | sinónimos    | SR                              |
| 31 | <i>CNOT6</i>  | rs11738060 | T>A    | 5   | 180004154    | 3'UTR        | MIRTS                           |

3UTR: Regulación 3'UTR; 5UTR: Regulación 5'UTR; BIB: Bibliográfico; MIRTS: Diana de miRNA; NS: No sinónimo; SR: Regulación splicing; UR: Regulación aguasarriba.

**Tabla anexa 9.** Selección de SNPs en genes de procesamiento de miRNAs (continúa).

|    | Gen           | SNP        | Alelos | Cr | Localización | Función      | Razón de selección          |
|----|---------------|------------|--------|----|--------------|--------------|-----------------------------|
| 32 | <i>DROSHA</i> | rs55656741 | G>A    | 5  | 31515657     | no sinónimos | NS, SR                      |
| 33 | <i>DROSHA</i> | rs10719    | C>T    | 5  | 31401447     | sinónimos    | SR, BIB(93, 94, 146, 148)   |
| 34 | <i>DROSHA</i> | rs6877842  | G>C    | 5  | 31532638     | intrónico    | BIB(93, 94, 146-148)        |
| 35 | <i>DROSHA</i> | rs2287584  | T>C    | 5  | 31423007     | sinónimos    | SR, BIB(96)                 |
| 36 | <i>DROSHA</i> | rs4867329  | A>C    | 5  | 31435627     | intrónico    | BIB(149)                    |
| 37 | <i>DROSHA</i> | rs7719666  | C>T    | 5  | 31520778     | intrónico    | BIB(96, 150)                |
| 38 | <i>DROSHA</i> | rs10035440 | T>C    | 5  | 31539463     | intrónico    | BIB(96)                     |
| 39 | <i>DROSHA</i> | rs17408716 | A>G    | 5  | 31467952     | intrónico    | BIB(96)                     |
| 40 | <i>DROSHA</i> | rs3792830  | T>C    | 5  | 31416248     | intrónico    | BIB(96, 150)                |
| 41 | <i>DROSHA</i> | rs493760   | T>C    | 5  | 31437040     | intrónico    | BIB(86)                     |
| 42 | <i>DROSHA</i> | rs7735863  | G>A    | 5  | 31486540     | intrónico    | BIB(86, 150)                |
| 43 | <i>DROSHA</i> | rs6884823  | G>A    | 5  | 31491121     | intrónico    | BIB(149)                    |
| 44 | <i>DROSHA</i> | rs639174   | C>T    | 5  | 31433647     | intrónico    | BIB(149)                    |
| 45 | <i>DROSHA</i> | rs3805500  | T>C    | 5  | 31462977     | intrónico    | BIB(149)                    |
| 46 | <i>SMAD5</i>  | rs3764941  | A>C    | 5  | 135469527    | no sinónimos | NS, SR                      |
| 47 | <i>SMAD5</i>  | rs3764942  | G>A    | 5  | 135469500    | intrónico    | SR                          |
| 48 | <i>XPO5</i>   | rs1106841  | A>C    | 6  | 43496662     | sinónimos    | SR                          |
| 49 | <i>XPO5</i>   | rs34324334 | C>T    | 6  | 43535018     | no sinónimos | NS, SR                      |
| 50 | <i>XPO5</i>   | rs2257082  | C>T    | 6  | 43492578     | sinónimos    | SR, BIB(149)                |
| 51 | <i>XPO5</i>   | rs2227301  | G>A    | 6  | 43485283     | aguasabajo   | BIB(149)                    |
| 52 | <i>XPO5</i>   | rs7755135  | C>T    | 6  | 43490809     | 3'UTR        | MIRTS                       |
| 53 | <i>CNOT4</i>  | rs1003226  | T>C    | 7  | 135046552    | 3'UTR        | SR                          |
| 54 | <i>CNOT4</i>  | rs3812265  | C>T    | 7  | 135048804    | no sinónimos | NS, SR                      |
| 55 | <i>CNOT4</i>  | rs3763425  | C>T    | 7  | 135195320    | aguasarriba  | UR                          |
| 56 | <i>SND1</i>   | rs17151639 | A>G    | 7  | 127637816    | no sinónimos | NS                          |
| 57 | <i>SND1</i>   | rs322825   | C>T    | 7  | 127721507    | sinónimos    | SR                          |
| 58 | <i>SND1</i>   | rs3823994  | T>A    | 7  | 127669857    | intrónico    | SR                          |
| 59 | <i>SND1</i>   | rs17676986 | C>T    | 7  | 127636958    | intrónico    | TR                          |
| 60 | <i>RAN</i>    | rs14035    | C>T    | 12 | 131361241    | 3'UTR        | MIRTS, BIB(93, 94, 145-147) |

3UTR: Regulación 3'UTR; 5UTR: Regulación 5'UTR; BIB: Bibliográfico; MIRTS: Diana de miRNA; NS: No sinónimo; SR: Regulación splicing; UR: Regulación aguasarriba.

**Tabla anexa 9.** Selección de SNPs en genes de procesamiento de miRNAs.

|    | Gen           | SNP        | Alelos | Cromosoma | Localizacion | Función      | Razón de selección                |
|----|---------------|------------|--------|-----------|--------------|--------------|-----------------------------------|
| 61 | <i>RAN</i>    | rs11061209 | G>A    | 12        | 131364988    | aguasabajo   | BIB(149)                          |
| 62 | <i>DICER</i>  | rs3742330  | A>G    | 14        | 95553362     | 3'UTR        | BIB(93, 94, 145, 146, 148)        |
| 63 | <i>DICER</i>  | rs13078    | T>A    | 14        | 95556747     | 3'UTR        | 3UTR, BIB(93, 94, 145-148)        |
| 64 | <i>DICER</i>  | rs1209904  | C>T    | 14        | 95563712     | intrónico    | BIB(86)                           |
| 65 | <i>DICER</i>  | rs1057035  | T>C    | 14        | 95554142     | 3'UTR        | MIRTS                             |
| 66 | <i>TRBP</i>   | rs784567   | C>T    | 12        | 53894465     | aguasarriba  | BIB(93, 94, 145, 146, 148)        |
| 67 | <i>EIF2C1</i> | rs636832   | G>A    | 1         | 36363475     | intrónico    | BIB(93, 94, 145, 146, 148)        |
| 68 | <i>EIF2C1</i> | rs595961   | A>G    | 1         | 36367780     | intrónico    | BIB(93, 94, 145-148)              |
| 69 | <i>EIF2C2</i> | rs4961280  | C>A    | 1         | 141647414    | aguasarriba  | UR, BIB(93, 94, 145, 146, 148)    |
| 70 | <i>EIF2C2</i> | rs2293939  | G>A    | 1         | 141551407    | sinónimos    | SR                                |
| 71 | <i>EIF2C2</i> | rs2292778  | C>T    | 1         | 141568622    | sinónimos    | SR                                |
| 72 | <i>HIWI</i>   | rs1106042  | G>A    | 12        | 130841638    | no sinónimos | NS, SR, BIB(86, 93, 94, 146, 148) |

3UTR: Regulación 3'UTR; 5UTR: Regulación 5'UTR; BIB: Bibliográfico; MIRTS: Diana de miRNA; NS: No sinónimo; SR: Regulación splicing; UR: Regulación aguasarriba.

**Tabla anexa 10.** Selección de polimorfismos en pre-miRNAs (continua).

|    | Gen             | SNP        | Alelos | Cromosoma | Localización |
|----|-----------------|------------|--------|-----------|--------------|
| 1  | hsa-mir-449b    | rs10061133 | A>G    | 5         | 54466544     |
| 2  | mir-1302-4      | rs10173558 | T>C    | 2         | 208133995    |
| 3  | hsa-mir-5196    | rs10406069 | G>A    | 19        | 35836530     |
| 4  | hsa-mir-4745    | rs10422347 | C>T    | 19        | 804959       |
| 5  | hsa-mir-548ae-2 | rs10461441 | T>T    | 5         | 57825920     |
| 6  | hsa-mir-2053    | rs10505168 | A>G    | 8         | 113655752    |
| 7  | hsa-mir-4700    | rs1055070  | T>G    | 12        | 121161048    |
| 8  | hsa-mir-943     | rs1077020  | T>T    | 4         | 1988193      |
| 9  | hsa-mir-6074    | rs10878362 | T>T    | 12        | 66417493     |
| 10 | hsa-mir-544b    | rs10934682 | T>G    | 3         | 124451312    |
| 11 | hsa-mir-603     | rs11014002 | T>T    | 10        | 24564653     |
| 12 | hsa-mir-1343    | rs11032942 | T>T    | 11        | 34963459     |
| 13 | mir-624         | rs11156654 | T>A    | 14        | 31483955     |
| 14 | hsa-mir-5579    | rs11237828 | T>T    | 11        | 79133220     |
| 15 | hsa-mir-1265    | rs11259096 | T>C    | 10        | 14478618     |
| 16 | hsa-mir-196a-2  | rs11614913 | C>T    | 12        | 54385599     |
| 17 | hsa-mir-548at   | rs11651671 | T>T    | 17        | 40646803     |
| 18 | hsa-mir-5092    | rs11713052 | C>G    | 3         | 124870376    |
| 19 | hsa-mir-4792    | rs11714172 | T>G    | 3         | 24562877     |
| 20 | hsa-mir-3192    | rs11907020 | T>C    | 20        | 18451325     |
| 21 | hsa-mir-4653    | rs11983381 | A>G    | 7         | 100802786    |
| 22 | hsa-mir-548a-1  | rs12197631 | T>T    | 6         | 18572056     |
| 23 | hsa-mir-202     | rs12355840 | T>C    | 10        | 135061112    |
| 24 | hsa-mir-3117    | rs12402181 | G>A    | 1         | 67094171     |
| 25 | hsa-mir-1269b   | rs12451747 | T>T    | 17        | 12820632     |
| 26 | hsa-mir-4744    | rs12456845 | T>C    | 18        | 46576058     |
| 27 | hsa-mir-4433    | rs12473206 | T>T    | 2         | 64567916     |
| 28 | hsa-mir-4274    | rs12512664 | A>G    | 4         | 7461769      |
| 29 | hsa-mir-4277    | rs12523324 | T>T    | 5         | 1708983      |
| 30 | hsa-mir-4293    | rs12780876 | T>A    | 10        | 14425204     |
| 31 | hsa-mir-612     | rs12803915 | G>A    | 11        | 65211979     |
| 32 | hsa-mir-4309    | rs12879262 | G>C    | 14        | 103006047    |
| 33 | hsa-mir-300     | rs12894467 | C>T    | 14        | 101507727    |
| 34 | hsa-mir-1294    | rs13186787 | T>T    | 5         | 153726769    |
| 35 | hsa-mir-3152    | rs13299349 | G>A    | 9         | 18573360     |
| 36 | hsa-mir-548ac   | rs1414273  | T>T    | 1         | 117102649    |
| 37 | hsa-mir-3175    | rs1439619  | A>C    | 15        | 93447631     |
| 38 | hsa-mir-5007    | rs1572687  | C>T    | 13        | 55748673     |
| 39 | hsa-mir-3612    | rs1683709  | C>T    | 12        | 128778703    |
| 40 | hsa-mir-5700    | rs17022749 | T>T    | 12        | 94955603     |
| 41 | hsa-mir-2110    | rs17091403 | C>T    | 10        | 115933905    |
| 42 | hsa-mir-4422    | rs17111728 | T>C    | 1         | 55691384     |
| 43 | mir-1908        | rs174561   | T>C    | 11        | 61582708     |
| 44 | hsa-mir-3143    | rs17737028 | A>G    | 6         | 27115467     |

**Tabla anexa 10.** Selección de polimorfismos en pre-miRNAs (continua).

|    | Gen            | SNP        | Alelos | Cromosoma | Localización |
|----|----------------|------------|--------|-----------|--------------|
| 45 | hsa-mir-633    | rs17759989 | A>G    | 17        | 61021611     |
| 46 | hsa-mir-3652   | rs17797090 | G>A    | 12        | 104324266    |
| 47 | hsa-mir-4733   | rs17885221 | C>T    | 17        | 29421443     |
| 48 | hsa-mir-5197   | rs2042253  | A>G    | 5         | 143059433    |
| 49 | hsa-mir-605    | rs2043556  | A>G    | 10        | 53059406     |
| 50 | hsa-mir-4511   | rs2060455  | T>T    | 15        | 66011630     |
| 51 | hsa-mir-3620   | rs2070960  | C>T    | 1         | 228284991    |
| 52 | hsa-mir-1206   | rs2114358  | T>C    | 8         | 129021179    |
| 53 | hsa-mir-4494   | rs215383   | G>A    | 12        | 47758032     |
| 54 | hsa-mir-3130-1 | rs2241347  | T>T    | 2         | 207647981    |
| 55 | hsa-mir-4707   | rs2273626  | C>A    | 14        | 23426182     |
| 56 | hsa-mir-492    | rs2289030  | C>G    | 12        | 95228286     |
| 57 | hsa-mir-1229   | rs2291418  | C>T    | 5         | 179225324    |
| 58 | hsa-mir-564    | rs2292181  | G>C    | 3         | 44903434     |
| 59 | hsa-mir-149    | rs2292832  | T>T    | 2         | 241395503    |
| 60 | hsa-mir-604    | rs2368392  | C>T    | 10        | 29834003     |
| 61 | hsa-mir-4432   | rs243080   | C>T    | 2         | 60614572     |
| 62 | hsa-mir-4636   | rs257095   | A>G    | 5         | 9053945      |
| 63 | hsa-mir-1208   | rs2648841  | C>A    | 8         | 129162433    |
| 64 | hsa-mir-3183   | rs2663345  | T>T    | 17        | 925764       |
| 65 | hsa-mir-4804   | rs266435   | C>G    | 5         | 72174432     |
| 66 | hsa-mir-6128   | rs2682818  | C>A    | 12        | 81329536     |
| 67 | hsa-mir-4308   | rs28477407 | C>T    | 14        | 55344901     |
| 68 | hsa-mir-378d-1 | rs28645567 | G>A    | 4         | 5925054      |
| 69 | hsa-mir-4472-1 | rs28655823 | G>C    | 8         | 143257760    |
| 70 | hsa-mir-1255a  | rs28664200 | T>C    | 4         | 102251501    |
| 71 | hsa-mir-146a   | rs2910164  | G>C    | 5         | 159912418    |
| 72 | hsa-mir-5695   | rs2967897  | G>G    | 19        | 13031210     |
| 73 | hsa-mir-4803   | rs3112399  | T>A    | 5         | 71465361     |
| 74 | hsa-mir-577    | rs34115976 | C>G    | 4         | 115577997    |
| 75 | hsa-mir-4669   | rs35196866 | T>T    | 9         | 137271318    |
| 76 | hsa-mir-2278   | rs356125   | G>A    | 9         | 97572244     |
| 77 | hsa-mir-5189   | rs35613341 | C>G    | 16        | 88535407     |
| 78 | hsa-mir-6076   | rs35650931 | G>C    | 14        | 50433227     |
| 79 | hsa-mir-449c   | rs35770269 | A>T    | 5         | 54468124     |
| 80 | hsa-mir-3166   | rs35854553 | A>T    | 11        | 87909673     |
| 81 | hsa-mir-3936   | rs367805   | G>A    | 5         | 131701279    |
| 82 | hsa-mir-6499   | rs3734050  | C>T    | 5         | 150901699    |
| 83 | hsa-mir-499a   | rs3746444  | T>C    | 20        | 33578251     |
| 84 | hsa-mir-5090   | rs3823658  | G>A    | 7         | 102106201    |
| 85 | hsa-mir-4751   | rs412253   | C>G    | 19        | 54786022     |
| 86 | hsa-mir-96     | rs41274239 | A>G    | 7         | 129414574    |
| 87 | hsa-mir-187    | rs41274312 | G>A    | 18        | 33484792     |
| 88 | hsa-mir-154    | rs41286570 | G>G    | 14        | 101526127    |

**Tabla anexa 10.** Selección de polimorfismos en pre-miRNAs (continua).

|     | Gen                     | SNP        | Alelos | Cromosoma | Localización |
|-----|-------------------------|------------|--------|-----------|--------------|
| 89  | hsa-mir-216a            | rs41291179 | A>T    | 2         | 56216090     |
| 90  | hsa-mir-122             | rs41292412 | C>T    | 18        | 56118358     |
| 91  | hsa-mir-3135b           | rs4285314  | T>T    | 6         | 32717702     |
| 92  | hsa-mir-548ap           | rs4414449  | T>C    | 15        | 86368898     |
| 93  | hsa-mir-6084            | rs45530340 | C>C    | 1         | 20960230     |
| 94  | hsa-mir-548ap           | rs4577031  | A>T    | 15        | 86368959     |
| 95  | hsa-mir-4268            | rs4674470  | T>C    | 2         | 220771223    |
| 96  | hsa-mir-941-1           | rs4809383  | C>T    | 20        | 62550780     |
| 97  | hsa-mir-548j            | rs4822739  | C>G    | 22        | 26951185     |
| 98  | hsa-mir-5680            | rs487571   | T>T    | 8         | 103137693    |
| 99  | hsa-mir-595             | rs4909237  | C>T    | 7         | 158325503    |
| 100 | hsa-mir-608             | rs4919510  | C>G    | 10        | 102734778    |
| 101 | hsa-mir-548al           | rs515924   | A>G    | 11        | 74110353     |
| 102 | hsa-mir-3671            | rs521188   | A>G    | 1         | 65523519     |
| 103 | hsa-mir-4424            | rs56088671 | T>T    | 1         | 178646884    |
| 104 | hsa-mir-323b            | rs56103835 | T>C    | 14        | 101522556    |
| 105 | hsa-mir-548aw           | rs56195815 | T>T    | 9         | 135821099    |
| 106 | hsa-mir-5189            | rs56292801 | G>A    | 16        | 88535341     |
| 107 | hsa-mir-1283-1          | rs57111412 | T>T    | 19        | 54191743     |
| 108 | hsa-mir-559             | rs58450758 | T>T    | 2         | 47604866     |
| 109 | hsa-mir-656             | rs58834075 | C>T    | 14        | 101533093    |
| 110 | hsa-mir-888             | rs5965660  | T>G    | X         | 145076302    |
| 111 | hsa-mir-3928            | rs5997893  | G>A    | 22        | 31556103     |
| 112 | hsa-mir-4762            | rs60308683 | T>T    | 22        | 46156446     |
| 113 | hsa-mir-4326            | rs6062431  | G>C    | 20        | 61918164     |
| 114 | hsa-mir-4467            | rs60871950 | G>A    | 7         | 102111936    |
| 115 | hsa-mir-596             | rs61388742 | T>C    | 8         | 1765425      |
| 116 | hsa-mir-3922            | rs61938575 | G>A    | 12        | 104985443    |
| 117 | hsa-mir-412             | rs61992671 | G>A    | 14        | 101531854    |
| 118 | hsa-mir-4772            | rs62154973 | C>T    | 2         | 103048780    |
| 119 | hsa-mir-585             | rs62376935 | C>T    | 5         | 168690635    |
| 120 | hsa-mir-4482            | rs641071   | T>T    | 10        | 106028157    |
| 121 | hsa-mir-3679            | rs6430498  | G>A    | 2         | 134884700    |
| 122 | hsa-mir-423             | rs6505162  | T>T    | 17        | 28444183     |
| 123 | hsa-mir-646             | rs6513496  | T>C    | 20        | 58883534     |
| 124 | hsa-mir-4731            | rs66507245 | T>T    | 17        | 15154966     |
| 125 | hsa-mir-3622a           | rs66683138 | T>T    | 8         | 27559214     |
| 126 | hsa-mir-6128            | rs67042258 | G>A    | 11        | 56511354     |
| 127 | hsa-mir-3167            | rs670637   | T>T    | 11        | 126858392    |
| 128 | hsa-mir-4642            | rs67182313 | A>G    | 6         | 44403438     |
| 129 | hsa-mir-4431            | rs6726779  | T>C    | 2         | 52929680     |
| 130 | MIR3910-1,<br>MIR3910-2 | rs67339585 | T>T    | 9         | 94398581     |
| 131 | hsa-mir-3135a           | rs6787734  | T>T    | 3         | 20179097     |

**Tabla anexa 10.** Selección de polimorfismos en pre-miRNAs (continua).

| Gen | SNP             | Alelos     | Cromosoma | Localización |           |
|-----|-----------------|------------|-----------|--------------|-----------|
| 132 | hsa-mir-4305    | rs67976778 | T>T       | 13           | 40238175  |
| 133 | hsa-mir-3144    | rs68035463 | C>A       | 6            | 120336327 |
| 134 | hsa-mir-1255b-1 | rs6841938  | T>T       | 4            | 36428048  |
| 135 | hsa-mir-3683    | rs6977967  | A>G       | 7            | 7106636   |
| 136 | hsa-mir-3686    | rs6997249  | T>T       | 8            | 130496365 |
| 137 | hsa-mir-4427    | rs701213   | T>T       | 1            | 233759918 |
| 138 | hsa-mir-378h    | rs702742   | A>G       | 5            | 154209024 |
| 139 | hsa-mir-548aj-2 | rs7070684  | T>T       | 10           | 12172775  |
| 140 | hsa-mir-1283-2  | rs71363366 | C>G       | 19           | 54261549  |
| 141 | hsa-mir-140     | rs7205289  | C>C       | 16           | 69967005  |
| 142 | hsa-mir-2117    | rs7207008  | T>A       | 17           | 41522213  |
| 143 | hsa-mir-4741    | rs7227168  | C>T       | 18           | 20513374  |
| 144 | hsa-mir-3188    | rs7247237  | C>T       | 19           | 18392894  |
| 145 | hsa-mir-3689f   | rs72502717 | T>T       | 9            | 137742597 |
| 146 | hsa-mir-105-2   | rs72631816 | T>A       | X            | 151562938 |
| 147 | hsa-mir-222     | rs72631825 | G>A       | X            | 45606471  |
| 148 | hsa-mir-16-1    | rs72631826 | T>T       | 13           | 50623143  |
| 149 | hsa-mir-106b    | rs72631827 | G>G       | 7            | 99691652  |
| 150 | hsa-mir-323b    | rs72631831 | G>G       | 7            | 1062656   |
| 151 | hsa-mir-183     | rs72631833 | G>G       | 7            | 129414804 |
| 152 | hsa-mir-3972    | rs72646786 | C>T       | 1            | 17604437  |
| 153 | hsa-mir-3976    | rs72855836 | G>A       | 18           | 5840810   |
| 154 | hsa-mir-4999    | rs72996752 | A>G       | 19           | 8454236   |
| 155 | hsa-mir-4459    | rs73112689 | T>T       | 5            | 53371399  |
| 156 | hsa-mir-1178    | rs7311975  | T>C       | 12           | 120151493 |
| 157 | hsa-mir-647     | rs73147065 | T>T       | 20           | 62574006  |
| 158 | hsa-mir-4532    | rs73177830 | T>T       | 20           | 56470471  |
| 159 | hsa-mir-548h-4  | rs73235381 | T>T       | 8            | 26906402  |
| 160 | hsa-mir-1269a   | rs73239138 | G>A       | 4            | 67142620  |
| 161 | hsa-mir-4739    | rs73410309 | T>T       | 17           | 77681036  |
| 162 | hsa-mir-4474    | rs74428911 | G>T       | 9            | 20502274  |
| 163 | hsa-mir-6504    | rs74469188 | T>C       | 16           | 81644970  |
| 164 | hsa-mir-3615    | rs745666   | C>G       | 17           | 72744798  |
| 165 | hsa-mir-518d    | rs74704964 | C>T       | 19           | 54238208  |
| 166 | hsa-mir-2682    | rs74904371 | C>T       | 1            | 98510847  |
| 167 | hsa-mir-5702    | rs74949342 | C>G       | 2            | 227523436 |
| 168 | hsa-mir-4719    | rs7500280  | T>T       | 16           | 76902847  |
| 169 | hsa-mir-4477a   | rs75019967 | A>A       | 9            | 68415338  |
| 170 | hsa-mir-4742    | rs7522956  | A>C       | 1            | 224585958 |
| 171 | hsa-mir-520f    | rs75598818 | G>A       | 19           | 54185492  |
| 172 | hsa-mir-944     | rs75715827 | T>C       | 3            | 189547735 |
| 173 | hsa-mir-4298    | rs75966923 | C>A       | 11           | 1880730   |
| 174 | hsa-mir-182     | rs76481776 | C>T       | 7            | 129410227 |

**Tabla anexa 10.** Selección de polimorfismos en pre-miRNAs.

|     | Gen            | SNP             | Alelos | Cromosoma | Localización |
|-----|----------------|-----------------|--------|-----------|--------------|
| 175 | hsa-mir-4521   | rs76800617      | A>G    | 17        | 8090294      |
| 176 | hsa-mir-1303   | rs77055126      | T>T    | 5         | 154065348    |
| 177 | hsa-mir-4634   | rs7709117       | A>G    | 5         | 174178774    |
| 178 | hsa-mir-576    | rs77639117      | A>T    | 4         | 110409933    |
| 179 | hsa-mir-4743   | rs78396863      | G>C    | 18        | 46196971     |
| 180 | hsa-mir-6075   | rs78541299      | G>A    | 5         | 1510904      |
| 181 | hsa-mir-6083   | rs78790512      | G>A    | 3         | 124093220    |
| 182 | hsa-mir-4789   | rs78831152      | C>T    | 3         | 175087408    |
| 183 | hsa-mir-4786   | rs78832554      | G>A    | 2         | 240882476    |
| 184 | hsa-mir-4481   | rs7896283       | A>G    | 10        | 12695177     |
| 185 | hsa-mir-1307   | rs7911488       | A>G    | 10        | 105154089    |
| 186 | hsa-mir-597    | rs79397096      | G>A    | 8         | 9599276      |
| 187 | hsa-mir-3976   | rs79512808      | T>G    | 5         | 82136024     |
| 188 | hsa-mir-5707   | rs80128580      | G>A    | 7         | 158384368    |
| 189 | hsa-mir-3176   | rs8054514       | T>G    | 16        | 593277       |
| 190 | hsa-mir-4520a  | rs8078913       | C>T    | 17        | 6558768      |
| 191 | hsa-mir-4698   | rs832733        | T>T    | 12        | 47581629     |
| 192 | hsa-mir-550a-3 | rs850108        | T>T    | 7         | 29720404     |
| 193 | hsa-mir-4751   | rs8667          | G>A    | 19        | 50436371     |
| 194 | hsa-mir-4671   | rs877722        | A>T    | 1         | 234442257    |
| 195 | mir-27a        | rs895819        | T>C    | 19        | 13947292     |
| 196 | hsa-mir-4519   | rs897984        | T>T    | 16        | 30886643     |
| 197 | hsa-mir-5689   | rs9295535       | T>T    | 6         | 10439968     |
| 198 | hsa-mir-3141   | rs936581        | G>A    | 5         | 153975576    |
| 199 | hsa-mir-5186   | rs9842591       | C>A    | 3         | 151283691    |
| 200 | hsa-mir-5680   | rs9877402       | A>G    | 3         | 120768492    |
| 201 | hsa-mir-548h-3 | rs9913045       | T>T    | 17        | 13446924     |
| 202 | MIR4302        | seq_rs11048315  | G>A    | 12        | 26026988     |
| 203 | MIR3908        | seq_rs111803974 | T>T    | 12        | 124021017    |
| 204 | MIR299, MIR380 | seq_rs111906529 | T>C    | 14        | 101489703    |
| 205 | MIR520G        | seq_rs112328520 | C>T    | 19        | 54225501     |
| 206 | mir-1282       | seq_rs11269     | G>G    | 15        | 44085909     |
| 207 | MIR4532        | seq_rs113808830 | C>T    | 20        | 56470456     |
| 208 | hsa-mir-4479   | seq_rs116932476 | G>A    | 9         | 139781193    |
| 209 | MIR296         | seq_rs117258475 | G>A    | 20        | 57392686     |
| 210 | hsa-mir-6717   | seq_rs117650137 | G>A    | 14        | 21491532     |
| 211 | MIR3649        | seq_rs117723462 | T>G    | 12        | 1769533      |
| 212 | MIR4436B2      | seq_rs163642    | T>T    | 2         | 111042483    |
| 213 | MIR3689        | seq_rs62571442  | A>G    | 9         | 137742124    |

# **RESULTADOS**



## **1. VALIDACIÓN DE SNPs PREVIAMENTE ASOCIADOS A SUSCEPTIBILIDAD A OS**

Después de realizar la búsqueda de los estudios de genes candidatos centrados en la susceptibilidad del OS, observamos que los únicos SNPs asociados y replicados en al menos dos estudios fueron rs2279744 y rs1690916 en el gen *MDM2* y rs231775 en el gen *CTLA4*. Esto sugiere que estos 3 SNPs son, hasta el momento, los únicos SNPs que pueden ser “marcadores” de susceptibilidad a desarrollar OS; por lo que, los consideramos para su validación.

### **1.1 ASOCIACIÓN DE LOS POLIMORFISMOS DE *MDM2* rs1690916 Y rs2279744 CON EL RIESGO A DESARROLLAR OS**

Con el objetivo de determinar si los polimorfismos rs1690916 y rs2279744 del gen *MDM2* incrementan el riesgo a desarrollar OS se realizó un estudio de asociación caso-control en dos poblaciones europeas (española y eslovena).

#### **1.1.1 POBLACIÓN DE ESTUDIO**

Se analizaron un total de 139 casos de OS (n= 99 españoles y n=40 eslovenos) y sus correspondientes controles (n=167 y n=92). La edad media de los pacientes fue de 14,69 años (rango 3-69 años). Se observó un mayor número de casos en hombres que en mujeres en una proporción 1,16:1 (Tabla 12).

**Tabla 12.** Distribución de edad y género en la población de pacientes de OS y controles en el estudio del gen *MDM2*.

|                          | Total       | Controles    | Casos        |
|--------------------------|-------------|--------------|--------------|
| Participantes (n)        | 398         | 259          | 139          |
| <b>Población (n;%)</b>   |             |              |              |
| España                   | 266 (66,83) | 167 (64,48)  | 99 (71,22)   |
| Eslovenia                | 132 (33,17) | 92 (35,52)   | 40 (28,78)   |
| <b>Edad (media; ds)*</b> |             |              |              |
| España                   | -           | 42,29 (9,97) | 14,69 (5,13) |
| Eslovenia                | -           | 46,52 (9,24) | 23 (15,89)   |
| <b>Sexo (m/h/nd)*</b>    |             |              |              |
| España                   | 100/145/21  | 61/91/15     | 39/54/6      |
| Eslovenia                | 52/79/1     | 31/61        | 21/18/1      |

Abreviaturas: n, número de individuos; ds, desviación estándar; m, mujeres; h, hombres; nd, no disponible. \* Los datos de edad y sexo no estuvieron disponibles en todos los individuos

### **1.1.2 ÉXITO DE GENOTIPADO**

El éxito de genotipado fue del 96,5% para el polimorfismo rs1690916 (126 pacientes y 258 controles) y del 94,5%, para rs2279744 (120 pacientes y 256 controles). Las frecuencias genotípicas de la población control estaban en EHW ( $p>0,05$ ).

### **1.1.3 ANÁLISIS DE ASOCIACIÓN ENTRE rs1690916 Y RIESGO DE OS**

El estudio de asociación entre el SNP rs1690916 del gen *MDM2* y el riesgo de OS por frecuencias alélicas no mostró ningún resultado estadísticamente significativo, ni en la población española ni en eslovena. Cuando se analizaron las dos poblaciones en conjunto tampoco se obtuvo ninguna asociación estadísticamente significativa (Tabla 13).

**Tabla 13.** Estudio de asociación por frecuencias alélicas entre el polimorfismo rs1690916 del gen *MDM2* y el riesgo a desarrollar OS.

| Población | AM | MAF  | Alelo | N (%) control | N (%) casos | OR (IC 95%)      | P    |
|-----------|----|------|-------|---------------|-------------|------------------|------|
| España    | A  | 0,34 | G     | 220 (65,9)    | 125 (63,1)  | 1,13 (0,78-1,63) | 0,57 |
|           |    |      | A     | 114 (34,1)    | 73 (36,9)   |                  |      |
|           |    |      | Total | 334 (100)     | 198 (100)   |                  |      |
| Eslovenia | A  | 0,43 | G     | 103 (56,6)    | 23 (42,6)   | 1,76 (0,95-3,25) | 0,09 |
|           |    |      | A     | 79 (43,4)     | 31 (57,4)   |                  |      |
|           |    |      | Total | 182 (100)     | 54 (100)    |                  |      |
| Todas     | A  | 0,37 | G     | 323 (62,4)    | 148 (58,73) | 1,18 (0,86-1,62) | 0,30 |
|           |    |      | A     | 193 (37,26)   | 104 (41,3)  |                  |      |
|           |    |      | Total | 516 (100)     | 252 (100)   |                  |      |

Abreviaturas: AM, alelo de menor frecuencia en controles; MAF, frecuencia del alelo menor; OR, Odds Ratio; IC, Intervalo de confianza.

El análisis de asociación por frecuencias genotípicas no mostró resultados significativos ni en la población española ni en la eslovena ( $p>0,05$ , bajo todos los modelos genéticos analizados). Cuando se analizaron las poblaciones en conjunto tampoco se obtuvo ninguna asociación estadísticamente significativa (Tabla 14).

**Tabla 14.** Estudio de asociación por frecuencias genotípicas entre el polimorfismo rs1690916 del gen *MDM2* y el riesgo a desarrollar OS.

| Población | AM | Genotipo | N(%)control | N (%) casos | OR (IC 95%) cod                             | P cod | OR(IC 95%) rec               | P rec | OR(IC 95%) dom                | P dom | OR(IC 95%) log   | P log |
|-----------|----|----------|-------------|-------------|---|-------|------------------------------|-------|-------------------------------|-------|------------------|-------|
| España    | A  | GG       | 73 (43,7)   | 38 (38,4)   | 1<br>1,27 (0,75-2,17)<br>1,15 (0,51-2,61)   | 0,68  | GG/GA<br>AA 1,01 (0,47-2,17) | 0,97  | GG<br>GA/AA 1,25 (0,75-2,07)  | 0,39  | 1,13 (0,78-1,63) | 0,52  |
|           |    | GA       | 74 (44,3)   | 49 (49,5)   |   |       |                              |       |                               |       |                  |       |
|           |    | AA       | 20 (12,0)   | 12 (12,1)   |   |       |                              |       |                               |       |                  |       |
|           |    | Total    | 167 (100)   | 99 (100)    |   |       |                              |       |                               |       |                  |       |
| Eslovenia | A  | GG       | 26 (28,6)   | 3 (11,1)    | 1<br>2,89 (0,78-10,76)<br>4,33 (0,97-19,43) | 0,11  | GG/GA<br>AA 1,92 (0,69-5,40) | 0,22  | GG<br>GA/AA 3,20 (0,89-11,55) | 0,05  | 1,98 (0,99-3,96) | 0,05  |
|           |    | GA       | 51 (56,0)   | 17 (63,0)   |   |       |                              |       |                               |       |                  |       |
|           |    | AA       | 14 (15,4)   | 7 (25,9)    |   |       |                              |       |                               |       |                  |       |
|           |    | Total    | 91 (100)    | 27 (100)    |   |       |                              |       |                               |       |                  |       |
| Todas     | A  | GG       | 99 (38,4)   | 41 (32,5)   | 1<br>1,27 (0,80-2,04)<br>1,35 (0,69-2,63)   | 0,53  | GG/GA<br>AA 1,17 (0,64-2,15) | 0,61  | GG<br>GA/AA 1,29 (0,82-2,02)  | 0,26  | 1,19 (0,86-1,63) | 0,29  |
|           |    | GA       | 125 (48,4)  | 66 (52,4)   |   |       |                              |       |                               |       |                  |       |
|           |    | AA       | 34 (13,2)   | 19 (15,1)   |   |       |                              |       |                               |       |                  |       |
|           |    | Total    | 258 (100)   | 126 (100)   |   |       |                              |       |                               |       |                  |       |

Abreviaturas: AM, alelo de menor frecuencia en controles; OR, Odds Ratio; IC, Intervalo de confianza; cod, codominante; dom, dominante; rec, recesivo; log, log-aditivo.

## **1.1.4 ANÁLISIS DE ASOCIACIÓN ENTRE rs2279744 Y RIESGO DE OS**

El estudio de asociación entre el SNP rs2279744 y el riesgo de OS por frecuencias alélicas (Tabla 15) no mostró ningún resultado significativo, ni en la población española ni en la eslovena. Cuando se analizaron ambas poblaciones en conjunto, tampoco se obtuvo ninguna asociación estadísticamente significativa ( $p>0,05$ ).

**Tabla 15.** Estudio de asociación por frecuencias alélicas entre el polimorfismo rs2279744 del gen MDM2 y el riesgo a desarrollar OS.

| Población | AM | MAF  | Alelo | N (%) control | N (%) casos | OR (IC 95%)      | P    |
|-----------|----|------|-------|---------------|-------------|------------------|------|
| España    | G  | 0,38 | T     | 202 (61,6)    | 125 (66,5)  | 0,81 (0,55-1,18) | 0,30 |
|           |    |      | G     | 126 (38,4)    | 63 (33,5)   |                  |      |
|           |    |      | Total | 328 (100)     | 188 (100)   |                  |      |
| Eslovenia | G  | 0,36 | T     | 118 (64,1)    | 36 (69,2)   | 0,79 (0,38-1,60) | 0,62 |
|           |    |      | G     | 66 (35,9)     | 16 (30,8)   |                  |      |
|           |    |      | Total | 184 (100)     | 52 (100)    |                  |      |
| Todas     | G  | 0,38 | T     | 320 (62,5)    | 161 (67,1)  | 0,81(0,58-1,14)  | 0,25 |
|           |    |      | G     | 192 (37,5)    | 79 (32,9)   |                  |      |
|           |    |      | Total | 512 (100)     | 240 (100)   |                  |      |

Abreviaturas: AM, alelo de menor frecuencia en controles; MAF, frecuencia del alelo menor; OR, Odds Ratio; IC, Intervalo de confianza.

El análisis de asociación por frecuencias genotípicas tampoco mostró resultados significativos, ni en la población española, ni en la eslovena, ni en la población en conjunto ( $p>0,05$ , bajo todos los modelos de herencia estudiados) (Tabla 16).

**Tabla 16.** Estudio de asociación por frecuencias genotípicas entre el polimorfismo rs2279744 del gen *MDM2* y el riesgo a desarrollar OS.

| Población | AM | Genotipo | N (%) control | N (%) casos | OR (IC 95%) cod                           | P cod | OR(IC 95%) rec               | P rec | OR(IC 95%) dom               | P dom | OR(IC 95%) log   | P log |
|-----------|----|----------|---------------|-------------|---|-------|------------------------------|-------|------------------------------|-------|------------------|-------|
| España    | G  | TT       | 65 (39,6)     | 44 (46,8)   | 1<br>0,76 (0,44-1,32)<br>0,71 (0,33-1,53) | 0,53  | TT/GT<br>GG 0,81 (0,40-1,67) | 0,57  | TT<br>GT/GG 0,75 (0,45-1,24) | 0,26  | 0,82 (0,57-1,18) | 0,29  |
|           |    | GT       | 72 (43,9)     | 37 (39,4)   |   |       |                              |       |                              |       |                  |       |
|           |    | GG       | 27 (16,5)     | 13 (13,8)   |   |       |                              |       |                              |       |                  |       |
|           |    | Total    | 164 (100)     | 94 (100)    |   |       |                              |       |                              |       |                  |       |
| Eslovenia | G  | TT       | 40 (43,5)     | 11 (42,3)   | 1<br>1,34 (0,54-3,31)<br>0,26 (0,03-2,20) | 0,19  | TT/GT<br>GG 0,22 (0,03-1,78) | 0,09  | TT<br>GT/GG 1,05 (0,43-2,53) | 0,92  | 0,80 (0,42-1,54) | 0,50  |
|           |    | GT       | 38 (41,3)     | 14 (53,8)   |   |       |                              |       |                              |       |                  |       |
|           |    | GG       | 14 (15,2)     | 1 (3,8)     |   |       |                              |       |                              |       |                  |       |
|           |    | Total    | 92 (100)      | 26 (100)    |   |       |                              |       |                              |       |                  |       |
| Todas     | G  | TT       | 105 (41)      | 55 (45,8)   | 1<br>0,89 (0,56-1,41)<br>0,65 (0,33-1,30) | 0,46  | TT/GT<br>GG 0,69 (0,36-1,33) | 0,25  | TT<br>GT/GG 0,82(0,53-1,27)  | 0,38  | 0,83 (0,61-1,13) | 0,23  |
|           |    | GT       | 110 (43)      | 51 (42,5)   |   |       |                              |       |                              |       |                  |       |
|           |    | GG       | 41 (16)       | 14 (11,7)   |   |       |                              |       |                              |       |                  |       |
|           |    | Total    | 256 (100)     | 120 (100)   |   |       |                              |       |                              |       |                  |       |

Abreviaturas: AM, alelo de menor frecuencia en controles; OR, Odds Ratio; IC, Intervalo de confianza; cod, codominante; dom, dominante; rec, recesivo; log, log-aditivo.

En resumen, no detectamos asociación entre los polimorfismos rs1690916 y rs2279744 del gen *MDM2* y el riesgo a desarrollar OS. Este resultado contradecía resultados previamente publicados en la literatura (33, 35), además de contradecir los resultados obtenidos en un MA que analizaba estos dos SNPs (151).

Por esta razón, decidimos realizar una revisión crítica de todos los artículos que estudiaban los polimorfismos rs1690916 y rs2279744 en *MDM2* y el riesgo a desarrollar OS y hacer un nuevo MA de todos los estudios publicados hasta el momento añadiendo nuestras poblaciones española y eslovena.

## 1.2 REVISIÓN SISTEMÁTICA Y META-ANÁLISIS SOBRE LA IMPLICACIÓN DE LOS POLIMORFISMOS DE *MDM2* rs1690916 Y rs2279744 EN EL RIESGO A DESARROLLAR OS

### 1.2.1 REVISIÓN SISTEMÁtica DE LA IMPLICACIÓN DE LOS SNPs rs1690916 Y rs2279744 EN EL RIESGO A DESARROLLAR OS

La búsqueda bibliográfica con las bases de datos *Pubmed* y *Scopus* permitió identificar un total de 1371 publicaciones. Después de eliminar las duplicaciones se obtuvieron 838 publicaciones. Tras revisar los resúmenes de estas publicaciones se descartaron 785 porque no cumplían los criterios de inclusión, quedando un total de 53 artículos de los que se realizó una lectura completa. De éstos, se identificaron un total de 4 artículos que específicamente estudiaban el polimorfismo rs1690916 y/o el polimorfismo rs2279744 y el riesgo de OS (Figura 19).

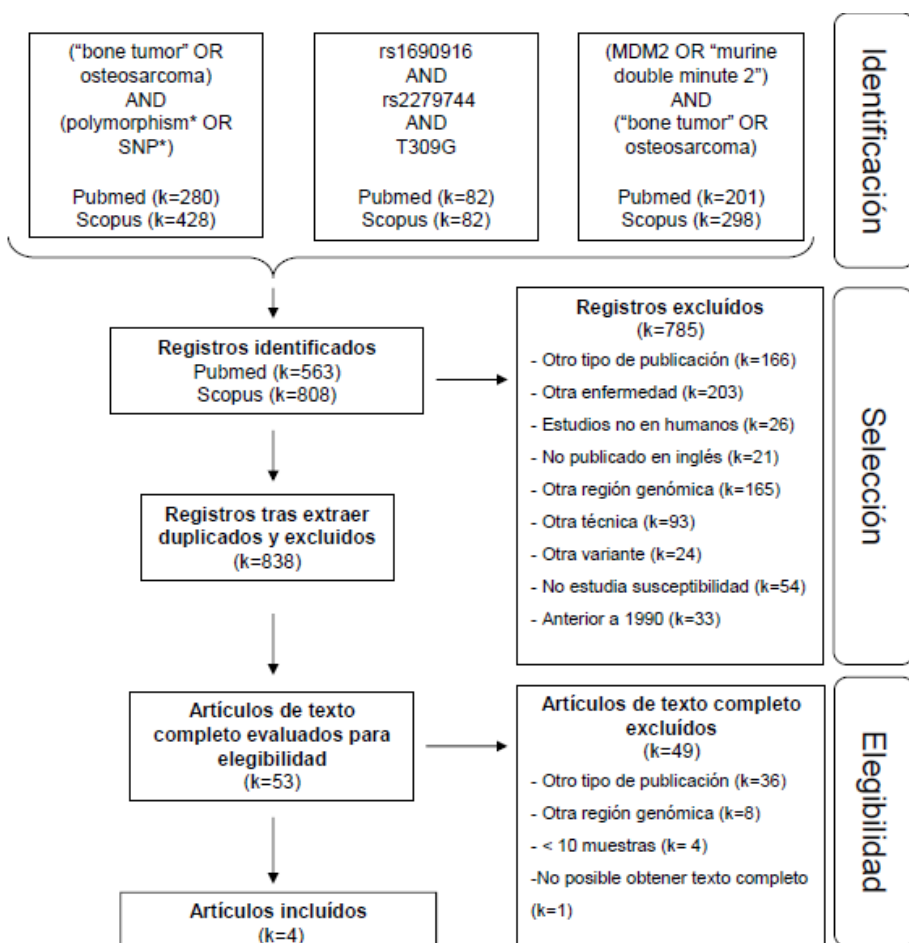


Figura 19. Diagrama de flujo de la selección de estudios.

## **1.2.2 META-ANÁLISIS**

El MA sobre la implicación de los polimorfismos rs1690916 y rs2279744 en el riesgo de OS incluyó un total de 6 poblaciones, procedentes de los 4 artículos obtenidos de la revisión sistemática (rusa, americana, australiana e italiana) y del estudio de asociación previo (española y eslovena). Para el rs1690916 se obtuvieron datos de las poblaciones rusa, americana, española y eslovena y para el rs2279744 americana, australiana, italiana, española y eslovena.

### **1.2.2.1 Meta-análisis del SNP rs1690916**

El MA del SNP rs1690916 incluyó las poblaciones rusa, americana, española y eslovena. La distribución genotípica de los controles en cada estudio estuvo en EHW ( $p>0,05$ ). Todos los estudios incluidos superaron la escala de calidad (valor > 5) (Tabla anexa 1).

El análisis de asociación por frecuencias alélicas mostró que el SNP rs1690916 estaba asociado con el riesgo a desarrollar OS únicamente en la población americana ( $p=0,002$ ) (Tabla 17). En esta población, el alelo A disminuía el riesgo de OS ( $OR=0,61$ ; 95%IC: 0,45-0,84).

**Tabla 17.** Estudio de asociación por frecuencias aléicas entre el polimorfismo rs1690916 del gen MDM2 y el riesgo a desarrollar OS en los estudios incluidos en el MA.

| Población | N <sub>control</sub> | N <sub>casos</sub> | AM | Fr <sub>control</sub> | Fr <sub>casos</sub> | OR (IC 95%)      | P      | Ref  | Año       |
|-----------|----------------------|--------------------|----|-----------------------|---------------------|------------------|--------|------|-----------|
| España    | 167                  | 99                 | A  | 0,34                  | 0,37                | 1,13 (0,78-1,63) | 0,57   |      | 2015 (PE) |
| Eslovenia | 91                   | 27                 | A  | 0,43                  | 0,57                | 1,76 (0,95-3,25) | 0,08   |      | 2015 (PE) |
| Rusia     | 86                   | 24                 | A  | 0,47                  | 0,31                | 0,51 (0,26-1,01) | 0,06   | (36) | 2012      |
| EEUU      | 1416                 | 96                 | A  | 0,42                  | 0,31                | 0,61 (0,45-0,84) | 0,002* | (35) | 2011      |

Abreviaturas: AM: Alelo de menor frecuencia en controles, N: Número de individuos; OR, Odds Ratio; IC, Intervalo de confianza; Fr., frecuencia alélica, PE: Presente estudio, Ref: Referencia; \*Valores significativos

En el análisis por frecuencias genotípicas, dos poblaciones (americana y rusa) mostraron resultados significativos (Tabla 18). En el caso de la población americana, rs1690916 fue significativo bajo todos los modelos de herencia estudiados. El resultado más significativo fue bajo el modelo log-aditivo (AA vs AG vs GG). El genotipo AA mostró una disminución del riesgo con un valor de  $OR=0,61$  (95%IC: 0,45-0,84;  $p= 0,002$ ). En el caso de la población rusa, los genotipos GA/AA disminuyeron el riesgo de OS bajo el modelo dominante ( $OR= 0,37$ ; 95%IC: 0,14-0,93;  $p= 0,04$ ).

**Tabla 18.** Estudio de asociación por frecuencias genotípicas entre el polimorfismo rs1690916 del gen *MDM2* y el riesgo a desarrollar OS en los estudios incluidos en el MA.

| Población | AM | Genotipo | N(%) control | N(%) casos | OR (IC 95%) cod                             | P cod | OR(IC 95%) rec               | P rec | OR(IC 95%) dom                | P dom | OR(IC 95%) log   | P log | Ref          | Año  |  |  |
|-----------|----|----------|--------------|------------|---|-------|------------------------------|-------|-------------------------------|-------|------------------|-------|--------------|------|--|--|
| España    | A  | GG       | 73 (43,7)    | 38 (38,4)  | 1<br>1,27 (0,75-2,17)<br>1,15 (0,51-2,61)   | 0,67  | GG/GA<br>AA 1,01 (0,47-2,17) | 0,97  | GG<br>GA/AA 1,25 (0,75-2,07)  | 0,39  | 1,13 (0,78-1,63) | 0,52  | 2015<br>(PE) |      |  |  |
|           |    | GA       | 74 (44,3)    | 49 (49,5)  |   |       |                              |       |                               |       |                  |       |              |      |  |  |
|           |    | AA       | 20 (12,0)    | 12 (12,1)  |   |       |                              |       |                               |       |                  |       |              |      |  |  |
|           |    | Total    | 167 (100)    | 99 (100)   |   |       |                              |       |                               |       |                  |       |              |      |  |  |
| Eslovenia | A  | GG       | 26 (28,6)    | 3 (11,1)   | 1<br>2,89 (0,78-10,76)<br>4,33 (0,97-19,43) | 0,11  | GG/GA<br>AA 1,92 (0,69-5,40) | 0,22  | GG<br>GA/AA 3,20 (0,89-11,55) | 0,05  | 1,98 (0,99-3,96) | 0,05  | 2015<br>(PE) |      |  |  |
|           |    | GA       | 51 (56,0)    | 17 (63,0)  |   |       |                              |       |                               |       |                  |       |              |      |  |  |
|           |    | AA       | 14 (15,4)    | 7 (25,9)   |   |       |                              |       |                               |       |                  |       |              |      |  |  |
|           |    | Total    | 91 (100)     | 27 (100)   |   |       |                              |       |                               |       |                  |       |              |      |  |  |
| Rusia     | A  | GG       | 23 (26,7)    | 12 (50,0)  | 1<br>0,38 (0,14-1,04)<br>0,32 (0,08-1,31)   | 0,10  | GG/GA<br>AA 0,54 (0,14-2,01) | 0,33  | GG<br>GA/AA 0,37 (0,14- 0,93) | 0,04  | 0,51 (0,25-1,01) | 0,05  | (36)         | 2012 |  |  |
|           |    | GA       | 45 (52,3)    | 9 (37,5)   |   |       |                              |       |                               |       |                  |       |              |      |  |  |
|           |    | AA       | 18 (20,9)    | 3 (12,5)   |   |       |                              |       |                               |       |                  |       |              |      |  |  |
|           |    | Total    | 86 (100)     | 24 (100)   |   |       |                              |       |                               |       |                  |       |              |      |  |  |
| EEUU      | A  | GG       | 468 (33,1)   | 44 (45,8)  | 1<br>0,68 (0,44-1,05)<br>0,33 (0,15-0,71)   | 0,006 | GG/GA<br>AA 0,41 (0,20-0,86) | 0,008 | G/G<br>GA/AA 0,58 (0,38-0,88) | 0,01  | 0,61 (0,45-0,84) | 0,002 | (35)         | 2011 |  |  |
|           |    | GA       | 691 (48,8)   | 44 (45,8)  |   |       |                              |       |                               |       |                  |       |              |      |  |  |
|           |    | AA       | 257 (18,1)   | 8 (8,3)    |   |       |                              |       |                               |       |                  |       |              |      |  |  |
|           |    | Total    | 1416 (100)   | 96 (100)   |   |       |                              |       |                               |       |                  |       |              |      |  |  |

Abreviaturas: AM, alelo menor; OR, Odds Ratio; IC, Intervalo de confianza; cod, codominante; dom, dominante; rec, recesivo; log, log-aditivo, Ref, Referencia, PE: Presente estudio;

Por lo tanto, la población americana fue la única que mostró asociación con el riesgo a desarrollar OS bajo todos los modelos de herencia genética utilizados (Tabla 18).

En el meta-análisis por frecuencias alélicas, observamos que el alelo A aumentaba o disminuía el riesgo dependiendo de la población; en la española y eslovena el alelo A confería riesgo a desarrollar OS ( $OR > 1$ ), mientras que en la rusa y la americana, confería protección ( $OR < 1$ ). Con respecto al peso (valor W en el *forest plot* y representado por un mayor o menor tamaño del cuadro) del modelo alélico, las poblaciones americana (29,4 %) y española (28,2 %) fueron las que más peso tuvieron en el MA (Figura 20).

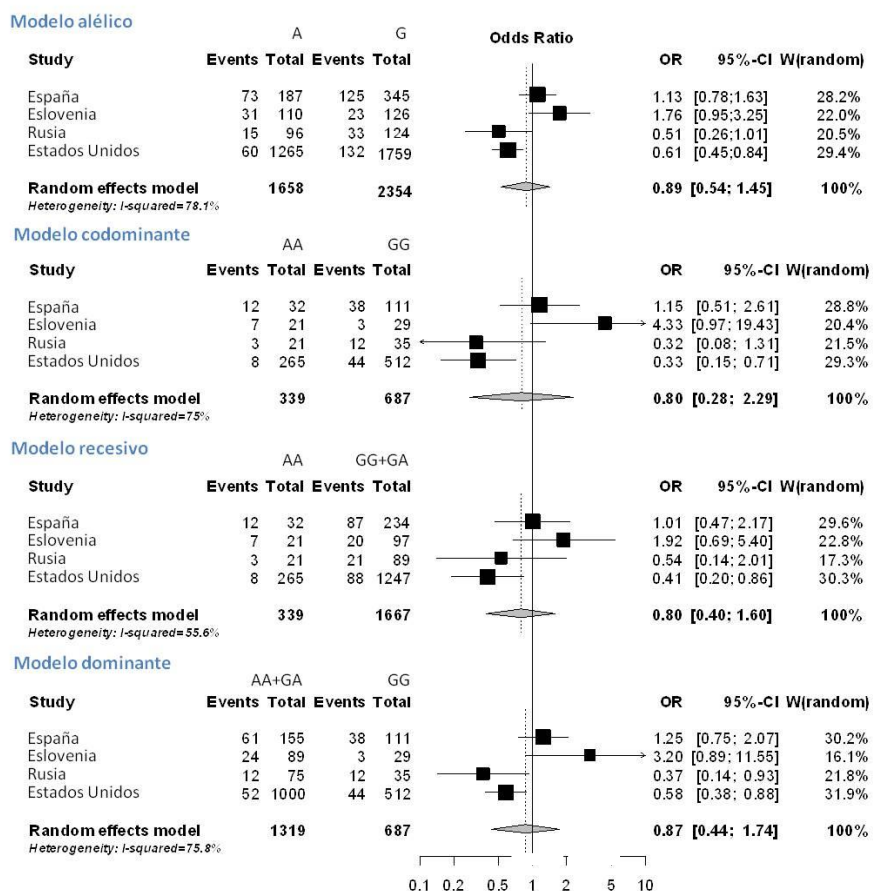


Figura 20. MA del polimorfismo rs1690916.

Para este polimorfismo, la heterogeneidad de los estudios incluidos fue alta (>75%) bajo los modelos alélico, codominante y dominante (Figura 20). Para averiguar qué estudio era el causante de esta heterogeneidad, se realizó un análisis de influencias. Este análisis reveló que ningún estudio afectaba significativamente al valor de OR global, lo que indicaba

que la heterogeneidad no estaba influenciada por ninguno de los estudios de manera individual (Tabla anexa 3).

El resultado final del MA indicó que el polimorfismo rs1690916 no estaba asociado con el riesgo a desarrollar OS bajo ningún modelo de herencia genético (Figura 20).

### **1.2.2.2 Meta-análisis del SNP rs2279744**

El MA del SNP rs2279744 incluyó las poblaciones americana, australiana, italiana, española y eslovena. La distribución genotípica de los controles en cada estudio estuvieron en EHW ( $p>0,05$ ). El análisis de la calidad de los estudios mostró que el trabajo realizado por Ito et al (población australiana) no superaba la evaluación de calidad (valor= 4) debido a la poca calidad de los controles utilizados en su estudio (tabla anexa 2).

El análisis de asociación por frecuencias alélicas mostró que el SNP rs2279744 estaba asociado con el riesgo a desarrollar OS únicamente en la población italiana ( $p=0,002$ ) (Tabla 19). En esta población el alelo G incrementaba el riesgo de OS ( $OR=1,53$ ; 95%IC: 1,16-2,02).

**Tabla 19.** Estudio de asociación por frecuencias aléicas entre el polimorfismo rs2279744 del gen *MDM2* y el riesgo a desarrollar OS en los estudios incluidos en el MA.

| Población | N <sub>control</sub> | N <sub>casos</sub> | AM | Fr <sub>control</sub> | Fr <sub>casos</sub> | OR (IC 95%)      | P      | Ref  | Año       |
|-----------|----------------------|--------------------|----|-----------------------|---------------------|------------------|--------|------|-----------|
| España    | 164                  | 94                 | G  | 0,38                  | 0,33                | 0,81 (0,55-1,19) | 0,29   |      | 2015 (PE) |
| Eslovenia | 92                   | 26                 | G  | 0,36                  | 0,31                | 0,80 (0,38-1,60) | 0,62   |      | 2015 (PE) |
| EEUU      | 1416                 | 95                 | G  | 0,36                  | 0,42                | 1,31 (0,96-1,78) | 0,09   | (35) | 2011      |
| Australia | 37                   | 17                 | G  | 0,3                   | 0,38                | 1,46 (0,56-3,71) | 0,39   | (34) | 2011      |
| Italia    | 250                  | 201                | G  | 0,34                  | 0,44                | 1,53 (1,16-2,02) | 0,002* | (33) | 2011      |

Abreviaturas: AM, alelo de menor frecuencia en controles; OR, Odds Ratio; IC, Intervalo de confianza; Fr., frecuencia alélica; Ref: Referencia. PE; Presente estudio. \*Valores significativos

Del mismo modo, en el análisis por frecuencias genotípicas, únicamente la población italiana mostró resultados significativos bajo todos los modelos de herencia estudiados ( $OR>1$ ;  $p<0,05$ ) (Tabla 20). El resultado más significativo resultó ser el modelo log-aditivo (TT vs TG vs GG), donde el genotipo GG mostró un mayor riesgo de OS con un valor de  $OR=1,48$  95%IC: 1,14-1,92;  $p=0,003$ ). El resto de poblaciones (española, eslovena, americana y australiana) no mostraron resultados significativos ( $p>0,05$  en todos los modelos genéticos estudiados).

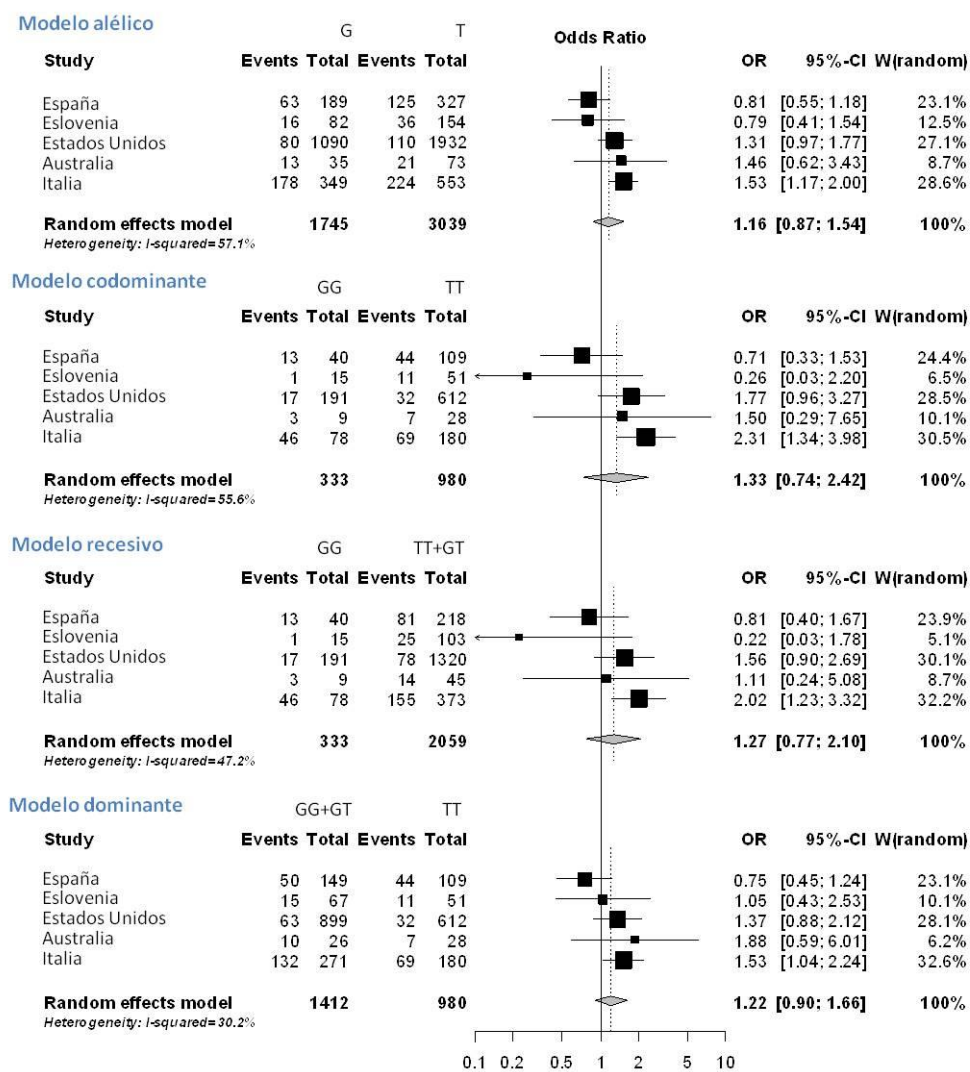
**Tabla 20.** Estudio de asociación por frecuencias genotípicas entre el polimorfismo rs2279744 del gen *MDM2* y el riesgo a desarrollar OS en los estudios incluidos en el MA.

| Población | AM | Genotipo | N(%) control | N(%) casos | OR (IC 95%) cod  | P cod  | OR(IC 95%) rec                | P rec  | OR(IC 95%) dom               | P dom | OR(IC 95%) log   | P log  | Ref | Año          |
|-----------|----|----------|--------------|------------|------------------|--------|-------------------------------|--------|------------------------------|-------|------------------|--------|-----|--------------|
| España    | G  | TT       | 65 (39,6)    | 44 (46,8)  | 1                |        |                               |        | TT                           |       |                  |        |     | 2015<br>(PE) |
|           |    | GT       | 72 (43,9)    | 37 (39,4)  | 0,76 (0,44-1,32) | 0,53   | TT/GT<br>GG 0,81 (0,40-1,67)  | 0,57   | TT<br>GT/GG 0,75 (0,45-1,24) | 0,26  | 0,82 (0,57-1,18) | 0,29   |     |              |
|           |    | GG       | 27 (16,5)    | 13 (13,8)  | 0,71 (0,33-1,53) |        |                               |        |                              |       |                  |        |     |              |
|           |    | Total    | 164 (100)    | 94 (100)   |                  |        |                               |        |                              |       |                  |        |     |              |
| Eslovenia | G  | TT       | 40 (43,5)    | 11 (42,3)  | 1                |        |                               |        | TT                           |       |                  |        |     | 2015<br>(PE) |
|           |    | GT       | 38 (41,3)    | 14 (53,8)  | 1,34 (0,54-3,31) | 0,19   | TT/GT<br>GG 0,22 (0,03-1,78)  | 0,09   | TT<br>GT/GG 1,05 (0,43-2,53) | 0,92  | 0,80 (0,42-1,54) | 0,50   |     |              |
|           |    | GG       | 14 (15,2)    | 1 (3,9)    | 0,26 (0,03-2,20) |        |                               |        |                              |       |                  |        |     |              |
|           |    | Total    | 92 (100)     | 26 (100)   |                  |        |                               |        |                              |       |                  |        |     |              |
| EEUU      | G  | TT       | 580 (41,0)   | 32 (33,7)  | 1                |        |                               |        | TT                           |       |                  |        |     | 2011<br>(35) |
|           |    | GT       | 662 (46,8)   | 46 (48,4)  | 1,26 (0,79-2,00) | 0,19   | TT/GT<br>G/G 1,56 (0,90-2,69) | 0,13   | TT<br>GT/GG 1,37 (0,88-2,12) | 0,16  | 1,32 (0,98-1,78) | 0,07   |     |              |
|           |    | GG       | 174 (12,3)   | 17 (17,9)  | 1,77 (0,96-3,27) |        |                               |        |                              |       |                  |        |     |              |
|           |    | Total    | 1416 (100)   | 95 (100)   |                  |        |                               |        |                              |       |                  |        |     |              |
| Australia | G  | TT       | 21 (56,8)    | 7 (41,2)   | 1                |        |                               |        | TT                           |       |                  |        |     | 2011<br>(34) |
|           |    | GT       | 10 (27,0)    | 7 (41,2)   | 2,10 (0,58-7,63) | 0,52   | TT/GT<br>GG 1,11 (0,24-5,08)  | 0,90   | TT<br>GT/GG 1,88 (0,59-6,01) | 0,29  | 1,35 (0,63-2,87) | 0,44   |     |              |
|           |    | GG       | 6 (16,2)     | 3 (17,6)   | 1,50 (0,29-7,65) |        |                               |        |                              |       |                  |        |     |              |
|           |    | Total    | 37 (100)     | 17 (100)   |                  |        |                               |        |                              |       |                  |        |     |              |
| Italia    | G  | TT       | 111 (44,4)   | 69 (34,3)  | 1                |        |                               |        | TT                           |       |                  |        |     | 2009<br>(33) |
|           |    | GT       | 107 (42,8)   | 86 (42,8)  | 1,29 (0,86-1,95) | 0,009* | TT/GT<br>GG 2,02 (1,23-3,32)  | 0,005* | TT<br>GT/GG 1,53 (1,04-2,24) | 0,03* | 1,48 (1,14-1,92) | 0,003* |     |              |
|           |    | GG       | 32 (12,8)    | 46 (22,9)  | 2,31 (1,34-3,98) |        |                               |        |                              |       |                  |        |     |              |
|           |    | Total    | 250 (100)    | 201 (100)  |                  |        |                               |        |                              |       |                  |        |     |              |

Abreviaturas: MA, alelo de menor frecuencia en controles , OR, Odds Ratio; IC, Intervalo de confianza; cod, codominante; dom, dominante; rec, recesivo; log, log-aditivo, Ref, Referencia, PE: Presente estudio;

\*Valores significativos.

En el MA del modelo alélico, en todas las poblaciones, el alelo G se comportó como alelo de riesgo con valores de OR>1, salvo en las poblaciones española y eslovena, donde el alelo G se comportó como alelo de protección (OR<1). Con respecto al peso de cada estudio, las poblaciones italiana (28,6 %), americana (27,1 %) y española (23,1 %) fueron las que tuvieron un mayor efecto sobre el estimador global. En cuanto a la heterogeneidad de los estudios incluidos, ésta fue de un 57,1 %, siendo un estudio con heterogeneidad moderada (Figura 21).

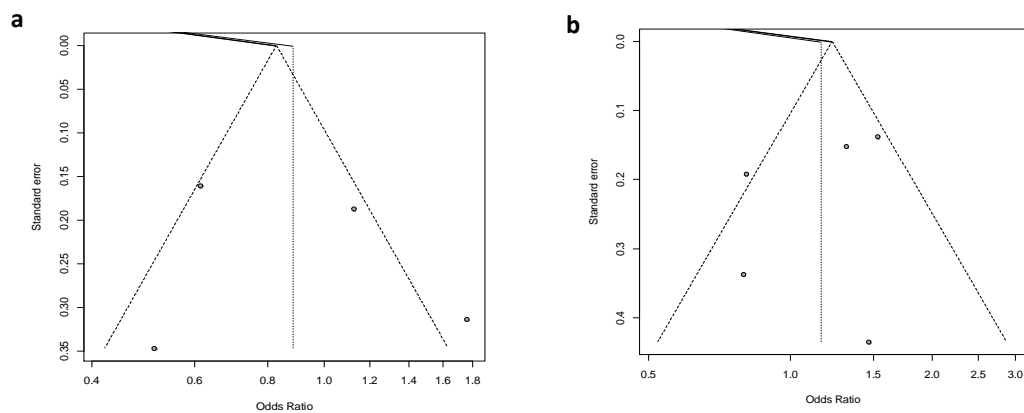


**Figura 21.** MA del polimorfismo rs2279744.

El resultado final del MA reveló que el polimorfismo rs2279744 no estaba asociado con el riesgo a desarrollar OS bajo ningún modelo de herencia genético (Figura 21).

### **1.2.3 SESGO DE PUBLICACIÓN**

Con el fin de analizar el sesgo de publicación, se realizó el test de Egger, el cual consiste en medir la simetría entre estudios que muestran resultados positivos (asociación) y negativos (no asociación). El análisis del sesgo de publicación no reveló asimetría en el perfil de los *funnel plots* (Figura 22), ya que los test de Egger no fueron significativos ( $p>0,05$ ), (Figura anexa 1 y 2). Estos resultados indicaron que el sesgo de publicación no influyó en los resultados del presente MA.



**Figura 22.** Funnel plots de los test de Egger para la comparación de frecuencias alélicas. a) rs1690916 para la comparación A vs G. b) rs2279744 para la comparación de los alelos G vs T.

### **1.3 ASOCIACIÓN DEL POLIMORFISMO rs231775 DE *CTLA4* CON EL RIESGO A DESARROLLAR OS**

Con el objetivo de determinar si el polimorfismo rs231775 del gen *CTLA4* incrementa el riesgo a desarrollar OS se realizó un estudio de asociación caso-control en la población española.

#### **1.3.1 POBLACIÓN DE ESTUDIO**

Se analizaron un total de 99 pacientes con OS y 125 controles. Las características demográficas de la población incluida se detallan en la Tabla 21.

**Tabla 21.** Distribución de la población de estudio en cuanto a edad y sexo en el estudio de asociación del SNP rs231775.

|                            | <b>Controles</b>    | <b>Casos</b>        |
|----------------------------|---------------------|---------------------|
| <b>Participantes (n;%)</b> | <b>125</b>          | <b>99</b>           |
| <b>Edad* (media, sd)</b>   | <b>57,2 ± 12,64</b> | <b>13,96 ± 5,06</b> |
| <b>Sexo* (n; %)</b>        |                     |                     |
| Masculino                  | 68 (57,1)           | 60 (60,60)          |
| Femenino                   | 51 (42,9)           | 38 (38,38)          |

Abreviaturas: n, número de individuos; ds, desviación estándar; \* Los datos de edad y sexo no estuvieron disponibles en todos los individuos (6 controles y 1 caso).

#### **1.3.2 ÉXITO DE GENOTIPADO**

El éxito de genotipado fue del 85,26% (66 pacientes y 125 controles). Las frecuencias genotípicas de la población control estuvieron en EHW ( $p>0,05$ ).

#### **1.3.3 ANÁLISIS DE ASOCIACIÓN ENTRE EL SNP rs231775 DEL GEN *CTLA4* Y RIESGO DE OS**

El estudio de asociación entre el SNP rs231775 del gen *CTLA4* y el riesgo de OS por frecuencias alélicas no mostró resultados significativos ( $p>0,05$ ) (Tabla 22).

**Tabla 22.** Estudio de asociación por frecuencias alélicas entre el polimorfismo rs231775 del gen *CTLA4* y el riesgo a desarrollar OS.

| AM | MAF  | Alelo | N (%) control | N (%) casos | OR (IC 95%)        | P    |
|----|------|-------|---------------|-------------|--------------------|------|
| G  | 0,38 | G     | 93(37,2)      | 40(30,3)    | A 1,36 (0,87-2,02) | 0,21 |
|    |      | A     | 157(62,8)     | 93(70,5)    |                    |      |
|    |      | Total | 250 (100)     | 132 (100)   |                    |      |

Abreviaturas: AM, alelo de menor frecuencia en controles; MAF, frecuencia del alelo menor; OR, Odds Ratio; IC, Intervalo de confianza.

El análisis de asociación por frecuencias genotípicas mostró resultados significativos tanto en el modelo codominante como dominante ( $p>0,05$ ) (Tabla 23). El resultado más significativo se obtuvo en el modelo codominante (AA vs AG y AA vs GG) con un valor de  $p=0,005$  (OR= 0,39, IC 95%: 0,21-0,74). En línea con este resultado, en el modelo dominante el genotipo AG+GG confería protección (OR= 0,45, IC95%: 0,24-0,83).

**Tabla 23.** Estudio de asociación por frecuencias genotípicas entre el polimorfismo rs231775 del gen *CTLA4* y el riesgo a desarrollar OS.

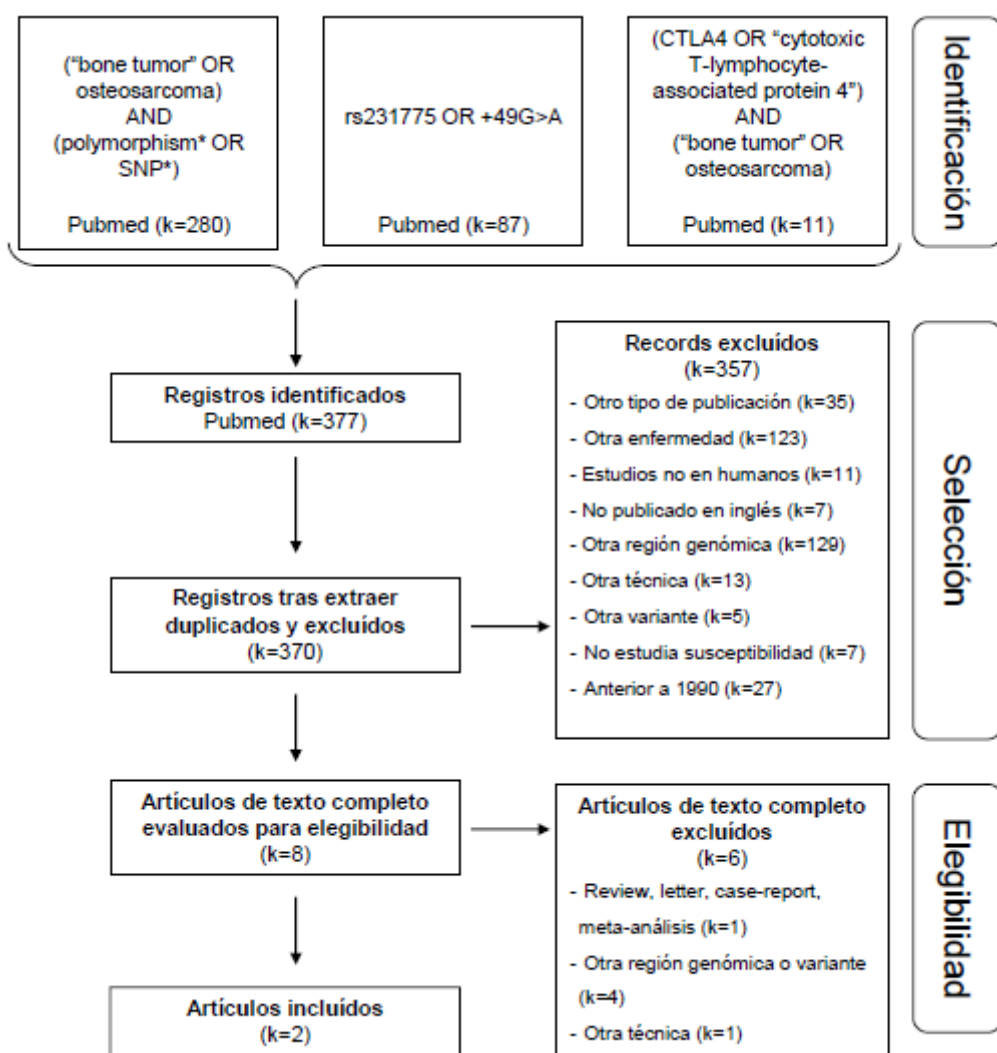
| AM | Genotipo | N (%) control | N (%) casos | OR (IC 95%) cod                           | P cod                        | OR(IC 95%) rec                          | P rec                           | OR(IC 95%) dom | P dom | OR(IC 95%) log | P log |
|----|----------|---------------|-------------|---|------------------------------|---|---------------------------------|----------------|-------|----------------|-------|
| G  | AA       | 37 (29,6)     | 32 (48,5)   | 1<br>0,39 (0,21-0,74)<br>1,39 (0,39-4,98) | 0,005<br>GG 2,40 (0,70-8,18) | AA/AG<br>0,16<br>AG/GG 0,45 (0,24-0,83) | AA<br>0,010<br>0,65 (0,38-1,11) | 0,11           |       |                |       |
|    | AG       | 83 (66,4)     | 28 (42,4)   |   |                              |   |                                 |                |       |                |       |
|    | GG       | 5 (4,0)       | 6 (9,1)     |   |                              |   |                                 |                |       |                |       |
|    | Total    | 125 (100)     | 66 (100)    |   |                              |   |                                 |                |       |                |       |

Abreviaturas: AM, alelo menor frecuencia en controles; OR, Odds Ratio; IC, Intervalo de confianza; cod, codominante; dom, dominante; rec, recesivo; log, log-aditivo.

## **1.4 REVISIÓN SISTEMÁTICA Y META-ANÁLISIS SOBRE LA IMPLICACIÓN DEL POLIMORFISMO rs231775 DE CTLA4 EN EL RIESGO A DESARROLLAR OS**

### **1.4.1 REVISIÓN SISTEMÁTICA DE LA IMPLICACIÓN DEL SNP rs231775 EN EL RIESGO A DESARROLLAR OS**

En la búsqueda se identificaron un total de 378 publicaciones. Después de eliminar las duplicaciones se obtuvieron 370 publicaciones (Figura 23). Tras revisar los resúmenes de estas publicaciones se descartaron 357 porque no cumplían los criterios de inclusión (Figura 23), quedando un total de 8 artículos de los que se realizó una lectura completa. De éstos, se identificaron un total de 2 artículos que específicamente estudiaban la implicación del polimorfismo rs231775 en el riesgo de desarrollar OS.



**Figura 23.** Diagrama de flujo de la selección de estudios.

#### **1.4.2 META-ANÁLISIS DEL SNP rs231775**

El meta-análisis del SNP rs231775 incluyó dos poblaciones chinas y la población española previamente genotipada. La distribución genotípica de los controles en cada estudio estuvieron en EHW ( $p > 0,05$ ). Todos los estudios superaron la escala de calidad (valor  $> 5$ ).

El análisis de asociación por frecuencias alélicas mostró que el SNP rs231775 estaba asociado con el riesgo a desarrollar OS en las tres poblaciones incluidas en el MA (Tabla 24).

**Tabla 24.** Estudio de asociación por frecuencias alélicas entre el polimorfismo rs231775 del gen *CTLA4* y el riesgo a desarrollar OS en los estudios incluidos en el MA.

| Población | N <sub>control</sub> | N <sub>casos</sub> | AR | F <sub>r</sub> <sub>control</sub> | F <sub>r</sub> <sub>casos</sub> | OR <sub>AvgSG</sub> (IC 95%) | P    | Ref  | Año       |
|-----------|----------------------|--------------------|----|-----------------------------------|---------------------------------|------------------------------|------|------|-----------|
| España    | 123                  | 66                 | A  | 0,63                              | 0,37                            | 1,36 (0,87-2,02)             | 0,21 |      | 2015 (PE) |
| China     | 282                  | 267                | A  | 0,46                              | 0,54                            | 1,32 (1,03-1,69)             | 0,03 | (56) | 2011      |
| China     | 216                  | 205                | A  | 0,47                              | 0,53                            | 1,41 (1,07-1,87)             | 0,02 | (57) | 2011      |

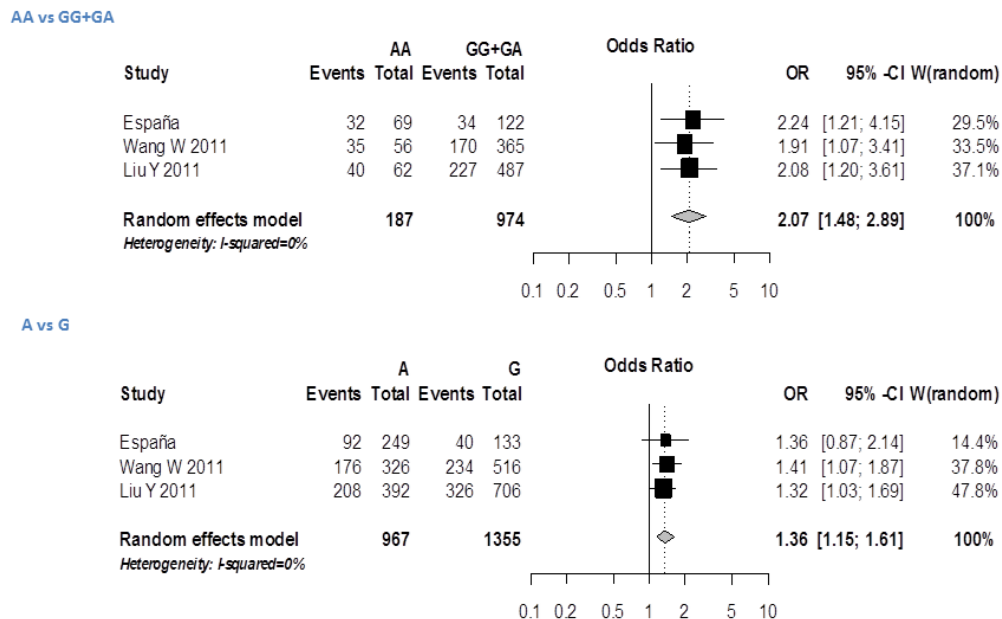
Nota: AR, alelo riesgo; OR, Odds Ratio; IC, Intervalo de confianza; Freq., frecuencia alélica; PE; Presente estudio. \*Valores significativos.

Debido a que la frecuencia del alelo menor del SNP rs231775 variaba en la población asiática con respecto a la española, realizamos el análisis por frecuencias genotípicas tomando como referencia el alelo menor de la población asiática. Es por ello que se realizaron las comparaciones AA+AG vs GG y AA vs GG+AG para las tres poblaciones en el análisis de las frecuencias genotípicas (Tabla 25). El modelo AA vs GG+AG mostró resultados significativos en las tres poblaciones siendo el genotipo AA de riesgo para la susceptibilidad del OS en todos los casos (OR= 2,24, OR: 1,91 y OR: 2,08).

**Tabla 25.** Estudio de asociación por frecuencias genotípicas entre el polimorfismo rs231775 del gen *CTLA4* y el riesgo a desarrollar OS en los estudios incluidos en el MA.

| Población | AR | Genotipo | N(%) control | N(%) casos | OR <sub>AA+AGvsGG</sub> (IC 95%) | P    | OR <sub>AAvsGG+AG</sub> (IC 95%) | P    | Ref       | Año  |
|-----------|----|----------|--------------|------------|----------------------------------|------|----------------------------------|------|-----------|------|
| España    | A  | AA       | 37 (29,6)    | 32 (48,5)  | GG<br>AA+AG 0,42 (0,12-1,42)     | 0,19 | GG+AG<br>AA 2,24 (1,21-4,15)     | 0,01 | 2015 (PE) |      |
|           |    | AG       | 83 (66,4)    | 28 (42,4)  |                                  |      |                                  |      |           |      |
|           |    | GG       | 5 (4,0)      | 6 (9,1)    |                                  |      |                                  |      |           |      |
|           |    | Total    | 125 (100)    | 66 (100)   |                                  |      |                                  |      |           |      |
| China     | A  | AA       | 22 (7,8)     | 40 (15,0)  | GG<br>AA+AG 1,49 (0,99-2,22)     | 0,05 | GG+AG<br>AA 1,91 (1,07-3,41)     | 0,03 | (56)      | 2011 |
|           |    | AG       | 140 (49,6)   | 128 (47,9) |                                  |      |                                  |      |           |      |
|           |    | GG       | 120 (42,6)   | 99 (37,1)  |                                  |      |                                  |      |           |      |
|           |    | Total    | 282 (100)    | 267 (100)  |                                  |      |                                  |      |           |      |
| China     | A  | AA       | 21 (9,7)     | 35 (17,1)  | GG<br>AA+AG 1,26 (0,89-1,77)     | 0,19 | GG+AG<br>AA 2,08 (1,20-3,61)     | 0,01 | (57)      | 2011 |
|           |    | AG       | 108 (50)     | 106 (51,7) |                                  |      |                                  |      |           |      |
|           |    | GG       | 87 (40,3)    | 64 (31,2)  |                                  |      |                                  |      |           |      |
|           |    | Total    | 216 (100)    | 205 (100)  |                                  |      |                                  |      |           |      |

En el MA por frecuencias genotípicas todos los artículos tuvieron un peso similar (aproximadamente el 30%); sin embargo, en el análisis por frecuencias alélicas el trabajo de Liu y cols, tuvo un peso del 47,8% y la población española de 14,4%. No se observó heterogeneidad entre los estudios (Figura 24).



**Figura 24.** MA del polimorfismo rs231775.

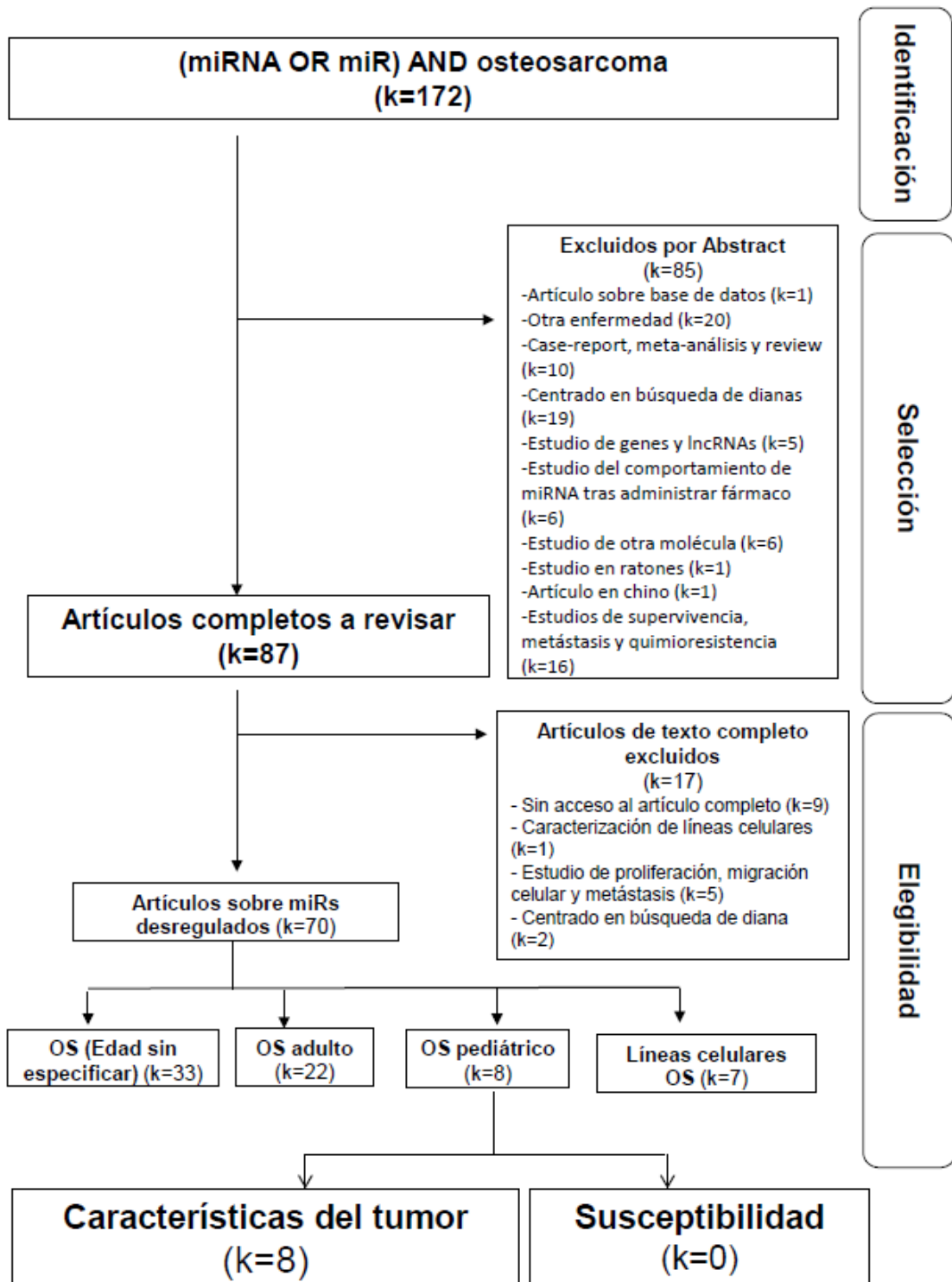
El resultado final del MA reveló que el genotipo AA aumentaba el riesgo a desarrollar OS (OR= 2,07, IC95%: 1,48-2,89). De la misma manera, el alelo A confería riesgo a desarrollar OS (OR= 1,36, IC95%: 1,15-1,61).

## **2. SNPS EN GENES RELACIONADOS CON LOS MIRNAS**

Con el objetivo de determinar los miRNAs implicados en la susceptibilidad al OS realizamos una búsqueda bibliográfica exhaustiva de los miRNAs desregulados en OS.

### **2.1 BÚSQUEDA DE MIRNAS DESREGULADOS EN LA SUSCEPTIBILIDAD DEL OSTEOSARCOMA**

En la búsqueda bibliográfica se identificaron un total de 172 publicaciones sobre el tema (Figura 25). Tras revisar los resúmenes, se descartaron 85 publicaciones porque no cumplían los criterios de inclusión, quedando un total de 87 artículos de los que se realizó la lectura completa. De éstos, se descartaron 17 artículos debido a que se centraban en la búsqueda de dianas de miRNAs, o estudiaban el papel de los miRNAs en la tumorigénesis, pronóstico, metástasis, supervivencia o respuesta al tratamiento, o porque no se pudo obtener el artículo completo. Adicionalmente, se eliminaron 7 trabajos por estar centrados en líneas celulares, 33 por no especificar la edad de los pacientes y 22 por tratarse de OS de adultos, quedando un total de 8 artículos que estudiaban la desregulación de miRNAs en tejido tumoral y plasma de individuos con OS.



**Figura 25.** Diagrama de flujo de la revisión sistemática.

Debido a la falta de estudios que nos indicasen los miRNAs cuya desregulación estuviera asociada con el riesgo de OS, decidimos estudiar la variabilidad genética de todos los genes relacionados con los miRNAs, tanto de los genes de procesamiento como de los miRNAs.

## **2.2 SNPS EN GENES DE PROCESAMIENTO DE MIRNAS**

Polimorfismos en genes de la ruta de procesamiento de miRNAs pueden afectar a su función, y como consecuencia alterar los niveles de miRNAs implicados en el desarrollo del OS. Con el objetivo de determinar si polimorfismos en estos genes estaban asociados con la susceptibilidad a desarrollar OS, realizamos un estudio caso control incluyendo 72 polimorfismos en 21 genes de procesamiento de miRNAs.

### **2.2.1 POBLACIÓN DE ESTUDIO**

La población de estudio consistió en 99 niños y jóvenes (<34 años) diagnosticados con OS en la Unidad de Oncología del Departamento de Pediatría de la Universidad Clínica de Navarra y 387 controles de origen europeo (sin historial de cáncer previo), procedentes de la colección C.0001171 registrada en el Instituto de Salud Carlos III (ISCIII) (Tabla 26).

**Tabla 26.** Distribución de la población de estudio en cuanto a edad, sexo en el estudio de asociación con genes de procesamiento de miRNAs.

|                          | <b>Controles</b>  | <b>Casos</b>        |
|--------------------------|-------------------|---------------------|
| <b>Participantes (n)</b> | <b>387</b>        | <b>99</b>           |
| <b>Edad* (media, sd)</b> | <b>51,2 ± 7,7</b> | <b>14,60 ± 5,23</b> |
| <b>Sexo* (n; %)</b>      |                   |                     |
| Masculino                | 199 (51,4)        | 55 (55,6)           |
| Femenino                 | 187 (48,3)        | 44 (44,4)           |

Abreviaturas: Sd, desviación estándar \*Nota: algunos datos de edad y sexo no estuvieron disponibles en todos los individuos.

### **2.2.2 ÉXITO DE GENOTIPADO**

Un 87,86% de las muestras (427/486) y un 93,05% de los SNPs (67/72) fueron genotipados satisfactoriamente. Se eliminaron del estudio las muestras con más de un 20% de genotipos perdidos (n=59) y los SNPs no amplificados o con intensidad insuficiente para la separación por *clusters* (n=5). Además, 10 SNPs de los 67 SNPs genotipados no cumplieron el EHW en la población de controles y, como consecuencia, no se consideraron en posteriores análisis. En total, 15 SNPs fueron excluidos del estudio (Tabla anexa 4) dejando 57 para posteriores análisis.

### **2.2.3 ANÁLISIS DE ASOCIACIÓN**

Para estudiar si las variantes genéticas en los genes de procesamiento de miRNAs influían en el riesgo a desarrollar OS, se compararon las frecuencias alélicas y genotípicas entre casos y controles de 57 polimorfismos en 21 genes. Los resultados de los análisis mostraron que tres polimorfismos en tres genes de procesamiento (*CNOT1*, *CNOT4* y *SND1*) estuvieron asociados con el riesgo a desarrollar OS ( $p < 0,05$ ) (Tabla anexa 5).

El SNP más significativo fue rs11866002 localizado en el gen *CNOT1*. Bajo el modelo dominante, el genotipo CT+TT se asoció con una disminución del riesgo a desarrollar la enfermedad (OR= 0,44; 95% IC: 0,27-0,73;  $p = 0,001$ ). Tras la corrección de Bonferroni, este resultado se mantuvo casi significativo ( $p = 0,08$ ). Los SNPs rs3812265 en *CNOT4* ( $p=0,025$ ; modelo dominante) y rs3823994 en *SND1* ( $p=0,041$ , modelo aditivo) también se asociaron con el riesgo a OS (antes de la corrección por Bonferroni) (Tabla 27).

**Tabla 27.** Resultados positivos de los análisis de asociación por frecuencias genotípicas entre SNPs en genes de procesamiento de miRNAs y riesgo de OS.

| Gen          | SNP        | Genotipo | N(%) control | N(%) casos | OR (IC 95%) cod   | P cod | OR(IC 95%) rec       | P rec | OR(IC 95%) dom          | P dom  | OR(IC 95%) log   | P log |
|--------------|------------|----------|--------------|------------|-------------------|-------|----------------------|-------|-------------------------|--------|------------------|-------|
| <i>CNOT1</i> | rs11866002 | CC       | 134 (38,7)   | 46 (59,0)  | 1,00              |       | CC/CT 1,00           |       | CC 1,00                 |        |                  |       |
|              |            | CT       | 174 (50,3)   | 26 (33,3)  | 0,44 (0,26- 0,74) | 0,005 | TT 0,68 0,28 1,66    | 0,373 | CT/TT 0,44 (0,27-0,73)  | 0,001* | 0,55 (0,36-0,83) | 0,003 |
|              |            | TT       | 38 (11,0)    | 6 (7,7)    | 0,46 (0,18-1,16)  |       |                      |       |                         |        |                  |       |
| <i>CNOT4</i> | rs3812265  | CC       | 212 (63,1)   | 39 (49,4)  | 1,00              |       | CC/CT 1,00           |       | CC 1,00                 |        |                  |       |
|              |            | CT       | 109 (32,4)   | 37 (46,8)  | 1,85 (1,11- 3,06) | 0,059 | TT 0,84 (0,24- 2,99) | 0,790 | CT/TT 1,75 (1,07-2,87)  | 0,025  | 1,45 (0,97-2,18) | 0,076 |
|              |            | TT       | 15 (4,5)     | 3 (3,8)    | 1,09 (0,30-3,93)  |       |                      |       |                         |        |                  |       |
| <i>SND1</i>  | rs3823994  | AA       | 163 (46,8)   | 47 (59,5)  | 1,00              |       | AA/AT 1,00           |       | AA 1,00                 |        |                  |       |
|              |            | AT       | 157 (45,1)   | 28 (35,4)  | 0,62 (0,37-1,04)  | 0,117 | TT 0,61 (0,21-1,79)  | 0,341 | AT/TT 0,60 (0,37- 0,99) | 0,042  | 0,66 (0,43-0,99) | 0,041 |
|              |            | TT       | 28 (8,0)     | 4 (5,1)    | 0,50 (0,17-1,48)  |       |                      |       |                         |        |                  |       |

\*Significativo después de la corrección de Bonferroni

## 2.3 SNPS EN GENES DE PRE-MIRNAS

Los polimorfismos en genes de miRNAs pueden afectar a su función, y como consecuencia alterar los niveles de miRNAs implicados en el desarrollo del OS. Con el objetivo de determinar si polimorfismos en miRNAs estaban asociados con la susceptibilidad a desarrollar OS, realizamos un estudio caso control incluyendo 213 polimorfismos en 206 genes de miRNAs.

### 2.3.1 POBLACIÓN DE ESTUDIO

Se incluyeron un total de 100 casos de OS (<34 años): 74 casos procedentes de 3 hospitales de referencia en España y 26 de la Unidad de Oncología Pediátrica del University Children's Hospital de Liubliana, Eslovenia y sus correspondientes controles (n=160 y n=96, respectivamente). Las características demográficas de casos y controles se detallan en la tabla 28.

**Tabla 28.** Distribución de edad y género en la población de pacientes de OS y controles en el estudio de miRNAs.

|                    | Total   | Controles    | Casos      |
|--------------------|---------|--------------|------------|
| Participantes* (n) | 356     | 256          | 100        |
| Población (n;%)    |         |              |            |
| España             | 234     | 160 (68,37)  | 74 (31,62) |
| Eslovenia          | 122     | 96 (78,68)   | 26 (21,31) |
| Edad* (media; ds)  |         |              |            |
| España             | -       | 69,01 (17,5) | 14,5 (4,7) |
| Eslovenia          | -       | 46,0 (9,3)   | 19,5 (8,6) |
| Sexo* (m/h)        |         |              |            |
| España             | 111/120 | 81/79        | 30/41      |
| Eslovenia          | 51/71   | 38/58        | 13/13      |

Abreviaturas: n, número de individuos; ds, desviación estándar; m, mujeres; h, hombres.\*algunos datos de edad y sexo no estuvieron disponibles en todos los individuos (3 casos de la población española).

### **2.3.2 ÉXITO DE GENOTIPADO**

De un total de 356 muestras de ADN, se genotiparon con éxito 353 (99,16%). Se eliminaron aquellas muestras con más de un 20% de genotipos perdidos.

Se seleccionaron un total de 213 SNPs en 206 pre-miRNAs. Del total de 213 SNPs incluidos inicialmente en el estudio 151 fueron genotipados satisfactoriamente (70,9%). Los SNPs fallidos se debieron a la no amplificación de la PCR, intensidad insuficiente o poca definición para la separación por *clusters*. Asimismo, 7 SNPs en la población española y 3 SNPs en la población eslovena fueron eliminados por no cumplir el EHW en la población control y, como consecuencia, no se consideraron en análisis posteriores. Los detalles sobre el éxito de genotipado se muestran en la Tabla 6 del Anexo.

### **2.3.3 ESTUDIO DE ASOCIACIÓN EN POBLACIÓN ESPAÑOLA**

Los resultados de los análisis por frecuencias genotípicas mostraron que 14 polimorfismos en 14 miRNAs estaban asociados con el riesgo a desarrollar OS ( $p < 0,05$ ). De forma destacada, 4 SNPs estuvieron localizados en la región 14q32, 3 en el cromosoma 19, 2 en 4q24-25 y 2 en 5q. Todos los polimorfismos significativos estuvieron localizados en el pre-miRNA, salvo el SNP rs35770269 en mir-449c, que estuvo localizado en la región *seed* del miRNA. Ninguno de los SNPs se mantuvo significativo después de corregir mediante el método FDR (Tabla 29, Tabla anexa 7).

**Tabla 29.** Resultados positivos de los análisis de asociación por frecuencias genotípicas entre SNPs en miRNAs y riesgo de OS en población española.

|    | miRNA    | SNP        | Localización | Posición | Genotipo | N(%)/controles | N(%)/casos | OR (IC 95%)       | P                  |
|----|----------|------------|--------------|----------|----------|----------------|------------|-------------------|--------------------|
| 1  | mir-300  | rs12894467 | PM           | 14q32    | CC       | 74 (46,2)      | 19 (27,5)  |                   |                    |
|    |          |            |              |          | CT       | 71 (44,4)      | 34 (49,3)  |                   |                    |
|    |          |            |              |          | TT       | 15 (9,4)       | 16 (23,2)  | 2,01 (1,32-3,06)  | 0,00099<br>(log)   |
|    |          |            |              |          | Totales  | 160 (100)      | 69 (100)   |                   |                    |
| 2  | mir-2278 | rs356125   | PM           | 9q22     | GG       | 140 (87,5)     | 68 (98,6)  |                   |                    |
|    |          |            |              |          | AG       | 20 (12,5)      | 1 (1,4)    | 1                 | 0,00224<br>(cod)   |
|    |          |            |              |          | AA       | 0 (0)          | 0 (0)      | 0,1 (0,01-0,78)   |                    |
|    |          |            |              |          | Totales  | 160 (100)      | 69 (100)   | 0,00 (0,00)       |                    |
| 3  | mir-576  | rs77639117 | PM           | 4q25     | AA       | 156 (97,5)     | 60 (87,0)  |                   |                    |
|    |          |            |              |          | AT       | 4 (2,5)        | 9 (13,0)   | 1                 | 0,00271<br>(cod)   |
|    |          |            |              |          | TT       | 0 (0)          | 0 (0)      | 5,85 (1,74-19,71) |                    |
|    |          |            |              |          | Totales  | 160 (100)      | 69 (100)   | 0,00 (0,00)       |                    |
| 4  | mir-3188 | rs7247237  | PM           | 19p13    | CC       | 72 (45,3)      | 23 (34,3)  |                   |                    |
|    |          |            |              |          | CT       | 77 (48,4)      | 31 (46,3)  | 1                 | 0,00449<br>(rec)   |
|    |          |            |              |          | TT       | 10 (6,3)       | 13 (19,4)  | 3,59 (1,49-8,66)  |                    |
|    |          |            |              |          | Totales  | 159 (100)      | 67 (100)   |                   |                    |
| 5  | mir-492  | rs2289030  | PM           | 12q22    | CC       | 130 (81,2)     | 60 (87,0)  |                   |                    |
|    |          |            |              |          | CG       | 30 (18,8)      | 6 (8,7)    | 1                 | 0,02652<br>(rec)   |
|    |          |            |              |          | GG       | 0 (0)          | 3 (4,3)    | 0,00              |                    |
|    |          |            |              |          | Totales  | 160 (100)      | 69 (100)   |                   |                    |
| 6  | mir-2053 | rs10505168 | PM           | 8q23,3   | AA       | 78 (49,1)      | 25 (36,2)  |                   |                    |
|    |          |            |              |          | AG       | 65 (40,9)      | 42 (60,9)  | 1                 | 0,00869<br>(cod)   |
|    |          |            |              |          | GG       | 16 (10,1)      | 2 (2,9)    | 2,02 (1,11-3,65)  |                    |
|    |          |            |              |          | Totales  | 159 (100)      | 69 (100)   | 0,39 (0,08-1,81)  |                    |
| 7  | mir-4467 | rs60871950 | M            | 7q22,1   | GG       | 35 (22,0)      | 27 (39,1)  |                   |                    |
|    |          |            |              |          | AG       | 83 (52,2)      | 23 (33,3)  | 1                 | 0,00880<br>(dom)   |
|    |          |            |              |          | AA       | 41 (25,8)      | 19 (27,5)  | 0,44 (0,24-0,81)  |                    |
|    |          |            |              |          | Totales  | 159 (100)      | 69 (100)   |                   |                    |
| 8  | mir-412  | rs61992671 | M/PM         | 14q32    | GG       | 57 (35,6)      | 13 (20,0)  |                   |                    |
|    |          |            |              |          | AG       | 66 (41,2)      | 35 (53,8)  | 1                 | 0,0185<br>(dom)    |
|    |          |            |              |          | AA       | 37 (23,1)      | 17 (26,2)  | 2,21 (1,11-4,41)  |                    |
|    |          |            |              |          | Totales  | 160 (100)      | 65 (100)   |                   |                    |
| 9  | mir-5196 | rs10406069 | PM           | 19q13    | GG       | 110 (69,6)     | 43 (62,3)  |                   |                    |
|    |          |            |              |          | AG       | 39 (24,7)      | 26 (37,7)  | 1                 | 0,0207<br>(codom)  |
|    |          |            |              |          | AA       | 9 (5,7)        | 0 (0,0)    | 1,71 (0,93-3,13)  |                    |
|    |          |            |              |          | Totales  | 158 (100)      | 69 (100)   | 0,00 (0,00)       |                    |
| 10 | mir-656  | rs58834075 | PM           | 14q32    | CC       | 157 (98,1)     | 63 (91,3)  |                   |                    |
|    |          |            |              |          | CT       | 3 (1,9)        | 6 (8,7)    | 1                 | 0,02102<br>(codom) |
|    |          |            |              |          | TT       | 0 (0)          | 0 (0)      | 4,98 (1,21-20,55) |                    |
|    |          |            |              |          | Totales  | 160 (100)      | 69 (100)   |                   |                    |
| 11 | mir-4309 | rs12879262 | PM           | 14q32    | GG       | 111 (69,8)     | 39 (56,5)  |                   |                    |
|    |          |            |              |          | CG       | 43 (27,0)      | 30 (43,5)  | 1                 | 0,0223<br>(codom)  |
|    |          |            |              |          | CC       | 5 (3,1)        | 0 (0,0)    | 1,99 (1,10-3,59)  |                    |
|    |          |            |              |          | Totales  | 159 (100)      | 69 (100)   | 0,00 (0,00)       |                    |
| 12 | mir-378h | rs702742   | PM           | 5q33     | AA       | 117 (73,1)     | 58 (86,6)  |                   |                    |
|    |          |            |              |          | AG       | 41 (25,6)      | 8 (11,9)   | 1                 | 0,0224<br>(dom)    |
|    |          |            |              |          | GG       | 2 (1,2)        | 1 (1,5)    | 0,42 (0,19-0,93)  |                    |
|    |          |            |              |          | Totales  | 160 (100)      | 67 (100)   |                   |                    |
| 13 | mir-4745 | rs10422347 | M/PM         | 19p13    | CC       | 138 (87,3)     | 51 (75,0)  |                   |                    |
|    |          |            |              |          | CT       | 19 (12,0)      | 17 (25,0)  | 1                 | 0,0255<br>(dom)    |
|    |          |            |              |          | TT       | 1 (0,6)        | 0 (0,0)    | 2,30 (1,12-4,73)  |                    |
|    |          |            |              |          | Totales  | 158 (100)      | 68 (100)   |                   |                    |
| 14 | mir-449c | rs35770269 | PM/seed      | 5q11     | AA       | 61 (38,4)      | 35 (50,7)  |                   |                    |
|    |          |            |              |          | AT       | 71 (44,7)      | 28 (40,6)  | 1                 | 0,0382<br>(log)    |
|    |          |            |              |          | TT       | 27 (17,0)      | 6 (8,7)    | 0,64 (0,42-0,98)  |                    |
|    |          |            |              |          | Totales  | 159 (100)      | 69 (100)   |                   |                    |

Abreviaturas: Pajust, Valores de p ajustados por sexo; NS: No significativo; PM, pre-maduro; M, maduro; dom, dominante; rec, recesivo; codom, codominante, log, log-aditivo

Por otro lado, el análisis por frecuencias alélicas mostró 10 polymorfismos en 10 genes de miRNAs asociados con el riesgo a OS (Tabla 30). Comparando estos resultados con los obtenidos en los análisis por frecuencias genotípicas, se encontraron tres nuevos SNPs en 3 miRNAs (mir-4752, mir-4268 y mir-1283-2) asociados con el riesgo a OS. Es interesante remarcar que el SNP en el mir-449c está localizado en el *seed* del miRNA.

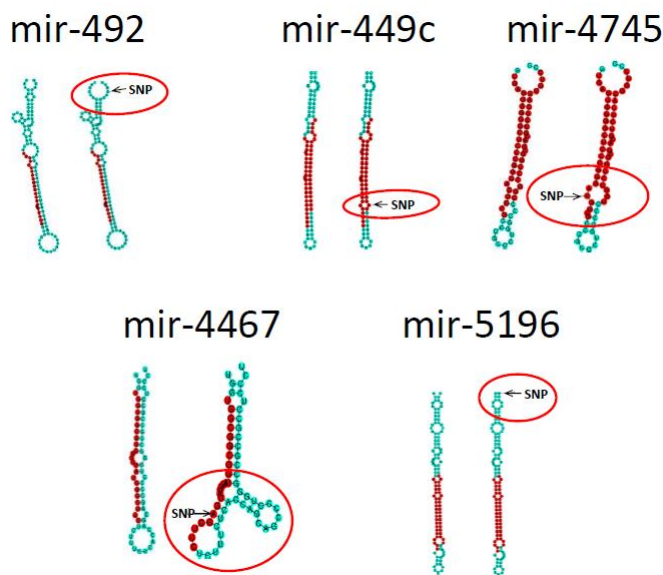
**Tabla 30.** Resultados positivos de los análisis de asociación por frecuencias alélicas entre SNPs en miRNAs y riesgo de OS en población española.

| Gen | SNP        | Localización      | Posición | Alelo | Frec. controles | Frec. casos | OR (IC 95%) | P                 |
|-----|------------|-------------------|----------|-------|-----------------|-------------|-------------|-------------------|
| 1   | mir-300    | <b>rs12894467</b> | PM       | 14q32 | T               | 0,316       | 0,493       | 2,11 (1,42-3,15)  |
| 2   | mir-576    | <b>rs77639117</b> | PM       | 4q25  | T               | 0,012       | 0,061       | 5,16 (1,55-16,89) |
| 3   | mir-3188   | <b>rs7247237</b>  | PM       | 19p13 | T               | 0,305       | 0,438       | 1,77 (1,18-2,67)  |
| 4   | mir-2278   | <b>rs356125</b>   | PM       | 9q22  | G               | 0,938       | 0,993       | 9,8 (1,30-73,73)  |
| 5   | mir-656    | <b>rs58834075</b> | PM       | 14q32 | T               | 0,009       | 0,047       | 5,24 (1,34-20,58) |
| 6   | mir-4752   | <b>rs4112253</b>  | PM       | 19q13 | C               | 0,619       | 0,730       | 1,66 (1,09-2,55)  |
| 7   | mir-4745   | <b>rs10422347</b> | M/PM     | 19p13 | T               | 0,066       | 0,130       | 2,10 (1,09-4,04)  |
| 8   | mir-4268   | <b>rs4674470</b>  | PM       | 2q35  | T               | 0,865       | 0,783       | 1,77 (1,03-3,05)  |
| 9   | mir-1283-2 | <b>rs71363366</b> | PM       | 19q13 | G               | 0,019       | 0,054       | 2,99 (1,02-8,78)  |
| 10  | mir-449c   | <b>rs35770269</b> | PM/seed  | 5q11  | A               | 0,607       | 0,703       | 1,53 (1,01-2,33)  |

Abreviaturas: PM, pre-maduro; M, maduro.

### 2.3.4 ANÁLISIS *IN SILICO* EN POBLACIÓN ESPAÑOLA

Para comprobar el cambio de estructura secundaria debida a los mir-SNPs comparamos el cambio de energía liberada en la estructura secundaria de los miRNAs con SNPs significativos. En la población española, los SNPs en rs2289030 en mir-492, rs35770269 en mir-449c, rs10422347 en mir-4745, rs60871950 en mir-4467 y rs10406069 en mir-5196 provocaron cambios en la estructura secundaria de los miRNAs (Figura 27).



**Figura 27.** Estructura secundaria de los miRNAs con SNPs asociados al riesgo a desarrollar OS en la población española que cambiaban su estructura secundaria, predicho por la base de datos miRNASNP.

### **2.3.5 ESTUDIO DE ASOCIACIÓN EN POBLACIÓN ESLOVENA**

El análisis por frecuencias genotípicas en la población eslovena mostró que 9 polimorfismos en 8 miRNAs estaban asociados con el riesgo a desarrollar OS ( $p < 0,05$ ). De forma destacada, 3 polimorfismos estuvieron localizados en la región *seed* de sus respectivos miRNAs (mir-3620, mir-4707 y mir-499a), 2 estuvieron situados en el mir-5189 (rs35613341 y rs56292801) y otros 2 SNPs se localizaron en la región 2p16 (rs6726779 y rs243080). La asociación del SNP rs35613341 se mantuvo significativa después de la corrección por Bonferroni (Tabla 31, Tabla anexa 8).

**Tabla 31.** Resultados positivos de los análisis de asociación por frecuencias genotípicas entre SNPs en miRNAs y riesgo de OS en población eslovena.

|   | Gen      | SNP        | Localización | Posición | Genotipo | N(%control) | N(%casos) | OR (IC 95%)                                | P                   |
|---|----------|------------|--------------|----------|----------|-------------|-----------|--|---------------------|
| 1 | mir-5189 | rs35613341 | PM           | 16q24    | CC       | 49 (51,0)   | 16 (69,6) | 1<br>0,07 (0,01-0,59)<br>3,06 (0,86-10,85) | 0,00011*<br>(codom) |
|   |          |            |              |          | CG       | 41 (42,7)   | 1 (4,3)   |  |                     |
|   |          |            |              |          | GG       | 6 (6,2)     | 6 (26,1)  |  |                     |
|   |          |            |              |          | Totales  | 96 (100)    | 23 (100)  |  |                     |
| 2 | mir-4268 | rs4674470  | PM           | 2q35     | TT       | 50 (52,1)   | 17 (85,0) | 1<br>0,07 (0,01-0,58)<br>0,98 (0,18-5,33)  | 0,00208<br>(codom)  |
|   |          |            |              |          | CT       | 40 (41,7)   | 1 (5,0)   |  |                     |
|   |          |            |              |          | CC       | 6 (6,2)     | 2 (10,0)  |  |                     |
|   |          |            |              |          | Totales  | 96 (100)    | 20 (100)  |  |                     |
| 3 | mir-3620 | rs2070960  | PM/seed      | 1q42     | CC       | 75 (78,9)   | 21 (87,5) | 1<br>0,18 (0,02-1,41)<br>0,00              | 0,00783<br>(codom)  |
|   |          |            |              |          | CT       | 20 (21,1)   | 1 (4,2)   |  |                     |
|   |          |            |              |          | TT       | 0 (0,0)     | 2 (8,3)   |  |                     |
|   |          |            |              |          | Totales  | 95 (100)    | 24 (100)  |  |                     |
| 4 | mir-5189 | rs56292801 | PM           | 16q24    | GG       | 51 (53,1)   | 18 (81,8) | 1<br>0,25 (0,08-0,80)                      | 0,01017<br>(dom)    |
|   |          |            |              |          | AG       | 41 (42,7)   | 3 (13,6)  |  |                     |
|   |          |            |              |          | AA       | 4 (4,2)     | 1 (4,5)   |  |                     |
|   |          |            |              |          | Totales  | 96 (100)    | 22 (100)  |  |                     |
| 5 | mir-4707 | rs2273626  | PM/seed      | 14q11    | AA       | 31 (32,3)   | 2 (8,7)   | 1<br>5,01 (1,10-22,72)                     | 0,0132<br>(dom)     |
|   |          |            |              |          | AC       | 45 (46,9)   | 15 (65,2) |  |                     |
|   |          |            |              |          | CC       | 20 (20,8)   | 6 (26,1)  |  |                     |
|   |          |            |              |          | Totales  | 96 (100)    | 23 (100)  |  |                     |
| 6 | mir-4431 | rs6726779  | PM           | 2p16     | TT       | 34 (35,8)   | 12 (63,2) | 1<br>0,22 (0,07-0,75)<br>0,85 (0,20-3,62)  | 0,0272<br>(codom)   |
|   |          |            |              |          | CT       | 51 (53,7)   | 4 (21,1)  |  |                     |
|   |          |            |              |          | CC       | 10 (10,5)   | 3 (15,8)  |  |                     |
|   |          |            |              |          | Totales  | 95 (100)    | 19 (100)  |  |                     |
| 7 | mir-5682 | rs9877402  | PM           | 8q22     | AA       | 88 (93,6)   | 17 (85,0) | 1<br>0,00                                  | 0,0296<br>(rec)     |
|   |          |            |              |          | AG       | 6 (6,4)     | 1 (5,0)   |  |                     |
|   |          |            |              |          | GG       | 0 (0,0)     | 2 (10,0)  |  |                     |
|   |          |            |              |          | Totales  | 94 (100)    | 20 (100)  |  |                     |
| 8 | mir-4432 | rs243080   | PM           | 2p16     | CC       | 30 (31,6)   | 12 (57,1) | 1<br>0,35 (0,13-0,91)                      | 0,0303<br>(dom)     |
|   |          |            |              |          | CT       | 49 (51,6)   | 5 (23,8)  |  |                     |
|   |          |            |              |          | TT       | 16 (16,8)   | 4 (19,0)  |  |                     |
|   |          |            |              |          | Totales  | 95 (100)    | 21 (100)  |  |                     |
| 9 | mir-499a | rs3746444  | PM/seed      | 20q11    | TT       | 64 (66,7)   | 18 (75,0) | 1<br>6,71 (1,06-42,73)                     | 0,0444<br>(rec)     |
|   |          |            |              |          | CT       | 30 (31,2)   | 3 (12,5)  |  |                     |
|   |          |            |              |          | CC       | 2 (2,1)     | 3 (12,5)  |  |                     |
|   |          |            |              |          | Totales  | 96 (100)    | 24 (100)  |  |                     |

Abreviaturas: \* Significativo después de la corrección por Bonferroni. PM, pre-maduro; M, maduro; dom, dominante; rec, recesivo; codom, codominante, log, log-aditivo

En el análisis por frecuencias alélicas, 3 polimorfismos en 3 miRNAs estuvieron asociados con el riesgo a OS (Tabla 32). Entre los resultados interesantes encontramos que el SNP rs2273626 en mir-4707 está localizado en el *seed* del miRNA. Comparando estos

resultados con los obtenidos en los análisis por frecuencias genotípicas, se encontró 1 nuevo SNP en mir-5197 asociado al riesgo a OS.

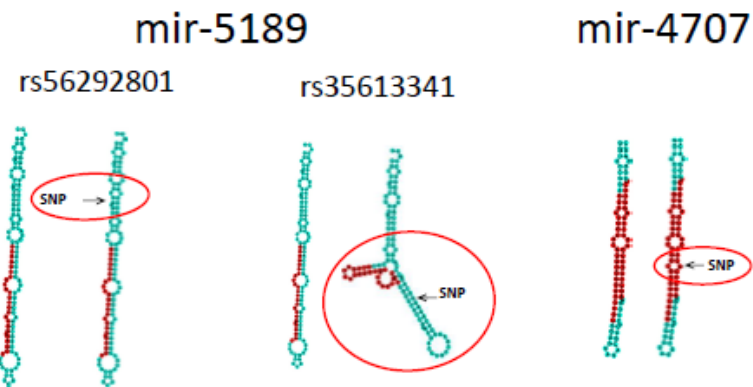
**Tabla 32.** Resultados positivos de los análisis de asociación por frecuencias alélicas entre SNPs en miRNAs y riesgo de OS en población eslovena.

| Gen | SNP      | Localización | Posición | Alelo | N control | N casos | OR (IC 95%) | P                 |
|-----|----------|--------------|----------|-------|-----------|---------|-------------|-------------------|
| 2   | mir-4707 | rs2273626    | PM/seed  | 14q11 | C         | 0,443   | 0,667       | 2,52 (1,12-5,66)  |
| 3   | mir-5197 | rs2042253    | PM       | 5q31  | A         | 0,753   | 0,933       | 4,60 (1,06-20,05) |
| 5   | mir-5189 | rs56292801   | PM       | 16q24 | G         | 0,745   | 0,929       | 4,45 (1,02-19,46) |

Abreviaturas: PM, pre-maduro; M, maduro.

### 2.3.6 ANÁLISIS *IN SILICO* EN POBLACIÓN ESLOVENA

En la población eslovena, los SNPs en rs56292801 y rs35613342 en mir-5189 y rs2273626 en mir-4707 provocaron cambios en la estructura secundaria de los miRNAs (Figura 28).



**Figura 28.** Estructura secundaria de los miRNAs con SNPs asociados al riesgo a desarrollar OS en la población eslovena que cambiaban su estructura secundaria, predicho por la base de datos miRNAsNP.

### 2.3.7 ESTUDIO DE ASOCIACIÓN EN POBLACIÓN ESPAÑOLA Y ESLOVENA

Cuando analizamos las poblaciones española y eslovena juntas, encontramos 12 SNPs en 12 miRNAs asociados con la susceptibilidad a desarrollar OS. Cuando comparamos estos

resultados con los obtenidos en cada población de forma individual, observamos que 9 de los 12 SNPs ya habían mostrado resultados significativos en alguna de las dos poblaciones por separado. Ninguno de los SNPs se mantuvo significativo después de corregir por FDR (Tabla 32, Tabla anexa 9).

**Tabla 32.** Resultados positivos de los análisis de asociación por frecuencias genotípicas entre SNPs en miRNAs y riesgo de OS en la población total.

|    | miRNA     | SNP        | Genotipo | Población conjunta |           |              | Población española |           |              | Población eslovena |           |              |
|----|-----------|------------|----------|--------------------|-----------|--------------|--------------------|-----------|--------------|--------------------|-----------|--------------|
|    |           |            |          | Controles          | Casos     | P            | Controles          | Casos     | P            | Controles          | Casos     | P            |
| 1  | mir-576   | rs77639117 | AA       | 249 (97,3)         | 81 (88,0) |              | 156 (97,5)         | 60 (87,0) |              | 93 (96,9)          | 21 (91,3) |              |
|    |           |            | AT       | 7 (2,7)            | 10 (10,9) |              | 4 (2,5)            | 9 (13,0)  |              | 3 (3,1)            | 1 (4,3)   |              |
|    |           |            | TT       | 0 (0,0)            | 1 (1,1)   | <b>0,002</b> | 0 (0,0)            | 0 (0,0)   | <b>0,003</b> | 0 (0,0)            | 1 (4,3)   | 0,1          |
|    |           |            | Totales  | 256 (100)          | 92 (100)  |              | 160 (100)          | 69 (100)  |              | 96 (100)           | 24 (100)  |              |
| 2  | mir-5682  | rs9877402  | AA       | 233 (92,5)         | 32 (84,2) |              | 145 (91,8)         | 15 (83,3) |              | 88 (93,6)          | 17 (85,0) |              |
|    |           |            | AG       | 19 (7,5)           | 3 (7,9)   |              | 13 (8,2)           | 2 (11,1)  |              | 6 (6,4)            | 1 (5,0)   |              |
|    |           |            | GG       | 0 (0,0)            | 3 (7,9)   | <b>0,002</b> | 0 (0,0)            | 1 (5,6)   | 0,07         | 0 (0,0)            | 2 (10,0)  | <b>0,03</b>  |
|    |           |            | Totales  | 252 (100)          | 38 (100)  |              | 158 (100)          | 18 (100)  |              | 94 (100)           | 20 (100)  |              |
| 3  | mir-4707  | rs2273626  | CC       | 45 (25,4)          | 30 (33,3) |              | 25 (30,9)          | 24 (35,8) |              | 20 (20,8)          | 6 (26,1)  |              |
|    |           |            | AC       | 79 (44,6)          | 47 (52,2) |              | 34 (42,0)          | 32 (47,8) |              | 45 (46,9)          | 15 (65,2) |              |
|    |           |            | AA       | 53 (29,9)          | 13 (14,4) | <b>0,004</b> | 22 (27,2)          | 11 (16,4) | 0,1          | 31 (32,3)          | 2 (8,7)   | <b>0,01</b>  |
|    |           |            | Totales  | 177 (100)          | 90 (100)  |              | 81 (100)           | 67 (100)  |              | 96 (100)           | 23 (100)  |              |
| 4  | mir-4268  | rs4674470  | TT       | 151 (59,2)         | 67 (75,3) |              | 101 (63,5)         | 50 (72,5) |              | 50 (52,1)          | 17 (85,0) |              |
|    |           |            | CT       | 87 (34,1)          | 19 (21,3) |              | 47 (29,6)          | 18 (26,1) |              | 40 (41,7)          | 1 (5,0)   |              |
|    |           |            | CC       | 17 (6,7)           | 3 (3,4)   | <b>0,006</b> | 11 (6,9)           | 1 (1,4)   | 0,06         | 6 (6,2)            | 2 (10,0)  | <b>0,002</b> |
|    |           |            | Totales  | 255 (100)          | 89 (100)  |              | 159 (100)          | 69 (100)  |              | 96 (100)           | 20 (100)  |              |
| 5  | mir-300   | rs12894467 | CC       | 99 (38,7)          | 26 (28,0) |              | 74 (46,2)          | 19 (27,5) |              | 25 (26,0)          | 7 (29,2)  |              |
|    |           |            | CT       | 124 (48,4)         | 45 (48,4) |              | 71 (44,4)          | 34 (49,3) |              | 53 (55,2)          | 11 (45,8) |              |
|    |           |            | TT       | 33 (12,9)          | 22 (23,7) | <b>0,01</b>  | 15 (9,4)           | 16 (23,2) | <b>0,001</b> | 18 (18,8)          | 6 (25,0)  | 0,5          |
|    |           |            | Totales  | 256 (100)          | 93 (100)  |              | 160 (100)          | 69 (100)  |              | 96 (100)           | 24 (100)  |              |
| 6  | mir-4745  | rs10422347 | CC       | 218 (85,8)         | 68 (74,7) |              | 138 (87,3)         | 51 (75,0) |              | 80 (83,3)          | 17 (73,9) |              |
|    |           |            | CT       | 34 (13,4)          | 23 (25,3) |              | 19 (12,0)          | 17 (25,0) |              | 15 (15,6)          | 6 (26,1)  |              |
|    |           |            | TT       | 2 (0,8)            | 0 (0,09)  | <b>0,02</b>  | 1 (0,6)            | 0 (0,0)   | <b>0,03</b>  | 1 (1,0)            | 0 (0,0)   | 0,3          |
|    |           |            | Totales  | 254 (100)          | 91 (100)  |              | 158 (100)          | 68 (100)  |              | 96 (100)           | 23 (100)  |              |
| 10 | mir-3620  | rs2070960  | CC       | 216 (85,0)         | 74 (82,2) |              | 141 (88,7)         | 53 (80,3) |              | 75 (78,9)          | 21 (87,5) |              |
|    |           |            | CT       | 38 (15,0)          | 13 (14,4) |              | 18 (11,3)          | 12 (18,2) |              | 20 (21,1)          | 1 (4,2)   |              |
|    |           |            | TT       | 0 (0,0)            | 3 (3,3)   | <b>0,02</b>  | 0 (0,0)            | 1 (1,5)   | 0,09         | 0 (0,0)            | 2 (8,3)   | <b>0,008</b> |
|    |           |            | Totales  | 254 (100)          | 90 (100)  |              | 159 (100)          | 66 (100)  |              | 95 (100)           | 24 (100)  |              |
| 7  | mir-1255a | rs28664200 | TT       | 137 (54,6)         | 13 (39,4) |              | 86 (55,5)          | 2 (15,4)  |              | 51 (53,1)          | 11 (55,0) |              |
|    |           |            | CT       | 102 (40,6)         | 15 (45,5) |              | 62 (40,0)          | 8 (61,5)  |              | 40 (41,7)          | 7 (35,0)  |              |
|    |           |            | CC       | 12 (4,8)           | 5 (15,2)  | <b>0,03</b>  | 7 (4,5)            | 3 (23,1)  | <b>0,001</b> | 5 (5,2)            | 2 (10,0)  | 0,4          |
|    |           |            | Totales  | 251 (100)          | 33 (100)  |              | 155 (100)          | 13 (100)  |              | 96 (100)           | 20 (100)  |              |
| 8  | mir-3188  | rs7247237  | CC       | 115 (45,3)         | 37 (40,2) |              | 72 (45,3)          | 23 (34,3) |              | 43 (45,3)          | 14 (56,0) |              |
|    |           |            | CT       | 121 (47,6)         | 41 (44,6) |              | 77 (48,4)          | 31 (46,3) |              | 44 (46,3)          | 10 (40,0) |              |
|    |           |            | TT       | 18 (7,1)           | 14 (15,2) | <b>0,03</b>  | 10 (8,6)           | 13 (19,4) | <b>0,004</b> | 8 (8,4)            | 1 (4,0)   | 0,3          |
|    |           |            | Totales  | 254 (100)          | 92 (100)  |              | 159 (100)          | 67 (100)  |              | 95 (100)           | 25 (100)  |              |
| 9  | mir-146a  | rs2910164  | GG       | 144 (56,2)         | 64 (68,8) |              | 84 (52,5)          | 46 (66,7) |              | 60 (62,5)          | 18 (75,0) |              |
|    |           |            | CG       | 96 (37,5)          | 23 (24,7) |              | 66 (41,2)          | 18 (26,1) |              | 30 (31,2)          | 5 (20,8)  |              |
|    |           |            | CC       | 16 (6,2)           | 6 (6,5)   | <b>0,03</b>  | 10 (6,2)           | 5 (7,2)   | <b>0,05*</b> | 6 (6,2)            | 1 (4,2)   | 0,2          |
|    |           |            | Totales  | 256 (100)          | 93 (100)  |              | 160 (100)          | 69 (100)  |              | 96 (100)           | 24 (100)  |              |
| 11 | mir-4752  | rs4112253  | CC       | 103 (40,2)         | 46 (52,3) |              | 60 (37,5)          | 34 (49,3) |              | 43 (44,8)          | 12 (63,2) |              |
|    |           |            | CG       | 119 (46,5)         | 35 (39,8) |              | 78 (48,8)          | 30 (43,5) |              | 41 (42,7)          | 5 (26,3)  |              |
|    |           |            | GG       | 34 (13,3)          | 7 (8,0)   | <b>0,03</b>  | 22 (13,8)          | 5 (7,2)   | 0,05         | 12 (12,5)          | 2 (10,5)  | 0,1          |
|    |           |            | Totales  | 256 (100)          | 88 (100)  |              | 160 (100)          | 69 (100)  |              | 96 (100)           | 19 (100)  |              |
| 12 | mir-6128  | rs67042258 | GG       | 143 (56,1)         | 59 (65,6) |              | 89 (56)            | 47 (69,1) |              | 54 (56,2)          | 12 (54,5) |              |
|    |           |            | AG       | 97 (38,0)          | 22 (24,4) |              | 62 (39)            | 16 (23,5) |              | 35 (36,5)          | 6 (27,3)  |              |
|    |           |            | AA       | 15 (5,9)           | 9 (10,0)  | <b>0,04</b>  | 8 (5)              | 5 (7,4)   | 0,06         | 7 (7,3)            | 4 (18,2)  | 0,1          |
|    |           |            | Totales  | 255 (100)          | 90 (100)  |              | 159 (100)          | 68 (100)  |              | 96 (100)           | 22 (100)  |              |

Juntando todos los resultados significativos obtenidos en los diferentes análisis realizados (por frecuencias genotípicas), se obtuvieron un total de 26 SNPs significativos en 25 miRNAs: 14 SNPs fueron significativos sólo en la población española, 9 SNPs sólo en la población eslovena y 3 SNPs fueron significativos únicamente cuando se juntaron las dos

poblaciones (mir-146a, mir-4752 y mir-6128). En estos últimos, a pesar de que los SNPs no son significativos en cada población por separado, sí se observa la misma tendencia de riesgo en ambas poblaciones (Tabla 33).

**Tabla 33.** Resumen de resultados de asociación de las poblaciones española y eslovena en comparación con la población conjunta (continúa).

| miRNA | SNP      | Genotipo                | Población conjunta   |                  |                      | Población española                |                 |                     | Población eslovena          |                 |                        |
|-------|----------|-------------------------|----------------------|------------------|----------------------|-----------------------------------|-----------------|---------------------|-----------------------------|-----------------|------------------------|
|       |          |                         | Controles<br>(N=256) | Casos<br>(N=100) | P <sub>totales</sub> | Controles<br>(N=160)              | Casos<br>(N=74) | P <sub>España</sub> | Controles<br>(N=96)         | Casos<br>(N=26) | P <sub>Eslovenia</sub> |
| 1     | mir-300  | rs12894467<br>(PM)      | CC                   | 99 (38,7)        | 26 (28,0)            | TT 1,57(1,11-2,22)(log)           | 74 (46,2)       | 19 (27,5)           | 25 (26,0)                   | 7 (29,2)        | 0,5025                 |
|       |          |                         | CT                   | 124 (48,4)       | 45 (48,4)            |                                   | 71 (44,4)       | 34 (49,3)           | 53 (55,2)                   | 11 (45,8)       |                        |
|       |          |                         | TT                   | 33 (12,9)        | 22 (23,7)            |                                   | 15 (9,4)        | 16 (23,2)           | 18 (18,8)                   | 6 (25,0)        |                        |
|       |          |                         | Todas                | 256 (100)        | 93 (100)             |                                   | 160 (100)       | 69 (100)            | 96 (100)                    | 24 (100)        |                        |
| 2     | mir-2278 | rs356125<br>(PM)        | GG                   | 225 (87,9)       | 90 (94,7)            | AG/AA 0,40 (0,15-1,07)(dom)       | 140 (87,5)      | 68 (98,6)           | 85 (88,5)                   | 22 (84,6)       | 0,6043                 |
|       |          |                         | AG                   | 30 (11,7)        | 5 (5,3)              |                                   | 20 (12,5)       | 1 (1,4)             | 10 (10,4)                   | 4 (15,4)        |                        |
|       |          |                         | AA                   | 1 (0,4)          | 0 (0,0)              |                                   | 0 (0,0)         | 0 (0,0)             | 1 (1,0)                     | 0 (0,0)         |                        |
|       |          |                         | Todas                | 256 (100)        | 95 (100)             |                                   | 160 (100)       | 69 (100)            | 96 (100)                    | 26 (100)        |                        |
| 3     | mir-576  | rs77639117<br>(PM)      | AA                   | 249 (97,3)       | 81 (88,0)            | AT/TT 4,83 (1,81-12,87)(rec)      | 156 (97,5)      | 60 (87,0)           | 93 (96,9)                   | 21 (91,3)       | 0,1282                 |
|       |          |                         | AT                   | 7 (2,7)          | 10 (10,9)            |                                   | 4 (2,5)         | 9 (13,0)            | 3 (3,1)                     | 1 (4,3)         |                        |
|       |          |                         | TT                   | 0 (0,0)          | 1 (1,1)              |                                   | 0 (0,0)         | 0 (0,0)             | AT 5,85 (1,74-19,71)(cod)   | 0 (0,0)         |                        |
|       |          |                         | Todas                | 256 (100)        | 92 (100)             |                                   | 160 (100)       | 69 (100)            | 96 (100)                    | 23 (100)        |                        |
| 4     | mir-3188 | rs7247237<br>(PM)       | CC                   | 115 (45,3)       | 37 (40,2)            | TT 2,35 (1,12-4,95)(rec)          | 72 (45,3)       | 23 (34,3)           | 43 (45,3)                   | 14 (56,0)       | 0,2726                 |
|       |          |                         | CT                   | 121 (47,6)       | 41 (44,6)            |                                   | 77 (48,4)       | 31 (46,3)           | 44 (46,3)                   | 10 (40,0)       |                        |
|       |          |                         | TT                   | 18 (7,1)         | 14 (15,2)            |                                   | 10 (6,3)        | 13 (19,4)           | TT 3,59 (1,49-8,66)(rec)    | 8 (8,4)         |                        |
|       |          |                         | Todas                | 254 (100)        | 92 (100)             |                                   | 159 (100)       | 67 (100)            | 95 (100)                    | 25 (100)        |                        |
| 5     | mir-492  | rs2289030<br>(PM)       | CC                   | 211 (82,4)       | 79 (85,9)            | GG 8,60 (0,88-83,70)(rec)         | 130 (81,2)      | 60 (87,0)           | 81 (84,4)                   | 19 (82,6)       | 0,7989                 |
|       |          |                         | CG                   | 44 (17,2)        | 10 (10,9)            |                                   | 30 (18,8)       | 6 (8,7)             | 14 (14,6)                   | 4 (17,4)        |                        |
|       |          |                         | GG                   | 1 (0,4)          | 3 (3,3)              |                                   | 0 (0,0)         | 3 (4,3)             | GG 0 (rec)                  | 1 (1,0)         |                        |
|       |          |                         | Todas                | 256 (100)        | 92 (100)             |                                   | 160 (100)       | 69 (100)            | 96 (100)                    | 23 (100)        |                        |
| 6     | mir-2053 | rs10505168<br>(PM)      | AA                   | 123 (48,2)       | 36 (40,4)            | 0,1128                            | 78 (49,1)       | 25 (36,2)           | 45 (46,9)                   | 11 (55,0)       | 0,4723                 |
|       |          |                         | AG                   | 107 (42,0)       | 48 (53,9)            |                                   | 65 (40,9)       | 42 (60,9)           | 42 (43,8)                   | 6 (30,0)        |                        |
|       |          |                         | GG                   | 25 (9,8)         | 5 (5,6)              |                                   | 16 (10,1)       | 2 (2,9)             | GG 0 (cod)                  | 9 (9,4)         |                        |
|       |          |                         | Todas                | 255 (100)        | 89 (100)             |                                   | 159 (100)       | 69 (100)            | 96 (100)                    | 20 (100)        |                        |
| 7     | mir-4467 | rs60871950<br>(M)       | GG                   | 78 (30,6)        | 36 (39,1)            | 0,1043                            | 35 (22,0)       | 27 (39,1)           | 43 (44,8)                   | 9 (39,1)        | 0,4899                 |
|       |          |                         | AG                   | 121 (47,5)       | 32 (34,8)            |                                   | 83 (52,2)       | 23 (33,3)           | 38 (39,6)                   | 9 (39,1)        |                        |
|       |          |                         | AA                   | 56 (22,0)        | 24 (26,1)            |                                   | 41 (25,8)       | 19 (27,5)           | 15 (15,6)                   | 5 (21,7)        |                        |
|       |          |                         | Todas                | 255 (100)        | 92 (100)             |                                   | 159 (100)       | 69 (100)            | 96 (100)                    | 23 (100)        |                        |
| 8     | mir-412  | rs61992671<br>(M/PM)    | GG                   | 76 (29,7)        | 18 (20,7)            | 0,0973                            | 57 (35,6)       | 13 (20,0)           | 19 (19,8)                   | 5 (22,7)        | 0,7419                 |
|       |          |                         | AG                   | 119 (46,5)       | 47 (54,0)            |                                   | 66 (41,2)       | 35 (53,8)           | 53 (55,2)                   | 12 (54,5)       |                        |
|       |          |                         | AA                   | 61 (23,8)        | 22 (25,3)            |                                   | 37 (23,1)       | 17 (26,2)           | AG/AA 2,21 (1,11-4,41)(dom) | 24 (25,0)       |                        |
|       |          |                         | Todas                | 256 (100)        | 87 (100)             |                                   | 160 (100)       | 65 (100)            | 96 (100)                    | 22 (100)        |                        |
| 9     | mir-5196 | rs10406069<br>(PM)      | GG                   | 171 (67,3)       | 57 (62,6)            | 0,1075                            | 110 (69,6)      | 43 (62,3)           | 61 (63,5)                   | 14 (63,6)       | 0,5394                 |
|       |          |                         | AG                   | 72 (28,3)        | 33 (36,3)            |                                   | 39 (24,7)       | 26 (37,7)           | 33 (34,4)                   | 7 (31,8)        |                        |
|       |          |                         | AA                   | 11 (4,3)         | 1 (1,1)              |                                   | 9 (5,7)         | 0 (0,0)             | AA 0 (cod)                  | 1 (4,5)         |                        |
|       |          |                         | Todas                | 254 (100)        | 91 (100)             |                                   | 158 (100)       | 69 (100)            | 96 (100)                    | 22 (100)        |                        |
| 10    | mir-656  | rs58834075<br>(PM)      | CC                   | 245 (95,7)       | 89 (93,7)            | 0,4457                            | 157 (98,1)      | 63 (91,3)           | 88 (91,7)                   | 26 (100,0)      | 0,2002                 |
|       |          |                         | CT                   | 11 (4,3)         | 6 (6,3)              |                                   | 3 (1,9)         | 6 (8,7)             | 8 (8,3)                     | 0 (0,0)         |                        |
|       |          |                         | TT                   | 0 (0,0)          | 0 (0,0)              |                                   | 0 (0,0)         | 0 (0,0)             | TT 0 (cod)                  | 0 (0,0)         |                        |
|       |          |                         | Todas                | 256 (100)        | 95 (100)             |                                   | 160 (100)       | 69 (100)            | 96 (100)                    | 26 (100)        |                        |
| 11    | mir-4309 | rs12879262<br>(PM)      | GG                   | 188 (73,7)       | 55 (60,4)            | CG 2,02 (1,21-3,36)<br>CC 0 (cod) | 111 (69,8)      | 39 (56,5)           | 77 (80,2)                   | 16 (72,7)       | 0,4494                 |
|       |          |                         | CG                   | 61 (23,9)        | 36 (39,6)            |                                   | 43 (27,0)       | 30 (43,5)           | 18 (18,8)                   | 6 (27,3)        |                        |
|       |          |                         | CC                   | 6 (2,4)          | 0 (0,0)              |                                   | 5 (3,1)         | 0 (0,0)             | CC 0 (cod)                  | 0 (0,0)         |                        |
|       |          |                         | Todas                | 255 (100)        | 91 (100)             |                                   | 159 (100)       | 69 (100)            | 96 (100)                    | 22 (100)        |                        |
| 12    | mir-378h | rs702742<br>(PM)        | AA                   | 204 (79,7)       | 77 (84,6)            | 0,2951                            | 117 (73,1)      | 58 (86,6)           | 87 (90,6)                   | 19 (79,2)       | 0,1421                 |
|       |          |                         | AG                   | 49 (19,1)        | 13 (14,3)            |                                   | 41 (25,6)       | 8 (11,9)            | 8 (8,3)                     | 5 (20,8)        |                        |
|       |          |                         | GG                   | 3 (1,2)          | 1 (1,1)              |                                   | 2 (1,2)         | 1 (1,5)             | AG/GG 0,42 (0,19-0,93)(dom) | 1 (1,0)         |                        |
|       |          |                         | Todas                | 76 (100)         | 91 (100)             |                                   | 160 (100)       | 67 (100)            | 96 (100)                    | 24 (100)        |                        |
| 13    | mir-4745 | rs10422347<br>(M/PM)    | CC                   | 218 (85,8)       | 68 (74,7)            | 0,3387                            | 138 (87,3)      | 51 (75,0)           | 80 (83,3)                   | 17 (73,9)       | 0,3122                 |
|       |          |                         | CT                   | 34 (13,4)        | 23 (25,3)            |                                   | 19 (12,0)       | 17 (25,0)           | 15 (15,6)                   | 6 (26,1)        |                        |
|       |          |                         | TT                   | 2 (0,8)          | 0 (0,0)              |                                   | 1 (0,6)         | 0 (0,0)             | CT/TT 2,30 (1,12-4,73)(dom) | 1 (1,0)         |                        |
|       |          |                         | Todas                | 254 (100)        | 91 (100)             |                                   | 158 (100)       | 68 (100)            | 96 (100)                    | 23 (100)        |                        |
| 14    | mir-449c | rs35770269<br>(PM/seed) | AA                   | 103 (40,4)       | 42 (46,7)            | 0,3387                            | 61 (38,4)       | 35 (50,7)           | 42 (43,8)                   | 7 (33,3)        | 0,3761                 |
|       |          |                         | AT                   | 116 (45,5)       | 40 (44,4)            |                                   | 71 (44,7)       | 28 (40,6)           | 45 (46,9)                   | 12 (57,1)       |                        |
|       |          |                         | TT                   | 36 (14,1)        | 8 (8,9)              |                                   | 27 (17,0)       | 6 (8,7)             | TT 0,64 (0,42-0,98)(log)    | 9 (9,4)         |                        |
|       |          |                         | Todas                | 255 (100)        | 90 (100)             |                                   | 159 (100)       | 69 (100)            | 96 (100)                    | 21 (100)        |                        |

Abreviaturas: PM, pre-maduro; M, maduro, dom, dominante; rec, recesivo; codom, codominante, log, log-aditivo

**Tabla 33.** Resumen de resultados de asociación de las poblaciones española y eslovena en comparación con la población conjunta.

| miRNA | SNP                   | Genotipo | Población conjunta   |                 |                     | Población española        |                 |                              | Población eslovena        |                  |                             |                          |
|-------|-----------------------|----------|----------------------|-----------------|---------------------|---------------------------|-----------------|------------------------------|---------------------------|------------------|-----------------------------|--------------------------|
|       |                       |          | Controles<br>(N=160) | Casos<br>(N=74) | P <sub>España</sub> | Controles<br>(N=96)       | Casos<br>(N=26) | P <sub>Eslovenia</sub>       | Controles<br>(N=256)      | Casos<br>(N=100) | P <sub>totales</sub>        |                          |
| 15    | mir-5189<br>(PM)      | CC       | 72 (45,0)            | 38 (56,7)       | 0,1069              | 49 (51,0)                 | 16 (69,6)       | <b>0,0001*</b>               | 121 (47,3)                | 54 (60)          | <b>0,0048</b>               |                          |
|       |                       | CG       | 57 (35,6)            | 17 (25,4)       |                     | 41 (42,7)                 | 1 (4,3)         | CG 0,07 (0,01-0,59)          | 98 (38,3)                 | 18 (20)          | CG 0,41 (0,23-0,75)         |                          |
|       |                       | GG       | 31 (19,4)            | 12 (17,9)       |                     | 6 (6,2)                   | 6 (26,1)        | GG 3,06 (0,86-0,85)(cod)     | 37 (14,5)                 | 18 (20)          | GG 1,09 (0,57-2,08)(cod)    |                          |
|       |                       | Todas    | 160 (100)            | 67 (100)        |                     | 96 (100)                  | 23 (100)        |                              | 256 (100)                 | 90 (100)         |                             |                          |
| 16    | mir-4268<br>(PM)      | TT       | 101 (65,5)           | 50 (72,5)       | 0,0582              | 50 (52,1)                 | 17 (85,0)       | <b>0,0021</b>                | 151 (59,2)                | 67 (75,3)        | <b>0,0057</b>               |                          |
|       |                       | CT       | 47 (29,6)            | 18 (26,1)       |                     | 40 (41,7)                 | 1 (5,0)         | CT 0,07 (0,01-0,58)          | 87 (34,1)                 | 19 (21,3)        | CT/CC 0,48 (0,28-0,82)(dom) |                          |
|       |                       | CC       | 11 (6,9)             | 1 (1,4)         |                     | 6 (6,2)                   | 2 (10,0)        | CC 0,98 (0,18-5,33)(cod)     | 17 (6,7)                  | 3 (3,4)          |                             |                          |
|       |                       | Todas    | 159 (100)            | 69 (100)        |                     | 96 (100)                  | 20 (100)        |                              | 255 (100)                 | 89 (100)         |                             |                          |
| 17    | mir-3620<br>(PM/seed) | CC       | 141 (88,7)           | 53 (80,3)       | 0,0929              | 75 (78,9)                 | 21 (87,5)       | <b>0,0078</b>                | 216 (85,0)                | 74 (82,2)        | <b>0,0175</b>               |                          |
|       |                       | CT       | 18 (11,3)            | 12 (18,2)       |                     | 20 (21,1)                 | 1 (4,2)         | CT 0,18 (0,02-1,41)          | 38 (15,0)                 | 13 (14,4)        | TT 0 (rec)                  |                          |
|       |                       | TT       | 0 (0,0)              | 1 (1,5)         |                     | 0 (0,0)                   | 2 (8,3)         | TT 0 (cod)                   | 0 (0,0)                   | 3 (3,3)          |                             |                          |
|       |                       | Todas    | 159 (100)            | 66 (100)        |                     | 95 (100)                  | 24 (100)        |                              | 254 (100)                 | 90 (100)         |                             |                          |
| 18    | mir-5189<br>(PM)      | GG       | 43 (51,8)            | 39 (58,2)       | 0,3433              | 51 (53,1)                 | 18 (81,8)       | <b>0,0102</b>                | 94 (52,5)                 | 57 (64,0)        | <b>0,0717</b>               |                          |
|       |                       | AG       | 26 (31,3)            | 20 (29,9)       |                     | 41 (42,7)                 | 3 (13,6)        | AG/AA 0,25 (0,08-0,80)(dom)  | 67 (37,4)                 | 23 (25,8)        |                             |                          |
|       |                       | AA       | 14 (16,9)            | 8 (11,9)        |                     | 4 (4,2)                   | 1 (4,5)         |                              | 18 (10,1)                 | 9 (10,1)         |                             |                          |
|       |                       | Todas    | 83 (100)             | 67 (100)        |                     | 96 (100)                  | 22 (100)        |                              | 179 (100)                 | 89 (100)         |                             |                          |
| 19    | mir-4707<br>(PM/seed) | AA       | 22 (27,2)            | 11 (16,4)       | 0,2876              | 31 (32,3)                 | 2 (8,7)         | <b>0,0132</b>                | 53 (29,9)                 | 13 (14,4)        | <b>0,0041</b>               |                          |
|       |                       | AC       | 34 (42,0)            | 32 (47,8)       |                     | 45 (46,9)                 | 15 (65,2)       | AC/CC 5,01 (1,10-22,72)(dom) | 79 (44,6)                 | 47 (52,2)        | AA 0,40 (0,20-0,77) (rec)   |                          |
|       |                       | CC       | 25 (30,9)            | 24 (35,8)       |                     | 20 (20,8)                 | 6 (26,1)        |                              | 45 (25,4)                 | 30 (33,3)        |                             |                          |
|       |                       | Todas    | 81 (100)             | 67 (100)        |                     | 96 (100)                  | 23 (100)        |                              | 177 (100)                 | 90 (100)         |                             |                          |
| 20    | mir-4431<br>(PM)      | TT       | 68 (42,5)            | 24 (34,8)       | 0,2720              | 34 (35,8)                 | 12 (63,2)       | <b>0,0272</b>                | 102 (40,0)                | 36 (40,9)        | <b>0,2998</b>               |                          |
|       |                       | CT       | 70 (43,8)            | 33 (47,8)       |                     | 51 (53,7)                 | 4 (21,1)        | CT 0,22 (0,07-0,75)          | 121 (47,5)                | 37 (42,0)        |                             |                          |
|       |                       | CC       | 22 (13,8)            | 12 (17,4)       |                     | 10 (10,5)                 | 3 (15,8)        | CC 0,85 (0,20-3,62)(cod)     | 32 (12,5)                 | 15 (17,0)        |                             |                          |
|       |                       | Todas    | 160 (100)            | 69 (100)        |                     | 95 (100)                  | 19 (100)        |                              | 255 (100)                 | 88 (100)         |                             |                          |
| 21    | mir-5682<br>(PM)      | AA       | 145 (91,8)           | 15 (83,3)       | 0,0749              | 88 (93,6)                 | 17 (85,0)       | <b>0,0295</b>                | 233 (92,5)                | 32 (84,2)        | <b>0,0021</b>               |                          |
|       |                       | AG       | 13 (8,2)             | 2 (11,1)        |                     | 6 (6,4)                   | 1 (5,0)         | GG 0 (rec)                   | 19 (7,5)                  | 3 (7,9)          | GG 0 (rec)                  |                          |
|       |                       | GG       | 0 (0,0)              | 1 (5,6)         |                     | 0 (0,0)                   | 2 (10,0)        |                              | 0 (0,0)                   | 3 (7,9)          |                             |                          |
|       |                       | Todas    | 158 (100)            | 18 (100)        |                     | 94 (100)                  | 20 (100)        |                              | 252 (100)                 | 41 (100)         |                             |                          |
| 22    | mir-4432<br>(PM)      | CC       | 49 (30,6)            | 21 (30,9)       | 0,0629              | 30 (31,6)                 | 12 (57,1)       | <b>0,0303</b>                | 79 (31,0)                 | 33 (37,1)        | <b>0,0314</b>               |                          |
|       |                       | CT       | 82 (51,2)            | 27 (39,7)       |                     | 49 (51,6)                 | 5 (23,8)        | CT/TT 0,35 (0,13-0,91)(dom)  | 131 (51,4)                | 32 (36,0)        | (cod)                       |                          |
|       |                       | TT       | 29 (18,1)            | 20 (29,4)       |                     | 16 (16,8)                 | 4 (19,0)        |                              | 45 (17,6)                 | 24 (27,0)        |                             |                          |
|       |                       | Todas    | 160 (100)            | 68 (100)        |                     | 95 (100)                  | 21 (100)        |                              | 255 (100)                 | 89 (100)         |                             |                          |
| 23    | mir-499a<br>(PM/seed) | TT       | 106 (66,2)           | 47 (68,1)       | 0,7304              | 64 (66,7)                 | 18 (75,0)       | <b>0,0444</b>                | 170 (66,4)                | 65 (69,9)        | <b>0,4098</b>               |                          |
|       |                       | CT       | 48 (30,0)            | 20 (29,0)       |                     | 30 (31,2)                 | 3 (12,5)        | CC 6,71 (1,06-42,73)(rec)    | 78 (30,5)                 | 23 (24,7)        |                             |                          |
|       |                       | CC       | 6 (3,8)              | 2 (2,9)         |                     | 2 (2,1)                   | 3 (12,5)        |                              | 8 (3,1)                   | 5 (5,4)          |                             |                          |
|       |                       | Todas    | 160 (100)            | 69 (100)        |                     | 96 (100)                  | 24 (100)        |                              | 256 (100)                 | 93 (100)         |                             |                          |
| 24    | mir-146a<br>(PM)      | GG       | 84 (52,5)            | 46 (66,7)       | <b>0,04534</b>      | 60 (62,5)                 | 18 (75,0)       | 0,2410                       | 144 (56,2)                | 64 (68,8)        | <b>0,03254</b>              |                          |
|       |                       | CG       | 66 (41,2)            | 18 (26,1)       |                     | 30 (31,2)                 | 5 (20,8)        | CG/CC 0,56 (0,20-1,53)(dom)  | 96 (37,5)                 | 23 (24,7)        | CG/CC 0,58 (0,35-0,96)(dom) |                          |
|       |                       | CC       | 10 (6,2)             | 5 (7,2)         |                     | 6 (6,2)                   | 1 (4,2)         |                              | 16 (6,2)                  | 6 (6,5)          |                             |                          |
|       |                       | Todas    | 160 (100)            | 69 (100)        |                     | 96 (100)                  | 24 (100)        |                              | 256 (100)                 | 93 (100)         |                             |                          |
| 25    | mir-4752<br>(PM)      | CC       | 60 (37,5)            | 34 (49,3)       | 0,05378             | 43 (44,8)                 | 12 (63,2)       | 0,1419                       | 103 (40,2)                | 46 (52,3)        | <b>0,03452</b>              |                          |
|       |                       | CG       | 78 (48,8)            | 30 (43,5)       |                     | 41 (42,7)                 | 5 (26,3)        | GG 0,82 (0,17-4,02)(rec)     | 119 (46,5)                | 35 (39,8)        | GG 0,67 (0,46-0,98)rec      |                          |
|       |                       | GG       | 22 (13,8)            | 5 (7,2)         |                     | 12 (12,5)                 | 2 (10,5)        |                              | 34 (13,3)                 | 7 (8,0)          |                             |                          |
|       |                       | Todas    | 160 (100)            | 69 (100)        |                     | 96 (100)                  | 19 (100)        |                              | 256 (100)                 | 88 (100)         |                             |                          |
| 26    | mir-6128<br>(PM)      | GG       | 89 (56)              | 47 (69,1)       | 0,06157             | 54 (56,2)                 | 12 (54,5)       | 0,1430                       | 143 (56,1)                | 59 (65,6)        | <b>0,04218</b>              |                          |
|       |                       | AG       | 62 (39)              | 16 (23,5)       |                     | AG 0,49 (0,25-0,94)       | 35 (36,5)       | 6 (27,3)                     | AA 2,83 (0,75-10,67)(rec) | 97 (38,0)        | 22 (24,4)                   | AG 0,55 (0,32-0,96)      |
|       |                       | AA       | 8 (5)                | 5 (7,4)         |                     | AA 1,18 (0,37-3,82) (cod) | 7 (7,3)         | 4 (18,2)                     |                           | 15 (5,9)         | 9 (10,0)                    | AA 1,45 (0,60-3,51)(cod) |
|       |                       | Todas    | 159 (100)            | 68 (100)        |                     | 96 (100)                  | 22 (100)        |                              | 255 (100)                 | 90 (100)         |                             |                          |

Abreviaturas: PM, pre-maduro; M, maduro, dom, dominante; rec, recesivo; codom, codominante, log, log-aditivo

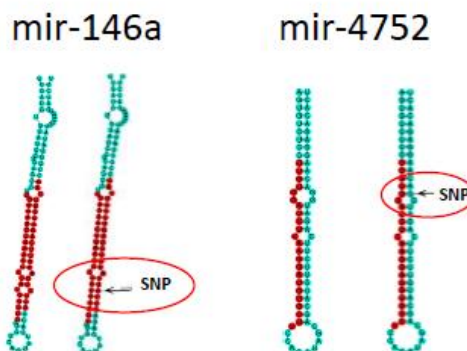
En cuanto al estudio de asociación por frecuencias alélicas, observamos 9 polimorfismos en 9 genes de miRNAs asociados con el riesgo a OS. De forma destacada, los SNPs localizados en los mir-4707 y mir-146a (rs2273626 y rs2910164, respectivamente) están localizados en la región *seed* del miRNA. Estos 9 polimorfismos también se encontraron asociados con el riesgo de OS en los análisis por frecuencias genotípicas (Tabla 34).

**Tabla 34.** Resultados positivos de los análisis de asociación por frecuencias aléicas entre SNPs en miRNAs y riesgo de OS en la población total.

| Gen | SNP      | Localización | Posición         | Alelo | N control | N casos | OR (IC 95%) | P                 |
|-----|----------|--------------|------------------|-------|-----------|---------|-------------|-------------------|
| 1   | mir-576  | rs77639117   | premaduro        | 4q25  | T         | 0,014   | 0,062       | 4,75 (1,81-12,46) |
| 2   | mir-4707 | rs2273626    | Premaduro/seed   | 14q11 | C         | 0,477   | 0,609       | 1,71 (1,18-2,47)  |
| 3   | mir-300  | rs12894467   | premaduro        | 14q32 | T         | 0,371   | 0,489       | 1,62 (1,148-2,86) |
| 4   | mir-4268 | rs4674470    | premaduro        | 2q35  | T         | 0,763   | 0,858       | 4,99 (3,19-7,83)  |
| 5   | mir-3188 | rs7247237    | premaduro        | 19p13 | T         | 0,309   | 0,414       | 1,57 (1,106-2,52) |
| 6   | mir-4745 | rs10422347   | Maduro/premaduro | 19p13 | T         | 0,075   | 0,138       | 1,98 (1,15-3,41)  |
| 7   | mir-5682 | rs9877402    | premaduro        | 8q22  | G         | 0,038   | 0,100       | 2,84 (1,15-7,01)  |
| 8   | mir-4752 | rs4112253    | premaduro        | 19p13 | C         | 0,635   | 0,727       | 1,53 (1,05-2,24)  |
| 9   | mir-146a | rs2910164    | Premaduro/seed   | 5q34  | G         | 0,750   | 0,824       | 1,56 (1,008-2,41) |

### 2.3.6 ANÁLISIS *IN SILICO* EN POBLACIÓN ESPAÑOLA Y ESLOVENA

En la población conjunta, los SNPs en rs2910164 en mir-146a y rs4112253 en mir-4752 provocaron cambios en la estructura secundaria de los miRNAs (Figura 29).



**Figura 29.** Estructura secundaria de los miRNAs con SNPs asociados al riesgo a desarrollar OS en la población española que cambiaban su estructura secundaria, predicho por la base de datos miRNASNP.

## ***Anexo***



## 1. META-ANÁLISIS EN LOS SNPs rs1690916 y rs2279744 en el gen MDM2

### 1.1 ANÁLISIS DE CALIDAD DE ESTUDIOS PARA META-ANÁLISIS DE rs1690916 y rs2279744

**Tabla anexa 1.** Características de los estudios incluidos en el MA de rs1690916.

| Población | Método de genotipado     | EHW | Calidad de estudios | Ref       | Año  |
|-----------|--------------------------|-----|---------------------|-----------|------|
| España    | ARMS                     | S   | S                   | 2015 (PE) |      |
| Eslovenia | ARMS                     | S   | S                   | 2015 (PE) |      |
| Rusia     | MALDI-TOF                | S   | S                   | (36)      | 2012 |
| EEUU      | Custom Infinium Beadchip | S   | S                   | (35)      | 2011 |

Abreviaturas: EHW: Equilibrio de *Hardy-Weinberg*; S, sí; N, no; Ref: Referencia; PE: Presente estudio.

**Tabla anexa 2.** Características de los estudios elegidos para el MA de rs2279744.

| Población | Método de genotipado     | EHW | Calidad de estudios | Ref       | Año  |
|-----------|--------------------------|-----|---------------------|-----------|------|
| España    | RFLP                     | S   | S                   | 2015 (PE) |      |
| Eslovenia | RFLP                     | S   | S                   | 2015 (PE) |      |
| EEUU      | Custom Infinium Beadchip | S   | S                   | (35)      | 2011 |
| Australia | TaqMan                   | S   | N                   | (34)      | 2011 |
| Italia    | Pirosecuenciación        | S   | S                   | (33)      | 2009 |

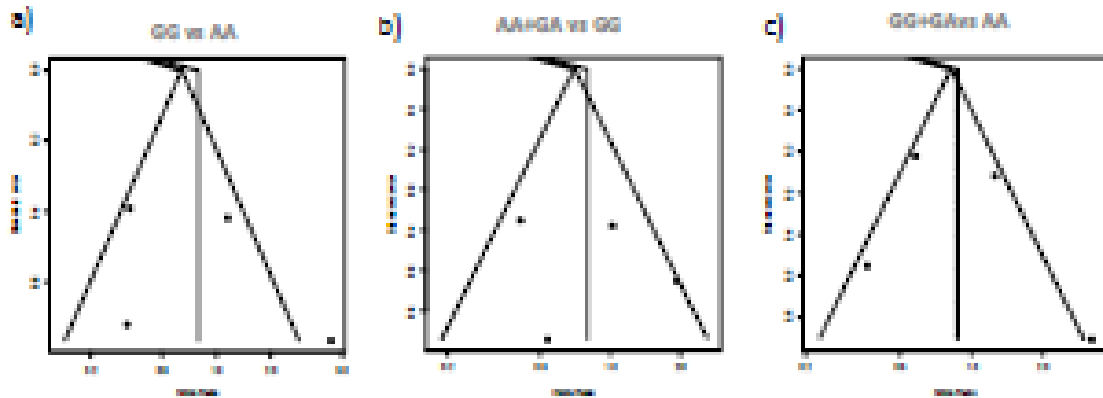
Abreviaturas: EHW: Equilibrio de *Hardy-Weinberg*; S, sí; N, no, Ref: Referencia; PE: Presente estudio.

## 1. 2. ANÁLISIS DE OMISIONES PARA VERIFICACIÓN DE HETEROGENEIDAD EN META-ANALISIS DE rs1690916

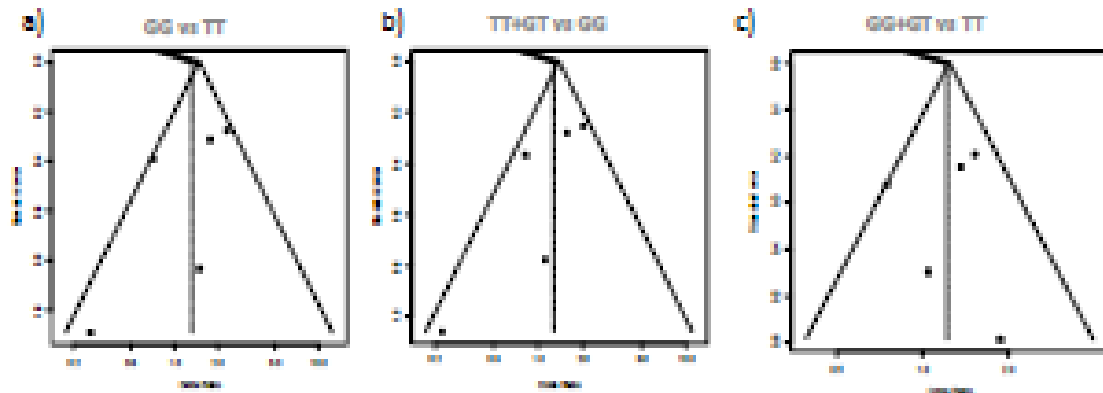
**Tabla anexa 3.** Resultados del análisis por omisiones del meta-análisis del SNP rs1690916.

| Modelo alélico     |      |            |         |                  |                |
|--------------------|------|------------|---------|------------------|----------------|
|                    | OR   | 95%CI      | p valor | tau <sup>2</sup> | I <sup>2</sup> |
| Estudio omitido    |      |            |         |                  |                |
| España             | 0,81 | 0,41-1,60  | 0,55    | 0,29             | 0,80           |
| Eslovenia          | 0,74 | 0,46-1,18  | 0,21    | 0,12             | 0,73           |
| Rusia              | 1,02 | 0,58-1,81  | 0,94    | 0,20             | 0,83           |
| EEUU               | 1,03 | 0,57-1,86  | 0,93    | 0,20             | 0,72           |
| Estimador global   | 0,89 | 0,54-1,45  | 0,63    | 0,19             | 0,78           |
| Modelo codominante |      |            |         |                  |                |
|                    | OR   | 95%CI      | p valor | tau <sup>2</sup> | I <sup>2</sup> |
| Estudio omitido    |      |            |         |                  |                |
| España             | 0,71 | 0,16-3,24  | 0,66    | 13993,00         | 0,79           |
| Eslovenia          | 0,52 | 0,21-1,30  | 0,16    | 0,40             | 0,63           |
| Rusia              | 1,04 | 0,28-3,83  | 0,95    | 1,04             | 0,81           |
| EEUU               | 1,14 | 0,33-3,96  | 0,83    | 0,81             | 0,68           |
| Estimador global   | 0,80 | 0,28-2,29  | 0,67    | 0,84             | 0,75           |
| Modelo recesivo    |      |            |         |                  |                |
|                    | OR   | 95%CI      | p valor | tau <sup>2</sup> | I <sup>2</sup> |
| Estudio omitido    |      |            |         |                  |                |
| España             | 0,74 | 0,27-2,01  | 0,55    | 0,52             | 0,66           |
| Eslovenia          | 0,62 | 0,34-1,14  | 0,13    | 0,09             | 0,31           |
| Rusia              | 0,88 | 0,37-2,09  | 0,77    | 0,40             | 0,69           |
| EEUU               | 1,09 | 0,59-2,00  | 0,79    | 0,04             | 0,13           |
| Estimador global   | 0,80 | 0,40-1,60  | 0,53    | 0,27             | 0,56           |
| Modelo dominante   |      |            |         |                  |                |
|                    | OR   | 95%CI      | p valor | tau <sup>2</sup> | I <sup>2</sup> |
| Estudio omitido    |      |            |         |                  |                |
| España             | 0,77 | 0,30-2,01  | 0,60    | 0,52             | 0,74           |
| Eslovenia          | 0,69 | 0,36-1,32  | 0,26    | 0,23             | 0,73           |
| Rusia              | 1,11 | 0,51-2,45  | 0,79    | 0,35             | 0,79           |
| EEUU               | 1,07 | 0,38-2,99  | 0,90    | 0,61             | 0,76           |
| Estimador global   | 0,87 | 0,44-1,755 | 0,70    | 0,35             | 0,76           |

### 1.3 ANÁLISIS DE SESGO DE PUBLICACIÓN EN META-ANALISIS DE rs1690916 y rs2279744



**Figura anexo 1.** Funnel plots de los test de Egger para la comparación de frecuencias genotípicas rs1690916. a) comparación GG vs AA; b) comparación AA+GA vs GG; c) GG+GA vs AA.



**Figura anexa 2.** Funnel plots de los test de Egger para la comparación de frecuencias genotípicas para rs2279744. a) comparación GG vs TT; b) comparación TT+GT vs GG; c) comparación GG+GT vs TT.

## 2. ESTUDIO EN GENES DE PROCESAMIENTO DE MIRNAS

### 2.1 EXCLUSIÓN DE SNPs

**Tabla anexa 4.** SNPs excluidos en el estudio de genes de procesamiento de miRNAs.

|           | SNP        | Gen           | Alelos | Razón exclusión  |
|-----------|------------|---------------|--------|------------------|
| <b>1</b>  | rs1003226  | <i>CNOT4</i>  | T>C    | Fallo genotipado |
| <b>2</b>  | rs11738060 | <i>CNOT6</i>  | T>A    | Fallo genotipado |
| <b>3</b>  | rs34610323 | <i>GEMIN4</i> | C>T    | Fallo genotipado |
| <b>4</b>  | rs11061209 | <i>RAN</i>    | G>A    | Fallo genotipado |
| <b>5</b>  | rs493760   | <i>DROSHA</i> | T>C    | Fallo genotipado |
| <b>6</b>  | rs42318    | <i>CNOT3</i>  | G>A    | No EHW           |
| <b>7</b>  | rs3757     | <i>DGCR8</i>  | G>A    | No EHW           |
| <b>8</b>  | rs3742330  | <i>DICER1</i> | A>G    | No EHW           |
| <b>9</b>  | rs7813     | <i>GEMIN4</i> | C>T    | No EHW           |
| <b>10</b> | rs910924   | <i>GEMIN4</i> | C>T    | No EHW           |
| <b>11</b> | rs816736   | <i>GEMIN5</i> | T>C    | No EHW           |
| <b>12</b> | rs55656741 | <i>DROSHA</i> | G>A    | No EHW           |
| <b>13</b> | rs7719666  | <i>DROSHA</i> | C>T    | No EHW           |
| <b>14</b> | rs2413621  | <i>TNRC6B</i> | T>C    | No EHW           |
| <b>15</b> | rs470113   | <i>TNRC6B</i> | A>G    | No EHW           |

## 2.1 RESULTADOS DE ASOCIACIÓN BRUTOS

**Tabla anexa 5.** SNPs estudiados en el estudio de genes de procesamiento de miRNAs (continua).

| N  | SNP        | Gen           | Genotipo | N(%control) | N(%casos) | OR (IC 95%)      | P           |
|----|------------|---------------|----------|-------------|-----------|------------------|-------------|
| 1  | rs139919   | <i>TNRC6B</i> | TT       | 247(72)     | 52(67,5)  | 1,23(0,75-2,03)  | 0,4209log   |
|    |            |               | TC       | 93(27,1)    | 24(31,2)  |                  |             |
|    |            |               | CC       | 3(0,9)      | 1(1,3)    |                  |             |
| 2  | rs197412   | <i>GEMIN3</i> | TT       | 139(40,4)   | 31(39,7)  | 1                | 0,5565rec   |
|    |            |               | CT       | 152(44,2)   | 37(47,4)  | 0,81(0,39-1,67)  |             |
|    |            |               | CC       | 53(15,4)    | 10(12,8)  |                  |             |
| 3  | rs636832   | <i>EIF2C1</i> | GG       | 283(81,6)   | 63(79,7)  | 1                | 0,7122dom   |
|    |            |               | AG       | 61(17,6)    | 16(20,3)  | 1,12(0,61-2,07)  |             |
|    |            |               | AA       | 3(0,9)      | 0(0)      |                  |             |
| 4  | rs322825   | <i>SND1</i>   | CC       | 162(47,1)   | 33(42,9)  | 1                | 0,266rec    |
|    |            |               | CT       | 152(44,2)   | 34(44,2)  | 1,56(0,73-3,35)  |             |
|    |            |               | TT       | 30(8,7)     | 10(13)    |                  |             |
| 5  | rs2293939  | <i>EIF2C2</i> | GG       | 188(55,6)   | 50(64,9)  | 1                | 0,1329dom   |
|    |            |               | GA       | 132(39,1)   | 23(29,9)  | 0,68(0,4-1,13)   |             |
|    |            |               | AA       | 18(5,3)     | 4(5,2)    |                  |             |
| 6  | rs1209904  | <i>DICER1</i> | CC       | 194(56,1)   | 47(59,5)  | 1                | 0,3997rec   |
|    |            |               | CT       | 127(36,7)   | 24(30,4)  | 1,45(0,63-3,34)  |             |
|    |            |               | TT       | 25(7,2)     | 8(10,1)   |                  |             |
| 7  | rs6877842  | <i>DROSHA</i> | GG       | 231(67,7)   | 55(69,6)  | 0,96(0,61-1,51)  | 0,8467log   |
|    |            |               | CG       | 99(29)      | 21(26,6)  |                  |             |
|    |            |               | CC       | 11(3,2)     | 3(3,8)    |                  |             |
| 8  | rs6497759  | <i>TNRC6A</i> | GG       | 201(59,1)   | 47(59,5)  | 1                | 0,6324rec   |
|    |            |               | AG       | 117(34,4)   | 28(35,4)  | 0,77(0,2-62,3)   |             |
|    |            |               | AA       | 22(6,5)     | 4(5,1)    |                  |             |
| 9  | rs42318    | <i>CNOT3</i>  | CC       | 183(53,4)   | 35(47,9)  | 1                | 0,3534codom |
|    |            |               | CT       | 121(35,3)   | 32(43,8)  | 1,38(0,81-2,35)  |             |
|    |            |               | TT       | 39(11,4)    | 6(8,2)    | 0,8(0,32-2,04)   |             |
| 10 | rs417309   | <i>DGCR8</i>  | GG       | 302(87,3)   | 70(88,6)  | 1                | 0,2631rec   |
|    |            |               | AG       | 41(11,8)    | 7(8,9)    | 2,97(0,49-18,08) |             |
|    |            |               | AA       | 3(0,9)      | 2(2,5)    |                  |             |
| 11 | rs470113   | <i>TNRC6B</i> | AA       | 249(72,4)   | 53(68,8)  | 1                | 0,0372rec   |
|    |            |               | AG       | 93(27)      | 21(27,3)  | 6,93(1,14-42,22) |             |
|    |            |               | GG       | 2(0,6)      | 3(3,9)    |                  |             |
| 12 | rs3757     | <i>DGCR8</i>  | GG       | 189(55,1)   | 36(47,4)  | 1                | 0,06519rec  |
|    |            |               | AG       | 141(41,1)   | 33(43,4)  | 2,58(0,99-6,69)  |             |
|    |            |               | AA       | 13(3,8)     | 7(9,2)    |                  |             |
| 13 | rs3764942  | <i>SMAD5</i>  | CC       | 301(87,2)   | 71(89,9)  | 1                | 0,5121dom   |
|    |            |               | CT       | 40(11,6)    | 7(8,9)    | 0,77(0,35-1,71)  |             |
|    |            |               | TT       | 4(1,2)      | 1(1,3)    |                  |             |
| 14 | rs11644694 | <i>CNOT1</i>  | GG       | 307(88,2)   | 70(89,7)  | 1                | 0,6991codom |
|    |            |               | AG       | 41(11,8)    | 8(10,3)   | 0,86(0,38-1,91)  |             |
|    |            |               | AA       | 0(0)        | 0(0)      |                  |             |
| 15 | rs37060    | <i>CNOT1</i>  | GG       | 208(59,8)   | 45(57,7)  | 1                | 0,5923rec   |
|    |            |               | AG       | 123(35,3)   | 28(35,9)  | 1,33(0,48-3,73)  |             |
|    |            |               | AA       | 17(4,9)     | 5(6,4)    |                  |             |
| 16 | rs11866002 | <i>CNOT1</i>  | CC       | 134(38,7)   | 46(59)    | 1                | 0,001153dom |
|    |            |               | CT       | 174(50,3)   | 26(33,3)  | 0,44(0,27-0,73)  |             |
|    |            |               | TT       | 38(11)      | 6(7,7)    |                  |             |
| 17 | rs2740348  | <i>GEMIN4</i> | CC       | 270(78,3)   | 64(83,1)  | 1                | 0,3333dom   |
|    |            |               | CG       | 69(20)      | 12(15,6)  | 0,73(0,3-81,4)   |             |
|    |            |               | GG       | 6(1,7)      | 1(1,3)    |                  |             |
| 18 | rs1062923  | <i>GEMIN4</i> | AA       | 255(73,3)   | 53(67,9)  | 1,16(0,7-11,9)   | 0,2863log   |
|    |            |               | AG       | 87(25)      | 25(32,1)  |                  |             |
|    |            |               | GG       | 6(1,7)      | 0(0)      |                  |             |

**Tabla anexa 5.** SNPs estudiados en el estudio de genes de procesamiento de miRNAs (continua).

| N  | SNP        | Gen            | Genotipo | N(%)control | N(%)casos | OR (IC 95%)     | P            |
|----|------------|----------------|----------|-------------|-----------|-----------------|--------------|
| 19 | rs7813     | <i>GEMIN4</i>  | AA       | 115(33,2)   | 34(44,2)  | 0,69(0,47-1,02) | 0,05962log   |
|    |            |                | AG       | 184(53,2)   | 36(46,8)  |                 |              |
|    |            |                | GG       | 47(13,6)    | 7(9,1)    |                 |              |
| 20 | rs1106841  | <i>XPO5</i>    | AA       | 113(33,5)   | 26(33,8)  | 1               | 0,05029rec   |
|    |            |                | AC       | 166(49,3)   | 30(39)    | 1,8(1,01-3,21)  |              |
|    |            |                | CC       | 58(17,2)    | 21(27,3)  |                 |              |
| 21 | rs3805500  | <i>DROSHA</i>  | AA       | 125(37)     | 35(45,5)  | 1               | 0,1711dom    |
|    |            |                | AG       | 158(46,7)   | 31(40,3)  | 0,7(0,43-1,16)  |              |
|    |            |                | GG       | 55(16,3)    | 11(14,3)  |                 |              |
| 22 | rs910924   | <i>GEMIN4</i>  | GG       | 165(47,4)   | 39(52,7)  | 1               | 0,2486rec    |
|    |            |                | AG       | 163(46,8)   | 33(44,6)  | 0,46(0,1-1,99)  |              |
|    |            |                | AA       | 20(5,7)     | 2(2,7)    |                 |              |
| 23 | rs1057035  | <i>DICER1</i>  | TT       | 156(45,1)   | 37(48,1)  | 1               | 0,6214rec    |
|    |            |                | CT       | 152(43,9)   | 30(39)    | 1,21(0,57-2,55) |              |
|    |            |                | CC       | 38(11)      | 10(13)    |                 |              |
| 24 | rs13078    | <i>DICER1</i>  | TT       | 220(63,8)   | 49(62)    | 1               | 0,5008rec    |
|    |            |                | AT       | 111(32,2)   | 28(35,4)  | 0,61(0,142,76)  |              |
|    |            |                | AA       | 14(4,1)     | 2(2,5)    |                 |              |
| 25 | rs816736   | <i>GEMIN5</i>  | AA       | 344(98,9)   | 75(96,2)  |                 | 0,1185log    |
|    |            |                | AG       | 3(0,9)      | 3(3,8)    | 2,21(0,6-8,13)  |              |
|    |            |                | GG       | 1(0,3)      | 0(0)      |                 |              |
| 26 | rs1640299  | <i>DGCR8</i>   | GG       | 85(24,4)    | 17(21,8)  | 1               | 0,1782rec    |
|    |            |                | TG       | 182(52,1)   | 48(61,5)  | 0,65(0,34-1,24) |              |
|    |            |                | TT       | 82(23,5)    | 13(16,7)  |                 |              |
| 27 | rs10719    | <i>DROSHA</i>  | GG       | 193(55,9)   | 47(64,4)  | 1               | 0,1428codom  |
|    |            |                | AG       | 134(38,8)   | 20(27,4)  | 0,61(0,35-1,08) |              |
|    |            |                | AA       | 18(5,2)     | 6(8,2)    | 1,37(0,52-3,64) |              |
| 28 | rs1106042  | <i>PIWIL1</i>  | GG       | 304(88,6)   | 73(92,4)  | 1               | 0,309dom     |
|    |            |                | AG       | 36(10,5)    | 6(7,6)    | 0,640,26-1,57)  |              |
|    |            |                | AA       | 3(0,9)      | 0(0)      |                 |              |
| 29 | rs563002   | <i>GEMIN3</i>  | TT       | 217(62,7)   | 53(68,8)  | 1               | 0,3083dom    |
|    |            |                | CT       | 113(32,7)   | 21(27,3)  | 0,76(0,45-1,29) |              |
|    |            |                | CC       | 16(4,6)     | 3(3,9)    |                 |              |
| 30 | rs784567   | <i>TARBP2P</i> | AA       | 80(23,7)    | 17(22,7)  | 1               | 0,7849rec    |
|    |            |                | AG       | 181(53,6)   | 42(56)    | 0,92(0,51,69)   |              |
|    |            |                | GG       | 77(22,8)    | 16(21,3)  |                 |              |
| 31 | rs10035440 | <i>DROSHA</i>  | TT       | 213(62,8)   | 47(60,3)  |                 | 0,5958log    |
|    |            |                | CT       | 109(32,2)   | 26(33,3)  | 1,12(0,74-1,68) |              |
|    |            |                | CC       | 17(5)       | 5(6,4)    |                 |              |
| 32 | rs1974777  | <i>GEMIN5</i>  | TT       | 273(78,4)   | 63(80,8)  | 1               | 0,647dom     |
|    |            |                | CT       | 72(20,7)    | 14(17,9)  | 0,87(0,47-1,61) |              |
|    |            |                | CC       | 3(0,9)      | 1(1,3)    |                 |              |
| 33 | rs14035    | <i>RAN</i>     | CC       | 138(40,4)   | 32(42,1)  | 1               | 0,7252rec    |
|    |            |                | CT       | 164(48)     | 34(44,7)  | 1,14(0,54-2,4)  |              |
|    |            |                | TT       | 40(11,7)    | 10(13,2)  |                 |              |
| 34 | rs3812265  | <i>CNOT4</i>   | CC       | 212(63,1)   | 39(49,4)  | 1               | 0,02599dom   |
|    |            |                | CT       | 109(32,4)   | 37(46,8)  | 1,75(1,07-2,87) |              |
|    |            |                | TT       | 15(4,5)     | 3(3,8)    |                 |              |
| 35 | rs2292778  | <i>EIF2C2</i>  | AA       | 90(25,9)    | 26(33,3)  | 1               | 0,06848codom |
|    |            |                | AG       | 175(50,3)   | 28(35,9)  | 0,55(0,311)     |              |
|    |            |                | GG       | 83(23,9)    | 24(30,8)  | 10,5(31,88)     |              |
| 36 | rs2257082  | <i>XPO5</i>    | GG       | 202(58,4)   | 53(67,9)  |                 | 0,1093log    |
|    |            |                | GA       | 123(35,5)   | 22(28,2)  | 0,7(0,45-1,09)  |              |
|    |            |                | AA       | 21(6,1)     | 3(3,8)    |                 |              |

**Tabla anexa 5.** SNPs analizados en el estudio de genes de procesamiento de miRNAs (continua).

| N  | SNP        | Gen           | Genotipo | N(%)control | N(%)casos | OR (IC 95%)           | P           |
|----|------------|---------------|----------|-------------|-----------|-----------------------|-------------|
| 37 | rs2413621  | <i>TNRC6B</i> | TT       | 192(55,2)   | 48(60,8)  | 1                     | 0,3645dom   |
|    |            |               | CT       | 119(34,2)   | 24(30,4)  | 0,79(0,48-1,31)       |             |
|    |            |               | CC       | 37(10,6)    | 7(8,9)    |                       |             |
| 38 | rs2287584  | <i>DROSHA</i> | TT       | 186(53,4)   | 47(59,5)  | 1                     | 0,3285dom   |
|    |            |               | CT       | 143(41,1)   | 26(32,9)  | 0,78(0,48-1,28)       |             |
|    |            |               | CC       | 19(5,5)     | 6(7,6)    |                       |             |
| 39 | rs3744741  | <i>GEMIN4</i> | CC       | 260(74,9)   | 55(73,3)  | 1                     | 0,1403rec   |
|    |            |               | CT       | 85(24,5)    | 18(24)    | 4,73(0,66-34,1)       |             |
|    |            |               | TT       | 2(0,6)      | 2(2,7)    |                       |             |
| 40 | rs2227301  | <i>XPO5</i>   | CC       | 228(65,5)   | 46(58,2)  | 1                     | 0,2263dom   |
|    |            |               | CT       | 106(30,5)   | 29(36,7)  | 1,36(0,83-2,24)       |             |
|    |            |               | TT       | 14(4)       | 4(5,1)    |                       |             |
| 41 | rs17151639 | <i>SND1</i>   | AA       | 189(54,3)   | 40(51,3)  | 1                     | 0,6281dom   |
|    |            |               | AG       | 128(36,8)   | 31(39,7)  | 1,13(0,69-1,85)       |             |
|    |            |               | GG       | 31(8,9)     | 7(9)      |                       |             |
| 42 | rs6865950  | <i>GEMIN5</i> | GG       | 276(79,5)   | 68(87,2)  | 1                     | 0,10672dom  |
|    |            |               | AG       | 69(19,9)    | 9(11,5)   | 0,57(0,28-1,17)       |             |
|    |            |               | AA       | 2(0,6)      | 1(1,3)    |                       |             |
| 43 | rs35987994 | <i>DGCR8</i>  | AA       | 330(95,1)   | 75(94,9)  | 1                     | 0,8162codom |
|    |            |               | AG       | 16(4,6)     | 4(5,1)    | 1,1(0,36-3,38)        |             |
|    |            |               | GG       | 1(0,3)      | 0(0)      | 0(0)                  |             |
| 44 | rs34324334 | <i>XPO5</i>   | CC       | 298(86,9)   | 66(84,6)  | 1                     | 0,6028codom |
|    |            |               | CT       | 45(13,1)    | 12(15,4)  | 1,2(0,6-2,4)          |             |
|    |            |               | TT       | 0(0)        | 0(0)      | 0(0)                  |             |
| 45 | rs6877400  | <i>CNOT6</i>  | TT       | 274(78,5)   | 61(78,2)  | 1                     | 0,6554rec   |
|    |            |               | CT       | 68(19,5)    | 16(20,5)  | 0,63(0,08-5,23)       |             |
|    |            |               | CC       | 7(2)        | 1(1,3)    |                       |             |
| 46 | rs7735863  | <i>DROSHA</i> | GG       | 263(76)     | 65(83,3)  | 1                     | 0,15125dom  |
|    |            |               | AG       | 73(21,1)    | 10(12,8)  | 0,63(0,33-1,21)       |             |
|    |            |               | AA       | 10(2,9)     | 3(3,8)    |                       |             |
| 47 | rs639174   | <i>DROSHA</i> | CC       | 166(47,6)   | 39(50)    | 1                     | 0,2298rec   |
|    |            |               | CT       | 154(44,1)   | 29(37,2)  | 1,62(0,76-3,49)       |             |
|    |            |               | TT       | 29(8,3)     | 10(12,8)  |                       |             |
| 48 | rs3764941  | <i>SMAD5</i>  | TT       | 158(46,2)   | 42(53,8)  | 1                     | 0,2226dom   |
|    |            |               | GT       | 150(43,9)   | 27(34,6)  | 0,74(0,45-1,21)       |             |
|    |            |               | GG       | 34(9,9)     | 9(11,5)   |                       |             |
| 49 | rs3823994  | <i>SND1</i>   | AA       | 163(46,8)   | 47(59,5)  | 1                     | 0,04182dom  |
|    |            |               | AT       | 157(45,1)   | 28(35,4)  | 0,6(0,37-0,99)        |             |
|    |            |               | TT       | 28(8)       | 4(5,1)    |                       |             |
| 50 | rs3763425  | <i>CNOT4</i>  | CC       | 259(74,6)   | 58(75,3)  | 1                     | 0,9002dom   |
|    |            |               | CT       | 79(22,8)    | 17(22,1)  | 0,96(0,54-1,71)       |             |
|    |            |               | TT       | 9(2,6)      | 2(2,6)    |                       |             |
| 51 | rs3792830  | <i>DROSHA</i> | AA       | 312(89,9)   | 69(87,3)  | 1<br>8,99(0,810-0,37) | 0,06664rec  |
|    |            |               | AG       | 34(9,8)     | 8(10,1)   |                       |             |
|    |            |               | GG       | 1(0,3)      | 2(2,5)    |                       |             |
| 52 | rs4867329  | <i>DROSHA</i> | AA       | 106(30,4)   | 22(28,2)  | 1,09(0,78-1,53)       | 0,621log    |
|    |            |               | AC       | 166(47,6)   | 37(47,4)  |                       |             |
|    |            |               | CC       | 77(22,1)    | 19(24,4)  |                       |             |
| 53 | rs7719666  | <i>DROSHA</i> | CC       | 122(36,2)   | 26(36,1)  | 1                     | 0,07933rec  |
|    |            |               | CT       | 145(43)     | 24(33,3)  | 1,68(0,95-2,96)       |             |
|    |            |               | TT       | 70(20,8)    | 22(30,6)  |                       |             |
| 54 | rs9606248  | <i>DGCR8</i>  | AA       | 205(58,9)   | 46(61,3)  | 1                     | 0,1174rec   |
|    |            |               | AG       | 126(36,2)   | 28(37,3)  | 0,26(0,03-2,01)       |             |
|    |            |               | GG       | 17(4,9)     | 1(1,3)    |                       |             |

**Tabla anexa 5.** SNPs estudiados en el estudio de genes de procesamiento de miRNAs.

| N  | SNP        | Gen           | Genotipo | N(%)control | N(%)casos | OR (IC 95%)      | P           |
|----|------------|---------------|----------|-------------|-----------|------------------|-------------|
| 55 | rs9611280  | <i>TNRC6B</i> | GG       | 273(78,4)   | 65(83,3)  | 1                | 0,3256dom   |
|    |            |               | AG       | 70(20,1)    | 13(16,7)  | 0,73(0,38-1,39)  |             |
|    |            |               | AA       | 5(1,4)      | 0(0)      |                  |             |
| 56 | rs4821943  | <i>TNRC6B</i> | AA       | 170(49,4)   | 44(57,1)  | 1                | 0,2196dom   |
|    |            |               | AG       | 143(41,6)   | 26(33,8)  | 0,73(0,45-1,21)  |             |
|    |            |               | GG       | 31(9)       | 7(9,1)    |                  |             |
| 57 | rs197388   | <i>GEMIN3</i> | AA       | 242(71,2)   | 55(72,4)  | 1                | 0,4621rec   |
|    |            |               | AT       | 89(26,2)    | 20(26,3)  | 0,49(0,06-3,93)  |             |
|    |            |               | TT       | 9(2,6)      | 1(1,3)    |                  |             |
| 58 | rs17408716 | <i>DROSHA</i> | AA       | 302(88,3)   | 72(93,5)  | 1                | 0,1595codom |
|    |            |               | AG       | 40(11,7)    | 5(6)      | 0,52(0,2-1,38)   |             |
|    |            |               | GG       | 0(0)        | 0(0)      |                  |             |
| 59 | rs17676986 | <i>SND1</i>   | CC       | 246(71,3)   | 62(80,5)  | 1                | 0,09075dom  |
|    |            |               | CT       | 95(27,5)    | 13(16,9)  | 0,6(0,33-1,11)   |             |
|    |            |               | TT       | 4(1,2)      | 2(2,6)    |                  |             |
| 60 | rs6884823  | <i>DROSHA</i> | GG       | 281(82,2)   | 68(87,2)  | 1                | 0,2728dom   |
|    |            |               | AG       | 54(15,8)    | 10(12,8)  | 0,68(0,33-1,39)  |             |
|    |            |               | AA       | 7(2)        | 0(0)      |                  |             |
| 61 | rs4961280  | <i>EIF2C2</i> | CC       | 241(69,1)   | 57(72,2)  |                  | 0,5385log   |
|    |            |               | AC       | 101(28,9)   | 21(26,6)  | 0,86(0,52-1,41)  |             |
|    |            |               | AA       | 7(2)        | 1(1,3)    |                  |             |
| 62 | rs55656741 | <i>DROSHA</i> | GG       | 126(36,5)   | 29(36,7)  | 1                | 0,5388rec   |
|    |            |               | AG       | 147(42,6)   | 31(39,2)  | 1,2(0,67-2,14)   |             |
|    |            |               | AA       | 72(20,9)    | 19(24,1)  |                  |             |
| 63 | rs595961   | <i>EIF2C1</i> | AA       | 242(71,4)   | 58(75,3)  | 1                | 0,4824dom   |
|    |            |               | AG       | 87(25,7)    | 17(22,1)  | 0,82(0,46-1,44)  |             |
|    |            |               | GG       | 10(2,9)     | 2(2,6)    |                  |             |
| 64 | rs7755135  | <i>XPO5</i>   | GG       | 248(71,7)   | 53(67,9)  | 1                | 0,1069rec   |
|    |            |               | AG       | 92(26,6)    | 21(26,9)  | 3,06(0,84-11,13) |             |
|    |            |               | AA       | 6(1,7)      | 4(5,1)    |                  |             |
| 65 | rs10506586 | <i>CNOT2</i>  | CC       | 301(82,7)   | 61(78,2)  | 1                | 0,3594dom   |
|    |            |               | AC       | 59(16,2)    | 16(20,5)  | 1,33(0,73-2,43)  |             |
|    |            |               | AA       | 4(1,1)      | 1(1,3)    |                  |             |
| 66 | rs197414   | <i>GEMIN3</i> | CC       | 268(80)     | 54(76,1)  | 1                | 0,421log    |
|    |            |               | AC       | 61(18,2)    | 15(21,1)  | 1,24(0,74-2,1)   |             |
|    |            |               | AA       | 6(1,8)      | 2(2,8)    |                  |             |
| 67 | rs3742330  | <i>DICER1</i> | AA       | 246 (72,4)  | 61 (78,2) | 1                | 0,28 codom  |
|    |            |               | AG       | 94 (27,6)   | 17 (21,8) | 0,73 (0,41-1,31) |             |
|    |            |               | GG       | 0 (0)       | 0 (0)     | 0(0)             |             |
| 68 | rs11061209 | Fallido       |          |             |           |                  |             |
| 69 | rs11738060 | Fallido       |          |             |           |                  |             |
| 70 | rs34610323 | Fallido       |          |             |           |                  |             |
| 71 | rs493760   | Fallido       |          |             |           |                  |             |
| 72 | rs1003226  | Fallido       |          |             |           |                  |             |

### 3. ESTUDIO EN GENES DE PRE-MIRNAS

#### 3.1 EXCLUSIÓN DE SNPs

**Tabla anexa 6.** SNPs excluidos en el estudio de pre-miRNAs (continúa).

| SNP | Gen        | Alelos          | Razón exclusión                            |
|-----|------------|-----------------|--|
| 1   | rs10461441 | hsa-mir-548ae-2 | T:T Fallo genotipado                       |
| 2   | rs1077020  | hsa-mir-943     | T:T Fallo genotipado                       |
| 3   | rs10878362 | hsa-mir-6074    | T:T Fallo genotipado                       |
| 4   | rs11014002 | hsa-mir-603     | T:T Fallo genotipado                       |
| 5   | rs11032942 | hsa-mir-1343    | T:T Fallo genotipado                       |
| 6   | rs11237828 | hsa-mir-5579    | T:T Fallo genotipado                       |
| 7   | rs11651671 | hsa-mir-548at   | T:T Fallo genotipado                       |
| 8   | rs12197631 | hsa-mir-548a-1  | T:T Fallo genotipado                       |
| 9   | rs12355840 | hsa-mir-202     | T:C No en EHW Eslovenia, España +Eslovenia |
| 10  | rs12451747 | hsa-mir-1269b   | T:T Fallo genotipado                       |
| 11  | rs12473206 | hsa-mir-4433    | T:T Fallo genotipado                       |
| 12  | rs12523324 | hsa-mir-4277    | T:T Fallo genotipado                       |
| 13  | rs13186787 | hsa-mir-1294    | T:T Fallo genotipado                       |
| 14  | rs13299349 | hsa-mir-3152    | G:A No en EHW España                       |
| 15  | rs1414273  | hsa-mir-548ac   | T:T Fallo genotipado                       |
| 16  | rs17022749 | hsa-mir-5700    | T:T Fallo genotipado                       |
| 17  | rs2060455  | hsa-mir-4511    | T:T Fallo genotipado                       |
| 18  | rs2241347  | hsa-mir-3130-1  | T:T Fallo genotipado                       |
| 19  | rs2292832  | hsa-mir-149     | T:T Fallo genotipado                       |
| 20  | rs257095   | hsa-mir-4636    | A:G No en EHW España                       |
| 21  | rs2663345  | hsa-mir-3183    | T:T Fallo genotipado                       |
| 22  | rs3112399  | hsa-mir-4803    | T:A No en EHW España, España+Eslovenia     |
| 23  | rs34115976 | hsa-mir-577     | C:G No en EHW España                       |
| 24  | rs35196866 | hsa-mir-4669    | T:T Fallo genotipado                       |
| 25  | rs35613341 | hsa-mir-5189    | C:G No en EHW España, España+Eslovenia     |
| 26  | rs4285314  | hsa-mir-3135b   | T:T Fallo genotipado                       |
| 27  | rs487571   | hsa-mir-5680    | T:T Fallo genotipado                       |
| 28  | rs56088671 | hsa-mir-4424    | T:T Fallo genotipado                       |
| 29  | rs56195815 | hsa-mir-548aw   | T:T Fallo genotipado                       |
| 30  | rs56292801 | hsa-mir-5189    | G:A No en EHW España                       |
| 31  | rs58450758 | hsa-mir-559     | T:T Fallo genotipado                       |

**Tabla anexa 6.** SNPs excluidos en el estudio de pre-miRNAs.

| SNP | Gen             | Alelos               | Razón exclusión                           |
|-----|-----------------|----------------------|---|
| 32  | rs60308683      | hsa-mir-4762         | T:T Fallo genotipado                      |
| 33  | rs6062431       | hsa-mir-4326         | G:C No en EHW España, España+Eslovenia    |
| 34  | rs62376935      | hsa-mir-585          | C:T No en EHW Eslovenia, España+Eslovenia |
| 35  | rs641071        | hsa-mir-4482         | T:T Fallo genotipado                      |
| 36  | rs6505162       | hsa-mir-423          | T:T Fallo genotipado                      |
| 37  | rs66507245      | hsa-mir-4731         | T:T Fallo genotipado                      |
| 38  | rs66683138      | hsa-mir-3622a        | T:T Fallo genotipado                      |
| 39  | rs67339585      | MIR3910-1, MIR3910-2 | T:T Fallo genotipado                      |
| 40  | rs6787734       | hsa-mir-3135a        | T:T Fallo genotipado                      |
| 41  | rs67976778      | hsa-mir-4305         | T:T Fallo genotipado                      |
| 42  | rs6841938       | hsa-mir-1255b-1      | T:T Fallo genotipado                      |
| 43  | rs6997249       | hsa-mir-3686         | T:T Fallo genotipado                      |
| 44  | rs701213        | hsa-mir-4427         | T:T Fallo genotipado                      |
| 45  | rs7070684       | hsa-mir-548aj-2      | T:T Fallo genotipado                      |
| 46  | rs72502717      | hsa-mir-3689f        | T:T Fallo genotipado                      |
| 47  | rs72855836      | hsa-mir-3976         | G:A No en EHW en Eslovenia                |
| 48  | rs73112689      | hsa-mir-4459         | T:T Fallo genotipado                      |
| 49  | rs73147065      | hsa-mir-647          | T:T Fallo genotipado                      |
| 50  | rs73177830      | hsa-mir-4532         | T:T Fallo genotipado                      |
| 51  | rs73235381      | hsa-mir-548h-4       | T:T Fallo genotipado                      |
| 52  | rs73410309      | hsa-mir-4739         | T:T Fallo genotipado                      |
| 53  | rs7500280       | hsa-mir-4719         | T:T Fallo genotipado                      |
| 54  | rs77055126      | hsa-mir-1303         | T:T Fallo genotipado                      |
| 55  | rs832733        | hsa-mir-4698         | T:T Fallo genotipado                      |
| 56  | rs850108        | hsa-mir-550a-3       | T:T Fallo genotipado                      |
| 57  | rs897984        | hsa-mir-4519         | T:T Fallo genotipado                      |
| 58  | rs9295535       | hsa-mir-5689         | T:T Fallo genotipado                      |
| 59  | rs9913045       | hsa-mir-548h-3       | T:T Fallo genotipado                      |
| 60  | seq_rs111803974 | MIR3908              | T:T Fallo genotipado                      |
| 61  | seq_rs163642    | MIR4436B2            | T:T Fallo genotipado                      |

### 3.1 RESULTADOS DE ASOCIACIÓN BRUTOS

**Tabla anexa 7.** Resultados de SNPs en miRNAs en la población española (continua).

|    | SNP        | Gen             | Genotipo | N(%control) | N(%casos) | OR (95%IC)       | P              |
|----|------------|-----------------|----------|-------------|-----------|------------------|----------------|
| 1  | rs10061133 | hsa-mir-449b    | AA       | 135(84,4)   | 54(80,6)  | 1                | 0,4917codom    |
|    |            |                 | AG       | 25(15,6)    | 13(19,4)  | 1,3(0,62-2,73)   |                |
|    |            |                 | GG       | 0((0,0))    | 0((0,0))  |                  |                |
| 2  | rs10173558 | mir-1302-4      | TT       | 124(77,5)   | 50(72,5)  | 1,32(0,72-2,42)  | 0,3733 log     |
|    |            |                 | CT       | 35(21,9)    | 18(26,1)  |                  |                |
|    |            |                 | CC       | 1(0,6)      | 1(1,4)    |                  |                |
| 3  | rs10406069 | hsa-mir-5196    | GG       | 110(69,6)   | 43(62,3)  | 1,05(0,64-1,74)  | 0,02068 log    |
|    |            |                 | AG       | 39(24,7)    | 26(37,7)  |                  |                |
|    |            |                 | AA       | 9(5,7)      | 0(0,0)    |                  |                |
| 4  | rs10422347 | hsa-mir-4745    | CC       | 138(87,3)   | 51(75,0)  | 1                | 0,02554 dom    |
|    |            |                 | CT       | 19(12,0)    | 17(25,0)  | 2,30(1,12-4,73)  |                |
|    |            |                 | TT       | 1(0,6)      | 0(0,0)    |                  |                |
| 5  | rs10461441 | hsa-mir-548ae-2 | FALLIDO  |             |           |                  |                |
| 6  | rs10505168 | hsa-mir-2053    | AA       | 78(49,1)    | 25(36,2)  | 1                | 0,008691 codom |
|    |            |                 | AG       | 65(40,9)    | 42(60,9)  | 2,02(1,11-3,65)  |                |
|    |            |                 | GG       | 16(10,1)    | 2(2,9)    | 0,39(0,08-1,81)  |                |
| 7  | rs1055070  | hsa-mir-4700    | TT       | 138(86,2)   | 62(89,9)  | 1                | 0,4434 codom   |
|    |            |                 | GT       | 22(13,8)    | 7(10,1)   | 0,71(0,29-1,75)  |                |
|    |            |                 | GG       | 0(0,0)      | 0((0,0))  |                  |                |
| 8  | rs1077020  | hsa-mir-943     | FALLIDO  |             |           |                  |                |
| 9  | rs10878362 | hsa-mir-6074    | FALLIDO  |             |           |                  |                |
| 10 | rs10934682 | hsa-mir-544b    | TT       | 115(71,9)   | 50(72,5)  | 1                | 0,1895 rec     |
|    |            |                 | GT       | 44(27,5)    | 17(24,6)  | 4,75(0,42-53,24) |                |
|    |            |                 | GG       | 1(0,6)      | 2(2,9)    |                  |                |
| 11 | rs11014002 | hsa-mir-603     | FALLIDO  |             |           |                  |                |
| 12 | rs11032942 | hsa-mir-1343    | FALLIDO  |             |           |                  |                |
| 13 | rs11156654 | mir-624         | TT       | 103(64,4)   | 44(63,8)  | 1                | 0,2326 rec     |
|    |            |                 | AT       | 48(30,0)    | 18(26,1)  | 1,89(0,68-5,31)  |                |
|    |            |                 | AA       | 9(5,6)      | 7(10,1)   |                  |                |
| 14 | rs11237828 | hsa-mir-5579    | FALLIDO  |             |           |                  |                |
| 15 | rs11259096 | hsa-mir-1265    | TT       | 146(91,2)   | 66(95,7)  | 1                | 0,2217 cod     |
|    |            |                 | CT       | 14(8,8)     | 3(4,3)    | 0,47(0,13-1,71)  |                |
|    |            |                 | CC       | 0(0,0)      | 0(0,0)    |                  |                |
| 16 | rs11614913 | hsa-mir-196a-2  | CC       | 55(34,4)    | 28(40,6)  | 1                | 0,3722 dom     |
|    |            |                 | CT       | 80(50,0)    | 31(44,9)  | 0,77(0,43-1,37)  |                |
|    |            |                 | TT       | 25(15,6)    | 10(14,5)  |                  |                |
| 17 | rs11651671 | hsa-mir-548at   | FALLIDO  |             |           |                  |                |
| 18 | rs11713052 | hsa-mir-5092    | CC       | 149(93,1)   | 66(95,7)  | 1                | 0,4502 codom   |
|    |            |                 | CG       | 11(6,9)     | 3(4,3)    | 0,62(0,17-2,28)  |                |
|    |            |                 | GG       | 0(0,0)      | 0(0,0)    |                  |                |
| 19 | rs11714172 | hsa-mir-4792    | TT       | 61(38,4)    | 27(39,1)  | 1                | 0,6803 rec     |
|    |            |                 | GT       | 76(47,8)    | 31(44,9)  | 1,18(0,54-2,59)  |                |
|    |            |                 | GG       | 22(13,8)    | 11(15,9)  |                  |                |
| 20 | rs11907020 | hsa-mir-3192    | TT       | 149(93,1)   | 67(98,5)  | 1                | 0,06236 codom  |
|    |            |                 | CT       | 11(6,9)     | 1(1,5)    | 0,2(0,03-1,6)    |                |
|    |            |                 | CC       | 0(0,0)      | 0(0,0)    |                  |                |
| 21 | rs11983381 | hsa-mir-4653    | AA       | 119(74,4)   | 48(73,8)  | 1                | 0,1729 rec     |
|    |            |                 | AG       | 40(25,0)    | 15(23,1)  | 5,05(0,45-56,66) |                |
|    |            |                 | GG       | 1(0,6)      | 2(3,1)    |                  |                |
| 22 | rs12197631 | hsa-mir-548a-1  | FALLIDO  |             |           |                  |                |

**Tabla anexa 7.** Resultados de SNPs en miRNAs en la población española (continua).

|    | SNP        | Gen           | Genotipo | N(% control) | N(% casos) | OR (95%IC)       | P             |
|----|------------|---------------|----------|--------------|------------|------------------|---------------|
| 23 | rs12355840 | hsa-mir-202   | TT       | 104(65,4)    | 10(52,6)   | 1                | 0,2802 dom    |
|    |            |               | CT       | 44(27,7)     | 8(42,1)    | 1,70(0,65-4,44)  |               |
|    |            |               | CC       | 11(6,9)      | 1(5,3)     |                  |               |
| 24 | rs12402181 | hsa-mir-202   | GG       | 121(75,6)    | 48(69,6)   | 1,36(0,75-2,47)  | 0,3078 log    |
|    |            |               | AG       | 38(23,8)     | 20(29,0)   |                  |               |
|    |            |               | AA       | 1(0,6)       | 1(1,4)     |                  |               |
| 25 | rs12451747 | hsa-mir-1269b | FALLIDO  |              |            |                  |               |
| 26 | rs12456845 | hsa-mir-4744  | TT       | 150 94,3     | 63 91,3    | 1,00             | 0,4068 codom  |
|    |            |               | CT       | 9 5,7        | 6 8,7      | 1,59 0,54 4,65   |               |
|    |            |               | CC       | 0(0,0)       | 0(0,0)     |                  |               |
| 27 | rs12473206 | hsa-mir-4433  | FALLIDO  |              |            |                  |               |
| 28 | rs12512664 | hsa-mir-4274  | AA       | 41(25,8)     | 20(29,9)   | 1                | 0,5320 dom    |
|    |            |               | AG       | 89(56,0)     | 35(52,2)   | 0,82(0,43-1,54)  |               |
|    |            |               | GG       | 29(18,2)     | 12(17,9)   |                  |               |
| 29 | rs12523324 | hsa-mir-4277  | FALLIDO  |              |            |                  |               |
| 30 | rs12780876 | hsa-mir-4293  | TT       | 87(55,1)     | 39(57,4)   | 1                | 0,7504 dom    |
|    |            |               | AT       | 62(39,2)     | 25(36,8)   | 0,91(0,51-1,62)  |               |
|    |            |               | AA       | 9(5,7)       | 4(5,9)     |                  |               |
| 31 | rs12803915 | hsa-mir-612   | GG       | 109(68,1)    | 39(59,1)   | 1                | 0,1971 dom    |
|    |            |               | AG       | 45(28,1)     | 25(37,9)   | 1,48(0,82-2,68)  |               |
|    |            |               | AA       | 6(3,8)       | 2(3,0)     |                  |               |
| 32 | rs12879262 | hsa-mir-4309  | GG       | 111(69,8)    | 39(56,5)   | 1,43(0,85-2,42)  | 0,02234 log   |
|    |            |               | CG       | 43(27,0)     | 30(43,5)   |                  |               |
|    |            |               | CC       | 5(3,1)       | 0(0,0)     |                  |               |
| 33 | rs12894467 | hsa-mir-300   | CC       | 74(46,2)     | 19(27,5)   | 2,01(1,32-3,06)  | 0,0009921 log |
|    |            |               | CT       | 71(44,4)     | 34(49,3)   |                  |               |
|    |            |               | TT       | 15(9,4)      | 16(23,2)   |                  |               |
| 34 | rs13186787 | hsa-mir-1294  | FALLIDO  |              |            |                  |               |
| 35 | rs13299349 | hsa-mir-3152  | GG       | 69(43,4)     | 5(26,3)    | 1                | 0,14348 dom   |
|    |            |               | AG       | 60(37,7)     | 11(57,9)   | 2,15(0,74-6,25)  |               |
|    |            |               | AA       | 30(18,9)     | 3(15,8)    |                  |               |
| 36 | rs1414273  | hsa-mir-548ac | FALLIDO  |              |            |                  |               |
| 37 | rs1439619  | hsa-mir-3175  | CC       | 47(29,4)     | 4(21,1)    | 1                | 0,4351 dom    |
|    |            |               | AC       | 79(49,4)     | 11(57,9)   | 1,56(0,49-4,95)  |               |
|    |            |               | AA       | 34(21,2)     | 4(21,1)    |                  |               |
| 38 | rs1572687  | hsa-mir-5007  | CC       | 49(30,8)     | 19(27,5)   | 1                | 0,4529        |
|    |            |               | CT       | 73(45,9)     | 37(53,6)   | 0,77(0,38-1,55)  |               |
|    |            |               | TT       | 37(23,3)     | 13(18,8)   |                  |               |
| 39 | rs1683709  | hsa-mir-3612  | CC       | 103(64,4)    | 48(69,6)   | 1                | 0,4445 dom    |
|    |            |               | CT       | 52(32,5)     | 18(26,1)   | 0,79(0,43-1,45)  |               |
|    |            |               | TT       | 5(3,1)       | 3(4,3)     |                  |               |
| 40 | rs17022749 | hsa-mir-5700  | FALLIDO  |              |            |                  |               |
| 41 | rs17091403 | hsa-mir-2110  | CC       | 131(81,9)    | 59(85,5)   | 1                | 0,4970 dom    |
|    |            |               | CT       | 26(16,2)     | 10(14,5)   | 0,77(0,35-1,67)  |               |
|    |            |               | TT       | 3(1,9)       | 0(0,0)     |                  |               |
| 42 | rs17111728 | hsa-mir-4422  | TT       | 142(88,8)    | 61(88,4)   | 1                | 0,9401 codom  |
|    |            |               | CT       | 18(11,2)     | 8(11,6)    | 1,03(0,43-2,51)  |               |
|    |            |               | CC       | 0(0,0)       | 0(0,0)     |                  |               |
| 43 | rs174561   | mir-1908      | TT       | 48(44,0)     | 32(54,2)   | 1                | 0,20629 dom   |
|    |            |               | CT       | 50(45,9)     | 18(30,5)   | 0,66(0,35-1,25)  |               |
|    |            |               | CC       | 11(10,1)     | 9(15,3)    |                  |               |
| 44 | rs17737028 | hsa-mir-3143  | AA       | 158(98,8)    | 67(97,1)   | 1                | 0,4025        |
|    |            |               | AG       | 2(1,2)       | 2(2,9)     | 2,36(0,33-17,09) |               |
|    |            |               | GG       | 0(0,0)       | 0(0,0)     |                  |               |

**Tabla anexa 7.** Resultados de SNPs en miRNAs en la población española (continua).

|    | SNP        | Gen            | Genotipo | N(%)control | N(%)casos | OR (95%IC)       | P            |
|----|------------|----------------|----------|-------------|-----------|------------------|--------------|
| 45 | rs17759989 | hsa-mir-633    | AA       | 154(96,2)   | 65(94,2)  | 1,58(0,43-5,78)  | 0,4974 codom |
|    |            |                | AG       | 6(3,8)      | 4(5,8)    |                  |              |
|    |            |                | GG       | 0(0,0)      | 0(0,0)    |                  |              |
| 46 | rs17797090 | hsa-mir-3652   | GG       | 126(78,8)   | 52(75,4)  | 1,08(0,58-1,99)  | 0,5072 log   |
|    |            |                | AG       | 31(19,4)    | 17(24,6)  |                  |              |
|    |            |                | AA       | 3(1,9)      | 0(0,0)    |                  |              |
| 47 | rs17885221 | hsa-mir-4733   | CC       | 146(91,8)   | 63(92,6)  | 0,89(0,3-2,61)   | 0,8324 codom |
|    |            |                | CT       | 13(8,2)     | 5(7,4)    |                  |              |
|    |            |                | TT       | 0(0,0)      | 0(0,0)    |                  |              |
| 48 | rs2042253  | hsa-mir-5197   | AA       | 93(58,1)    | 41(59,4)  | 0,82(0,49-1,36)  | 0,1814 log   |
|    |            |                | AG       | 59(36,9)    | 28(40,6)  |                  |              |
|    |            |                | GG       | 8(5,0)      | 0(0,0)    |                  |              |
| 49 | rs2043556  | hsa-mir-605    | AA       | 102(63,8)   | 41(62,1)  | 1,41(0,40-4,99)  | 0,5997 rec   |
|    |            |                | AG       | 51(31,9)    | 21(31,8)  |                  |              |
|    |            |                | GG       | 7(4,4)      | 4(6,1)    |                  |              |
| 50 | rs2060455  | hsa-mir-4511   | FALLIDO  |             |           |                  |              |
| 51 | rs2070960  | hsa-mir-3620   | CC       | 141(88,7)   | 53(80,3)  | 2,00(0,95-4,21)  | 0,0929       |
|    |            |                | CT       | 18(11,3)    | 12(18,2)  |                  |              |
|    |            |                | TT       | 0(0,0)      | 1(1,5)    |                  |              |
| 52 | rs2114358  | hsa-mir-1206   | TT       | 56(35,2)    | 22(31,9)  | 1,16(0,64-2,12)  | 0,6246 dom   |
|    |            |                | CT       | 72(45,3)    | 33(47,8)  |                  |              |
|    |            |                | CC       | 31(19,5)    | 14(20,3)  |                  |              |
| 53 | rs215383   | hsa-mir-4494   | GG       | 106(66,7)   | 49(73,1)  | 0,74(0,42-1,30)  | 0,2831 log   |
|    |            |                | AG       | 48(30,2)    | 17(25,4)  |                  |              |
|    |            |                | AA       | 5(3,1)      | 1(1,5)    |                  |              |
| 54 | rs2241347  | hsa-mir-3130-1 | FALLIDO  |             |           |                  |              |
| 55 | rs2273626  | hsa-mir-4707   | CC       | 25(30,9)    | 24(35,8)  | 0,53(0,23-1,19)  | 0,1146 rec   |
|    |            |                | AC       | 34(42,0)    | 32(47,8)  |                  |              |
|    |            |                | AA       | 22(27,2)    | 11(16,4)  |                  |              |
| 56 | rs2289030  | hsa-mir-492    | CC       | 130(81,2)   | 60(87,0)  | 0,92(0,47-1,83)  | 0,005695 log |
|    |            |                | CG       | 30(18,8)    | 6(8,7)    |                  |              |
|    |            |                | GG       | 0(0,0)      | 3(4,3)    |                  |              |
| 57 | rs2291418  | hsa-mir-1229   | CC       | 151(94,4)   | 64(92,8)  | 1,15(0,41-3,24)  | 0,6786 log   |
|    |            |                | CT       | 8(5,0)      | 5(7,2)    |                  |              |
|    |            |                | TT       | 1(0,6)      | 0(0,0)    |                  |              |
| 58 | rs2292181  | hsa-mir-564    | GG       | 144(90,0)   | 62(91,2)  | 0,87(0,33-2,33)  | 0,7815 dom   |
|    |            |                | CG       | 15(9,4)     | 6(8,8)    |                  |              |
|    |            |                | CC       | 1(0,6)      | 0(0,0)    |                  |              |
| 59 | rs2292832  | hsa-mir-149    | FALLIDO  |             |           |                  |              |
| 60 | rs2368392  | hsa-mir-604    | CC       | 83(52,2)    | 36(52,2)  | 0,81(0,28-2,34)  | 0,6921 rec   |
|    |            |                | CT       | 62(39,0)    | 28(40,6)  |                  |              |
|    |            |                | TT       | 14(8,8)     | 5(7,2)    |                  |              |
| 61 | rs243080   | hsa-mir-4432   | CC       | 49(30,6)    | 21(30,9)  | 1,88(0,97-3,64)  | 0,06288 rec  |
|    |            |                | CT       | 82(51,2)    | 27(39,7)  |                  |              |
|    |            |                | TT       | 29(18,1)    | 20(29,4)  |                  |              |
| 62 | rs257095   | hsa-mir-4636   | AA       | 124(77,5)   | 55(80,9)  | 0,38(0,05-3,24)  | 0,3288 rec   |
|    |            |                | AG       | 30(18,8)    | 12(17,6)  |                  |              |
|    |            |                | GG       | 6(3,8)      | 1(1,5)    |                  |              |
| 63 | rs2648841  | hsa-mir-1208   | CC       | 120(75,5)   | 54(79,4)  | 0,80(0,40-1,59)  | 0,5168 dom   |
|    |            |                | AC       | 36(22,6)    | 12(17,6)  |                  |              |
|    |            |                | AA       | 3(1,9)      | 2(2,9)    |                  |              |
| 64 | rs2663345  | hsa-mir-3183   | FALLIDO  |             |           |                  |              |
| 65 | rs266435   | hsa-mir-4804   | CC       | 123(77,4)   | 52(76,5)  | 2,36(0,15-38,26) | 0,5520 rec   |
|    |            |                | CG       | 35(22,0)    | 15(22,1)  |                  |              |
|    |            |                | GG       | 1(0,6)      | 1(1,5)    |                  |              |

**Tabla anexa 7.** Resultados de SNPs en miRNAs en la población española (continua).

|    | SNP        | Gen            | Genotipo    | N(%)control | N(%)casos | OR (95%IC)       | P            |
|----|------------|----------------|-------------|-------------|-----------|------------------|--------------|
| 66 | rs2682818  | hsa-mir-618    | CC          | 121(75,6)   | 55(79,7)  | 0,79(0,43-1,46)  | 0,4538 log   |
|    |            |                | AC          | 35(21,9)    | 13(18,8)  |                  |              |
|    |            |                | AA          | 4(2,5)      | 1(1,4)    |                  |              |
| 67 | rs28477407 | hsa-mir-4308   | CC          | 134(83,8)   | 58(84,1)  | 1                | 0,08986 rec  |
|    |            |                | CT          | 26(16,2)    | 9(13,0)   |                  |              |
|    |            |                | TT          | 0(0,0)      | 2(2,9)    |                  |              |
| 68 | rs28645567 | hsa-mir-378d-1 | GG          | 152(95,6)   | 68(98,6)  | 1                | 0,2283 cod   |
|    |            |                | AG          | 7(4,4)      | 1(1,4)    |                  |              |
|    |            |                | AA          | 0(0,0)      | 0(0,0)    |                  |              |
| 69 | rs28655823 | hsa-mir-4472-1 | GG          | 111(77,6)   | 51(73,9)  | 1,20(0,68-2,14)  | 0,5327 log   |
|    |            |                | CG          | 29(20,3)    | 16(23,2)  |                  |              |
|    |            |                | CC          | 3(2,1)      | 2(2,9)    |                  |              |
| 70 | rs28664200 | hsa-mir-1255a  | TT          | 86(55,5)    | 2(15,4)   | 4,28(1,70-10,80) | 0,001354 log |
|    |            |                | CT          | 62(40,0)    | 8(61,5)   |                  |              |
|    |            |                | CC          | 7(4,5)      | 3(23,1)   |                  |              |
| 71 | rs2910164  | hsa-mir-146a   | GG          | 84(52,5)    | 46(66,7)  | 1                | 0,04534 dom  |
|    |            |                | CG          | 66(41,2)    | 18(26,1)  |                  |              |
|    |            |                | CC          | 10(6,2)     | 5(7,2)    |                  |              |
| 72 | rs2967897  | hsa-mir-5695   | MONOMORFICO |             |           |                  |              |
| 73 | rs3112399  | hsa-mir-4803   | TT          | 52(32,5)    | 15(22,1)  | 1                | 0,06815 cod  |
|    |            |                | AT          | 63(39,4)    | 38(55,9)  |                  |              |
|    |            |                | AA          | 45(28,1)    | 15(22,1)  |                  |              |
| 74 | rs34115976 | hsa-mir-577    | CC          | 109(68,1)   | 51(73,9)  | 0,79(0,48-1,31)  | 0,3555 log   |
|    |            |                | CG          | 41(25,6)    | 15(21,7)  |                  |              |
|    |            |                | GG          | 10(6,2)     | 3(4,3)    |                  |              |
| 75 | rs35196866 | hsa-mir-4669   | FALLIDO     |             |           |                  |              |
| 76 | rs356125   | hsa-mir-2278   | GG          | 140(87,5)   | 68(98,6)  | 1                | 0,002244 cod |
|    |            |                | AG          | 20(12,5)    | 1(1,4)    |                  |              |
|    |            |                | AA          | 0(0,0)      | 0(0,0)    |                  |              |
| 77 | rs35613341 | hsa-mir-5189   | CC          | 72(45,0)    | 38(56,7)  | 1                | 0,1069       |
|    |            |                | CG          | 57(35,6)    | 17(25,4)  |                  |              |
|    |            |                | GG          | 31(19,4)    | 12(17,9)  |                  |              |
| 78 | rs35650931 | hsa-mir-6076   | GG          | 132(82,5)   | 58(84,1)  | 1                | 0,5557 rec   |
|    |            |                | CG          | 25(15,6)    | 11(15,9)  |                  |              |
|    |            |                | CC          | 3(1,9)      | 0(0,0)    |                  |              |
| 79 | rs35770269 | hsa-mir-449c   | AA          | 61(38,4)    | 35(50,7)  | 0,64(0,42-0,98)  | 0,03816 log  |
|    |            |                | AT          | 71(44,7)    | 28(40,6)  |                  |              |
|    |            |                | TT          | 27(17,0)    | 6(8,7)    |                  |              |
| 80 | rs35854553 | hsa-mir-3166   | AA          | 136(85,5)   | 16(84,2)  | 1                | 0,2867 rec   |
|    |            |                | AT          | 21(13,2)    | 2(10,5)   |                  |              |
|    |            |                | TT          | 2(1,3)      | 1(5,3)    |                  |              |
| 81 | rs367805   | hsa-mir-3936   | GG          | 76(47,8)    | 37(56,1)  | 1                | 0,2587 dom   |
|    |            |                | AG          | 67(42,1)    | 21(31,8)  |                  |              |
|    |            |                | AA          | 16(10,1)    | 8(12,1)   |                  |              |
| 82 | rs3734050  | hsa-mir-6499   | CC          | 147(91,9)   | 60(89,6)  | 1                | 0,5789 cod   |
|    |            |                | CT          | 13(8,1)     | 7(10,4)   |                  |              |
|    |            |                | TT          | 0(0,0)      | 0(0,0)    |                  |              |
| 83 | rs3746444  | hsa-mir-499a   | TT          | 106(66,2)   | 47(68,1)  | 0,91(0,54-1,54)  | 0,7304 log   |
|    |            |                | CT          | 48(30,0)    | 20(29,0)  |                  |              |
|    |            |                | CC          | 6(3,8)      | 2(2,9)    |                  |              |
| 84 | rs3823658  | hsa-mir-5090   | GG          | 112(70,0)   | 52(75,4)  | 1                | 0,1895 rec   |
|    |            |                | AG          | 47(29,4)    | 15(21,7)  |                  |              |
|    |            |                | AA          | 1(0,6)      | 2(2,9)    |                  |              |

**Tabla anexa 7.** Resultados de SNPs en miRNAs en la población española (continua).

|     | SNP        | Gen           | Genotipo    | N(%)control | N(%)casos | OR (95%IC)      | P           |
|-----|------------|---------------|-------------|-------------|-----------|-----------------|-------------|
| 85  | rs4112253  | hsa-mir-4751  | CC          | 60(37,5)    | 34(49,3)  | 0,65(0,42-1,01) | 0,05378 log |
|     |            |               | CG          | 78(48,8)    | 30(43,5)  |                 |             |
|     |            |               | GG          | 22(13,8)    | 5(7,2)    |                 |             |
| 86  | rs41274239 | hsa-mir-96    | AA          | 159(99,4)   | 69(100,0) | 1               | 1           |
|     |            |               | AG          | 1(0,6)      | 0(0,0)    | 0(0)            |             |
|     |            |               | GG          | 0(0,0)      | 0(0,0)    |                 |             |
| 87  | rs41274312 | hsa-mir-187   | GG          | 157(98,7)   | 68(98,6)  | 1               | 0,9081 cod  |
|     |            |               | AG          | 2(1,3)      | 1(1,4)    | 1,15(0,1-12,95) |             |
|     |            |               | AA          | 0(0,0)      | 0(0,0)    |                 |             |
| 88  | rs41286570 | hsa-mir-154   | MONOMORFICO |             |           |                 |             |
| 89  | rs41291179 | hsa-mir-216a  | AA          | 140(87,5)   | 65(94,2)  | 1               | 0,1102 cod  |
|     |            |               | AT          | 20(12,5)    | 4(5,8)    | 0,43(0,14-1,31) |             |
|     |            |               | TT          | 0(0,0)      | 0(0,0)    |                 |             |
| 90  | rs41292412 | hsa-mir-122   | CC          | 159(99,4)   | 69(100,0) | 1               | 1           |
|     |            |               | CT          | 1(0,6)      | 0(0,0)    | 00              |             |
|     |            |               | TT          | 0(0,0)      | 0(0,0)    |                 |             |
| 91  | rs4285314  | hsa-mir-3135b | FALLIDO     |             |           |                 |             |
| 92  | rs4414449  | hsa-mir-548ap | TT          | 36(43,4)    | 24(37,5)  | 1               | 0,4719 dom  |
|     |            |               | CT          | 32(38,6)    | 29(45,3)  | 1,28(0,66-2,49) |             |
|     |            |               | CC          | 15(18,1)    | 11(17,2)  |                 |             |
| 93  | rs45530340 | hsa-mir-6084  | MONOMORFICO |             |           |                 |             |
| 94  | rs4577031  | hsa-mir-548ap | AA          | 62(38,8)    | 26(37,7)  | 1               | 0,7609 rec  |
|     |            |               | AT          | 75(46,9)    | 32(46,4)  | 1,13(0,52-2,47) |             |
|     |            |               | TT          | 23(14,4)    | 11(15,9)  |                 |             |
| 95  | rs4674470  | hsa-mir-4268  | TT          | 101(63,5)   | 50(72,5)  | 1               | 0,05824 rec |
|     |            |               | CT          | 47(29,6)    | 18(26,1)  | 0,20(0,03-1,56) |             |
|     |            |               | CC          | 11(6,9)     | 1(1,4)    |                 |             |
| 96  | rs4809383  | hsa-mir-941-1 | CC          | 119(75,3)   | 13(72,2)  | 1               | 0,1023 rec  |
|     |            |               | CT          | 39(24,7)    | 4(22,2)   | 0,00(-)         |             |
|     |            |               | TT          | 0(0,0)      | 1(5,6)    |                 |             |
| 97  | rs4822739  | hsa-mir-548j  | CC          | 143(89,4)   | 61(88,4)  | 1               | 0,83        |
|     |            |               | CG          | 17(10,6)    | 8(11,6)   | 1,1(0,45-2,69)  |             |
|     |            |               | GG          | 0(0,0)      | 0(0,0)    |                 |             |
| 98  | rs487571   | hsa-mir-5680  | FALLIDO     |             |           |                 |             |
| 99  | rs4909237  | hsa-mir-595   | CC          | 103(64,4)   | 46(66,7)  | 1               | 0,3858 cod  |
|     |            |               | CT          | 53(33,1)    | 19(27,5)  | 0,80(0,43-1,51) |             |
|     |            |               | TT          | 4(2,5)      | 4(5,8)    | 2,24(0,54-9,35) |             |
| 100 | rs4919510  | hsa-mir-608   | CC          | 103(64,4)   | 46(67,6)  | 1               | 0,6337 dom  |
|     |            |               | CG          | 52(32,5)    | 20(29,4)  | 0,86(0,47-1,58) |             |
|     |            |               | GG          | 5(3,1)      | 2(2,9)    |                 |             |
| 101 | rs515924   | hsa-mir-548al | AA          | 132(83,0)   | 51(73,9)  |                 |             |
|     |            |               | AG          | 27(17,0)    | 18(26,1)  |                 |             |
|     |            |               | GG          | 0(0,0)      | 0(0,0)    |                 |             |
| 102 | rs521188   | hsa-mir-3671  | AA          | 149(93,1)   | 61(88,4)  |                 |             |
|     |            |               | AG          | 11(6,9)     | 8(11,6)   |                 |             |
|     |            |               | GG          | 0(0,0)      | 0(0,0)    |                 |             |
| 103 | rs56088671 | hsa-mir-4424  | FALLIDO     |             |           |                 |             |
| 104 | rs56103835 | hsa-mir-323b  | TT          | 115(71,9)   | 42(60,9)  | 1               | 0,10324 dom |
|     |            |               | CT          | 39(24,4)    | 25(36,2)  | 1,64(0,91-2,97) |             |
|     |            |               | CC          | 6(3,8)      | 2(2,9)    |                 |             |
| 105 | rs56195815 | hsa-mir-548aw | FALLIDO     |             |           |                 |             |

**Tabla anexa 7.** Resultados de SNPs en miRNAs en la población española (continua).

|     | SNP        | Gen            | Genotipo    | N(%)control | N(%)casos | OR (95%IC)      | P            |
|-----|------------|----------------|-------------|-------------|-----------|-----------------|--------------|
| 106 | rs56292801 | hsa-mir-5189   | GG          | 43(51,8)    | 39(58,2)  | 0,81(0,52-1,26) | 0,3433 log   |
|     |            |                | AG          | 26(31,3)    | 20(29,9)  |                 |              |
|     |            |                | AA          | 14(16,9)    | 8(11,9)   |                 |              |
| 107 | rs57111412 | hsa-mir-1283-1 | FALLIDO     |             |           |                 |              |
| 108 | rs58450758 | hsa-mir-559    | FALLIDO     |             |           |                 |              |
| 109 | rs58834075 | hsa-mir-656    | CC          | 157(98,1)   | 63(91,3)  |                 |              |
|     |            |                | CT          | 3(1,9)      | 6(8,7)    |                 |              |
|     |            |                | TT          | 0(0,0)      | 0(0,0)    |                 |              |
| 110 | rs5965660  | hsa-mir-888    | FALLIDO     |             |           |                 |              |
| 111 | rs5997893  | hsa-mir-3928   | GG          | 80(50,0)    | 32(46,4)  | 1               | 0,3349 rec   |
|     |            |                | AG          | 64(40,0)    | 27(39,1)  |                 |              |
|     |            |                | AA          | 16(10,0)    | 10(14,5)  |                 |              |
| 112 | rs60308683 | hsa-mir-4762   | FALLIDO     |             |           |                 |              |
| 113 | rs6062431  | hsa-mir-4326   | GG          | 70(44,0)    | 36(52,9)  | 0,74(0,50-1,11) | 0,1435 log   |
|     |            |                | CG          | 60(37,7)    | 24(35,3)  |                 |              |
|     |            |                | CC          | 29(18,2)    | 8(11,8)   |                 |              |
| 114 | rs60871950 | hsa-mir-4467   | GG          | 35(22,0)    | 27(39,1)  | 1               | 0,008803 dom |
|     |            |                | AG          | 83(52,2)    | 23(33,3)  |                 |              |
|     |            |                | AA          | 41(25,8)    | 19(27,5)  |                 |              |
| 115 | rs61388742 | hsa-mir-596    | TT          | 126(78,8)   | 57(82,6)  | 1               | 0,4992 cod   |
|     |            |                | CT          | 34(21,2)    | 12(17,4)  |                 |              |
|     |            |                | CC          | 0(0,0)      | 0(0,0)    |                 |              |
| 116 | rs61938575 | hsa-mir-3922   | GG          | 78(48,8)    | 8(47,1)   | 1               | 0,4925 rec   |
|     |            |                | AG          | 71(44,4)    | 7(41,2)   |                 |              |
|     |            |                | AA          | 11(6,9)     | 2(11,8)   |                 |              |
| 117 | rs61992671 | hsa-mir-412    | GG          | 57(35,6)    | 13(20,0)  | 1               | 0,01850 dom  |
|     |            |                | AG          | 66(41,2)    | 35(53,8)  |                 |              |
|     |            |                | AA          | 37(23,1)    | 17(26,2)  |                 |              |
| 118 | rs62154973 | hsa-mir-4772   | CC          | 131(81,9)   | 58(85,3)  | 1               | 0,5257 dom   |
|     |            |                | CT          | 26(16,2)    | 10(14,7)  |                 |              |
|     |            |                | TT          | 3(1,9)      | 0(0,0)    |                 |              |
| 119 | rs62376935 | hsa-mir-585    | CC          | 147(91,9)   | 62(91,2)  | 1               | 0,2982 rec   |
|     |            |                | CT          | 13(8,1)     | 5(7,4)    |                 |              |
|     |            |                | TT          | 0(0,0)      | 1(1,5)    |                 |              |
| 120 | rs641071   | hsa-mir-4482   | FALLIDO     |             |           |                 |              |
| 121 | rs6430498  | hsa-mir-3679   | GG          | 70(44,0)    | 22(32,4)  | 1               | 0,09805 dom  |
|     |            |                | AG          | 70(44,0)    | 37(54,4)  |                 |              |
|     |            |                | AA          | 19(11,9)    | 9(13,2)   |                 |              |
| 122 | rs6505162  | hsa-mir-423    | FALLIDO     |             |           |                 |              |
| 123 | rs6513496  | hsa-mir-646    | TT          | 102(63,8)   | 45(66,2)  | 1               | 0,1091rec    |
|     |            |                | CT          | 50(31,2)    | 23(33,8)  |                 |              |
|     |            |                | CC          | 8(5,0)      | 0(0,0)    |                 |              |
| 124 | rs66507245 | hsa-mir-4731   | FALLIDO     |             |           |                 |              |
| 125 | rs66683138 | hsa-mir-3622a  | FALLIDO     |             |           |                 |              |
| 126 | rs67042258 | hsa-mir-6128   | GG          | 89(56)      | 47(69,1)  | 1               | 0,06157dom   |
|     |            |                | AG          | 62(39)      | 16(23,5)  |                 |              |
|     |            |                | AA          | 8(5)        | 5(7,4)    |                 |              |
| 127 | rs670637   | hsa-mir-3167   | MONOMORFICO |             |           |                 |              |

**Tabla anexa 7.** Resultados de SNPs en miRNAs en la población española (continua).

|     | SNP        | Gen                     | Genotipo    | N(%)control | N(%)casos | OR (95%IC)       | P           |
|-----|------------|-------------------------|-------------|-------------|-----------|------------------|-------------|
| 128 | rs67182313 | hsa-mir-4642            | AA          | 111(69,4)   | 48(71,6)  | 1                | 0,6245rec   |
|     |            |                         | AG          | 45(28,1)    | 18(26,9)  | 0,59(0,06-5,39)  |             |
|     |            |                         | GG          | 4(2,5)      | 1(1,5)    |                  |             |
| 129 | rs6726779  | hsa-mir-4431            | TT          | 68(42,5)    | 24(34,8)  | 1,26(0,84-1,89)  | 0,2594 log  |
|     |            |                         | CT          | 70(43,8)    | 33(47,8)  |                  |             |
|     |            |                         | CC          | 22(13,8)    | 12(17,4)  |                  |             |
| 130 | rs67339585 | MIR3910-1,<br>MIR3910-2 | FALLIDO     |             |           |                  |             |
| 131 | rs6787734  | hsa-mir-3135a           | FALLIDO     |             |           |                  |             |
| 132 | rs67976778 | hsa-mir-4305            | FALLIDO     |             |           |                  |             |
| 133 | rs68035463 | hsa-mir-3144            | CC          | 106(66,7)   | 41(59,4)  | 1,35(0,83-2,21)  | 0,2280 log  |
|     |            |                         | AC          | 48(30,2)    | 24(34,8)  |                  |             |
|     |            |                         | AA          | 5(3,1)      | 4(5,8)    |                  |             |
| 134 | rs6841938  | hsa-mir-1255b-1         | FALLIDO     |             |           |                  |             |
| 135 | rs6977967  | hsa-mir-3683            | AA          | 100(62,5)   | 36(52,2)  | 1,48(0,92-2,37)  | 0,1054log   |
|     |            |                         | AG          | 54(33,8)    | 28(40,6)  |                  |             |
|     |            |                         | GG          | 6(3,8)      | 5(7,2)    |                  |             |
| 136 | rs6997249  | hsa-mir-3686            | FALLIDO     |             |           |                  |             |
| 137 | rs701213   | hsa-mir-4427            | FALLIDO     |             |           |                  |             |
| 138 | rs702742   | hsa-mir-378h            | AA          | 117(73,1)   | 58(86,6)  | 1                | 0,02243 dom |
|     |            |                         | AG          | 41(25,6)    | 8(11,9)   | 0,42(0,19-0,93)  |             |
|     |            |                         | GG          | 2(1,2)      | 1(1,5)    |                  |             |
| 139 | rs7070684  | hsa-mir-548aj-2         | FALLIDO     |             |           |                  |             |
| 140 | rs71363366 | hsa-mir-1283-2          | CC          | 154(96,2)   | 62(89,9)  | 1                | 0,06666 cod |
|     |            |                         | CG          | 6(3,8)      | 7(10,1)   | 2,9(0,94-8,97)   |             |
|     |            |                         | GG          | 0(0,0)      | 0(0,0)    |                  |             |
| 141 | rs7205289  | hsa-mir-140             | MONOMORFICO |             |           |                  |             |
| 142 | rs7207008  | hsa-mir-2117            | TT          | 54(33,8)    | 19(27,5)  | 1                | 0,09057rec  |
|     |            |                         | AT          | 78(48,8)    | 31(44,9)  | 1,79(0,92-3,49)  |             |
|     |            |                         | AA          | 28(17,5)    | 19(27,5)  |                  |             |
| 143 | rs7227168  | hsa-mir-4741            | CC          | 126(79,2)   | 52(76,5)  | 1                | 0,1599 rec  |
|     |            |                         | CT          | 31(19,5)    | 13(19,1)  | 3,62(0,59-22,19) |             |
|     |            |                         | TT          | 2(1,3)      | 3(4,4)    |                  |             |
| 144 | rs7247237  | hsa-mir-3188            | CC          | 72(45,3)    | 23(34,3)  | 1                | 0,004491rec |
|     |            |                         | CT          | 77(48,4)    | 31(46,3)  | 3,59(1,49-8,66)  |             |
|     |            |                         | TT          | 10(6,3)     | 13(19,4)  |                  |             |
| 145 | rs72502717 | hsa-mir-3689f           | FALLIDO     |             |           |                  |             |
| 146 | rs72631816 | hsa-mir-105-2           | FALLIDO     |             |           |                  |             |
| 147 | rs72631825 | hsa-mir-222             | FALLIDO     |             |           |                  |             |
| 148 | rs72631826 | hsa-mir-16-1            | MONOMORFICO |             |           |                  |             |
| 149 | rs72631827 | hsa-mir-106b            | MONOMORFICO |             |           |                  |             |
| 150 | rs72631831 | hsa-mir-323b            | MONOMORFICO |             |           |                  |             |
| 151 | rs72631833 | hsa-mir-183             | MONOMORFICO |             |           |                  |             |
| 152 | rs72646786 | hsa-mir-3972            | CC          | 126(78,8)   | 55(79,7)  | 1                | 0,8696dom   |
|     |            |                         | CT          | 32(20,0)    | 14(20,3)  | 0,94(0,47-1,90)  |             |
|     |            |                         | TT          | 2(1,2)      | 0(0,0)    |                  |             |
| 153 | rs72855836 | hsa-mir-3976            | GG          | 146(91,2)   | 61(88,4)  | 1                | 0,5094codom |
|     |            |                         | AG          | 14(8,8)     | 8(11,6)   | 1,37(0,55-3,43)  |             |
|     |            |                         | AA          | 0(0,0)      | 0(0,0)    |                  |             |
| 154 | rs72996752 | hsa-mir-4999            | AA          | 102(63,8)   | 40(60,6)  | 1                | 0,2423rec   |
|     |            |                         | AG          | 52(32,5)    | 21(31,8)  | 2,10(0,62-7,15)  |             |
|     |            |                         | GG          | 6(3,8)      | 5(7,6)    |                  |             |

**Tabla anexa 7.** Resultados de SNPs en miRNAs en la población española (continua).

|     | <b>SNP</b> | <b>Gen</b>     | <b>Genotipo</b> | <b>N(%)control</b> | <b>N(%)casos</b> | <b>OR (95%IC)</b> | <b>P</b>     |
|-----|------------|----------------|-----------------|--------------------|------------------|-------------------|--------------|
| 155 | rs73112689 | hsa-mir-4459   | FALLIDO         |                    |                  |                   |              |
| 156 | rs7311975  | hsa-mir-1178   | TT              | 152(95,0)          | 65(94,2)         | 1                 | 0,8056codom  |
|     |            |                | CT              | 8(5,0)             | 4(5,8)           | 1,17(0,34-4,02)   |              |
|     |            |                | CC              | 0(0,0)             | 0(0,0)           |                   |              |
| 157 | rs73147065 | hsa-mir-647    | FALLIDO         |                    |                  |                   |              |
| 158 | rs73177830 | hsa-mir-4532   | FALLIDO         |                    |                  |                   |              |
| 159 | rs73235381 | hsa-mir-548h-4 | FALLIDO         |                    |                  |                   |              |
| 160 | rs73239138 | hsa-mir-1269a  | GG              | 94(59,5)           | 43(62,3)         | 0,89(0,55-1,44)   | 0,6249log    |
|     |            |                | AG              | 55(34,8)           | 23(33,3)         |                   |              |
|     |            |                | AA              | 9(5,7)             | 3(4,3)           |                   |              |
| 161 | rs73410309 | hsa-mir-4739   | FALLIDO         |                    |                  |                   |              |
| 162 | rs74428911 | hsa-mir-4474   | GG              | 158(98,8)          | 68(98,6)         | 1                 | 0,904codom   |
|     |            |                | GT              | 2(1,2)             | 1(1,4)           | 1,16(0,1-13,03)   |              |
|     |            |                | TT              | 0(0,0)             | 0(0,0)           |                   |              |
| 163 | rs74469188 | hsa-mir-6504   | TT              | 122(76,2)          | 13(72,2)         | 1                 | 0,7090dom    |
|     |            |                | CT              | 36(22,5)           | 5(27,8)          | 1,23(0,41-3,69)   |              |
|     |            |                | CC              | 2(1,2)             | 0(0,0)           |                   |              |
| 164 | rs745666   | hsa-mir-3615   | CC              | 61(38,1)           | 21(30,4)         | 1                 | 0,2619dom    |
|     |            |                | CG              | 74(46,2)           | 39(56,5)         | 1,41(0,77-2,58)   |              |
|     |            |                | GG              | 25(15,6)           | 9(13,0)          |                   |              |
| 165 | rs74704964 | hsa-mir-518d   | CC              | 154(97,5)          | 18(100,0)        | 1                 | 1            |
|     |            |                | CT              | 4(2,5)             | 0(0,0)           | 0(0-)             |              |
|     |            |                | TT              | 0(0,0)             | 0(0,0)           |                   |              |
| 166 | rs74904371 | hsa-mir-2682   | CC              | 152(95,0)          | 65(94,2)         | 1                 | 0,8056dom    |
|     |            |                | CT              | 7(4,4)             | 4(5,8)           | 1,17(0,34-4,02)   |              |
|     |            |                | TT              | 1(0,6)             | 0(0,0)           |                   |              |
| 167 | rs74949342 | hsa-mir-5702   | CC              | 158(98,8)          | 69(100,0)        | 1                 | 1            |
|     |            |                | CG              | 2(1,2)             | 0(0,0)           | 0(0-)             |              |
|     |            |                | GG              | 0(0,0)             | 0(0,0)           |                   |              |
| 168 | rs7500280  | hsa-mir-4719   | FALLIDO         |                    |                  |                   |              |
| 169 | rs75019967 | hsa-mir-4477a  | MONOMORFICO     |                    |                  |                   |              |
| 170 | rs7522956  | hsa-mir-4742   | AA              | 94(58,8)           | 38(55,1)         | 1                 | 0,6058dom    |
|     |            |                | AC              | 59(36,9)           | 28(40,6)         | 1,16(0,66-2,05)   |              |
|     |            |                | CC              | 7(4,4)             | 3(4,3)           |                   |              |
| 171 | rs75598818 | hsa-mir-520f   | GG              | 155(96,9)          | 64(92,8)         | 1                 | 0,1791 codom |
|     |            |                | AG              | 5(3,1)             | 5(7,2)           | 2,42(0,68-8,65)   |              |
|     |            |                | AA              | 0(0,0)             | 0(0,0)           |                   |              |
| 172 | rs75715827 | hsa-mir-944    | TT              | 132(82,5)          | 62(89,9)         | 1                 | 0,1426dom    |
|     |            |                | CT              | 26(16,2)           | 7(10,1)          | 0,53(0,22-1,29)   |              |
|     |            |                | CC              | 2(1,2)             | 0(0,0)           |                   |              |
| 173 | rs75966923 | hsa-mir-4298   | CC              | 149(93,1)          | 67(97,1)         | 1                 | 0,2053codom  |
|     |            |                | AC              | 11(6,9)            | 2(2,9)           | 0,4(0,09-1,87)    |              |
|     |            |                | AA              | 0(0,0)             | 0(0,0)           |                   |              |
| 174 | rs76481776 | hsa-mir-182    | CC              | 134(83,8)          | 56(81,2)         | 1,04(0,53-2,03)   | 0,4689log    |
|     |            |                | CT              | 23(14,4)           | 13(18,8)         |                   |              |
|     |            |                | TT              | 3(1,9)             | 0(0,0)           |                   |              |
| 175 | rs76800617 | hsa-mir-4521   | AA              | 152(95,0)          | 66(95,7)         | 1                 | 0,8308codom  |
|     |            |                | AG              | 8(5,0)             | 3(4,3)           | 0,86(0,22-3,36)   |              |
|     |            |                | GG              | 0(0,0)             | 0(0,0)           |                   |              |
| 176 | rs77055126 | hsa-mir-1303   | FALLIDO         |                    |                  |                   |              |
| 177 | rs7709117  | hsa-mir-4634   | AA              | 48(30,2)           | 28(41,2)         | 0,71(0,48-1,04)   | 0,07559log   |
|     |            |                | AG              | 70(44,0)           | 28(41,2)         |                   |              |
|     |            |                | GG              | 41(25,8)           | 12(17,6)         |                   |              |

**Tabla anexa 7.** Resultados de SNPs en miRNAs en la población española (continua).

|     | SNP        | Gen            | Genotipo | N(%)control | N(%)casos | OR (95%IC)                   | P             |
|-----|------------|----------------|----------|-------------|-----------|------------------------------|---------------|
| 178 | rs77639117 | hsa-mir-576    | AA       | 156(97,5)   | 60(87,0)  | 1<br>5,85(1,74-19,71)        | 0,002714codom |
|     |            |                | AT       | 4(2,5)      | 9(13,0)   |                              |               |
|     |            |                | TT       | 0(0,0)      | 0(0,0)    |                              |               |
| 179 | rs78396863 | hsa-mir-4743   | GG       | 154(96,9)   | 66(95,7)  | 1<br>1,4(0,33-6,03)          | 0,6563codom   |
|     |            |                | CG       | 5(3,1)      | 3(4,3)    |                              |               |
|     |            |                | CC       | 0(0,0)      | 0(0,0)    |                              |               |
| 180 | rs78541299 | hsa-mir-6075   | GG       | 158(98,8)   | 67(97,1)  | 1<br>2,36(0,33-17,09)        | 0,4025 codom  |
|     |            |                | AG       | 2(1,2)      | 2(2,9)    |                              |               |
|     |            |                | AA       | 0(0,0)      | 0(0,0)    |                              |               |
| 181 | rs78790512 | hsa-mir-6083   | GG       | 106(66,2)   | 46(66,7)  | 1<br>0,77(0,15-3,89)         | 0,7432rec     |
|     |            |                | AG       | 48(30,0)    | 21(30,4)  |                              |               |
|     |            |                | AA       | 6(3,8)      | 2(2,9)    |                              |               |
| 182 | rs78831152 | hsa-mir-4789   | CC       | 133(83,1)   | 57(83,8)  | 1<br>0,95(0,44-2,05)         | 0,8967dom     |
|     |            |                | CT       | 26(16,2)    | 11(16,2)  |                              |               |
|     |            |                | TT       | 1(0,6)      | 0(0,0)    |                              |               |
| 183 | rs78832554 | hsa-mir-4786   | GG       | 149(93,1)   | 63(91,3)  | 1<br>1,29(0,46-3,64)         | 0,6343codom   |
|     |            |                | AG       | 11(6,9)     | 6(8,7)    |                              |               |
|     |            |                | AA       | 0(0,0)      | 0(0,0)    |                              |               |
| 184 | rs7896283  | hsa-mir-4481   | AA       | 26(40,0)    | 3(37,5)   | 1<br>1,11(0,24-5,05)         | 0,8912dom     |
|     |            |                | AG       | 30(46,2)    | 4(50,0)   |                              |               |
|     |            |                | GG       | 9(13,8)     | 1(12,5)   |                              |               |
| 185 | rs7911488  | hsa-mir-1307   | FALLIDO  |             |           |                              |               |
| 186 | rs79397096 | hsa-mir-597    | GG       | 156(97,5)   | 68(98,6)  | 1<br>0,57(0,06-5,23)         | 0,604codom    |
|     |            |                | AG       | 4(2,5)      | 1(1,4)    |                              |               |
|     |            |                | AA       | 0(0,0)      | 0(0,0)    |                              |               |
| 187 | rs79512808 | hsa-mir-3976   | TT       | 157(98,1)   | 69(100,0) | 1<br>0(0-)                   | 0,5557codom   |
|     |            |                | GT       | 3(1,9)      | 0(0,0)    |                              |               |
|     |            |                | GG       | 0(0,0)      | 0(0,0)    |                              |               |
| 188 | rs80128580 | hsa-mir-5707   | GG       | 151(94,4)   | 66(95,7)  | 1<br>0,76(0,2-2,91)          | 0,6857 codom  |
|     |            |                | AG       | 9(5,6)      | 3(4,3)    |                              |               |
|     |            |                | AA       | 0(0,0)      | 0(0,0)    |                              |               |
| 189 | rs8054514  | hsa-mir-3176   | TT       | 111(69,4)   | 44(63,8)  | 1,31(0,76-2,26)<br>0,3269log | 0,3269log     |
|     |            |                | GT       | 47(29,4)    | 23(33,3)  |                              |               |
|     |            |                | GG       | 2(1,2)      | 2(2,9)    |                              |               |
| 190 | rs8078913  | hsa-mir-4520a  | CC       | 47(29,6)    | 19(27,9)  | 1<br>1,32(0,68-2,59)         | 0,4182rec     |
|     |            |                | CT       | 80(50,3)    | 32(47,1)  |                              |               |
|     |            |                | TT       | 32(20,1)    | 17(25,0)  |                              |               |
| 191 | rs832733   | hsa-mir-4698   | FALLIDO  |             |           |                              |               |
| 192 | rs850108   | hsa-mir-550a-3 | FALLIDO  |             |           |                              |               |
| 193 | rs8667     | hsa-mir-4751   | GG       | 49(33,1)    | 18(26,1)  | 1<br>1,58(0,82-3,04)         | 0,21197codom  |
|     |            |                | AG       | 76(51,4)    | 44(63,8)  |                              |               |
|     |            |                | AA       | 23(15,5)    | 7(10,1)   |                              |               |
| 194 | rs877722   | hsa-mir-4671   | AA       | 115(71,9)   | 53(76,8)  | 1<br>0,0(0 0-0)              | 0,3258rec     |
|     |            |                | AT       | 40(25,0)    | 16(23,2)  |                              |               |
|     |            |                | TT       | 5(3,1)      | 0(0,0)    |                              |               |
| 195 | rs895819   | mir-27a        | FALLIDO  |             |           |                              |               |
| 196 | rs897984   | hsa-mir-4519   | FALLIDO  |             |           |                              |               |
| 197 | rs9295535  | hsa-mir-5689   | FALLIDO  |             |           |                              |               |
| 198 | rs936581   | hsa-mir-3141   | GG       | 116(72,5)   | 43(62,3)  | 1,50(0,90-2,50)<br>0,1229log | 0,1229log     |
|     |            |                | AG       | 40(25,0)    | 23(33,3)  |                              |               |
|     |            |                | AA       | 4(2,5)      | 3(4,3)    |                              |               |
| 199 | rs9842591  | hsa-mir-5186   | CC       | 43(26,9)    | 6(31,6)   | 1<br>0,80(0,28-2,23)         | 0,6678dom     |
|     |            |                | AC       | 79(49,4)    | 9(47,4)   |                              |               |
|     |            |                | AA       | 38(23,8)    | 4(21,1)   |                              |               |

**Tabla anexa 7.** Resultados de SNPs en miRNAs en la población española.

|     | SNP             | Gen            | Genotipo    | N(%)control | N(%)casos | OR (95%IC)      | P            |
|-----|-----------------|----------------|-------------|-------------|-----------|-----------------|--------------|
| 200 | rs9877402       | hsa-mir-5680   | AA          | 145(91,8)   | 15(83,3)  | 2,70(0,85-8,51) | 0,07494log   |
|     |                 |                | AG          | 13(8,2)     | 2(11,1)   |                 |              |
|     |                 |                | GG          | 0(0,0)      | 1(5,6)    |                 |              |
| 201 | rs9913045       | hsa-mir-548h-3 | FALLIDO     |             |           |                 |              |
| 202 | seq_rs11048315  | MIR4302        | GG          | 122(76,2)   | 48(69,6)  | 1               | 0,07354codom |
|     |                 |                | AG          | 32(20,0)    | 21(30,4)  |                 |              |
|     |                 |                | AA          | 6(3,8)      | 0(0,0)    |                 |              |
| 203 | seq_rs111803974 | MIR3908        | FALLIDO     |             |           |                 |              |
| 204 | seq_rs111906529 | MIR299, MIR380 | TT          | 156(97,5)   | 66(95,7)  | 1               | 0,4698codom  |
|     |                 |                | CT          | 4(2,5)      | 3(4,3)    |                 |              |
|     |                 |                | CC          | 0(0,0)      | 0(0,0)    |                 |              |
| 205 | seq_rs112328520 | MIR520G        | CC          | 135(84,9)   | 57(85,1)  | 1               | 0,9741codom  |
|     |                 |                | CT          | 24(15,1)    | 10(14,9)  |                 |              |
|     |                 |                | TT          | 0(0,0)      | 0(0,0)    |                 |              |
| 206 | seq_rs11269     | mir-1282       | MONOMORFICO |             |           |                 |              |
| 207 | seq_rs113808830 | MIR4532        | CC          | 130(81,2)   | 56(83,6)  | 1               | 0,5570rec    |
|     |                 |                | CT          | 27(16,9)    | 11(16,4)  |                 |              |
|     |                 |                | TT          | 3(1,9)      | 0(0,0)    |                 |              |
| 208 | seq_rs116932476 | hsa-mir-4479   | GG          | 158(98,8)   | 67(98,5)  | 1               | 0,8947codom  |
|     |                 |                | AG          | 2(1,2)      | 1(1,5)    |                 |              |
|     |                 |                | AA          | 0(0,0)      | 0(0,0)    |                 |              |
| 209 | seq_rs117258475 | MIR296         | GG          | 155(97,5)   | 68(98,6)  | 1               | 0,5996codom  |
|     |                 |                | AG          | 4(2,5)      | 1(1,4)    |                 |              |
|     |                 |                | AA          | 0(0,0)      | 0(0,0)    |                 |              |
| 210 | seq_rs117650137 | hsa-mir-6717   | GG          | 152(95,0)   | 64(92,8)  | 1               | 0,5093codom  |
|     |                 |                | AG          | 8(5,0)      | 5(7,2)    |                 |              |
|     |                 |                | AA          | 0(0,0)      | 0(0,0)    |                 |              |
| 211 | seq_rs117723462 | MIR3649        | MONOMORFICO |             |           |                 |              |
| 212 | seq_rs163642    | MIR4436B2      | FALLIDO     |             |           |                 |              |
|     |                 |                |             |             |           |                 |              |
|     |                 |                |             |             |           |                 |              |
| 213 | seq_rs62571442  | MIR3689        | AA          | 55(35,3)    | 27(39,7)  | 0,85(0,56-1,28) | 0,4316log    |
|     |                 |                | AG          | 75(48,1)    | 32(47,1)  |                 |              |
|     |                 |                | GG          | 26(16,7)    | 9(13,2)   |                 |              |

**Tabla anexa 8.** Resultados de SNPs en miRNAs en la población eslovena (continua).

|    | SNP        | Gen             | Genotipo    | N(%)control | N(%)casos | OR (95%IC)       | P            |
|----|------------|-----------------|-------------|-------------|-----------|------------------|--------------|
| 1  | rs10061133 | hsa-mir-449b    | AA          | 77(80,2)    | 20(83,3)  | 1                | 0,7244 codom |
|    |            |                 | AG          | 19(19,8)    | 4(16,7)   | 0,81(0,25-2,65)  |              |
|    |            |                 | GG          |             |           |                  |              |
| 2  | rs10173558 | mir-1302-4      | TT          | 74(77,1)    | 20(83,3)  | 1                | 0,4961 dom   |
|    |            |                 | CT          | 21(21,9)    | 4(16,7)   | 0,67(0,21-2,18)  |              |
|    |            |                 | CC          | 1(1,0)      | 0(0,0)    |                  |              |
| 3  | rs10406069 | hsa-mir-5196    | GG          | 61(63,5)    | 14(63,6)  | 1                | 0,5394 rec   |
|    |            |                 | AG          | 33(34,4)    | 7(31,8)   | 2,24(0,19-25,85) |              |
|    |            |                 | AA          | 2(2,1)      | 1(4,5)    |                  |              |
| 4  | rs10422347 | hsa-mir-4745    | CC          | 80(83,3)    | 17(73,9)  | 1                | 0,3122 dom   |
|    |            |                 | CT          | 15(15,6)    | 6(26,1)   | 1,76(0,60-5,17)  |              |
|    |            |                 | TT          | 1(1,0)      | 0(0,0)    |                  |              |
| 5  | rs10461441 | hsa-mir-548ae-2 | FALLIDO     |             |           |                  |              |
| 6  | rs10505168 | hsa-mir-2053    | AA          | 45(46,9)    | 11(55,0)  | 1                | 0,4723 rec   |
|    |            |                 | AG          | 42(43,8)    | 6(30,0)   | 1,71(0,42-6,96)  |              |
|    |            |                 | GG          | 9(9,4)      | 3(15,0)   |                  |              |
| 7  | rs1055070  | hsa-mir-4700    | TT          | 89(92,7)    | 21(95,5)  | 1                | 0,6285       |
|    |            |                 | GT          | 7(7,3)      | 1(4,5)    | 0,61(0,07-5,19)  |              |
|    |            |                 | GG          | 0(0,0)      | 0(0,0)    |                  |              |
| 8  | rs1077020  | hsa-mir-943     | FALLIDO     |             |           |                  |              |
| 9  | rs10878362 | hsa-mir-6074    | FALLIDO     |             |           |                  |              |
| 10 | rs10934682 | hsa-mir-544b    | TT          | 67(69,8)    | 16(69,6)  | 1                | 0,4045 rec   |
|    |            |                 | GT          | 25(26,0)    | 5(21,7)   | 2,19(0,38-12,76) |              |
|    |            |                 | GG          | 4(4,2)      | 2(8,7)    |                  |              |
| 11 | rs11014002 | hsa-mir-603     | FALLIDO     |             |           |                  |              |
| 12 | rs11032942 | hsa-mir-1343    | FALLIDO     |             |           |                  |              |
| 13 | rs11156654 | mir-624         | TT          | 47(49,5)    | 10(45,5)  | 1                | 0,7323 rec   |
|    |            |                 | AT          | 37(38,9)    | 10(45,5)  | 0,76(0,16-3,72)  |              |
|    |            |                 | AA          | 11(11,6)    | 2(9,1)    |                  |              |
| 14 | rs11237828 | hsa-mir-5579    | FALLIDO     |             |           |                  |              |
| 15 | rs11259096 | hsa-mir-1265    | TT          | 85(89,5)    | 20(87,0)  | 1                | 0,7342 codom |
|    |            |                 | CT          | 10(10,5)    | 3(13,0)   | 1,28(0,32-5,06)  |              |
|    |            |                 | CC          | 0(0,0)      | 0(0,0)    |                  |              |
| 16 | rs11614913 | hsa-mir-196a-2  | CC          | 44(45,8)    | 7(30,4)   | 1                | 0,1740 dom   |
|    |            |                 | CT          | 42(43,8)    | 13(56,5)  | 1,93(0,73-5,13)  |              |
|    |            |                 | TT          | 10(10,4)    | 3(13,0)   |                  |              |
| 17 | rs11651671 | hsa-mir-548at   | FALLIDO     |             |           |                  |              |
| 18 | rs11713052 | hsa-mir-5092    | CC          | 91(94,8)    | 21(95,5)  | 1                | 0,897 codom  |
|    |            |                 | CG          | 5(5,2)      | 1(4,5)    | 0,87(0,1-7,81)   |              |
|    |            |                 | GG          | 0(0,0)      | 0(0,0)    |                  |              |
| 19 | rs11714172 | hsa-mir-4792    | TT          | 50(52,1)    | 8(36,4)   | 1                | 0,1809 dom   |
|    |            |                 | GT          | 37(38,5)    | 10(45,5)  | 1,90(0,73-4,95)  |              |
|    |            |                 | GG          | 9(9,4)      | 4(18,2)   |                  |              |
| 20 | rs11907020 | hsa-mir-3192    | MONOMORFICO |             |           |                  |              |
| 21 | rs11983381 | hsa-mir-4653    | AA          | 63(65,6)    | 15(62,5)  | 1                | 0,2939 rec   |
|    |            |                 | AG          | 30(31,2)    | 7(29,2)   | 2,82(0,44-17,90) |              |
|    |            |                 | GG          | 3(3,1)      | 2(8,3)    |                  |              |
| 22 | rs12197631 | hsa-mir-548a-1  | FALLIDO     |             |           |                  |              |
| 23 | rs12355840 | hsa-mir-202     | TT          | 75(78,9)    | 17(89,5)  | 1                | 0,2603 dom   |
|    |            |                 | CT          | 15(15,8)    | 2(10,5)   | 0,44(0,09-2,07)  |              |
|    |            |                 | CC          | 5(5,3)      | 0(0,0)    |                  |              |
| 24 | rs12402181 | hsa-mir-202     | GG          | 75(78,1)    | 18(81,8)  | 1                | 0,6981 dom   |
|    |            |                 | AG          | 19(19,8)    | 4(18,2)   | 0,79(0,24-2,60)  |              |
|    |            |                 | AA          | 2(2,1)      | 0(0,0)    |                  |              |

**Tabla anexa 8.** Resultados de SNPs en miRNAs en la población eslovena (continua).

|    | SNP        | Gen           | Genotipo | N(%)control | N(%)casos | OR (95%IC)       | P            |
|----|------------|---------------|----------|-------------|-----------|------------------|--------------|
| 25 | rs12451747 | hsa-mir-1269b | FALLIDO  |             |           |                  |              |
| 26 | rs12456845 | hsa-mir-4744  | TT       | 89(92,7)    | 21(87,5)  | 1                | 0,4307 codom |
|    |            |               | CT       | 7(7,3)      | 3(12,5)   | 1,82(0,43-7,62)  |              |
|    |            |               | CC       | 0(0,0)      | 0(0,0)    |                  |              |
| 27 | rs12473206 | hsa-mir-4433  | FALLIDO  |             |           |                  |              |
| 28 | rs12512664 | hsa-mir-4274  | AA       | 29(30,2)    | 6(30,0)   | 1                | 0,2317 rec   |
|    |            |               | AG       | 47(49,0)    | 12(60,0)  | 0,42(0,09-1,97)  |              |
|    |            |               | GG       | 20(20,8)    | 2(10,0)   |                  |              |
| 29 | rs12523324 | hsa-mir-4277  | FALLIDO  |             |           |                  |              |
| 30 | rs12780876 | hsa-mir-4293  | TT       | 28(29,2)    | 11(50,0)  | 1                | 0,06703 dom  |
|    |            |               | AT       | 54(56,2)    | 8(36,4)   | 0,41(0,16-1,06)  |              |
|    |            |               | AA       | 14(14,6)    | 3(13,6)   |                  |              |
| 31 | rs12803915 | hsa-mir-612   | GG       | 75(78,1)    | 15(68,2)  | 1,30(0,54-3,14)  | 0,3128 log   |
|    |            |               | AG       | 18(18,8)    | 7(31,8)   |                  |              |
|    |            |               | AA       | 3(3,1)      | 0(0,0)    |                  |              |
| 32 | rs12879262 | hsa-mir-4309  | GG       | 77(80,2)    | 16(72,7)  | 1                | 0,4494 dom   |
|    |            |               | CG       | 18(18,8)    | 6(27,3)   | 1,52(0,52-4,40)  |              |
|    |            |               | CC       | 1(1,0)      | 0(0,0)    |                  |              |
| 33 | rs12894467 | hsa-mir-300   | CC       | 25(26,0)    | 7(29,2)   | 1                | 0,5025 rec   |
|    |            |               | CT       | 53(55,2)    | 11(45,8)  | 1,44(0,50-4,15)  |              |
|    |            |               | TT       | 18(18,8)    | 6(25,0)   |                  |              |
| 34 | rs13186787 | hsa-mir-1294  | FALLIDO  |             |           |                  |              |
| 35 | rs13299349 | hsa-mir-3152  | GG       | 38(39,6)    | 9(42,9)   | 1                | 0,1730 rec   |
|    |            |               | AG       | 50(52,1)    | 8(38,1)   | 2,59(0,70-9,57)  |              |
|    |            |               | AA       | 8(8,3)      | 4(19,0)   |                  |              |
| 36 | rs1414273  | hsa-mir-548ac | FALLIDO  |             |           |                  |              |
| 37 | rs1439619  | hsa-mir-3175  | CC       | 21(21,9)    | 6(26,1)   | 1                | 0,6688 rec   |
|    |            |               | AC       | 41(42,7)    | 8(34,8)   | 1,26(0,44-3,60)  |              |
|    |            |               | AA       | 34(35,4)    | 9(39,1)   |                  |              |
| 38 | rs1572687  | hsa-mir-5007  | CC       | 22(22,9)    | 9(42,9)   | 1                | 0,07080 dom  |
|    |            |               | CT       | 56(58,3)    | 7(33,3)   | 0,40(0,15-1,06)  |              |
|    |            |               | TT       | 18(18,8)    | 5(23,8)   |                  |              |
| 39 | rs1683709  | hsa-mir-3612  | CC       | 64(66,7)    | 15(65,2)  | 1                | 0,7184 rec   |
|    |            |               | CT       | 26(27,1)    | 7(30,4)   | 0,68(0,08-5,96)  |              |
|    |            |               | TT       | 6(6,2)      | 1(4,3)    |                  |              |
| 40 | rs17022749 | hsa-mir-5700  | FALLIDO  |             |           |                  |              |
| 41 | rs17091403 | hsa-mir-2110  | CC       | 82(85,4)    | 22(84,6)  | 1                | 0,3666 rec   |
|    |            |               | CT       | 13(13,5)    | 3(11,5)   | 3,80(0,23-62,90) |              |
|    |            |               | TT       | 1(1,0)      | 1(3,8)    |                  |              |
| 42 | rs17111728 | hsa-mir-4422  | TT       | 77(80,2)    | 19(86,4)  | 0,91(0,29-2,84)  | 0,08807 log  |
|    |            |               | CT       | 19(19,8)    | 2(9,1)    |                  |              |
|    |            |               | CC       | 0(0,0)      | 1(4,5)    |                  |              |
| 43 | rs174561   | mir-1908      | FALLIDO  |             |           |                  |              |
| 44 | rs17737028 | hsa-mir-3143  | AA       | 94(97,9)    | 25(100,0) | 1                | 1 codom      |
|    |            |               | AG       | 2(2,1)      | 0(0,0)    | 00               |              |
|    |            |               | GG       | 0(0,0)      | 0(0,0)    |                  |              |
| 45 | rs17759989 | hsa-mir-633   | AA       | 90(93,8)    | 22(100,0) | 1                | 0,5919 codom |
|    |            |               | AG       | 6(6,2)      | 0(0,0)    | 00               |              |
|    |            |               | GG       | 0(0,0)      | 0(0,0)    |                  |              |
| 46 | rs17797090 | hsa-mir-3652  | GG       | 83(86,5)    | 21(95,5)  | 1                | 0,1949 dom   |
|    |            |               | AG       | 12(12,5)    | 1(4,5)    | 0,30(0,04-2,46)  |              |
|    |            |               | AA       | 1(1,0)      | 0(0,0)    |                  |              |
| 47 | rs17885221 | hsa-mir-4733  | CC       | 94(97,9)    | 23(95,8)  | 1                | 0,5833 codom |
|    |            |               | CT       | 2(2,1)      | 1(4,2)    | 2,04(0,18-23,52) |              |
|    |            |               | TT       | 0(0,0)      | 0(0,0)    |                  |              |

**Tabla anexa 8.** Resultados de SNPs en miRNAs en la población eslovena (continua).

|    | SNP        | Gen            | Genotipo | N(%)control | N(%)casos | OR (95%IC)       | P               |
|----|------------|----------------|----------|-------------|-----------|------------------|-----------------|
| 48 | rs2042253  | hsa-mir-5197   | AA       | 52(54,7)    | 18(75,0)  | 1                | 0,0649 dom      |
|    |            |                | AG       | 39(41,1)    | 5(20,8)   | 0,40(0,15-1,10)  |                 |
|    |            |                | GG       | 4(4,2)      | 1(4,2)    |                  |                 |
| 49 | rs2043556  | hsa-mir-605    | AA       | 59(61,5)    | 17(77,3)  | 1                | 0,1506 dom      |
|    |            |                | AG       | 33(34,4)    | 4(18,2)   | 0,47(0,16-1,38)  |                 |
|    |            |                | GG       | 4(4,2)      | 1(4,5)    |                  |                 |
| 50 | rs2060455  | hsa-mir-4511   | FALLIDO  |             |           |                  |                 |
| 51 | rs2070960  | hsa-mir-3620   | CC       | 75(78,9)    | 21(87,5)  | 0,99(0,36-2,70)  | 0,007829 log    |
|    |            |                | CT       | 20(21,1)    | 1(4,2)    |                  |                 |
|    |            |                | TT       | 0(0,0)      | 2(8,3)    |                  |                 |
| 52 | rs2114358  | hsa-mir-1206   | TT       | 33(34,7)    | 11(47,8)  | 1                | 0,2492 dom      |
|    |            |                | CT       | 47(49,5)    | 8(34,8)   | 0,58(0,23-1,46)  |                 |
|    |            |                | CC       | 15(15,8)    | 4(17,4)   |                  |                 |
| 53 | rs215383   | hsa-mir-4494   | GG       | 71(74,0)    | 20(76,9)  | 1                | 0,7562 dom      |
|    |            |                | AG       | 24(25,0)    | 6(23,1)   | 0,85(0,31-2,36)  |                 |
|    |            |                | AA       | 1(1,0)      | 0(0,0)    |                  |                 |
| 54 | rs2241347  | hsa-mir-3130-1 | FALLIDO  |             |           |                  |                 |
| 55 | rs2273626  | hsa-mir-4707   | CC       | 31(32,3)    | 2(8,7)    | 1                | 0,01317 dom     |
|    |            |                | AC       | 45(46,9)    | 15(65,2)  | 5,01(1,10-22,72) |                 |
|    |            |                | AA       | 20(20,8)    | 6(26,1)   |                  |                 |
| 56 | rs2289030  | hsa-mir-492    | CC       | 81(84,4)    | 19(82,6)  | 1,05(0,34-3,26)  | 0,7989 log      |
|    |            |                | CG       | 14(14,6)    | 4(17,4)   |                  |                 |
|    |            |                | GG       | 1(1,0)      | 0(0,0)    |                  |                 |
| 57 | rs2291418  | hsa-mir-1229   | CC       | 90(93,8)    | 26(100,0) | 1                | 0,3397 codom    |
|    |            |                | CT       | 6(6,2)      | 0(0,0)    | 00               |                 |
|    |            |                | TT       | 0(0,0)      | 0(0,0)    |                  |                 |
| 58 | rs2292181  | hsa-mir-564    | GG       | 85(88,5)    | 22(88,0)  | 1                | 1,05(0,27-4,11) |
|    |            |                | CG       | 11(11,5)    | 3(12,0)   |                  |                 |
|    |            |                | CC       | 0(0,0)      | 0(0,0)    |                  |                 |
| 59 | rs2292832  | hsa-mir-149    | FALLIDO  |             |           |                  |                 |
| 60 | rs2368392  | hsa-mir-604    | CC       | 47(49,0)    | 14(58,3)  | 1                | 0,3737 codom    |
|    |            |                | CT       | 42(43,8)    | 7(29,2)   | 0,56(0,21-1,52)  |                 |
|    |            |                | TT       | 7(7,3)      | 3(12,5)   | 1,44(0,33-6,31)  |                 |
| 61 | rs243080   | hsa-mir-4432   | CC       | 30(31,6)    | 12(57,1)  | 1                | 0,03033 dom     |
|    |            |                | CT       | 49(51,6)    | 5(23,8)   | 0,35(0,13-0,91)  |                 |
|    |            |                | TT       | 16(16,8)    | 4(19,0)   |                  |                 |
| 62 | rs257095   | hsa-mir-4636   | AA       | 67(69,8)    | 19(79,2)  | 1                | 0,3506 dom      |
|    |            |                | AG       | 26(27,1)    | 4(16,7)   | 0,61(0,21-1,79)  |                 |
|    |            |                | GG       | 3(3,1)      | 1(4,2)    |                  |                 |
| 63 | rs2648841  | hsa-mir-1208   | CC       | 79(83,2)    | 21(84,0)  | 1                | 0,9196 codom    |
|    |            |                | AC       | 16(16,8)    | 4(16,0)   | 0,94(0,28-3,11)  |                 |
|    |            |                | AA       | 0(0,0)      | 0(0,0)    |                  |                 |
| 64 | rs2663345  | hsa-mir-3183   | FALLIDO  |             |           |                  |                 |
| 65 | rs266435   | hsa-mir-4804   | CC       | 74(77,1)    | 17(77,3)  | 1                | 0,1864 rec      |
|    |            |                | CG       | 22(22,9)    | 4(18,2)   | 0                |                 |
|    |            |                | GG       | 0(0,0)      | 1(4,5)    |                  |                 |
| 66 | rs2682818  | hsa-mir-618    | CC       | 74(77,9)    | 15(75,0)  | 1                | 0,7805 codom    |
|    |            |                | AC       | 21(22,1)    | 5(25,0)   | 1,17(0,38-3,61)  |                 |
|    |            |                | AA       | 0(0,0)      | 0(0,0)    |                  |                 |
| 67 | rs28477407 | hsa-mir-4308   | CC       | 79(82,3)    | 23(92,0)  | 1                | 0,2049 dom      |
|    |            |                | CT       | 16(16,7)    | 2(8,0)    | 0,40(0,09-1,88)  |                 |
|    |            |                | TT       | 1(1,0)      | 0(0,0)    |                  |                 |
| 68 | rs28645567 | hsa-mir-378d-1 | GG       | 92(95,8)    | 21(91,3)  | 1                | 0,4045 codom    |
|    |            |                | AG       | 4(4,2)      | 2(8,7)    | 2,19(0,38-12,76) |                 |
|    |            |                | AA       | 0(0,0)      | 0(0,0)    |                  |                 |

**Tabla anexa 8.** Resultados de SNPs en miRNAs en la población eslovena (continua).

|    | SNP        | Gen            | Genotipo    | N(%)control | N(%)casos | OR (95%IC)       | P              |
|----|------------|----------------|-------------|-------------|-----------|------------------|----------------|
| 69 | rs28655823 | hsa-mir-4472-1 | GG          | 58(69,9)    | 18(81,8)  | 1                | 0,2501 dom     |
|    |            |                | CG          | 23(27,7)    | 3(13,6)   | 0,52(0,16-1,68)  |                |
|    |            |                | CC          | 2(2,4)      | 1(4,5)    |                  |                |
| 70 | rs28664200 | hsa-mir-1255a  | TT          | 51(53,1)    | 11(55,0)  | 1                | 0,4428 rec     |
|    |            |                | CT          | 40(41,7)    | 7(35,0)   | 2,02(0,36-11,25) |                |
|    |            |                | CC          | 5(5,2)      | 2(10,0)   |                  |                |
| 71 | rs2910164  | hsa-mir-146a   | GG          | 60(62,5)    | 18(75,0)  | 1                | 0,2410 dom     |
|    |            |                | CG          | 30(31,2)    | 5(20,8)   | 0,56(0,20-1,53)  |                |
|    |            |                | CC          | 6(6,2)      | 1(4,2)    |                  |                |
| 72 | rs2967897  | hsa-mir-5695   | MONOMORFICO |             |           |                  |                |
| 73 | rs3112399  | hsa-mir-4803   | TT          | 52(32,5)    | 15(22,1)  | 1                | 0,06815 codom  |
|    |            |                | AT          | 63(39,4)    | 38(55,9)  | 2,09(1,04-4,22)  |                |
|    |            |                | AA          | 45(28,1)    | 15(22,1)  | 1,16(0,51-2,62)  |                |
| 74 | rs34115976 | hsa-mir-577    | CC          | 109(68,1)   | 51(73,9)  | 0,79(0,48-1,31)  | 0,3555 log     |
|    |            |                | CG          | 41(25,6)    | 15(21,7)  |                  |                |
|    |            |                | GG          | 10(6,2)     | 3(4,3)    |                  |                |
| 75 | rs35196866 | hsa-mir-4669   | FALLIDO     |             |           |                  |                |
| 76 | rs356125   | hsa-mir-2278   | GG          | 140(87,5)   | 68(98,6)  | 1                | 0,002244 codom |
|    |            |                | AG          | 20(12,5)    | 1(1,4)    | 0,1(0,01-0,78)   |                |
|    |            |                | AA          | 0(0,0)      | 0(0,0)    |                  |                |
| 77 | rs35613341 | hsa-mir-5189   | CC          | 72(45,0)    | 38(56,7)  | 1                | 0,1069 dom     |
|    |            |                | CG          | 57(35,6)    | 17(25,4)  | 0,62(0,35-1,11)  |                |
|    |            |                | GG          | 31(19,4)    | 12(17,9)  |                  |                |
| 78 | rs35650931 | hsa-mir-6076   | GG          | 132(82,5)   | 58(84,1)  | 1                | 0,5557 rec     |
|    |            |                | CG          | 25(15,6)    | 11(15,9)  | 0,00(0,00-)      |                |
|    |            |                | CC          | 3(1,9)      | 0(0,0)    |                  |                |
| 79 | rs35770269 | hsa-mir-449c   | AA          | 61(38,4)    | 35(50,7)  | 0,64(0,42-0,98)  | 0,03816 log    |
|    |            |                | AT          | 71(44,7)    | 28(40,6)  |                  |                |
|    |            |                | TT          | 27(17,0)    | 6(8,7)    |                  |                |
| 80 | rs35854553 | hsa-mir-3166   | AA          | 86(89,6)    | 23(95,8)  | 1                | 0,3029 codom   |
|    |            |                | AT          | 10(10,4)    | 1(4,2)    | 0,37(0,05-3,07)  |                |
|    |            |                | TT          | 0(0,0)      | 0(0,0)    |                  |                |
| 81 | rs367805   | hsa-mir-3936   | GG          | 42(43,8)    | 10(45,5)  | 0,95(0,49-1,84)  | 0,8733 log     |
|    |            |                | AG          | 40(41,7)    | 9(40,9)   |                  |                |
|    |            |                | AA          | 14(14,6)    | 3(13,6)   |                  |                |
| 82 | rs3734050  | hsa-mir-6499   | CC          | 88(91,7)    | 19(82,6)  | 1                | 0,2235 codom   |
|    |            |                | CT          | 8(8,3)      | 4(17,4)   | 2,32(0,63-8,49)  |                |
|    |            |                | TT          | 0(0,0)      | 0(0,0)    |                  |                |
| 83 | rs3746444  | hsa-mir-499a   | TT          | 64(66,7)    | 18(75,0)  | 1                | 0,03098 codom  |
|    |            |                | CT          | 30(31,2)    | 3(12,5)   | 0,36(0,10-1,30)  |                |
|    |            |                | CC          | 2(2,1)      | 3(12,5)   | 5,33(0,83-34,40) |                |
| 84 | rs3823658  | hsa-mir-5090   | GG          | 74(77,1)    | 18(75)    | 0,96(0,38-2,40)  | 0,7911 log     |
|    |            |                | AG          | 19(19,8)    | 6(25)     |                  |                |
|    |            |                | AA          | 3(3,1)      | 0(0)      |                  |                |
| 85 | rs4112253  | hsa-mir-4751   | CC          | 43(44,8)    | 12(63,2)  | 1                | 0,1419 dom     |
|    |            |                | CG          | 41(42,7)    | 5(26,3)   | 0,47(0,17-1,31)  |                |
|    |            |                | GG          | 12(12,5)    | 2(10,5)   |                  |                |
| 86 | rs41274239 | hsa-mir-96     | MONOMORFICO |             |           |                  |                |
| 87 | rs41274312 | hsa-mir-187    | GG          | 95(99,0)    | 22(95,7)  | 1                | 0,3259 codom   |
|    |            |                | AG          | 1(1,0)      | 1(4,3)    | 4,32(0,26-71,75) |                |
|    |            |                | AA          | 0(0,0)      | 0(0,0)    |                  |                |
| 88 | rs41286570 | hsa-mir-154    | MONOMORFICO |             |           |                  |                |

**Tabla anexa 8.** Resultados de SNPs en miRNAs en la población eslovena (continua).

|     | SNP        | Gen            | Genotipo    | N(%)control | N(%)casos | OR (95%IC)       | P               |
|-----|------------|----------------|-------------|-------------|-----------|------------------|-----------------|
| 89  | rs41291179 | hsa-mir-216a   | AA          | 90(93,8)    | 23(95,8)  | 1                | 0,6857 codom    |
|     |            |                | AT          | 6(6,2)      | 1(4,2)    | 0,65(0,07-5,69)  |                 |
|     |            |                | TT          | 0(0,0)      | 0(0,0)    |                  |                 |
| 90  | rs41292412 | hsa-mir-122    | MONOMORFICO |             |           |                  |                 |
| 91  | rs4285314  | hsa-mir-3135b  | FALLIDO     |             |           |                  |                 |
| 92  | rs4414449  | hsa-mir-548ap  | TT          | 24(27,6)    | 0(0,0)    | 1                | 1 codom         |
|     |            |                | CT          | 43(49,4)    | 1(100,0)  | 0                |                 |
|     |            |                | CC          | 20(23,0)    | 0(0,0)    |                  |                 |
| 93  | rs45530340 | hsa-mir-6084   | MONOMORFICO |             |           |                  |                 |
| 94  | rs4577031  | hsa-mir-548ap  | AA          | 26(27,1)    | 9(37,5)   | 0,62(0,31-1,24)  | 0,1664 log      |
|     |            |                | AT          | 52(54,2)    | 13(54,2)  |                  |                 |
|     |            |                | TT          | 18(18,8)    | 2(8,3)    |                  |                 |
| 95  | rs4674470  | hsa-mir-4268   | TT          | 50(52,1)    | 17(85,0)  | 1                | 0,0020791 codom |
|     |            |                | CT          | 40(41,7)    | 1(5,0)    | 0,07(0,01-0,58)  |                 |
|     |            |                | CC          | 6(6,2)      | 2(10,0)   | 0,98(0,18-5,33)  |                 |
| 96  | rs4809383  | hsa-mir-941-1  | CC          | 73(76,8)    | 18(72,0)  | 1                | 0,6191 dom      |
|     |            |                | CT          | 19(20,0)    | 6(24,0)   | 1,29(0,48-3,49)  |                 |
|     |            |                | TT          | 3(3,2)      | 1(4,0)    |                  |                 |
| 97  | rs4822739  | hsa-mir-548j   | CC          | 84(87,5)    | 23(95,8)  | 1                | 0,1962 codom    |
|     |            |                | CG          | 12(12,5)    | 1(4,2)    | 0,3(0,04-2,46)   |                 |
|     |            |                | GG          | 0(0,0)      | 0(0,0)    |                  |                 |
| 98  | rs487571   | hsa-mir-5680   | FALLIDO     |             |           |                  |                 |
| 99  | rs4909237  | hsa-mir-595    | CC          | 74(77,1)    | 20(83,3)  | 1                | 0,4961 dom      |
|     |            |                | CT          | 18(18,8)    | 4(16,7)   | 0,67(0,21-2,18)  |                 |
|     |            |                | TT          | 4(4,2)      | 0(0,0)    |                  |                 |
| 100 | rs4919510  | hsa-mir-608    | CC          | 68(70,8)    | 19(76,0)  | 1                | 0,6044 dom      |
|     |            |                | CG          | 27(28,1)    | 6(24,0)   | 0,77(0,28-2,12)  |                 |
|     |            |                | GG          | 1(1,0)      | 0(0,0)    |                  |                 |
| 101 | rs515924   | hsa-mir-548al  | AA          | 74(77,1)    | 20(83,3)  | 1                | 0,06792 codom   |
|     |            |                | AG          | 21(21,9)    | (2)       | 0,35(0,08-1,63)  |                 |
|     |            |                | GG          | 1(1,0)      | (2)       | 7,40(0,64-85,82) |                 |
| 102 | rs521188   | hsa-mir-3671   | AA          | 88(91,7)    | 24(100)   | 1                | 0,3551 codom    |
|     |            |                | AG          | 8(8,3)      | 0(0,0)    | 00               |                 |
|     |            |                | GG          | 0(0,0)      | 0(0,0)    |                  |                 |
| 103 | rs56088671 | hsa-mir-4424   | FALLIDO     |             |           |                  |                 |
| 104 | rs56103835 | hsa-mir-323b   | TT          | 55(57,3)    | 15(65,2)  | 1                | 0,4847 dom      |
|     |            |                | CT          | 39(40,6)    | 8(34,8)   | 0,72(0,28-1,85)  |                 |
|     |            |                | CC          | 2(2,1)      | 0(0,0)    |                  |                 |
| 105 | rs56195815 | hsa-mir-548aw  | FALLIDO     |             |           |                  |                 |
| 106 | rs56292801 | hsa-mir-5189   | GG          | 51(53,1)    | 18(81,8)  | 1                | 0,010167 dom    |
|     |            |                | AG          | 41(42,7)    | 3(13,6)   | 0,25(0,08-0,80)  |                 |
|     |            |                | AA          | 4(4,2)      | 1(4,5)    |                  |                 |
| 107 | rs57111412 | hsa-mir-1283-1 | FALLIDO     |             |           |                  |                 |
| 108 | rs58450758 | hsa-mir-559    | FALLIDO     |             |           |                  |                 |
| 109 | rs58834075 | hsa-mir-656    | CC          | 88(91,7)    | 26(100,0) | 1                | 0,2002 codom    |
|     |            |                | CT          | 8(8,3)      | 0(0,0)    | 00               |                 |
|     |            |                | TT          | 0(0,0)      | 0(0,0)    |                  |                 |
| 110 | rs5965660  | hsa-mir-888    | FALLIDO     |             |           |                  |                 |

**Tabla anexa 8.** Resultados de SNPs en miRNAs en la población eslovena (continua).

|     | SNP        | Gen                     | Genotipo    | N(%)control | N(%)casos | OR (95%IC)       | P             |
|-----|------------|-------------------------|-------------|-------------|-----------|------------------|---------------|
| 111 | rs5997893  | hsa-mir-3928            | GG          | 36(37,5)    | 5(20,8)   | 1                | 0,1118 dom    |
|     |            |                         | AG          | 47(49,0)    | 14(58,3)  | 2,28(0,78-6,64)  |               |
|     |            |                         | AA          | 13(13,5)    | 5(20,8)   |                  |               |
| 112 | rs60308683 | hsa-mir-4762            | FALLIDO     |             |           |                  |               |
| 113 | rs6062431  | hsa-mir-4326            | GG          | 36(37,9)    | 10(40,0)  | 1                | 0,7314 rec    |
|     |            |                         | CG          | 41(43,2)    | 11(44,0)  | 0,81(0,25-2,67)  |               |
|     |            |                         | CC          | 18(18,9)    | (4)       |                  |               |
| 114 | rs60871950 | hsa-mir-4467            | GG          | 43(44,8)    | 9(39,1)   | 1,24(0,67-2,30)  | 0,4899 log    |
|     |            |                         | AG          | 38(39,6)    | 9(39,1)   |                  |               |
|     |            |                         | AA          | 15(15,6)    | 5(21,7)   |                  |               |
| 115 | rs61388742 | hsa-mir-596             | TT          | 79(82,3)    | 18(78,3)  | 1                | 0,5615 rec    |
|     |            |                         | CT          | 15(15,6)    | 4(17,4)   | 2,14(0,19-24,63) |               |
|     |            |                         | CC          | 2(2,1)      | 1(4,3)    |                  |               |
| 116 | rs61938575 | hsa-mir-3922            | GG          | 48(50,5)    | 11(68,8)  | 1                | 0,1709 dom    |
|     |            |                         | AG          | 41(43,2)    | 5(31,2)   | 0,46(0,15-1,44)  |               |
|     |            |                         | AA          | 6(6,3)      | 0(0,0)    |                  |               |
| 117 | rs61992671 | hsa-mir-412             | GG          | 19(19,8)    | 5(22,7)   | 1,12(0,56-2,25)  | 0,7419 log    |
|     |            |                         | AG          | 53(55,2)    | 12(54,5)  |                  |               |
|     |            |                         | AA          | 24(25,0)    | 5(22,7)   |                  |               |
| 118 | rs62154973 | hsa-mir-4772            | CC          | 69(71,9)    | 16(76,2)  | 1                | 0,6844 codom  |
|     |            |                         | CT          | 27(28,1)    | 5(23,8)   | 0,8(0,27-2,4)    |               |
|     |            |                         | TT          | 0(0,0)      | 0(0,0)    |                  |               |
| 119 | rs62376935 | hsa-mir-585             | CC          | 85(88,5)    | 23(100,0) | 1                | 0,4135 codom  |
|     |            |                         | CT          | 8(8,3)      | 0(0,0)    | 00               |               |
|     |            |                         | TT          | 3(3,1)      | 0(0,0)    |                  |               |
| 120 | rs641071   | hsa-mir-4482            | FALLIDO     |             |           |                  |               |
| 121 | rs6430498  | hsa-mir-3679            | GG          | 47(49,0)    | 11(47,8)  | 1,04(0,51-2,11)  | 0,9199 log    |
|     |            |                         | AG          | 41(42,7)    | 10(43,5)  |                  |               |
|     |            |                         | AA          | 8(8,3)      | 2(8,7)    |                  |               |
| 122 | rs6505162  | hsa-mir-423             | FALLIDO     |             |           |                  |               |
| 123 | rs6513496  | hsa-mir-646             | TT          | 63(65,6)    | 13(56,5)  | 1                | 0,2745 rec    |
|     |            |                         | CT          | 30(31,2)    | 8(34,8)   | 2,95(0,46-18,79) |               |
|     |            |                         | CC          | 3(3,1)      | 2(8,7)    |                  |               |
| 124 | rs66507245 | hsa-mir-4731            | FALLIDO     |             |           |                  |               |
| 125 | rs66683138 | hsa-mir-3622a           | FALLIDO     |             |           |                  |               |
| 126 | rs67042258 | hsa-mir-6128            | GG          | 54(56,2)    | 12(54,5)  | 1                | 0,1430 rec    |
|     |            |                         | AG          | 35(36,5)    | 6(27,3)   | 2,83(0,75-10,67) |               |
|     |            |                         | AA          | 7(7,3)      | 4(18,2)   |                  |               |
| 127 | rs670637   | hsa-mir-3167            | MONOMORFICO |             |           |                  |               |
| 128 | rs67182313 | hsa-mir-4642            | AA          | 65(67,7)    | 16(76,2)  | 1                | 0,4368 dom    |
|     |            |                         | AG          | 28(29,2)    | 5(23,8)   | 0,66(0,22-1,95)  |               |
|     |            |                         | GG          | 3(3,1)      | 0(0,0)    |                  |               |
| 129 | rs6726779  | hsa-mir-4431            | TT          | 34(35,8)    | 12(63,2)  | 1                | 0,02722 codom |
|     |            |                         | CT          | 51(53,7)    | 4(21,1)   | 0,22(0,07-0,75)  |               |
|     |            |                         | CC          | 10(10,5)    | 3(15,8)   | 0,85(0,20-3,62)  |               |
| 130 | rs67339585 | MIR3910-1,<br>MIR3910-2 | FALLIDO     |             |           |                  |               |
| 131 | rs6787734  | hsa-mir-3135a           | FALLIDO     |             |           |                  |               |
| 132 | rs67976778 | hsa-mir-4305            | FALLIDO     |             |           |                  |               |
| 133 | rs68035463 | hsa-mir-3144            | CC          | 61(63,5)    | 18(85,7)  | 1                | 0,03721 dom   |
|     |            |                         | AC          | 31(32,3)    | 2(9,5)    | 0,29(0,08-1,06)  |               |
|     |            |                         | AA          | 4(4,2)      | 1(4,8)    |                  |               |

**Tabla anexa 8.** Resultados de SNPs en miRNAs en la población eslovena (continua).

|     | SNP        | Gen             | Genotipo    | N(%)control | N(%)casos | OR (95%IC)       | P            |
|-----|------------|-----------------|-------------|-------------|-----------|------------------|--------------|
| 134 | rs6841938  | hsa-mir-1255b-1 | FALLIDO     |             |           |                  |              |
| 135 | rs6977967  | hsa-mir-3683    | AA          | 67(69,8)    | 13(59,1)  | 1                | 0,3399 dom   |
|     |            |                 | AG          | 24(25,0)    | 8(36,4)   | 1,60(0,62-4,16)  |              |
|     |            |                 | GG          | 5(5,2)      | 1(4,5)    |                  |              |
| 136 | rs6997249  | hsa-mir-3686    | FALLIDO     |             |           |                  |              |
| 137 | rs701213   | hsa-mir-4427    | FALLIDO     |             |           |                  |              |
| 138 | rs702742   | hsa-mir-378h    | AA          | 87(90,6)    | 19(79,2)  | 1                | 0,1421 dom   |
|     |            |                 | AG          | 8(8,3)      | 5(20,8)   | 2,54(0,77-8,45)  |              |
|     |            |                 | GG          | 1(1,0)      | 0(0,0)    |                  |              |
| 139 | rs7070684  | hsa-mir-548aj-2 | FALLIDO     |             |           |                  |              |
| 140 | rs71363366 | hsa-mir-1283-2  | CC          | 84(89,4)    | 21(91,3)  | 0,77(92 cod-om)  |              |
|     |            |                 | CG          | 10(10,6)    | 2(8,7)    |                  |              |
|     |            |                 | GG          | 0(0,0)      | 0(0,0)    |                  |              |
| 141 | rs7205289  | hsa-mir-140     | MONOMORFICO |             |           |                  |              |
| 142 | rs7207008  | hsa-mir-2117    | TT          | 29(30,2)    | 7(26,9)   | 1                | 0,5579 rec   |
|     |            |                 | AT          | 43(44,8)    | 11(42,3)  | 1,33(0,51-3,46)  |              |
|     |            |                 | AA          | 24(25,0)    | 8(30,8)   |                  |              |
| 143 | rs7227168  | hsa-mir-4741    | CC          | 68(70,8)    | 18(75)    | 1                | 0,6825 codom |
|     |            |                 | CT          | 28(29,2)    | 6(25)     | 0,81(0,29-2,25)  |              |
|     |            |                 | TT          | 0(0,0)      | 0(0,0)    |                  |              |
| 144 | rs7247237  | hsa-mir-3188    | CC          | 43(45,3)    | 14(56,0)  | 0,66(0,31-1,40)  | 0,2726 log   |
|     |            |                 | CT          | 44(46,3)    | 10(40,0)  |                  |              |
|     |            |                 | TT          | 8(8,4)      | 1(4,0)    |                  |              |
| 145 | rs72502717 | hsa-mir-3689f   | FALLIDO     |             |           |                  |              |
| 146 | rs72631816 | hsa-mir-105-2   | FALLIDO     |             |           |                  |              |
| 147 | rs72631825 | hsa-mir-222     | FALLIDO     |             |           |                  |              |
| 148 | rs72631826 | hsa-mir-16-1    | MONOMORFICO |             |           |                  |              |
| 149 | rs72631827 | hsa-mir-106b    | MONOMORFICO |             |           |                  |              |
| 150 | rs72631831 | hsa-mir-323b    | MONOMORFICO |             |           |                  |              |
| 151 | rs72631833 | hsa-mir-183     | MONOMORFICO |             |           |                  |              |
| 152 | rs72646786 | hsa-mir-3972    | CC          | 70(72,9)    | 18(78,3)  | 1                | 0,3259 rec   |
|     |            |                 | CT          | 25(26,0)    | 4(17,4)   | 4,32(0,26-71,75) |              |
|     |            |                 | TT          | 1(1,0)      | 1(4,3)    |                  |              |
| 153 | rs72855836 | hsa-mir-3976    | GG          | 86(89,6)    | 20(83,3)  | 1                | 0,4120 dom   |
|     |            |                 | AG          | 8(8,3)      | 4(16,7)   | 1,72(0,49-6,05)  |              |
|     |            |                 | AA          | 2(2,1)      | 0(0,0)    |                  |              |
| 154 | rs72996752 | hsa-mir-4999    | FALLIDO     |             |           |                  |              |
| 155 | rs73112689 | hsa-mir-4459    | FALLIDO     |             |           |                  |              |
| 156 | rs7311975  | hsa-mir-1178    | TT          | 85(88,5)    | 22(95,7)  | 1                | 0,2672 dom   |
|     |            |                 | CT          | 10(10,4)    | 1(4,3)    | 0,35(0,04-2,87)  |              |
|     |            |                 | CC          | 1(1,0)      | 0(0,0)    |                  |              |
| 157 | rs73147065 | hsa-mir-647     | FALLIDO     |             |           |                  |              |
| 158 | rs73177830 | hsa-mir-4532    | FALLIDO     |             |           |                  |              |
| 159 | rs73235381 | hsa-mir-548h-4  | FALLIDO     |             |           |                  |              |
| 160 | rs73239138 | hsa-mir-1269a   | GG          | 50(52,1)    | 14(66,7)  | 1                | 0,2192 dom   |
|     |            |                 | AG          | 38(39,6)    | 6(28,6)   | 0,54(0,20-1,47)  |              |
|     |            |                 | AA          | 8(8,3)      | 1(4,8)    |                  |              |
| 161 | rs73410309 | hsa-mir-4739    | FALLIDO     |             |           |                  |              |
| 162 | rs74428911 | hsa-mir-4474    | GG          | 94(97,9)    | 25(100,0) | 1                | 1 codom      |
|     |            |                 | GT          | 2(2,1)      | 0(0,0)    | 00               |              |
|     |            |                 | TT          | 0(0,0)      | 0(0,0)    |                  |              |
| 163 | rs74469188 | hsa-mir-6504    | TT          | 78(82,1)    | 17(77,3)  | 1                | 0,6079 dom   |
|     |            |                 | CT          | 16(16,8)    | 5(22,7)   | 1,35(0,44-4,16)  |              |
|     |            |                 | CC          | 1(1,1)      | 0(0,0)    |                  |              |

**Tabla anexa 8.** Resultados de SNPs en miRNAs en la población eslovena (continua).

|     | SNP        | Gen           | Genotipo    | N(%)control | N(%)casos | OR (95%IC)       | P             |  |
|-----|------------|---------------|-------------|-------------|-----------|------------------|---------------|--|
| 164 | rs745666   | hsa-mir-3615  | CC          | 40(41,7)    | 12(48,0)  | 1                | 0,5699 dom    |  |
|     |            |               | CG          | 39(40,6)    | 9(36,0)   | 0,77(0,32-1,87)  |               |  |
|     |            |               | GG          | 17(17,7)    | 4(16,0)   |                  |               |  |
| 165 | rs74704964 | hsa-mir-518d  | CC          | 84(88,4)    | 22(91,7)  | 1                | 0,6392 codom  |  |
|     |            |               | CT          | 11(11,6)    | 2(8,3)    | 0,69(0,14-3,36)  |               |  |
|     |            |               | TT          | 0(0,0)      | 0(0,0)    |                  |               |  |
| 166 | rs74904371 | hsa-mir-2682  | CC          | 90(93,8)    | 23(92,0)  | 1                | 0,759 codom   |  |
|     |            |               | CT          | 6(6,2)      | 2(8,0)    | 1,3(0,25-6,89)   |               |  |
|     |            |               | TT          | 0(0,0)      | 0(0,0)    |                  |               |  |
| 167 | rs74949342 | hsa-mir-5702  | MONOMORFICO |             |           |                  |               |  |
| 168 | rs7500280  | hsa-mir-4719  | FALLIDO     |             |           |                  |               |  |
| 169 | rs75019967 | hsa-mir-4477a | MONOMORFICO |             |           |                  |               |  |
| 170 | rs7522956  | hsa-mir-4742  | AA          | 53(55,2)    | 15(68,2)  | 1                | 0,2609 dom    |  |
|     |            |               | AC          | 40(41,7)    | 6(27,3)   | 0,58(0,22-1,54)  |               |  |
|     |            |               | CC          | 3(3,1)      | 1(4,5)    |                  |               |  |
| 171 | rs75598818 | hsa-mir-520f  | GG          | 88(91,7)    | 23(100,0) | 1                | 0,3514 codom  |  |
|     |            |               | AG          | 8(8,3)      | 0(0,0)    | 00               |               |  |
|     |            |               | AA          | 0(0,0)      | 0(0,0)    |                  |               |  |
| 172 | rs75715827 | hsa-mir-944   | TT          | 85(88,5)    | 18(90,0)  | 1                | 0,8489 dom    |  |
|     |            |               | CT          | 9(9,4)      | 2(10,0)   | 0,86(0,18-4,21)  |               |  |
|     |            |               | CC          | 2(2,1)      | 0(0,0)    |                  |               |  |
| 173 | rs75966923 | hsa-mir-4298  | CC          | 89(92,7)    | 23(92,0)  | 1                | 0,9051 codom  |  |
|     |            |               | AC          | 7(7,3)      | 2(8,0)    | 1,11(0,22-5,68)  |               |  |
|     |            |               | AA          | 0(0,0)      | 0(0,0)    |                  |               |  |
| 174 | rs76481776 | hsa-mir-182   | CC          | 84(87,5)    | 22(91,7)  | 1                | 0,5556 dom    |  |
|     |            |               | CT          | 11(11,5)    | 2(8,3)    | 0,64(0,13-3,06)  |               |  |
|     |            |               | TT          | 1(1,0)      | 0(0,0)    |                  |               |  |
| 175 | rs76800617 | hsa-mir-4521  | AA          | 94(97,9)    | 21(100,0) | 1                | 1 codom       |  |
|     |            |               | AG          | 2(2,1)      | 0(0,0)    | 00               |               |  |
|     |            |               | GG          | 0(0,0)      | 0(0,0)    |                  |               |  |
| 176 | rs77055126 | hsa-mir-1303  | FALLIDO     |             |           |                  |               |  |
| 177 | rs7709117  | hsa-mir-4634  | AA          | 35(36,8)    | 7(28,0)   | 1                | 0,2147 rec    |  |
|     |            |               | AG          | 41(43,2)    | 10(40,0)  | 1,88(0,71-5,01)  |               |  |
|     |            |               | GG          | 19(20,0)    | 8(32,0)   |                  |               |  |
| 178 | rs77639117 | hsa-mir-576   | AA          | 93(96,9)    | 21(91,3)  | 3,12(0,70-13,86) | 0,1282 log    |  |
|     |            |               | AT          | 3(3,1)      | 1(4,3)    |                  |               |  |
|     |            |               | TT          | 0(0,0)      | 1(4,3)    |                  |               |  |
| 179 | rs78396863 | hsa-mir-4743  | GG          | 94(97,9)    | 24(100)   | 1                | 1 codom       |  |
|     |            |               | CG          | 2(2,1)      | 0(0)      | 00               |               |  |
|     |            |               | CC          | 0(0,0)      | 0(0)      |                  |               |  |
| 180 | rs78541299 | hsa-mir-6075  | MONOMORFICO |             |           |                  |               |  |
| 181 | rs78790512 | hsa-mir-6083  | GG          | 76(79,2)    | 20(83,3)  | 1                | 0,6425 dom    |  |
|     |            |               | AG          | 18(18,8)    | 4(16,7)   | 0,76(0,23-2,48)  |               |  |
|     |            |               | AA          | 2(2,1)      | 0(0,0)    |                  |               |  |
| 182 | rs78831152 | hsa-mir-4789  | CC          | 75(78,1)    | 18(90,0)  | 1                | 0,17358 codom |  |
|     |            |               | CT          | 19(19,8)    | 1(5,0)    | 0,22(0,03-1,75)  |               |  |
|     |            |               | TT          | 2(2,1)      | 1(5,0)    | 2,08(0,18-24,26) |               |  |
| 183 | rs78832554 | hsa-mir-4786  | GG          | 93(97,9)    | 25(100,0) | 1                | 1 codom       |  |
|     |            |               | AG          | 2(2,1)      | 0(0,0)    | 0(0-)            |               |  |
|     |            |               | AA          | 0(0,0)      | 0(0,0)    |                  |               |  |
| 184 | rs7896283  | hsa-mir-4481  | AA          | 28(29,5)    | 3(15,8)   | 1                | 0,2003 dom    |  |
|     |            |               | AG          | 45(47,4)    | 11(57,9)  | 2,23 (0,60-8,26) |               |  |
|     |            |               | GG          | 22(23,2)    | 5(26,3)   |                  |               |  |
| 185 | rs7911488  | hsa-mir-1307  | FALLIDO     |             |           |                  |               |  |

**Tabla anexa 8.** Resultados de SNPs en miRNAs en la población eslovena (continua).

|     | SNP             | Gen            | Genotipo    | N(%)control | N(%)casos | OR (95%IC)       | P             |
|-----|-----------------|----------------|-------------|-------------|-----------|------------------|---------------|
| 186 | rs79397096      | hsa-mir-597    | GG          | 93(96,9)    | 25(100,0) | 1                | 1 codom       |
|     |                 |                | AG          | 3(3,1)      | 0(0,0)    | 0(0-)            |               |
|     |                 |                | AA          | 0(0,0)      | 0(0,0)    |                  |               |
| 187 | rs79512808      | hsa-mir-3976   | TT          | 91(94,8)    | 25(100,0) | 1                | 0,5822 codom  |
|     |                 |                | GT          | 5(5,2)      | 0(0,0)    | 0(0-)            |               |
|     |                 |                | GG          | 0(0,0)      | 0(0,0)    |                  |               |
| 188 | rs80128580      | hsa-mir-5707   | GG          | 89(92,7)    | 21(91,3)  | 1                | 0,822 codom   |
|     |                 |                | AG          | 7(7,3)      | 2(8,7)    | 1,21(0,23-6,25)  |               |
|     |                 |                | AA          | 0(0,0)      | 0(0,0)    |                  |               |
| 189 | rs8054514       | hsa-mir-3176   | TT          | 74(77,9)    | 17(73,9)  | 1                | 0,1949 rec    |
|     |                 |                | GT          | 21(22,1)    | 5(21,7)   | 0                |               |
|     |                 |                | GG          | 0(0,0)      | 1(4,3)    |                  |               |
| 190 | rs8078913       | hsa-mir-4520a  | CC          | 28(32,2)    | 0(0,0)    | 1                | 0,2159 codom  |
|     |                 |                | CT          | 41(47,1)    | 0(0,0)    | 0                |               |
|     |                 |                | TT          | 18(20,7)    | 1(100,0)  |                  |               |
| 191 | rs832733        | hsa-mir-4698   | FALLIDO     |             |           |                  |               |
| 192 | rs850108        | hsa-mir-550a-3 | FALLIDO     |             |           |                  |               |
| 193 | rs8667          | hsa-mir-4751   | GG          | 33(34,7)    | 11(47,8)  | 1                | 0,2492 dom    |
|     |                 |                | AG          | 50(52,6)    | 8(34,8)   | 0,58(0,23-1,46)  |               |
|     |                 |                | AA          | 12(12,6)    | 4(17,4)   |                  |               |
| 194 | rs877722        | hsa-mir-4671   | AA          | 76(79,2)    | 20(87,0)  | 1                | 0,09984 codom |
|     |                 |                | AT          | 20(20,8)    | 2(8,7)    | 0,38(0,08-1,76)  |               |
|     |                 |                | TT          | 0(0,0)      | 1(4,3)    | 0                |               |
| 195 | rs895819        | mir-27a        | FALLIDO     |             |           |                  |               |
| 196 | rs897984        | hsa-mir-4519   | FALLIDO     |             |           |                  |               |
| 197 | rs9295535       | hsa-mir-5689   | FALLIDO     |             |           |                  |               |
| 198 | rs936581        | hsa-mir-3141   | GG          | 56(58,3)    | 12(50,0)  | 1                | 0,4627 dom    |
|     |                 |                | AG          | 30(31,2)    | 9(37,5)   | 1,40(0,57-3,43)  |               |
|     |                 |                | AA          | 10(10,4)    | 3(12,5)   |                  |               |
| 199 | rs9842591       | hsa-mir-5186   | CC          | 28(29,2)    | 8(34,8)   | 1                | 0,3745 rec    |
|     |                 |                | AC          | 51(53,1)    | 9(39,1)   | 1,64(0,56-4,77)  |               |
|     |                 |                | AA          | 17(17,7)    | 6(26,1)   |                  |               |
| 200 | rs9877402       | hsa-mir-5680   | AA          | 88(93,6)    | 17(85,0)  | 1                | 0,02950 rec   |
|     |                 |                | AG          | 6(6,4)      | 1(5,0)    | 0                |               |
|     |                 |                | GG          | 0(0,0)      | 2(10,0)   |                  |               |
| 201 | rs9913045       | hsa-mir-548h-3 | FALLIDO     |             |           |                  |               |
| 202 | seq_rs11048315  | MIR4302        | GG          | 71(74,7)    | 19(76,0)  | 1                | 0,8382 rec    |
|     |                 |                | AG          | 21(22,1)    | 5(20,0)   | 1,28(0,13-12,84) |               |
|     |                 |                | AA          | 3(3,2)      | 1(4,0)    |                  |               |
| 203 | seq_rs111803974 | MIR3908        | FALLIDO     |             |           |                  |               |
| 204 | seq_rs111906529 | MIR299, MIR380 | TT          | 94(97,9)    | 24(96,0)  | 1                | 0,2066 rec    |
|     |                 |                | CT          | 2(2,1)      | 0(0,0)    | 0                |               |
|     |                 |                | CC          | 0(0,0)      | 1(4,0)    |                  |               |
| 205 | seq_rs112328520 | MIR520G        | CC          | 82(85,4)    | 24(100)   | 1                | 0,06972 codom |
|     |                 |                | CT          | 14(14,6)    | 0(0)      | 00               |               |
|     |                 |                | TT          |             |           |                  |               |
| 206 | seq_rs11269     | mir-1282       | MONOMORFICO |             |           |                  |               |
| 207 | seq_rs113808830 | MIR4532        | CC          | 70(73,7)    | 18(85,7)  | 1                | 0,2222 dom    |
|     |                 |                | CT          | 24(25,3)    | 3(14,3)   | 0,47(0,13-1,72)  |               |
|     |                 |                | TT          | 1(1,1)      | 0(0,0)    |                  |               |
| 208 | seq_rs116932476 | hsa-mir-4479   | GG          | 92(97,9)    | 22(100)   | 1                | 1 codom       |
|     |                 |                | AG          | 2(2,1)      | 0(0,0)    | 00               |               |
|     |                 |                | AA          | 0(0,0)      | 0(0,0)    |                  |               |

**Tabla anexa 8.** Resultados de SNPs en miRNAs en la población eslovena (continua).

|     | SNP             | Gen          | Genotipo | N(%)control | N(%)casos | OR (95%IC)      | P            |
|-----|-----------------|--------------|----------|-------------|-----------|-----------------|--------------|
| 209 | seq_rs117258475 | MIR296       | GG       | 94(97,9)    | 24(100)   | 1               | 1 codom      |
|     |                 |              | AG       | 2(2,1)      | 0(0,0)    | 00              |              |
|     |                 |              | AA       | 0(0,0)      | 0(0,0)    |                 |              |
| 210 | seq_rs117650137 | hsa-mir-6717 | GG       | 89(92,7)    | 22(88,0)  | 1               | 0,4654 codom |
|     |                 |              | AG       | 7(7,3)      | 3(12,0)   | 1,73(0,41-7,25) |              |
|     |                 |              | AA       | 0(0,0)      | 0(0,0)    |                 |              |
| 211 | seq_rs117723462 | MIR3649      | TT       | 96(100)     | 23(95,8)  | 1               | 0,2 codom    |
|     |                 |              | GT       | 0(0,0)      | 1(4,2)    | 0               |              |
|     |                 |              | GG       | 0(0,0)      | 0(0,0)    |                 |              |
| 212 | seq_rs163642    | MIR4436B2    | FALLIDO  |             |           |                 |              |
| 213 | seq_rs62571442  | MIR3689      | AA       | 30(31,2)    | 5(23,8)   | 1               | 0,1210 rec   |
|     |                 |              | AG       | 56(58,3)    | 11(52,4)  | 2,69(0,81-8,91) |              |
|     |                 |              | GG       | 10(10,4)    | 5(23,8)   |                 |              |

**Tabla anexa 9.** Resultados de SNPs en miRNAs en las poblaciones española y eslovena (continua).

|    | SNP        | Gen             | Genotipo    | N(%)control | N(%)casos | OR (95%IC)       | P             |
|----|------------|-----------------|-------------|-------------|-----------|------------------|---------------|
| 1  | rs10061133 | hsa-mir-449b    | AA          | 212(82,8)   | 74(81,3)  | 1                | 0,749 codom   |
|    |            |                 | AG          | 44(17,2)    | 17(18,7)  | 1,11(0,6-2,06)   |               |
|    |            |                 | GG          |             |           |                  |               |
| 2  | rs10173558 | mir-1302-4      | TT          | 198(77,3)   | 70(75,3)  | 1,12(0,67-1,89)  | 0,6636 log    |
|    |            |                 | CT          | 56(21,9)    | 22(23,7)  |                  |               |
|    |            |                 | CC          | 2(0,8)      | 1(1,1)    |                  |               |
| 3  | rs10406069 | hsa-mir-5196    | GG          | 171(67,3)   | 57(62,6)  | 1                | 0,1075 rec    |
|    |            |                 | AG          | 72(28,3)    | 33(36,3)  | 0,25(0,03-1,93)  |               |
|    |            |                 | AA          | 11(4,3)     | 1(1,1)    | (-)              |               |
| 4  | rs10422347 | hsa-mir-4745    | CC          | 218(85,8)   | 68(74,7)  | 1,83(1,04-3,20)  | 0,02160 log   |
|    |            |                 | CT          | 34(13,4)    | 23(25,3)  |                  |               |
|    |            |                 | TT          | 2(0,8)      | 0(0,0)    |                  |               |
| 5  | rs10461441 | hsa-mir-548ae-2 | FALLIDO     |             |           |                  | 0,11281 codom |
|    |            |                 |             |             |           |                  |               |
| 6  | rs10505168 | hsa-mir-2053    | AA          | 123(48,2)   | 36(40,4)  | 1                | 0,11281 codom |
|    |            |                 | AG          | 107(42,0)   | 48(53,9)  | 1,53(0,93-2,54)  |               |
|    |            |                 | GG          | 25(9,8)     | 5(5,6)    | 0,68(0,24-1,91)  |               |
| 7  | rs1055070  | hsa-mir-4700    | TT          | 227(88,7)   | 83(91,2)  | 1                | 0,4928 codom  |
|    |            |                 | GT          | 29(11,3)    | 8(8,8)    | 0,75(0,33-1,72)  |               |
|    |            |                 | GG          | 0(0,0)      | 0(0,0)    |                  |               |
| 8  | rs1077020  | hsa-mir-943     | FALLIDO     |             |           |                  |               |
|    |            |                 |             |             |           |                  |               |
| 9  | rs10878362 | hsa-mir-6074    | FALLIDO     |             |           |                  |               |
|    |            |                 |             |             |           |                  |               |
| 10 | rs10934682 | hsa-mir-544b    | TT          | 182(71,1)   | 66(71,7)  | 1                | 0,2387 rec    |
|    |            |                 | GT          | 69(27,0)    | 22(23,9)  | 2,28(0,60-8,69)  |               |
|    |            |                 | GG          | 5(2,0)      | 4(4,3)    | (-)              |               |
| 11 | rs11014002 | hsa-mir-603     | FALLIDO     |             |           |                  |               |
|    |            |                 |             |             |           |                  |               |
| 12 | rs11032942 | hsa-mir-1343    | FALLIDO     |             |           |                  |               |
|    |            |                 |             |             |           |                  |               |
| 13 | rs11156654 | mir-624         | TT          | 150(58,8)   | 54(59,3)  | 1                | 0,5516 rec    |
|    |            |                 | AT          | 85(33,3)    | 28(30,8)  | 1,29(0,56-2,95)  |               |
|    |            |                 | AA          | 20(7,8)     | 9(9,9)    |                  |               |
| 14 | rs11237828 | hsa-mir-5579    | FALLIDO     |             |           |                  |               |
|    |            |                 |             |             |           |                  |               |
| 15 | rs11259096 | hsa-mir-1265    | TT          | 231(90,6)   | 86(93,5)  | 1                | 0,385 codom   |
|    |            |                 | CT          | 24(9,4)     | 6(6,5)    | 0,67(0,27-1,7)   |               |
|    |            |                 | CC          | 0(0,0)      | 0(0,0)    |                  |               |
| 16 | rs11614913 | hsa-mir-196a-2  | CC          | 99(38,7)    | 35(38,0)  | 1,02(0,72-1,45)  | 0,8954 log    |
|    |            |                 | CT          | 122(47,7)   | 44(47,8)  |                  |               |
|    |            |                 | TT          | 35(13,7)    | 13(14,1)  |                  |               |
| 17 | rs11651671 | hsa-mir-548at   | FALLIDO     |             |           |                  |               |
|    |            |                 |             |             |           |                  |               |
| 18 | rs11713052 | hsa-mir-5092    | CC          | 240(93,8)   | 87(95,6)  | 1                | 0,5029 codom  |
|    |            |                 | CG          | 16(6,2)     | 4(4,4)    | 0,69(0,22-2,12)  |               |
|    |            |                 | GG          | 0(0,0)      | 0(0,0)    |                  |               |
| 19 | rs11714172 | hsa-mir-4792    | TT          | 111(43,5)   | 35(38,5)  | 1,22(0,86-1,72)  | 0,2643 log    |
|    |            |                 | GT          | 113(44,3)   | 41(45,1)  |                  |               |
|    |            |                 | GG          | 31(12,2)    | 15(16,5)  |                  |               |
| 20 | rs11907020 | hsa-mir-3192    | MONOMORFICO |             |           |                  |               |
|    |            |                 |             |             |           |                  |               |
| 21 | rs11983381 | hsa-mir-4653    | AA          | 182(71,1)   | 63(70,8)  | 1                | 0,1385 rec    |
|    |            |                 | AG          | 70(27,3)    | 22(24,7)  | 2,96(0,73-12,11) |               |
|    |            |                 | GG          | 4(1,6)      | 4(4,5)    |                  |               |
| 22 | rs12197631 | hsa-mir-548a-1  | FALLIDO     |             |           |                  |               |
|    |            |                 |             |             |           |                  |               |
| 23 | rs12355840 | hsa-mir-202     | TT          | 179(70,5)   | 27(71,1)  | 1                | 0,3222rec     |
|    |            |                 | CT          | 59(23,2)    | 10(26,3)  | 0,40(0,05-3,12)  |               |
|    |            |                 | CC          | 16(6,3)     | 1(2,6)    |                  |               |
| 24 | rs12402181 | hsa-mir-202     | GG          | 196(76,6)   | 66(72,5)  | 1                | 0,4458 dom    |
|    |            |                 | AG          | 57(22,3)    | 24(26,4)  | 1,24(0,72-2,13)  |               |
|    |            |                 | AA          | 3(1,2)      | 1(1,1)    |                  |               |
| 25 | rs12451747 | hsa-mir-1269b   | FALLIDO     |             |           |                  |               |

**Tabla anexa 9.** Resultados de SNPs en miRNAs en las poblaciones española y eslovena (continua).

|    | SNP        | Gen           | Genotipo | N(%control) | N(%casos) | OR (95%IC)      | P             |
|----|------------|---------------|----------|-------------|-----------|-----------------|---------------|
| 26 | rs12456845 | hsa-mir-4744  | TT       | 239(93,7)   | 84(90,3)  | 1               | 0,2905 codom  |
|    |            |               | CT       | 16(6,3)     | 9(9,7)    | 1,6(0,68-3,76)  |               |
|    |            |               | CC       | 0(0,0)      | 0(0,0)    |                 |               |
| 27 | rs12473206 | hsa-mir-4433  | FALLIDO  |             |           |                 |               |
| 28 | rs12512664 | hsa-mir-4274  | AA       | 130(50,8)   | 44(48,4)  | 1,20(0,83-1,73) | 0,3409 log    |
|    |            |               | AG       | 108(42,2)   | 36(39,6)  |                 |               |
|    |            |               | GG       | 18(7,0)     | 11(12,1)  |                 |               |
| 29 | rs12523324 | hsa-mir-4277  | FALLIDO  |             |           |                 |               |
| 30 | rs12780876 | hsa-mir-4293  | TT       | 115(45,3)   | 50(55,6)  | 1               | 0,09341 dom   |
|    |            |               | AT       | 116(45,7)   | 33(36,7)  | 0,66(0,41-1,07) |               |
|    |            |               | AA       | 23(9,1)     | 7(7,8)    |                 |               |
| 31 | rs12803915 | hsa-mir-612   | GG       | 184(71,9)   | 54(61,4)  | 1               | 0,10542 codom |
|    |            |               | AG       | 63(24,6)    | 32(36,4)  | 1,73(1,03-2,92) |               |
|    |            |               | AA       | 9(3,5)      | 2(2,3)    | 0,76(0,16-3,61) |               |
| 32 | rs12879262 | hsa-mir-4309  | GG       | 188(73,7)   | 55(60,4)  | 1,52(0,96-2,40) | 0,009763 log  |
|    |            |               | CG       | 61(23,9)    | 36(39,6)  |                 |               |
|    |            |               | CC       | 6(2,4)      | 0(0,0)    |                 |               |
| 33 | rs12894467 | hsa-mir-300   | CC       | 99(38,7)    | 26(28,0)  | 1,57(1,11-2,22) | 0,01029 log   |
|    |            |               | CT       | 124(48,4)   | 45(48,4)  |                 |               |
|    |            |               | TT       | 33(12,9)    | 22(23,7)  |                 |               |
| 34 | rs13186787 | hsa-mir-1294  | FALLIDO  |             |           |                 |               |
| 35 | rs13299349 | hsa-mir-3152  | GG       | 107(42,0)   | 14(35,0)  | 1               | 0,4018 dom    |
|    |            |               | AG       | 110(43,1)   | 19(47,5)  | 1,34(0,67-2,69) |               |
|    |            |               | AA       | 38(14,9)    | 7(17,5)   |                 |               |
| 36 | rs1414273  | hsa-mir-548ac | FALLIDO  |             |           |                 |               |
| 37 | rs1439619  | hsa-mir-3175  | CC       | 68(26,6)    | 13(31,0)  | 0,87(0,56-1,37) | 0,5567 log    |
|    |            |               | AC       | 120(46,9)   | 19(45,2)  |                 |               |
|    |            |               | AA       | 68(26,6)    | 10(23,8)  |                 |               |
| 38 | rs1572687  | hsa-mir-5007  | CC       | 71(27,8)    | 28(31,1)  | 1               | 0,5577 dom    |
|    |            |               | CT       | 129(50,6)   | 44(48,9)  | 0,85(0,51-1,44) |               |
|    |            |               | TT       | 55(21,6)    | 18(20,0)  |                 |               |
| 39 | rs1683709  | hsa-mir-3612  | CC       | 167(65,2)   | 63(68,5)  | 1               | 0,5714 dom    |
|    |            |               | CT       | 78(30,5)    | 25(27,2)  | 0,86(0,52-1,44) |               |
|    |            |               | TT       | 11(4,3)     | 4(4,3)    |                 |               |
| 40 | rs17022749 | hsa-mir-5700  | FALLIDO  |             |           |                 |               |
| 41 | rs17091403 | hsa-mir-2110  | CC       | 213(83,2)   | 81(85,3)  | 0,86(0,48-1,54) | 0,6039 log    |
|    |            |               | CT       | 39(15,2)    | 13(13,7)  |                 |               |
|    |            |               | TT       | 4(1,6)      | 1(1,1)    |                 |               |
| 42 | rs17111728 | hsa-mir-4422  | TT       | 219(85,5)   | 80(87,9)  | 0,90(0,46-1,79) | 0,2066 log    |
|    |            |               | CT       | 37(14,5)    | 10(11,0)  |                 |               |
|    |            |               | CC       | 0(0,0)      | 1(1,1)    |                 |               |
| 43 | rs174561   | mir-1908      | FALLIDO  |             |           |                 |               |
| 44 | rs17737028 | hsa-mir-3143  | AA       | 252(98,4)   | 92(97,9)  | 1               | 0,724 codom   |
|    |            |               | AG       | 4(1,6)      | 2(2,1)    | 1,37(0,25-7,6)  |               |
|    |            |               | GG       | 0(0,0)      | 0(0,0)    |                 |               |
| 45 | rs17759989 | hsa-mir-633   | AA       | 244(95,3)   | 87(95,6)  | 1               | 0,9088 codom  |
|    |            |               | AG       | 12(4,7)     | 4(4,4)    | 0,93(0,29-2,98) |               |
|    |            |               | GG       | 0(0,0)      | 0(0,0)    |                 |               |
| 46 | rs17797090 | hsa-mir-3652  | GG       | 209(81,6)   | 73(80,2)  | 0,99(0,57-1,74) | 0,5784 log    |
|    |            |               | AG       | 43(16,8)    | 18(19,8)  |                 |               |
|    |            |               | AA       | 4(1,6)      | 0(0,0)    |                 |               |
| 47 | rs17885221 | hsa-mir-4733  | CC       | 240(94,1)   | 86(93,5)  | 1               | 0,8268 codom  |
|    |            |               | CT       | 15(5,9)     | 6(6,5)    | 1,12(0,42-2,97) |               |
|    |            |               | TT       | 0(0,0)      | 0(0,0)    |                 |               |
| 48 | rs2042253  | hsa-mir-5197  | AA       | 145(56,9)   | 59(63,4)  | 1               | 0,07623 rec   |
|    |            |               | AG       | 98(38,4)    | 33(35,5)  | 0,22(0,03-1,71) |               |
|    |            |               | GG       | 12(4,7)     | 1(1,1)    |                 |               |

**Tabla anexa 9.** Resultados de SNPs en miRNAs en las poblaciones española y eslovena (continua).

|    | SNP        | Gen            | Genotipo | N(%control) | N(%casos) | OR (95%IC)                          | P             |
|----|------------|----------------|----------|-------------|-----------|-------------------------------------|---------------|
| 49 | rs2043556  | hsa-mir-605    | AA       | 161(62,9)   | 58(65,9)  | 1<br>1,34(0,45-3,97)                | 0,6022 rec    |
|    |            |                | AG       | 84(32,8)    | 25(28,4)  |                                     |               |
|    |            |                | GG       | 11(4,3)     | 5(5,7)    |                                     |               |
| 50 | rs2060455  | hsa-mir-4511   | FALLIDO  |             |           |                                     |               |
| 51 | rs2070960  | hsa-mir-3620   | CC       | 216(85,0)   | 74(82,2)  | 1,45(0,82-2,57)<br>1,10(0,60-2,02)  | 0,03528 log   |
|    |            |                | CT       | 38(15,0)    | 13(14,4)  |                                     |               |
|    |            |                | TT       | 0(0,0)      | 3(3,3)    |                                     |               |
| 52 | rs2114358  | hsa-mir-1206   | TT       | 89(35,0)    | 33(35,9)  | 1<br>1,10(0,60-2,02)                | 0,7592 rec    |
|    |            |                | CT       | 119(46,9)   | 41(44,6)  |                                     |               |
|    |            |                | CC       | 46(18,1)    | 18(19,6)  |                                     |               |
| 53 | rs215383   | hsa-mir-4494   | GG       | 177(69,4)   | 69(74,2)  | 0,78(0,48-1,28)<br>0,89(0,32-2,53)  | 0,3159 log    |
|    |            |                | AG       | 72(28,2)    | 23(24,7)  |                                     |               |
|    |            |                | AA       | 6(2,4)      | 1(1,1)    |                                     |               |
| 54 | rs2241347  | hsa-mir-3130-1 | FALLIDO  |             |           |                                     |               |
| 55 | rs2273626  | hsa-mir-4707   | CC       | 177(69,4)   | 69(74,2)  | 0,78(0,48-1,28)<br>8,60(0,88-83,70) | 0,3159 log    |
|    |            |                | AC       | 72(28,2)    | 23(24,7)  |                                     |               |
|    |            |                | AA       | 6(2,4)      | 1(1,1)    |                                     |               |
| 56 | rs2289030  | hsa-mir-492    | CC       | 211(82,4)   | 79(85,9)  | 1<br>8,60(0,88-83,70)               | 0,04152 rec   |
|    |            |                | CG       | 44(17,2)    | 10(10,9)  |                                     |               |
|    |            |                | GG       | 1(0,4)      | 3(3,3)    |                                     |               |
| 57 | rs2291418  | hsa-mir-1229   | CC       | 241(94,1)   | 90(94,7)  | 1<br>0,89(0,32-2,53)                | 0,8292 dom    |
|    |            |                | CT       | 14(5,5)     | 5(5,3)    |                                     |               |
|    |            |                | TT       | 1(0,4)      | 0(0,0)    |                                     |               |
| 58 | rs2292181  | hsa-mir-564    | GG       | 229(89,5)   | 84(90,3)  | 1<br>0,91(0,41-2,01)                | 0,8123 dom    |
|    |            |                | CG       | 26(10,2)    | 9(9,7)    |                                     |               |
|    |            |                | CC       | 1(0,4)      | 0(0,0)    |                                     |               |
| 59 | rs2292832  | hsa-mir-149    | FALLIDO  |             |           |                                     |               |
| 60 | rs2368392  | hsa-mir-604    | CC       | 130(51,0)   | 50(53,8)  | 1<br>0,89(0,56-1,44)                | 0,6456 dom    |
|    |            |                | CT       | 104(40,8)   | 35(37,6)  |                                     |               |
|    |            |                | TT       | 21(8,2)     | 8(8,6)    |                                     |               |
| 61 | rs243080   | hsa-mir-4432   | CC       | 79(31,0)    | 33(37,1)  | 1<br>0,58(0,33-1,02)                | 0,03137 codom |
|    |            |                | CT       | 131(51,4)   | 32(36,0)  |                                     |               |
|    |            |                | TT       | 45(17,6)    | 24(27,0)  |                                     |               |
| 62 | rs257095   | hsa-mir-4636   | AA       | 191(74,6)   | 74(80,4)  | 0,74(0,45-1,23)<br>1,28(0,67-2,42)  | 0,2376 log    |
|    |            |                | AG       | 56(21,9)    | 16(17,4)  |                                     |               |
|    |            |                | GG       | 9(3,5)      | 2(2,2)    |                                     |               |
| 63 | rs2648841  | hsa-mir-1208   | CC       | 199(78,3)   | 75(80,6)  | 1<br>1,84(0,30-11,18)               | 0,5193 rec    |
|    |            |                | AC       | 52(20,5)    | 16(17,2)  |                                     |               |
|    |            |                | AA       | 3(1,2)      | 2(2,2)    |                                     |               |
| 64 | rs2663345  | hsa-mir-3183   | FALLIDO  |             |           |                                     |               |
| 65 | rs266435   | hsa-mir-4804   | CC       | 197(77,3)   | 69(76,7)  | 1<br>5,77(0,52-64,44)               | 0,1395 rec    |
|    |            |                | CG       | 57(22,4)    | 19(21,1)  |                                     |               |
|    |            |                | GG       | 1(0,4)      | 2(2,2)    |                                     |               |
| 66 | rs2682818  | hsa-mir-618    | CC       | 195(76,5)   | 70(78,7)  | 0,88(0,52-1,51)<br>1,28(0,67-2,42)  | 0,6418 log    |
|    |            |                | AC       | 56(22,0)    | 18(20,2)  |                                     |               |
|    |            |                | AA       | 4(1,6)      | 1(1,1)    |                                     |               |
| 67 | rs28477407 | hsa-mir-4308   | CC       | 213(83,2)   | 81(86,2)  | 1<br>5,54(0,50-61,86)               | 0,1487 rec    |
|    |            |                | CT       | 42(16,4)    | 11(11,7)  |                                     |               |
|    |            |                | TT       | 1(0,4)      | 2(2,1)    |                                     |               |
| 68 | rs28645567 | hsa-mir-378d-1 | GG       | 244(95,7)   | 89(96,7)  | 1<br>0,75(0,2-2,74)                 | 0,653 codom   |
|    |            |                | AG       | 11(4,3)     | 3(3,3)    |                                     |               |
|    |            |                | AA       | 0(0,0)      | 0(0,0)    |                                     |               |
| 69 | rs28655823 | hsa-mir-4472-1 | GG       | 169(74,8)   | 69(75,8)  | 1<br>1,51(0,35-6,44)                | 0,5872 rec    |
|    |            |                | CG       | 52(23,0)    | 19(20,9)  |                                     |               |
|    |            |                | CC       | 5(2,2)      | 3(3,3)    |                                     |               |
| 70 | rs28664200 | hsa-mir-1255a  | TT       | 137(54,6)   | 13(39,4)  | 1,91(1,08-3,36)<br>0,02693 log      | 0,02693 log   |
|    |            |                | CT       | 102(40,6)   | 15(45,5)  |                                     |               |
|    |            |                | CC       | 12(4,8)     | 5(15,2)   |                                     |               |

**Tabla anexa 9.** Resultados de SNPs en miRNAs en las poblaciones española y eslovena (continua).

|    | SNP        | Gen           | Genotipo    | N(%)control | N(%)casos | OR (95%IC)                              | P              |  |  |
|----|------------|---------------|-------------|-------------|-----------|---|----------------|--|--|
| 71 | rs2910164  | hsa-mir-146a  | GG          | 144(56,2)   | 64(68,8)  | 1<br>0,58(0,35-0,96)                    | 0,03254 dom    |  |  |
|    |            |               | CG          | 96(37,5)    | 23(24,7)  |   |                |  |  |
|    |            |               | CC          | 16(6,2)     | 6(6,5)    |   |                |  |  |
| 72 | rs2967897  | hsa-mir-5695  | MONOMORFICO |             |           |   |                |  |  |
| 73 | rs3112399  | hsa-mir-4803  | TT          | 84(32,9)    | 22(24,7)  | 1<br>1,50(0,86-2,59)                    | 0,1425 dom     |  |  |
|    |            |               | AT          | 109(42,7)   | 47(52,8)  |   |                |  |  |
|    |            |               | AA          | 62(24,3)    | 20(22,5)  |   |                |  |  |
| 74 | rs34115976 | hsa-mir-577   | CC          | 164(64,1)   | 66(72,5)  | 1<br>0,68(0,40-1,14)                    | 0,1378 dom     |  |  |
|    |            |               | CG          | 79(30,9)    | 21(23,1)  |   |                |  |  |
|    |            |               | GG          | 13(5,1)     | 4(4,4)    |   |                |  |  |
| 75 | rs35196866 | hsa-mir-4669  | FALLIDO     |             |           |   |                |  |  |
| 76 | rs356125   | hsa-mir-2278  | GG          | 225(87,9)   | 90(94,7)  | 1<br>0,40(0,15-1,07)                    | 0,04597 dom    |  |  |
|    |            |               | AG          | 30(11,7)    | 5(5,3)    |   |                |  |  |
|    |            |               | AA          | 1(0,4)      | 0(0,0)    |   |                |  |  |
| 77 | rs35613341 | hsa-mir-5189  | CC          | 121(47,3)   | 54(60)    | 1<br>0,41(0,23-0,75)<br>1,09(0,57-2,08) | 0,004786 codom |  |  |
|    |            |               | CG          | 98(38,3)    | 18(20)    |   |                |  |  |
|    |            |               | GG          | 37(14,5)    | 18(20)    |   |                |  |  |
| 78 | rs35650931 | hsa-mir-6076  | GG          | 203(79,6)   | 78(82,1)  | 1<br>0,00(0,00-)                        | 0,5778 rec     |  |  |
|    |            |               | CG          | 48(18,8)    | 17(17,9)  |   |                |  |  |
|    |            |               | CC          | 4(1,6)      | 0(0,0)    |   |                |  |  |
| 79 | rs35770269 | hsa-mir-449c  | AA          | 103(40,4)   | 42(46,7)  | 0,78(0,54-1,11)                         | 0,1644 log     |  |  |
|    |            |               | AT          | 116(45,5)   | 40(44,4)  |   |                |  |  |
|    |            |               | TT          | 36(14,1)    | 8(8,9)    |   |                |  |  |
| 80 | rs35854553 | hsa-mir-3166  | AA          | 222(87,1)   | 39(90,7)  | 1<br>3,01(0,27-33,96)                   | 0,4079 rec     |  |  |
|    |            |               | AT          | 31(12,2)    | 3(7,0)    |   |                |  |  |
|    |            |               | TT          | 2(0,8)      | 1(2,3)    |   |                |  |  |
| 81 | rs367805   | hsa-mir-3936  | GG          | 118(46,3)   | 47(53,4)  | 1<br>0,75(0,46-1,22)                    | 0,2482 dom     |  |  |
|    |            |               | AG          | 107(42,0)   | 30(34,1)  |   |                |  |  |
|    |            |               | AA          | 30(11,8)    | 11(12,5)  |   |                |  |  |
| 82 | rs3734050  | hsa-mir-6499  | CC          | 235(91,8)   | 79(87,8)  | 1<br>1,56(0,72-3,37)                    | 0,2704 codom   |  |  |
|    |            |               | CT          | 21(8,2)     | 11(12,2)  |   |                |  |  |
|    |            |               | TT          | 0(0,0)      | 0(0,0)    |   |                |  |  |
| 83 | rs3746444  | hsa-mir-499a  | TT          | 170(66,4)   | 65(69,9)  | 1<br>1,76(0,56-5,53)                    | 0,3439 rec     |  |  |
|    |            |               | CT          | 78(30,5)    | 23(24,7)  |   |                |  |  |
|    |            |               | CC          | 8(3,1)      | 5(5,4)    |   |                |  |  |
| 84 | rs3823658  | hsa-mir-5090  | GG          | 186(72,7)   | 70(75,3)  | 1<br>0,8(7 0,5-1 1,51)                  | 0,6237 dom     |  |  |
|    |            |               | AG          | 66(25,8)    | 21(22,6)  |   |                |  |  |
|    |            |               | AA          | 4(1,6)      | 2(2,2)    |   |                |  |  |
| 85 | rs4112253  | hsa-mir-4751  | CC          | 103(40,2)   | 46(52,3)  | 0,67(0,46-0,98)                         | 0,03452 log    |  |  |
|    |            |               | CG          | 119(46,5)   | 35(39,8)  |   |                |  |  |
|    |            |               | GG          | 34(13,3)    | 7(8,0)    |   |                |  |  |
| 86 | rs41274239 | hsa-mir-96    | MONOMORFICO |             |           |   |                |  |  |
| 87 | rs41274312 | hsa-mir-187   | GG          | 252(98,8)   | 90(97,8)  | 1<br>1,87(0,31-11,35)                   | 0,5094 codom   |  |  |
|    |            |               | AG          | 3(1,2)      | 2(2,2)    |   |                |  |  |
|    |            |               | AA          | 0(0,0)      | 0(0,0)    |   |                |  |  |
| 88 | rs41286570 | hsa-mir-154   | MONOMORFICO |             |           |   |                |  |  |
| 89 | rs41291179 | hsa-mir-216a  | AA          | 230(89,8)   | 88(94,6)  | 1<br>0,5(0,19-1,35)                     | 0,1457 codom   |  |  |
|    |            |               | AT          | 26(10,2)    | 5(5,4)    |   |                |  |  |
|    |            |               | TT          | 0(0,0)      | 0(0,0)    |   |                |  |  |
| 90 | rs41292412 | hsa-mir-122   | MONOMORFICO |             |           |   |                |  |  |
| 91 | rs4285314  | hsa-mir-3135b | FALLIDO     |             |           |   |                |  |  |
| 92 | rs4414449  | hsa-mir-548ap | TT          | 60(35,3)    | 24(36,9)  | 1<br>0,79(0,37-1,66)                    | 0,5217 rec     |  |  |
|    |            |               | CT          | 75(44,1)    | 30(46,2)  |   |                |  |  |
|    |            |               | CC          | 35(20,6)    | 11(16,9)  |   |                |  |  |
| 93 | rs45530340 | hsa-mir-6084  | MONOMORFICO |             |           |   |                |  |  |

**Tabla anexa 9.** Resultados de SNPs en miRNAs en las poblaciones española y eslovena (continua).

|     | SNP        | Gen            | Genotipo | N(%control) | N(%casos) | OR (95%IC)                           | P             |  |  |
|-----|------------|----------------|----------|-------------|-----------|--------------------------------------|---------------|--|--|
| 94  | rs4577031  | hsa-mir-548ap  | AA       | 88(34,4)    | 35(37,6)  | 0,89(0,63-1,27)                      | 0,5218 log    |  |  |
|     |            |                | AT       | 127(49,6)   | 45(48,4)  |                                      |               |  |  |
|     |            |                | TT       | 41(16,0)    | 13(14,0)  |                                      |               |  |  |
| 95  | rs4674470  | hsa-mir-4268   | TT       | 151(59,2)   | 67(75,3)  | 1<br>0,48(0,28-0,82)                 | 0,005698 dom  |  |  |
|     |            |                | CT       | 87(34,1)    | 19(21,3)  |                                      |               |  |  |
|     |            |                | CC       | 17(6,7)     | 3(3,4)    |                                      |               |  |  |
| 96  | rs4809383  | hsa-mir-941-1  | CC       | 192(75,9)   | 31(72,1)  | 1<br>4,07(0,66-25,07)                | 0,1601 rec    |  |  |
|     |            |                | CT       | 58(22,9)    | 10(23,3)  |                                      |               |  |  |
|     |            |                | TT       | 3(1,2)      | 2(4,7)    |                                      |               |  |  |
| 97  | rs4822739  | hsa-mir-548j   | CC       | 227(88,7)   | 84(90,3)  | 1<br>0,84(0,38-1,85)                 | 0,6581 codom  |  |  |
|     |            |                | CG       | 29(11,3)    | 9(9,7)    |                                      |               |  |  |
|     |            |                | GG       | 0(0,0)      | 0(0,0)    |                                      |               |  |  |
| 98  | rs487571   | hsa-mir-5680   | FALLIDO  |             |           |                                      |               |  |  |
| 99  | rs4909237  | hsa-mir-595    | CC       | 177(69,1)   | 66(71,0)  | 1<br>1,39(0,41-4,74)                 | 0,6023 rec    |  |  |
|     |            |                | CT       | 71(27,7)    | 23(24,7)  |                                      |               |  |  |
|     |            |                | TT       | 8(3,1)      | 4(4,3)    |                                      |               |  |  |
| 100 | rs4919510  | hsa-mir-608    | CC       | 171(66,8)   | 65(69,9)  | 1<br>0,87(0,52-1,45)                 | 0,5832 dom    |  |  |
|     |            |                | CG       | 79(30,9)    | 26(28,0)  |                                      |               |  |  |
|     |            |                | GG       | 6(2,3)      | 2(2,2)    |                                      |               |  |  |
| 101 | rs515924   | hsa-mir-548al  | AA       | 206(80,8)   | 71(76,3)  | 1<br>5,58(0,50-62,30)                | 0,1471 rec    |  |  |
|     |            |                | AG       | 48(18,8)    | 20(21,5)  |                                      |               |  |  |
|     |            |                | GG       | 1(0,4)      | 2(2,2)    |                                      |               |  |  |
| 102 | rs521188   | hsa-mir-3671   | AA       | 237(92,6)   | 85(91,4)  | 1<br>1,17(0,5-2,78)                  | 0,718 codom   |  |  |
|     |            |                | AG       | 19(7,4)     | 8(8,6)    |                                      |               |  |  |
|     |            |                | GG       | 0(0,0)      | 0(0,0)    |                                      |               |  |  |
| 103 | rs56088671 | hsa-mir-4424   | FALLIDO  |             |           |                                      |               |  |  |
| 104 | rs56103835 | hsa-mir-323b   | TT       | 170(66,4)   | 57(62,0)  | 1<br>1,21(0,74-1,99)                 | 0,4441 dom    |  |  |
|     |            |                | CT       | 78(30,5)    | 33(35,9)  |                                      |               |  |  |
|     |            |                | CC       | 8(3,1)      | 2(2,2)    |                                      |               |  |  |
| 105 | rs56195815 | hsa-mir-548aw  | FALLIDO  |             |           |                                      |               |  |  |
| 106 | rs56292801 | hsa-mir-5189   | GG       | 94(52,5)    | 57(64,0)  | 1<br>0,62(0,37-1,05)                 | 0,07162 dom   |  |  |
|     |            |                | AG       | 67(37,4)    | 23(25,8)  |                                      |               |  |  |
|     |            |                | AA       | 18(10,1)    | 9(10,1)   |                                      |               |  |  |
| 107 | rs57111412 | hsa-mir-1283-1 | FALLIDO  |             |           |                                      |               |  |  |
| 108 | rs58450758 | hsa-mir-559    | FALLIDO  |             |           |                                      |               |  |  |
| 109 | rs58834075 | hsa-mir-656    | CC       | 245(95,7)   | 89(93,7)  | 1<br>1,5(0,54-4,18)                  | 0,4457 codom  |  |  |
|     |            |                | CT       | 11(4,3)     | 6(6,3)    |                                      |               |  |  |
|     |            |                | TT       | 0(0,0)      | 0(0,0)    |                                      |               |  |  |
| 110 | rs5965660  | hsa-mir-888    | FALLIDO  |             |           |                                      |               |  |  |
| 111 | rs5997893  | hsa-mir-3928   | GG       | 116(45,3)   | 37(39,8)  | 1,24(0,88-1,75)                      | 0,2140 log    |  |  |
|     |            |                | AG       | 111(43,4)   | 41(44,1)  |                                      |               |  |  |
|     |            |                | AA       | 29(11,3)    | 15(16,1)  |                                      |               |  |  |
| 112 | rs60308683 | hsa-mir-4762   | FALLIDO  |             |           |                                      |               |  |  |
| 113 | rs6062431  | hsa-mir-4326   | GG       | 106(41,7)   | 46(49,5)  | 0,77(0,55-1,08)                      | 0,1300 log    |  |  |
|     |            |                | CG       | 101(39,8)   | 35(37,6)  |                                      |               |  |  |
|     |            |                | CC       | 47(18,5)    | 12(12,9)  |                                      |               |  |  |
| 114 | rs60871950 | hsa-mir-4467   | GG       | 78(30,6)    | 36(39,1)  | 1<br>0,57(0,33-1)<br>0,93(0,50-1,73) | 0,10431 codom |  |  |
|     |            |                | AG       | 121(47,5)   | 32(34,8)  |                                      |               |  |  |
|     |            |                | AA       | 56(22,0)    | 24(26,1)  |                                      |               |  |  |
| 115 | rs61388742 | hsa-mir-596    | TT       | 205(80,1)   | 75(81,5)  | 1<br>0,91(0,50-1,68)                 | 0,7635 dom    |  |  |
|     |            |                | CT       | 49(19,1)    | 16(17,4)  |                                      |               |  |  |
|     |            |                | CC       | 2(0,8)      | 1(1,1)    |                                      |               |  |  |
| 116 | rs61938575 | hsa-mir-3922   | GG       | 126(49,4)   | 19(57,6)  | 1<br>0,72(0,35-1,50)                 | 0,3766 dom    |  |  |
|     |            |                | AG       | 112(43,9)   | 12(36,4)  |                                      |               |  |  |
|     |            |                | AA       | 17(6,7)     | 2(6,1)    |                                      |               |  |  |
| 117 | rs61992671 | hsa-mir-412    | GG       | 76(29,7)    | 18(20,7)  | 1<br>1,62(0,90-2,90)                 | 0,0973 dom    |  |  |
|     |            |                | AG       | 119(46,5)   | 47(54,0)  |                                      |               |  |  |
|     |            |                | AA       | 61(23,8)    | 22(25,3)  |                                      |               |  |  |

**Tabla anexa 9.** Resultados de SNPs en miRNAs en las poblaciones española y eslovena (continua).

|  | SNP        | Gen             | Genotipo    | N(%)control | N(%)casos | OR (95%IC)       | P             |
|--|------------|-----------------|-------------|-------------|-----------|------------------|---------------|
| 118                                    | rs62154973 | hsa-mir-4772    | CC          | 200(78,1)   | 74(83,1)  | 1                | 0,3050 dom    |
|  |            |                 | CT          | 53(20,7)    | 15(16,9)  | 0,72(0,39-1,36)  |               |
|  |            |                 | TT          | 3(1,2)      | 0(0,0)    |                  |               |
| 119                                    | rs62376935 | hsa-mir-585     | CC          | 232(90,6)   | 85(93,4)  | 1                | 0,4051 dom    |
|  |            |                 | CT          | 21(8,2)     | 5(5,5)    | 0,68(0,27-1,73)  |               |
|  |            |                 | TT          | 3(1,2)      | 1(1,1)    |                  |               |
| 120                                    | rs641071   | hsa-mir-4482    | FALLIDO     |             |           |                  |               |
| 121                                    | rs6430498  | hsa-mir-3679    | GG          | 117(45,9)   | 33(36,3)  | 1                | 0,1100 dom    |
|  |            |                 | AG          | 111(43,5)   | 47(51,6)  | 1,49(0,91-2,44)  |               |
|  |            |                 | AA          | 27(10,6)    | 11(12,1)  |                  |               |
| 122                                    | rs6505162  | hsa-mir-423     | FALLIDO     |             |           |                  |               |
| 123                                    | rs6513496  | hsa-mir-646     | TT          | 165(64,5)   | 58(63,7)  | 1                | 0,3392 rec    |
|  |            |                 | CT          | 80(31,2)    | 31(34,1)  | 0,50(0,11-2,30)  |               |
|  |            |                 | CC          | 11(4,3)     | 2(2,2)    |                  |               |
| 124                                    | rs66507245 | hsa-mir-4731    | FALLIDO     |             |           |                  |               |
| 125                                    | rs66683138 | hsa-mir-3622a   | FALLIDO     |             |           |                  |               |
| 126                                    | rs67042258 | hsa-mir-6128    | GG          | 143(56,1)   | 59(65,6)  | 1                | 0,04218 codom |
|  |            |                 | AG          | 97(38,0)    | 22(24,4)  | 0,55(0,32-0,96)  |               |
|  |            |                 | AA          | 15(5,9)     | 9(10,0)   | 1,45(0,60-3,51)  |               |
| 127                                    | rs670637   | hsa-mir-3167    | MONOMORFICO |             |           |                  |               |
| 128                                    | rs67182313 | hsa-mir-4642    | AA          | 176(68,8)   | 64(72,7)  | 1                | 0,3560 rec    |
|  |            |                 | AG          | 73(28,5)    | 23(26,1)  | 0,41(0,05-3,37)  |               |
|  |            |                 | GG          | 7(2,7)      | 1(1,1)    |                  |               |
| 129                                    | rs6726779  | hsa-mir-4431    | TT          | 102(40,0)   | 36(40,9)  | 1                | 0,2998 rec    |
|  |            |                 | CT          | 121(47,5)   | 37(42,0)  | 1,43(0,73-2,79)  |               |
|  |            |                 | CC          | 32(12,5)    | 15(17,0)  |                  |               |
| MIR3910-1,<br>130 rs67339585 MIR3910-2 |            |                 | FALLIDO     |             |           |                  |               |
| 131                                    | rs6787734  | hsa-mir-3135a   | FALLIDO     |             |           |                  |               |
| 132                                    | rs67976778 | hsa-mir-4305    | FALLIDO     |             |           |                  |               |
| 133                                    | rs68035463 | hsa-mir-3144    | CC          | 167(65,5)   | 59(65,6)  | 1                | 0,4173 rec    |
|  |            |                 | AC          | 79(31,0)    | 26(28,9)  | 1,61(0,52-4,93)  |               |
|  |            |                 | AA          | 9(3,5)      | 5(5,6)    |                  |               |
| 134                                    | rs6841938  | hsa-mir-1255b-1 | FALLIDO     |             |           |                  |               |
| 135                                    | rs6977967  | hsa-mir-3683    | AA          | 167(65,2)   | 49(53,8)  | 1                | 0,05600 dom   |
|  |            |                 | AG          | 78(30,5)    | 36(39,6)  | 1,61(0,99-2,61)  |               |
|  |            |                 | GG          | 11(4,3)     | 6(6,6)    |                  |               |
| 136                                    | rs6997249  | hsa-mir-3686    | FALLIDO     |             |           |                  |               |
| 137                                    | rs701213   | hsa-mir-4427    | FALLIDO     |             |           |                  |               |
| 138                                    | rs702742   | hsa-mir-378h    | AA          | 204(79,7)   | 77(84,6)  | 1                | 0,2951 dom    |
|  |            |                 | AG          | 49(19,1)    | 13(14,3)  | 0,71(0,37-1,36)  |               |
|  |            |                 | GG          | 3(1,2)      | 1(1,1)    |                  |               |
| 139                                    | rs7070684  | hsa-mir-548aj-2 | FALLIDO     |             |           |                  |               |
| 140                                    | rs71363366 | hsa-mir-1283-2  | CC          | 238(93,7)   | 83(90,2)  | 1                | 0,2829 codom  |
|  |            |                 | CG          | 16(6,3)     | 9(9,8)    | 1,61(0,69-3,79)  |               |
|  |            |                 | GG          | 0(0,0)      | 0(0,0)    |                  |               |
| 141                                    | rs7205289  | hsa-mir-140     | MONOMORFICO |             |           |                  |               |
| 142                                    | rs7207008  | hsa-mir-2117    | TT          | 83(32,4)    | 26(27,4)  | 1                | 0,1120 rec    |
|  |            |                 | AT          | 121(47,3)   | 42(44,2)  | 1,56(0,91-2,67)  |               |
|  |            |                 | AA          | 52(20,3)    | 27(28,4)  |                  |               |
| 143                                    | rs7227168  | hsa-mir-4741    | CC          | 194(76,1)   | 70(76,1)  | 1                | 0,1132 rec    |
|  |            |                 | CT          | 59(23,1)    | 19(20,7)  | 4,26(0,70-25,94) |               |
|  |            |                 | TT          | 2(0,8)      | 3(3,3)    |                  |               |
| 144                                    | rs7247237  | hsa-mir-3188    | CC          | 115(45,3)   | 37(40,2)  | 1                | 0,02753 rec   |
|  |            |                 | CT          | 121(47,6)   | 41(44,6)  | 2,35(1,12-4,95)  |               |
|  |            |                 | TT          | 18(7,1)     | 14(15,2)  |                  |               |
| 145                                    | rs72502717 | hsa-mir-3689f   | FALLIDO     |             |           |                  |               |
| 146                                    | rs72631816 | hsa-mir-105-2   | FALLIDO     |             |           |                  |               |

**Tabla anexa 9.** Resultados de SNPs en miRNAs en las poblaciones española y eslovena (continua).

|     | SNP        | Gen            | Genotipo       | N(%)control                        | N(%)casos                        | OR (95%IC)                          | P              |
|-----|------------|----------------|----------------|------------------------------------|----------------------------------|-------------------------------------|----------------|
| 147 | rs72631825 | hsa-mir-222    | FALLIDO        |                                    |                                  |                                     |                |
| 148 | rs72631826 | hsa-mir-16-1   | MONOMORFICO    |                                    |                                  |                                     |                |
| 149 | rs72631827 | hsa-mir-106b   | MONOMORFICO    |                                    |                                  |                                     |                |
| 150 | rs72631831 | hsa-mir-323b   | MONOMORFICO    |                                    |                                  |                                     |                |
| 151 | rs72631833 | hsa-mir-183    | MONOMORFICO    |                                    |                                  |                                     |                |
| 152 | rs72646786 | hsa-mir-3972   | CC<br>CT<br>TT | 196(76,6)<br>57(22,3)<br>3(1,2)    | 73(79,3)<br>18(19,6)<br>1(1,1)   | 1<br>0,85(0,48-1,52)                | 0,5817 dom     |
| 153 | rs72855836 | hsa-mir-3976   | GG<br>AG<br>AA | 232(90,6)<br>22(8,6)<br>2(0,8)     | 81(87,1)<br>12(12,9)<br>0(0,0)   | 1<br>1,43(0,68-2,99)<br>(-)         | 0,3481 dom     |
| 154 | rs72996752 | hsa-mir-4999   | FALLIDO        |                                    |                                  |                                     |                |
| 155 | rs73112689 | hsa-mir-4459   | FALLIDO        |                                    |                                  |                                     |                |
| 156 | rs7311975  | hsa-mir-1178   | TT<br>CT<br>CC | 237(92,6)<br>18(7,0)<br>1(0,4)     | 87(94,6)<br>5(5,4)<br>0(0,0)     | 1<br>0,72(0,26-1,98)                | 0,5090 dom     |
| 157 | rs73147065 | hsa-mir-647    | FALLIDO        |                                    |                                  |                                     |                |
| 158 | rs73177830 | hsa-mir-4532   | FALLIDO        |                                    |                                  |                                     |                |
| 159 | rs73235381 | hsa-mir-548h-4 | FALLIDO        |                                    |                                  |                                     |                |
| 160 | rs73239138 | hsa-mir-1269a  | GG<br>AG<br>AA | 144(56,7)<br>93(36,6)<br>17(6,7)   | 57(63,3)<br>29(32,2)<br>4(4,4)   | 0,78(0,52-1,18)                     | 0,2290 log     |
| 161 | rs73410309 | hsa-mir-4739   | FALLIDO        |                                    |                                  |                                     |                |
| 162 | rs74428911 | hsa-mir-4474   | GG<br>GT<br>TT | 252(98,4)<br>4(1,6)<br>0(0,0)      | 93(98,9)<br>1(1,1)<br>0(0,0)     | 1<br>0,68(0,07-6,14)                | 0,7194         |
| 163 | rs74469188 | hsa-mir-6504   | TT<br>CT<br>CC | 252(98,4)<br>4(1,6)<br>0(0,0)      | 93(98,9)<br>1(1,1)<br>0(0,0)     | 1<br>0,68(0,07-6,14)                | 0,7194 codom   |
| 164 | rs745666   | hsa-mir-3615   | CC<br>CG<br>GG | 101(39,5)<br>113(44,1)<br>42(16,4) | 33(35,1)<br>48(51,1)<br>13(13,8) | 1<br>1,20(0,74-1,97)                | 0,4568 dom     |
| 165 | rs74704964 | hsa-mir-518d   | CC<br>CT<br>TT | 238(94,1)<br>15(5,9)<br>0(0,0)     | 40(95,2)<br>2(4,8)<br>0(0,0)     | 1<br>0,79(0,17-3,6)                 | 0,7581 codom   |
| 166 | rs74904371 | hsa-mir-2682   | CC<br>CT<br>TT | 242(94,5)<br>13(5,1)<br>1(0,4)     | 88(93,6)<br>6(6,4)<br>0(0,0)     | 1,09(0,43-2,75)                     | 0,7102 log     |
| 167 | rs74949342 | hsa-mir-5702   | MONOMORFICO    |                                    |                                  |                                     |                |
| 168 | rs7500280  | hsa-mir-4719   | FALLIDO        |                                    |                                  |                                     |                |
| 169 | rs75019967 | hsa-mir-4477a  | MONOMORFICO    |                                    |                                  |                                     |                |
| 170 | rs7522956  | hsa-mir-4742   | AA<br>AC<br>CC | 147(57,4)<br>99(38,7)<br>10(3,9)   | 53(58,2)<br>34(37,4)<br>4(4,4)   | 1<br>1,13(0,35-3,70)                | 0,8399 rec     |
| 171 | rs75598818 | hsa-mir-520f   | GG<br>AG<br>AA | 243(94,9)<br>13(5,1)<br>0(0,0)     | 87(94,6)<br>5(5,4)<br>0(0,0)     | 1<br>1,07(0,37-3,1)                 | 0,8951 codom   |
| 172 | rs75715827 | hsa-mir-944    | TT<br>CT<br>CC | 217(84,8)<br>35(13,7)<br>4(1,6)    | 80(89,9)<br>9(10,1)<br>0(0,0)    | 1<br>0,63(0,29-1,35)                | 0,2157 dom     |
| 173 | rs75966923 | hsa-mir-4298   | CC<br>AC<br>AA | 238(93,0)<br>18(7,0)<br>0(0,0)     | 90(95,7)<br>4(4,3)<br>0(0,0)     | 1<br>0,59(0,19-1,78)                | 0,3246 codom   |
| 174 | rs76481776 | hsa-mir-182    | CC<br>CT<br>TT | 218(85,2)<br>34(13,3)<br>4(1,6)    | 78(83,9)<br>15(16,1)<br>0(0,0)   | 1<br>1,23(0,64-2,39)<br>0,00(0,00-) | 0,5561 (codom) |

**Tabla anexa 9.** Resultados de SNPs en miRNAs en las poblaciones española y eslovena (continua).

|     | SNP        | Gen            | Genotipo    | N(%)control | N(%)casos | OR (95%IC)       | P              |
|-----|------------|----------------|-------------|-------------|-----------|------------------|----------------|
| 175 | rs76800617 | hsa-mir-4521   | AA          | 246(96,1)   | 87(96,7)  | 1                | 0,8034 codom   |
|     |            |                | AG          | 10(3,9)     | 3(3,3)    | 0,85(0,23-3,15)  |                |
|     |            |                | GG          | 0(0,0)      | 0(0,0)    |                  |                |
| 176 | rs77055126 | hsa-mir-1303   | FALLIDO     |             |           |                  |                |
| 177 | rs7709117  | hsa-mir-4634   | AA          | 83(32,7)    | 35(37,6)  | 1                | 0,3903 dom     |
|     |            |                | AG          | 111(43,7)   | 38(40,9)  | 0,80(0,49-1,32)  |                |
|     |            |                | GG          | 60(23,6)    | 20(21,5)  |                  |                |
| 178 | rs77639117 | hsa-mir-576    | AA          | 249(97,3)   | 81(88,0)  | 1                | 0,001543 codom |
|     |            |                | AT          | 7(2,7)      | 10(10,9)  | 4,39(1,62-11,91) |                |
|     |            |                | TT          | 0(0,0)      | 1(1,1)    | 0,0(0-)          |                |
| 179 | rs78396863 | hsa-mir-4743   | GG          | 248(97,3)   | 90(96,8)  | 1                | 0,8144 codom   |
|     |            |                | CG          | 7(2,7)      | 3(3,2)    | 1,18(0,3-4,67)   |                |
|     |            |                | CC          | 0(0,0)      | 0(0,0)    |                  |                |
| 180 | rs78541299 | hsa-mir-6075   | MONOMORFICO |             |           |                  |                |
| 181 | rs78790512 | hsa-mir-6083   | GG          | 182(71,1)   | 66(71,0)  | 1                | 0,6193 rec     |
|     |            |                | AG          | 66(25,8)    | 25(26,9)  | 0,68(0,14-3,27)  |                |
|     |            |                | AA          | 8(3,1)      | 2(2,2)    |                  |                |
| 182 | rs78831152 | hsa-mir-4789   | CC          | 208(81,2)   | 75(85,2)  | 1                | 0,3920 dom     |
|     |            |                | CT          | 45(17,6)    | 12(13,6)  | 0,75(0,39-1,46)  |                |
|     |            |                | TT          | 3(1,2)      | 1(1,1)    |                  |                |
| 183 | rs78832554 | hsa-mir-4786   | GG          | 242(94,9)   | 88(93,6)  | 1                | 0,6441 codom   |
|     |            |                | AG          | 13(5,1)     | 6(6,4)    | 1,27(0,47-3,44)  |                |
|     |            |                | AA          | 0(0,0)      | 0(0,0)    |                  |                |
| 184 | rs7896283  | hsa-mir-4481   | AA          | 54(33,8)    | 6(22,2)   | 1                | 0,2223 dom     |
|     |            |                | AG          | 75(46,9)    | 15(55,6)  | 1,78(0,68-4,68)  |                |
|     |            |                | GG          | 31(19,4)    | 6(22,2)   |                  |                |
| 185 | rs7911488  | hsa-mir-1307   | FALLIDO     |             |           |                  |                |
| 186 | rs79397096 | hsa-mir-597    | GG          | 249(97,3)   | 93(98,9)  | 1                | 0,3175 codom   |
|     |            |                | AG          | 7(2,7)      | 1(1,1)    | 0,38(0,05-3,15)  |                |
|     |            |                | AA          | 0(0,0)      | 0(0,0)    |                  |                |
| 187 | rs79512808 | hsa-mir-3976   | TT          | 248(96,9)   | 94(100,0) | 1                | 0,1146 codom   |
|     |            |                | GT          | 8(3,1)      | 0(0,0)    | 0(0-)            |                |
|     |            |                | GG          | 0(0,0)      | 0(0,0)    |                  |                |
| 188 | rs80128580 | hsa-mir-5707   | GG          | 240(93,8)   | 87(94,6)  | 1                | 0,776          |
|     |            |                | AG          | 16(6,2)     | 5(5,4)    | 0,86(0,31-2,42)  |                |
|     |            |                | AA          | 0(0,0)      | 0(0,0)    |                  |                |
| 189 | rs8054514  | hsa-mir-3176   | TT          | 185(72,5)   | 61(66,3)  | 1                | 0,1132 rec     |
|     |            |                | GT          | 68(26,7)    | 28(30,4)  | 4,26(0,70-25,94) |                |
|     |            |                | GG          | 2(0,8)      | 3(3,3)    |                  |                |
| 190 | rs8078913  | hsa-mir-4520a  | CC          | 75(30,5)    | 19(27,5)  | 1                | 0,3118 rec     |
|     |            |                | CT          | 121(49,2)   | 32(46,4)  | 1,38(0,74-2,57)  |                |
|     |            |                | TT          | 50(20,3)    | 18(26,1)  |                  |                |
| 191 | rs832733   | hsa-mir-4698   | FALLIDO     |             |           |                  |                |
| 192 | rs850108   | hsa-mir-550a-3 | FALLIDO     |             |           |                  |                |
| 193 | rs8667     | hsa-mir-4751   | GG          | 82(33,7)    | 29(31,5)  | 1                | 0,5567 rec     |
|     |            |                | AG          | 126(51,9)   | 52(56,5)  | 0,81(0,39-1,67)  |                |
|     |            |                | AA          | 35(14,4)    | 11(12,0)  |                  |                |
| 194 | rs877722   | hsa-mir-4671   | AA          | 191(74,6)   | 73(79,3)  | 1                | 0,3245 log     |
|     |            |                | AT          | 60(23,4)    | 18(19,6)  | 0,77(0,45-1,31)  |                |
|     |            |                | TT          | 5(2,0)      | 1(1,1)    |                  |                |
| 195 | rs895819   | mir-27a        | FALLIDO     |             |           |                  |                |
| 196 | rs897984   | hsa-mir-4519   | FALLIDO     |             |           |                  |                |
| 197 | rs9295535  | hsa-mir-5689   | FALLIDO     |             |           |                  |                |

**Tabla anexa 9.** Resultados de SNPs en miRNAs en las poblaciones española y eslovena (continua).

|     | SNP             | Gen            | Genotipo    | N(%)control | N(%)casos | OR (95%IC)      | P            |
|-----|-----------------|----------------|-------------|-------------|-----------|-----------------|--------------|
| 198 | rs936581        | hsa-mir-3141   | GG          | 172(67,2)   | 55(59,1)  | 1               | 0,1663 dom   |
|     |                 |                | AG          | 70(27,3)    | 32(34,4)  | 1,41(0,87-2,31) |              |
|     |                 |                | AA          | 14(5,5)     | 6(6,5)    |                 |              |
| 199 | rs9842591       | hsa-mir-5186   | CC          | 71(27,7)    | 14(33,3)  | 1               | 0,4621 dom   |
|     |                 |                | AC          | 130(50,8)   | 18(42,9)  | 0,77(0,38-1,54) |              |
|     |                 |                | AA          | 55(21,5)    | 10(23,8)  |                 |              |
| 200 | rs9877402       | hsa-mir-5680   | AA          | 233(92,5)   | 32(84,2)  | 1               | 0,002097 rec |
|     |                 |                | AG          | 19(7,5)     | 3(7,9)    | 0,00(-)         |              |
|     |                 |                | GG          | 0(0,0)      | 3(7,9)    |                 |              |
| 201 | rs9913045       | hsa-mir-548h-3 | FALLIDO     |             |           |                 |              |
| 202 | seq_rs11048315  | MIR4302        | GG          | 193(75,7)   | 67(71,3)  | 1               | 0,1781 rec   |
|     |                 |                | AG          | 53(20,8)    | 26(27,7)  | 0,29(0,04-2,35) |              |
|     |                 |                | AA          | 9(3,5)      | 1(1,1)    |                 |              |
| 203 | seq_rs111803974 | MIR3908        | FALLIDO     |             |           |                 |              |
| 204 | seq_rs111906529 | MIR299, MIR380 | TT          | 250(97,7)   | 90(95,7)  | 1               | 0,2686 rec   |
|     |                 |                | CT          | 6(2,3)      | 3(3,2)    | 0,0(0-)         |              |
|     |                 |                | CC          | 0(0,0)      | 1(1,1)    |                 |              |
| 205 | seq_rs112328520 | MIR520G        | CC          | 217(85,1)   | 81(89,0)  | 1               | 0,3438 codom |
|     |                 |                | CT          | 38(14,9)    | 10(11,0)  | 0,71(0,34-1,48) |              |
|     |                 |                | TT          | 0(0,0)      | 0(0,0)    |                 |              |
| 206 | seq_rs11269     | mir-1282       | MONOMORFICO |             |           |                 |              |
| 207 | seq_rs113808830 | MIR4532        | CC          | 200(78,4)   | 74(84,1)  | 1               | 0,2443 dom   |
|     |                 |                | CT          | 51(20,0)    | 14(15,9)  | 0,69(0,36-1,31) |              |
|     |                 |                | TT          | 4(1,6)      | 0(0,0)    |                 |              |
| 208 | seq_rs116932476 | hsa-mir-4479   | GG          | 250(98,4)   | 89(98,9)  | 1               | 0,7453 codom |
|     |                 |                | AG          | 4(1,6)      | 1(1,1)    | 0,7(0,08-6,37)  |              |
|     |                 |                | AA          | 0(0,0)      | 0(0,0)    |                 |              |
| 209 | seq_rs117258475 | MIR296         | GG          | 249(97,6)   | 92(98,9)  | 1               | 0,4236 codom |
|     |                 |                | AG          | 6(2,4)      | 1(1,1)    | 0,45(0,05-3,8)  |              |
|     |                 |                | AA          | 0(0,0)      | 0(0,0)    |                 |              |
| 210 | seq_rs117650137 | hsa-mir-6717   | GG          | 241(94,1)   | 86(91,5)  | 1               | 0,3869 codom |
|     |                 |                | AG          | 15(5,9)     | 8(8,5)    | 1,49(0,61-3,65) |              |
|     |                 |                | AA          | 0(0,0)      | 0(0,0)    |                 |              |
| 211 | seq_rs117723462 | MIR3649        | TT          | 256(100,0)  | 92(98,9)  | 1               | 0,2665 codom |
|     |                 |                | GT          | 0(0,0)      | 1(1,1)    | 0(-)            |              |
|     |                 |                | GG          | 0(0,0)      | 0(0,0)    |                 |              |
| 212 | seq_rs163642    | MIR4436B2      | FALLIDO     |             |           |                 |              |
| 213 | seq_rs62571442  | MIR3689        | AA          | 85(33,7)    | 32(36,0)  | 1               | 0,7046 dom   |
|     |                 |                | AG          | 131(52,0)   | 43(48,3)  | 0,91(0,55-1,50) |              |
|     |                 |                | GG          | 36(14,3)    | 14(15,7)  |                 |              |



# ***DISCUSIÓN***



El objetivo principal de este estudio fue la identificación de nuevos marcadores de riesgo genético en OS juvenil. Para ello, en primer lugar, realizamos una exhaustiva búsqueda bibliográfica para determinar las variantes genéticas ya descritas en la literatura asociadas con la susceptibilidad a desarrollar OS. Observamos que de todas las variantes genéticas descritas (n=5250 SNPs), tan sólo tres habían sido asociadas significativamente con el riesgo de OS en más de dos estudios: rs1690916 y rs2279744 en *MDM2* y rs231775 en *CTLA4*. Con la intención de validar estos resultados realizamos un estudio de asociación caso-control con estos tres SNPs. En el caso de los polimorfismos rs1690916 y rs2279744 del gen *MDM2*, no encontramos asociación con el riesgo de OS, ni en nuestro estudio de asociación, ni incluyendo todas las poblaciones estudiadas hasta el momento en un nuevo MA. Los resultados obtenidos en nuestro MA estuvieron en discordancia con otro publicado durante el transcurso de esta tesis. Tras la revisión de dicho MA, nuestro grupo, al igual que Liu y cols., observamos ciertas inexactitudes en los análisis que serán discutidos en este trabajo. En el gen *CTLA4*, en cambio, sí observamos asociación entre rs231775 y el riesgo de OS en nuestra población española, concluyendo que de toda la revisión bibliográfica realizada, sólo una variante genética de todas las descritas en la literatura parecía incrementar el riesgo de OS. Ante la escasez de resultados significativos en genes codificantes y teniendo en cuenta la importancia que tienen hoy día los genes no codificantes, decidimos buscar nuevos marcadores de riesgo de OS en genes no codificantes, analizando por un lado la variabilidad genética de los genes de procesamiento de los miRNAs y por otro, los polimorfismos de los propios miRNAs. Identificamos tres SNPs en genes del complejo RISC asociados con el riesgo de OS, en los genes *CNOT1*, *CNOT4* y *SND1*. En el estudio extensivo de variantes genéticas de miRNAs se detectaron un total de 26 SNPs en 25 miRNAs que podrían estar implicados en la susceptibilidad del OS. El resultado más destacable se encontró en la población española, en la que 4 polimorfismos en 4 miRNAs del cluster de la región 14q32 se asociaron con el riesgo de OS, cluster que regula *MYC* y cuya desregulación ya ha sido asociada con OS. Estos resultados indican un posible *hotspot* de susceptibilidad del OS. En este estudio, se encontraron también significativas variantes en mir-499 y mir-146a, variantes que ya habían sido asociadas a otros cánceres. Además, encontramos nuevos marcadores al analizar las dos poblaciones conjuntamente en mir-146a, mir-4752 y mir-6128. Estos resultados nos llevan a pensar que estos 3 polimorfismos en miRNAs funcionan como posibles marcadores de susceptibilidad de OS a nivel poblacional.

## 1. SNPs EN EL GEN *MDM2*

Tras una exhaustiva búsqueda bibliográfica para determinar las variantes genéticas descritas en la literatura asociadas con la susceptibilidad a desarrollar OS (n=5250 SNPs), observamos que tan sólo tres SNPs habían sido asociados con el riesgo de OS en al menos en dos trabajos: dos de ellas, rs1690916 y rs2279744 en el gen *MDM2*.

El gen *MDM2* se localiza en la región 12q14.3 y tiene una longitud de 37,373 pb. *MDM2* codifica para una proteína nuclear E3 ubiquitín ligasa (*MDM2*) que regula la degradación de la proteína supresora de tumores p53 (32). A su vez, la activación del gen *TP53* trans-activa el promotor del gen *MDM2*. Mediante este sistema, los genes *MDM2* y *TP53* se regulan mutuamente, llevando a la célula a activar el ciclo celular o la apoptosis (152). En OS, *MDM2* se encuentra amplificado en un 10% de los casos (3). Esto lleva a pensar que cualquier alteración en la función de este gen podría afectar en la susceptibilidad del OS. En esta línea, diversos estudios han analizado la asociación de polimorfismos en este gen y el riesgo a padecer OS. Hasta la fecha, se han descrito 7 polimorfismos en dicho gen que podrían conferir un incremento en el riesgo a desarrollar la enfermedad (33-36, 54), de los que tan solo dos (rs1690916 y rs2279744) fueron asociados en al menos dos artículos con el riesgo a desarrollar OS. El SNP rs1690916 está situado en la región 3'UTR del gen, con lo que podría afectar a la estructura y estabilidad del mRNA, alterando la vida media del mismo (153). El SNP rs2279744, también conocido como SNP390 por su localización en el nucleótido 309 del primer intrón, se encuentra situado en la región potenciadora del segundo promotor del gen. Se ha demostrado que rs2279744 aumenta la afinidad de unión del factor de transcripción Sp1 al promotor, elevando el nivel basal de MDM2 (30). El aumento de la concentración de MDM2 podría derivar en una disminución de la respuesta apoptótica de p53, lo que podría conllevar a la formación del tumor (154). Por estas razones, es lógico pensar que estos dos SNPs puedan contribuir al riesgo de OS.

En nuestro estudio los SNPs rs1690916 y rs2279744 del gen *MDM2* no mostraron asociación con el riesgo a desarrollar OS. En línea con estos resultados, un reciente GWAS tampoco encontró asociación estadísticamente significativa entre el gen *MDM2* y OS (58). Estos resultados no coincidían con algunos de los resultados previamente publicados en la literatura (33, 35). En vista de la disparidad de los resultados, en este trabajo realizamos un MA incrementando el número de poblaciones y por tanto, aumentando el poder estadístico. Además, nuestro MA siguió las indicaciones de la guía PRISMA (*Preferred Reporting Items for Systematic Reviews and Meta-Analyses*) con el fin de aportar un estudio de calidad: se

utilizaron estrategias de búsqueda bien definidas: la selección de artículos y extracción de los datos fue realizada por dos investigadores independientes; se evaluó la calidad de todos los estudios; se incluyeron todos los valores absolutos de los datos genotípicos de los estudios u obtenidos del análisis de asociación en este trabajo.

El MA de rs1690916 incluyó un total de 464 casos de OS y 2048 controles procedentes de 4 poblaciones. No encontramos asociación entre rs1690916 y OS bajo ninguno de los modelos de herencia (OR: 0,89; IC 95%: 0,54-1,45, modelo alélico; OR: 0,80; IC 95%: 0,28-2,29, modelo codominante; OR: 0,80; IC 95%: 0,40-1,60, modelo recesivo; OR: 0,87; IC 95%: 0,44-1,74, modelo dominante). Observamos que el alelo de menor frecuencia (A) por un lado, aumentaba el riesgo en las poblaciones española y eslovena, mientras que por otro lado, este alelo disminuía el riesgo en las poblaciones rusa y americana. Estos resultados de OR contradictorios en las 4 poblaciones muestran que no se puede postular una clara tendencia de riesgo en la población general.

El MA de rs2279744 incluyó un total de 433 casos de OS y 1959 controles procedentes de cinco poblaciones. Nuevamente, no encontramos asociación entre el SNP y la susceptibilidad a desarrollar OS, bajo ninguno de los modelos de herencia (OR: 1,16; IC 95%: 0,87-1,54, modelo alélico; OR: 1,33; IC 95%: 0,74-2,42, modelo codominante; OR: 1,27; IC 95%: 0,77-2,10, modelo recesivo; OR: 1,22; IC 95%: 0,90-1,66, modelo dominante). En este caso, encontramos que el alelo de menor frecuencia (G) aumentaba el riesgo de las poblaciones americana, australiana e italiana y lo disminuía en la española y eslovena, por lo que al igual que en el caso anterior, no se puede postular una tendencia de riesgo en la población general.

Durante el transcurso de este proyecto de tesis, se publicó un MA que analizaba los polimorfismos estudiados (rs1690916 y rs2279744) y el riesgo de OS, concluyendo que estos dos polimorfismos estaban asociados con el riesgo a desarrollar OS (151), resultados opuestos a los nuestros.

Este MA fue cuestionado por una carta al editor enviada por Liu y cols., donde se criticaba el reducido número y la calidad de artículos incluidos, la carencia de información en los métodos utilizados, la falta de análisis del EHW en la población control y la calidad de los estudios incluidos en el MA (155). Es decir, no seguían los criterios de la guía PRISMA mencionada previamente.

En esta línea, nosotros también detectamos otras inexactitudes en el MA de Wang et al. En relación al polimorfismo rs1690916, observamos que la muestra de pacientes de origen ruso (36) incluía muestras de otros tumores óseos en lugar de ceñirse sólo a OS. En el caso de rs2279744, el MA de Wang y cols no aportaba información de las frecuencias alélicas y/o genotípicas, por lo que fue necesario extraer dicha información de los artículos originales. Al extraer dicha información de los artículos originales el grupo control de Ito y cols fue difícil de establecer. En este caso, la única población que, *a priori* podría ser incluida como control, eran pacientes con tumores benignos (34). Esto puede considerarse un error en el estudio ya que los grupos control de los estudios de susceptibilidad no deben estar afectados por otras enfermedades, porque sus características genéticas pueden ser diferentes a la de la población sana (142). En nuestro análisis la población de Ito no mostró resultados estadísticamente significativos (OR: 1,16; IC 95%: 0,87-1,54, modelo alélico) en contra de lo obtenido por Wang y cols (OR: 1,60; IC 95%: 1,23-2,07, modelo alélico).

A pesar de la mejora en la calidad y número de muestra en nuestro MA, pensamos que es necesario incluir nuevas poblaciones, dado que el tamaño de muestra sigue siendo limitado por la baja frecuencia de esta patología en la población.

En resumen, tras la revisión bibliográfica, el estudio de asociación y posterior MA en relación con los polimorfismos en *MDM2*, podemos concluir que rs1690916 y rs2279744 no parecen incrementar el riesgo de OS.

## 2. SNPs EN EL GEN CTLA4

La tercera variante genética que se encontraba asociada con el riesgo de OS en la literatura en al menos dos estudios fue rs231775 en el gen *CTLA4*.

El gen *cytotoxic T-lymphocyte-associated protein 4* (*CTLA4* o *CD152*), localizado en la región 2q33.2, es miembro de la superfamilia de las inmunoglobulinas y se expresa en la superficie de las células T ante una respuesta inmune. *CTLA4* transmite una señal que regula negativamente la proliferación y activación de las células T provocando la parada del ciclo celular y la inhibición de la producción de citoquinas (156). En consecuencia, la downregulación de la respuesta de las células T produce una disminución de la respuesta antitumoral incrementando la susceptibilidad a desarrollar cánceres (37, 38). Varios estudios han sugerido que *CTLA4* podrían estar asociado en el desarrollo de diversos cánceres como cáncer colorrectal (157)(157)(157)(156)(156)(153), cáncer de pulmón (158), cáncer de cérvix (159), cáncer gástrico y de mama (160). Contardi y cols observaron que *CTLA4* se expresa y que participa en la apoptosis de células tumorales de OS, lo que sugiere que polimorfismos en dicho gen podrían contribuir al desarrollo de OS (161). De hecho, ya se han descrito 3 polimorfismos asociados con OS (55, 56, 116, 162, 163) pero sólo uno (rs231775) ha sido asociado con esta enfermedad en más de dos ocasiones (116, 162). El interés de este SNP radica también en que tiene una posible explicación funcional: está localizado en el primer exón y provoca un cambio de nucleótido (ACC>GCC), que altera la secuencia de la proteína (Thr>Ala), pudiendo alterar la función de la misma.

En nuestro estudio de asociación, el genotipo AG+GG (*versus* AA) disminuía de manera significativa el riesgo de OS en población española (OR: 0,45, IC 95%: 0,24-0,83). Por tanto, el genotipo AA mostró un incremento del riesgo a desarrollar OS. Estos resultados están en concordancia con los dos estudios previos en poblaciones china donde el genotipo AA (OR: 2,20, IC 95%: 1,23–3,95 y OR: 2.27, IC 95%: 1,21–4,25) también estuvo asociado con un incremento del riesgo de OS.

Este resultado se confirmó mediante un meta-análisis que incluía las tres poblaciones en la que tanto el genotipo AA (OR: 2,07, IC 95%: 1,48- 2,89) como el alelo A (OR: 1,36, IC 95%: 1,15- 1,61) conferían un incremento del riesgo a desarrollar OS. En línea con nuestros resultados, este SNP también se ha asociado a cáncer de pulmón (158), cancer de cérvix (159), sarcoma de Ewing (164), cancer gástrico, de mama (165) y cancer hepatocelular (166). Estos resultados podrían explicarse porque, tal y como se ha comentado previamente, el alelo +49A

causa un cambio de aminoácido (Thr>Ala), y se ha observado que este cambio provoca una mayor eficacia y un incremento de la producción de CTLA4 (40, 167), por lo que la respuesta antitumoral podría atenuarse e incrementar la susceptibilidad a desarrollar OS.

Nuestros resultados indican que el genotipo AA del SNP rs231775 puede estar asociado con el riesgo a desarrollar OS; por lo que el gen *CTLA4* podría ser un marcador potencial de la susceptibilidad del OS.

### **3. SNPS EN GENES RELACIONADOS CON LOS MIRNAS**

De todos los estudios de variantes genéticas analizados bajo la estrategia de genes candidatos realizados hasta el momento, solo el polimorfismo rs231775 del gen *CTLA4* ha mostrado ser un posible marcador de riesgo a desarrollar OS. Ante la escasez de resultados en genes codificantes y teniendo en cuenta la importancia que han adquirido los genes no codificantes, decidimos buscar marcadores de riesgo de OS entre estos genes. Dentro de éstos, los miRNAs son los más estudiados y se sabe que están implicados en el origen y evolución de diversos cánceres. En el caso del OS, se han realizado un gran número de estudios analizando la expresión de miRNAs implicados en la evolución del OS. Se han encontrado miRNAs desregulados cuyas dianas son genes que participan en los procesos de formación del hueso, proliferación, migración e invasión. Por lo tanto, la alteración de los niveles de expresión de los miRNAs podría estar no solo implicados en la evolución, sino también ser clave en el origen del OS. Los niveles de los miRNAs están regulados, en gran parte, por los genes de procesamiento. Variantes genéticas en estos genes ya han sido asociadas a la susceptibilidad a desarrollar diferentes cánceres. Por ello, analizamos toda la variabilidad genética de los genes de la ruta de procesamiento de los miRNAs y su implicación en la susceptibilidad del OS.

#### **3.1 SNPS EN GENES DE PROCESAMIENTO DE MIRNAS**

El estudio de asociación entre 72 SNPs en 21 genes de procesamiento y el riesgo de OS mostró tres SNPs significativos (rs11866002, rs3812265 y rs3823994) en tres genes del complejo RISC: *CNOT1*, *CNOT4* y *SND1*. De ellos, los genes *CNOT1* y *CNOT4* forman el complejo CCR4-NOT dentro del complejo RISC (168, 169). Tras la corrección por Bonferroni, el SNP rs11866002 en el gen *CNOT1* se mantuvo cercano al valor de significancia ( $p=0,08$ ).

En el análisis de los genes del complejo CCR4-NOT, el genotipo CC del polimorfismo rs11866002 del gen *CNOT1* estuvo asociado con un aumento del riesgo a desarrollar OS. Este SNP, que fue el más significativo del estudio, está localizado en el exón 22 del gen, y causa un cambio sinónimo (CAG >CAA, hebra reverse), es decir, no altera el aminoácido de la proteína (Gln>Gln), pero debido a su localización, potencialmente podría afectar a la regulación del *splicing* (F-SNP) (170) y a la expresión del gen (171). De hecho, la expresión de *CNOT1* varía en función del genotipo de rs11866002 en distintas poblaciones de HapMap (172). Este resultado fue similar al encontrado por nuestro grupo en leucemia linfoblástica aguda infantil (LLA),

donde el genotipo CC también aumentaba el riesgo de LLA (87). Estos resultados sugieren que el SNP rs11866002 podría estar asociado, de manera más general, con la susceptibilidad al cáncer. En el caso del gen *CNOT4* del complejo CCR4-NOT, el genotipo CT+TT del SNP rs3812265 se asoció con el incremento de la susceptibilidad a OS ( $p=0,025$ ). Este SNP, localizado en el exón 10, es una variante con cambio de sentido (*missense*) (GTA>ATA, hebra reverse) que altera la secuencia de la proteína (Val>Ile) (170), lo que podría afectar a la función de la misma. El complejo CCR4-NOT es el encargado de eliminar la cola poly(A) de los mRNAs dianas unidos a los miRNAs (173). Por lo tanto, polimorfismos en *CNOT1* y *CNOT4* podrían alterar la deadenilación de los mRNAs de genes implicados en el origen y evolución del OS.

Finalmente, el genotipo TT del SNP rs3823994 en el gen *SND1* mostró asociación con una disminución del riesgo a desarrollar OS. Este SNP, localizado en el intron 16, potencialmente afecta a la regulación del *splicing* (F-SNP). Dentro del complejo RISC, el gen *SND1* tiene función de nucleasa (174), controlando la degradación de los miRNAs editados (175). Diversos autores han observado la desregulación de este gen en diferentes tipos de cáncer, como carcinoma hepatocelular (176) o melanoma maligno cutáneo primario (177). En OS, la desregulación de *SND1* podría afectar a los niveles de diversos miRNAs implicados en el desarrollo de la enfermedad. De hecho, se ha descrito que el silenciamiento de *SND1* incrementa la expresión de los miembros del cluster miR-17-92 maduro (178), un cluster sobreexpresado en OS y asociado con la proliferación, invasión y migración de las células del OS (179).

El hallazgo más importante de este estudio es que los tres SNPs asociados con la susceptibilidad a OS se encuentran localizados en genes pertenecientes al complejo RISC. Este complejo, formado por 15 genes, es el encargado junto con el miRNA (miRISC), de degradar o inhibir la traducción de los mRNAs diana (180). Algunos estudios han mostrado que la desregulación de los genes de este complejo afecta al silenciamiento de los RNAm dianas de los miRNAs. Por ejemplo, se ha observado que la depleción de TNRC6A conlleva a la sobreexpresión de muchas dianas de miRNAs (181). Del mismo modo, la desregulación de los genes de este complejo también puede afectar a los niveles de miRNAs. Por ejemplo en mieloma múltiple, se ha correlacionado la desregulación de EIF2C2 con el incremento de los niveles de miRNAs (182). Por lo tanto, SNPs en alguno de los componentes del complejo RISC podrían afectar a su función y alterar la regulación del mRNA mediante miRNA.

La implicación de las variantes genéticas en los genes de procesamiento de miRNAs en OS se ha analizado posteriormente por el grupo de Weng Y y cols obteniendo resultados significativos en los genes *GEMIN4* (complejo RISC), *DROSHA* (complejo DROSHA/DGCR8) y *DICER1* (complejo DICER) (183). La disparidad de los resultados puede deberse al origen de esta población, en este caso asiática y a que en este estudio, no analizaron todos los componentes de esta ruta (genes *AGO1*, *DDX17*, *DDX5*, *DICER1*, *DROSHA*, *GEMIN4*, *RAN*, *SNIP1* y *XPO5*). A pesar de ello, este estudio refuerza la idea de la implicación de los genes de la ruta de procesamiento de miRNAs en la susceptibilidad a desarrollar OS.

En conclusión, por primera vez, encontramos que SNPs en genes del complejo RISC (rs11866002 en *CNOT1*, rs3812265 en *CNOT4* y rs3823994 *SND1*) podrían estar implicados en la susceptibilidad a desarrollar OS.

### **3.2 SNPS EN MIRNAS**

Los niveles aberrantes de los miRNAs pueden deberse a variantes en los genes de procesamiento, pero también la función de los miRNAs puede verse alterada por la existencia de variantes genéticas en los propios miRNAs. Estas variaciones pueden afectar tanto a los niveles de expresión del propio miRNA como a la unión con sus regiones dianas. Muchos estudios han descrito polimorfismos en miRNAs asociados con diferentes tipos de cáncer (mir-SNPs). Incluso se han realizado revisiones y MA sobre la existencia de asociación entre determinados mir-SNPs y el riesgo de cáncer, como es el caso de mir-146a rs2910164, mir-149 rs2292832 y mir-196a2 rs11614913 (107, 108). Sin embargo, a pesar de la importancia que parecen tener los miR-SNPs en el desarrollo del cáncer, en OS apenas se han realizado trabajos al respecto.

En el presente estudio analizamos con éxito un total de 213 polimorfismos en 206 genes de pre-miRNAs en 100 casos de OS (<34 años) (74 casos de España y 26 de Eslovenia) y 256 controles. Encontramos un total de 14 SNPs en 14 pre-miRNAs asociados con el riesgo a desarrollar OS en la población española y 9 SNPs en 8 pre-miRNAs en la población eslovena ( $p < 0,05$ ). Cuando analizamos las poblaciones conjuntamente, encontramos un total de 12 SNPs significativos en 12 miRNAs.

En la población española, el genotipo TT del SNP rs12894467 localizado en miR-300 fue el resultado más significativo del estudio ( $OR=2,01$ ). Este SNP también resultó significativo cuando se analizaron conjuntamente las poblaciones española y eslovena ( $OR=1,62$ ). El miRNA miR-300 está localizado en la región 14q32, que alberga un *cluster* de miRNAs. En OS, se ha observado que algunos miRNAs de este *cluster* (miR-382, miR-134, miR-544 y miR-369-3p) están downregulados y upregulan cooperativamente el oncogen *v-myc myelocytomatosis viral oncogene homologue (avian)* (*MYC*) (184). La activación del gen *MYC* juega un importante papel en la patogénesis del OS, ya que está implicado en el proceso de transformación de células del estroma de la médula ósea a células de OS (185). A pesar de que miR-300 no está en este listado, comprobamos *in silico*, que miR-300 también regula el gen *MYC* (186). Además la posible implicación de miR-300 en la tumorigénesis del OS se ve reforzada por el hecho de que Thayanithy y cols demostraron que el bloqueo de los miRNAs de esta región aumenta la capacidad de proliferación, migración e invasión de los osteoblastos (184). Una posible explicación de la asociación encontrada en el SNP rs12894467 es el hecho de que este SNP está localizado en el pre-miRNA, por lo que el alelo T podría afectar a su procesamiento y por

tanto, podría downregular mir-300. En este estudio, otros 3 SNPs significativos se encontraban localizados en miRNAs (mir-4309, mir-656 y mir-412) del cluster de la región 14q32. Teniendo en cuenta nuestros resultados y que ya se ha descrito que la desregulación de los miRNAs de este *cluster* puede ser causada por los frecuentes reordenamientos en esta región en OS (101), la región 14q32 podría ser considerada un *hotspot* en la susceptibilidad a desarrollar esta patología.

El SNP rs356125 en mir-2278, localizado en 9q22 se asoció también con el riesgo a desarrollar OS. En este SNP, el alelo G incrementaba el riesgo de OS (OR=9,8) en la población española. Sin embargo, este resultado no se confirmó ni en la población eslovena ni en la población conjunta, siendo por tanto una característica propia de la población española. Mir-2278 está localizado en la región intrónica del gen *C9orf3*, miembro de la familia M1 de aminopeptidasas dependientes de zinc. Este gen ha sido previamente asociado con disfunción eréctil y síndrome de ovarios poliquísticos, ambas enfermedades originadas por una cantidad inadecuada o excesiva de hormonas sexuales (187, 188). En relación con el OS, diversos autores sugieren que los cambios hormonales podrían estar implicados en la etiología de la enfermedad (28), lo que explicaría la asociación encontrada entre este polimorfismo y el riesgo de OS.

Otro resultado significativo fue rs77639117 en mir-576, donde el alelo T incrementaba el riesgo de OS (OR=5,85). En línea con estos resultados, los genotipos AT/TT mostraron un incremento del riesgo a desarrollar OS en la población conjunta (OR=4,83). La expresión de este miRNA en OS ha sido previamente analizada por diversos autores, obteniendo resultados contradictorios: mientras Won KY y cols y Maire G y cols., no detectaron cambios de expresión (menos de 8 casos analizados)(101, 189), Sarver y cols observaron una sobre-expresión de mir-576 en 15 muestras de OS (190). Una posible diana de mir-576 es el gen supresor de tumores *RB1* (análisis *in silico*, mIRWalk). Este gen, como ya se ha comentado anteriormente en el apartado de introducción, tiene una gran relevancia en OS, ya que se encuentra inactivado en aproximadamente el 35% de pacientes con OS esporádico (3). Teniendo en cuenta lo anterior, una posible explicación a nuestro resultado sería que el alelo rs77639117-T provoca una upregulación de mir-576, quien a su vez downregularía *RB1*, llevando a la inactivación del gen. Este mecanismo, podría constituir una vía alternativa de inactivación a las mutaciones y pérdidas de heterocigosisidad en *RB1*.

El cuarto resultado más significativo del estudio fue el polimorfismo rs7247237 en mir-3188, localizado en 19p13. El genotipo TT incrementaba el riesgo en la población española ( $OR= 3,59$ ). Esta asociación se mantuvo significativa en la población conjunta ( $OR=2,35$ ), pero no en la población eslovena. A pesar de que no se conocen las dianas de este miRNA, es interesante remarcar que mir-3188 está localizado en la región aguas arriba del proto-oncogen *jun D proto-oncogene (JUND)*. Este gen codifica para la proteína JUND, un componente del factor de transcripción *activator protein 1 (AP1)*. Se ha observado que al inhibir la actividad transcripcional de AP1 se bloquea la migración, invasión y metástasis de las células de OS en ratones (191).

El quinto resultado más significativo fue el polimorfismo rs2289030 en mir-492, donde el genotipo GG del SNP se asoció con un menor riesgo a desarrollar OS. Se ha demostrado que la sobre-expresión de este miRNA provoca una disminución de la expresión del gen supresor de tumores *PTEN* en cáncer hepático (192). En cambio, dos estudios en OS no encontraron alteraciones en la expresión de este miRNA (101, 189); resultados que, sin embargo, hay que tomar con cautela puesto que el número de muestras analizadas en ambos estudios fue muy bajo ( $\leq 7$  muestras de OS). El gen *PTEN* codifica la proteína PTEN, una fosfatasa que participa en la activación de la vía PI3K, modulando la progresión del ciclo celular y la supervivencia de la célula (193). Diversos estudios han mostrado que *PTEN* está downregulado en pacientes con OS y líneas celulares de OS, debido a una upregulación de los miRNAs mir-128 y mir-17 (149, 194, 195). Además, se ha observado en líneas celulares de OS que la upregulación de *PTEN* atenúa la capacidad de adhesión, migración e invasión de las células tumorales (196), lo que pone de manifiesto la relación entre este gen y el OS. En vista de estos resultados, nosotros podemos suponer que el genotipo GG del SNP rs2289030 podría provocar la upregulación de mir-492 y un exceso de este miRNA podría disminuir la expresión del gen *PTEN*. Apoyando esta idea, observamos *in silico* que el alelo rs2289030-C modificaba la estructura secundaria de mir-492, pudiendo alterar su procesamiento y finalmente sus niveles.

El SNP rs10505168 localizado en el mir-2053 fue el sexto SNP más significativo en la población española, donde el genotipo AG incrementó el riesgo de OS ( $OR=2,02$ ). Este resultado no se confirmó ni en la población eslovena ni en la conjunta. Este miRNA no tiene, en principio, ninguna diana conocida. Sin embargo, está localizado en la región intrónica del gen *CUB and Sushi multiple domains 3 (CSMD3)* en la región 8q23. Es interesante remarcar que SNPs de este gen están en fuerte desequilibrio de ligamiento con SNPs de la región 8q24 en población caucasoide (197), donde se localiza el oncogen *MYC*.

El SNP rs60871950 de mir-4467 fue el séptimo SNP más significativo en la población española, en la que el genotipo AA confería protección en OS (OR= 0,39). Nuevamente, este resultado no se confirmó ni en población eslovena ni en la población conjunta. Este miRNA se encuentra sobre-expresado en glioma y potencialmente podría regular el gen *SF1* (198), implicado en procesos de reparación del ADN (199). Defectos en las rutas de reparación del ADN ya han sido asociados con el riesgo de OS (28), por lo que rs6087195 podría alterar los niveles de expresión de mir-4467, lo que podría alterar a su vez el gen *SF1*.

El siguiente resultado más significativo (rs10406069) se localizaba en mir-5196 que actualmente, no tiene ningún gen diana conocido. No obstante, el SNP rs10406069 en mir-5196 colocaliza con en el duodécimo exón del gen *CD22*, el cual codifica para un antígeno localizado en la superficie celular de los linfocitos B humanos (200). A pesar de que la implicación del sistema inmune en OS no está del todo clara (201), sí que se han detectado polimorfismos en otros genes de antígenos como es el caso de *CTLA4* asociados con el riesgo a desarrollar OS (55-57).

Otro resultado interesante fue la asociación encontrada entre el SNP rs702742 en mir-378h (OR=0,42) y el riesgo a desarrollar OS. Los miR-378a/b/c/d/e/f/h/i pertenecen a una gran familia de miRNAs evolutivamente muy conservada que parece estar sobre-expresada en el tejido tumoral de OS (101, 190, 202-204). Además, se ha demostrado que miR-378 participa en la diferenciación de células mesenquimales a osteoblastos mediante la regulación de diversos genes dianas (205-207). Por un lado, You L y cols demostraron que la sobre-expresión de miR-378 de manera ectópica restablece la mineralización de los osteoblastos gracias a que *CASP3*, diana de miR-378, promueve la diferenciación de los osteoblastos (205). Por otro lado, Kahai et al observaron que la sobre-expresión de miR-378 reprime la diferenciación temprana de los osteoblastos debido al silenciamiento del gen *NPNT*, gen que codifica para la nefronectina, inductor de la osteogénesis (207). Finalmente, mir-378 se ha visto que regula la diferenciación osteogénica mediante el gen *bone morphogenetic protein 2 (BMP2)*. Este gen es un factor de transcripción que induce la transformación de hueso y cartílago (206). Los niveles anormales de BMP2 causan anomalías congénitas y enfermedades en las que están implicadas las células mesenquimales que se diferencian a hueso, cartílago, músculo y grasa (208). En nuestro estudio, el genotipo GG de rs702742 en mir-378h podría conllevar a la sobre-expresión de mir-378h afectando a la actividad de los osteoblastos mediante alguna de las vías previamente

comentadas; por lo que el SNP rs702742 en mir-378h podría ser un SNP importante en la osteosarcomagenésis.

El siguiente SNP que resultó significativo fue rs10422347 en mir-4745, donde el genotipo TT+CT aumentó el riesgo de OS (OR=2,30). Hasta el momento en la literatura, no se han descrito dianas para este miRNA. Se transcribe desde el séptimo intrón del gen *polypyrimidine tract binding protein 1 (PTBP1)*, implicado en el mecanismo de splicing (209). Este gen ha sido relacionado con cánceres como el glioblastoma (210), donde *PTBP1* altera el *splicing* de la enzima piruvato kinasa, la que a su vez altera el metabolismo de la glucosa, contribuyendo al efecto *Warburg* observado en las células cancerosas (glicolisis anaerobia) (211, 212). Mediante análisis *in silico*, observamos que el alelo T de este polimorfismo crea nuevos sitios de unión a factores de transcripción como GATA-1 y GATA-2, lo que podría alterar el splicing de la piruvato kinasa afectando al metabolismo de la glucosa en OS.

Finalmente, se encontró asociación entre el SNP rs35770269 y el riesgo a desarrollar OS, donde el alelo T era de protección (OR= 0,64). El SNP rs35770269 está localizado en la región *seed* de mir-449c, lo que podría afectar a la unión con sus dianas. De hecho, mediante análisis *in silico* se comprobó que el alelo rs35770269-T (de riesgo) modificaba la estructura secundaria de mir-449c (<http://bioinfo.life.hust.edu.cn/miRNASNP2/>), alterando la complementariedad con sus dianas. El mir-449c forma parte de un *cluster* de miRNAs altamente conservado, que pertenece a la familia de mir-34 por su similitud con la secuencia *seed* (213). Se ha demostrado que la familia mir-34 participa en el proceso de osteosarcomagenésis, ya que todos sus miembros inducen la diferenciación de los osteoblastos durante el desarrollo del hueso (105, 214). Dos estudios en OS, han encontrado asociación entre mir-SNPs de la familia mir-34 y la susceptibilidad a desarrollar la enfermedad. Específicamente, rs4938723- T, localizado en la región promotora del pri-mir-34b/c y rs72631823-A, localizado en el pre-mir-34a, aumentaron el riesgo de OS en población china (109, 110). En éste último, se comprobó en líneas celulares de OS, que el alelo de riesgo (A) provocaba una disminución de la expresión de mir-34a, alterando la unión con su diana c-MET, lo que dio lugar a un aumento de la proliferación celular. Hoy en día se sabe que los miRNAs de la misma familia suelen compartir genes dianas, por lo que es esperable que mir-34 y mir-449 tengan las mismas dianas. En este sentido, podemos hipotetizar que el alelo rs35770269-T en mir-449 se comporte del mismo modo que rs72631823-A en mir-34a, alterando la unión con c-MET.

En la población eslovena, el resultado más interesante fue la asociación encontrada entre dos SNPs localizados en mir-5189 (rs35613341 y rs56292801) y el riesgo de OS. El SNP rs35613341, situado en el pre-miRNA, superó la corrección por Bonferroni ( $p=0,0001$ ). En ambos SNPs, los valores significativos se debieron a una fuerte disminución de los heterocigotos en los casos. Esta pérdida de heterocigosidad sugiere la existencia de una delección en la zona. De hecho, la región donde se encuentra localizado el mir-5189 es una CNV frecuentemente delecionada (datos DGV (*Database of Genomic Variation*)). Ésta es la primera vez en la que la delección 16q24 ha sido asociada con un incremento del riesgo a desarrollar OS.

El SNP rs2070960 de mir-3620 también se asoció con el riesgo a desarrollar OS, donde el genotipo TT confería protección. Resulta interesante remarcar que este miRNA se localiza en el segundo intrón del gen *ADP-ribosylation factor 1 (ARF1)*, el cual codifica para una GTPasa con un crítico papel en la proliferación celular (215). Se ha observado que ARF1 controla la proliferación celular mediante la regulación de la actividad pRB/E2F1 en células de cáncer de mama (216). Del mismo modo, rs2070960 podría modular la expresión de ARF1 en OS, alterando la proliferación celular. De hecho, mediante análisis *in silico* se observó que el alelo T crea nuevos sitios de unión para los factores de transcripción CP2 y P (F-SNP), lo que podría alterar la expresión del gen.

El SNP rs2273626 de mir-4707 también resultó significativo en la población eslovena, donde el genotipo AC+CC aumentó el riesgo de OS ( $OR=5,01$ ). Este SNP se mantuvo significativo en la población conjunta. Hasta el momento, no se han establecido qué genes están regulados por mir-4707. No obstante, este miRNA se localiza en la región 5'UTR del gen *HAUS augmin-like complex, subunit 4 (HAUS4)*. Este gen codifica para una subunidad del complejo del centrosoma denominado augmina, componente necesario para el agrupamiento del centrosoma. Concretamente, esta subunidad se localiza en el huso mitótico por lo que, podría participar en el ensamblaje mitótico y mantenimiento de la integridad del centrosoma durante la división celular (217). En OS, el genotipo AC+CC del SNP rs2273626 podría modificar los niveles de expresión del gen *HAUS4*, alterando la división celular en OS.

El SNP rs9877402 de mir-5682 también se asoció con el riesgo de OS. Está situado en la región pre-madura del miRNA, lo que *a priori* podría alterar los niveles de expresión del miRNA maduro. Sin embargo, no se conocen los genes que regula. Mir-5682 está localizado en el cuarto intrón del gen *syntaxin binding protein 5-like (STXBP5L)*, también llamado tomosina 2 que codifica para proteínas transmembrana que participan en la exocitosis (217). Es sabido

que los miRNAs se transportan a través de vesículas o exosomas al exterior de la célula (218, 219), por lo que es de esperar que alteraciones en la familia de las tomosinas afecten al transporte de los miRNAs vía vesículas. Apoyando esta idea, se han observado alteraciones en la expresión de genes de la familia de las tomosinas en OS metastásico, lo que potencialmente podría desestabilizar la membrana plasmática de las células de OS (220) y alterar la exocitosis de los miRNAs. Por ello pensamos que rs9877402 podría alterar la expresión del gen *STXBP5L* modificando la regulación de la exocitosis.

Otros resultados significativos fueron los encontrados en los SNPs rs4674470 en mir-4268, rs6726779 en mir-4431 y rs243080 en mir-4432. Sin embargo, su asociación con OS no pudo ser explicada.

Otro resultado interesante de la población eslovena fue la asociación encontrada entre el SNP rs3746444 en el pre-mir-499 y el riesgo a desarrollar OS. El alelo G de este SNP se asoció con una aumento del riesgo ( $OR=6,71$ ). Rs3746444 es uno de los polimorfismos más estudiados en miRNAs. Ha sido asociado con el riesgo a desarrollar diversos tipos de cáncer (221-225). Además, en línea con nuestros resultados, dos meta-análisis han sugerido que el alelo G reduce el riesgo a desarrollar cáncer en población caucásica (226, 227). Sin embargo, ésta es la primera vez que se asocia este SNP con el riesgo de OS. Rs3746444 está situado en la región premadura del mir-499-5p y en la región *seed* de mir-499-3p. Las posibles dianas de estos miRNAs son *RECQL* y *RB1*, respectivamente (186). Ambos genes están implicados en la reparación y estabilización del genoma. Tal y como se ha comentado anteriormente, el gen *RB1* está alterado en aproximadamente el 35% de los OS esporádicos, mientras que *RECQL* está alterado en tres de los síndromes de predisposición hereditaria al cáncer con mayor riesgo de OS (Síndromes RTS, Werner y Bloom). Específicamente en población eslovena, el alelo de protección G podría provocar la sobre-expresión de mir-499, quien a su vez disminuiría la expresión de estos genes, que inactivados, parecen estar implicados en la susceptibilidad del OS.

Al sumar los datos de las dos poblaciones, encontramos tres nuevos SNPs significativamente asociados con el riesgo a desarrollar OS (rs2910164, rs4112253 y rs67042258). En estos 3 SNPs las dos poblaciones presentaban la misma tendencia, por lo que al aumentar el tamaño muestral aumentó el poder estadístico, encontrando resultados significativos.

De los tres SNPs el resultado más interesante fue la asociación encontrada en rs2910164 del mir-146a donde el CG+CC confería protección (OR=0,58), por lo que, el genotipo GG confería riesgo. Este polimorfismo ha sido ampliamente estudiado y ya se han realizado varios MA en los que se ha encontrado asociación con carcinoma hepatocelular (228) y cáncer gástrico (229, 230). En OS, este polimorfismo fue analizado por LV H y cols, no encontrando asociación ( $p=0,1$ ) (110), pero sí tendencias de riesgo en GG, lo que apoya nuestro resultado. Esta diferencia de resultados podría deberse a diferencias poblacionales (este estudio se realizó en población china). Rs2910164 está localizado en la hebra 3p de miR-146. El alelo C conlleva a la disminución de la producción de mir-146 maduro (231). Uno de los posibles genes diana de este miRNA es el gen *TNF receptor associated factor 6* (TRAF6), que se ha visto regula la capacidad de proliferación, apoptosis e invasión de las células de OS en líneas celulares (232).

Otro resultado interesante fue el detectado en el SNP rs4112253 de mir-4752. Mir-4752 no tiene genes diana conocidos. El SNP se localiza también en el primer intrón del gen *leukocyte immunoglobulin-like receptor, subfamily A member 6* (LILRA6), situado en 19q13.4. Este gen forma parte de un *cluster* de receptores de leucocitos sujeto a múltiples CNVs y CNAs (233). Específicamente en OS, ya se han descrito CNAs (amplificaciones) en esta región (234-236).

Finalmente, el tercer nuevo SNP significativo en la población conjunta fue rs67042258, localizado en mir-6128 y cuyas dianas aún no están descritas. Mir-6128 se sitúa en la región 5' del gen *olfactory receptor, family 9, subfamily G, member 4* (OR9G4) localizado en la región 11q12.2. Por el momento, el papel de este gen en la susceptibilidad a OS es desconocido. En otro tipo de tumores, sí se ha observado la sobreexpresión de genes de la familia de OR9G4 (237, 238), provocando la inhibición *in vitro* de la proliferación celular en cáncer de próstata (239, 240).

En resumen, esta es la primera vez que se realiza un estudio tan extensivo de SNPs en pre-miRNAs en relación con la susceptibilidad a desarrollar OS. En este estudio se detectaron un total de 26 SNPs en 25 miRNAs que podrían estar implicados en la susceptibilidad del OS. El resultado más destacable se encontró en la población española, en la que 4 polimorfismos en 4 miRNAs del *cluster* de la región 14q32 se asociaron con el riesgo de OS, *cluster* que regula MYC y cuya desregulación ya ha sido asociada al OS. Estos resultados indican un posible *hotspot* de susceptibilidad del OS. Con respecto a la población eslovena, encontramos una

deleción en la región 16q24 asociada con un incremento del riesgo a desarrollar OS. En este estudio se encontraron también variantes significativas en mir-499 y mir-146a que ya habían sido asociadas con otros cánceres. Otro resultado interesante fue que al analizar las dos poblaciones conjuntamente, aumentamos el poder estadístico, y por ello, encontramos nuevos marcadores de riesgo en mir-146a, mir-4752 y mir-6128. Estos resultados nos llevan a pensar que estos 3 polimorfismos en miRNAs funcionan como posibles marcadores de susceptibilidad de OS a nivel poblacional.

## *Conclusiones*



## CONCLUSIONES

1. Tras el estudio de asociación en nuestras poblaciones y posterior MA de las variantes genéticas en el gen *MDM2*, rs1690916 y rs2279744, no confirmamos la asociación con el riesgo a desarrollar OS. Por tanto, estas variantes no deberían de considerarse como marcadores de susceptibilidad en OS.
2. En el caso del SNP rs231775 en el gen *CTLA4*, confirmamos los resultados de los estudios previos. Por lo tanto, el SNP rs231775 en el gen *CTLA4* podría ser considerado marcador de susceptibilidad en OS.
3. Nuestros resultados refuerzan la importancia de la función del complejo RISC en la susceptibilidad del cáncer ya que, hemos encontrado variantes genéticas en tres genes de este complejo (rs11866002 en *CNOT1*, rs3812265 en *CNOT4* y rs3823994 en *SND1*) asociadas con la susceptibilidad a desarrollar OS.
4. Nuestro resultados apoyan la idea de que la región 14q32 es un *hotspot* de la susceptibilidad a desarrollar OS. Esto puede ser debido, en parte, a variantes genéticas en miRNAs de este *cluster* cuya función es regular el oncogen *MYC* en OS.

Los resultados encontrados destacan el interés de los ncRNAs en la susceptibilidad a desarrollar OS juvenil. Se abre un interesante campo de estudio que ayudará a entender mejor la biología de esta patología y por tanto, su prevención y/o tratamiento.



**Osteosarkoma pediatrikoaren suszeptibilitatean inplikatuta  
dauden aldaera genetikoak**



## Laburdurak

|          |   |
|----------|---|
| %95KT    | %95ko konfidantza-tartea  |
| 3'UTR    | Itzultzen ez den genearen 3'gunea   |
| 5'UTR    | Itzultzen ez den genearen 5'gunea   |
| aa       | Aminoazidoa   |
| AEB      | Estatu Batuak   |
| Ala      | Alanina   |
| AM       | Kontroletan maiztasunik txikiena duen aleoa                               |
| AMM      | Alelo minimoaren maiztasuna   |
| AP1      | <i>Activator protein 1 transcription factor genea</i>                     |
| ARID5B   | <i>AT rich interactive domain 5B genea</i>                                |
| ARMS-PCR | <i>Amplification Refractory Mutation System-Polymerase chain reaction</i> |
| ASO      | Hasle alelo espezifikoa   |
| BMP2     | <i>bone morphogenetic protein 2 genea</i>                                 |
| bp       | Base pare   |
| C9orf3   | <i>Chromosome 9 open reading frame 3 genea</i>                            |
| CCNE1    | <i>Cyclin E1 genea</i>  |
| CDK4     | <i>Cyclin-dependent kinase 4 genea</i>                                    |
| CEBPE    | <i>CCAAT/enhancer binding protein (C/EBP), epsilon genea</i>              |
| CGH      | <i>Comparative Genomic Hybridization</i>                                  |
| c-MET    | <i>MET proto-oncogene, receptor tyrosine kinase genea</i>                 |
| CNOT1    | <i>CCR4-NOT transcription complex, subunit 1 genea</i>                    |
| CNOT2    | <i>CCR4-NOT transcription complex, subunit 2 genea</i>                    |
| CNOT3    | <i>CCR4-NOT transcription complex, subunit 3 genea</i>                    |
| CNOT4    | <i>CCR4-NOT transcription complex, subunit 4 genea</i>                    |
| CNOT5    | <i>CCR4-NOT transcription complex, subunit 5 genea</i>                    |
| CNOT6    | <i>CCR4-NOT transcription complex, subunit 6 genea</i>                    |
| CNV      | Kopia kopuru aldaerak   |
| COL1A1   | <i>Collagen, type I, alpha 1 genea</i>                                    |
| CSMD3    | <i>CUB and Sushi multiple domains 3 genea</i>                             |
| CTLA4    | <i>Cytotoxic T-lymphocyte-associated protein 4 genea</i>                  |
| de       | Desbiderapen estandarra   |
| DGCR8    | <i>DGCR8 microprocessor complex subunit genea</i>                         |
| DGV      | Database of Genomic Variation   |
| DICER    | <i>Dicer 1, ribonuclease type III genea</i>                               |
| DNA      | Azido desoxirribonukleikoa  |
| Dom      | Dominantea  |
| DROSHA   | <i>Drosha, ribonuclease type III genea</i>                                |
| dsRNA    | Harizpi bikoitzeko RNA  |
| E2F1     | <i>E2F transcription factor 1 genea</i>                                   |
| EE       | Ez eskuragarria   |
| EIF2C1   | <i>Gen eukaryotic translation initiation factor 2C, 1 genea</i>           |
| EIF2C2   | <i>Gen eukaryotic translation initiation factor 2C, 2 genea</i>           |
| ENCODE   | DNA elementuen entziklopedia  |
| Erref    | Erreferentzia   |
| Errez    | Errezesiboa   |
| F        | <i>Forward</i>  |
| FDR      | <i>False discovery rate</i>   |
| Fr       | Maiztasun alelikoa  |
| GENIM3   | <i>DEAD (Asp-Glu-Ala-Asp) box helicase 20 genea</i>                       |

|                 |  |
|-----------------|--|
| <i>GENIM4</i>   | <i>Gem (nuclear organelle) associated protein 4</i> genea            |
| <i>GENIM5</i>   | <i>Gem (nuclear organelle) associated protein 5</i> genea            |
| <i>GH1</i>      | <i>Growth hormone 1</i> genea  |
| <i>GK</i>       | Gune kromosomikoa  |
| <i>Gln</i>      | Glutamina  |
| <i>GRM4</i>     | <i>Glutamate receptor, metabotropic 4</i> genea                      |
| <i>GWAS</i>     | genoma osoko aldaera genetikoen azterketa                            |
| <i>HIWI</i>     | <i>Piwi-like RNA-mediated gene silencing 1</i> genea                 |
| <i>HWO</i>      | Hardy-Weinberg oreka   |
| <i>IGF1</i>     | <i>Insulin-like growth factor 1 (somatomedin C)</i> genea            |
| <i>IGF2R</i>    | <i>Insulin-like growth factor 2 receptor</i> genea                   |
| <i>IKZF1</i>    | <i>IKAROS family zinc finger 1</i> genea                             |
| <i>Ile</i>      | Isoleuzina   |
| <i>ISCIII</i>   | Instituto de Salud Carlos III  |
| <i>JUND</i>     | jun D proto-onkogenea  |
| <i>Kod</i>      | Kodominantea   |
| <i>Log</i>      | Log-aditiboa   |
| <i>LOH</i>      | Heterozigositate-galera  |
| <i>LSAMP</i>    | <i>Limbic system-associated membrane protein</i> genea               |
| <i>LSO</i>      | Hasle lokus espezifikoa  |
| <i>M</i>        | miRNA heldua   |
| <i>MA</i>       | Meta-analisia  |
| <i>MDM2</i>     | <i>MDM2 proto-oncogene, E3 ubiquitin protein ligase</i> genea        |
| <i>miRISC</i>   | RISC konplexua eta miRNA multzoa                                     |
| <i>miRNAk</i>   | mikroRNAk  |
| <i>mir-SNP</i>  | Pre-miRNA/miRNAtan dauden SNP  |
| <i>mRNA</i>     | RNA mezulariaren   |
| <i>MYC</i>      | <i>v-myc myelocytomatosis viral oncogene homologue (avian)</i> genea |
| <i>NBN</i>      | <i>Nibrin</i> genea  |
| <i>ncRNA</i>    | RNA ez kodetzailea   |
| <i>NGS</i>      | <i>Next Generation Sequencing</i>                                    |
| <i>NPNT</i>     | <i>Nefronectin</i> genea   |
| <i>OME</i>      | Osasunaren Mundu Erakundea   |
| <i>OR</i>       | Odds ratio   |
| <i>OS</i>       | Osteosarkoma   |
| <i>PCR-RFLP</i> | Errestrikzio entzimen bidezko PCR amplifikazioa                      |
| <i>PE</i>       | Gure azterketa   |
| <i>PM</i>       | miRNA pre-heldua   |
| <i>pRB</i>      | Erretinoblastomaren proteina   |
| <i>PRISMA</i>   | Preferred Reporting Items for Systematic Reviews and Meta-Analyses   |
| <i>PTBP1</i>    | <i>Polypyrimidine tract binding protein 1</i> genea                  |
| <i>PTEN</i>     | <i>Phosphatase and tensin homolog</i> genea                          |
| <i>R</i>        | Reverse  |
| <i>RAN</i>      | <i>RAN, member RAS oncogene family</i> genea                         |
| <i>RB1</i>      | <i>Retinoblastoma 1</i> genea  |
| <i>RECQL4</i>   | <i>RecQ protein-like 4</i> genea                                     |
| <i>RISC</i>     | <i>RNA-inducing Silencing</i> konplexua                              |
| <i>RUNX2</i>    | <i>Runt-related transcription factor 2</i> genea                     |
| <i>SF1</i>      | <i>Splicing factor 1</i> genea                                       |
| <i>SGIKER</i>   | Euskal Herriko Unibertsitateko Zerbitzu Orokorrak                    |
| <i>SND1</i>     | <i>Staphylococcal nuclease and tudor domain containing 1</i> genea   |
| <i>SNP</i>      | Nukleotido bakarreko aldaketa  |

|        |  |
|--------|--|
| ssRNA  | Kate bakuneko RNA  |
| TARBP2 | <i>TAR (HIV-1) RNA binding protein 2</i> genea           |
| TBE    | Tris/Borato/EDTA disoluzioa                              |
| TGFBR1 | <i>Transforming growth factor, beta receptor 1</i> genea |
| Thr    | Treonina   |
| TNRC6A | <i>Trinucleotide repeat containing 6A</i> genea          |
| TNRC6B | <i>Trinucleotide repeat containing 6B</i> genea          |
| TP53   | <i>Tumor protein p53</i> genea                           |
| TRAF6  | <i>TNF receptor associated factor 6</i> genea            |
| Val    | Balina   |
| VEGFA  | <i>Vascular endothelial growth factor A</i> genea        |
| W      | Pisua meta-analision                                     |
| XPO5   | <i>Exportin 5</i> genea                                  |
| ZAA    | Zelula antigeno-aurkezlea                                |
| ZAM    | Zelula ama mesenkimalak                                  |
| ZAT    | Zelula ama tumoralak                                     |



## **Aurkibidea**

**SARRERA**

**241**

|   |            |
|---|------------|
| <b>OSTEOSARKOMA .....</b>                           | <b>243</b> |
| Gaixotasunaren ezaugarri nagusiak .....             | 243        |
| Epidemiologia.....                                  | 243        |
| Faktore pronostikoak eta tratamendua.....           | 244        |
| Tumorearen ezaugarriak.....                         | 244        |
| Ezaugarri histopatologikoak.....                    | 245        |
| Ezaugarri genetikoak.....                           | 245        |
| Etiologia.....                                      | 247        |
| Osteosarkomaren suszeptibilitatearen genetika ..... | 248        |
| Gene kandidatoen bidezko azterketa .....            | 251        |
| Genoma osoko azterketak .....                       | 252        |
| <br>  |            |
| <b>GUNE EZ KODETZAILEAK .....</b>                   | <b>256</b> |
| miRNAk.....   | 257        |
| miRNAen prozesamendu geneak eta minbizia .....      | 261        |
| miRNAk eta minbizia .....                           | 262        |
| <br>  |            |
| <br>  |            |
| <br>  |            |
| <b>HIPOTESIA ETA HELBURUAK</b>                      | <b>265</b> |
| <b>HIPOTESIA.....</b>                               | <b>267</b> |
| <b>HELBURUAK.....</b>                               | <b>269</b> |
| <br>  |            |
| <br>  |            |
| <br>  |            |
| <b>MATERIAL ETA METODOAK</b>                        | <b>271</b> |
| <b>PAZIENTEAK .....</b>                             | <b>273</b> |
| <b>OSREN ARRISKUAREKIN ASOZIATURIKO SNPAK.....</b>  | <b>275</b> |

|   |                   |
|---|-------------------|
| OSren suszeptibilitatearekin asoziatutako geneen hautaketa.....       | 275               |
| <i>MDM2</i> genearen rs1690916 SNPen genotipazioa.....                | 275               |
| <i>MDM2</i> genearen rs2279744 SNPen genotipazioa.....                | 278               |
| <i>MDM2</i> genearen rs1690916 eta rs2279744 SNPen meta-analisia..... | 280               |
| <i>CTLA4</i> genearen rs231775 SNPen genotipazioa .....               | 284               |
| <i>CTLA4</i> genearen rs231775 SNPen meta-analisia .....              | 284               |
| <b>MIRNA GENEKIN ERLAZIONATUTAKO SNPEN.....</b>                       | <b>285</b>        |
| OSren suszeptibilitatean adierazpen aldaketa duten miRNA bilaketa .   | 285               |
| MiRNA prozesamendu geneen SNPen azterketa .....                       | 286               |
| MiRNA prozesamendu geneen SNP-hautaketa.....                          | 286               |
| MiRNA prozesamendu geneen SNPen genotipazioa.....                     | 289               |
| MiRNA geneen SNPen azterketa.....                                     | 290               |
| MiRNA geneen SNP-hautaketa.....                                       | 290               |
| MiRNA geneen SNPen genotipazioa.....                                  | 291               |
| MiRNAen bigarren mailako egituraren <i>in silico</i> analisia.....    | 292               |
| <b>ANALISI ESTATISTIKOAK.....</b>                                     | <b>292</b>        |
| <b><u>EMAITZAK</u></b>  | <b><u>295</u></b> |
| <b>OSREN SUSZEPTIBILITATEAREKIN ASOZIATUTAKO SNPEN BALIDAZIOA .</b>   | <b>296</b>        |
| <i>MDM2</i> genearen SNPen asoziazio analisia.....                    | 296               |
| <i>MDM2</i> SNPen bilaketa bibliografikoa eta meta-analisia.....      | 303               |
| <i>CTLA4</i> genearen SNPen asoziazio analisia.....                   | 311               |
| <i>CTLA4</i> SNPen bilaketa bibliografikoa eta meta-analisia.....     | 314               |
| <b>MRNAEKIN ERLAZIONATUTAKO GENEEN SNPEN AZTERKETA .....</b>          | <b>317</b>        |
| OSren suszeptibilitatean adierazpen aldakorreko miRNAen bilaketa ..   | 317               |
| MiRNAen prozesamendu geneen SNPen asoziazio analisia .....            | 319               |
| MiRNA geneen SNPen asoziazio analisia.....                            | 322               |

**EZTABaida** **333**

***MDM2 GENEAREN AZTERKETA..... 336***

***CTLA4 GENEAREN AZTERKETA..... 339***

***MIRNAEKIN ERLAZIONATUTAKO GENEEN AZTERKETA ..... 341***

*MiRNA prozesamendu geneen SNPen azterketa .....341*

*MiRNA geneen SNPen azterketa .....344*

**AZKEN HAUSNARKETAK** **353**

**REFERENCIAS/ERREFERENTZIAK** **355**



# **SARRERA**



# **OSTEOSARKOMA**

## **1.1 GAIXOTASUNAREN EZAGARRI NAGUSIAK**

Osteosarkoma (OS) edo sarkoma osteogenikoa lehen mailako hezur-minbizirik arruntena da, %20ko maiztasuna baitu lehen mailako minbizien artean (1, 2). Hezur-muinean sortzen den tumorea da eta berau osatzen duten zelula neoplasikoek hezur-ehuna suntsitzen dute eta osteoidea deitzen den heldubako hezurra ekoizten dute (3).

## **1.2 EPIDEMIOLOGIA**

OS lehen mailako hezur-minbizirik ohikoena da, 4-5 kasu/milioi biztanlerik behin gertatzen da. Adin-talde guztietan eman daiteken arren, gaztetan gertatzen da batez ere. Izan ere, kasuen %70a 40 urte baino gazteagoak dira. Azken hamarkadetan gaixotasunaren intzidentzia areagotu da emakume gazteagoen artean.

Orohar, OS gizonezkotan maiztasun handiagoa du emakumezkotan baino, 1,35:1 proportzioan (3). Parkinek eta kolaboratzaileak argitaratutakoaren arabera Europa hegoaldean OS pediatrikoek intzidentzia handiagoa dute (4). Haurren tumoreen erregistro nazionalaren arabera, 0 eta 15 urtetan Spainian 32 eta 36 kasu diagnostikatzen dira urtean (<http://www.uv.es/rnti/cancerinfantil.html>).

Gaixotasuna gaztaroen gertatzen denean pubertaroko aldaketekin eta hezurren hazkundeak zerikusia dutela uste dute (5, 6). Gaixotasun hau hirugarren adinean gaixotasun sarritan gertatzen da, alabaina, bere jatorria beste hezur gaitzek, Paget gaixotasuna esaterako (OS kasuen %1) eta irradiazioak (OS kasuen %4) zerikusia dutela uste dute.

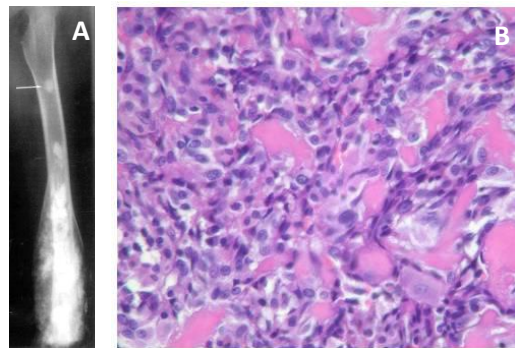
### **1.3 FAKTORE PRONOSTIKOAK ETA TRATAMENDUA**

OS gaixotasun agresiboa da eta maiz heriotza dakar garaiz tratatzen baldin ez bada. Tratamedu estandarra, farmako antineoplasikoak (doxorubizina, karboplatinoa, ifosfamida eta metotrexatoa) eta kirugia konbinatzean datza, tumorea eta metastasiak txikitu eta mozteko (7). Estrategia terapeutiko hauek bost urteko biziraupen-tasa %50 eta %70 aranean izatea lortu dute OS lokalizatuetan. Alabaina, OS metastasikoen kasuan (pronostiko larria) biziraupena %20 da.

Tumorearen tamainua, bolumena, kokapena (mutur proximalean edo hezurdura axialean kokatuta dagoenean) eta kirugia aurreko kimioterapiaren erantzun eza larria pronostikoa okerragotu dezakete (3).

### **1.4 TUMOREAREN EZAUGARRIAK**

OSren jatorria hezur-hazkunde arina eta hezur luzetako muturretan gertatzen da batez ere, femurraren alde distalean, tibia eta humeroaren alde proximalean (1.a Irudia). Nahiz eta hezur luzetan OS garapena maizagoa izan hezur laburretan ere gertatzen da (adib. pelbis, bizkarrezur eta garezurrean) batez ere, adineko kasuetan (3).



**1. irudia.** A) Femurraren OS erradiografia (3). B) Nukleoaren itxura atipikoa eta osteoidea ekoizten duten zelula fusiforme anitzen populazioa-tindaketa eosinofiloan (8).

#### **1.4.1 Ezaugarri histopatologikoak**

Maila histologikoan zelula osteoblasiko fusiforme gaiztoak bereizten dira. Zelula hauen ezaugarririk nabarmenena osteoidea ekoizteko ahalmena da. Osteoidea, hezur-zelula eta hezur-matriz (ekoiztuberria, kaltzifikatugabekoa eta osteoblasto aktiboen alboan dagoena) ez mineralizatua duen ehuna da. Bestalde, OS azpimota histologikoak daude tumorearen ezaugarri (itxura, hazkundea eta hedatze-ahalmena), zelula hauen gaiztotasun maila (gradu altua eta baxua) eta kokapenaren arabera. Azkenik, Osasunaren Mundu Erakundeak (OME) tumorearen kokapenean oinarrituz 12 tumore osteogeniko bereizten ditu. Hauen artean ugariena, (%80) OS konbentzionala da eta tumorea muineko barrunbetan kokatzen delako bereizten da (9). Gainera, OS mota azpimota honetan osteoidea ehun mota ezberdinekin nahasita egon daiteke: ehun zuntzuarekin eta ehun kartilaginosoarekin. Hori dela eta, OME-k hiru OS konbentzional azpimota definitu zituen bere matrizea osatzen duten materialen arabera: OS osteoblastikoa (osteoida soilik)(76-80%), OS kondroblastikoa (osteoida ehun kartilaginotsuarekin) (10-13 %) eta OS fibroblastikoa (osteoida ehun zuntzuarekin) (10 %) (3). Ezaugarri histologiko ezberdinak aurkeztu arren, portaera klinikoa eta tratamendua beretsua da azpitalde hauetan.

#### **1.4.2 Ezaugarri genetikoak**

Genetikaren ikuspuntutik, OS konbentzionalak aberrazio kromosomiko anitz (zenbakizkoak eta egiturazkoak) duen kariotipo konplexua aurkezten du. Hala ere, oraindik ez da aberrazio kromosomiko zehatzik aurkitu tumore honetan. Hala ere, azido desoxierribonukleotido (DNA) tumoralean, zenbait gunetan amplifikazio eta kopia kopuru

aldaeren (*copy number variation*, CNV) irabaziak (1p36, 1q21-22, 6p12-21, 8q21-24, 12q11-14, 17p11-13 eta 19q12-13) eta galerak (3q13, 8p21, 9p13 eta 13q14) sarritan topatu dira hibridazio genomiko konparatuko (*comparative genomic hybridization*, CGH) array-en bidezko ikerketa ezberdinetan (3). Gune hauetan osteosarkomagenesian parte-hartze biologiko zuzena azaldu dezaketen gene ugari kokatzen dira. Adibidez, 3q13 zonaldean delezio edo heterozigositate-galerak (*loss of heterozygosity*, LOH) gertatzen dira eta bertan, *limbic system-associated membrane protein (LSAMP)* genea kokatuta dago. Gene honen adierazpena OS-ren progresio eta biziraupen okerraren adierazlea dela ikusi dute (10). Bestalde, 6p12-21 eremu kromosomikoan amplifikazioa topatu ohi da tumoreen %40-50 kasuetan. Eremu honetan, *runt-related transcription factor 2 (RUNX2)* genea (diferentiazio osteoblastikoaren arduradunetako bat (11) eta *vascular endothelial growth factor A (VEGFA)* genea (angiogenesian parte hartzen du) (12) kokatzen dira. Azkenik, tumore hauen %45-55etan amplifikazioak eta irabaziak behatu dira 8q21-24 eremu kromosomikoan non *v-myc avian myelocytomatosis viral oncogene homolog* onkogenea (*MYC*) kokatuta dagoen (13-15).

Gene mailan, DNAREN konponketarekin erlazioa duten geneek eta ziklo zelularreko geneek ere aldaera genetikoak dituzte OS esporadikoetan. Genomaren egonkortze eta konponketa prozesuan diharduten geneen artean erretinoblastomaren genea (*RB1*) 13q14 eremu kromosomikoan eta p53 gene-tumore ezabatzalea (*TP53*) 17p13.1 eremu kromosomikoan azpimarragarrienak dira hurrenez hurren (16-18). Gene hauetan LOH eta delezio fenomenoak maiz topatzen dira, eta hori dela eta, geneak inaktibatzen dira OS esporadikoen %35 eta %40an, hurrenez hurren. Maiztasun txikiagoan, tumoreen %10an alegia, *MDM2* protoonkogenean (*TP53* genearen antagonista) amplifikazioak behatzen dira eta *RecQL protein-like 4* genea (*RECQL4*) %5etan mutazioak (18, 19). Ziklo zelularreko genei dagokiela, *CDK4* genea 12q13-14 eremuan eta *CCNE1* genea 19q12 eremuan, biak ziklinak, amplifikazioak behatu zaizkie tumoreen %10an (20, 21).

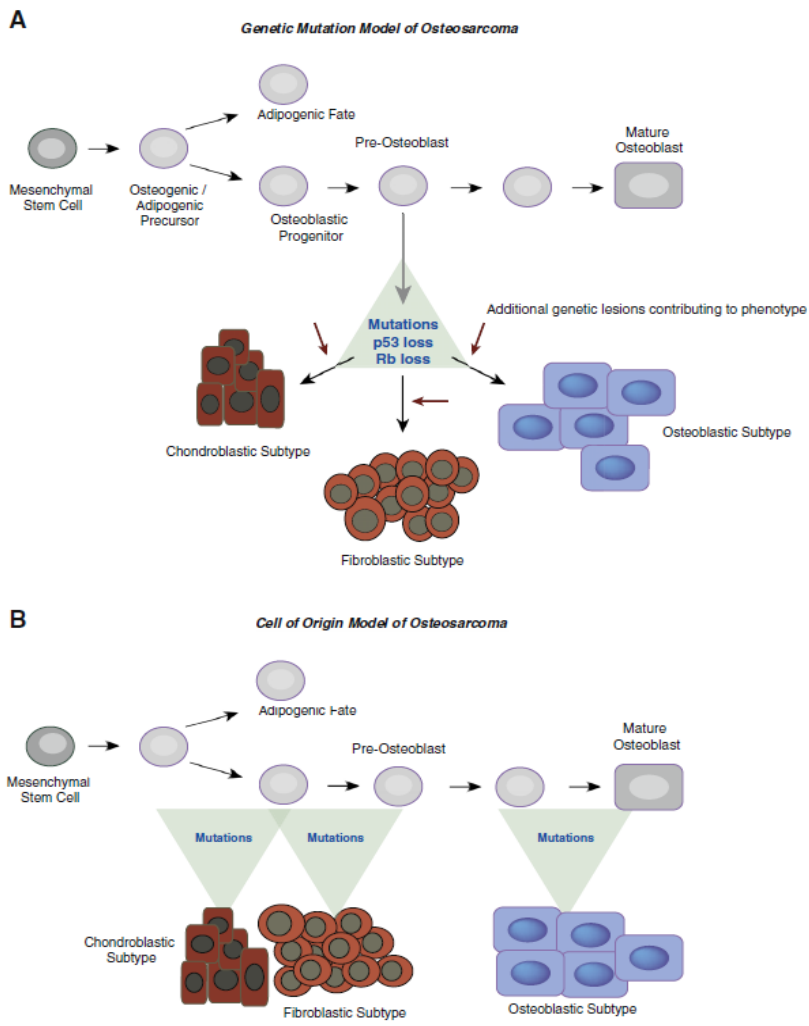
Duela gutxi, gainera, *Next Generation Sequencing* (NGS) edo sekuentziazio masibo bidezko ikerketetan OS tumore-ehunen genoman *chromotripsy* (kromosomen errausprena) deitzen den mekanismo genetiko berria behatu da, OSren garapenarekin erlazionatua. Fenomeno hau kromosoma osoan zein beso baten CNV eta LOH-ak txandakatzen dituelako ezagutzen da (22). Hori dela eta, mekanismo hau OS esporadikoen garapenean inplikatuta dagoela ematen du (23).

## **1.5 ETIOLOGIA**

Zenbait arrisku faktore deskribatu dira OS jatorrian: ingurune-faktoreak (urretiko trauma, bai erradioterapia bai kimioterapia jaso izana eta hezur-lesio onberak) eta faktore genetikoak (heredatutako mutazioak eta somatikoak).

OS azkar berriztatzen diren hezur-ehunetan maiz agertzen da. Gune hauetan, hezur-eta kartilago-zelulak zelula ama mesenkimaletatik (ZAM) azkar ezberdintzatzen dira eta hori dela eta, mutazioak gertatzeko joera dagoenez, zelula ama tumoraleetara (ZAT) ezberdintzatuko dira (24).

Egun, bi teoria daude OSren sorrera azaltzeko. Lehengo teoriaren arabera, osteoblasto aitzindaritik heldurako ezberdintzaren-prozesuko urrats ezberdinatan mutazioak gertatzen direla aldarrikatzen du (25). Prozesu honetan, mutazioak gertatzen diren urrats ezberdinatan azpimota histologikoak (kondroblasto, fibroblasto eta osteoblastikoa) eratorriko litzateke. Bigarren teoriak dioen moduan, mutazioak osteoblasto aitzindari bakarrean gertatuko litzateke eta ondorioz, azpimota histologiko guztiak aitzindari honetatik eratorriko litzateke (26) (2.irudia).



2. irudia. OSren sorrera azaltzeko teoriak (27).

## 1.6 OSTEOSARKOMAREN SUSZEPTIBILITATEAREN GENETIKA

OSren sorrera horren kasu gehienetan gaztaroen izatean gaixotasun honen jatorrian aldagai genetiko garrantzitsua egotea adierazten du. Gainera, OSren arriskua handiagoa da minbizi heredagarria duten zenbait sindrometan: Li-Fraumeni sindromearen, Erretinoblastoma heredagarrrian, Rothmund-Thomson sindromearen, Bloom eta Werner-ren sindromearen eta Diamond Blackfan-en sindromearen (1. taula). Sindrome hauek DNAren konponketan eta mantentzean dihardutenean genetikoa penetrantzia osoa duten mutazioak eragiten dituzte (28).

**1. taula** OS-ren sorrerarekin erlazionatutako minbizi heredagarria duten sindromeak ((28) moldatuta).

| Sindromea        | Genea                   |
|------------------|-------------------------|
| Li-Fraumeni      | <i>TP53</i>             |
| Retinoblastoma   | <i>RB1</i>              |
| Rothmund Thomson | <i>REQL4</i>            |
| Werner           | <i>WRN</i>              |
| Bloom            | <i>BLM</i>              |
| Diamond Blackfan | Proteina erribosomikoak |

Sindrome hauek nahiko arraroak eta OS kasu guztien %5a bakarrik osatzen dute (1). Izan ere, kasu gehienak OS esporadikoak dira.

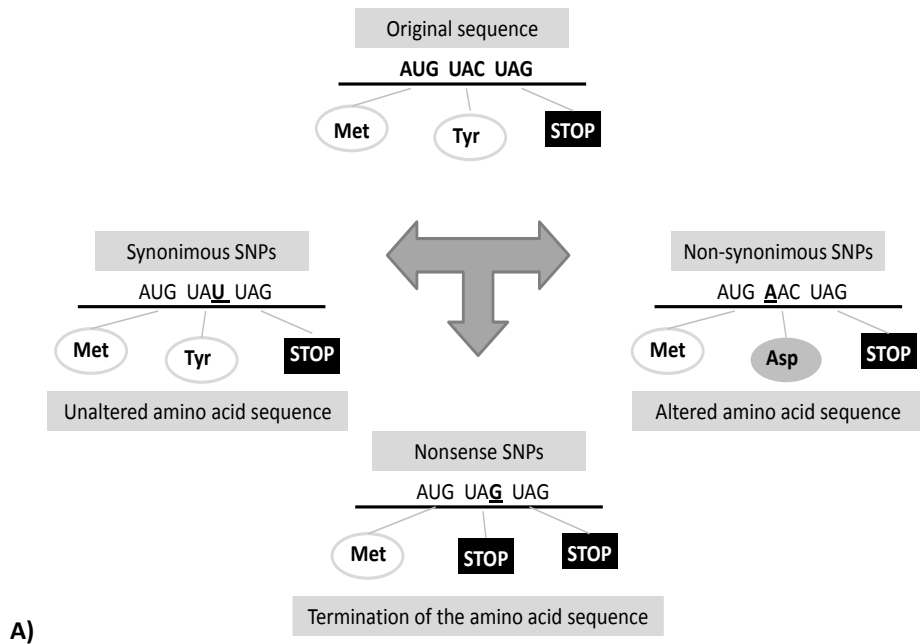
Oro har, OSa gaztaroen gertatzen den gaixotasuna da, beraz, aldagai genetiko indartsuagoa izan dezakela uste da. Halere, oraindik ez da topatu gaixotasuna eragin dezaken predisposizio generik. Hainbat ikerketek proposatu dute modu ahulean jokatzen duten eta penetrantzia ez-osoak duten aldaera genetikoak OSren jatorrian eragiten dutela (28), hortaz, efektu txikien batuketa behar da gaixotasunaren suszeptibilitatean eragiteko.

agttc **G** aagccatatatgtactgaagccaaagcccattatgtactagttcaagccatataatgt

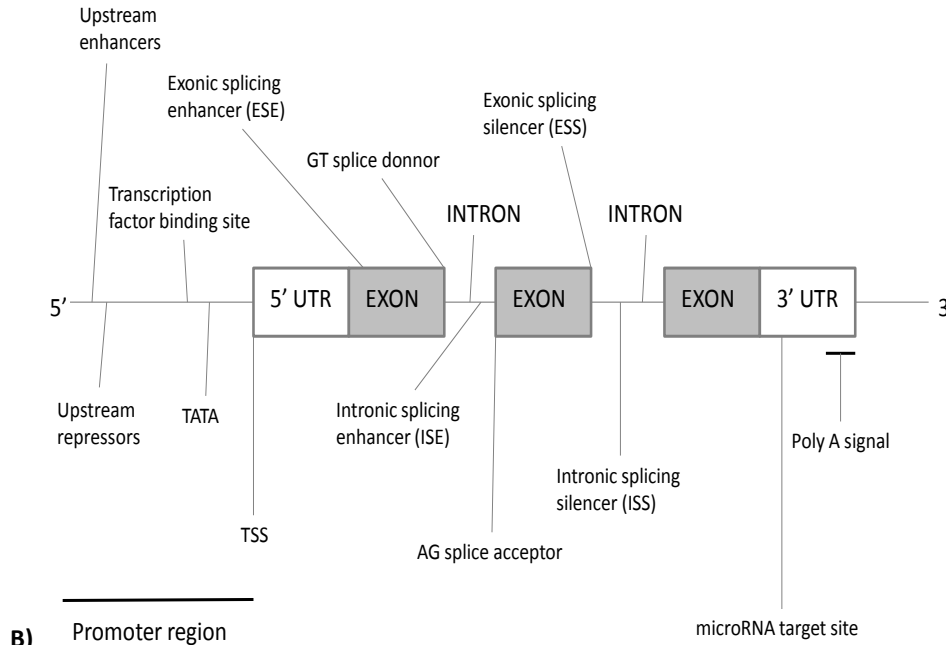
agttc **A** aagccatatatgtactgaagccaaagcccattatgtactagttcaagccatataatgt

**3. irudia.** SNP baten adibidea. Bi kromosoma adierazi dira eta SNPa dagoen gunean aleloak adierazi dira kromosoma bakoitzean.

Nukleotido bakarreko aldaketak edo, *single nucleotide polymorphisms* (SNPs) aldaera genetikorik arruntenetarikoa da (3. Irudia). Genoman alelo txikienaren maiztasuna %1a baino handiagoa duen 10 milioi SNP daudela estimatzen da eta giza genomaren %90ren aldakortasun genetikoa azaltzen du (28). SNPak bere kokapenaren arabera, proteinaren sekuentzian eragin (exoian edo moztitsasketa lekuian) edo genearen erregulazioan (promotorea, RNA ez kodetzailean (ncRNA) eta UTR eskualdea) (4.irudia).



A)



4. irudia A) Exoien aminoazidoen sekuentzian dauden SNPen efektu funtzionala. B) Bestelako efektua izan dezaketen SNPak.

Aldaera genetiko arruntak minbiziaren susceptibilitateean eragin dezaketela frogatu dute ikerketa lan askok. Zehazki, minbizi pediatrikoetan, esaterako leukemia linfoblastiko akutuan, aldakortasun genetikoaren %25a *ARID5B*, *IKZF1*, *PIP4K2* eta *CEBPE* genetan dauden aldaera genetiko arruntei dagokiela uste da (29).

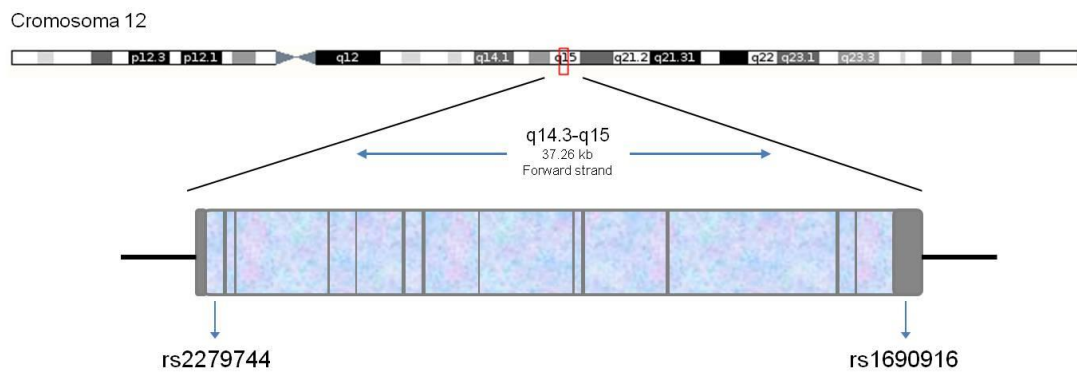
OSren kasuan, SNPen inplikazioa ikertzeko estrategia bi erabili dira: gene kandidatoen bilaketa bidezkoa eta genoma osoaren ikerketa bidezkoa.

### **1.6.1 Gene kandidatoen bidezko azterketa**

Gene kandidatuen estrategia *a priori* OSren biologiarekin inplikatuta egon daitezken geneen hautespenean oinarritzen da. Hori dela eta, mota hauetako azterketen emaitzek azalpen nahiko erraza izaten dute, aldez aurreko hipotesi batean oinarritzen baitira.

Orain arte, OSri dagokiola, 37 gene kandidatuen azterketa gauzatu dira 283 gene eta 5250 SNP analizatzuz (1. Taula osagarria). Gene gehienak ikerketa lan bakarrean aztertu ziren (n=250). Bakarrik 10 gene bi ikerketa lan baino gehiagotan aztertu ziren. Hamar gene hauetatik bost genetan (*IGF2R*, *TGFB1R1*, *COL1A1*, *RECQL4* eta *NBN*), azertutako SNP guztiak (n=42) ezberdinak ziren (2 Taula). Hamar genetatik hiru genetan (*TP53*, *GH1* eta *IGF1*), 4 SNPetan emaitza kontraesankorrik aurkitu daitezke ondorioetara heldu ezinik. Gainontzeko bi genetan, *MDM2* eta *CTLA4*, bi ikerketa lan baino gehiagotan 3 SNP OSren arriskuarekin asoziaturik aurkitu genituen (3. Taula).

*MDM2* genea faktore garrantzitsua da zelularen homeostasian eta hazkunde zelularrean, apoptosian eta seneszentzian p53, pRB eta E2F1 proteinak kontrolatzen ditu (30, 31). Gene honek nukleoko E3 ubikitin ligasa kodetzen du eta p53 proteina tumore-ezabatzairen degradazioa erregulatzen du (32). *MDM2* geneko polimorfismoek proteinaren funtzioa aldatu dezakete. Hori dela eta, ikerketa lan askok polimorfismo hauen asoziazioa aztertu dute OSren arriskuarekin. Gene honetan gehien aztertu diren polimorfismoak rs1690916 eta rs2279744 dira eta *MDM2*ren eskualde erregulatzailetan kokaturik daude. Hortaz, proteinaren adierazpena aldatu dezakete (5. Irudia). Bi polimorfismo hauek gaixotasun honen arriskuarekin asoziatuta daudela behatu dute (33-36).



**5. irudia.** MDM2 genean rs1690916 eta rs2279744 polimorfismoen kokapenaren adierazpena.

Bestalde, *CTLA4* genea inmunoglobulinen familiaren parte da eta T linfozitoen seinale inhibitzailea transmititzen duen antigenoa kodetzen du. *CTLA4* proteinak T zelulen aktibazio atalazea igo dezake, erantzun antitumoralak motelduz eta minbizia garatzeko suszeptibilitatea areagotuz (37, 38) (6. Irudia).



**6. irudia** *CTLA4* generaren funtzioa. Zelula antigeno aurkezle (ZAA), T zelula eta OS zelula tumoralen arteko elkarrekintza hipotetikoaren adierazpena ((39)tik moldatua).

Orain arte, gene honetan 6 SNPen asoziazioa aztertu dira OSren arriskuarekin. Haien artean, rs231775 (+49G>A) azertuena, *missense* aldaera honek aminoazidoen sekuentzia aldatzen du (treonina alaninagatik), eta horrek, *CTLA4* ekoizpena handitzen du (40). Horrez gain, SNP hau minbizi mota ezberdinei asoziatuta agertu da, esate baterako, bularreko minbizia, birikietako minbizia eta kolon eta ondesteko minbizia (41-43). Hori dela eta, polimorfismo honek ere OSren jatorrian parte har dezake.

**2. taula. OS arriskua bi artikulu baino gehiagotan aztertutako 5 geneen zerrenda (jarraitzen du).**

| Genea                | Polimorfismoa           | Kasuak | Kontrolak | Asoziaziorik | Bibliografia |
|----------------------|-------------------------|--------|-----------|--------------|--------------|
| <b><i>IGF2R</i></b>  | rs1003737               | 290    | NA        | BAI          | (44)         |
|                      | rs12202350              | 96     | 1426      | BAI          | (35)         |
|                      | rs2282141               | 96     | 1426      | BAI          |              |
|                      | rs2297372               | 96     | 1426      | BAI          |              |
|                      | rs384167                | 96     | 1426      | BAI          |              |
|                      | rs600324                | 96     | 1426      | BAI          |              |
|                      | rs9456484               | 96     | 1426      | BAI          |              |
|                      | rs1570070               | 104    | 74        | EZ           | (45)         |
|                      | rs1803989               | 104    | 74        | BAI          |              |
|                      | rs2065396               | 104    | 74        | EZ           |              |
|                      | rs2282140               | 104    | 74        | EZ           |              |
|                      | rs3777411               | 104    | 74        | EZ           |              |
|                      | rs3798180               | 104    | 74        | EZ           |              |
|                      | rs416572                | 104    | 74        | EZ           |              |
|                      | rs435612                | 104    | 74        | EZ           |              |
|                      | rs4709390               | 104    | 74        | EZ           |              |
|                      | rs4709392               | 104    | 74        | EZ           |              |
|                      | rs4709393               | 104    | 74        | EZ           |              |
|                      | rs629849                | 104    | 74        | EZ           |              |
|                      | rs648253                | 104    | 74        | EZ           |              |
|                      | rs687088                | 104    | 74        | EZ           |              |
|                      | rs7746102               | 104    | 74        | EZ           |              |
|                      | rs894817                | 104    | 74        | EZ           |              |
|                      | rs9456497               | 104    | 74        | EZ           |              |
|                      | rs998074                | 104    | 74        | BAI          |              |
|                      | rs998075                | 104    | 74        | BAI          |              |
| <b><i>TGFB1</i></b>  | rs1800469               | 202    | 216       | EE           | (46)         |
|                      | rs1800470               | 202    | 216       | BAI          |              |
|                      | rs334354                | 168    | 168       | BAI          | (47)         |
|                      | rs10819639              | 96     | 1426      | EZ           | (35)         |
|                      | rs11466445              | 168    | 168       | BAI          | (47)         |
| <b><i>COL1A1</i></b> | rs1061970               | 189    | 195       | BAI          | (48)         |
|                      | rs2075559               | 189    | 195       | BAI          |              |
|                      | rs17639446              | 96     | 1426      | BAI          | (35)         |
|                      | rs1800012               | 72     | 143       | EZ           | (49)         |
| <b><i>RECQL4</i></b> | Polimorfismo ezezagunak | 96     | 1426      | EE           | (35)         |
|                      | rs4251689               | 98     | 69        | EZ           | (50)         |
|                      | rs2721191               | 71     | 82        | EZ           | (51)         |
|                      | rs372372052             | 71     | 82        | EZ           |              |
| <b><i>NBN</i></b>    | rs1805794               | 120    | 120       | BAI          | (52)         |
|                      | rs709816                | 120    | 120       | EZ           |              |
|                      | rs1063054               | 120    | 120       | EZ           |              |
|                      | rs13312970              | 96     | 1426      | BAI          | (35)         |
|                      | Polimorfismoak          | 98     | 69        | EE           | (50)         |

Laburdurak: EE: ez eskuragarria. Berdean rs1690169 aztertutako artikuluak, gorri rs2279744 aztertutako artikuluak, rs231775 aztertutako artikuluak.

Artikulu bakarrean aztertutako SNPen geneak

3. taula. OS arriskua bi artikulu baino gehiagotan aztertutako bost geneen zerrenda.

| Genea             | Polimorfismoa | Kasua | Kontrolak | Asoziazioa | Bibliografia |
|-------------------|---------------|-------|-----------|------------|--------------|
| <i>TP53</i>       | rs2909430     | 96    | 1426      | NO         | (35)         |
|                   | rs1042522     | 201   | 250       | BAI        | (33)         |
|                   | rs8079544     | 74    | 104       | NO         |              |
|                   | rs1642785     | 74    | 104       | NO         |              |
|                   | rs1042522     | 74    | 104       | NO         |              |
|                   | rs9895829     | 74    | 104       | NO         |              |
|                   | rs2909430     | 74    | 104       | NO         |              |
|                   | rs1800372     | 74    | 104       | NO         | (53)         |
|                   | rs1625895     | 74    | 104       | NO         |              |
|                   | rs12947788    | 74    | 104       | NO         |              |
|                   | rs1614984     | 74    | 104       | NO         |              |
|                   | rs9894946     | 74    | 104       | NO         |              |
|                   | rs56275308    | 17    | 37        | ND         |              |
| <i>GH1</i>        | rs17878362    | 17    | 37        | ND         | (34)         |
|                   | rs7921        | 24    | 96        | NO         | (36)         |
|                   | rs7921        | 96    | 1426      | BAI        |              |
|                   | rs11079515    | 96    | 1426      | BAI        | (35)         |
|                   | rs6771        | 104   | 74        | NO         |              |
| <i>IGF1</i>       | rs6173        | 104   | 74        | NO         | (45)         |
|                   | rs7956547     | 24    | 96        | NO         | (36)         |
|                   | rs10860864    | 96    | 1426      | BAI        |              |
|                   | rs10860869    | 96    | 1426      | BAI        |              |
|                   | rs17796225    | 96    | 1426      | BAI        |              |
|                   | rs2195240     | 96    | 1426      | NO         |              |
|                   | rs2288378     | 96    | 1426      | BAI        | (35)         |
|                   | rs5742692     | 96    | 1426      | BAI        |              |
|                   | rs5742714     | 96    | 1426      | BAI        |              |
|                   | rs7956547     | 96    | 1426      | BAI        |              |
| <i>MDM2</i>       | rs9651925     | 96    | 1426      | BAI        |              |
|                   | rs1019731     | 104   | 74        | NO         |              |
|                   | rs2162679     | 104   | 74        | NO         |              |
|                   | rs2288378     | 104   | 74        | NO         | (45)         |
|                   | rs6220        | 104   | 74        | NO         |              |
| <i>CTLA4</i>      | rs2279744     | 96    | 1426      | NO         |              |
|                   | rs1690916     | 96    | 1426      | BAI        |              |
|                   | rs1196334     | 96    | 1426      | BAI        | (35)         |
|                   | rs1695147     | 96    | 1426      | BAI        |              |
|                   | rs1846402     | 96    | 1426      | BAI        |              |
|                   | rs201821879   | 415   | 431       | BAI        |              |
|                   | rs199812774   | 415   | 431       | BAI        | (54)         |
|                   | rs1690169     | 24    | 96        | BAI        | (36)         |
|                   | rs2279744     | 201   | 250       | BAI        | (33)         |
|                   | rs2279744     | 17    | 37        | BAI*       | (34)         |
| <i>c.75G&gt;C</i> | c.75G>C       | 415   | 316       | BAI        |              |
|                   | c.326G>A      | 415   | 316       | BAI        | (55)         |
|                   | rs231775      | 267   | 282       | BAI        |              |
|                   | rs4553808     | 267   | 282       | NO         |              |
|                   | rs5742909     | 267   | 282       | NO         | (56)         |
|                   | CT60A/G       | 267   | 282       | NO         |              |
| <i>rs231775</i>   | rs231775      | 205   | 216       | BAI        | (57)         |

Laburdurak: EE; ez eskuragarria. Berdean rs1690169 aztertutako artikuluak, gorri rs2279744 aztertutako artikuluak, rs231775 aztertutako artikuluak.

Laburbilduz, gene kandidatuen estrategiaren aldetik, rs2279744 eta rs1690916 *MDM2* genean eta rs231775 *CTLA4* genean OSren arriskuarekin asoziatutako eta erreplikatutako

SNPak bakarrak dira. Beraz, hiru SNP hauek, orain arte ezagutzen diren OSren arriskuaren “markatzaile genetiko” bakarrak dira. Ondorioz, haien aefektua beste kohortetan aztertzea interesarria litzateke.

### **1.6.2 Genoma osoko asoziazio azterketak**

Aldaera genetiko arrunten azterketarako bigarren estrategia genoma osoko aldaera genetikoen bilaketa da. Azterketa mota hauei *Genome wide association study* (GWAS) edo GWA azterketa bezala ezagutzen dira. Orain arte, OSan GWA azterketa bakarra gauzatu zen 941 OS kasu eta 3.291 kontrol ikertuz. Egileek OSren arriskuarekin bi lokus berri topatu zituzten (Savage et al., 2013). GWA azterketa honen emaitzarik esangarriena *GRM4* genetik inguru kokatuta zegoen. Gene hau hartziale glutamategikoen familiaren parte da eta osteoblasto (hezurra ekoizten dute) eta osteoklastoetan (hezurra bixurgatzen dute) adierazten direla behatu zen (59), hori dela eta, *GRM4* genea hezurraren osaketan parte hartu eta prozesu hau erregulatu dezakela uste dute (58). Bigarren emaitzik esangarriena generik gabeko zonalde intergenikoan zegoen. Hala ere, transkripzio faktore edo/eta *motif* erregulatzaileak lotzen ziren SNPein lotuta zeuden ( $r^2 > 0,6$ ). Horrez gain, GWA azterketako 30 emaitzik esangarrienen artean zortzi zonalde intergenikotan kokatuta zeuden (58).

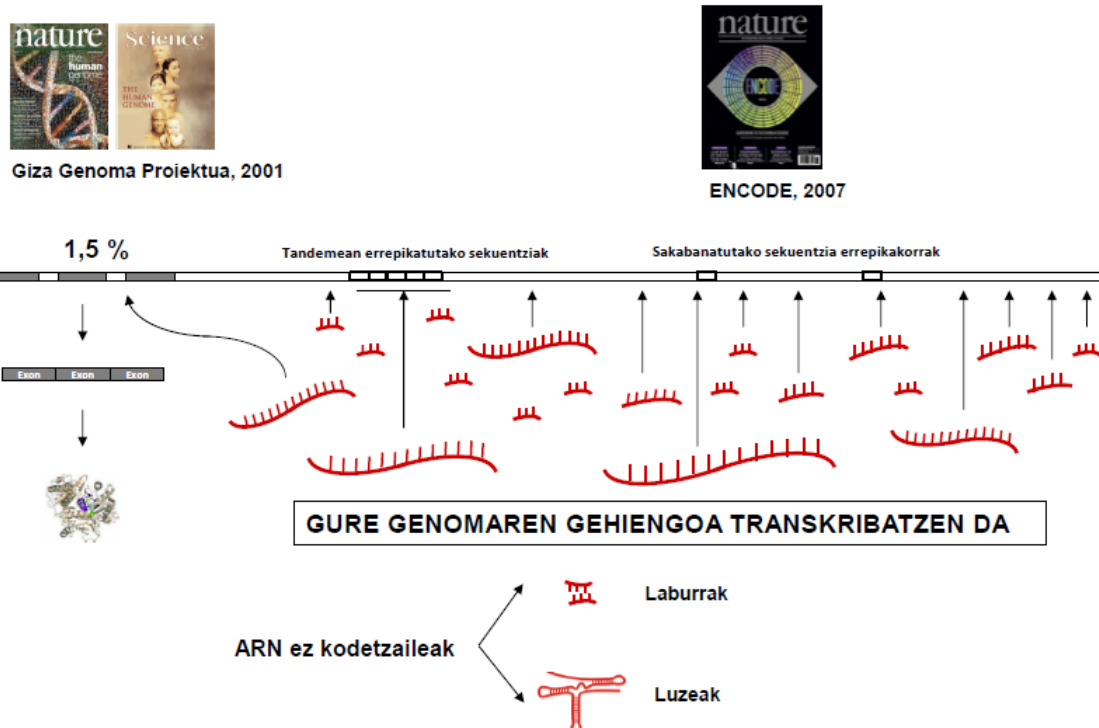
Laburbilduz, OSren gainean egindako ikerketa-lan gehienak gune kodetzailetan dauden aldaera genetikoak aztertu dituzte batik bat. Alabaina, GWA azterketak agerian jarri zuen bezala, azalpen biologikorik ez duten gune ez-kodetzailetan ere OSrekin asoziatutako aldaera genetikoak topatu ziren. Beste minbizien GWA azterketetan ere aurkikuntza bera gauzatu zen, hau da, gune ez-kodetzailetan 300 SNP inguru esangarri aurkitu ziren, haietatik %3,3ak proteinetan aldaketak sortzen zituzten, %40ek gune intronikoetan zeuden eta %44a gune intergenikoetan. Ezusteko emaitza hauek gune ez-kodetzaileak minbiziaren garapenean gakoak izan daitezkela iradokitzen dute (60).

## GUNE EZ KODETZAILEAK

2.001. urtean Giza Genoma Proiektua genomaren behin-behineko mapa plazaratu zuten. Proiektu honetan giza genoman 20.000-25.000 gene zeudela aditzera eman zuten, soilik genomaren %1,5 izanik (61). Printzipioz, gainontzeko genoma zabor-DNA edo ez-funtzionala zela pentsatuz.

Ondoren, ENCODE (ENcyclopedia Of DNA Elements) proiektuan giza genomaren analisi sakonagoa egin zuten. Proiektu honen helburua elementu funtzional guztiak ezagutzea zen eta honi esker transkribatu primario eta helduen irudi zehatzagoa izatea ahalbidetu zuen (62). Proiektu honi esker, genomaren %80a baino gehiago proteinarik kodetzen ez duten elementuak dira. Aldi berean, elementu hauen %60 inguruk ARN ez kodetzaileak (ncRNA) dira.

Orokorrean, ncRNAs bi taldetan sailkatzen dira bere tamainaren arabera: ncRNA txikiak edo mikroRNAs (18-200 bp) eta ncRNA luzeak (>200 bp) (63). Minbizien alorrean gehien aztertutako ncRNAs mikroRNAs (miRNAs) dira (7. Irudia).

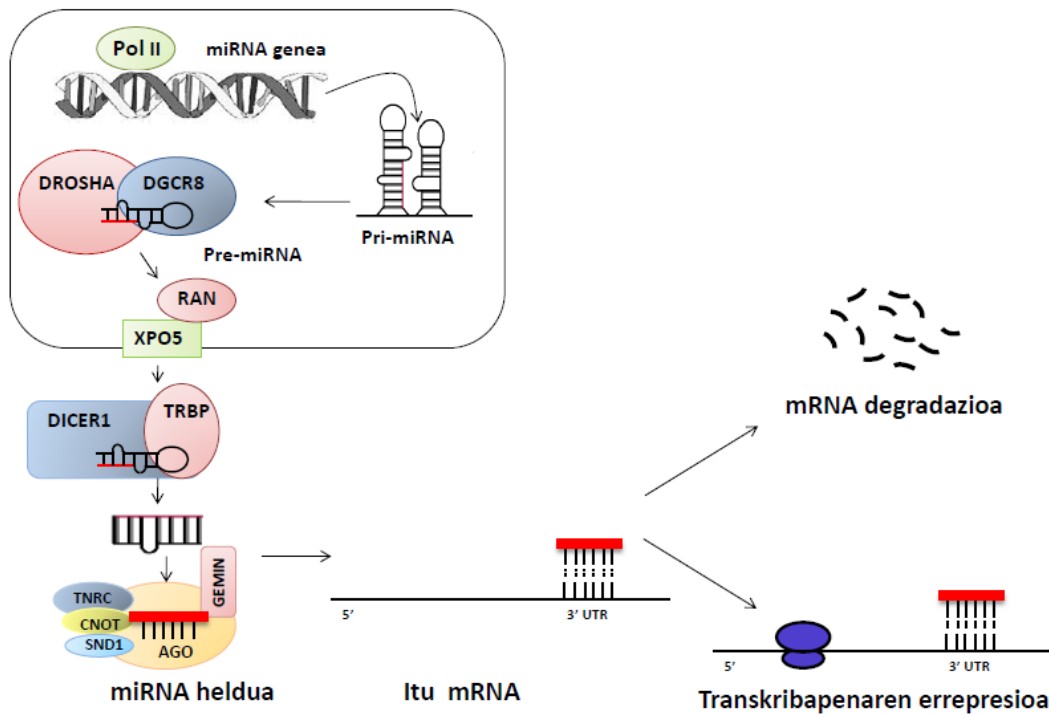


7. irudia. Genomaren transkribapena.

## 2.1. miRNAk

MiRNAk 18-20 nukleotidotako luzera duten ncRNA txikiak dira eta genomaren kokaleku ezberdinatik transkribatu daitezke II RNA polimerasaren bidez transkribatu primario luzea edo pri-miRNA (300-5.000 bpk) kate bikoitzeo RNA) sortuz. Pri-miRNAk, 30-40 nukleotidotako RNA harizpi bikoitzeo (*double-stranded RNA*, dsRNA) xingola itxura duen erdiguneko eskualde bereizgarria dute eta kate bakuneko (*single-stranded RNA*, ssRNA) bi eskualde erdigunetik kontrako muturretan. Pri-miRNAk nukleoan prozesatzen dira (DROSHA RNAsa eta DGCR8 proteinaren bitartez) dsRNAsi lotzeko domeinua dute eta bere sekuentziak bere egitura zehazten du.

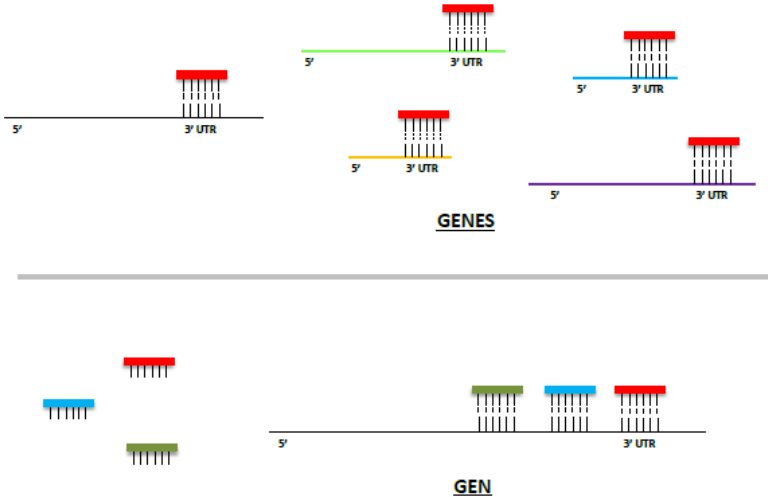
Pri-miRNAsi prozesamenduaren ostean dsRNA eta muturreko xingola eskualdeak dituen molekula berria eratortzen da: pre-miRNA (70 nukleotido inguru). Molekula hauek nukleotik zitoplasmara Exportina5 (*Xpo-5*) (64, 65) eta RAN GTPasaren bitartez esportatzen dira. Zitoplasman, Dicer entzimak (66-68) eta TARBP2-rekin batera pre-miRNAsi xingola moztu egiten diote dsRNA molekula, hau da, miRNA duplexa lortuz (69). MiRNA duplex hau banatzean kate bakuneko miRNA heldua lortzen da. MiRNA honen kateetako bat RISC (*RNA-inducing Silencing* konplexua) proteina konplexuan kargatzen edo eransten da. Konplexu hau osatzen *EIF2C1*, *EIF2C2*, *SND1*, *GEMIN3*, *GEMIN4* geneak eta CCR-NOT konplexua (70) daude. MiRNA heldua RISC konplexuak garraiatzen du RNA mezulariaren (mRNA) erregulazioa gauzatzen du sekuentzia osagarritasunagatik (71) (8. irudia).



8. irudia. miRNAen sintesiaren eskema orokorra (72)tik moldatua

MiRNAen bidezko erregulazioa, itu mezulariaren 3'UTR sekuentzien arteko osagarritasun bidez gertatzen da. Lotura hauek miRNAREN egitura berezi baten bidez gertatzen dira, *seed* sekuentziaren bidez alegia. *Seed* sekuentzia honek 7 nukleotido ditu. MiRNAK lotura honen osagarritasunaren arabera dihardu. Lotura hauek guztiz osagarriak itzulpena ixilarazten da. Bestalde, osagarritasuna partziala denean mRNA degradatzen da (73). MRNA eta miRNA artean lotura gertatzeko miRNAn bi elementuen arteko ezagutzarako sekuentzia espezifikoa dago: *seed* edo hazi-sekuentzia.

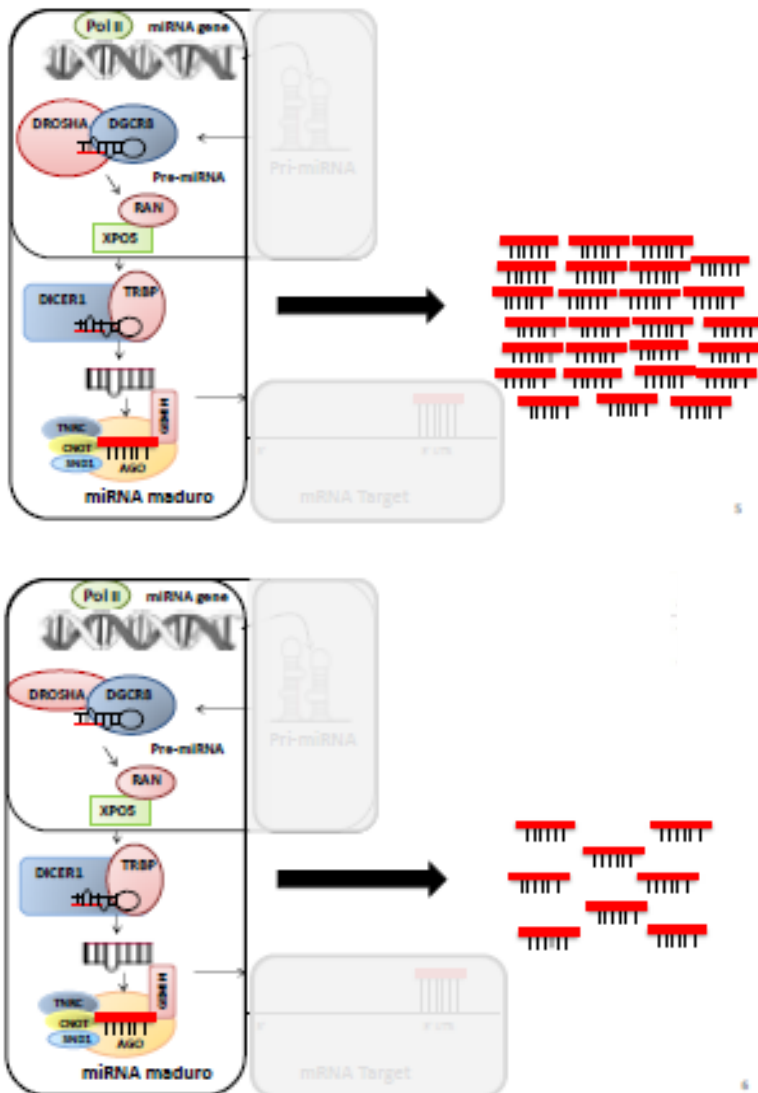
MiRNAK prozesu biologiko anitzetan inplikatuta dauden geneak erregulatzen dituzte hala nola, zelularen garapenean, desberdintzaren-prozesu eta proliferazioan, hemotopoesian, angiogenesia eta apoptosian dihardutenak (74). MiRNAK *seed* sekuentzia hauekin osagarrizkoak diren mRNA itu asko izan ditzateke sekuentzia honen tamainuagataik. Hori dela eta, miRNA batek gene anitz erregulatu ditzake dezakete eta aldi berean, gene batek miRNA anitzek (9. Irudia). Gaur egun, itu hauen iragarpeneak *in silico* ematen dituzten datubase asko daude (miRNA eta TargetScan, kasu), baina gutxi balidaturik.



**9. irudia.** miRNA bidezko mRNA-loturaren adierazpena. A) miRNA batek zenbait itu-gene izan ditzake, B) miRNA desberdin askok gene berdina erregulatu ditzakete.

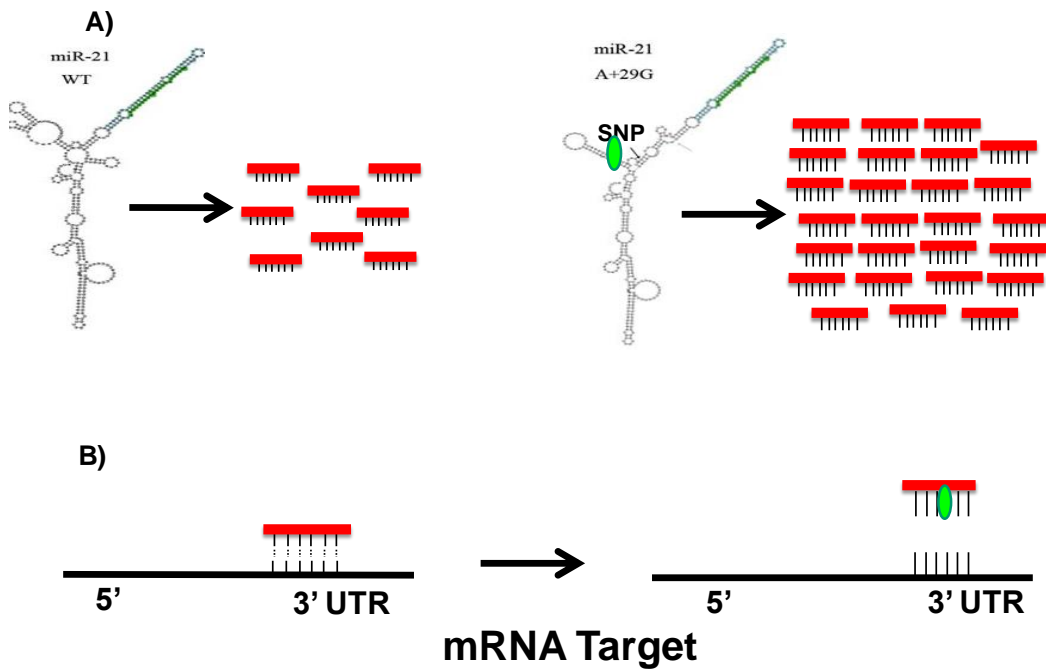
Horrez gain, miRNAk familietan taldekatzen dira *seed* sekuentzia honetan homologia aurkezteagatik edo genoman gertu egoteagatik (miRNA klusterra). Azken hauek, RNA kate luze batetik eratortzen dira (75). Bestalde, antzeko *seed* sekuentzia duten miRNAk, miRNA familia bateko kide guztiak alegia, potentzialki mRNA talde berdina erregulatzea espero da (76, 77).

miRNA bidezko erregulazioa alda daiteke bai miRNA mailetan zein itu mRNAen sekuentzietaan alterazioak gertatzen direnean. Alde batetik, miRNA prozesamendu geneen alterazioak miRNA maila edo kontzentrazioak erregulatzen dituzte eta beraz, haien itu geneen erregulazioa alda ditzake. Polimorfismoak miRNA prozesamendu geneen funtzioa alda dezakete eta hortaz, miRNA mailak aldatu ditzakete (78) (10. Irudia).



**10. irudia.** miRNA prozesamendu genetako aldaera genetikoak (*DROSHA* genean adibidez) miRNA mailak alda ditzakete.

Horrez gain, miRNAen sekuentziak haien egitura eta itu genetiko loturaren osagarritasuna definitzen dute. Hortaz, miRNA sekuentzian gerta daitezken aldaketak, SNPak kasu, haien egituraren prozesamenduan eta hortaz, miRNA mailetan aldatzen dituzte. Bestalde, *seed* sekuentzian gertatzen diren aldaketak itu geneen loturan eragiten dute (11. Irudia a eta b)



**11. irudia** miRNAtako SNPak. A) miRNA egitura alda dezakete haien adierazpenean eraginez, edo B) miRNA-mRNA lotura sekuentzian eragin bere itu-genearen loturan eraginez.

## 2.2 miRNAen prozesamendu geneak eta minbizia

Duela gutxi, miRNA prozesamendu geneak zelulen transformazio eta tumorigenesian implikatuta daudela frogatu dute (80). Adibidez, bidezidor honetako geneen adierazpenean aldatuta dago minbizian, esate baterako, *EIF2C2* genea (AGO konplexuan) eta *TARBP2* genea (DICER konplexuan) gain-adierazita daude prostata minbizian eta *DROSHA* eta *DICER* geneak ostera, azpi-adierazita bularreko minbizia (81). Gainera, zenbait ikerketa-lanek gene hauetan adierazpen aldaketak gertatzenten direnean miRNA ekoizpenean eragiten dutela behatu dute (82-85), eta honek, minbizian eragiten duten geneen adierazpenean alda dezakete. Ondorioz, miRNAen prozesamendu genetan dauden SNPak miRNAen funtzioa aldatu ditzakete. Izan ere, *DROSHA* genean rs640831 SNPak 56 miRNAen adierazpenean aldarazten du birikietako minbizian (86).

Ildo honetan, arestian esan bezala, miRNAen prozesamendu geneen SNPak miRNAen funtzioan aldaketak eragin ditzakete. Izan ere, jadanik prozesamendu geneetako 7 polimorfismo minbizi mota ezberdinekin asoziatu dituzte (4. Taula).

**4. taula** miRNAen prozesamendu genetan minbiziarekin asoziatu dituzten SNPak.

| Genea         | SNP       | Gaixotasuna                   | Erreferentzia |
|---------------|-----------|-------------------------------|---------------|
| <b>TNRC6B</b> | rs139919  | Leukemia linfoblastiko akutua | (87)          |
| <b>XPO5</b>   | rs11077   | Kartzinoma hepatozelularra    | (88)          |
| <b>RAN</b>    | rs14035   | Ahoko minbizia                | (89)          |
| <b>AGO</b>    | rs636832  | Birikietako minbizia          | (90)          |
| <b>DGCR8</b>  | rs417309  | Bularreko minbizia            | (91)          |
|               | rs197412  | Ahoko minbizia                | (89)          |
| <b>GEMIN3</b> | rs197414  | Gernu-maskuriko minbizia      | (93)          |
|               | rs197412  | Giltzurrunetako minbizia      | (94)          |
|               | rs2740348 | Prostata minbizia             | (95)          |
|               | rs7813    |                               |               |
| <b>GEMIN4</b> | rs2740351 | Obarioetako minbizia          | (96)          |
|               | rs7813    |                               |               |
|               | rs2740351 | Giltzurrunetako minbizia      | (94)          |
|               | rs7813    |                               |               |

Nahiz eta jadanik polimorfismoak beste minbiziak asoziatu diren SNPen implikazioa frogatu den oraindik gene hauen polimorfismoen papera ez da aztertu OSan. Hortaz, aldaera genetiko hauen papera OS jatorrian determinatzea interes handikoa litzateke.

### 2.3. miRNAk eta minbizia

Gaur egun, ncRNAen papera tumorigenesian guztiz frogatuta dago. Esan bezala, orain arte ncRNAen artean minbizian gehien aztertutakoak miRNAk dira. miRNAen adierazpena tumore-ehun eta ehun osasuntsuen artean ezberdina dela frogatu (97-99), orokorrean, azpi-adierazita egonik tumore-ehunean (100). Azterketa hauek miRNAak bi taldean sailkatzea ahalbidetu dute minbizian joka dezaketen funtzioaren arabera: onkomir (minbizian gain-

adierazita dauden miRNAk) eta miRNA tumore-ezabatzaileak (minbizian azpi-adierazita dauden miRNAk).

Especifikoki OSan, miRNA adierazpen-sinadurak behatu dira OS patogenesia eta progresioarekin asoziatu direnak (101-103). Hala ere, miRNAen papera osteosarkomagenesian oraindik ezezaguna da. Seirehun miRNA baino gehiagok osteogenesiaren erregulazioan parte hartzen dute, eta hori dela eta, edozein miRNA hauen adierazpen-aldaketak hezur-gaixotasunak eragin ditzaketela uste da (104). Estate baterako, mir-34c miRNAen gain-adierazpena osteoblastoen ezberdintzapena eta osteoklastogenesia areagotzen du Notch seinalizazio bidezidorren ezabaketa dela eta. Notch bidezidorak zelulen ezberdintzapen eta proliferazio orekaren mantenuaz arduratzen da (105). Beste adibide bat, 14q32 gune kromosomikoan dagoen miRNA kluster OS progresio eta pronostikoarekin asoziatu da (106).

Pre-miRNA/miRNAtan dauden SNPen (mir-SNPen) papera minbizi mota ezberdinetan andana aztertu da, mir-SNPen bilaketa bibliografiko eta asoziazio meta-analisiak gauzatu dira, esate baterako, mir-146a rs2910164, mir-196a2 rs11614913, mir-149 rs2292832 eta mir-499 rs3746444 minbizi mota askorekin asoziatuz (107, 108).

Orain arte, OSn mir-SNPen gainean, 2 azterketa egin dira 4SNP 4 miRNA (mir-34b/c, mir-34a, mir-146 eta mir-21) eta hauetatik, 2 SNP mir-34 familiako bi kidetan, mir-34b/c eta mir-34a miRNAtan hain zuzen ere, OSren arriskuarekin asoziaturik topatu zituzten (109, 110). Hala ere, nahiz eta mir-SNPen garrantzia frogatu den minbizian, OSn jatorriarekin ez dira asko aztertu.



## ***HIPOTESIA ETA HELBURUAK***



## HIPOTESIA

OS lehen mailako hezur-minbizirik ohikoena da gazteen artean. Gaztaroan agertzeak bere jatorrian aldagai genetiko garrantzitsua duela iradokitzen du. Zenbait ikerketa lanek OSren suszeptibilitatearen atzean sartutasun txikiko aldaera genetikoak, hau da, gaixotasunean modu ahul eta gehigarrian eragiten duten aldaera genetikoak dira. Hala ere, oraindik ez da aldaera genetiko arrunta erantzulerik zehaztu.

Orain arte, ikerketa lan gehienak gune kodetzaileen aldaera genetikoak aztertu dituzte. Azterketa hauen artean, rs2279744 eta rs1690916 SNPak *MDM2* genean eta rs231775 *CTLA4* geneak bakarrik erakutsi dituzte emaitza sendoak OSren suszeptibilitatearekin.

Duela gutxi gune ez kodetzaileak minbizien jatorri eta bilakaeran inplikatuta daudela egiaztu dute. Gune ez kodetzaileen artean miRNAk aztertuenak dira eta OSan erregulazio aldaketak behatu dira. Horrez gain, miRNAen adierazpenean aldaketak sortzen dituzten aldaera genetikoak minbizi askoren jatorri eta bilakaerarekin asoziatu dituzte.

Ondorioz, alde batetik, *MDM2* eta *CTLA4* genetako eta miRNAen funtzioan eragin dezaketen aldaera genetikoak OSren suszeptibilitatean eragin dezakete.



## **HELBURUAK**

Tesi proiektu honen helburu nagusia OS pediatrikoaren suszeptibilitatearen markatzaile genetiko berrien bilaketa izan zen.

Horretarako, honako helburu espezifikoak ezarri genituen:

**1. Literaturan OSren suszeptibilitatearekin asoziaturiko markatzaileen balidazioa.**

1. *MDM2* genean dauden rs1690916 eta rs2279744 polimorfismoen asoziazioa OSren suszeptibilitatearekin egaztaztea kasu-kontrol azterketa bi populazio berritan, bilaketa sistematikoa eta MAren bidez.
2. *CTLA4* genean dagoen rs231775 polimorfismoaren asoziazioa OSren suszeptibilitatearekin egaztaztea kasu-kontrol azterketa, bilaketa sistematikoa eta MAren bidez.

**2. OSren suszeptibilitateari asoziaturiko adierazpen aldaketa erakusten duten miRNAen identifikazioa.**

1. Literaturaren azterketaren bidez adierazpen aldaketa duten miRNAen hautaketa.

**3. OSren suszeptibilitatearekin asoziatutako miRNAekin erlazionatutako geneen aldaera genetikoak zehaztea.**

1. MiRNA prozesamendu geneen aldakortasun genetikoa OSren suszeptibilitatearekin asoziatuta dagoen egiaztatzea eta haien efektu funtzionala aztertzea.
2. Pre-miRNAen aldakortasun genetikoa OSren suszeptibilitatearekin asoziatuta dagoen egiaztatzea eta haien efektu funtzionala aztertzea.



## ***MATERIAL ETA METODOAK***



## **1. PAZIENTEAK**

Tesi proiektu honetan 1076 indibiduoak parte hartu zuten: 176 gaixo eta 900 kontrol. Pazienteen laginak 4 ospitaletatik lortu ziren: Nafarroako Unibertsitatea Klinikatik, Madrilgo La Paz Ospitaletik, Donostia Unibertsitate Ospitaletik eta Esloveniako “University Children’s Hospital”eko Onkologia Pediatrikotik. OS kasu guztiak patologo eta onkologo adituek diagnostikatu zitzuten 1985tik 2013ra bitartean. Kontrolak emaile bolondresak ziren eta ez zuten erlaziorik gaixoekin.

Proiektu honetan partehartzaile guztiekin borondatez onartu zuten parte hartzea behin azterketaren helburuaren berri emanda. Partehartzaile guztiekin baimen informatua sinatu zuten. Adin-gabeko partehartzaile kasuan baimen informatua gurasoek sinatu zuten. Lagin guztiak kodifikatu ziren eta Helsinki-ko Hitzarmenaren xehetasunekin bat etorri ziren. Proiektu hau Etika Batzordeak onartu zuten (105/2009 eta 67/02/12). Partehartzaile guztien adina eta sexu datuak batu ziren. Tesi-proiektu honetan partehartzaileen datuak 5. taulan adierazi dira.

**5 taula.** Tesi-proiektuko populazioen adin, sexu eta jatorriaren datuak.

|   | Totalak      | Kontrolak    |          | Kasuak       |          |          |
|---|--------------|--------------|----------|--------------|----------|----------|
| <b>Partehartzaile kopurua</b>                               | <b>1076</b>  | <b>900</b>   |          | <b>176</b>   |          |          |
| Adina (batazbesteko, de)                                    | 46,63(18,48) | 51,83(14,29) |          | 18,94(12,59) |          |          |
| Adin tartea   | 3-93         | 18-93        |          | 3-69         |          |          |
| <b>Sexua</b>  | <b>n</b>     | <b>%</b>     | <b>n</b> | <b>%</b>     | <b>n</b> | <b>%</b> |
| Gizonezkoak   | 540          | 50,18        | 447      | 49,66        | 93       | 52,84    |
| Emakumezkoak  | 435          | 40,43        | 365      | 40,55        | 70       | 39,77    |
| Ezezagunak  | 101          | 9,38         | 88       | 9,77         | 13       | 7,39     |
| <b>Indibiduo kopurua/ Zentrua</b>                           | <b>n</b>     | <b>%</b>     | <b>n</b> | <b>%</b>     | <b>n</b> | <b>%</b> |
| Euskal Herriko Unibertsitatea (UPV/EHU)                     | 712          | 66,17        | 712      | 79,11        |          |          |
| Nafarroako Unibertsitatea Klinika                           | 104          | 9,66         |          |              | 104      | 59,42    |
| Madrilgo La Paz Ospitalea                                   | 9            | 0,84         |          |              | 9        | 45,71    |
| Donostia Unibertsitate Ospitalea                            | 4            | 0,37         |          |              | 4        | 22,85    |
| Liublianako University Children's Hospital                  | 247          | 22,95        | 188      | 20,88        | 59       | 33,71    |
| <b>Indibiduo kopurua/Ikerketa</b>                           |              |              |          |              |          |          |
| MDM2 polimorfismoen genearen asoziazio analisia             | 432          |              | 259      |              | 173      |          |
| CTLA4 polimorfismoaren genearen asoziazio analisia          | 233          |              | 125      |              | 108      |          |
| miRNA geneen prozesamendu polimorfismoen asoziazio analisia | 514          |              | 411      |              | 103      |          |
| miRNA polimorfismoen geneen asoziazio analisia              | 352          |              | 256      |              | 96       |          |

de= desbiderapen estandarra

## **2. OSREN SUSZEPTIBILITATEARI ASOZIATURIKO SNPAK**

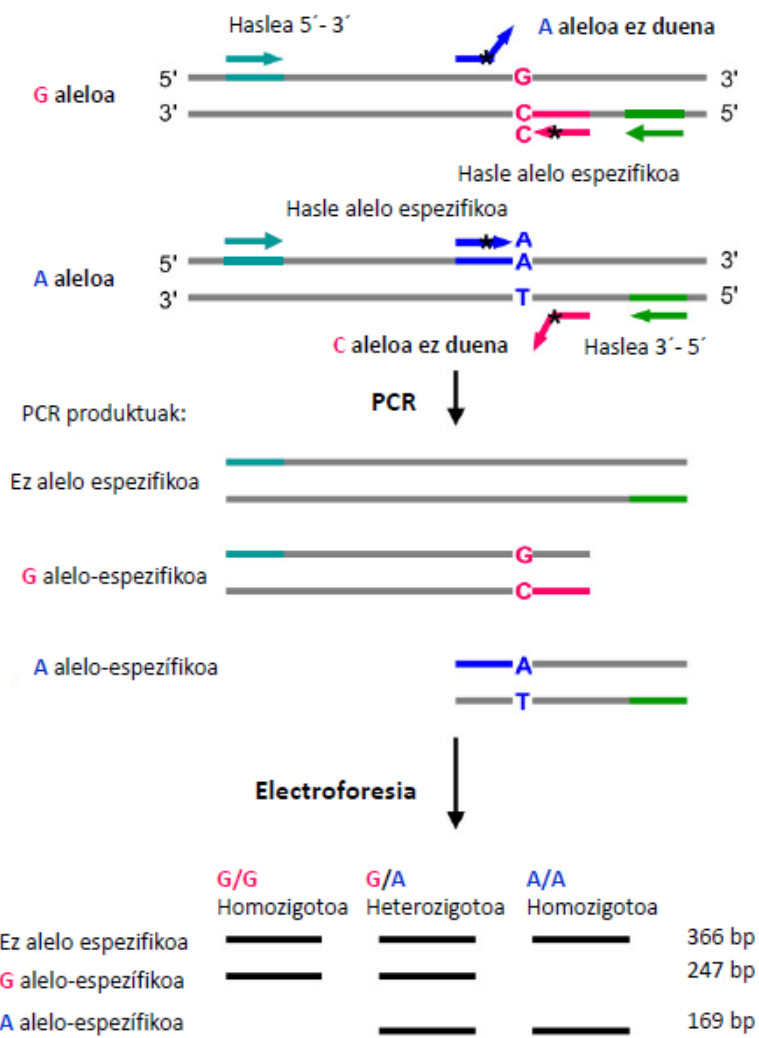
### **2.1 OSTEOSARKOMAREN SUSZEPTIBILITATEAREKIN ASOZIATUTAKO GENEEN**

#### **HAUTAKETA**

Lehenik eta behin, OSren suszeptibilitatean eragiten duten aldaera genetikoekin erlazioa zuten lanak bilatu genituen Pubmed datubasean (polymorphisms OR “genetic variant” AND osteosarcoma OR “bone tumor”) terminoekin 2013. urteko azaroaren 21erarte. Bilaketa honen ostean, *MDM2* geneko rs1690916 eta rs2279744 SNPak eta *CTLA4* geneko rs231775 SNPak balidaziorako hautatu genituen, 3 SNP hauek literaturan asoziaturik topatu genituelako birritan gutxienez.

### **2.2 MDM2 GENEAREN rs1690916 SNPAREN GENOTIPAZIOA ARMS-PCR BIDEZ**

“Amplification Refractory Mutation System- Polymerase chain reaction” (ARMS-PCR) teknika base bateko edo delezio txikiko aldaera genetikoak bilatzeko erabili ohi da. Funtsean, SNP edo delezioaren aleloak detektatzeko hasle bikote bi diseinatzean datza. Hasle pare bakoitza alelo bakoitzak sortzen duen sekuentzian oinarrituz diseinatzen denez, alelo hori detektatzen du. Beraz, hasle pare bakoitza aleloarekiko espezifiko da. Honako teknika honen azalpena 12. irudian adierazten da.



12. irudia. rs1690916 SNPa aleloren determinazioa ARMS-PCRa bidez.

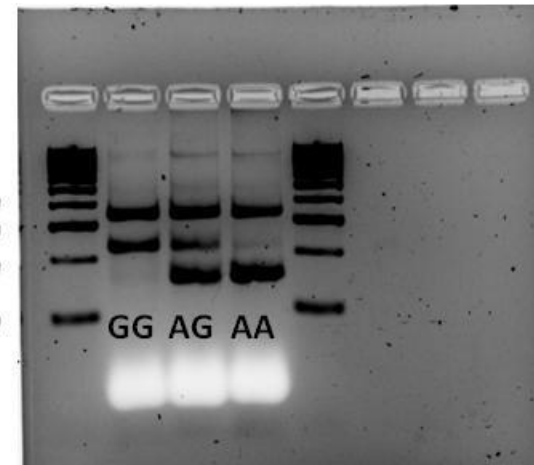
Hasle bikoteak rs1690916 SNPa dagoen kokalekuan gainezartzeko diseinatzen dira hasle bikote bakoitzak espezifikoki bere aleoarekin elkartuz. Hasle bikote bakoitzak 5'-3' zentzuan duen hasle bat (*Forward* (F)) eta 3'-5' zentzuan duen beste hasle bat (*Reverse* o R) du. Gainera, hasle bikote bakoitzaren PCR amplifikatuek tamaina ezberdintasun nabaria izateko diseinatzen dira. Beraz, amplifikatutako produktua aleoarekiko espezifikoa ez den banda bat eta aleoarekiko espezifikoa den, eta beraz, aleloa determinatuko duen, beste banda batez osatuta dago. Hasleen sekuentzia 6. Taulan adierazten dira.

**Taula 6.** MDM2 genean kokatuta dagoen rs1690916 SNPa genotipatzeko hasle sekuentziak.

| Izena        | Sekuentzia (5'-3')         | Hibridazio<br>temperatura | Tamaina<br>(bp) |
|--------------|----------------------------|---------------------------|-----------------|
| MDM2_rs16_F1 | CCCCTAAGTTGAAAAACAACTCTAAG | 60ºC                      |                 |
| MDM2_rs16_R1 | TGCTGACCCTGTCATTCTTG       | 60ºC                      | 247             |
| MDM2_rs16_F2 | CCACCATTACCCGTAAGACA       | 60ºC                      | 169             |
| MDM2_rs16_R2 | GGCCAAGAAGGTACTTAAAGTGTT   | 60ºC                      |                 |

G alelorako homozigotoek 2 banda sortzen zituzten: 247 bp eta 366 bp (13. irudian 2. Kalea); A alelorako homozigotoek bi banda sortzen zituzten: 169 eta 366 bp (13. irudian 2. kalea) eta heterozigotoek 3 banda sortzen zituzten: 169, 247 y 366 bp (13. irudian 3. kalea). Banden adierazpena 13. irudian adierazten dira.

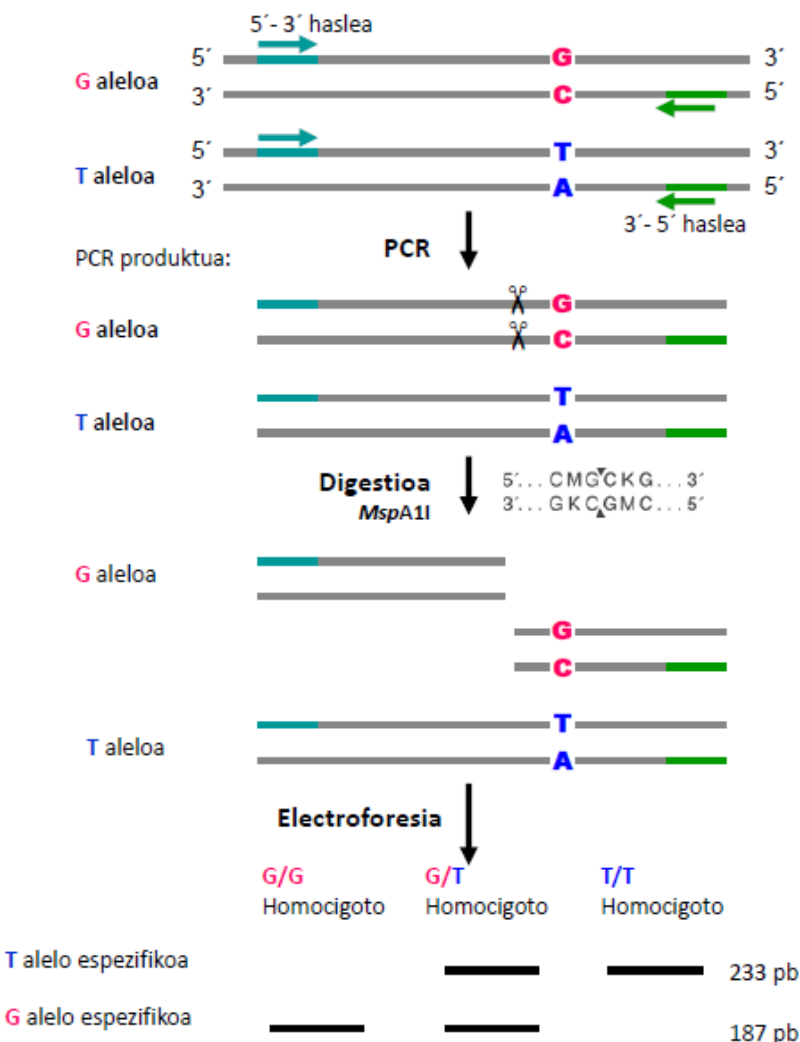
Agarosazko gelen (%) elektroforesia TBE 1X tanpoiarekin egin genituen, SYBR Safe-ekin tindatuz eta 90V boltai konstantearekin 30 minutuz migratuz. Lagin bakoitzarekiko 6 µl amplifikatu eta 4 µl karga soluzioarekin nahastu genuen Hyperladder IV (100–1000 pb) martkataile molekularra erreferentziatzat hartuz. Gelen behaketa ultramore izpien bidez egin genituen BioRad etxeoko ChemiDoc XRS dokumentazio gailuarekin.



**13. irudia.** rs1690916 genotipazioaren emaitzak agarosazko gelan.

## 2.3 MDM2 GENEAN rs2279744 SNPAREN GENOTIPAZIOA PCR-RFLP BIDEZ

“Polymerase chain reaction-restriction fragment length polymorphism” (PCR-RFLP) teknikak PCR bidezko DNA amplifikazioa eta errestrikzio entzimen erabilpena konbinatzen du. PCR-ak SNP-a dagoen DNA fragmentua amplifikatzen du eta errestrikzio entzimek SNP-a dagoen kokapena mozten dute aleloaren arabera. Horrela, luzera ezberdineko fragmentuak ikusten dira, eta luzera ezberdinak genotipoa determinatzea ahalbidetzen du. Honako teknika honen azalpena 14. irudian adierazten da.



**14. irudia.** PCR-RFLP-a rs2279744 SNP-aren aleloen determinaziorako. T aleloa determinatzen duen bandak 233 bpko luzera du eta G aleloak 187 bp-koak. Irudian ez dira 100 bptako baino banda txikiagoak adierazi.

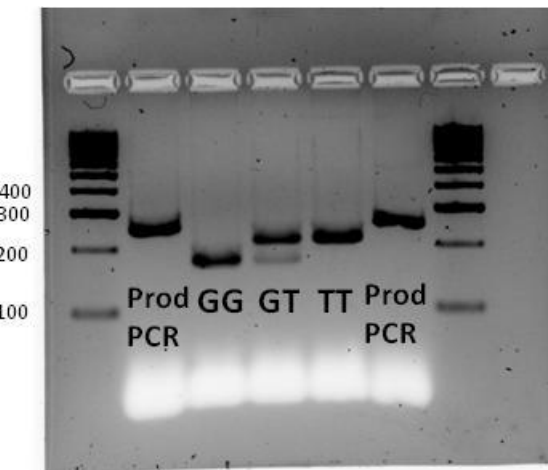
PCR amplifikazio egokia konprobatu genuen agarosazko %2ko gelan. Ondoren, PCR amplifikatua *MspA1I* errestrikzio entzimarekin gau oso batez 37°C-tan moztu genuen (7. Taula). Errestrikzio entzima honek 5'-C(A/C)G'C(G/T)G-3' sekuentzia ezagutzen du espezifikoki eta

bertan rs2279744 bostgarren posizioan dago. G alelorako homozigotoak zirenak 3 fragmentu sortzen zituzten: 31 bp, 46 bp eta 187 bp; heterozigotoak 4 fragmentu sortzen zituzten: 31 bp, 46 bp, 187 bp eta 233 bp eta T alelorako homozigotoak 2 fragmentu sortzen zituzten: 31 bp eta 233 bp.

**7. taula.** MDM2 genean kokatuta dagoen rs2279744 SNPa genotipatzeko PCR hasle sekuentziak.

| Izena       | Sekuentzia (5'-3')   | Hibridazio<br>temperatura | Tamaina<br>(bp) |
|-------------|----------------------|---------------------------|-----------------|
| MDM2_rs22_F | CGGGAGTTCAAGGTAAAGG  | 60°C                      | 233             |
| MDM2_rs22_R | CTGGGAAAATGCATGGTTAA | 60°C                      |                 |

Errestrikzio entzima NEBcutter v2.0 softwarea (<http://tools.neb.com/NEBcutter2/>) (New England Biolabs) erabiliz aukeratu zen. Bai PCRaren produktua eta digestio osteko produktuen elektroforesia %2ko agarosazko gelen bitartez egin zen. 15. Irudian agarosazko gelaren genotipoak adierazi dira.



**15. irudia.** rs2279744 genotipazioaren emaitzak agarosazko gelan.

## **2.4. MDM2 GENEAREN rs1690916 ETA rs2279744 SNPEN META-ANALISIA**

### ***Bilaketa estrategia***

MDM2 genearen bi polimorfismoen, rs1690916 eta rs2279744, eta osteosarkomaren asoziazioa aztertzen zituzten artikuluak topatzeko bilaketa sistematikoa egin genuen. Horretatako, Pubmed ([www.ncbi.nlm.nih.gov/pubmed](http://www.ncbi.nlm.nih.gov/pubmed)) eta Scopus ([www.scopus.com](http://www.scopus.com)) database bibliografikoak erabili genituen honako termino hauek erabiliz:

1. ("bone tumor" or osteosarcoma) and (polymorphism or SNP)
2. rs1690916 or rs2279744 or T309G
3. (MDM2 or "murine double minute 2") and ("bone tumor" or osteosarcoma)

Gure bilaketak 2014ko otsailaren 24arte argitaratuta zeuden erregistro guztiak kontuan hartu zituen.

### ***Inklusio eta esklusio irizpideak***

Bi datubasetan aurkitu genituen argitaratutako erregistro guztiak kontuan hartu zituen. Jarraian deskribatzen diren inklusio irizpideak betetzen zituztenak eduki genituen kontuan:

- a) Asoziacio azterketa independienteak
- b) rs1690916 eta/edo rs2279744 polimorfismoak osteosarkomaren suszeptibilitatearekin aztertutako lanak
- c) Datu genotipiko edo alelikoak adierazten zituzten artikuluak

Jarraian, bilaketen artean errepikatuta zeuden artikuluak kendu genituen. Gero, lehenengo hautaketa fsea egin genuen. Fase hau ez gainditzeko arrazoiak edo esklusio irizpideak hauek dira:

- a) Beste argitalpen mota bat izatea: berrikuspenak, editoreari igorritako gutunak, meta-analsiak etab.
- b) Beste gaixotasun bat aztergai izatea.
- c) Gizakia ez den beste organismo edo lerro zelularretan egindako lanak.
- d) Ingelesez argitaratu ez izatea.

- e) Beste kokapen genomiko bat aztertzea: Beste gene, genoma mota (mitokondriala ADN) edo beste gune kromosomiko aztertzen dutenak.
- f) Genotipatzeko ez den beste teknika bat erabiltzea: gene adierazpen teknikak, metilazio teknikak, karakterizazio biokimikoa edo morfologikorako teknikak, entsegu funtzionalak egiteko teknikak, klonazio esperimentuak, elkarrekintza genikorako teknikak etab.
- g) Beste aldaera genetiko mota aztertzea: Beste polimorfismo batzuk aztertu, beste mutazioak, CNV, LOH, mikrosateliteak edo DNA alterazioak aztertu dituzten artikuluak.
- h) Ez dute suszeptibilitatea aztertzen: Azterketa farmakogenetikoak, farmakoei erantzuna, pronostiko, biziraupena eta toxizitate azterketak kategoria honetan kokatu genituen.
- i) 1990. urtea baino lehenagoko azterketak.

Hautaketa prozesu honen lehenengo fasea artikuluaren laburpenean oinarritu zen. Laburpenik ez zuten artikuluak zuzenean bigarren fasera pasatu genituen. Bigarren fasean artikulu osoaren edukian oinarritu ziren. Kasu honetan, esklusio irizpide berdinak erabili ziren, bi gehituz: (1) 10 lagin baino gutxiago erabiltzen zituzten azterketak eta (2) Testu osoa ez zuten artikuluak. Horrela, gure meta-analisia parte hartu zuten artikulu kopurua ezagutuz. Horrez gain, artikulu hauen erreferentziak aztertu genituen, guk erabilitako datubasetan indexatuta ez zeuden eta gure inklusio irizpideak bete zitzakeen artikuluak bilatzeko.

Bilaketa bibliografikoa eta artikulu hautaketa bi ikertzailek egin zuten modu independentean eta ezadostasunak bi ikertzaileek bat etorri arte argitu ziren. Prozesu guztia bilaketa sistematikoan grafikoki adierazi zen fluxu-diagrama edo *flow-chart*, ingelesez bidez (emaitza atalean). Adierazpen honetan meta-analisia parte hartzen duten artikuluak zehazten da eta irizpide bakoitzagatik baztertutako artikulu kopurua adierazten da.

### **Datu erauzketa**

Artikulu bakoitzetik argitalpen urtea, egileen izenak, etnia, paziente eta kontrol kopurua eta rs1690916 eta/edo rs2279744 polimorfismoen frekuentzia genotipikoak bildu genituen. Artikuluan frekuentzia genotipikoen berri ematen ez zenean egileei informazioa eskatu genien.

Bai rs1690916 bai rs2279744 *MDM2* genean OSaren arriskuan eragiten zuten jakiteko bilaketa bibliografikoa eta meta-analisia egin genuen. Gure meta-analisia hautatutako

artikuluen datuak eta tesi honen aurreko atalean lortutako bi polimorfismoen datuak hartu genituen kontuan. MArako erabili genituen artikulu guztien kalitatea aztertu genuen datuen berranalisia eginez.

### **Artikuluen kalitate analisia**

Artikuluen kalitatea bi ikertzailek aztertu zuten modu independentean. Artikulu bakoitza “metodologiaren kalitatea aztertzeko eskala” (8. taula), aurretik argitaratutako meta-analisietai erabilitakoa moldatu genuen (132, 133). Eskala honetan bost atal zeuden: kasuen adierazgarritasuna, kontrol laginaren jatorria, genotipazio teknikaren kontrol kalitatea eta Hardy-Weinberg oreka (HWO), kontu handiz aztertu genituen. Kalifikazioa 0 eta 10 artean zeuden eta 5 puntu baino gehiago lortzen ziren kasuetan kalifikazio onargarritzat hartzen zen.

**8. taula:** Artikuluen metodologiaren kalitatea aztertzeko eskala.

| Irizpidea  | Puntuazioa |
|--|------------|
| <b>1. Kasuen adierazgarritasuna</b>                                    |            |
| OS diganotikatzeko irizpide ezaguna                                    | 2          |
| OS diagnostikatzeko irizpidea aipatu da baina ez da zehazki deskribatu | 1          |
| Ez da deskribatu   | 0          |
| <b>2. Kontrol laginaren jatorria</b>                                   |            |
| Populazio orokorra   | 3          |
| OS gabe eta ospitaletik jasotakoa                                      | 2          |
| Zehaztugabeko bolondres osasuntsuak                                    | 1          |
| OS-rekin erlazionautako gaixotasunak eta OS ez dituzten kontrolak      | 0,5        |
| Zehaztugabea   | 0          |
| <b>3. Lagin tamaina</b>  |            |
| >100   | 2          |
| 25-100   | 1          |
| <25  | 0          |
| <b>4. Genotipazio teknikaren kontrol kalitatea</b>                     |            |
| Metodo ezberinarekin lagin guztiak/parte bat berranalizatu ziren       | 2          |
| Metodo berdinarekin lagin guztiak/parte bat berranalizatu ziren        | 1          |
| Ez da deskribatzen   | 0          |
| <b>5. Hardy-Weinberg oreka (HWO)</b>                                   |            |
| Kontrol populazioa Hardy-Weinberg orekan                               | 1          |
| Kontrol populazioa Hardy-Weinberg desorekan                            | 0          |

### **Meta-analisia**

rs1690916 eta rs2279744 polimorfismoak eta OS-aren arriskuan duen eragina herentzia genetiko eredu alelikoa, kodominantea, dominantea eta errezesiboaren bitartez aztertu genuen. Artikulu guztien genotipoen datuak konbinatu genituen Mantel-Haenszel estatistikoaren zorizko efektuen ereduaren bitartez OR estimatzaile globala eta %95 konfidantza tartera (%95ko KT) kalkulatuz suszeptibilitatearen asoziazio analisia egiteko (134).

Zorizko efektuen ereduaren ustez, meta-analisia egiteko erabiltzen diren artikuluen arteko aldakortasuna zoriari eta artikulu bakoitzaren ekarpenari atxikitzen zaio. Datu hauek R softwarearen meta liburutegia erabiliz kalkulatu genituen (R softwarea 3.0.3 bertsioa, the R Foundation for Statistical Computing). Meta-analisiaren emaitzak forest plot deitzen den irudiaren bitartez adierazi ziren. Adierazpen honetan artikulu bakoitzaren OR bere %95 KTrekin, lagin tamaina eta meta-analisiaren estimazio globala adierazten da.

### ***Heterogeneotasun analisia***

Meta-analisiaren heterogeneotasuna  $I^2$  estatistikoaren bitartez kalkulatu zen. Heterogeneotasuna ez da meta-analisia egiteko erabiltzen diren artikulu kopuru menpekoa baizik eta artikuluen arteko aldakortasunarena. Estatistiko hau 0 eta %100 bitarteko da eta artikulu bakoitzak duen heterogeneotasuna adierazten du.  $I^2$  %0-25 balioak heterogeneotasunik ez dagoela adierazten du, %25-50 neurriko heterogeneotasuna adierazten du, %50-75 heterogeneotasun altua eta %75-100 heterogeneotasun oso altua. Heterogeneotasun altua dagoen kasuetan influentzia analisia egiten da jakiteko ze artikulu den heterogenotasunaren iturria. Analisi hau meta-analisian parte hartu duten artikulu bana kenduz meta-analisiaren berrestimazioak egitean datza. Beraz, heterogeneotasunaren iturria zein artikulu den ikusi ahal dugu.

### ***Publikazioaren alborapenaren analisia***

Argitzeari begira, emaitza positiboak edo adierazgarriak dituzten artikuluak argitztea probableagoa da ondoriogabeko emaitzak edota emaitza negatiboak dituzten artikuluak baino beraz, bilaketa sistematikoan emaitza alboratuak eragin ditzake (135, 136). Fenomeno honi publikazio alborapena deitzen zaio. Bilaketa sistematikoan argitaratugabeko artikuluak baztertzen dira beraz, emaitza positiboak (gure kasuan, asoziazio positiboak) esposizio (gure kasuan, SNP arrisku aleoa izatea) eta gertaera (gure kasuan, osteosarkoma izatea) benetako erlazioan gainestimazioak dakartha (137).

Literaturaren publikazioaren alborapenaren analisia Egger-ren test-aren bitartez analizatu zen (138) eta Begg-en *funnel plot* irudiaren bitartez adierazten da. Irudi honetan, alborapenik gabeko egoera (hipotesi nulua) gure emaitzeken kontrastatzen da.

## 2.5 CTLA4 GENEAREN rs231775 SNPAREN GENOTIPAZIOA

CTLA4 genean kokatuta dagoen rs231775 SNPa OSren suszeptibilitatearen "markatzale" potentzialetako bat dela ikusi genuen. Hori dela eta, SNP honen asoziazioa validatzea erabaki genuen. Horretarako, PCR-RFLP genotipazio teknika erabili genuen, *BstEII* errestrikzio entzimaren bitartez. Hasleen sekuentzia 9. Taulan adierazi dira.

**9. taula.** CTLA4 genean kokatuta dagoen rs231775 SNPa genotipatzeko hasleen sekuentzia.

| Izena        | Sekuentzia (5'-3')    | Hibridazio<br>temperatura | Tamaina<br>(bp) |
|--------------|-----------------------|---------------------------|-----------------|
| CTLA4_rs23_F | AAGGCTCAGCTGAACCTGGC  | 64.2°C                    | 153             |
| CTLA4_rs23_R | CTGCTGAAACAAATGAAACCC | 59.6°C                    |                 |

## 2.6. CTLA4 GENEAREN rs231775 SNPAREN META-ANALISIA

CTLA4 genearen rs231775 SNP eta OSren asoziazioa aztertzen zituzten artikuluak topatzeko bilaketa sistematikoa eta meta-analisia egin genuen *MDM2* genearen SNPen azterketako metodoa jarraituz (2.4 atalean).

Kasu horetan, bilaketa estrategia hurrengo hauek izan ziren:

1. ("bone tumor" or osteosarcoma) and (polymorphism or SNP)
2. rs231775 OR +49G>A
3. (*CTLA4* or "cytotoxic T-lymphocyte-associated protein 4") and ("bone tumor" or osteosarcoma)

Gure bilaketa 2014ko martxoaren 25arte argitaratuta zeuden erregistro guztiak kontuan hartu zituen.

Ondoren, gure azterketako datuak eta bilaketa sistematikoan topatutako artikuluak meta-analisiaren erabili genituen. rs231775 SNPren asoziazioa OSrekin AA vs GG+GA eta modelo alelikoarekin (A vs G) egin genuen.

### **3. MIRNA GENEKIN ERLAZIONATUTAKO SNPAK**

Gure helburua OSren suszeptibilitatearekin erlazionatutako adierazpen aldaketa azaltzen dituzten miRNAk topatzea zen.

#### **3.1 OSREN SUSZEPTIBILITATEAN ADIERAZPEN ALDAKETA AGERTZEN DUTEN MIRNA BILAKETA**

##### ***Bilaketa estrategia***

miRNA adierazpen aldaketak eta osteosarkomaren suszeptibilitatearekin aztertzen zituzten artikuluak topatzeko bilaketa sistematikoa egin genuen. Horretako, Pubmed ([www.ncbi.nlm.nih.gov/pubmed](http://www.ncbi.nlm.nih.gov/pubmed)) datubase bibliografikoa erabili genuen honako (“mir” OR “miRNA”) AND osteosarcoma terminoak erabiliz. Gure bilaketa 2014ko uztailaren 22arte argitaratuta zeuden erregistro guztiak kontuan hartu genituen.

##### ***Inklusio eta esklusio irizpideak***

Bilaketa honen helburua miRNA adierazpen ezberdintasunak aztertzen zituzten artikuluak topatzea zen. Zehazki, adierazpen ezberdintasunak OS pediatricoa gaixoen hezur osasuntsua indibiduo osasuntsuen hezur osasuntsuarekin konparatzen zituzten artikuluak topatzea zuen helburu.

Lehengo fasean artikuluen laburpenaren irakurketan oinarritu zen. Fase hau ez gainditzen arrazoiak edo esklusio irizpideak hauek dira:

- a) Datubasearen artikulua.
- b) Beste gaixotasun bat aztergai izatea.
- c) Gizakia ez den beste organismo edo lerro zelularretan egindako lanak.
- d) miRNAen itu geneen bilaketa ikertzen zituzten artikuluak.
- e) Beste argitalpen mota bat izatea: berrikuspenak, editoreari igorritako gutunak, meta-analisiak etab.

f) Beste kokapen genomiko bat aztertzea: Beste gene edo beste ncRNA geneak aztertzen dutenak.

g) miRNAen jokamoldea farmakoen aurrean aztertzen zutenak.

h) Ez dute suszeptibilitatea aztertzen: Azterketa farmakogenetikoak, farmakoei erantzuna, pronostiko, biziraupena eta toxizitate azterketak kategoria honetan kokatu genituen.

Laburpenik ez zuten artikuluak zuzenean bigarren fasera pasatu genituen. Bigarren fasean artikulu osoaren edukian oinarritu ziren. Kasu honetan, esklusio irizpide berdinak erabili ziren, bi gehituz: (1) OS pediatrikoa (<34 urte) aztertzen zitztenak eta (2) Testu osoa ez zuten artikuluak. Horrez gain, artikulu hauen erreferentziak aztertu genituen, guk erabilitako datubasetan indexatuta ez zeuden eta gure inklusio irizpideak bete zitzakeen artikuluak bilatzeko.

Bilaketa bibliografikoa eta artikulu hautaketa bi ikertzailek egin zuten modu independentean eta ezadostasunak bi ikertzaileek bat etorri arte argitu ziren. Prozesu guztia bilaketa sistematikoan grafikoki adierazi zen fluxu-diagrama edo *flow-chart*, ingelesez bidez (emaitza atalean).

### **Datu erauzketa**

Artikulu bakoitzetik argitalpen urtea, egileen izenak, etnia, paziente eta kontrol kopurua, miRNA adierazpen tendentzia eta adiergazgarritasun balioa bildu genituen aztertu ziren miRNA guztietaan.

## **3.2 MIRNA PROZESAMENDU GENEEN SNPEN AZTERKETA**

### **3.2.1 MIRNAEN PROZESAMENDU-GENEEN ETA SNPEN HAUTAKETA**

MiRNAren prozesamenduan parte hartzen duten gene guztiak, 21 gene guztira, aukeratu ziren. Bibliografiaren azterketa sakona egin zen (“microRNA-machinery genes” OR “microRNA Biosynthesis Pathways”) terminoekin, zenbait errebisio artikuluetatik bildu genituen (72, 139) (10. taula).

**10 taula.** miRNA prozesamenduan parte hartzen dituzten geneak.

---

MIRNA PROZESAMENDU-GENEAK

---

|                   |                 |               |
|-------------------|-----------------|---------------|
| RISC KONPLEXUA    | GENIM KONPLEXUA | <i>GENIM3</i> |
|                   |                 | <i>GENIM4</i> |
|                   |                 | <i>GENIM5</i> |
| AGO               |                 | <i>EIF2C1</i> |
|                   |                 | <i>EIF2C2</i> |
|                   |                 | <i>HIWI</i>   |
| CCR-NOT KONPLEXUA |                 | <i>CNOT1</i>  |
|                   |                 | <i>CNOT2</i>  |
|                   |                 | <i>CNOT3</i>  |
|                   |                 | <i>CNOT4</i>  |
|                   |                 | <i>CNOT5</i>  |
|                   |                 | <i>CNOT6</i>  |
| GW182             |                 | <i>TNRC6A</i> |
|                   |                 | <i>TNRC6B</i> |
| SND1              |                 | <i>SND1</i>   |
| DROSHA/DGR8       | DGCR8           | <i>DGCR8</i>  |
|                   | DROSHA          | <i>DROSHA</i> |
| DICER KONPLEXUA   | XPO5            | <i>XPO5</i>   |
|                   | RAN             | <i>RAN</i>    |
|                   | DICER           | <i>DICER</i>  |
|                   | TRBP            | <i>TRBP</i>   |

---

Hogeitabat gene hauetan 72 SNP hautatu ziren hurrengo irizpide hauek jarraituz (a)  $r^2 > 0.8$  duten tagSNPak, hautatutako gene guztien aldakortasun genetikoa kontuan izateko. TagSNPen aukeraketarako nazioarteko HapMap proiektuaren datubasea (24. bertsioa; <http://www.hapmap.org>) eta Haplovew softwarea (4.2 bertsioa; <http://www.broad.mit.edu/mpg/haplovew/>) (Broad Institute, Cambridge, USA) erabili ziren; (b) Efektu funtzional potentziala zuten SNPak aukeratu genituen: aa aldaketa, moztitsasketa

alternatiboa, geneen promotorean dauden transkripzio-faktoreen lotura unean kokatuta zeuden SNPak eta miRNAen itua sortu/ezabatzen dituzten SNPak. SNPen efektu funtzionala, F-SNP (<http://compbio.cs.queensu.ca/F-SNP/>) (Queen's University, Kingston, Canada), FastSNP (<http://fastsnp.ibms.sinica.edu.tw>) (Academia Sinica, Taipei, Taiwan) eta Patrocles (<http://www.patrocles.org/>) (University of Liège, Belgium). (c) Gainera, bibliografian minbiziarekin asoziatutako SNPak ere hautatu genituen.

Aukeratutako SNPen alelo minimoaren maiztasuna (AMM) populazio europearra eta kaukasikoan %5a baino handiagoa (AMM $\geq$ 0,05) zuten (11. Taula eta 10 taula osagarria).

**11. taula.** MiRNA prozesamendu-geneen SNP hautaketa.

| Genea          | SNPak  |
|----------------|--|
| <i>CNOT1</i>   | rs11644694, rs11866002, rs37060  |
| <i>CNOT2</i>   | rs10506586   |
| <i>CNOT3</i>   | rs42318  |
| <i>CNOT4</i>   | rs1003226, rs3763425, rs3812265  |
| <i>CNOT6</i>   | rs11738060, rs6877400  |
| <i>DGCR8</i>   | rs1640299, rs35987994, rs3757, rs417309, rs9606248   |
| <i>DICER1</i>  | rs1057035, rs1209904, rs13078, rs3742330 <sup>1</sup>  |
| <i>DROSHA</i>  | rs10035440, rs10719, rs17408716, rs2287584, rs3792830, rs3805500, rs4867329, rs493760, rs55656741, rs639174, rs6877842, rs6884823, rs7735863 |
| <i>EIF2C1</i>  | rs595961, rs636832   |
| <i>EIF2C2</i>  | rs2292778, rs2293939, rs4961280  |
| <i>GEMIN3</i>  | rs197388, rs197412, rs197414, rs563002   |
| <i>GEMIN4</i>  | rs1062923, rs2740348, rs34610323, rs3744741, rs7813, rs910924  |
| <i>GEMIN5</i>  | rs1974777, rs6865950, rs816736   |
| <i>PIWIL1</i>  | rs1106042  |
| <i>RAN</i>     | rs11061209, rs14035  |
| <i>SMAD5</i>   | rs3764941, rs3764942   |
| <i>SND1</i>    | rs17151639, rs17676986, rs322825, rs3823994  |
| <i>TNRC6A</i>  | rs6497759  |
| <i>TNRC6B</i>  | rs139919, rs2413621, rs470113, rs4821943, rs9611280  |
| <i>TARBP2P</i> | rs784567   |
| <i>XPO5</i>    | rs1106841, rs2227301, rs2257082, rs34324334, rs7755135   |

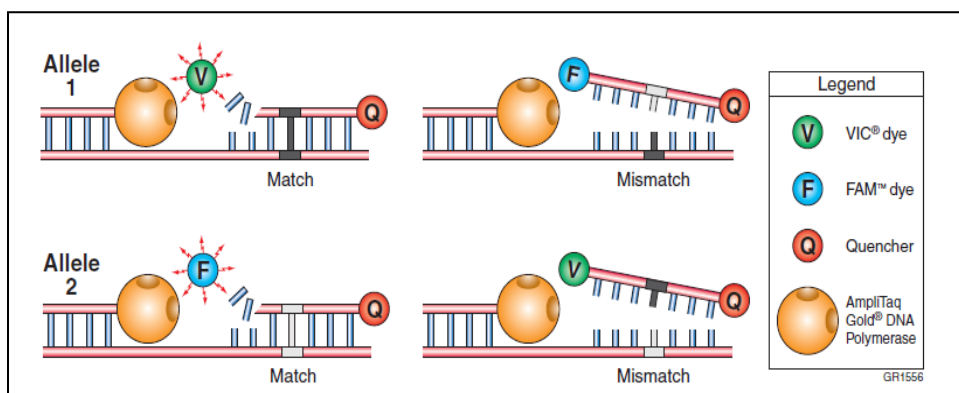
### 3.2.2 MIRNA PROZESAMENDU GENEEN SNPEN GENOTIPAZIOA

miRNA prozesamendu-geneen genotipazioa Euskal Herriko Unibertsitateko (UPV/EHU) Zerbitzu Orokorreran (SGIKER) egin genuen Taqman Open Array teknologiaren bitartez Applied Biosystems (Foster City, CA) etxeak ematen dituen argibideak jarraituz.

Taqman Open Array genotipazio plataformak 3072 nanoporodun *array*-etan SNP-en genotipaziorako Taqman entseguak zituen. Nanoporo bakoitzean SNP bakoitzaren zundak (erreakzioa bakoitza independentea da) kokatzen dira eta horregatik, teknologia honek bai SNP eta lagin kopurua aldetik diseinu aukera aniztunen ditzigu.

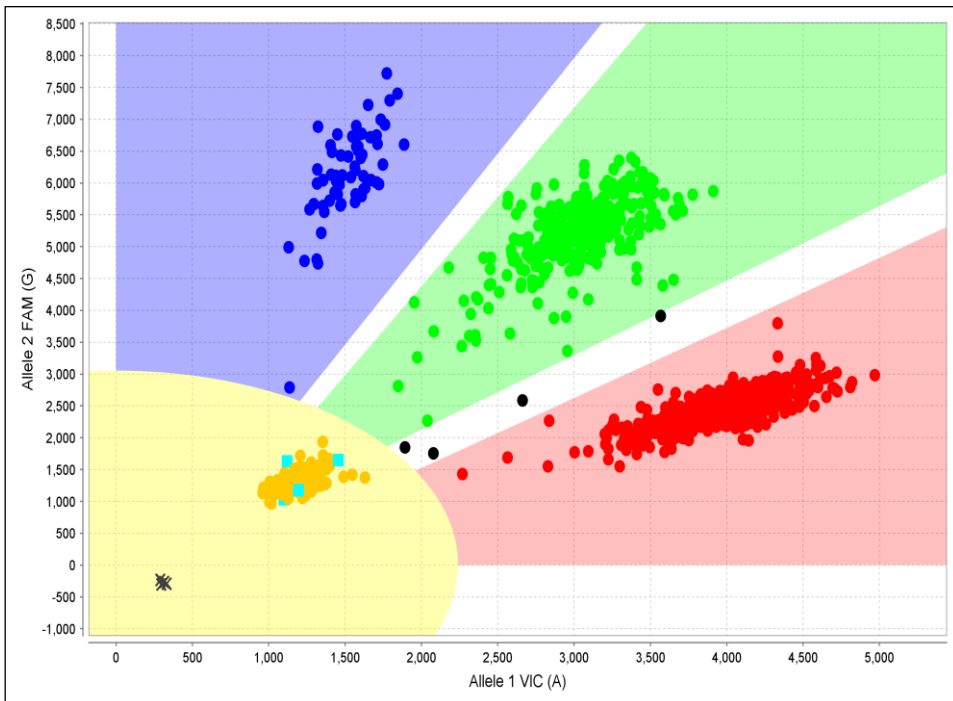
Taqman zundak diseinua PCR produktuen ekoizpena neurtzeko gaitasuna dute fluorokromo bi bidez markatuta dauden zunda sistema erabiliz: fluoroforotako bat 5' muturrean (ingelessez, *reporter*) eta 3' muturrean fluoreszentzia igorpena blokeatzen duen beste molekula (ingelessez, *quencher*). Markatutako zunda hau espezifikoki hibridatzen da PCR produktuaren erdiko partean. Beraz, PCR-a egiten denean (hasle bikotea eta zundarekin batera), zunda amplikoiarekin hibridatzean da, baina fluorofoa eta *quencher* molekula hurbil egoteagatik ez da fluoreszentziarik igortzen. Beraz, fluoreszentzia amplikoi kantitatearekin erlazionatuta dago (16. irudia).

Floureszentzia "Real Time ABI PRISM 7900 sequence detector" tresnarekin detektatu genuen. Beraz, SNP bakoitzarentzat genotipo bakoitzak floureszentzia espezifikoa du: berdea, 1 aleloarentzat homozigotoa (5' muturrean VIC flouroforoa), urdina, 2 aleloarentzat homozigotoa (5' muturrean FAM flouroforoa) eta horia, heterozigotoen kasuan (16. irudia).



16 irudia. Taqman zunda bidezko polimorfismoen genotipazioaren adierazpena (140).

Genotipazioaren emaitzak "Taqman Genotyper" softwarearen bitartez *cluster* eta *calling* analisiak egin genituen (17. irudia). *Clustering*-a fluoreszentzia seinalean oinarrituz laginen taldekatzea da. *Calling*-a lagin bakoitzari genotipoa ezartzeara da.



**17 irudia.** Taqman Genotyper softwarearen bitartez cluster eta calling analisien adierazpena. AA indibiduoak gorri, AG berdez eta GG urdinez adierazten ziren. Genotipazioa akatsak izan zitutzen indibiduoak horiz eta zuriak urdin argiz.

Genotipazioan zehar errepikatutako 10 lagin kontrol sartu ziren kontrol moduan. Fase honetan. zenbait SNP analistik baztertu ziren: transmisio aleliko mendelianoan akatsak eta genotipo diskordanteak zituztenak baztertu ziren.

### 3.3 MIRNA GENEEN SNPEN AZTERKETA

#### 3.3.1 MIRNA GENEN ETA SNP-HAUTAKETA

OS pediatrikoaren suszeptibilitatean miRNAen adierazpen aldaketak aztertu zituen ikerketa lanik ez zen aurkitu. Beraz, pre-miRNA guztien aldakortasun genetikoa aztertu zen, honakoa kontuan izanda:

1. Pre-miRNAen *seed* gunean dauden SNPak miRNA-mRNA elkarrekintza desorekatu dezake edota miRNA-en itu geneak aldatu.
2. Pre-miRNAen dauden SNPak bere prozesamenduan edota miRNA-mRNA elkarrekintza desorekatu ere (141).

3. miRNAk gene kopuru handia erregulatu ditzakete, eta ondorioz, osteosarcoma pediatrikoaren arriskuan parte hartzen duten geneen erregulazioan implikatuta egon daiteke miRNAk.

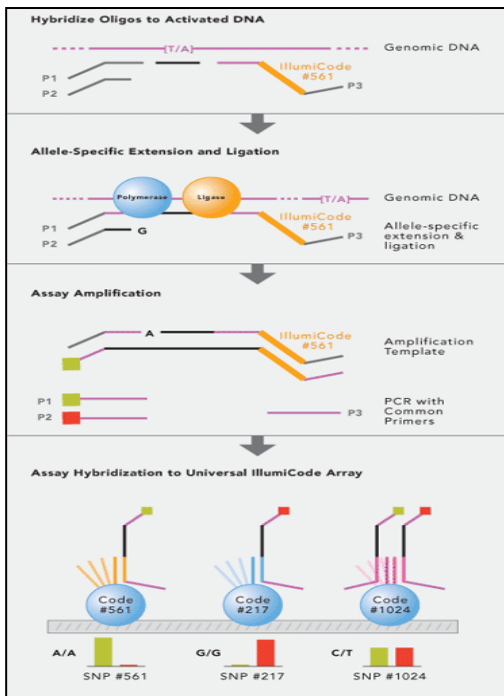
4. pre-miRNA guztietan dauden SNP (AMM %1 baino handiagoa) kopurua.

Deskribatutako pre-miRNA guztiak miRBase datubasetik (<http://www.mirbase.org/>) (bilaketaren amaiera-data: 2013 Martxoan) lortu genituen eta miRNAsNIPER datubasearen (<http://www.integratomics-time.com/miRNAs-SNIPER/>) bitarte, pre-miRNA guztiak polimorfikoak zirenak adierazten zigun. Ondoren, SNP guztiak dbSNP datubasean (<http://www.ncbi.nlm.nih.gov/snp/>) bilatu genituen AMM-a topatzeko. Populazio kaukasikoan AMMa %1 (AMM> 0,01) zuten SNPak aukeratu genituen.

### **3.3.2 PRE-MIRNA GENEEN SNP GENOTIPAZIOA**

Pre-miRNAtan dauden SNPen genotipaziorako Illumina etxeko VeraCode-ko GoldenGate teknologia erabili zen Centro Nacional de Genotipado-n (CeGen-ISCIII) burutua. Plataforma honek PCR multiplex entseguak egitea ahalbidetzen du. PCR multiplex bidez SNP kopuru handia prozesatu daiteke aldi berean (1536 baino gehiago) hori dela eta denbora, errektibo kopurua eta prozesurako beharrezko material kopurua murrizten da.

GoldenGate entseguak zenbait pausu dauzka. Lehenik eta behin, DNA biotina edo Streptavidinarekin (250ng DNA 50 ng/ $\mu$ L-tan) markatzen da. Marka hau hurrengo pausuan SNP bakoitzerako hasle espezifikoak DNAril lotzeko beharrezkoa da. Zehazki, 3 hasle diseinatzen dira: haietako bi espezifikoak dira SNParen aleloentzat (ASO, *allele-specific oligonucleotide*) eta gainontzeko haslea SNParen locusetik zenbait base ur-behera lotzen da (LSO, *locus-specific oligonucleotide*). LSO hasleak SNP bakoitza identifikatzen duen kodea du. Hurrengo pausua ASO hasletatik LSO haslera luzatzea da hasle unibertsalekin egindako PCR bidez. Hasle hauek koloratzaile ezberdinak tindatuta daude ASO bakoitzerako (Cy-3 eta Cy-5). Horrela, SNPen alelo bakoitza identifikatu daiteke. Produktu hauek matrize edo euskarri batera lotuz SNP bakoitza seinale fluoreszentearen bitartez analizatu daiteke (18. irudia).



18. irudia. GoldenGate entseguren eskema.

### 3.3.3 MIRNAEN BIGARREN MAILAKO EGITURAREN IRAGARPENAREN ANALISIA *IN SILICO*

SNPek miRNA egituraren sor ditzaketen aldaketak iragartzeko *in silico* analisia egin genuen miRNASNP tresna bioinformatikoa (versión 2) (<http://www.bioguo.org/miRNASNP/>) erabiliz.

## 4. ANALISI ESTATISTIKOAK

Lehenik eta behin, genotipazio arrakasta kalkulatu zen SNP bakoitzerako Haplovview software-a erabiliz (4.2 bertsioa).

Asoziazio analisia egin baino lehen SNPek HWO betetzen zuten kalkulatu genuen. HWO kontrol populazioan kalkulatzen da populazio orokorraren aleloren frekuentziak dituzten ala ez zehazteko. HWoren printzipioak populazio orokorrean topatu behar genituzken genotipoen frekuentziak zehazten dizkigu. Hala ere, badaude populazio orokorrean gerta daitezken zenbait fenomeno genotipoen frekuentziengatik desbidapena gertatzeko: genotipazioan akatsak, odolkidetasuna indibiduoen artean edo aleloren hautespen fenomenoren bat. HWO  $\chi^2$  testaren edo Fisher test zehatzaren bitartez kalkulatu zen. Adierazgarritasun maila 0,05 izan zen.

Asoziaziaren analisiaren magnitudea odds ratio (OR) eta %95ko konfidantza tartearen (%95KT) bitartez estimatu genuen. Frekuentzia genotipikoen konparaketa kasu eta kontrolen artean erregresio logistikoaren bitartez kalkulatu genuen 5 herentzia eredu genetiko erabiliz: alelikoa, kodominantea, dominantea, errezesiboa eta aditiboa. Eedu alelikoak aleloetako batek arriskua sortzen duela postulatzen du; eredu kodominanteak genotipo bakoitzak gaixotasunarekiko arrisku ezberdina (baina ez gehigarria) ematen diola postulatzen du; eredu dominanteak arrisku aleloaren kopia bakarra edukitzea nahikoa da arriskua aldatzeko; eredu errezesiboa arrisku aleloaren bi kopiak beharrezkoak dira arriskua aldatzeko; eredu aditiboa aleloek efektu gehigarria dutela postulatzen dute (142). Frekuentzia alelikoentzako konparaketa kasu eta kontrolen artean  $\chi^2$  testaren bitartez kalkulatu genuen. Bai frekuentzia genotipiko bai alelikoetan adierazgarritasun maila 0.05 finkatu zen. Aztertzen zen honetan zen SNP kopurua altua zenez eta beraz, konparazio kopuru handia egiten zenez positibo faltsuak agertzea probableagoa da. Hori dela eta, adierazgarritasun balioak bi metodo bidez zuzendu ziren: False discovery rate (FDR) metodoa, SNP adierazgarrien kopurua kontuan hartzen dituena eta Bonferroni metodoa, aztertutako SNP guztiak kontuan hartzen dituena. Azken metodo hau zorrotzagoa da (143). Analisi hauek R (“the R Foundation for Statistical Computing” 3.0.3 bertsioa) software estatistikoarekin egin ziren SNPAssoc liburutegi erabiliz.



# ***EMAITZAK***

# **1. LITERATURAN OSREN SUSZEPTIBILITATEAREKIN ASOZIATUTAKO SNPEN BALIDAZIOA**

OSren arriskua aztertu zuten gene kandidatu artikuluen bilaketa egin ondoren, rs2279744 eta rs1690916 SNPak *MDM2* genean eta rs231775 SNPak *CTLA4* genean OSren suszeptibilitatearekin bi artikulu baino gehiagotan asoziatutako SNP bakarrak dira. Hiru SNP hauek OSren arriskuaren markatzaile potentzial bakarrak dira, hori dela eta, SNP hauen balidatzea erabaki genuen.

## **1.1 *MDM2* GENEAREN rs1690916 ETA rs2279744 SNPAK OS ARRISKUAREN ASOZIAZIO-ANALISIA**

*MDM2* genearen rs1690916 eta rs2279744 SNPak OSren arriskuarekin asoziatuta zeuden ala ez egiazazteko Europako OS populazioetan (Espainia eta Eslovenia) kasu-kontrol azterketa.

### **1.1.1 LAGINA**

OS 139 kasu (n= 99 espanyar eta n=40 esloveniar) eta haien kontrolak (n=167 eta n=92, hurrenez hurren) aztertu ziren. Pazienteengen batazbesteko adina 14,69 urte (3-69 urteko heina). OS kasuetan gizonezko gehiago zeuden 1,16:1 proportzioan (12. taula).

**12. taula.** MDM2 genearen azterketan parte hartu duten OS pazienteen eta kontrolen adin eta sexu banaketa.

|                         | Totalak     | Kontrolak    | Kasuak       |
|-------------------------|-------------|--------------|--------------|
| Parte-hartzaileak (n)   | 398         | 259          | 139          |
| <b>Jatorria (n;%)</b>   |             |              |              |
| Espainia                | 266 (66,83) | 167 (64,48)  | 99 (71,22)   |
| Eslovenia               | 132 (33,17) | 92 (35,52)   | 40 (28,78)   |
| <b>Adina (bte; de)*</b> |             |              |              |
| Espainia                | -           | 42,29 (9,97) | 14,69 (5,13) |
| Eslovenia               | -           | 46,52 (9,24) | 23 (15,89)   |
| <b>Sexua (e/g/de)*</b>  |             |              |              |
| Espainia                | 100/145/21  | 61/91/15     | 39/54/6      |
| Eslovenia               | 52/79/1     | 31/61        | 21/18/1      |

Laburdurak: n, norbanako kopurua; de, desbiderapen estandarra; e, emakumeak; g, gizonezkoak; de, daturik ez; bte, batazbeste. \* Partehartzaile batzuren adin eta sexu datuak falta ziren.

### **1.1.2 GENOTIPAZIO ARRAKASTA**

Genotipazio arrakasta %96,5koa zen rs1690916 polimorfismoarentzat (126 kasu y 258 kontrol) eta %94,5koa rs2279744 polimorfismoarentzat (120 kasu eta 256 kontrol). Frekuentzia genotipikoak control taldean HW orekan zeuden ( $p>0,05$ ).

### **1.1.3 rs1690916 SNPA ETA OS ARRISKUAREN ASOZIAZIO-ANALISIA**

MDM2 genearen rs1690916 SNParen asoziazioa ez zen esangarria ez populazio espanyiarrean ezta esloveniarrean ere frekuentzia alelikoen bitartez kalkulatu zenean. Populazio biak gehitzean ere ez zen asoziazio esangarririk topatu (13. Taula).

**13. taula** MDM2 genearen rs1690916 polimorfismoaren eta OS arriskuaren maiztasun alelikoen bidezko asoziazio analisiaren emaitzak.

| Populazioa | AM | MAF  | Aleloak | N (%) kontrolak | N (%) kasuak | OR (%95KT)       | P    |
|------------|----|------|---------|-----------------|--------------|------------------|------|
| España     | A  | 0,34 | G       | 220 (65,9)      | 125 (63,1)   | 1,13 (0,78-1,63) | 0,57 |
|            |    |      | A       | 114 (34,1)      | 73 (36,9)    |                  |      |
|            |    |      | Totalak | 334 (100)       | 198 (100)    |                  |      |
| Eslovenia  | A  | 0,43 | G       | 103 (56,6)      | 23 (42,6)    | 1,76 (0,95-3,25) | 0,09 |
|            |    |      | A       | 79 (43,4)       | 31 (57,4)    |                  |      |
|            |    |      | Totalak | 182 (100)       | 54 (100)     |                  |      |
| Todas      | A  | 0,37 | G       | 323 (62,4)      | 148 (58,73)  | 1,18 (0,86-1,62) | 0,30 |
|            |    |      | A       | 193 (37,26)     | 104 (41,3)   |                  |      |
|            |    |      | Totalak | 516 (100)       | 252 (100)    |                  |      |

Laburdurak: AM, kontrolen maiztasun txikikoena duen aleoa; MAF, alelo txikiaren maiztasuna; OR, Odds Ratio; KT, Konfidantza-tartea.

Bestalde, frekuentzia genotipikoen bidezko asoziazio-analisiek ere ez zuten asoziaziorik topatu ez populazio espanyarrean ezta esloveniarrean ( $p>0,05$ , eredu genetiko guzietan). Populazio biak gehitzean ere ez zen asoziazio esangarririk topatu (14. Taula).

**Tabla 14.** MDM2 genearen rs1690916 polimorfismoaren eta OS arriskuaren maiztasun genotipikoen bidezko asoziazio analisiaren emaitzak.

| Populazioa | AM | Genotipoa | N(%)kontrolak | N (%) kasuak | OR (IC 95%) kod   | P kod | OR(IC 95%) errez    | P errez | OR(IC 95%) dom          | P dom | OR(IC 95%) log   | P log |
|------------|----|-----------|---------------|--------------|-------------------|-------|---------------------|---------|-------------------------|-------|------------------|-------|
| Espainia   | A  | GG        | 73 (43,7)     | 38 (38,4)    | 1                 |       | GG/GA               |         | GG                      |       |                  |       |
|            |    | GA        | 74 (44,3)     | 49 (49,5)    | 1,27 (0,75-2,17)  | 0,68  | AA 1,01 (0,47-2,17) | 0,97    | GA/AA 1,25 (0,75-2,07)  | 0,39  | 1,13 (0,78-1,63) | 0,52  |
|            |    | AA        | 20 (12,0)     | 12 (12,1)    | 1,15 (0,51-2,61)  |       |                     |         |                         |       |                  |       |
|            |    | Totalak   | 167 (100)     | 99 (100)     |                   |       |                     |         |                         |       |                  |       |
| Eslovenia  | A  | GG        | 26 (28,6)     | 3 (11,1)     | 1                 |       | GG/GA               |         | GG                      |       |                  |       |
|            |    | GA        | 51 (56,0)     | 17 (63,0)    | 2,89 (0,78-10,76) | 0,11  | AA 1,92 (0,69-5,40) | 0,22    | GA/AA 3,20 (0,89-11,55) | 0,05  | 1,98 (0,99-3,96) | 0,05  |
|            |    | AA        | 14 (15,4)     | 7 (25,9)     | 4,33 (0,97-19,43) |       |                     |         |                         |       |                  |       |
|            |    | Totalak   | 91 (100)      | 27 (100)     |                   |       |                     |         |                         |       |                  |       |
| Biak       | A  | GG        | 99 (38,4)     | 41 (32,5)    | 1                 |       | GG/GA               |         | GG                      |       |                  |       |
|            |    | GA        | 125 (48,4)    | 66 (52,4)    | 1,27 (0,80-2,04)  | 0,53  | AA 1,17 (0,64-2,15) | 0,61    | GA/AA 1,29 (0,82-2,02)  | 0,26  | 1,19 (0,86-1,63) | 0,29  |
|            |    | AA        | 34 (13,2)     | 19 (15,1)    | 1,35 (0,69-2,63)  |       |                     |         |                         |       |                  |       |
|            |    | Totalak   | 258 (100)     | 126 (100)    |                   |       |                     |         |                         |       |                  |       |

Laburdurak: AM, kontrolen maiztasun txikikoena duen aleloa; OR, Odds Ratio; KT, Konfidantza-tartea; kod, kodominantea; dom, dominantea; errez, errezesiboa; log, log-aditiboa.

#### **1.1.4 rs2279744 SNPA ETA OS ARRISKUAREN ASOZIAZIO-ANALISIA**

*MDM2* genearen rs2279744 SNParen asoziazioa ez zen esangarria ez populazio espainiarrean ezta esloveniarrean ere frekuentzia alelikoen bitartez kalkulatu zenean. Populazio biak gehitzean ere ez zen asoziazio esangarririk topatu ( $p>0,05$ ) (15. Taula).

**15.taula** *MDM2* genearen rs2279744 polimorfismoaren eta OS arriskuaren maiztasun alelikoen bidezko asoziazio analisiaren emaitzak.

| Populazioa | AM | MAF  | Aleloak | N (%) kontrolak | N (%) kasuak | OR (%95KT)       | P    |
|------------|----|------|---------|-----------------|--------------|------------------|------|
| Espainia   | G  | 0,38 | T       | 202 (61,6)      | 125 (66,5)   | 0,81 (0,55-1,18) | 0,30 |
|            |    |      | G       | 126 (38,4)      | 63 (33,5)    |                  |      |
|            |    |      | Totalak | 328 (100)       | 188 (100)    |                  |      |
| Eslovenia  | G  | 0,36 | T       | 118 (64,1)      | 36 (69,2)    | 0,79 (0,38-1,60) | 0,62 |
|            |    |      | G       | 66 (35,9)       | 16 (30,8)    |                  |      |
|            |    |      | Totalak | 184 (100)       | 52 (100)     |                  |      |
| Biak       | G  | 0,38 | T       | 320 (62,5)      | 161 (67,1)   | 0,81(0,58-1,14)  | 0,25 |
|            |    |      | G       | 192 (37,5)      | 79 (32,9)    |                  |      |
|            |    |      | Totalak | 512 (100)       | 240 (100)    |                  |      |

Laburdurak: AM, kontrolen maiztasun txikikoena duen aleloa; MAF, alelo txikienaren maiztasuna; OR, Odds Ratio; KT, Konfidantza-tartea.

Bestalde, frekuentzia genotipikoaren bidezko asoziazio-analisiek ere ez zuten asoziaziorik topatu ez populazio espainiarrean ezta esloveniarrean ( $p>0,05$ , eredu genetiko guzietan). Populazio biak gehitzean ere ez zen asoziazio esangarririk topatu (16. Taula).

**16.taula** MDM2 genearen rs2279744 polimorfismoaren eta OS arriskuaren maiztasun genotipikoen bidezko asoziazio analisiaren emaitzak.

| Populazioa | AM | Genotipoa | N (%) kontrolak | N (%) kasuak | OR (IC 95%) kod                           | P kod | OR(IC 95%) erreza            | P erreza | OR(IC 95%) dom               | P dom | OR(IC 95%) log   | P log |
|------------|----|-----------|-----------------|--------------|---|-------|------------------------------|----------|------------------------------|-------|------------------|-------|
| Espainia   | G  | TT        | 65 (39,6)       | 44 (46,8)    | 1<br>0,76 (0,44-1,32)<br>0,71 (0,33-1,53) | 0,53  | TT/GT<br>GG 0,81 (0,40-1,67) | 0,57     | TT<br>GT/GG 0,75 (0,45-1,24) | 0,26  | 0,82 (0,57-1,18) | 0,29  |
|            |    | GT        | 72 (43,9)       | 37 (39,4)    |   |       |                              |          |                              |       |                  |       |
|            |    | GG        | 27 (16,5)       | 13 (13,8)    |   |       |                              |          |                              |       |                  |       |
|            |    | Total     | 164 (100)       | 94 (100)     |   |       |                              |          |                              |       |                  |       |
| Eslovenia  | G  | TT        | 40 (43,5)       | 11 (42,3)    | 1<br>1,34 (0,54-3,31)<br>0,26 (0,03-2,20) | 0,19  | TT/GT<br>GG 0,22 (0,03-1,78) | 0,09     | TT<br>GT/GG 1,05 (0,43-2,53) | 0,92  | 0,80 (0,42-1,54) | 0,50  |
|            |    | GT        | 38 (41,3)       | 14 (53,8)    |   |       |                              |          |                              |       |                  |       |
|            |    | GG        | 14 (15,2)       | 1 (3,8)      |   |       |                              |          |                              |       |                  |       |
|            |    | Total     | 92 (100)        | 26 (100)     |   |       |                              |          |                              |       |                  |       |
| Biak       | G  | TT        | 105 (41)        | 55 (45,8)    | 1<br>0,89 (0,56-1,41)<br>0,65 (0,33-1,30) | 0,46  | TT/GT<br>GG 0,69 (0,36-1,33) | 0,25     | TT<br>GT/GG 0,82(0,53-1,27)  | 0,38  | 0,83 (0,61-1,13) | 0,23  |
|            |    | GT        | 110 (43)        | 51 (42,5)    |   |       |                              |          |                              |       |                  |       |
|            |    | GG        | 41 (16)         | 14 (11,7)    |   |       |                              |          |                              |       |                  |       |
|            |    | Total     | 256 (100)       | 120 (100)    |   |       |                              |          |                              |       |                  |       |

Laburdurak: AM, kontrolen maiztasun txikikoena duen aleloa; OR, Odds Ratio; KT, Konfidantza-tartea; kod, kodominantea; dom, dominantea; erreza, errezesiboa; log, log-aditiboa.

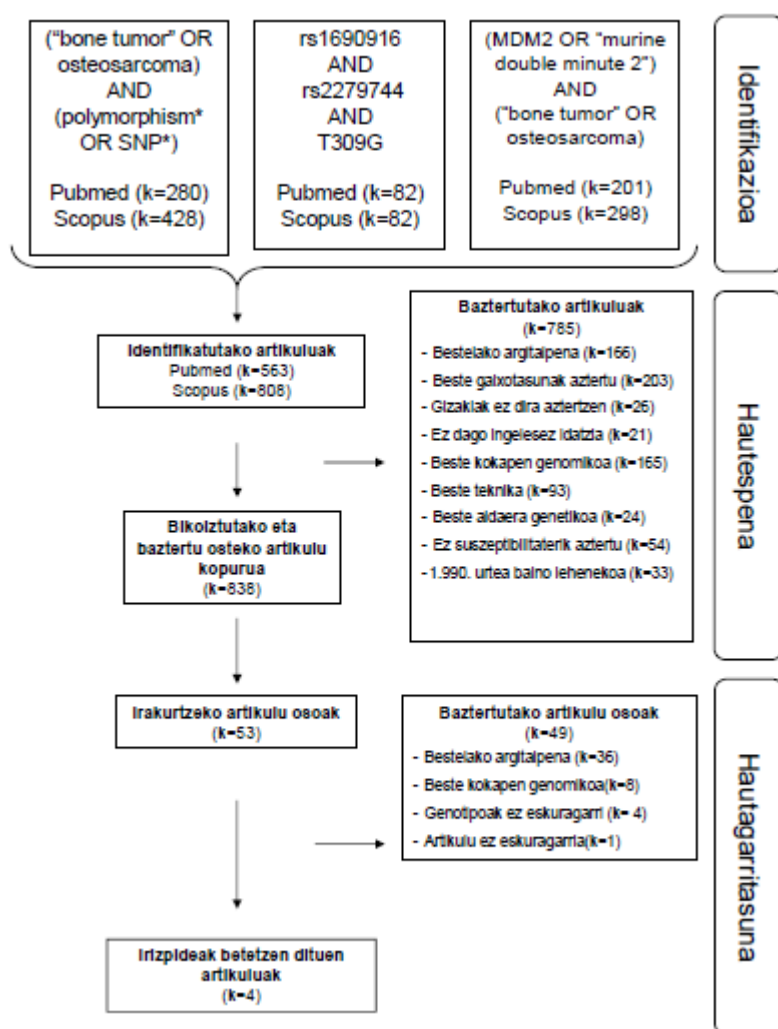
Laburbilduz, ez zen asoziazio esangarririk topatu MDM2 geneen rs1690916 eta rs2279744 SNPen eta OS arriskuaren artean. Emaitza hauek literaturan topatutakoekin kontraesanean zeuden (33, 35), baita duela gutxi bi SNP hauetan aztertzen zituen MArekin (151).

Hori dela eta, *MDM2* genearen polimorfismo hauetan OSren arriskuarekin aztertutako artikuluen irakurketa kritikoa egitea erabaki genuen. Horrez gain, azterketa hauetan eta genotipatutako populazioekin meta-analisi berria egitea erabaki genuen.

## 1.2 MDM2 GENEAREN rs1690916 ETA rs2279744 SNPEN BILAKETA BIBLIOGRAFIKOA ETA META-ANALISIA

### 1.2.1 rs1690916 ETA rs2279744 SNPEN ETA OS SUSZEPTIBILITATEAREN AZTERKETEN BILAKETA BIBLIOGRAFIKOA

Bilaketa bibliografikoa *Pubmed* eta *Scopus* datubaseen bitartez egin genuenean 1371 artikulu identifikatu genituen. Duplikazioak kendu ostean 838 artikulu geratu ziren. Artikuluen laburpenak irakurri ostean 785 artikulu baztertu ziren inklusio irizpideak betetzen ez zituztelako, 53 artikulu oso irakurri. Hauetatik, lau artikuluk rs1690916 edo/eta rs2279744 OSren arriskuaren asoziazioa aztertu zuten (19. Irudia).



19.irudia. Hautatutako artikuluen fluxu-diagrama.

## **1.2.2 META-ANALISIA**

rs1690916 eta rs2279744 SNPen meta-analisisirako sei populazio erabili ziren: haietatik lau bilaketa bibliografikotik lortu ziren (errusiarra, amerikarra, australiarra eta italiarra) eta aurreko asoziazio-analisiko emaitzak (populazio espanyiarra eta esloveniarra).

### **1.2.2.1 rs1690916 SNParen meta-analisia**

rs1690916 SNParen jatorri errusiarra, amerikarra, espanyiarra eta esloveniarra zuten populazioak erabili ziren. Genotipoen banaketa kontroletan HW orekan zeuden ( $p>0,05$ ). SNP hau aztertzen zuten artikuluak kalitate eskala gainditu zuten ( $> 5$  balioa) (1. Taula osagarria).

Maiztasun alelikoen bitartez egindako asoziazio-analisian emaitza esangarria izan zuen populazio bakarra, amerikarra izan zen ( $p=0,002$ ) (17. Taula). Populazio honetan, A aleloak OS arriskua txikitzen zuen ( $OR=0,61$ ; %95KT: 0,45-0,84).

**17. taula** MDM2 genearen rs1690916 SNParen maiztasun alelikoen bidezko asoziazio-analisia meta-analisisko artikuluetan.

| Populazioa | N <sub>kontrolak</sub> | N <sub>kasuak</sub> | AM | F <sub>r</sub> <sub>kontrolak</sub> | F <sub>r</sub> <sub>kasuak</sub> | OR (%95KT)       | P      | Erref     | Urtea |
|------------|------------------------|---------------------|----|-------------------------------------|----------------------------------|------------------|--------|-----------|-------|
| España     | 167                    | 99                  | A  | 0,34                                | 0,37                             | 1,13 (0,78-1,63) | 0,57   | 2015 (PE) |       |
| Eslovenia  | 91                     | 27                  | A  | 0,43                                | 0,57                             | 1,76 (0,95-3,25) | 0,08   | 2015 (PE) |       |
| Rusia      | 86                     | 24                  | A  | 0,47                                | 0,31                             | 0,51 (0,26-1,01) | 0,06   | (36)      | 2012  |
| EEUU       | 1416                   | 96                  | A  | 0,42                                | 0,31                             | 0,61 (0,45-0,84) | 0,002* | (35)      | 2011  |

Laburdurak: AM, kontrolen maiztasun txikikoena duen aleloa; MAF, alelo txikienaren maiztasuna; OR, Odds Ratio; KT, Konfidantza-tartea; N, kopurua; Fr., maiztasun alelikoa; PE: Gure azterketa; Erref: Erreferentzia; \* Esangarria.

Maiztasun genotipikoan analisian, bi populaziok (amerikarra eta errusiera) emaitza esangarriak izan zituen (18. Taula). Populazio amerikarraren kasuan, rs1690916 esangarria izan zen eredu genetiko guztietan. Emaitzarik esangarriena eredu log-aditiboan lortu zen (AA vs AG vs GG). AA genotipoak OS arriskua murrizten zuen  $OR=0,61$  (%95KT: 0,45-0,84;  $p=0,002$ ). Populazio errusiarrean GA/AA genotipoak OS arriskua murrizten zuen eredu dominantean ( $OR= 0,37$ ; %95KT: 0,14-0,93;  $p= 0,04$ ).

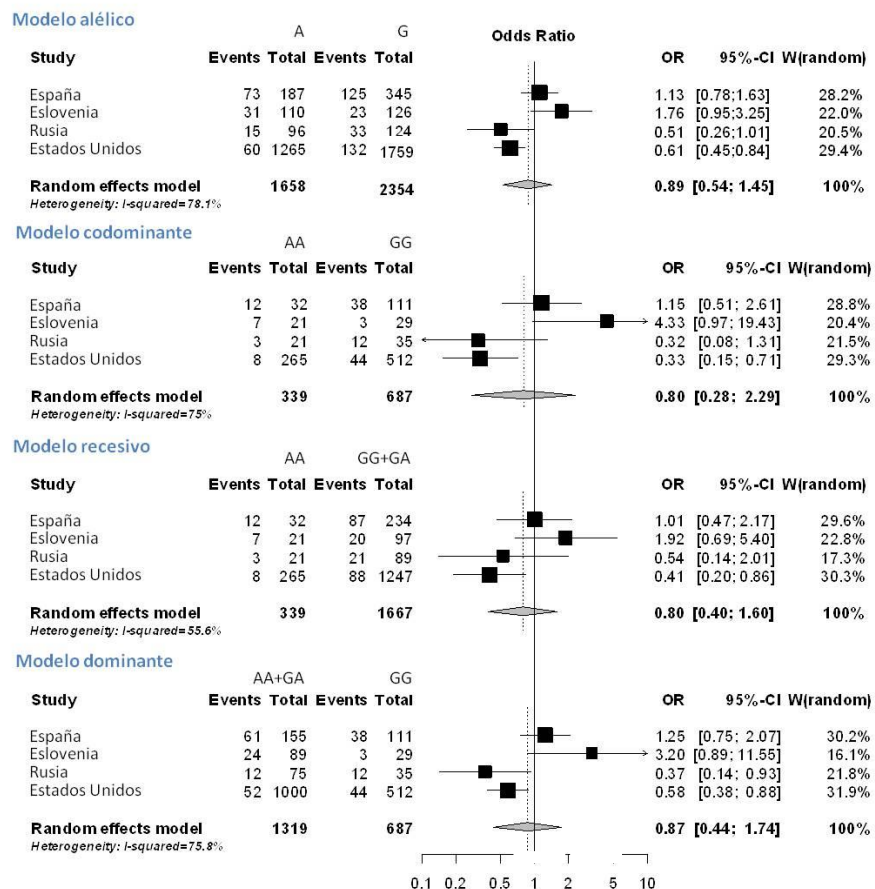
**18 taula.** MDM2 genearen rs1690916 polimorfismoaren eta OS arriskuaren maiztasun genotipikoen bidezko asoziazio analisiaren emaitzak meta-analisiaren artikuluetan.

| Populazioa | AM | Genotipoa | N(%) kontrolak | N(%) kasuak | OR (IC 95%) kod                             | P kod | OR(IC 95%) erredez           | P erredez | OR(IC 95%) dom                | P dom | OR(IC 95%) log   | P log | Eref         | Urtea |
|------------|----|-----------|----------------|-------------|---|-------|------------------------------|-----------|-------------------------------|-------|------------------|-------|--------------|-------|
| Espainia   | A  | GG        | 73 (43,7)      | 38 (38,4)   | 1<br>1,27 (0,75-2,17)<br>1,15 (0,51-2,61)   | 0,67  | GG/GA<br>AA 1,01 (0,47-2,17) | 0,97      | GG<br>GA/AA 1,25 (0,75-2,07)  | 0,39  | 1,13 (0,78-1,63) | 0,52  | 2015<br>(PE) |       |
|            |    | GA        | 74 (44,3)      | 49 (49,5)   |   |       |                              |           |                               |       |                  |       |              |       |
|            |    | AA        | 20 (12,0)      | 12 (12,1)   |   |       |                              |           |                               |       |                  |       |              |       |
|            |    | Totalak   | 167 (100)      | 99 (100)    |   |       |                              |           |                               |       |                  |       |              |       |
| Eslovenia  | A  | GG        | 26 (28,6)      | 3 (11,1)    | 1<br>2,89 (0,78-10,76)<br>4,33 (0,97-19,43) | 0,11  | GG/GA<br>AA 1,92 (0,69-5,40) | 0,22      | GG<br>GA/AA 3,20 (0,89-11,55) | 0,05  | 1,98 (0,99-3,96) | 0,05  | 2015<br>(PE) |       |
|            |    | GA        | 51 (56,0)      | 17 (63,0)   |   |       |                              |           |                               |       |                  |       |              |       |
|            |    | AA        | 14 (15,4)      | 7 (25,9)    |   |       |                              |           |                               |       |                  |       |              |       |
|            |    | Totalak   | 91 (100)       | 27 (100)    |   |       |                              |           |                               |       |                  |       |              |       |
| Errusia    | A  | GG        | 23 (26,7)      | 12 (50,0)   | 1<br>0,38 (0,14-1,04)<br>0,32 (0,08-1,31)   | 0,10  | GG/GA<br>AA 0,54 (0,14-2,01) | 0,33      | GG<br>GA/AA 0,37 (0,14- 0,93) | 0,04  | 0,51 (0,25-1,01) | 0,05  | (36) 2012    |       |
|            |    | GA        | 45 (52,3)      | 9 (37,5)    |   |       |                              |           |                               |       |                  |       |              |       |
|            |    | AA        | 18 (20,9)      | 3 (12,5)    |   |       |                              |           |                               |       |                  |       |              |       |
|            |    | Totalak   | 86 (100)       | 24 (100)    |   |       |                              |           |                               |       |                  |       |              |       |
| AEB        | A  | GG        | 468 (33,1)     | 44 (45,8)   | 1<br>0,68 (0,44-1,05)<br>0,33 (0,15-0,71)   | 0,006 | GG/GA<br>AA 0,41 (0,20-0,86) | 0,008     | G/G<br>GA/AA 0,58 (0,38-0,88) | 0,01  | 0,61 (0,45-0,84) | 0,002 | (35) 2011    |       |
|            |    | GA        | 691 (48,8)     | 44 (45,8)   |   |       |                              |           |                               |       |                  |       |              |       |
|            |    | AA        | 257 (18,1)     | 8 (8,3)     |   |       |                              |           |                               |       |                  |       |              |       |
|            |    | Totalak   | 1416 (100)     | 96 (100)    |   |       |                              |           |                               |       |                  |       |              |       |

Laburdurak: AM, kontrolen maiztasun txikikoena duen aleloa; OR, Odds Ratio; KT, Konfidantza-tartea; kod, kodominantea; dom, dominantea; erredez, errezesiboa; log, log-aditiboa, Eref, Erreferentzia, PE: Gure azterketa;

Hortaz, populazio amerikarra OSren arriskuarekin asoziaturik agertu zen eredu genetiko guzietan (18.taula).

Maiztasun alelikoen bidezko meta-analisiaren, A aleloak OS arriskua populazioaren arabera areagotu edo murrizten zela behatu genuen; Espainiako eta Esloveniako populazioetan A aleloak arriskua ematen zuen bitartean ( $OR > 1$ ), Errusia eta Ameriketako populazioetan A aleloa babesekoa zen ( $OR < 1$ ). Pisuarri (W balioa eta karratu batekin adierazita *forest plot*-ean) dagokiola eredu alelikoan, populazio amerikarrak (%29,4) eta espanyiarrek (%28,2) pisurik handiena zuten meta-analisiaren (20. Irudia).



20.irudia rs1690916 polimorfismoaren meta-analisia.

Polimorfismo honen meta-analisiaren heterogeneitatea altua zen (%>75) eredu alelikoan, kodominantean eta dominantean (20. Irudia). Heterogeneitatearen jatorria zein zen jakiteko influentzia-analisia egin genuen. Analisi honen arabera, ez zegoen OR balio globalean eraginik zuen populaziorik beraz, populazioak ez zuten modu indibidualean heterogeneitatean eragiten (3. Taula osagarria).

Meta-analisiaren azken emaitzaren arabera, rs1690916 polimorfismoa eredu genetiko guzietan OS arriskuarekin asoziatuta ez zegoela adierazten zuen (20. Irudia).

### **1.2.2.2 rs2279744 SNParen meta-analisia**

rs2279744 SNParen meta-analisian jatorri amerikarra, australiarra, italiarra, espanyarra eta esloveniarra zuten populazioak erabili ziren. Genotipoen banaketa kontroletan HW orekan zeuden ( $p>0,05$ ). Artikulu guztiekin kalitate-analisia gainditu zuten populazio australiarrek izan ezik. Kalitatearen ebaluazioaren (balioa=4) arabera artikulu honetan erabilitako control taldearen kalitate baxua dela eta (2. Taula osagarria).

Maiztasun alelikoen bitartez egindako asoziazio-analisia emaitza esangarría izan zuen populazio bakarra, italiarra izan zen ( $p=0,002$ )(19. Taula). Populazio honetan, G aleloak OS arriskua handitzen zuen ( $OR=1,53$ ; %95KT: 1,16-2,02).

**19. taula** MDM2 genearen rs2279744 SNParen maiztasun alelikoen bidezko asoziazio-analisia meta-analisiso artikuluetan.

| Populazioa | N <sub>kontrolak</sub> | N <sub>kasuak</sub> | AM | Fr <sub>kontrolak</sub> | Fr <sub>kasuak</sub> | OR (%95KT)       | P      | Erref | Urtea     |
|------------|------------------------|---------------------|----|-------------------------|----------------------|------------------|--------|-------|-----------|
| España     | 164                    | 94                  | G  | 0,38                    | 0,33                 | 0,81 (0,55-1,19) | 0,29   |       | 2015 (PE) |
| Eslovenia  | 92                     | 26                  | G  | 0,36                    | 0,31                 | 0,80 (0,38-1,60) | 0,62   |       | 2015 (PE) |
| AEB        | 1416                   | 95                  | G  | 0,36                    | 0,42                 | 1,31 (0,96-1,78) | 0,09   | (35)  | 2011      |
| Australia  | 37                     | 17                  | G  | 0,3                     | 0,38                 | 1,46 (0,56-3,71) | 0,39   | (34)  | 2011      |
| Italia     | 250                    | 201                 | G  | 0,34                    | 0,44                 | 1,53 (1,16-2,02) | 0,002* | (33)  | 2011      |

Laburdurak: AM, kontrolen maiztasun txikikoena duen aleloa; MAF, alelo txikienaren maiztasuna; OR, Odds Ratio; KT, Konfidantza-tartea; N, kopurua; Fr., maiztasun alelikoa; PE: Gure azterketa; Erref: Erreferentzia; 1: Esangarría.

Era berean, maiztasun genotipikoen bidezko analisian, populazio italiarrak emaitza esangarriak erakutsi zituen eredu genetiko guzietan ( $OR>1$ ;  $p<0,05$ ) (20. taula). Eredu genetikorik esangarriena log-aditiboa izan zen aditivo (TT vs TG vs GG), non GG genotipoak OS arriskua areagotu zuen de  $OR=1,48$  %95KT: 1,14-1,92;  $p=0,003$ ). Gainontzeko populazioak (espanyarra, esloveniarra, amerikarra eta australiarra) ez zuten emaitza esangarririk izan ( $p>0,05$  eredu genetiko guzietan).

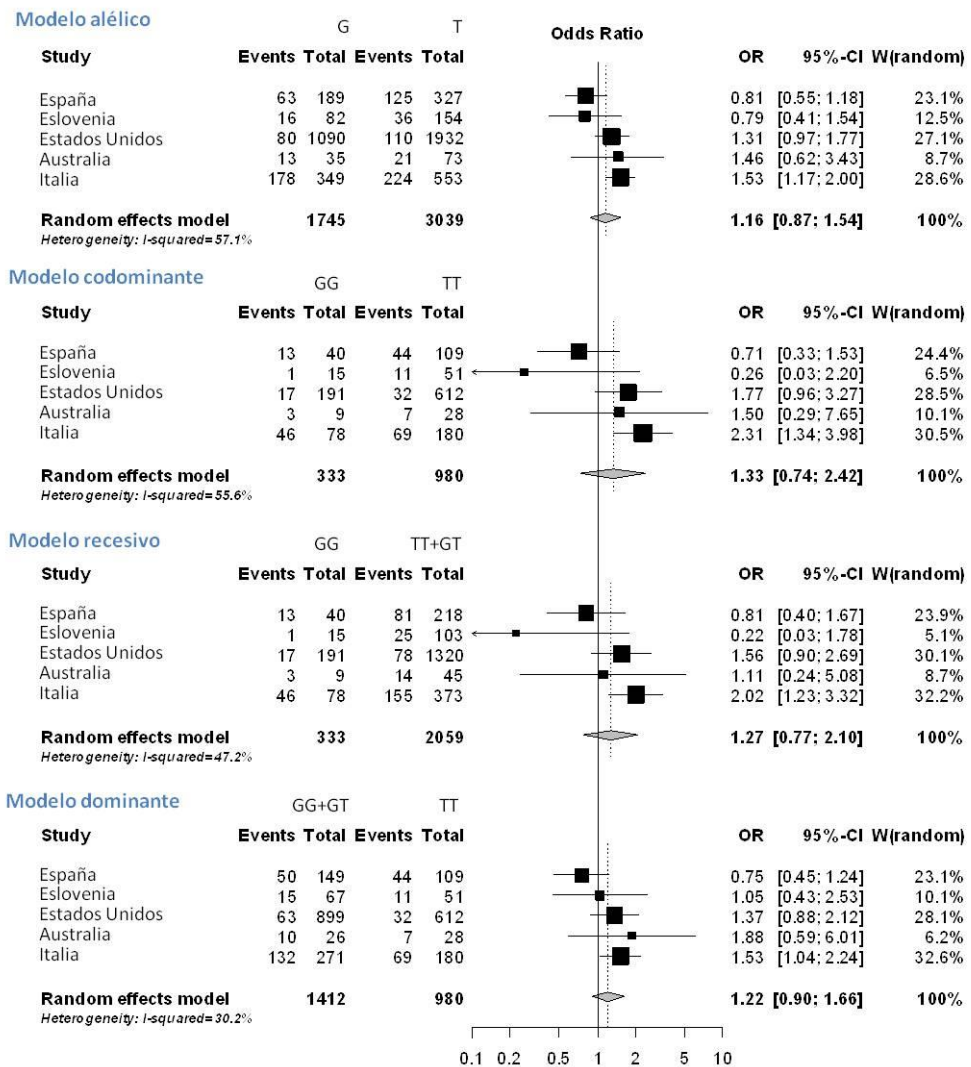
**20. taula.** MDM2 genearen rs2279744 polimorfismoaren eta OS arriskuaren frekuentzia genotipikoaren bidezko asoziazio analisiaren emaitzak meta-analisiengartuetan.

| Populazioa | AM | Genotipoa | N(%) kontrolak | N(%) kasuak | OR (%95KT) kod                            | P kod  | OR(%95KT) errezz              | P errezz | OR(%95KT) dom                | P dom | OR(%95KT) log    | P log  | Eref         | Urtea |
|------------|----|-----------|----------------|-------------|---|--------|-------------------------------|----------|------------------------------|-------|------------------|--------|--------------|-------|
| Espainia   | G  | TT        | 65 (39,6)      | 44 (46,8)   | 1<br>0,76 (0,44-1,32)<br>0,71 (0,33-1,53) | 0,53   | TT/GT<br>GG 0,81 (0,40-1,67)  | 0,57     | TT<br>GT/GG 0,75 (0,45-1,24) | 0,26  | 0,82 (0,57-1,18) | 0,29   | 2015<br>(PE) |       |
|            |    | GT        | 72 (43,9)      | 37 (39,4)   |   |        |                               |          |                              |       |                  |        |              |       |
|            |    | GG        | 27 (16,5)      | 13 (13,8)   |   |        |                               |          |                              |       |                  |        |              |       |
|            |    | Totalak   | 164 (100)      | 94 (100)    |   |        |                               |          |                              |       |                  |        |              |       |
| Eslovenia  | G  | TT        | 40 (43,5)      | 11 (42,3)   | 1<br>1,34 (0,54-3,31)<br>0,26 (0,03-2,20) | 0,19   | TT/GT<br>GG 0,22 (0,03-1,78)  | 0,09     | TT<br>GT/GG 1,05 (0,43-2,53) | 0,92  | 0,80 (0,42-1,54) | 0,50   | 2015<br>(PE) |       |
|            |    | GT        | 38 (41,3)      | 14 (53,8)   |   |        |                               |          |                              |       |                  |        |              |       |
|            |    | GG        | 14 (15,2)      | 1 (3,9)     |   |        |                               |          |                              |       |                  |        |              |       |
|            |    | Totalak   | 92 (100)       | 26 (100)    |   |        |                               |          |                              |       |                  |        |              |       |
| AEB        | G  | TT        | 580 (41,0)     | 32 (33,7)   | 1<br>1,26 (0,79-2,00)<br>1,77 (0,96-3,27) | 0,19   | TT/GT<br>G/G 1,56 (0,90-2,69) | 0,13     | TT<br>GT/GG 1,37 (0,88-2,12) | 0,16  | 1,32 (0,98-1,78) | 0,07   | (35) 2011    |       |
|            |    | GT        | 662 (46,8)     | 46 (48,4)   |   |        |                               |          |                              |       |                  |        |              |       |
|            |    | GG        | 174 (12,3)     | 17 (17,9)   |   |        |                               |          |                              |       |                  |        |              |       |
|            |    | Totalak   | 1416 (100)     | 95 (100)    |   |        |                               |          |                              |       |                  |        |              |       |
| Australia  | G  | TT        | 21 (56,8)      | 7 (41,2)    | 1<br>2,10 (0,58-7,63)<br>1,50 (0,29-7,65) | 0,52   | TT/GT<br>GG 1,11 (0,24-5,08)  | 0,90     | TT<br>GT/GG 1,88 (0,59-6,01) | 0,29  | 1,35 (0,63-2,87) | 0,44   | (34) 2011    |       |
|            |    | GT        | 10 (27,0)      | 7 (41,2)    |   |        |                               |          |                              |       |                  |        |              |       |
|            |    | GG        | 6 (16,2)       | 3 (17,6)    |   |        |                               |          |                              |       |                  |        |              |       |
|            |    | Totalak   | 37 (100)       | 17 (100)    |   |        |                               |          |                              |       |                  |        |              |       |
| Italia     | G  | TT        | 111 (44,4)     | 69 (34,3)   | 1<br>1,29 (0,86-1,95)<br>2,31 (1,34-3,98) | 0,009* | TT/GT<br>GG 2,02 (1,23-3,32)  | 0,005*   | TT<br>GT/GG 1,53 (1,04-2,24) | 0,03* | 1,48 (1,14-1,92) | 0,003* | (33) 2009    |       |
|            |    | GT        | 107 (42,8)     | 86 (42,8)   |   |        |                               |          |                              |       |                  |        |              |       |
|            |    | GG        | 32 (12,8)      | 46 (22,9)   |   |        |                               |          |                              |       |                  |        |              |       |
|            |    | Totalak   | 250 (100)      | 201 (100)   |   |        |                               |          |                              |       |                  |        |              |       |

Laburdurak: AM, kontrolen maiztasun txikikoena duen aleloa; OR, Odds Ratio; KT, Konfidentalitatea; kod, kodominantea; dom, dominantea; errezz, errezesiboa; log, log-aditiboa, Eref, Erreferentzia, PE:

Gure azterketa;,,

Maiztasun alelikoen bidezko meta-analisiaren, G aleloa arrisku aleloa izan zen OR>1, populazio espanyiarrean eta esloveniarrean izan ezik non G alelo babesekoa izan zen (OR<1). MA pisu gehiena izan zuten populazioak, italiarra (%28,6), amerikarra (%27,1) eta espanyarra (%23,1) izan ziren. Heterogeneitatea %57,1-koa izan zen (21. Irudia).

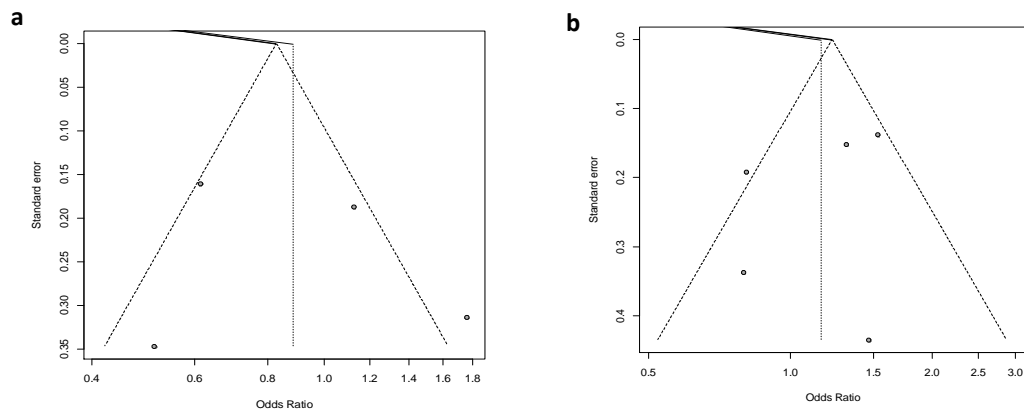


21.irudia rs2279744 polimorfismoaren meta-analisia.

MAren azken emaitzaren arabera, rs2279744 polimorfismoa eredu genetiko guztietan OS arriskuarekin asoziatuta ez zegoela adierazten zuen (21. Irudia).

### **1.2.3 PUBLIKAZIOAREN ALBORAPENA**

Publikazioaren alborapena Egger-ren testaren bitartez aztertu zen. Test honen bitartez, emaitza positibo (asoziazioa topatu dutenen artean) eta emaitza negatiboen (asoziazioa topatu ez dutenen artean) arteko simetria neurten du. Kasu honetan, ez genuen asimetriarik topatu *funnel plot*-etan (22. Irudia), Egger-ren test-ak ez zirelako esangarriak izan ( $p>0,05$ ), (1. Eta 2. Irudi osagarriak). Emaitza hauen arabera, meta-analisietan ez zegoen publikazioaren alborapenik.



**22.irudia** Egger-ren test-en Funnel plots-ak maiztasun alelikoen konparaketetarako. a) rs1690916 SNPrako konparaketa A vs G. b) rs2279744 SNPerako konparaketa G vs T.

**1.3 CTLA4 GENEAREN rs231775 SNPAREN ETA OS SUSZEPTIBILITATEAREN ASOZIAZIO-ANALISIA**

CTLA4 genearen rs231775 SNPak OS arriskuan duen papera aztertzeko OS populazio batean kasu-kontrol asoziazio-analisia egin genuen.

**1.3.1 LAGINA**

Populazio honetan 99 OS paziente eta 125 kontrol zeuden. Populazio honen ezaugarri demografikoak 21.taulan adierazi dira.

**21. taula** CTLA4 genearen azterketan parte hartu duten OS pazienteen eta kontrolen adin eta sexu banaketa.

|                  | Kontrolak    | Kasuak       |
|------------------|--------------|--------------|
| Pazienteak (n;%) | 125          | 99           |
| Adina* (bte, de) | 57,2 ± 12,64 | 13,96 ± 5,06 |
| Sexua* (n; %)    |              |              |
| Gizonezkoak      | 68 (57,1)    | 60 (60,60)   |
| Emakumezkoak     | 51 (42,9)    | 38 (38,38)   |

Laburdurak: n, norbanako kopurua; de, desbiderapen estandarra; e, emakumeak; g, gizonezkoak; de, daturik ez; bte, batazbeste. \* Partehartzaile batzuren adin eta sexu datuak falta ziren (6 kontrol eta kasu bat).

**1.3.2 GENOTIPAZIO ARRAKASTA**

Genotipazio arrakasta %85,26koa izan zen (66 paziente eta 125 kontrol). Maiztasun genotipikoak control populazioan HW orekan zeunden ( $p>0,05$ ).

**1.3.3 rs231775 SNPAREN ASOZIAZIO-ANALISIA**

CTLA4 genearen rs231775 SNParen asoziazioa ez zen esangarria populazio espainiarrean frekuentzia alelikoen bitartez kalkulatu zenean ( $p>0,05$ ) (22. Taula).

**22.taula.** *CTLA4* genearen rs231775 polimorfismoaren eta OS arriskuaren frekuentzia alelikoen bidezko asoziazio analisiaren emaitzak.

| AM | MAF  | Aleloak | N (%) kontrolak | N (%) kasuak | OR (%95KT)         | P    |
|----|------|---------|-----------------|--------------|--------------------|------|
|    |      | G       | 93(37,2)        | 40(30,3)     |                    |      |
| G  | 0,38 | A       | 157(62,8)       | 9370,5)      | A 1,36 (0,87-2,02) | 0,21 |
|    |      | Total   | 250 (100)       | 132 (100)    |                    |      |

Laburdurak: AM, kontroleen maiztasun txikikoena duen alelo; MAF, alelo txikienaren maiztasuna; OR, Odds Ratio; KT, Konfidantza-tartea.

Maiztasun genotipikoen bidezko asoziazio-analisiak emaitza estatistikoki esangarriak azaldu zituen bai eredu kodominante bai dominantean ( $p>0,05$ ) (23.taula). Emaitzik esangarriena eredu kodominantean azaltzen zen (AA vs AG y AA vs GG) ( $OR= 0,39$ , IC 95%: 0,21-0,74;  $p=0,005$ ). Emaitza hauekin bat, eredu dominantean AG+GG genotipoak babes ematen zuen ( $OR= 0,45$ , IC95%: 0,24-0,83).

**23.taula.** CTLA4 genearen rs231775 polimorfismoaren eta OS arriskuaren maiztasun genotipikoen bidezko asoziazio analisiaren emaitzak.

| AM | Genotipoa | N (%) kontrolak | N (%) kasuak | OR (IC 95%) kod | P kod            | OR(IC 95%) erreza   | P erreza | OR(IC 95%) dom            | P dom | OR(IC 95%) log   | P log |
|----|-----------|-----------------|--------------|-----------------|------------------|---------------------|----------|---------------------------|-------|------------------|-------|
| G  | AA        | 37 (29,6)       | 32 (48,5)    | 0,005           | 1                | GG 2,40 (0,70-8,18) | 0,16     | AA<br>AG 0,45 (0,24-0,83) | 0,010 | 0,65 (0,38-1,11) | 0,11  |
|    | AG        | 83 (66,4)       | 28 (42,4)    |                 | 0,39 (0,21-0,74) |                     |          |                           |       |                  |       |
|    | GG        | 5 (4,0)         | 6 (9,1)      |                 | 1,39 (0,39-4,98) |                     |          |                           |       |                  |       |
|    | Total     | 125 (100)       | 66 (100)     |                 |                  |                     |          |                           |       |                  |       |

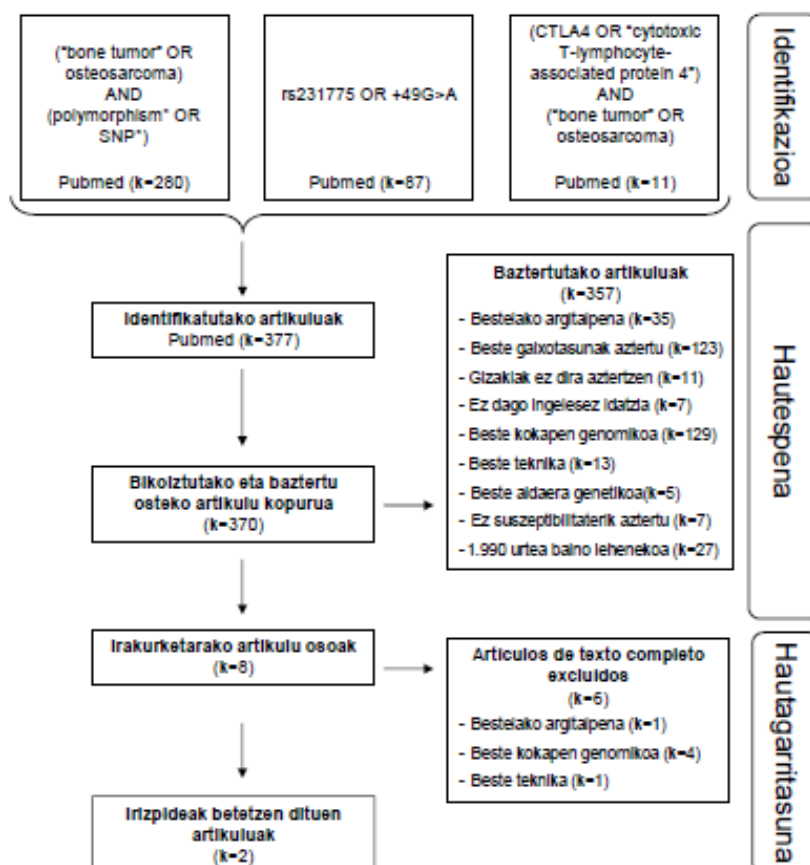
Laburdurak: AM, kontrolen maiztasun txikikoena duen aleloa; OR, Odds Ratio; KT, Konfidantza-tartea; kod, kodominantea; dom, dominantea; erreza, errezesiboa; log, log-aditiboa.

Ondoren, bilaketa bibliografikoa eta fase horretan lortutako argitalpen guztiekin meta-analisia egin genuen.

## 1.4 CTLA4 GENEAREN rs231775 SNPEN BILAKETA BIBLIOGRAFIKOA ETA META-ANALISIA

### 1.4.1 rs231775 SNPAREN ETA OS SUSZEPTIBILITATEAREN AZTERKETEN BILAKETA BIBLIOGRAFIKOA

Bilaketa honetan 378 argitalpen identifikatu genituen. Argitalpen bikoiztuak baztertu ostean 378 artikulu genituen. Artikulu hauen laburpenak berrikusi ostean 357 baztertu ziren inklusio irizpideak betetzen ez zituztelako (23.irudia), 8 artikulu oso lortuz. Hauetatik, bi artikuluk rs231775 polimorfismoa eta OS arriskua aztertzen zuten.



23. irudia Hautatutako artikuluen fluxu-diagrama.

## **1.4.2 rs231775 SNPAREN META-ANALISIA**

rs231775 SNParen meta-analisiari Txinako bi populazio eta guk genotpatutako Spainiako populazioa erabili genituen. Genotipoen banaketa kontroletan HW oreka jarraitzen zuten ( $p>0,05$ ). Artikulu guztiak kalitate eskala gainditu zuten (>5 balioa).

Maiztasun alelikoen bidezko asoziazio-analisiari rs231775 OS arriskuarekin asoziatuta zegoen meta-analisiko 3 populazioetan (24.taula).

**24. taula.** *CTLA4* genearen rs231775 SNParen maiztasun alelikoen bidezko asoziazio-analisia meta-analisiko artikuluetan.

| Populazioa | N <sub>kontrolak</sub> | N <sub>kasuak</sub> | AM | F <sub>r</sub> <sub>kontrolak</sub> | F <sub>r</sub> <sub>kasuak</sub> | OR (%95KT)       | P    | Erref | Urtea        |
|------------|------------------------|---------------------|----|-------------------------------------|----------------------------------|------------------|------|-------|--------------|
| España     | 123                    | 66                  | A  | 0,63                                | 0,37                             | 1,36 (0,87-2,02) | 0,21 |       | 2015<br>(PE) |
| Txina      | 282                    | 267                 | A  | 0,46                                | 0,54                             | 1,32 (1,03-1,69) | 0,03 | (56)  | 2011         |
| Txina      | 216                    | 205                 | A  | 0,47                                | 0,53                             | 1,41 (1,07-1,87) | 0,02 | (57)  | 2011         |

Laburdurak: AM, kontroleen maiztasun txikikoena duen aleloa; MAF, alelo txikienaren maiztasuna; OR, Odds

Ratio; KT, Konfidantza-tartea; N, kopurua; Fr., maiztasun alelikoa; PE: Gure azterketa; Erref: Erreferentzia; \* Esangarria.

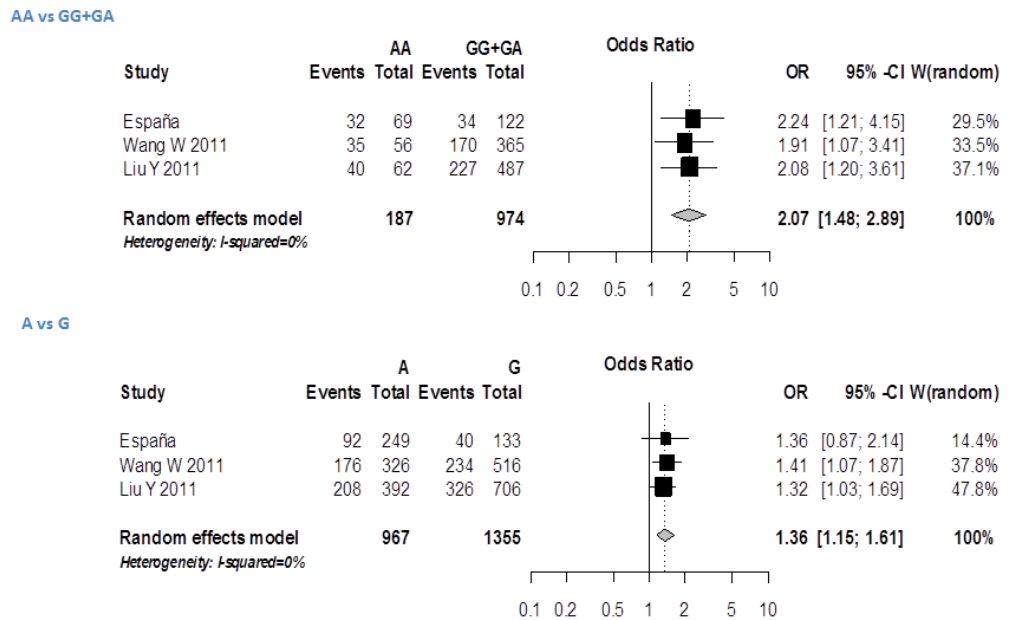
rs231775 SNParen alelo txikienaren maiztasuna ezberdina zenez populazio asiatikoan (populazio spainiararekin konparatuta), eta hori dela eta, maiztasun genotipikoaren bidezko analisirako populazio asiaticoaren alelo txikiaren hartu genuen erreferentziatzat. Beraz, maiztasun genotipikoaren bidezko MAn AA+AG vs GG eta AA vs GG+AG konparaketak egin genituen hiru populazioetan (25.taula). AA vs GG+AG konparaketak hiru populazioetan OS arriskuarekin asoziatuta topatu genuen non AA genotipoak OS arriskua areagotzen zuen (OR= 2,24, OR: 1,91 eta OR: 2,08) (25.taula).

**25. taula** *CTLA4* genearen rs231775 polimorfismoaren eta OS arriskuaren maiztasun genotipikoaren bidezko asoziazio analisiaren emaitzak meta-analisiaren artikuluetan.

| Populazioa | AM | Genotipoa | N(%)<br>kontrolak | N(%)<br>kasuak | OR <sub>AA+AGvsGG</sub> (%95KT) | P    | OR <sub>AAvsGG+AG</sub> (%95KT) | P    | Erref | Urtea        |
|------------|----|-----------|-------------------|----------------|---------------------------------|------|---------------------------------|------|-------|--------------|
| España     | A  | AA        | 37 (29,6)         | 32 (48,5)      |                                 |      |                                 |      |       |              |
|            |    | AG        | 83 (66,4)         | 28 (42,4)      | GG<br>AA+AG 0,42 (0,12-1,42)    | 0,19 | GG+AG<br>AA 2,24 (1,21-4,15)    | 0,01 |       | 2015<br>(PE) |
|            |    | GG        | 5 (4,0)           | 6 (9,1)        |                                 |      |                                 |      |       |              |
|            |    | Total     | 125 (100)         | 66 (100)       |                                 |      |                                 |      |       |              |
| Txina      | A  | AA        | 22 (7,8)          | 40 (15,0)      |                                 |      |                                 |      |       |              |
|            |    | AG        | 140 (49,6)        | 128 (47,9)     | GG<br>AA+AG 1,49 (0,99-2,22)    | 0,05 | GG+AG<br>AA 1,91 (1,07-3,41)    | 0,03 | (56)  | 2011         |
|            |    | GG        | 120 (42,6)        | 99 (37,1)      |                                 |      |                                 |      |       |              |
|            |    | Total     | 282(100)          | 267 (100)      |                                 |      |                                 |      |       |              |
| Txina      | A  | AA        | 21 (9,7)          | 35 (17,1)      |                                 |      |                                 |      |       |              |
|            |    | AG        | 108 (50)          | 106 (51,7)     | GG<br>AA+AG 1,26 (0,89-1,77)    | 0,19 | GG+AG<br>AA 2,08 (1,20-3,61)    | 0,01 | (57)  | 2011         |
|            |    | GG        | 87 (40,3)         | 64 (31,2)      |                                 |      |                                 |      |       |              |
|            |    | Total     | 216 (100)         | 205 (100)      |                                 |      |                                 |      |       |              |

Laburdurak: AM, kontroleen maiztasun txikikoena duen aleloa; OR, Odds Ratio; KT, Konfidantza-tartea; kod, kodominantea; dom, dominantea; errez, errezesiboa; log, log-aditiboa, Eref, Erreferentzia, PE: Gure azterketa.

Maiztasun genotipikoaren bidezko MAn, artikulu guztiak antzeko pisua izan zuten (%30koa gutxi gora behera); hala ere, maiztasun alelikoen bidezko analisian Liu eta kolaboratzaileak lanak, %47,8ko pisua zuen eta populazio espainiarrean %14,4. Ez zen heterogeneitaterik topatu artikuluen artean (24. Irudia).



**24. irudia rs231775 polimorfismoaren MA.**

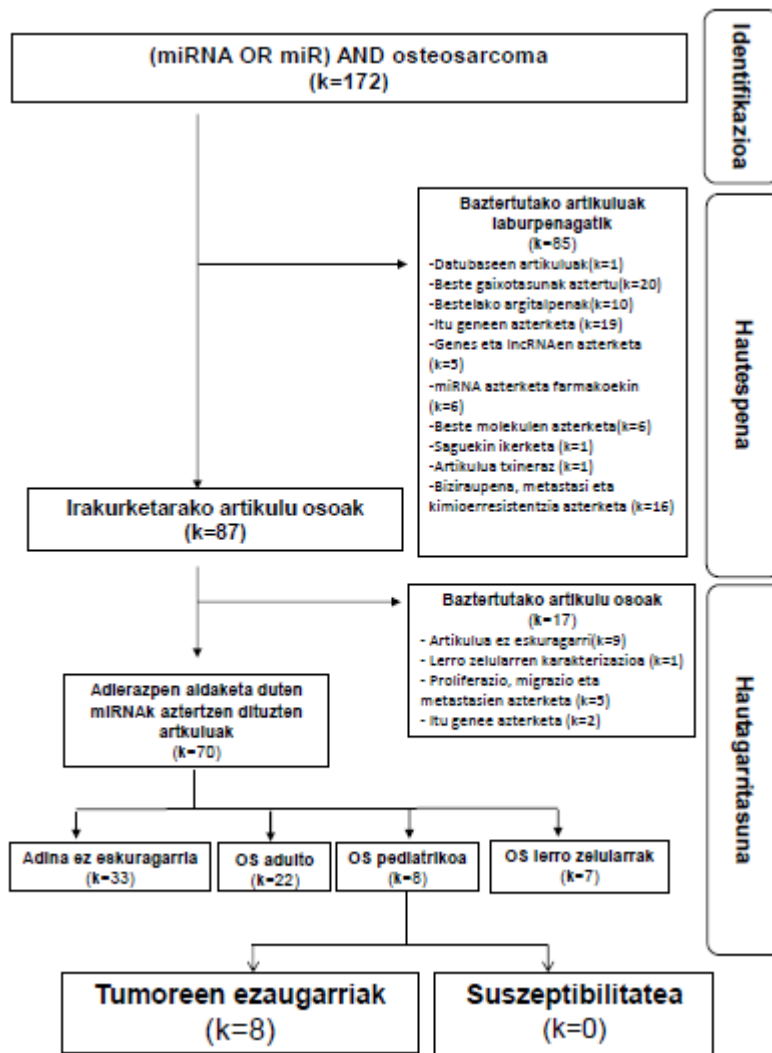
MAren emaitzak AA genotipoak OS arriskua areagotzen zuela OS (OR= 2,07, IC95%: 1,48-2,89). Era berean, A aleloak arriskua areagotzen zuen (OR= 1,36, IC95%: 1,15-1,61).

## **2. MIRNAEKIN ERLAZIONATUTAKO GENEEN SNPEN AZTERKETA**

OS suszeptibilitatean implikatuta dauden miRNAk determinatzeko OSan adierazpena aldatuta daukaten miRNAk topatzeko bilaketa bibliografiko sakona egin genuen.

### **2.1 OSREN SUSZEPTIBILITATEAN ADIERAZPEN ALDAKORREKO MIRNAEN BILAKETA BIBLIOGRAFIKOA**

Bilaketa bibliografikoan 172 argitalpen identifikatu genituen (25.irudia). Artikuluen laburpenak berrikusi ostean, 85 argitalpen baztertu genituen inklusio irizpideak ez zituztelako betetzen. Hortaz, 87 artikulu osorik irakurri genituen. Hauetatik, 17 artikulu baztertu genituen miRNA ituen bilatzen zituztelako, miRNAen papera tumorigenesian, pronotiko, metastasia, biziraupena edo tratamenduaren erantzuna azertzen zutelako edo artikulua eskuratu ezin izan genuelako baztertu genituen. Horrez gain, zazpi lan baztertu genituen lerro zelularrekin ikertzeagatik; 33 pazienteen adina ez zehazteagatik eta 22 OS paziente nagusiak zirelako baztertu genituen. Azkenik, 8 artikuluk OS gazteen tumorigenesian miRNA adierazpen aldaketak aztertu zituen baina ez genuen topatu OS suszeptibilitatean eragiten zuten miRNA adierazpen aldaketa aztertzen zituen artikulurik.



25. irudia Bilaketa bibliografikoaren fluxu-diagrama.

OS suszeptibilitatearen arriskuaren adierazle ziren miRNAerik ez genuenez topatu, miRNAekin erlazionatutako gene guztien aldakortasun genetikoa aztertzea erabaki genuen, hau da, miRNA prozesamenduan diharduten geneak eta miRNA geneak.

## **2.2 MIRNAEN PROZESAMENDU GENEEN SNPEN AZTERKETA**

miRNA prozesamendu geneen polimorfismoak haien funtzioan eragin dezakete eta ondorioz, OSren garapenean diharduten miRNA mailak aldatu. MiRNA prozesamendu genetako polimorfismoek OS suszeptibilitatearen arriskuan eragiten zuten ala ez zehazteko helburuarekin 72 polimorfismo aztertu genituen 21 miRNA prozesamendu genetan.

### **2.2.1 LAGINAK**

miRNA prozesamendu geneen azterketarako 99 OS gaztek (<34 urte) eta 387 kontrolek parte hartu zuten. Kasu hauek Nafarroako Klinika Unibertsitateko Pediatriako departamentuko Onkologia sailean diagnostikatu ziren. Kontrol taldea Instituto de Salud Carlos III (ISCIII) C.0001171 bildumaren parte eta jatorri europearra (minbizi historiarik bakoak) zuten (26. Taula).

**26. taula** miRNA prozesamendu geneen asoziazio-analisko populazioaren adin eta sexu banaketa.

|                            | Kontrolak                        | Kasuak                             |
|----------------------------|----------------------------------|------------------------------------|
| <b>Partehartzaleak (n)</b> | <b>387</b>                       | <b>99</b>                          |
| <b>Adina* (bte, de)</b>    | <b><math>51,2 \pm 7,7</math></b> | <b><math>14,60 \pm 5,23</math></b> |
| <b>Sexua* (n; %)</b>       |                                  |                                    |
| Gizonezkoak                | 199 (51,4)                       | 55 (55,6)                          |
| Emakumezkoak               | 187 (48,3)                       | 44 (44,4)                          |

Laburdurak: n, norbanako kopurua; de, desbiderapen estandarra; de, daturik ez; bte, batazbeste. \* Partehartzale batzuren adin eta sexu datuak falta ziren.

### **2.2.2 GENOTIPAZIO ARRAKASTA**

Laginen %87,86k (427/486) eta SNPen %93,05 SNPs (67/72) genotipatu ziren modu arrakastatsuan. %20tik gorako genotipo galduak dituzten SNPak (n=59), amplifikatu ez duten SNPak eta klusterrak banatzeko intentsitate nahikoia izan ez duten SNPak (n=5) analisitik baztertu ziren. Horrez gain, genotipatutako 67 SNPetatik 10k ez zuten HW oreka bete kontrol taldean eta ondorioz, analisitik baztertu ziren. Guztira, 15 SNP baztertu ziren (4. taula osagarria) 57 SNP analizatuz.

### **2.2.3 ASOZIAZIO-ANALISIA**

MiRNA prozesamendu geneen aldakortasun genetikoak OS arriskuan eragiten zuten aztertzeko bai maiztasun aleliko zein maiztasun genotipikoak 57 polimorfismo 21 genetan analizatu genituen. Hiru polimorfismo hiru prozesamendu genetan (*CNOT1*, *CNOT4* eta *SND1*) OS arriskuarekin asoziaturik zeuden ( $p < 0,05$ ) (5. Taula osagarria).

rs11866002 SNPa asoziaziorik adierazgarriena izan zen. Eredu dominantean, CT+TT genotipoak OS suszeptibilitatean arriskuaren murrizpenarekin ( $OR= 0,44$ ; 95% IC: 0,27-0,73;  $p = 0,001$ ) asoziatu zen. Bonferroni zuzenketaren ostean ere adierazgarria mantendu zen ( $p = 0,08$ ). rs3812265 SNPa *CNOT4* genean ( $p=0,025$ ; eredu dominantean) eta rs3823994 SNPa *SND1* genean ( $p=0,041$ , eredu aditiboan) ere OS arriskuarekin asoziatuta zeuden (Bonferroni zuzenketaren aurretik)(27.taula).

**27.taula** MiRNA prozesamendu geneen polimorfismoen eta OS arriskuaren asoziazio analisiaren emaitzak maiztasun genotipikoen bidez.

| Genea        | SNP        | Genotipoa | N (%) kontrolak | N (%) kasuak | OR (IC 95%) kod   | P kod | OR(IC 95%) errez     | P errez | OR(IC 95%) dom          | P dom  | OR(IC 95%) log   | P log |
|--------------|------------|-----------|-----------------|--------------|-------------------|-------|----------------------|---------|-------------------------|--------|------------------|-------|
| <i>CNOT1</i> | rs11866002 | CC        | 134 (38,7)      | 46 (59,0)    | 1,00              |       | CC/CT 1,00           |         | CC 1,00                 |        |                  |       |
|              |            | CT        | 174 (50,3)      | 26 (33,3)    | 0,44 (0,26- 0,74) | 0,005 | TT 0,68 0,28 1,66    | 0,373   | CT/TT 0,44 (0,27-0,73)  | 0,001* | 0,55 (0,36-0,83) | 0,003 |
|              |            | TT        | 38 (11,0)       | 6 (7,7)      | 0,46 (0,18-1,16)  |       |                      |         |                         |        |                  |       |
| <i>CNOT4</i> | rs3812265  | CC        | 212 (63,1)      | 39 (49,4)    | 1,00              |       | CC/CT 1,00           |         | CC 1,00                 |        |                  |       |
|              |            | CT        | 109 (32,4)      | 37 (46,8)    | 1,85 (1,11- 3,06) | 0,059 | TT 0,84 (0,24- 2,99) | 0,790   | CT/TT 1,75 (1,07-2,87)  | 0,026  | 1,45 (0,97-2,18) | 0,076 |
|              |            | TT        | 15 (4,5)        | 3 (3,8)      | 1,09 (0,30-3,93)  |       |                      |         |                         |        |                  |       |
| <i>SND1</i>  | rs3823994  | AA        | 163 (46,8)      | 47 (59,5)    | 1,00              |       | AA/AT 1,00           |         | AA 1,00                 |        |                  |       |
|              |            | AT        | 157 (45,1)      | 28 (35,4)    | 0,62 (0,37-1,04)  | 0,117 | TT 0,61 (0,21-1,79)  | 0,341   | AT/TT 0,60 (0,37- 0,99) | 0,042  | 0,66 (0,43-0,99) | 0,041 |
|              |            | TT        | 28 (8,0)        | 4 (5,1)      | 0,50 (0,17-1,48)  |       |                      |         |                         |        |                  |       |

Laburdurak: AM, kontrolen maiztasun txikikoena duen aleloa; OR, Odds Ratio; KT, Konfidantza-tartea; kod, kodominantea; dom, dominantea; errez, errezesiboa; log, log-aditiboa. \*Adierazgarria Bonferroniren zuzenketaren ostean.

## **2.3 MIRNA GENEEN ALDAKORTASUN GENETIKOAREN AZTERKETA**

miRNA geneetan dauden polimorfismoak haien funtzioko eragin dezakete eta ondorioz, OS suszeptibilitatean eragin dezaketen miRNA mailak aldatu daitezke. miRNA polimorfismoak OS arriskuan eragiten zuten ala ez zehazteko 213 polimorfismo aztertu genituen 206 miRNA genetan.

### **2.3.1 LAGINA**

miRNA geneen aldakortasun genetikoa aztertzeko 100 OS (<34 urte) pazientek parte hartu zuten: 74 kasu Espainiako 3 ospitaletik eta 26 kasu Liublianako University Children's Ospitaletan diagnostikatuak. Kontrol taldea 256 indibiduoak osatzen zuten (n=160 eta n=96, hurrenez hurren). Kasu eta kontrolen ezaugarri demografikoak 28. Taula adierazi dira.

**28.taula** miRNA geneen asoziazio-analisko populazioaren adin eta sexu banaketa.

|                         | Totalak | Kontrolak    | Kasuak     |
|-------------------------|---------|--------------|------------|
| Partehartzaileak* (n)   | 356     | 256          | 100        |
| <b>Populazioa (n;%)</b> |         |              |            |
| Espainia                | 234     | 160 (68,37)  | 74 (31,62) |
| Eslovenia               | 122     | 96 (78,68)   | 26 (21,31) |
| <b>Adina* (bte; ds)</b> |         |              |            |
| Espainia                | -       | 69,01 (17,5) | 14,5 (4,7) |
| Eslovenia               | -       | 46,0 (9,3)   | 19,5 (8,6) |
| <b>Sexua* (e/g)</b>     |         |              |            |
| Espainia                | 111/120 | 81/79        | 30/41      |
| Eslovenia               | 51/71   | 38/58        | 13/13      |

Laburdurak: n, norbanako kopurua; de, desbiderapen estandarra; e, emakumeak; g, gizonezkoak; de, daturik ez; bte, batazbeste.\* Partehartzaile batzuren adin eta sexu datuak falta ziren (3 kasu Espainiako populazioan).

### **2.3.2 GENOTIPAZIO ARRAKASTA**

miRNA geneen azterketan 356 DNA laginetatik 353 modu arrakastatsuan genotipatu ziren (99,16%). %20tik gorako genotipo galduak zituzten laginak ezabatu ziren. Guztira, 213 SNP hautatu ziren 206 pre-miRNAtan (9 eta 10 taula osagarriak). Hautatutako 213 SNPetatik 151 SNP modu arrakastatsuan genotipatu ziren (%70,9). Anplifikatu ez zuten SNPak PCRren

anplifikazio eza eta *clusterrak* banatzeko intentsitate nahikoa ez izanagatik baztertu ziren. Era berean, populazio espainiarrean 7 SNPeke eta populazio esloveniarrean 3 SNPeke ez zeuden HW orekan, hortaz, ez ziren ondorengo analisietarako kontuan hartu. Genotipazio arrakastaren zehaztasunak 6.taula osagarrian adierazi dira.

### **2.3.3 ESPAINIAKO POPULAZIOAREN ASOZIAZIO-ANALISIA**

Maiztasun genotipikoen bidezko asoziazio-analisiian 14 polimorfismok 14 miRNA OS arriskuarekin asoziaturik zeuden ( $p < 0,05$ ). Azpimarragarria da, 4 SNP 14q32 gune kromosomikoan kokatuta zeuden, 3 SNP 19. Kromosoman, 2 SNP 4q24-25 eta 2 SNP 5q gune kromosomikoan. Adierazgarriak ziren polimorfismo guztiak pre-miRNAn kokatuta zeuden, rs35770269 mir-449c miRNAraren *seed* gunean kokatuta zeuden. FDR bidezko zuzenketaren ostean ez zen SNP adierazgarririk azaldu (29.taula, 7. Taula osagarria).

**29. taula** MiRNA geneen polimorfismoen eta OS arriskuaren asoziazio analisiaren emaitzak maiztasun genotipikoen bidez Espainiako populazioan.

|    | miRNA    | SNP        | Kokapena | GK     | Genotipoa | N(%) kontrolak | N(%) kasuak | OR (%95KT)                           | P                  |
|----|----------|------------|----------|--------|-----------|----------------|-------------|--------------------------------------|--------------------|
| 1  | mir-300  | rs12894467 | PM       | 14q32  | CC        | 74 (46,2)      | 19 (27,5)   | 2,01 (1,32-3,06)                     | 0,00099<br>(log)   |
|    |          |            |          |        | CT        | 71 (44,4)      | 34 (49,3)   |                                      |                    |
|    |          |            |          |        | TT        | 15 (9,4)       | 16 (23,2)   |                                      |                    |
|    |          |            |          |        | Totalak   | 160 (100)      | 69 (100)    |                                      |                    |
| 2  | mir-2278 | rs356125   | PM       | 9q22   | GG        | 140 (87,5)     | 68 (98,6)   | 0,1 (0,01-0,78)<br>0,00 (0,00)       | 0,00224<br>(cod)   |
|    |          |            |          |        | AG        | 20 (12,5)      | 1 (1,4)     |                                      |                    |
|    |          |            |          |        | AA        | 0 (0)          | 0 (0)       |                                      |                    |
|    |          |            |          |        | Totalak   | 160 (100)      | 69 (100)    |                                      |                    |
| 3  | mir-576  | rs77639117 | PM       | 4q25   | AA        | 156 (97,5)     | 60 (87,0)   | 5,85 (1,74-19,71)<br>0,00 (0,00)     | 0,00271<br>(cod)   |
|    |          |            |          |        | AT        | 4 (2,5)        | 9 (13,0)    |                                      |                    |
|    |          |            |          |        | TT        | 0 (0)          | 0 (0)       |                                      |                    |
|    |          |            |          |        | Totalak   | 160 (100)      | 69 (100)    |                                      |                    |
| 4  | mir-3188 | rs7247237  | PM       | 19p13  | CC        | 72 (45,3)      | 23 (34,3)   | 3,59 (1,49-8,66)<br>0,00 (0,00)      | 0,00449<br>(rec)   |
|    |          |            |          |        | CT        | 77 (48,4)      | 31 (46,3)   |                                      |                    |
|    |          |            |          |        | TT        | 10 (6,3)       | 13 (19,4)   |                                      |                    |
|    |          |            |          |        | Totalak   | 159 (100)      | 67 (100)    |                                      |                    |
| 5  | mir-492  | rs2289030  | PM       | 12q22  | CC        | 130 (81,2)     | 60 (87,0)   | 1<br>0,00                            | 0,02652<br>(rec)   |
|    |          |            |          |        | CG        | 30 (18,8)      | 6 (8,7)     |                                      |                    |
|    |          |            |          |        | GG        | 0 (0,0)        | 3 (4,3)     |                                      |                    |
|    |          |            |          |        | Totalak   | 160 (100)      | 69 (100)    |                                      |                    |
| 6  | mir-2053 | rs10505168 | PM       | 8q23,3 | AA        | 78 (49,1)      | 25 (36,2)   | 2,02 (1,11-3,65)<br>0,39 (0,08-1,81) | 0,00869<br>(cod)   |
|    |          |            |          |        | AG        | 65 (40,9)      | 42 (60,9)   |                                      |                    |
|    |          |            |          |        | GG        | 16 (10,1)      | 2 (2,9)     |                                      |                    |
|    |          |            |          |        | Totalak   | 159 (100)      | 69 (100)    |                                      |                    |
| 7  | mir-4467 | rs60871950 | M        | 7q22,1 | GG        | 35 (22,0)      | 27 (39,1)   | 1<br>0,44 (0,24-0,81)                | 0,00880<br>(dom)   |
|    |          |            |          |        | AG        | 83 (52,2)      | 23 (33,3)   |                                      |                    |
|    |          |            |          |        | AA        | 41 (25,8)      | 19 (27,5)   |                                      |                    |
|    |          |            |          |        | Totalak   | 159 (100)      | 69 (100)    |                                      |                    |
| 8  | mir-412  | rs61992671 | M/PM     | 14q32  | GG        | 57 (35,6)      | 13 (20,0)   | 2,21 (1,11-4,41)<br>65 (100)         | 0,0185<br>(dom)    |
|    |          |            |          |        | AG        | 66 (41,2)      | 35 (53,8)   |                                      |                    |
|    |          |            |          |        | AA        | 37 (23,1)      | 17 (26,2)   |                                      |                    |
|    |          |            |          |        | Totalak   | 160 (100)      | 65 (100)    |                                      |                    |
| 9  | mir-5196 | rs10406069 | PM       | 19q13  | GG        | 110 (69,6)     | 43 (62,3)   | 1,71 (0,93-3,13)<br>0,00 (0,00)      | 0,0207<br>(codom)  |
|    |          |            |          |        | AG        | 39 (24,7)      | 26 (37,7)   |                                      |                    |
|    |          |            |          |        | AA        | 9 (5,7)        | 0 (0,0)     |                                      |                    |
|    |          |            |          |        | Totalak   | 158 (100)      | 69 (100)    |                                      |                    |
| 10 | mir-656  | rs58834075 | PM       | 14q32  | CC        | 157 (98,1)     | 63 (91,3)   | 4,98 (1,21-20,55)<br>69 (100)        | 0,02102<br>(codom) |
|    |          |            |          |        | CT        | 3 (1,9)        | 6 (8,7)     |                                      |                    |
|    |          |            |          |        | TT        | 0 (0)          | 0 (0)       |                                      |                    |
|    |          |            |          |        | Totalak   | 160 (100)      | 69 (100)    |                                      |                    |
| 11 | mir-4309 | rs12879262 | PM       | 14q32  | GG        | 111 (69,8)     | 39 (56,5)   | 1,99 (1,10-3,59)<br>0,00 (0,00)      | 0,0223<br>(codom)  |
|    |          |            |          |        | CG        | 43 (27,0)      | 30 (43,5)   |                                      |                    |
|    |          |            |          |        | CC        | 5 (3,1)        | 0 (0,0)     |                                      |                    |
|    |          |            |          |        | Totalak   | 159 (100)      | 69 (100)    |                                      |                    |
| 12 | mir-378h | rs702742   | PM       | 5q33   | AA        | 117 (73,1)     | 58 (86,6)   | 0,42 (0,19-0,93)<br>67 (100)         | 0,0224<br>(dom)    |
|    |          |            |          |        | AG        | 41 (25,6)      | 8 (11,9)    |                                      |                    |
|    |          |            |          |        | GG        | 2 (1,2)        | 1 (1,5)     |                                      |                    |
|    |          |            |          |        | Totalak   | 160 (100)      | 67 (100)    |                                      |                    |
| 13 | mir-4745 | rs10422347 | M/PM     | 19p13  | CC        | 138 (87,3)     | 51 (75,0)   | 2,30 (1,12-4,73)<br>68 (100)         | 0,0255<br>(dom)    |
|    |          |            |          |        | CT        | 19 (12,0)      | 17 (25,0)   |                                      |                    |
|    |          |            |          |        | TT        | 1 (0,6)        | 0 (0,0)     |                                      |                    |
|    |          |            |          |        | Totalak   | 158 (100)      | 68 (100)    |                                      |                    |
| 14 | mir-449c | rs35770269 | PM/seed  | 5q11   | AA        | 61 (38,4)      | 35 (50,7)   | 0,64 (0,42-0,98)<br>69 (100)         | 0,0382<br>(log)    |
|    |          |            |          |        | AT        | 71 (44,7)      | 28 (40,6)   |                                      |                    |
|    |          |            |          |        | TT        | 27 (17,0)      | 6 (8,7)     |                                      |                    |
|    |          |            |          |        | Totalak   | 159 (100)      | 69 (100)    |                                      |                    |

Laburdurak: AM, kontrolen maiztasun txikikoena duen aleloa; OR, Odds Ratio; KT, Konfidantza-tartea; kod, kodominantea; dom, dominantea; errez, errezesiboa; log, log-aditiboa; PM: miRNA pre-heldua, M:miRNA heldua; GK: Gune kromosomikoa

\*Adierazgarria Bonferroniren zuzenketaren ostean.

Bestalde, maiztasun alelikoen bidezko asoziazio-analisiañ 10 polimorfismok 10 miRNA OS arriskuarekin asoziatutik zeuden ( $p < 0,05$ ) (30. Taula). Hiru SNP hiru miRNA (mir-4752, mir-4268 eta mir-1283-2) berri OSren arriskuarekin asoziatutik topatu genituen maiztasun genotipikoekin konparatuz. mir-449c miRNAn kokatuta dagoen SNPa *seed* gunean kokatuta zegoela datu interesgarria izan zen.

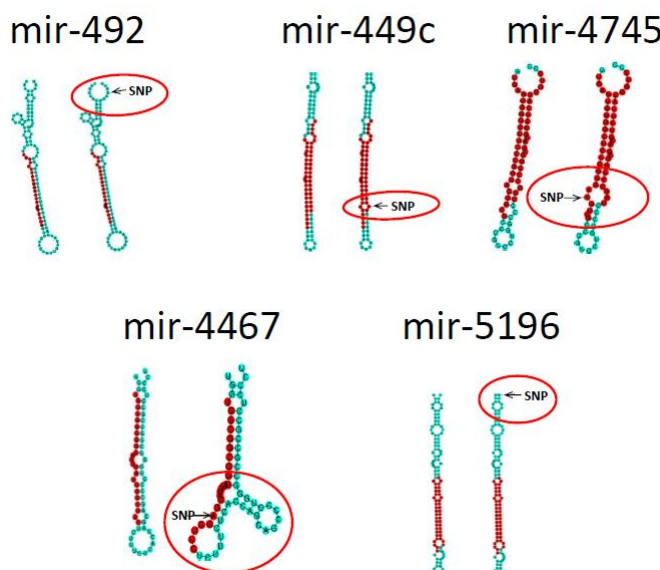
**30. taula** MiRNA geneen polimorfismoen eta OS arriskuaren asoziazio analisiaren emaitzak maiztasun alelikoen bidez Espainiako populazioan.

| Genea | SNP        | Kokapena   | GK      | Aleloa | Maiztasuna kontroletan | Maiztasuna kasuetan | OR (%95KT) | P                        |
|-------|------------|------------|---------|--------|------------------------|---------------------|------------|--------------------------|
| 1     | mir-300    | rs12894467 | PM      | 14q32  | T                      | 0,316               | 0,493      | 2,11 (1,42-3,15) 0,0002  |
| 2     | mir-576    | rs77639117 | PM      | 4q25   | T                      | 0,012               | 0,061      | 5,16 (1,55-16,89) 0,0031 |
| 3     | mir-3188   | rs7247237  | PM      | 19p13  | T                      | 0,305               | 0,438      | 1,77 (1,18-2,67) 0,0056  |
| 4     | mir-2278   | rs356125   | PM      | 9q22   | G                      | 0,938               | 0,993      | 9,8 (1,30-73,73) 0,0068  |
| 5     | mir-656    | rs58834075 | PM      | 14q32  | T                      | 0,009               | 0,047      | 5,24 (1,34-20,58) 0,0083 |
| 6     | mir-4752   | rs4112253  | PM      | 19q13  | C                      | 0,619               | 0,730      | 1,66 (1,09-2,55) 0,0189  |
| 7     | mir-4745   | rs10422347 | M/PM    | 19p13  | T                      | 0,066               | 0,130      | 2,10 (1,09-4,04) 0,0236  |
| 8     | mir-4268   | rs4674470  | PM      | 2q35   | T                      | 0,865               | 0,783      | 1,77 (1,03-3,05) 0,0364  |
| 9     | mir-1283-2 | rs71363366 | PM      | 19q13  | G                      | 0,019               | 0,054      | 2,99 (1,02-8,78) 0,0371  |
| 10    | mir-449c   | rs35770269 | PM/seed | 5q11   | A                      | 0,607               | 0,703      | 1,53 (1,01-2,33) 0,0453  |

Laburdurak: AM, kontroleen maiztasun txikikoena duen aleloa; OR, Odds Ratio; KT, Konfidantza-tartea; PM: miRNA pre-heldua, M:miRNA heldua; GK: Gune kromosomikoa \*Adierazgarria Bonferroniren zuzenketaren ostean.

### **2.3.4 ESPAINIAKO POPULAZIOAREN MIRNA *IN SILICO* ANALISIA**

Mir-SNPak miRNA egitura sekundarioan aldaketarik sortzen zuten jakiteko egitura honetan gertatzen den miRNA loturen arteko energia askea behatu genuen tresna bioinformatikoen bitartez. Populazio espanyiarrean rs2289030 SNPa mir-492 miRNA, rs35770269 SNPa mir-449c miRNA, rs10422347 SNPa mir-4745 miRNA, rs60871950 SNPa mir-4467 miRNA eta rs10406069 SNPa mir-5196 miRNAen miRNAen egitura sekundarioan aldaketak sortzen zituzten (27. Irudia).



**27. irudia** miRNAren bigarren mailako egitura aldatzen zuten OSren arriskuarekin asoziatuta zeuden mir-SNPak, miRNAsNP databasearen iragarpena.

### **2.3.5 ESLOVENIAKO POPULAZIOAREN ASOZIAZIO-ANALISIA**

Maiztasun genotipikoen bidezko asoziazio-analisiaren 9 polimorfismok 8 miRNA OS arriskuarekin asoziaturik zeuden ( $p < 0,05$ ) Esloveniako populazioan. Azpimarragarria da, 3 SNP miRNAREN *seed* gunean (mir-3620, mir-4707 y mir-499a), bi SNP (rs35613341 y rs56292801) mir-5189 miRNAn kokatuta zeuden eta 2 SNP (rs6726779 y rs243080) 2p16 gune kromosomikoan kokatuta zeuden. rs35613341 SNPa mir-5189 miRNAn Bonferroniren zuzenketaren ostean adierazgarria izan zen (31. Taula, 8 taula osagarria).

**31.taula** MiRNA geneen polimorfismoen eta OS arriskuaren asoziazio analisiaren emaitzak maiztasun genotipikoen bidez Esloveniako populazioan.

|   | miRNA    | SNP        | Kokapena | GK    | Genotipoa | N(%) kontrolak | N(%) kasuak | OR (%95KT)        | P                   |
|---|----------|------------|----------|-------|-----------|----------------|-------------|-------------------|---------------------|
| 1 | mir-5189 | rs35613341 | PM       | 16q24 | CC        | 49 (51,0)      | 16 (69,6)   | 1                 | 0,00011*<br>(codom) |
|   |          |            |          |       | CG        | 41 (42,7)      | 1 (4,3)     |                   |                     |
|   |          |            |          |       | GG        | 6 (6,2)        | 6 (26,1)    |                   |                     |
|   |          |            |          |       | Totalak   | 96 (100)       | 23 (100)    | 3,06 (0,86-10,85) |                     |
| 2 | mir-4268 | rs4674470  | PM       | 2q35  | TT        | 50 (52,1)      | 17 (85,0)   | 1                 | 0,00208<br>(codom)  |
|   |          |            |          |       | CT        | 40 (41,7)      | 1 (5,0)     |                   |                     |
|   |          |            |          |       | CC        | 6 (6,2)        | 2 (10,0)    | 0,07 (0,01-0,58)  |                     |
|   |          |            |          |       | Totalak   | 96 (100)       | 20 (100)    | 0,98 (0,18-5,33)  |                     |
| 3 | mir-3620 | rs2070960  | PM/seed  | 1q42  | CC        | 75 (78,9)      | 21 (87,5)   | 1                 | 0,00783<br>(codom)  |
|   |          |            |          |       | CT        | 20 (21,1)      | 1 (4,2)     |                   |                     |
|   |          |            |          |       | TT        | 0 (0,0)        | 2 (8,3)     | 0,18 (0,02-1,41)  |                     |
|   |          |            |          |       | Totalak   | 95 (100)       | 24 (100)    | 0,00              |                     |
| 4 | mir-5189 | rs56292801 | PM       | 16q24 | GG        | 51 (53,1)      | 18 (81,8)   | 1                 | 0,01017<br>(dom)    |
|   |          |            |          |       | AG        | 41 (42,7)      | 3 (13,6)    |                   |                     |
|   |          |            |          |       | AA        | 4 (4,2)        | 1 (4,5)     | 0,25 (0,08-0,80)  |                     |
|   |          |            |          |       | Totalak   | 96 (100)       | 22 (100)    |                   |                     |
| 5 | mir-4707 | rs2273626  | PM/seed  | 14q11 | AA        | 31 (32,3)      | 2 (8,7)     | 1                 | 0,0132<br>(dom)     |
|   |          |            |          |       | AC        | 45 (46,9)      | 15 (65,2)   |                   |                     |
|   |          |            |          |       | CC        | 20 (20,8)      | 6 (26,1)    | 5,01 (1,10-22,72) |                     |
|   |          |            |          |       | Totalak   | 96 (!00)       | 23 (100)    |                   |                     |
| 6 | mir-4431 | rs6726779  | PM       | 2p16  | TT        | 34 (35,8)      | 12 (63,2)   | 1                 | 0,0272<br>(codom)   |
|   |          |            |          |       | CT        | 51 (53,7)      | 4 (21,1)    |                   |                     |
|   |          |            |          |       | CC        | 10 (10,5)      | 3 (15,8)    | 0,22 (0,07-0,75)  |                     |
|   |          |            |          |       | Totalak   | 95 (100)       | 19 (100)    | 0,85 (0,20-3,62)  |                     |
| 7 | mir-5682 | rs9877402  | PM       | 8q22  | AA        | 88 (93,6)      | 17 (85,0)   | 1                 | 0,0296<br>(rec)     |
|   |          |            |          |       | AG        | 6 (6,4)        | 1 (5,0)     |                   |                     |
|   |          |            |          |       | GG        | 0 (0,0)        | 2 (10,0)    | 0,00              |                     |
|   |          |            |          |       | Totalak   | 94 (100)       | 20 (100)    |                   |                     |
| 8 | mir-4432 | rs243080   | PM       | 2p16  | CC        | 30 (31,6)      | 12 (57,1)   | 1                 | 0,0303<br>(dom)     |
|   |          |            |          |       | CT        | 49 (51,6)      | 5 (23,8)    |                   |                     |
|   |          |            |          |       | TT        | 16 (16,8)      | 4 (19,0)    | 0,35 (0,13-0,91)  |                     |
|   |          |            |          |       | Totalak   | 95 (100)       | 21 (!00)    |                   |                     |
| 9 | mir-499a | rs3746444  | PM/seed  | 20q11 | TT        | 64 (66,7)      | 18 (75,0)   | 1                 | 0,0444<br>(rec)     |
|   |          |            |          |       | CT        | 30 (31,2)      | 3 (12,5)    |                   |                     |
|   |          |            |          |       | CC        | 2 (2,1)        | 3 (12,5)    | 6,71 (1,06-42,73) |                     |
|   |          |            |          |       | Totalak   | 96 (100)       | 24 (100)    |                   |                     |

Laburdurak: AM, kontrolen maiztasun txikikoena duen aleloa; OR, Odds Ratio; KT, Konfidantza-tartea; kod, kodominantea; dom, dominantea; erre, errezesiboa; log, log-aditiboa; PM: miRNA pre-heldua, M: miRNA heldua; GK: Gune kromosomikoa

\*Adierazgarria Bonferroniren zuzenketaren ostean.

Bestalde, maiztasun alelikoen bidezko asoziazio-analisiaren 3 polimorfismok 3 miRNA OS arriskuarekin asoziaturik zeuden ( $p < 0,05$ ) (32. Taula). Emaitza interesgarrien artean,

rs2273626 SNP mir-4707 miRNAREN seed gunean kokatuta dago. Emaitza hauek maiztasun genotipikoekin alderatuz, SNP berria topatu genuen OSren arriskuarekin asoziatuta: rs2042253 SNP mir-5197 miRNAn.

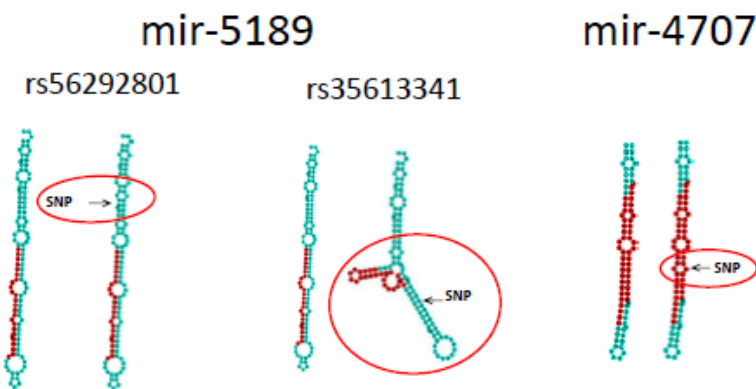
**32.taula** MiRNA geneen polimorfismoen eta OS arriskuaren asoziazio analisiaren emaitzak maiztasun alelikoen bidez Esloveniako populazioan.

| Genea | SNP      | Kokapena          | GK              | Aleloa | Maiztasuna kontroletan | Maiztasuna kasuetan | OR (%95KT) | P                 |
|-------|----------|-------------------|-----------------|--------|------------------------|---------------------|------------|-------------------|
| 2     | mir-4707 | <b>rs2273626</b>  | PM/ <i>seed</i> | 14q11  | C                      | 0,443               | 0,667      | 2,52 (1,12-5,66)  |
| 3     | mir-5197 | <b>rs2042253</b>  | PM              | 5q31   | A                      | 0,753               | 0,933      | 4,60 (1,06-20,05) |
| 5     | mir-5189 | <b>rs56292801</b> | PM              | 16q24  | G                      | 0,745               | 0,929      | 4,45 (1,02-19,46) |

Laburdurak: AM, kontrolen maiztasun txikikoena duen aleloa; OR, Odds Ratio; KT, Konfidantza-tartea; PM: miRNA pre-heldua, M: miRNA heldua; GK: Gune kromosomikoa \*Adierazgarria Bonferroniren zuzenketaren ostean.

### **2.3.6 ESLOVENIAKO POPULAZIOAREN MIRNA *IN SILICO* ANALISIA**

Populazio esloveniarrean rs56292801 eta rs35613342 SNPak mir-5189 miRNAn eta rs2273626 mir-4707 miRNAn miRNAen egitura sekundarioan aldaketak sortzen zituzten (28. Irudia).



**28. irudia** miRNAREN bigarren mailako egitura aldatzen zuten OSren arriskuarekin asoziatuta zeuden mir-SNPak, miRNASNP datubasearen iragarpena.

### **2.3.7 ESPAINIAKO ETA ESLOVENIAKO POPULAZIOEN MIRNA *IN SILICO* ANALISIA**

Maiztasun genotipikoekin bidezko asoziazio-analisiaren 12 polimorfismok 12 miRNA OS arriskuarekin asoziaturik zeuden ( $p < 0,05$ ) Spainiako eta Esloveniako populazioetan. Emaitza hauek populazio bakoitzekin konparatuz gero, 12 SNPstatik 9 SNPeik jadanik OS arriskuarekin asoziazioa erakutsi zuten. FDR bidezko zuzenketaren ostean ez zen SNP adierazgarririk azaldu (32. Taula, 9 . taula osagarria).

**32. taula** MiRNA geneen polimorfismoen eta OS arriskuaren asoziazio analisiaren emaitzak maiztasun genotipikoen bidez populazio guztietan.

|    | miRNA     | SNP        | Populazioak batera |            |           | Populazio espanyiarra |            |           | Populazio esloveniarra |           |           |              |
|----|-----------|------------|--------------------|------------|-----------|-----------------------|------------|-----------|------------------------|-----------|-----------|--------------|
|    |           |            | Genotipoa          | Kontrolak  | Kasuak    | P                     | Kontrolak  | Kasuak    | P                      | Kontrolak | Kasuak    | P            |
|    |           |            |                    |            |           |                       |            |           |                        |           |           |              |
| 1  | mir-576   | rs77639117 | AA                 | 249 (97,3) | 81 (88,0) |                       | 156 (97,5) | 60 (87,0) |                        | 93 (96,9) | 21 (91,3) |              |
|    |           |            | AT                 | 7 (2,7)    | 10 (10,9) |                       | 4 (2,5)    | 9 (13,0)  |                        | 3 (3,1)   | 1 (4,3)   |              |
|    |           |            | TT                 | 0 (0,0)    | 1 (1,1)   | <b>0,002</b>          | 0 (0,0)    | 0 (0,0)   | <b>0,003</b>           | 0 (0,0)   | 1 (4,3)   | 0,1          |
|    |           |            | Totalak            | 256 (100)  | 92 (100)  |                       | 160 (100)  | 69 (100)  |                        | 96 (100)  | 24 (100)  |              |
| 2  | mir-5682  | rs9877402  | AA                 | 233 (92,5) | 32 (84,2) |                       | 145 (91,8) | 15 (83,3) |                        | 88 (93,6) | 17 (85,0) |              |
|    |           |            | AG                 | 19 (7,5)   | 3 (7,9)   |                       | 13 (8,2)   | 2 (11,1)  |                        | 6 (6,4)   | 1 (5,0)   |              |
|    |           |            | GG                 | 0 (0,0)    | 3 (7,9)   | <b>0,002</b>          | 0 (0,0)    | 1 (5,6)   | 0,07                   | 0 (0,0)   | 2 (10,0)  | <b>0,03</b>  |
|    |           |            | Totalak            | 252 (100)  | 38 (100)  |                       | 158 (100)  | 18 (100)  |                        | 94 (100)  | 20 (100)  |              |
| 3  | mir-4707  | rs2273626  | CC                 | 45 (25,4)  | 30 (33,3) |                       | 25 (30,9)  | 24 (35,8) |                        | 20 (20,8) | 6 (26,1)  |              |
|    |           |            | AC                 | 79 (44,6)  | 47 (52,2) |                       | 34 (42,0)  | 32 (47,8) |                        | 45 (46,9) | 15 (65,2) |              |
|    |           |            | AA                 | 53 (29,9)  | 13 (14,4) | <b>0,004</b>          | 22 (27,2)  | 11 (16,4) | 0,1                    | 31 (32,3) | 2 (8,7)   | <b>0,01</b>  |
|    |           |            | Totalak            | 177 (100)  | 90 (100)  |                       | 81 (100)   | 67 (100)  |                        | 96 (100)  | 23 (100)  |              |
| 4  | mir-4268  | rs4674470  | TT                 | 151 (59,2) | 67 (75,3) |                       | 101 (63,5) | 50 (72,5) |                        | 50 (52,1) | 17 (85,0) |              |
|    |           |            | CT                 | 87 (34,1)  | 19 (21,3) |                       | 47 (29,6)  | 18 (26,1) |                        | 40 (41,7) | 1 (5,0)   |              |
|    |           |            | CC                 | 17 (6,7)   | 3 (3,4)   | <b>0,006</b>          | 11 (6,9)   | 1 (1,4)   | 0,06                   | 6 (6,2)   | 2 (10,0)  | <b>0,002</b> |
|    |           |            | Totalak            | 255 (100)  | 89 (100)  |                       | 159 (100)  | 69 (100)  |                        | 96 (100)  | 20 (100)  |              |
| 5  | mir-300   | rs12894467 | CC                 | 99 (38,7)  | 26 (28,0) |                       | 74 (46,2)  | 19 (27,5) |                        | 25 (26,0) | 7 (29,2)  |              |
|    |           |            | CT                 | 124 (48,4) | 45 (48,4) |                       | 71 (44,4)  | 34 (49,3) |                        | 53 (55,2) | 11 (45,8) |              |
|    |           |            | TT                 | 33 (12,9)  | 22 (23,7) | <b>0,01</b>           | 15 (9,4)   | 16 (23,2) | <b>0,001</b>           | 18 (18,8) | 6 (25,0)  | 0,5          |
|    |           |            | Totalak            | 256 (100)  | 93 (100)  |                       | 160 (100)  | 69 (100)  |                        | 96 (100)  | 24 (100)  |              |
| 6  | mir-4745  | rs10422347 | CC                 | 218 (85,8) | 68 (74,7) |                       | 138 (87,3) | 51 (75,0) |                        | 80 (83,3) | 17 (73,9) |              |
|    |           |            | CT                 | 34 (13,4)  | 23 (25,3) |                       | 19 (12,0)  | 17 (25,0) |                        | 15 (15,6) | 6 (26,1)  |              |
|    |           |            | TT                 | 2 (0,8)    | 0 (0,09)  | <b>0,02</b>           | 1 (0,6)    | 0 (0,0)   | <b>0,03</b>            | 1 (1,0)   | 0 (0,0)   | 0,3          |
|    |           |            | Totalak            | 254 (100)  | 91 (100)  |                       | 158 (100)  | 68 (100)  |                        | 96 (100)  | 23 (100)  |              |
| 10 | mir-3620  | rs2070960  | CC                 | 216 (85,0) | 74 (82,2) |                       | 141 (88,7) | 53 (80,3) |                        | 75 (78,9) | 21 (87,5) |              |
|    |           |            | CT                 | 38 (15,0)  | 13 (14,4) |                       | 18 (11,3)  | 12 (18,2) |                        | 20 (21,1) | 1 (4,2)   |              |
|    |           |            | TT                 | 0 (0,0)    | 3 (3,3)   | <b>0,02</b>           | 0 (0,0)    | 1 (1,5)   | 0,09                   | 0 (0,0)   | 2 (8,3)   | <b>0,008</b> |
|    |           |            | Totalak            | 254 (100)  | 90 (100)  |                       | 159 (100)  | 66 (100)  |                        | 95 (100)  | 24 (100)  |              |
| 7  | mir-1255a | rs28664200 | TT                 | 137 (54,6) | 13 (39,4) |                       | 86 (55,5)  | 2 (15,4)  |                        | 51 (53,1) | 11 (55,0) |              |
|    |           |            | CT                 | 102 (40,6) | 15 (45,5) |                       | 62 (40,0)  | 8 (61,5)  |                        | 40 (41,7) | 7 (35,0)  |              |
|    |           |            | CC                 | 12 (4,8)   | 5 (15,2)  | <b>0,03</b>           | 7 (4,5)    | 3 (23,1)  | <b>0,001</b>           | 5 (5,2)   | 2 (10,0)  | 0,4          |
|    |           |            | Totalak            | 251 (100)  | 33 (100)  |                       | 155 (100)  | 13 (100)  |                        | 96 (100)  | 20 (100)  |              |
| 8  | mir-3188  | rs7247237  | CC                 | 115 (45,3) | 37 (40,2) |                       | 72 (45,3)  | 23 (34,3) |                        | 43 (45,3) | 14 (56,0) |              |
|    |           |            | CT                 | 121 (47,6) | 41 (44,6) |                       | 77 (48,4)  | 31 (46,3) |                        | 44 (46,3) | 10 (40,0) |              |
|    |           |            | TT                 | 18 (7,1)   | 14 (15,2) | <b>0,03</b>           | 10 86,3)   | 13 (19,4) | <b>0,004</b>           | 8 (8,4)   | 1 (4,0)   | 0,3          |
|    |           |            | Totalak            | 254 (100)  | 92 (100)  |                       | 159 (100)  | 67 (100)  |                        | 95 (100)  | 25 (100)  |              |
| 9  | mir-146a  | rs2910164  | GG                 | 144 (56,2) | 64 (68,8) |                       | 84 (52,5)  | 46 (66,7) |                        | 60 (62,5) | 18 (75,0) |              |
|    |           |            | CG                 | 96 (37,5)  | 23 (24,7) |                       | 66 (41,2)  | 18 (26,1) |                        | 30 (31,2) | 5 (20,8)  |              |
|    |           |            | CC                 | 16 (6,2)   | 6 (6,5)   | <b>0,03</b>           | 10 (6,2)   | 5 (7,2)   | <b>0,05*</b>           | 6 (6,2)   | 1 (4,2)   | 0,2          |
|    |           |            | Totalak            | 256 (100)  | 93 (100)  |                       | 160 (100)  | 69 (100)  |                        | 96 (100)  | 24 (100)  |              |
| 11 | mir-4752  | rs4112253  | CC                 | 103 (40,2) | 46 (52,3) |                       | 60 (37,5)  | 34 (49,3) |                        | 43 (44,8) | 12 (63,2) |              |
|    |           |            | CG                 | 119 (46,5) | 35 (39,8) |                       | 78 (48,8)  | 30 (43,5) |                        | 41 (42,7) | 5 (26,3)  |              |
|    |           |            | GG                 | 34 (13,3)  | 7 (8,0)   | <b>0,03</b>           | 22 (13,8)  | 5 (7,2)   | 0,05                   | 12 (12,5) | 2 (10,5)  | 0,1          |
|    |           |            | Totalak            | 256 (100)  | 88 (100)  |                       | 160 (100)  | 69 (100)  |                        | 96 (100)  | 19 (100)  |              |
| 12 | mir-6128  | rs67042258 | GG                 | 143 (56,1) | 59 (65,6) |                       | 89 (56)    | 47 (69,1) |                        | 54 (56,2) | 12 (54,5) |              |
|    |           |            | AG                 | 97 (38,0)  | 22 (24,4) |                       | 62 (39)    | 16 (23,5) |                        | 35 (36,5) | 6 (27,3)  |              |
|    |           |            | AA                 | 15 (5,9)   | 9 (10,0)  | <b>0,04</b>           | 8 (5)      | 5 (7,4)   | 0,06                   | 7 (7,3)   | 4 (18,2)  | 0,1          |
|    |           |            | Totalak            | 255 (100)  | 90 (100)  |                       | 159 (100)  | 68 (100)  |                        | 96 (100)  | 22 (100)  |              |

Hiru analisietan (populazio espanyiarrean, esloveniarrean eta batera) izandako emaitzak batera kontuan hartuz gero, 26 SNP 25 miRNAtan estatistikoki adierazgarri izan ziren: 14 SNP populazio espanyiarrean, 9 SNP populazio esloveniarrean eta 3 SNP bi populazioak bateratzerakoan (mir-146a, mir-4752 eta mir-6128). Kasu honetan, SNPAk ez dira adierazgarriak populazio bakoitzean modu indibidualean baina arrisku genotipoek tendentzia bera erakutsi zuten (33.taula).

**33. taula** Maiztasun genotipikoen bidezko asoziazio-analisiem emaitzen laburpena 3 populazioetan (jarraipena).

| miRNA | SNP      | Genotipoa | Populazioak batera   |                   |                              | Populazio espanyiarra |                  |                             | Populazio esloveniarra |                  |                            |
|-------|----------|-----------|----------------------|-------------------|------------------------------|-----------------------|------------------|-----------------------------|------------------------|------------------|----------------------------|
|       |          |           | Kontrolak<br>(N=256) | Kasuak<br>(N=100) | P <sub>totalak</sub>         | Kontrolak<br>(N=160)  | Kasuak<br>(N=74) | P <sub>espaniarrak</sub>    | Kontrolak<br>(N=96)    | Kasuak<br>(N=26) | P <sub>esloveniarrak</sub> |
| 1     | mir-300  | CC        | 99 (38,7)            | 26 (28,0)         |                              | 74 (46,2)             | 19 (27,5)        |                             | 25 (26,0)              | 7 (29,2)         |                            |
|       |          | CT        | 124 (48,4)           | 45 (48,4)         | 0,0103                       | 71 (44,4)             | 34 (49,3)        | 0,0010                      | 53 (55,2)              | 11 (45,8)        |                            |
|       |          | TT        | 33 (12,9)            | 22 (23,7)         | TT 1,57(1,11-2,22)(log)      | 15 (9,4)              | 16 (23,2)        | TT 2,01 (1,32-3,06)(log)    | 18 (18,8)              | 6 (25,0)         | 0,5025                     |
|       |          | Totalak   | 256 (100)            | 93 (100)          |                              | 160 (100)             | 69 (100)         |                             | 96 (100)               | 24 (100)         |                            |
| 2     | mir-2278 | GG        | 225 (87,9)           | 90 (94,7)         |                              | 140 (87,5)            | 68 (98,6)        |                             | 85 (88,5)              | 22 (84,6)        |                            |
|       |          | AG        | 30 (11,7)            | 5 (5,3)           | 0,0460                       | 20 (12,5)             | 1 (1,4)          | 0,0022                      | 10 (10,4)              | 4 (15,4)         |                            |
|       |          | AA        | 1 (0,4)              | 0 (0,0)           | AG/AA 0,40 (0,15-1,07)(dom)  | 0 (0,0)               | 0 (0,0)          | AG 0,1 (0,01-0,78)(cod)     | 1 (1,0)                | 0 (0,0)          | 0,6043                     |
|       |          | Totalak   | 256 (100)            | 95 (100)          |                              | 160 (100)             | 69 (100)         |                             | 96 (100)               | 26 (100)         |                            |
| 3     | mir-576  | AA        | 249 (97,3)           | 81 (88,0)         |                              | 156 (97,5)            | 60 (87,0)        |                             | 93 (96,9)              | 21 (91,3)        |                            |
|       |          | AT        | 7 (2,7)              | 10 (10,9)         | 0,0015                       | 4 (2,5)               | 9 (13,0)         | 0,0027                      | 3 (3,1)                | 1 (4,3)          |                            |
|       |          | TT        | 0 (0,0)              | 1 (1,1)           | AT/TT 4,83 (1,81-12,87)(rec) | 0 (0,0)               | 0 (0,0)          | AT 5,85 (1,74-19,71)(cod)   | 0 (0,0)                | 1 (4,3)          | 0,1282                     |
|       |          | Totalak   | 256 (100)            | 92 (100)          |                              | 160 (100)             | 69 (100)         |                             | 96 (100)               | 23 (100)         |                            |
| 4     | mir-3188 | CC        | 115 (45,3)           | 37 (40,2)         |                              | 72 (45,3)             | 23 (34,3)        |                             | 43 (45,3)              | 14 (56,0)        |                            |
|       |          | CT        | 121 (47,6)           | 41 (44,6)         | 0,0275                       | 77 (48,4)             | 31 (46,3)        | 0,0045                      | 44 (46,3)              | 10 (40,0)        |                            |
|       |          | TT        | 18 (7,1)             | 14 (15,2)         | TT 2,35 (1,12-4,95)(rec)     | 10 (6,3)              | 13 (19,4)        | TT 3,59 (1,49-8,66)(rec)    | 8 (8,4)                | 1 (4,0)          | 0,2726                     |
|       |          | Totalak   | 254 (100)            | 92 (100)          |                              | 159 (100)             | 67 (100)         |                             | 95 (100)               | 25 (100)         |                            |
| 5     | mir-492  | CC        | 211 (82,4)           | 79 (85,9)         |                              | 130 (81,2)            | 60 (87,0)        |                             | 83 (84,4)              | 19 (82,6)        |                            |
|       |          | CG        | 44 (17,2)            | 10 (10,9)         | 0,0415                       | 30 (18,8)             | 6 (8,7)          | 0,0265                      | 14 (14,6)              | 4 (17,4)         |                            |
|       |          | GG        | 1 (0,4)              | 3 (3,3)           | GG 8,60 (0,88-83,70)(rec)    | 0 (0,0)               | 3 (4,3)          | GG 0 (rec)                  | 1 (1,0)                | 0 (0,0)          | 0,7989                     |
|       |          | Totalak   | 256 (100)            | 92 (100)          |                              | 160 (100)             | 69 (100)         |                             | 96 (100)               | 23 (100)         |                            |
| 6     | mir-2053 | AA        | 123 (48,2)           | 36 (40,4)         |                              | 78 (49,1)             | 25 (36,2)        | 0,0087                      | 45 (46,9)              | 11 (55,0)        |                            |
|       |          | AG        | 107 (42,0)           | 48 (53,9)         | 0,1128                       | 65 (40,9)             | 42 (60,9)        | AG 2,02 (1,11-3,65)         | 42 (43,8)              | 6 (30,0)         |                            |
|       |          | GG        | 25 (9,8)             | 5 (5,6)           |                              | 16 (10,1)             | 2 (2,9)          | GG 0 (cod)                  | 9 (9,4)                | 3 (15,0)         | 0,4723                     |
|       |          | Totalak   | 255 (100)            | 89 (100)          |                              | 159 (100)             | 69 (100)         |                             | 96 (100)               | 20 (100)         |                            |
| 7     | mir-4467 | GG        | 78 (30,6)            | 36 (39,1)         |                              | 35 (22,0)             | 27 (39,1)        | 0,0088                      | 43 (44,8)              | 9 (39,1)         |                            |
|       |          | AG        | 121 (47,5)           | 32 (34,8)         | 0,1043                       | 83 (52,2)             | 23 (33,3)        | AG/AA 0,44 (0,24-0,81)      | 38 (39,6)              | 9 (39,1)         |                            |
|       |          | AA        | 56 (22,0)            | 24 (26,1)         |                              | 41 (25,8)             | 19 (27,5)        | (dom)                       | 15 (15,6)              | 5 (21,7)         | 0,4899                     |
|       |          | Totalak   | 255 (100)            | 92 (100)          |                              | 159 (100)             | 69 (100)         |                             | 96 (100)               | 23 (100)         |                            |
| 8     | mir-412  | GG        | 76 (29,7)            | 18 (20,7)         |                              | 57 (35,6)             | 13 (20,0)        |                             | 19 (19,8)              | 5 (22,7)         |                            |
|       |          | AG        | 119 (46,5)           | 47 (54,0)         | 0,0973                       | 66 (41,2)             | 35 (53,8)        | 0,0185                      | 53 (55,2)              | 12 (54,5)        |                            |
|       |          | AA        | 61 (23,8)            | 22 (25,3)         |                              | 37 (23,1)             | 17 (26,2)        | AG/AA 2,21 (1,11-4,41)(dom) | 24 (25,0)              | 5 (22,7)         | 0,7419                     |
|       |          | Totalak   | 256 (100)            | 87 (100)          |                              | 160 (100)             | 65 (100)         |                             | 96 (100)               | 22 (100)         |                            |
| 9     | mir-5196 | GG        | 171 (67,3)           | 57 (62,6)         |                              | 110 (69,6)            | 43 (62,3)        | 0,0207                      | 63 (63,5)              | 14 (63,6)        |                            |
|       |          | AG        | 72 (28,3)            | 33 (36,3)         | 0,1075                       | 39 (24,7)             | 26 (37,7)        | AG 1,71 (0,93-3,13)         | 33 (34,4)              | 7 (31,8)         |                            |
|       |          | AA        | 11 (4,3)             | 1 (1,1)           |                              | 9 (5,7)               | 0 (0,0)          | AA 0 (cod)                  | 2 (2,1)                | 1 (4,5)          | 0,5394                     |
|       |          | Totalak   | 254 (100)            | 91 (100)          |                              | 158 (100)             | 69 (100)         |                             | 96 (100)               | 22 (100)         |                            |
| 10    | mir-656  | CC        | 245 (95,7)           | 89 (93,7)         |                              | 157 (98,1)            | 63 (91,3)        | 0,02102                     | 88 (91,7)              | 26 (100,0)       |                            |
|       |          | CT        | 11 (4,3)             | 6 (6,3)           | 0,4457                       | 3 (1,9)               | 6 (8,7)          | CT 4,98 (1,21-20,55)        | 8 (8,3)                | 0 (0,0)          |                            |
|       |          | TT        | 0 (0,0)              | 0 (0,0)           |                              | 0 (0,0)               | 0 (0,0)          | TT 0 (cod)                  | 0 (0,0)                | 0 (0,0)          | 0,2002                     |
|       |          | Totalak   | 256 (100)            | 95 (100)          |                              | 160 (100)             | 69 (100)         |                             | 96 (100)               | 26 (100)         |                            |
| 11    | mir-4309 | GG        | 188 (73,7)           | 55 (60,4)         | 0,0098                       | 111 (69,8)            | 39 (56,5)        | 0,0223                      | 77 (80,2)              | 16 (72,7)        |                            |
|       |          | CG        | 61 (23,9)            | 36 (39,6)         | CG 2,02 (1,21-3,36)          | 43 (27,0)             | 30 (43,5)        | CG 1,99 (1,10-3,59)         | 18 (18,8)              | 6 (27,3)         |                            |
|       |          | CC        | 6 (2,4)              | 0 (0,0)           | CC 0 (cod)                   | 5 (3,1)               | 0 (0,0)          | CC 0 (cod)                  | 1 (1,0)                | 0 (0,0)          | 0,4494                     |
|       |          | Totalak   | 255 (100)            | 91 (100)          |                              | 159 (100)             | 69 (100)         |                             | 96 (100)               | 22 (100)         |                            |
| 12    | mir-378h | AA        | 204 (79,7)           | 77 (84,6)         |                              | 117 (73,1)            | 58 (86,6)        |                             | 87 (90,6)              | 19 (79,2)        |                            |
|       |          | AG        | 49 (19,1)            | 13 (14,3)         | 0,2951                       | 41 (25,6)             | 8 (11,9)         | 0,0224                      | 8 (8,3)                | 5 (20,8)         |                            |
|       |          | GG        | 3 (1,2)              | 1 (1,1)           |                              | 2 (1,2)               | 1 (1,5)          | AG/GG 0,42 (0,19-0,93)(dom) | 1 (1,0)                | 0 (0,0)          | 0,1421                     |
|       |          | Totalak   | 76 (100)             | 91 (100)          |                              | 160 (100)             | 67 (100)         |                             | 96 (100)               | 24 (100)         |                            |
| 13    | mir-4745 | CC        | 218 (85,8)           | 68 (74,7)         |                              | 138 (87,3)            | 51 (75,0)        |                             | 80 (83,3)              | 17 (73,9)        |                            |
|       |          | CT        | 34 (13,4)            | 23 (25,3)         | 0,0194                       | 19 (12,0)             | 17 (25,0)        | 0,0255                      | 15 (15,6)              | 6 (26,1)         |                            |
|       |          | TT        | 2 (0,8)              | 0 (0,0)           | CT/TT 2,05 (1,14-3,69)(dom)  | 1 (0,6)               | 0 (0,0)          | CT/TT 2,30 (1,12-4,73)(dom) | 1 (1,0)                | 0 (0,0)          | 0,3122                     |
|       |          | Totalak   | 254 (100)            | 91 (100)          |                              | 158 (100)             | 68 (100)         |                             | 96 (100)               | 23 (100)         |                            |
| 14    | mir-449c | AA        | 103 (40,4)           | 42 (46,7)         |                              | 61 (38,4)             | 35 (50,7)        |                             | 42 (43,8)              | 7 (33,3)         |                            |
|       |          | AG        | 116 (45,5)           | 40 (44,4)         | 0,3387                       | 71 (44,7)             | 28 (40,6)        | 0,0382                      | 45 (46,9)              | 12 (57,1)        |                            |
|       |          | GG        | 36 (14,1)            | 8 (8,9)           |                              | 27 (17,0)             | 6 (8,7)          | TT 0,64 (0,42-0,98)(log)    | 9 (9,4)                | 2 (9,5)          | 0,3761                     |
|       |          | Totalak   | 255 (100)            | 90 (100)          |                              | 159 (100)             | 69 (100)         |                             | 96 (100)               | 21 (100)         |                            |

Laburdurak: AM, kontrolen maiztasun txikikoena duen aleloa; OR, Odds Ratio; KT, Konfidantza-tartea; kod, kodominantea; dom, dominantea; errez, errezesiboa; log, log-aditiboa; PM: miRNA pre-heldua, M: miRNA heldua; GK: Gune kromosomikoa \*Adierazgarria Bonferroniren zuzenketaren ostean.

**Tabla 33.** Maiztasun genotipikoen bidezko asoziazio-analisiak emaitzen laburpena 3 populazioetan.

| Populazioa batera |                       |            |           |                      |                   |                      |           |           |                              |                      | Populazio espanyiarra |                             |  |
|-------------------|-----------------------|------------|-----------|----------------------|-------------------|----------------------|-----------|-----------|------------------------------|----------------------|-----------------------|-----------------------------|--|
|                   | miRNA                 | SNP        | Genotipoa | Kontrolak<br>(N=256) | Kasuak<br>(N=100) | P <sub>totalak</sub> | miRNA     | SNP       | Genotipoa                    | Kontrolak<br>(N=256) | Kasuak<br>(N=100)     | P <sub>totalak</sub>        |  |
| <b>15</b>         | mir-5189<br>(PM)      | rs35613341 | CC        | 72 (45,0)            | 38 (56,7)         | 0,1069               | 49 (51,0) | 16 (69,6) | <b>0,0001*</b>               | 121 (47,3)           | 54 (60)               | <b>0,0048</b>               |  |
|                   |                       |            | CG        | 57 (35,6)            | 17 (25,4)         |                      | 41 (42,7) | 1 (4,3)   | CG 0,07 (0,01-0,59)          | 98 (38,3)            | 18 (20)               | CG 0,41 (0,23-0,75)         |  |
|                   |                       |            | GG        | 31 (19,4)            | 12 (17,9)         |                      | 6 (6,2)   | 6 (26,1)  | GG 3,06 (0,86-0,85)(cod)     | 37 (14,5)            | 18 (20)               | GG 1,09 (0,57-2,08)(cod)    |  |
|                   |                       |            | Totalak   | 160 (100)            | 67 (100)          |                      | 96 (100)  | 23 (100)  |                              | 256 (100)            | 90 (100)              |                             |  |
| <b>16</b>         | mir-4268<br>(PM)      | rs4674470  | TT        | 101 (63,5)           | 50 (72,5)         | 0,0582               | 50 (52,1) | 17 (85,0) | <b>0,0021</b>                | 151 (59,2)           | 67 (75,3)             | <b>0,0057</b>               |  |
|                   |                       |            | CT        | 47 (29,6)            | 18 (26,1)         |                      | 40 (41,7) | 1 (5,0)   | CT 0,07 (0,01-0,58)          | 87 (34,1)            | 19 (21,3)             | CT/CC 0,48 (0,28-0,82)(dom) |  |
|                   |                       |            | CC        | 11 (6,9)             | 1 (1,4)           |                      | 6 (6,2)   | 2 (10,0)  | CC 0,98 (0,18-5,33)(cod)     | 17 (6,7)             | 3 (3,4)               |                             |  |
|                   |                       |            | Totalak   | 159 (100)            | 69 (100)          |                      | 96 (100)  | 20 (100)  |                              | 255 (100)            | 89 (100)              |                             |  |
| <b>17</b>         | mir-3620<br>(PM/seed) | rs2070960  | CC        | 141 (88,7)           | 53 (80,3)         | 0,0929               | 75 (78,9) | 21 (87,5) | <b>0,0078</b>                | 216 (85,0)           | 74 (82,2)             | <b>0,0175</b>               |  |
|                   |                       |            | CT        | 18 (11,3)            | 12 (18,2)         |                      | 20 (21,1) | 1 (4,2)   | CT 0,18 (0,02-1,41)          | 38 (15,0)            | 13 (14,4)             | TT 0 (rec)                  |  |
|                   |                       |            | TT        | 0 (0,0)              | 1 (1,5)           |                      | 0 (0,0)   | 2 (8,3)   | TT 0 (cod)                   | 0 (0,0)              | 3 (3,3)               |                             |  |
|                   |                       |            | Totalak   | 159 (100)            | 66 (100)          |                      | 95 (100)  | 24 (100)  |                              | 254 (100)            | 90 (100)              |                             |  |
| <b>18</b>         | mir-5189<br>(PM)      | rs56292801 | GG        | 43 (51,8)            | 39 (58,2)         | 0,3433               | 51 (53,1) | 18 (81,8) | <b>0,0102</b>                | 94 (52,5)            | 57 (64,0)             | 0,0717                      |  |
|                   |                       |            | AG        | 26 (31,3)            | 20 (29,9)         |                      | 41 (42,7) | 3 (13,6)  | AG/AA 0,25 (0,08-0,80)(dom)  | 67 (37,4)            | 23 (25,8)             |                             |  |
|                   |                       |            | AA        | 14 (16,9)            | 8 (11,9)          |                      | 4 (4,2)   | 1 (4,5)   |                              | 18 (10,1)            | 9 (10,1)              |                             |  |
|                   |                       |            | Totalak   | 83 (100)             | 67 (100)          |                      | 96 (100)  | 22 (100)  |                              | 179 (100)            | 89 (100)              |                             |  |
| <b>19</b>         | mir-4707<br>(PM/seed) | rs2273626  | AA        | 22 (27,2)            | 11 (16,4)         | 0,2876               | 31 (32,3) | 2 (8,7)   | <b>0,0132</b>                | 53 (29,9)            | 13 (14,4)             | <b>0,0041</b>               |  |
|                   |                       |            | AC        | 34 (42,0)            | 32 (47,8)         |                      | 45 (46,9) | 15 (65,2) | AC/CC 5,01 (1,10-22,72)(dom) | 79 (44,6)            | 47 (52,2)             | AA 0,40 (0,20-0,77) (rec)   |  |
|                   |                       |            | CC        | 25 (30,9)            | 24 (35,8)         |                      | 20 (20,8) | 6 (26,1)  |                              | 45 (25,4)            | 30 (33,3)             |                             |  |
|                   |                       |            | Totalak   | 81 (100)             | 67 (100)          |                      | 96 (100)  | 23 (100)  |                              | 177 (100)            | 90 (100)              |                             |  |
| <b>20</b>         | mir-4431<br>(PM)      | rs6726779  | TT        | 68 (42,5)            | 24 (34,8)         | 0,2720               | 34 (35,8) | 12 (63,2) | <b>0,0272</b>                | 102 (40,0)           | 36 (40,9)             | 0,2998                      |  |
|                   |                       |            | CT        | 70 (43,8)            | 33 (47,8)         |                      | 51 (53,7) | 4 (21,1)  | CT 0,22 (0,07-0,75)          | 121 (47,5)           | 37 (42,0)             |                             |  |
|                   |                       |            | CC        | 22 (13,8)            | 12 (17,4)         |                      | 10 (10,5) | 3 (15,8)  | CC 0,85 (0,20-3,62)(cod)     | 32 (12,5)            | 15 (17,0)             |                             |  |
|                   |                       |            | Totalak   | 160 (100)            | 69 (100)          |                      | 95 (100)  | 19 (100)  |                              | 255 (100)            | 88 (100)              |                             |  |
| <b>21</b>         | mir-5682<br>(PM)      | rs9877402  | AA        | 145 (91,8)           | 15 (83,3)         | 0,0749               | 88 (93,6) | 17 (85,0) | <b>0,0295</b>                | 233 (92,5)           | 32 (84,2)             | <b>0,0021</b>               |  |
|                   |                       |            | AG        | 13 (8,2)             | 2 (11,1)          |                      | 6 (6,4)   | 1 (5,0)   | GG 0 (rec)                   | 19 (7,5)             | 3 (7,9)               | GG 0 (rec)                  |  |
|                   |                       |            | GG        | 0 (0,0)              | 1 (5,6)           |                      | 0 (0,0)   | 2 (10,0)  |                              | 0 (0,0)              | 3 (7,9)               |                             |  |
|                   |                       |            | Totalak   | 158 (100)            | 18 (100)          |                      | 94 (100)  | 20 (100)  |                              | 252 (100)            | 41 (100)              |                             |  |
| <b>22</b>         | mir-4432<br>(PM)      | rs243080   | CC        | 49 (30,6)            | 21 (30,9)         | 0,0629               | 30 (31,6) | 12 (57,1) | <b>0,0303</b>                | 79 (31,0)            | 33 (37,1)             | <b>0,0314</b>               |  |
|                   |                       |            | CT        | 82 (51,2)            | 27 (39,7)         |                      | 49 (51,6) | 5 (23,8)  | CT/TT 0,35 (0,13-0,91)(dom)  | 131 (51,4)           | 32 (36,0)             | (cod)                       |  |
|                   |                       |            | TT        | 29 (18,1)            | 20 (29,4)         |                      | 16 (16,8) | 4 (19,0)  |                              | 45 (17,6)            | 24 (27,0)             |                             |  |
|                   |                       |            | Totalak   | 160 (100)            | 68 (100)          |                      | 95 (100)  | 21 (100)  |                              | 255 (100)            | 89 (100)              |                             |  |
| <b>23</b>         | mir-499a<br>(PM/seed) | rs3746444  | TT        | 106 (66,2)           | 47 (68,1)         | 0,7304               | 64 (66,7) | 18 (75,0) | <b>0,0444</b>                | 170 (66,4)           | 65 (69,9)             | 0,4098                      |  |
|                   |                       |            | CT        | 48 (30,0)            | 20 (29,0)         |                      | 30 (31,2) | 3 (12,5)  | CC 6,71 (1,06-42,73)(rec)    | 78 (30,5)            | 23 (24,7)             |                             |  |
|                   |                       |            | CC        | 6 (3,8)              | 2 (2,9)           |                      | 2 (2,1)   | 3 (12,5)  |                              | 8 (3,1)              | 5 (5,4)               |                             |  |
|                   |                       |            | Totalak   | 160 (100)            | 69 (100)          |                      | 96 (100)  | 24 (100)  |                              | 256 (100)            | 93 (100)              |                             |  |
| <b>24</b>         | mir-146a<br>(PM)      | rs2910164  | GG        | 84 (52,5)            | 46 (66,7)         | 0,04534              | 60 (62,5) | 18 (75,0) | <b>0,2410</b>                | 144 (56,2)           | 64 (68,8)             | <b>0,03254</b>              |  |
|                   |                       |            | CG        | 66 (41,2)            | 18 (26,1)         |                      | 30 (31,2) | 5 (20,8)  | CG/CC 0,56 (0,20-1,53)(dom)  | 96 (37,5)            | 23 (24,7)             | CG/CC 0,58 (0,35-0,96)(dom) |  |
|                   |                       |            | CC        | 10 (6,2)             | 5 (7,2)           |                      | 6 (6,2)   | 1 (4,2)   |                              | 16 (6,2)             | 6 (6,5)               |                             |  |
|                   |                       |            | Totalak   | 160 (100)            | 69 (100)          |                      | 96 (100)  | 24 (100)  |                              | 256 (100)            | 93 (100)              |                             |  |
| <b>25</b>         | mir-4752<br>(PM)      | rs4112253  | CC        | 60 (37,5)            | 34 (49,3)         | 0,05378              | 43 (44,8) | 12 (63,2) | <b>0,1419</b>                | 103 (40,2)           | 46 (52,3)             | <b>0,03452</b>              |  |
|                   |                       |            | CG        | 78 (48,8)            | 30 (43,5)         |                      | 41 (42,7) | 5 (26,3)  | GG 0,82 (0,17-4,02)(rec)     | 119 (46,5)           | 35 (39,8)             | GG 0,67 (0,46-0,98)rec      |  |
|                   |                       |            | GG        | 22 (13,8)            | 5 (7,2)           |                      | 12 (12,5) | 2 (10,5)  |                              | 34 (13,3)            | 7 (8,0)               |                             |  |
|                   |                       |            | Totalak   | 160 (100)            | 69 (100)          |                      | 96 (100)  | 19 (100)  |                              | 256 (100)            | 88 (100)              |                             |  |
| <b>26</b>         | mir-6128<br>(PM)      | rs67042258 | GG        | 89 (56)              | 47 (69,1)         | 0,06157              | 54 (56,2) | 12 (54,5) | <b>0,1430</b>                | 143 (56,1)           | 59 (65,6)             | <b>0,04218</b>              |  |
|                   |                       |            | AG        | 62 (39)              | 16 (23,5)         |                      | 35 (36,5) | 6 (27,3)  | AA 2,83 (0,75-10,67)(rec)    | 97 (38,0)            | 22 (24,4)             | AG 0,55 (0,32-0,96)         |  |
|                   |                       |            | AA        | 8 (5)                | 5 (7,4)           |                      | 7 (7,3)   | 4 (18,2)  |                              | 15 (5,9)             | 9 (10,0)              | AA 1,45 (0,60-3,51)(cod)    |  |
|                   |                       |            | Totalak   | 159 (100)            | 68 (100)          |                      | 96 (100)  | 22 (100)  |                              | 255 (100)            | 90 (100)              |                             |  |

Laburdurak: AM, kontrolen maiztasun txikikoena duen aleloa; OR, Odds Ratio; KT, Konfidentalz-tartea; kod, kodominantea; dom, dominantea; errez, errezesiboa; log, log-

aditiboa; PM: miRNA pre-heldua; M: miRNA heldua; GK: Gune kromosomikoa \*Adierazgarria Bonferroniren zuzenketaaren ostean.

Bestalde, maiztasun alelikoen bidezko asoziazio-analisiaren 3 polimorfismok 3 miRNA OS arriskuarekin asoziaturik zeuden ( $p < 0,05$ ) (33. Taula). Emaitza interesgarrien artean, rs2273626 SNPa mir-4707 miRNAREN seed gunean kokatuta dago. Emaitza hauek maiztasun genotipikoekin alderatuz, SNP berria topatu genuen OSren arriskuarekin asoziatuta: rs2042253 SNPa mir-5197 miRNAn.

**Tabla 34.** Maiztasun alelikoen bidezko asoziazio-analisiaren emaitzen laburpena bi populazioak batera analizatzu.

| Genea | SNP      | Kokapena          | GK      | Aleloa | Maiztasuna kontroletan | Maiztasuna kasuetan | OR (%95KT) | P                 |
|-------|----------|-------------------|---------|--------|------------------------|---------------------|------------|-------------------|
| 1     | mir-576  | <b>rs77639117</b> | PM      | 4q25   | T                      | 0,014               | 0,062      | 4,75 (1,81-12,46) |
| 2     | mir-4707 | <b>rs2273626</b>  | PM/seed | 14q11  | C                      | 0,477               | 0,609      | 1,71 (1,18-2,47)  |
| 3     | mir-300  | <b>rs12894467</b> | PM      | 14q32  | T                      | 0,371               | 0,489      | 1,62 (1,148-2,86) |
| 4     | mir-4268 | <b>rs4674470</b>  | PM      | 2q35   | T                      | 0,763               | 0,858      | 4,99 (3,19-7,83)  |
| 5     | mir-3188 | <b>rs7247237</b>  | PM      | 19p13  | T                      | 0,309               | 0,414      | 1,57 (1,106-2,52) |
| 6     | mir-4745 | <b>rs10422347</b> | M/PM    | 19p13  | T                      | 0,075               | 0,138      | 1,98 (1,15-3,41)  |
| 7     | mir-5682 | <b>rs9877402</b>  | PM      | 8q22   | G                      | 0,038               | 0,100      | 2,84 (1,15-7,01)  |
| 8     | mir-4752 | <b>rs4112253</b>  | PM      | 19p13  | C                      | 0,635               | 0,727      | 1,53 (1,05-2,24)  |
| 9     | mir-146a | <b>rs2910164</b>  | PM/seed | 5q34   | G                      | 0,750               | 0,824      | 1,56 (1,008-2,41) |

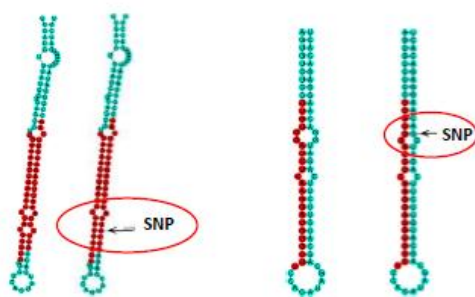
Laburdurak: AM, kontroleen maiztasun txikikoena duen aleloa; OR, Odds Ratio; KT, Konfidantza-tartea; PM: miRNA pre-heldua, M: miRNA heldua; GK: Gune kromosomikoa \*Adierazgarria Bonferroniren zuzenketaren ostean.

Bestalde, maiztasun alelikoen bidezko asoziazio-analisiaren 9 polimorfismok 9 miRNA OS arriskuarekin asoziaturik zeuden ( $p < 0,05$ ) bi populazioak batera. Bai rs2273626 mir-4707 eta rs2910164 mir-146a miRNAtan *seed* gunean kokatuta zeuden. Bederatzi SNP hauek ere OS arriskuarekin asoziaturik topatu genituen maiztasun genotipikoekin bidezko analisiaren (34. Taula).

### **2.3.6 ESPAINIAKO ETA ESLOVENIAKO POPULAZIOAREN MIRNA *IN SILICO* ANALISIA**

Populazioak batera analizatu genuenean rs2910164 SNPa mir-146ak miRNAs eta rs4112253 SNPak mir-4752 miRNAn bigarren mailako miRNA egitura aldatu zuten (29. Irudia).

### mir-146a      mir-4752



**29. irudia** miRNAREN bigarren mailako egitura aldatzen zuten OSREN arriskuarekin asoziatuta zeuden mir-SNPak, miRNAsNP datubasearen iragarpena.

# ***EZTABIDA***



Tesi proiektu honen helburu nagusia OS pediatrikoen arriskuaren markatzaile genetiko berrien bilaketa zen. Horretarako, lehendabizi, literaturan OSren suszeptibilitatearekin asoziazioaturik zeuden markatzaile genetikoak ezartzeko bilaketa bibliografikoa egin genuen. Bilaketa honetan, aztertutako aldaera genetiko guztiak (n=5250 SNP), soilik hiru SNP bi OS arriskuarekin asoziazio sendoa erakusten zutenak (hau da, asoziatu eta balidatutako SNP bakarrak): rs1690916 y rs2279744 *MDM2* genean eta rs231775 *CTLA4* genean. Hori dela eta, emaitza hauek balidatzeko helburua genuen. *MDM2* genearen polimorfismoi dagokiola, ez genuen OS arriskuarekin asoziazio adierazgarriek aurkitu ez asoziazio-analisiaren, ezta populazio guztiekin egindako meta-analisiaren ere. Horrez gain, gure meta-analisi jasotako emaitzak gure helburu bera zuen beste meta-analisi batekin kontraesanean zegoen. Argitaratutako meta-analisi horren berrikuspena egin ondoren, Liu et al-en taldeak (Liu et al., 2014) eta gure taldeak zenbait akats topatu genituen. Bestalde, *CTLA4* genean dagoen rs231775 OS arriskuarekin asoziatuta dago Espainiako populazioan. Beraz, emaitza hauek, rs231775 SNPa *CTLA4* genean OSren suszeptibilitatearen markatzaile genetikoen bakarra izan daitekela adierazten dute. Gene kodetzailen aldaera genetikoen gainean behatutako emaitza eskasak direla eta gene ez kodetzaileen, miRNAak zehazki, aldakortasun genetikoa aztertzea erabaki genuen. Horretarako, alde batetik, miRNA prozesamendu geneak eta bestalde, miRNAetan polimorfismoak aztertu genituen. MiRNA prozesamenduei dagokiela hiru SNP OS arriskuarekin asoziaturik topatu genituen RISC konplexuan konkretuki *CNOT1*, *CNOT4* eta *SND1* genetan. miRNAen aldakortasun genetikoaren azterketa estentsiboan 26 SNP 25 miRNAtan OS arriskuarekin asoziazio adierazgarri izan genituen. Hauen artean, 4 polimorfismo 14q32 miRNA klusterreko 4 miRNAtan kokatuta. Kluster honetako zenbait miRNA *MYC* genea erregulatzen dutela behatu da OSn. Hortaz, 14q32 klusterreko miRNA OSren suszeptibilitatearen *hotspot*-a izan daiteke. Bi populazioak batera aztertu genituenean hiru miRNA berri (mir-146a, mir-4752 eta mir-6128) OSren arriskuarekin asoziaturik topatu genituen. Hortaz, hiru polimorfismo hauek miRNAen populazio orokorraren OSren markatzaile potentzialak izan daitezke.

## 1. MDM2 GENEAREN AZTERKETA

OSren suszeptibilitatearekin asoziaturik zeuden markatzaile genetikoen bilaketa bibliografiko sakona egin ostean, aztertutako aldaera genetiko guztiak (n=5250 SNP), hiru SNP izan ziren emaitzarik garrantzitsuenak (gutxienez bi artikulu baino gehiagotan asoziaturik topatu genituelako). Haietako bi (rs1690916 eta rs2279744) *MDM2* genean.

*MDM2* genea 12q14.3 gune kromosomikoan kokatuta dago eta 37.373 bpko luzera du. *MDM2* geneak E3 ubikitin ligasa nuklearra (*MDM2*) kodetu eta p53 proteina tumore-ezabatzalearen degradazioa erregulatzen du (32). Era berean, *TP53* genea induzitutakoan *MDM2* genearen promotorea trans-aktibatzen du. Sistema horren bitartez, *MDM2* eta *TP53* geneak elkar erregulatzen dira ziklo zelularra edota apoptosis aktibatuz (152). OSren %10 kasuetan *MDM2* amplifikatuta dago (3). Ildo honetatik, zenbait ikerketa lanek gene hau OS arriskuarekin asoziatu dute. Orain arte, 7 polimorfismo deskribatu dira OS arriskuarekin asoziaturik (33-36, 54), hauetatik, bik (rs1690916 y rs2279744) asoziatu eta validatu diren bakarrak dira. rs1690916 SNPa 3'UTR gunean kokatuta dago eta hori dela eta, mRNA egitura eta egonkortasunean aldaketak sor ditzake, mRNA batez besteko bizitza aldatuz (153). Bestalde, rs2279744 Sp1-ak transkribapen faktorearen loturaren afinitatea hobetzen du *MDM2*ren kontzentrazio basala emendatuz (30). Kontzentrazio emendio honek p53ren erantzun apoptotikoa murrizten du eta horrek, tumoreak sortzea dakar (154). Arrazoi hauek direla eta, bi SNP hauek OSren jatorrian parte hartzea logikoa da. Alabaina, gure ikasketan ez genuen OSren arriskuarekin asoziaziorik topatu.

Gure azterketan rs1690916 eta rs2279744 SNPekez ez zuten OSren arriskuarekin asoziaziorik erakutsi, GWA azterketarekin bat (58). Ostera, Toffoli et al., 2009 eta Mirabello et al., 2011-ek rs1690916 eta rs2279744-ren asoziazio hauek baiezta zuztuzten (33, 35). Emaitzen akordio ezak Maren bitartez argitzea erabaki genuen lagin tamaina eta botere estatistikoa emendatuz. Gure MAn, PRISMA (*Preferred Reporting Items for Systematic Reviews and Meta-Analyses*) gidaren argibideak jarraitu genituen kalitatezko azterketa izan zedin: bilaketa bibliografikoaren estrategia aurretik zehatztuz; artikulu hautaketa eta haien datu-erauzketa bi ikertzailek modu independentean eginez; artikulu guztien kalitatea ebaluatuz; datu genotipikoen balio absolutu guztiak edo asoziazio-analisiaren lortutakoak lan honetan azalduz.

rs1690916 SNPrene MAn 4 populazioen 464 OS kasu eta 2048 kontrol erabiliz ez genuen asoziaziorik topatu (OR: 0,89; IC 95%: 0,54-1,45, eredu alelikoa; OR: 0,80; IC 95%: 0,28-2,29, eredu kodominantea; OR: 0,80; IC 95%: 0,40-1,60, eredu errezesiboa; OR: 0,87; IC 95%: 0,44-1,74, eredu dominantea). Alde batetik, maiztasun txikiena zuen aleloa (A) OSren arriskua

areagotzen zuen populazio espainiarrean eta esloveniarrean eta bestalde, alelo bera arriskua murrizten zuen populazio errusieran eta amerikarrean. Emaitza hauek OR kontraesankorra erakusten dute populazioen artean beraz, ezin izan genuen arrisku-tendentzia zehaztu populazio orokorrean.

rs2279744 SNPren MAn 5 populazioen 433 OS kasu eta 1959 kontrol erabiliz, berriro ere, ez genuen asoziaziorik topatu (OR: 1,16; IC 95%: 0,87-1,54, eredu alelikoa; OR: 1,33; IC 95%: 0,74-2,42, eredu kodominantea; OR: 1,27; IC 95%: 0,77-2,10, eredu errezesiboa; OR: 1,22; IC 95%: 0,90-1,66, eredu dominantea). Kasu honetan, maiztasun txikiena duen aleloa (G) OS arriskua areagotzen zuen populazio amerikarrean, australiarrean eta italiarrean eta murrizten zuen populazio espainiarrean eta esloveniarrean, aurreko kasuan bezala ezin izan genuen ondorio argirik lortu.

Tesi-proiektua hasita zegoela, rs1690916 y rs2279744 eta OS arriskua aztertu zuen MA plazaratu zen (151). MA honetan bi polimorfismo hauek OSren arriskuarekin asoziatuta zeudela adierazi zuten, gure emaitzakin kontraesanean.

MA honen emaitzak zalantzan jartzen zituen gutuna argitaratu zuten (155). Artikulu kopuru murritza eta kalitate eskasa, metodoei buruzko informazio falta eta kontrol populazioaren HW orekaren analisi falta adierazi zuten. Hau da, ez zituzten PRISMA gidaren argibideak jarraitu.

Ildo honetan, gure taldeak ere beste akats batzuk topatu zituen Wang et al. MAn. rs1690916 polimorfismoaren kasuan Naumov eta kolaboratzaileen artikulutik kontuan hartutako OS pazienteen populazioan beste hezur-tumoredun pazientzeak zeudela egiaztatu genuen (36). Horrela, hezur tumoreen (OS laginak bakarrik erabili beharrean) laginak erabilita OR balio adierazgarriak lortu zituzten (OR: 0,60; %95KT: 0,46-0,77). rs2279744 SNParen kasuan, maiztasun genotipiko edo/eta alelikoen berririk ez zen ematen, hori dela eta, artikulu orijinaletik datu genotipikoak erauzi behar izan genituen. Artikulu haietatik Ito eta kolaboratzaileen kontrol taldea zehaztea zaila zen. A *priori* kontrol talde gisa erabili zitekeen bakarra tumore onbeeren taldea zen (34). Oro har, susceptibilitate azterketetan kontrol taldeak ezin dute beste gaixotasunik eduki, ezaugarri amankomun hori duten taldeek populazio orokorrarekiko ezaugarri genetiko ezberdinak izan ditzaketelako, hau da, talde horretan gaixotasunari asoziaturiko genotipo aldeko hautespena gerta daiteke (142). Talde honekin asoziazio-analisia egin genuenean ez genuen asoziazio adierazgarriek topatu (OR: 1,16; %95KT: 0,87-1,54, eredu alelikoa), haien MAn jasotako emaitzen kontrara (OR: 1,60; %95KT: 1,23-2,07).

Gure MAn kalitatea hobetu eta ligin kopurua emendatu arren OS populazio berriak beharrezkoak dira oraindik ligin tamaina mugatua delako OSren intzidentzia maiztasun txikia dela eta.

Laburbilduz, bilaketa bibliografikoa egin ondoren, *MDM2* polimorfismoen asoziazio-analisia eta ondorengo MAn arabera, rs1690916 eta rs2279744 ez zuten OSren arriskuan parte hartzen.

## 2. CTLA4 GENEAREN AZTERKETA

OSren arriskuarekin gehien asoziaturiko hirugarren aldaera genetikoa rs231775 *CTLA4* genean izan zen.

*Cytotoxic T-lymphocyte-associated protein 4* genearen (*CTLA4* edo *CD152*), 2q33.2 gune kromosomikoan kokatuta dago eta immunoglobulinen superfamiliaren parte da eta T zelulen gainazalean adierazten da erantzun inmunologikoen aurrean. *CTLA4*-k T zelulen proliferazio eta aktibazioaren erregulazio negatiboa dakar eta seinalea igortzean T zelulen ziklo zelularra gelditu eta zitokinen ekoizpena murritzen du (156). Ondorioz, T zelulen azpi-erantzuna hauen erantzun antitumoralak murritzen du eta hori dela eta, minbizien suszeptibilitatea areagotzen du (37, 38). Zenbait ikerketa lanek *CTLA4* genearen polimorfismoak gakoak izan daitezke zenbait minbizien sorrerarako, hala nola, kolon eta ondesteko minbicia (157), birikietako minbicia (158), umetoki-lepoko minbicia (159) eta urdaileko eta bularreko minbicia (160). Contardi et al. *CTLA4* OS zelula tumoraletan adierazten dela eta zelula hauen apoptosian parte hartzen du beraz, OSren garapenean inplikatuta egon daiteke (161). Izan ere, 3 polimorfismo deskribatu dira OSren arriskuarekin asoziaturik (55, 56, 116, 162, 163) eta haietatik bakarra (rs231775) OSren suszeptibilitatearekin asoziatuta topatu dute bi aldi baino gehiagotan (116, 162). rs231775 SNPa, +49 A/G ere moduan ezagutzen da, genearen lehenengo exoian kokatuta dago. Aldaera hau irakurtarauaren zentzua aldatzen du (ACC>GCC), eta beraz, proteinaren sekuentzia aldatzen du (Thr>Ala), eta hortaz, bere funtzioa alda dezake.

Gure azterketan, AG+GG genotipoak (versus AA) babeseko genotipoa aurkitu genuen populazio espanyiarrean (OR: 0,45, %95KT: 0,24-0,83). Hortaz, AA genotipoa OSren arriskuarekin asoziaturik zegoen. Emaitza hauek, aurretik argitaratutakoekin bat zeuden non AA genotipoak (OR: 2,20, %95KT: 1,23–3,95 eta OR: 2,27, %95KT: 1,21–4,25) OSren arriskua areagotzen zuten.

Hiru populazioak kontuan hartuta emaitza hauek MA bidez baiezttatu genuen non bai AA genotipoak (OR: 2,07, %95KT: 1,48- 2,89) OSren arriskua areagotzen zuten. Gure emaitzekin bat, SNP hau jadanik asoziatu dute birikietako minbiziarekin (158), umetoki-lepoko minbiziarekin (159), Ewing-en sarkomarekin (164), urdaileko eta bularreko minbiziarekin (165) eta kartzinoma hepatozelularrekin (166). Aldaera honen asoziazioak azalpen funtzoanala du jadanik. SNP honen +49A aleloak aminoazido aldaketa dakar (Thr>Ala), eta aldaketa honek

CTLA4 immunoglobulinaren ekoizpena eta eraginortasunaren emendioa eragiten du (40, 167). Hortaz, erantzun antitumorala murriztu daiteke eta OSren suszeptibilitatea areagotu.

Gure emaitzen arabera, rs231775 SNPa OS arriskuarekin asoziatu genuen. Hortaz, *CTLA4* genean gerta daitezken aldaketak garrantzitsuak izan daitezke OS patogenesian eta beraz, *CTLA4* genea OS suszeptibilitatearen markatzailea izan daiteke.

### **3. MIRNAEKIN ERLAZIONATUTAKO GENEEN AZTERKETA**

Gene kandidatuen estrategia erabiliz eta OSren susceptibilitatea aldaera genetikoen bitartez aztertu dituzten artikulu guztiek kontuan hartuta, *CTLA4* genearen rs231775 OSren arriskuaren markatzaile bakarra izan daitekela behatu genuen. Beraz, gene kodetzailetan dauden emaitzen eskasia kontuan hartuta eta azken hamarkadetan, gene ez kodetzaileak hartu duten garrantzia dela eta, OSren arriskuaren markatzaile genetikoak gene hauetan bilatzea erabaki genuen. Hauen artean, miRNAk gehien aztertutakoak dira eta minbizien jatorri eta bilakaeran paper garrantzitsua jokatzen dute. OSn adierazpen aberrantea erakutsi duten miRNAk hezurraren sorreran eta zelulen proliferazioan, migrazioan eta inbasioan parte hartzen duten geneak erregulatzen dituzte. Ondorioz, miRNAen adierazpen mailen aldaketak bai OSren bilakaeran zein jatorrian implikatuta egon daitezke. miRNA adierazpen maila hauek, miRNAk prozesatzen laguntzen duten genetan (miRNA prozesamendu-geneak, hain zuzen ere) aldaketak gertatzeagatik gauzatu daiteke. Izan ere, gene hauetako zenbait aldaera genetiko jadanik zenbait minbiziek asoziatu dituzte. Hori dela eta, gene hauen aldakortasun genetiko guztia aztertzea erabaki genuen.

#### **3.1 MIRNAEN PROZESAMENDU GENEEN SNPEN AZTERKETA**

Hogeitabat miRNA prozesamendu genetan 72 SNP aztertu eta gero, hiru SNP rs11866002, rs3812265 y rs3823994 RISC konplexuko 3 genetan (*CNOT1*, *CNOT4* eta *SND1*) OSren arriskuarekin asoziaturik topatu genituen. Hauetatik, *CNOT1* eta *CNOT4* geneak CCR4-NOT konplexua osatzen duten RISC konplexu barruan (168, 169). Horrez gain, Bonferroniren zuzenketaren ostean, *CNOT1* genean rs11866002 SNPa asoziazio balioa ia adierazgarritasun mailetara heldu zen (P=0,08).

Gure azterketan, rs11866002 polimorfismoaren CC genotipoa OSren arriskuaren murrizketarekin asoziaturik topatu genuen. SNP hau, 22. exoian kokatuta dago eta aldaketa sinonimoa dakar (CAG >CAA, *reverse harizpia*), hau da, ez du aminoazido sekuentzia aldatzen (Gln>Gln), baina bere kokapenagatik moztitsazketaren erregulazioan eragin dezake (F-SNP) (170) eta adierazpen aldaketak sortzen ditu (171). Izan ere, *CNOT1* genearen adierazpena genotipoaren arabera aldatzen dela behatu da HapMap populazio ezberdinietan (172).

rs11866002 polimorfismoaren CC genotipoa haurren leukemia linfoblastiko akutuaren arriskuarekin ere asoziaturik topatu zen (87). Baliteke, rs11866002 SNPa minbiziarekin orokorrean asoziatuta egotea. Bestalde, *CNOT4* genearen rs3812265 SNParen CT+TT genotipoak OSren arriskua areagotzen zuen ( $p=0,025$ ). Hamargarren exoian kokatuta dagoen SNP hau *missense* aldaera da, hau da, nukleotido aldaketa sortzen du (GTA>ATA, *reverse harizpia*) eta proteinaren sekuentzia aldatzen du (Val>Ile) (170), eta ondorioz, bere funtzioan eragin dezake. RISC konplexuaren barnean, CCR4-NOT konplexuak mRNA ituen poli(A) isatsa mozten du (173). Hortaz, *CNOT1* eta *CNOT4* geneak mRNAen deadenilazio prozesu hau alda dezakete, OSren jatorri eta bilakaeran parte hartzen duten geneen adierazpena aldatuz.

Azkenik, *SND1* genearen rs3823994 SNPa TT genotipoaren OS arrisku-murrizketarekin asoziatu genuen. Polimorfismo hau 16. exoian kokatuta dago eta potentzialki mostitzasketaren erregulazioa aldatzen du (F-SNP). RISC konplexuaren barruan, *SND1* geneak nukleasa funtzioa du (174), miRNA editatuen degradazioa erregulatuz (175). Zenbait autoreek gene honetan adierazpen aldaketak somatu dituzte kartzinoma hepatzelularrean (176) eta lehen mailako azaleko melanoma gaitztoan (177). OSren kasuan *SND1* genearen adierazpen aldaketa OSren garapenean inplikatuta dauden miRNA mailak aldatu ditzake. Izan ere, *SND1* gene-isiltzeak miR-17-92 klusterreko miRNA helduen gain-adierazpen eragiten duela behatu da (178). Kluster hau OSn gain-adierazita dago eta OS zelulen proliferazio, inbazio eta migrazioarekin asoziatu da (179).

miRNA prozesamendu-geneen aldakortasun guztia aztertu ostean, RISC konplexuko *CNOT1*, *CNOT4* eta *SND1* geneetako hiru SNPak OSren susceptibilitatearekin asoziaturik topatu genituen. Konplexu hau 15 genek osatzen dute eta miRNAekin batera (miRISC) mRNA ituak degradatzuz zein haien itzulpena inhibitzen dute (180). Zenbait lanek, RISC konplexuko geneen adierazpen aldaketak miRNA ituen isilarazpenean eragiten duela aitortu dute. Esate baterako, *TNRC6A* genearen deplezioak mRNA askoren gain-adierazpen dakar (181). Era berean, konplexu honen geneen adierazpen aldaketak ere miRNAen mailak aldatzen dituzte. Esate baterako, *EIF2C2* genearen adierazpen aldaketak miRNA gain-adierazpenarekin korrelacionatu da mieloma anizkoitzean (182). Hori dela eta, RISC konplexuko zenbait partaideen SNPak haien funtzioan eragin dezakete eta miRNA bidezko mRNA erregulazioa aldatu.

Gerora, miRNA prozesamendu geneen aldakortasun genetikoa Weng Y eta kolaboratzaileen taldeak aztertu zuten *GEMIN4* (complejo RISC), *DROSHA* (complejo DROSHA/DGCR8) eta *DICER1* (complejo DICER) (183). Emaitzen ezberdintasuna alde batetik,

populazioen jatorrian egon daiteke (asiatikoa vs europearra, gure kasuan). Horrez gain, azterketa honetan miRNA prozesu geneen hautaketa egin zen (*AGO1*, *DDX17*, *DDX5*, *DICER1*, *DROSHA*, *GEMIN4*, *RAN*, *SNIP1* eta *XPO5* geneak) eta ez ziren CCR-NOT partaideen generik aztertu. Hala eta guztiz ere, ikerketa-lan honek miRNA prozesamendu geneen implikazioa sendotzen du OS suszeptibilitatean.

Ondorioz, lehenengo aldiz, RISC konplexuaren genetan SNPak (rs11866002 *CNOT1* genean, rs3812265 en *CNOT4* genean eta rs3823994 *SND1* genean), OS suszeptibilitatearekin asoaziaturik topatu genituen bilatu genituen.

### 3.3 MIRNA GENEEN SNPEN AZTERKETA

miRNAen adierazpen aberrantea miRNAetan dauden aldaera genetikoei egotzi dakoike. Aldaketa hauek miRNA mailei zein mRNA ituen loturek eragin ditzakete. miRNA polimorfismoak (mir-SNPak) jadanik minbizien sorrerarekin asoziatu dira. Izan ere, argitaratutako lan guzti hauek bilaketa sistematiko eta meta-analisiak plazaratu dira hala nola, mir-146a miRNAn rs2910164, mir-149 miRNAn rs2292832 eta mir-196a2 miRNAn rs11614913 (107, 108). Hala ere, mir-SNPak minbiziaren garapenean garrantzizkoak izan arren OSn oraindik ez dira sakonki aztertu.

Azterketa honetan, 213 polimorfismo 206 pre-miRNA genetan modu arrakastatsuan analizatu genituen 100 OS kasuan (<34 urte) (74 kasu populazio espanyarrean eta 26 populazio esloveniarrean) eta 256 kontrol. Guztira, 14 SNP 14 pre-miRNAtan OSren arriskuarekin asoziaturik topatu genuen populazio espanyarrean eta 9 SNP 8 pre-miRNAtan populazio esloveniarrean ( $p < 0,05$ ). Bi populazioak batera analizatzerakoan 12 SNP 12 pre-miRNAtan OSren arriskuarekin asoziaturik topatu genituen.

Populazio espanyarrean rs12894467 SNParen TT genotipoa miR-300 miRNAn emaitzik adierazgarriena izan zen ( $OR=2,01$ ). Horrez gain, populazio biak kontuan hartuta ere emaitza adierazgarriak erakutsi zituen ( $OR=1,62$ ). Mir-300 miRNA 14q32 gune kromosomikoan dagoen miRNA klusterrean kokatuta dago. Zehazki OSn, kluster honetako zenbait miRNA (miR-382, miR-134, miR-544 eta miR-369-3p) azpi-adierazita daude, eta hauek modu kooperatiboan *v-myc myelocytomatosis viral oncogene homologue (avian)* (MYC) genea gain-adierazten dute (184). MYC genearen aktibazioak OSren patogenesian paper garrantzitsua jokatzen du hezur-muineko estroman kokatuta dauden zelulen transformazio prozesuan (OS zeluletara) inplikatuta dagoelako (185). Horrez gain, miRNA hauen inplikazioa tumorigenesian Thayanthith eta kolaboratzaleak erakutsi zuten. Izan ere, miRNA hauek blokeatzean osteoblastoen ahalmen proliferatiboa, migratzalea eta inbasiboa areagotzen du.

Gure emaitzak azaldu daitezke T aleloak rs12894467 SNParen mir-300 miRNAREN azpi-adierazpena ekar dezakelako eta honek MYC genearen gain-adierazpena eragin. Horrez gain, gure analisian kluster honetan dauden beste 3 miRNA polimorfiko (mir-4309, mir-656 eta mir-412) ere OSren arriskuarekin asoziaturik topatu genituela. Hortaz, gure emaitzak kontuan hartuta eta miRNAen adierazpen aldaketa OSn behatu direla berrantolaketa genomikoengatik (101) 14q32 guneko miRNA klusterra OSren jatorriaren hotspot-a izan daitekela uste dugu.

rs356125 mir-2278 miRNAn 9q22 gune kromosomikoan kokatuta dago. Polimorfismo honen G aleloak OSren arriskua areagotzen zuen populazio espanyiarrean (OR=9,8). Hala ere, asoziazio hau ezin izan zen balidatu populazio esloveniarrean ezta populazio biekin batera eta hori dela eta, populazio espanyarraren ezaugarria izan daiteke. Mir-2278 *C9orf3*ren gune intronikoan kokatua dago eta M1 zink menpenko aminopeptidasen familiakoa. Gene hau zutiztearen disfuntzioarekin eta obario polikistikoen sindromearekin asoziatuta ikusi da; gaixotasun hauek sexu-hormonen kopuru ezegokia edukitzeagatik gertatzen dira (187, 188). OSren etiologiarengan kausetako bat hormonen aldaketak izan daiteke zenbait autorek aitortu duten moduan (28), hortaz, polimorfismo honen asoziazioa azal dezake.

mir-576-an kokaturik dagoen rs77639117 SNParen T aleloak OS arriskua areagotzen zuen (OR=5,85). Emaitza hauen ildotik, AT/TT genotipoak OSren arriskua emendatzen zuen populazio biak elkartutako analisian (OR=4,83). miRNA honen adierazpena OSn aztertu da emaitza kontraesankorrekin: Won KY et al eta Maire G et al., ez zuten adierazpen aldaketarik somatu (8 kasu baino gutxiago analizatzu) (101, 189), eta Sarver et al-ek aldiz gain-adierazpena topatu zuten 15 OS laginetan (190). Mir-576 miRNAREN itu genetako bat *RB1* gene tumore-ezabatzailea da (Mirwalk-en *in silico* analisia). Gene hau sarrera atalean komentatu dugun moduan OSn garantzi handikoa da, izan ere, OS esporadikoen %35en kasuan inaktibatuta dago mutazio eta heterozigositatearen galerengatik (3). Guzti hau kontuan hartuta, rs77639117-T aleloak mir-576 miRNAREN gain-adierazpena ekar dezake eta hori *RB1* genea azpi-adierazi eta bere inaktibazioa ekar dezake. Beraz, mir-576 miRNA, *RB1* genearen inaktibazioarentzat mekanismo alternatiboa izan daiteke.

Mir-3188 miRNAn dagoen rs7247237 SNPa ere OSren arriskuarekin asoziaturik topatu genuen, 19p13 kokatua. Kasu honetan, TT genotipoak populazio espanyarraren arriskua areagotzen zuen (OR= 3,59). Bi populazioak batera aztertzen ere adierazgarria izan zen (OR=2,35), baina ez populazio esloveniarrean. miRNA honen gene ituak ez dira zehazki ezagutzen, baina interesgarria da *jun D proto-oncogene (JUND)* proto-onkogenearen urgora kokatuta dagoela. Gene honek JUND proteína kodetzen du eta *activator protein 1 (AP1)* transkribapen faktorearen osagaietako bat da. AP1 jarduera transkripzionala inhibitzean OS zelulen ahalmen migratzaile, inbasibo eta metastikoa blokeatzen da saguetan (191).

rs2289030 polimorfismoa mir-492 miRNAn bostgarren polimorfismorik adierazgarriena da eta GG gaixotasunaren babeseko genotipoa izan zen. MiRNA honen gain-adierazpena *PTEN* gene tumore-ezabatzailearen azpi-adierazpena sortzen du gibeleko minbizian (192). Bestalde, OSn egindako bi azterketetan ez zuten adierazpen aldaketarik somatu (101, 189); hala ere,

emaitza hauek kontu handiz hartu behar dira aztertutako lagin kopurua oso baxua zelako ( $\leq 7$  OS lagin). *PTEN* geneak *PTEN* proteína kodetzen du, PI3K bidezidorren aktibazioan parte hartzen duen fosfatasa da eta ziklo zelularren jarraipenean modulatzen du eta ondorioz, zelulen biziraupenean eraginez (193). Zenbait ikerketa lanek *PTEN* azpi-adierazita dago OS pazientetan eta OS lerro zelularretan, mir-128 eta mir-17 miRNAen gain-adierazpena dela eta (149, 194, 195). Horrez gain, OS lerro zelularretan *PTEN* gain-erregulazioa gertatzen da eta honek zelula tumoralen atxikipenean, migrazioan eta inbasioaren ahalmena murrizten du (196). Emaitza hauek kontuan hartuta, rs2289030 SNParen GG genotipoak mir-492ren gain-adierazpena ekar dezake eta miRNA kopuru emendioagatik *PTEN* genearen adierazpena murriztu daiteke. Ildo honetatik, *in silico* analisiak diotenaren arabera, rs2289030-C aleoloak mir-492ren bigarren mailako egitura aldatzen zuen, bere prozesamendua eta azken batean, miRNA mailak aldatuz.

rs10505168 polimorfismoa mir-2053 miRNAa seigarren polimorfismorik adierazgarriena izan zen populazio espanyiarrean, non AG genotipoak OSren arriskua emendatzen zuen (OR=2,02). Hala ere, emaitza hau ez zen populazio esloveniarrean eta biak batera adierazgarria izan. MiRNA honeri ez zaizkio itu generik ezagutzen. Hala ere, gen *CUB and Sushi multiple domains 3 (CSMD3)* gune intronikoan kokatuta dago 8q23 zonaldean. Gene honetako SNPak 8q24 gune kromosomikoan, *MYC* onkogenea dagoen tokian, dauden SNPekin lotuta daude populazio kaukasikoan (197).

Analisi honen zazpigaren emaitzik adierazgarriena rs60871950 polimorfismoa izan zen mir-4467 miRNAa kokatua. Polimorfismo honen AA genotipoak babesia ematen zuen OSn (OR=0,39). Hala ere, asoziazio hau ez zen populazio esloveniarrean ezta batera analizatzerakoan. MiRNA hau glioman gain-adierazita topatu da eta *SF1* genearen erregulazioan parte har dezake (198) eta DNAren konponketa prozesuetan implikatuta dago (199). DNAren konponketaren prozesuan akatsak gertatzen direnenan OSren jatorrian gakoak dira (28), beraz, rs6087195 SNPak mir-4467 miRNAren adierazpen aldaketak ekar ditzake eta beraz *SF1* genea aldatu.

Mir-5196 miRNAa rs10406069 SNPa OSren arriskuarekin ere asoziaturik topatu genuen. miRNA hau *CD22* genearen 12. exoiarekin gainezartzen da genoman. Gene hau gizakien B linfozitoen gainazalean kokatzen den antigenoa kodetzen du (200). Nahiz eta sistema immunologikoak OSn duen papera guztiz argi ez egon (201), sistema honetan parte

hartzen duten beste antigenoetan ere (*CTLA4* genea, kasu) aldakortasun genetikoa OSren suseptibilitatearekin asoziatu dute (55-57).

Beste emaitza interesgarri bat rs702742 mir-378h miRNAn topatutakoa da (p=0,022). Mir-378 a/b/c/d/e/f/h/i-ak ebolutiboki oso kontserbatutako miRNA familia da eta OSren ehun tumoralean gain-adierazita dagoela behatu da (101, 190, 202-204). Horrez gain, miR-378 zelula mesenkimaletatik osteoblastoen ezberdintzapenean parte hartzen du prozesu honetako zenbait gene erregulatzen dituelako (205-207). Alde batetik, You L eta kolaboratzileen taldeak miR-378 miRNA modu ektopikoan gain-adieraziz osteoblastoen mineralizazioa suspertzen duela behatu da *CASP3* genea erregulatuz (mir-378ren itua) (205). Bestalde, Kahai et al-en taldeak miR-378 gain-adierazpena osteoblastoen ezberdintzaren goiztiarra erreprimitzten duela *nefronectin* genea (*NPNT*) gene-isilaratzeagatik, osteogenesiaren induktorea (207). Azkenik, mir-378 ezberdintzaren osteogenikoaren erregulazioan parte hartzen du *bone morphogenetic protein 2* genearen (*BMP2*) bidez. Gene hau hezu eta kartilagoaren eraldaketa sustatzen duen transkripzio-faktorea da (206). BMP2ren maila anormalek anomalia kongenitoak eta hezur, kartilago, muskulu eta gantzera eratortzen diren zelula mesenkimalak implikatuta dauden gaixotasunak sortzen dituzte (208). Gure azterketan, GG genotipoak rs702742 mir-378h miRNAREN gain-adierazpena ekar dezake eta aurretik komentatutako bidezidorren bitartez osteoblastoen jardueran eragin. Ondorioz, rs702742 SNPa mir-378h miRNAn garrantzizkoa izan daiteke osteosarkomagenesian.

mir-4745 dagoen rs10422347 SNPn TT+CT genotipoak miRNAn OSren arriskua emendatu zuen (OR=2,30) ere. Literaturan ez da deskribatu miRNA honetarako itu generik. Hala ere, miRNA hau *polypyrimidine tract binding protein 1* (*PTBP1*) genearen zazpigarren intronetik transkribatzen da eta mostitzazketa prozesuan implikatuta dago (209). Gene hau glioblastoma bezalako minbiziek erlazionatu da (210), non *PTBP1* geneak pirubato kinasa entzimak moztitsasketa aldatzen duen eta honek glukosaren metabolismoa aldatzen du minbizi zeluletan behatzen den Warburg efektua aktibatuz (glikolisi anaerobioa) (211, 212). *In silico* analisien bitartez, polimorfismo honen T aleloak GATA-1 eta GATA-2 transkribapen faktoreen lotura gune berria sortzen du, eta horrela, OSn glukosaren metabolismoan eragin dezake pirubato kinasaren moztitsasketa aldatuz.

Azkenik, rs35770269 SNParekin asoziazio adierazgarria topatu genuen non T aleloak babeseko (OR= 0,64) tendentzia erakutsi zuen. rs35770269 SNPa mir-449c miRNAREN seed gunean kokatuta dago eta SNPa hor egotean bere itu geneen lotura alda dezake. Izan ere, *in*

*silico* analisiek rs35770269-T aleloak (arriskua aregotzen zuena) mir-449c bigarren mailako egitura aldatzen du (<http://bioinfo.life.hust.edu.cn/miRNASNP2/>), haien itu geneen osagarritasuna aldatuz. Mir-449c miRNA kluster kontserbakorrean kokatuta dago eta bere *seed* sekuentziarekin duen homología dela eta mir-34 miRNA familiakidea (213). Mir-34 familia osteosarkomagenesi prozesuetan parte hartzen duela jakina da, bere kide guztiekin osteoblastoen ezberdintzapena sustatzen dutelako hezurraren osaketa prozesuan (105, 214). Orain arte, mir-34ren familiaren mir-SNPen eta OSren arriskuaren aranean asoziazio adierazgarriak topatu dituzte. Zehazki, rs4938723- T, pri-mir-34b/c gune promotorean kokatuta dago eta rs72631823-A, pre-mir-34a miRNAAn kokatua dagoena, OS arriskua emendatzen zuten populazio asiatikoan (109, 110). Azken artikulu honetan, rs72631823-A aleloak mir-34a-ren adierazpenaren murrizten du OS lerro zelularretan c-MET itu genearen lotura aldatuz eta zelulen proliferazio zelularra sustatz. Gaur egun jakina da familia bereko miRNAs itu gene berak erregulatzen dituztela beraz, mir-34 eta mir-499 familiakideak gene berak erregulatzea espero da. Zentzu honetan, rs35770269-T aleloa mir-449 miRNAAn mir-34 miRNAren modu berean joka dezake c-MET genearekin lotura aldatuz.

Populazio esloveniarrean behatu genuen emaitzik interesgarriena mir-5189 miRNAAn kokatuta dauden 2 SNP (rs35613341 eta rs56292801) OSren arriskuarekin asoziaturik topatu genuen. rs35613341 SNPak gainera, Bonferroniren zuzenketa gainditu zuen ( $p=0,0001$ ). Bi SNPetan OS kasuen heterozigotoen jaitsiera nabarmena antzeman genuen. Heterozigositatearen galerak miRNA kokatuta zegoen gunean delezioa egon zitekela adierazten zuen. DGV (*Database of Genomic Variation*) datubasea erabiliz benetan populazio orokorrean maiztasun handian delezioak agertzen diren gunea zela baieztago genuen. Lehenengo aldiz, mir-5189 miRNAko polimorfismoak OSren arriskuarekin asoziaturik aurkitu genuen. Asoziacio hau populazio esloveniarrean bakarrik gertatzen zen eta hori dela eta, populazio horren berezko ezaugarria izan daitekela uste dugu.

mir-3620 miRNAAn kokatuta dagoen rs2070960 SNPa ere OSren suszeptibilitatearekin asoziaturik topatu genuen, kasu honetan TT babeseko genotipoa izanik. Orain arte, ez dira miRNA honen itu geneak zehaztu. Hala eta guztiz ere, miRNA hau *ADP-ribosylation factor 1 (ARF1)* genearen 2. Introian kokatuta dago. Gene hau proliferazio zelularrean paper garrantzitsua jokatzen duen GTPasa kodetzen du (215). ARF1 GTPasak proliferazio honen erregulazio pRB/E2F1 jardueraren bidez kontrolatzen du bularreko minbiziaren lerro zelularrean (216). Beraz, rs2070960 ARF1 genearean adierazpena modulatu dezake eta OSn proliferazio zelularraren prozesuan alterazioak sortuz. Izan ere, *in silico* analisien bitartez T

aleloak CP2 eta P (F-SNP datubasetik) lotura gune berriak sortzen dituela eta horrek genearen adierazpenean eragin dezake.

Populazio esloveniarrean adierazgarria izan zen hurrengo polimorfismoa rs2273626 izan zen, mir-4707 miRNAn kokatuta. Polimorfismo honen AC+CC genotipoak OS arriskua emendatzen zuen (OR=5,01). Orain arte, ez dakizkigu ze gene erregulatzen ditu mir-4707 miRNAk. Hala eta guztiz ere, miRNA hau *HAUS augmin-like complex, subunit 4 (HAUS4)* genearen 5'UTR gunean kokatuta dago. Gene hau zentrosomaren augmina deitzen den konplexuaren azpiunitatea kodetzen du, zentrosomaren multzokatzea gertatzeko beharrezkoa dena. Zehazki, azpiunitate hau ardatz mitotikoan kokatzen da eta hori dela eta, mihitzadura mitotikoan eta zentrosomaren egongortasunean parte hartzen du zatiketa zelularrean (217). OSn, AC+CC genotipoak SNP honetan *HAUS4* genearen adierazpen maila alda dezake OSn zatiketa zelularra aldatuz.

rs9877402 SNPa ere OSren arriskuarekin asoziatu zen. Polimorfismo hau mir-5682 pre-miRNAn kokatuta dago, eta *a priori* miRNA helduaren adierazpena alda dezake. Hala ere, momentuz ez dira bere itu geneak ezagutzen. Mir-5682 *syntaxin binding protein 5-like (STXBP5L)* genearen 4. Introian kokatuta dago eta II. tomosina kodetzen du exozitosian parte hartzen duen mintzarteko proteína kodetzen du (217). MiRNAk besikula edo exosometan zelulatik at garraitzen direla jakina da (218, 219), beraz, tomosinen familialen gertatzen diren alterazioak exosomen bidezko miRNA garraioan eragin dezakete. Ideia hau bultzatuz, OS metastasikoan tomosinen familialen genetan adierazpen aldaketak behatu dira (220) eta honek miRNAen exozitosian eragin dezake. Hori dela eta, rs9877402 SNPa *STXBP5L* generean adierazpena alda dezake exozitosiareneen erregulazioa modifikatuz.

rs4674470 SNPa mir-4268 miRNAn, rs6726779 SNPa mir-4431 miRNAn eta rs243080 SNPa mir-4432 miRNAn ere asoziazio adierazgarriak erakutsi zituzten populazio esloveniarrean. Hala ere, ezin izan genuen asoziazio hau OSrekin duen erlazioa azaldu.

Azkenik, rs3746444 SNPa pre-mir-499an ere OSren arriskuarekin asoziaturik topatu genuen (soilik populazio esloveniarrean). Kasu honetan SNP honen G aleloa arriskuaren murrizpenarekin asoziatu zen (OR=6,71). Rs3746444 literaturan gehien aztertutako polimorfismoa da. Izan ere, minbizi anitzen sorrerarekin asoziatu dute (221-225). Horrez gain, gure emaitzekin bat, bi meta-analistik G aleloa zenbait minbizien sorreraren arriskua murrizten

dute populazio kaukasikoan (226, 227). Hala ere, lehenengo aldia da SNP hau OS arriskuarekin asoziatzen dela. Rs3746444 mir-499-5p-ren pre-miRNA kokatuta eta mir-499-3p-ren *seed* gunean. MiRNA hauen itu gene potentzialak *RECQL* eta *RB1* geneak dira, hurrenez hurren (186). Gene hauek genomaren DNA konponketan eta egonkortasunean inplikatuta daude. Lehen komentatu dugun moduan, *RB1* geneak alterazioak erakusten ditu OS esporadikoen %35ean eta *RECQL* genea ostera, OS izateko arriskua areagotuta duten hiru sindromeren (Síndromes RTS, Werner eta Bloom) jatorriaren erantzulea da. Zehazki populazio esloveniarrean, G aleoaren babesia mir-499 miRNAren gain-adierazpena sor dezake, eta honek erregulatzen dituen geneen adierazpena murriztu dezake. Esan bezala, gene hauen inaktibazioa, hain adierazpena murrizketa dela eta, OSren arriskuan inplikatuta daudela ematen du.

Populazio biak batera aztertzerakoan 12 SNP adierazgarri topatu genituen, haietatik bostek espainiako populazioan ere asoziaturik ikusi genituen, lau SNP populazio esloveniarrean ere asoziaturik eta hiru SNP aurkikuntza berria izan ziren.

Hiru SNP horietan arreta jarri (rs2910164, rs4112253 eta rs67042258), bi populazioetan arrisku tendentzia gehigarria behatu genuen, hau da, nahiz eta asoziazio balio ez adierazgarriak izan populazioak individualki analizatuz, biak arrisku genotipo berak zituzten, beraz, lagin tamainua handituz botere estatistikoa handitu genuen asozio adierazgarriak topatzu. Emaitza hauen arabera hiru polimorfismo hauek populazio mailan OSren suszeptibilitate-markatzaileak izan daitezke.

Hiru SNP hauetatik, emaitzik interesgarriena rs2910164 SNPa mir-146a miRNA topatu genuen non CG+CC genotipoan OR=0,58, babeseko joera behatu genuen, eta hortaz GG genotipoa arriskua adierazten zuen. Polimorfismo hau sarritan aztertu dute eta baita minbizi askorekin asoziatu eta hori dela eta, zenbait meta-analisi plazaratu dira kartzinoma hepatozelularrean (228), eta minbizi gastrikoan (229, 230), asoziazioak topatzu. Polimorfismo hau OSan LV H-en taldeak aztertu zuten asoziaziorik topatu ezinik ( $p=0,1$ ) (110). Emaitza hauek izan arren, haien emaitzak gure emaitzekin bat zetozten (OR=0,69; IC95% = 0,43-1,12;  $p=0,13$  versus OR=0,68; IC95% = 0,42-1,11;  $p=0,11$ ; eredu alelikoa). Rs2910164 SNPa miR-146 miRNAren 3p harizpian kokatuta dago eta Ctik Grako aldaketa sortzen du; miRNAren prozesamenduan alterazioak gauzatzu. Kasu honetan, C aleloa mir-146 ekoizpenaren murrizketa dakar (231), eta horrek itu genekin lotzeko probabilitatea murrizten du. miRNA honen itu genetako bat *TNF receptor associated factor 6 (TRAF6)* genea da, OS lerro zelularren proliferazioa, apoptosis eta inbazio ahalmen erregulatzailea murrizten duela behatu (232).

Ondorioz, rs2910164 polimorfismoa mir-146 miRNAn OS ren patogenesian paper garrantzitsua jokatzen duela postulatzea logikoa da.

Rs4112253 SNPa mir-4752 miRNAn ere emaitza interesgarria topatu genuen. Nahiz eta itu gene ezagunik ez izan, *leukocyte immunoglobulin-like receptor, subfamily A member 6 (LILRA6)* genearen 1. Introian kokatuta dago 19q13.4 gunean. Gene hau leukozitoen hartzaleen gene-klusterreko kidea izanik CNV eta CNA (*copy number alteration* edo alterazioak kopia kopuruan) anitz aurkezten dituen zonaldea da (233). Zehazki OSn, CNAk (anplifikazioak) deskribatu dira gune honetan (234-236).

Azkenik, hirugarren polimorfismo berria mir-6128 miRNAn dagoen rs67042258 SNPa izan zen. Oraindik ez zaio itu generik ezagutzen. Halere, miRNA hau *olfactory receptor, family 9, subfamily G, member 4 (OR9G4)* genearen 5'UTR eskualdetik transkribatzen da. Orain arte, gene honen papera ezjakina da OSn. Alabaina, beste tumoretan *OR9G4* genearen familiaren gain-adierazpena behatu da *OR9G4* (237, 238), prostata minbiziaren proliferazio zelularraren *in vitro* inhibizioa eraginez (239, 240).

OSren suszeptibilitatean pre-miRNA SNPen azterketa hain sakona egiten den lehenengo aldia da. Azterketa honetan, 26 SNP 25 miRNA genetan OSren suszeptibilitatearekin asoziaturik topatu genituen. Gure emaitzik interesgarriena 14q32 miRNA-klusterrean topatutako asoziazioa izan zen. Bertan, 4 SNP 4 miRNAek asoziazio adierazten zuten populazio espanyarrean. miRNA kluster honetako miRNAk *MYC* genea erregulatzen dute OSn. Hori dela eta, OSren suszeptibilitatearen *hotspot*-a izan daiteke. Esloveniako populazioan, 16q24 gune kromosomikoan, lehengo aldiz OSren suszeptibilitatearekin asoziaturik, delezia topatu genuen. Horrez gain, literaturan beste minbiciekin asoziaturiko bi miRNA (mir-499 eta mir-146a) aurkitu genituen. Bi populazioak batera aztertu genituenean botere estatistikoa emendatu genuen eta hiru arrisku-markatzaile berri topatu genituen: mir-146a, mir-4752 eta mir-6128. Emaitza hauen arabera, miRNAk 3 polimorfismo hauek OSren suszeptibilitatearen markatzaile moduan joka dezakete populazio orokorrean.



# **AZKEN HAUSNARKETAK**



## AZKEN HAUSNARKETAK

1. *MDM2* genearen rs1690916 eta rs2279744 polimorfismoak eta OSren suszeptibilitatean duten erlazioa aztertu eta gero, ez genuen haien arteko asoziaziorik aurkitu. Hortaz, bariante hauek ez litzateke OSren suszeptibilitatearen markatzaleak kotsideratu behar.
2. *CTLA4* genearen rs231775 polimorfismoaren kasuan literaturan behatutako emaitzeak baieztatu genituen. Hortaz, *CTLA4* genearen rs231775 polimorfismoa OSren suszeptibilitatearen markatzalea izan daiteke.
3. Gure emaitzek RISC konplexuak minbizian duen garrantzia azpimarratzen dute. Izen ere, hiru aldaera genetiko konplexu honen hiru genetan (rs11866002 genes *CNOT1*, rs3812265 en el gen *CNOT4* y rs3823994 en el gen *SND1*) OSren suszeptibilitatearekin asoziaturik topatu genituen.
4. 14q32 gune kromosomikoa OSren suszeptibilitatearen *hostspot*-a izan daiteke. Gune honetan *MYC* onkogenea erregulatzen duten miRNA klusterrean dauden aldaera genetikoek bere funtzioa alda baitezakete.

Ondorioz, gure emaitzek gune ez kodetzaietako aldaera genetikoak OS pediatrikoaren suszeptibilitatean duten garrantzia azpimarratzen dute.

# **REFERENCIAS**

# **ERREFERENTZIAK**

1. Kent PM, Trafton LW. Clinical presentation of bone tumors in children and young adults. *Curr Probl Cancer*. 2013;37(4):167-71.
2. Fletcher CDM, Unni KK, Mertens F, World Health Organization., International Agency for Research on Cancer. Pathology and genetics of tumours of soft tissue and bone. Lyon: IARC Press; 2002. 427 p. p.
3. Rosenberg AE, Cleton-Jansen AM, de Pinieux G, Deyrup AT, Hauben E, Squire J. The World Health Organization classification of tumors of soft tissue and bone tumors. Fletcher CDM, Hogendoorn PCW, Mertens F, Bridge J, editors2013.
4. Parkin DM, Stiller CA, Nectoux J. International variations in the incidence of childhood bone tumours. *Int J Cancer*. 1993;53(3):371-6.
5. Mirabello L, Pfeiffer R, Murphy G, Daw NC, Patiño-Garcia A, Troisi RJ, et al. Height at diagnosis and birth-weight as risk factors for osteosarcoma. *Cancer Causes Control*. 2011;22(6):899-908.
6. Mirabello L, Troisi RJ, Savage SA. Osteosarcoma incidence and survival rates from 1973 to 2004: data from the Surveillance, Epidemiology, and End Results Program. *Cancer*. 2009;115(7):1531-43.
7. Control UfIC. Review of Cancer Medicines on the WHO List of Essential Medicines-Osteosarcoma. 2014.
8. Geng S, Zhang X, Chen J, Liu X, Zhang H, Xu X, et al. The tumor suppressor role of miR-124 in osteosarcoma. *PLoS One*. 2014;9(6):e91566.
9. Miller I, Kent PM, Finney J. The pathophysiology of primary bone tumors in young adults and children. *Curr Probl Cancer*. 2013;37(4):172-80.
10. Pasic I, Shlien A, Durbin AD, Stavropoulos DJ, Baskin B, Ray PN, et al. Recurrent focal copy-number changes and loss of heterozygosity implicate two noncoding RNAs and one tumor suppressor gene at chromosome 3q13.31 in osteosarcoma. *Cancer Res*. 2010;70(1):160-71.
11. Sugawara M, Kato N, Tsuchiya T, Motoyama T. RUNX2 expression in developing human bones and various bone tumors. *Pathol Int*. 2011;61(10):565-71.
12. Yang J, Yang D, Sun Y, Sun B, Wang G, Trent JC, et al. Genetic amplification of the vascular endothelial growth factor (VEGF) pathway genes, including VEGFA, in human osteosarcoma. *Cancer*. 2011;117(21):4925-38.
13. Yen CC, Chen WM, Chen TH, Chen WY, Chen PC, Chiou HJ, et al. Identification of chromosomal aberrations associated with disease progression and a novel 3q13.31 deletion involving LSAMP gene in osteosarcoma. *Int J Oncol*. 2009;35(4):775-88.
14. Kanamori M, Sano A, Yasuda T, Hori T, Suzuki K. Array-based comparative genomic hybridization for genomic-wide screening of DNA copy number alterations in aggressive bone tumors. *J Exp Clin Cancer Res*. 2012;31:100.
15. Both J, Wu T, Bras J, Schaap GR, Baas F, Hulsebos TJ. Identification of novel candidate oncogenes in chromosome region 17p11.2-p12 in human osteosarcoma. *PLoS One*. 2012;7(1):e30907.
16. Chen X, Bahrami A, Pappo A, Easton J, Dalton J, Hedlund E, et al. Recurrent somatic structural variations contribute to tumorigenesis in pediatric osteosarcoma. *Cell Rep*. 2014;7(1):104-12.
17. Hansen MF. Molecular genetic considerations in osteosarcoma. *Clin Orthop Relat Res*. 1991(270):237-46.
18. .
19. Yang J, Zhang W. New molecular insights into osteosarcoma targeted therapy. *Curr Opin Oncol*. 2013;25(4):398-406.
20. Wei G, Lonardo F, Ueda T, Kim T, Huvos AG, Healey JH, et al. CDK4 gene amplification in osteosarcoma: reciprocal relationship with INK4A gene alterations and mapping of 12q13 amplicons. *Int J Cancer*. 1999;80(2):199-204.

21. Lockwood WW, Stack D, Morris T, Grehan D, O'Keane C, Stewart GL, et al. Cyclin E1 is amplified and overexpressed in osteosarcoma. *J Mol Diagn.* 2011;13(3):289-96.
22. Zhang CZ, Leibowitz ML, Pellman D. Chromothripsis and beyond: rapid genome evolution from complex chromosomal rearrangements. *Genes Dev.* 2013;27(23):2513-30.
23. Reimann E, Köks S, Ho XD, Maasalu K, Märtsönen A. Whole exome sequencing of a single osteosarcoma case-integrative analysis with whole transcriptome RNA-seq data. *Hum Genomics.* 2014;8(1):20.
24. Mohseny AB, Hogendoorn PC. Concise review: mesenchymal tumors: when stem cells go mad. *Stem Cells.* 2011;29(3):397-403.
25. Tang N, Song WX, Luo J, Haydon RC, He TC. Osteosarcoma development and stem cell differentiation. *Clin Orthop Relat Res.* 2008;466(9):2114-30.
26. Visvader JE. Cells of origin in cancer. *Nature.* 2011;469(7330):314-22.
27. Mutsaers AJ, Walkley CR. Cells of origin in osteosarcoma: mesenchymal stem cells or osteoblast committed cells? *Bone.* 2014;62:56-63.
28. Savage SA, Mirabello L. Using epidemiology and genomics to understand osteosarcoma etiology. *Sarcoma.* 2011;2011:548151.
29. Spector LG, Pankratz N, Marcotte EL. Genetic and nongenetic risk factors for childhood cancer. *Pediatr Clin North Am.* 2015;62(1):11-25.
30. Knappskog S, Lønning PE. MDM2 promoter SNP285 and SNP309; phylogeny and impact on cancer risk. *Oncotarget.* 2011;2(3):251-8.
31. Knappskog S, Bjørnslett M, Myklebust LM, Huijts PE, Vreeswijk MP, Edvardsen H, et al. The MDM2 promoter SNP285C/309G haplotype diminishes Sp1 transcription factor binding and reduces risk for breast and ovarian cancer in Caucasians. *Cancer Cell.* 2011;19(2):273-82.
32. Momand J, Wu HH, Dasgupta G. MDM2--master regulator of the p53 tumor suppressor protein. *Gene.* 2000;242(1-2):15-29.
33. Toffoli G, Biason P, Russo A, De Mattia E, Cecchin E, Hattinger CM, et al. Effect of TP53 Arg72Pro and MDM2 SNP309 polymorphisms on the risk of high-grade osteosarcoma development and survival. *Clin Cancer Res.* 2009;15(10):3550-6.
34. Ito M, Barys L, O'Reilly T, Young S, Gorbatcheva B, Monahan J, et al. Comprehensive mapping of p53 pathway alterations reveals an apparent role for both SNP309 and MDM2 amplification in sarcomagenesis. *Clin Cancer Res.* 2011;17(3):416-26.
35. Mirabello L, Yu K, Berndt SI, Burdett L, Wang Z, Chowdhury S, et al. A comprehensive candidate gene approach identifies genetic variation associated with osteosarcoma. *BMC Cancer.* 2011;11:209.
36. Naumov VA, Generozov EV, Solovyov YN, Aliev MD, Kushlinsky NE. Association of FGFR3 and MDM2 gene nucleotide polymorphisms with bone tumors. *Bull Exp Biol Med.* 2012;153(6):869-73.
37. Scalapino KJ, Daikh DI. CTLA-4: a key regulatory point in the control of autoimmune disease. *Immunol Rev.* 2008;223:143-55.
38. Yuan J, Ginsberg B, Page D, Li Y, Rasalan T, Gallardo HF, et al. CTLA-4 blockade increases antigen-specific CD8(+) T cells in prevaccinated patients with melanoma: three cases. *Cancer Immunol Immunother.* 2011;60(8):1137-46.
39. Lutzky J. Checkpoint inhibitors in the treatment of cutaneous malignant melanoma. *Chin Clin Oncol.* 2014;3(3):30.
40. Ligers A, Teleshova N, Masterman T, Huang WX, Hillert J. CTLA-4 gene expression is influenced by promoter and exon 1 polymorphisms. *Genes Immun.* 2001;2(3):145-52.
41. Erfani N, Razmkhah M, Talei AR, Pezeshki AM, Doroudchi M, Monabati A, et al. Cytotoxic T lymphocyte antigen-4 promoter variants in breast cancer. *Cancer Genet Cytogenet.* 2006;165(2):114-20.
42. Hadinia A, Hossieni SV, Erfani N, Saberi-Firozi M, Fattahi MJ, Ghaderi A. CTLA-4 gene promoter and exon 1 polymorphisms in Iranian patients with gastric and colorectal cancers. *J Gastroenterol Hepatol.* 2007;22(12):2283-7.

43. Sun T, Zhou Y, Yang M, Hu Z, Tan W, Han X, et al. Functional genetic variations in cytotoxic T-lymphocyte antigen 4 and susceptibility to multiple types of cancer. *Cancer Res.* 2008;68(17):7025-34.
44. Musselman JR, Bergemann TL, Ross JA, Sklar C, Silverstein KA, Langer EK, et al. Case-parent analysis of variation in pubertal hormone genes and pediatric osteosarcoma: a Children's Oncology Group (COG) study. *Int J Mol Epidemiol Genet.* 2012;3(4):286-93.
45. Savage SA, Woodson K, Walk E, Modi W, Liao J, Douglass C, et al. Analysis of genes critical for growth regulation identifies Insulin-like Growth Factor 2 Receptor variations with possible functional significance as risk factors for osteosarcoma. *Cancer Epidemiol Biomarkers Prev.* 2007;16(8):1667-74.
46. Xu S, Yang S, Sun G, Huang W, Zhang Y. Transforming growth factor-beta polymorphisms and serum level in the development of osteosarcoma. *DNA Cell Biol.* 2014;33(11):802-6.
47. Hu YS, Pan Y, Li WH, Zhang Y, Li J, Ma BA. Int7G24A variant of transforming growth factor-beta receptor 1 is associated with osteosarcoma susceptibility in a Chinese population. *Med Oncol.* 2011;28(2):622-5.
48. He M, Wang Z, Zhao J, Chen Y, Wu Y. COL1A1 polymorphism is associated with risks of osteosarcoma susceptibility and death. *Tumour Biol.* 2014;35(2):1297-305.
49. Ruza E, Sotillo E, Sierrasesúmaga L, Azcona C, Patiño-García A. Analysis of polymorphisms of the vitamin D receptor, estrogen receptor, and collagen Ialpha1 genes and their relationship with height in children with bone cancer. *J Pediatr Hematol Oncol.* 2003;25(10):780-6.
50. Mirabello L, Richards EG, Duong LM, Yu K, Wang Z, Cawthon R, et al. Telomere length and variation in telomere biology genes in individuals with osteosarcoma. *Int J Mol Epidemiol Genet.* 2011;2(1):19-29.
51. Nishijo K, Nakayama T, Aoyama T, Okamoto T, Ishibe T, Yasura K, et al. Mutation analysis of the RECQL4 gene in sporadic osteosarcomas. *Int J Cancer.* 2004;111(3):367-72.
52. Goricar K, Kovac V, Jazbec J, Lamovec J, Dolzan V. HOMOLOGOUS RECOMBINATION REPAIR POLYMORPHISMS AND THE RISK FOR OSTEOSARCOMA. *J Med Biochem.* 2014;33:1-7.
53. Savage SA, Burdett L, Troisi R, Douglass C, Hoover RN, Chanock SJ, et al. Germ-line genetic variation of TP53 in osteosarcoma. *Pediatr Blood Cancer.* 2007;49(1):28-33.
54. He J, Wang J, Wang D, Dai S, Yv T, Chen P, et al. Association analysis between genetic variants of MDM2 gene and osteosarcoma susceptibility in Chinese. *Endocr J.* 2013;60(11):1215-20.
55. He J, Wang J, Wang D, Dai S, Yv T, Chen P, et al. Association between CTLA-4 genetic polymorphisms and susceptibility to osteosarcoma in Chinese Han population. *Endocrine.* 2014;45(2):325-30.
56. Liu Y, He Z, Feng D, Shi G, Gao R, Wu X, et al. Cytotoxic T-lymphocyte antigen-4 polymorphisms and susceptibility to osteosarcoma. *DNA Cell Biol.* 2011;30(12):1051-5.
57. Wang W, Wang J, Song H, Liu J, Song B, Cao X. Cytotoxic T-lymphocyte antigen-4 +49G/A polymorphism is associated with increased risk of osteosarcoma. *Genet Test Mol Biomarkers.* 2011;15(7-8):503-6.
58. Savage SA, Mirabello L, Wang Z, Gastier-Foster JM, Gorlick R, Khanna C, et al. Genome-wide association study identifies two susceptibility loci for osteosarcoma. *Nat Genet.* 2013;45(7):799-803.
59. Skerry TM. The role of glutamate in the regulation of bone mass and architecture. *J Musculoskeletal Neuronal Interact.* 2008;8(2):166-73.
60. Cheetham SW, Gruhl F, Mattick JS, Dinger ME. Long noncoding RNAs and the genetics of cancer. *Br J Cancer.* 2013;108(12):2419-25.

61. McPherson JD, Marra M, Hillier L, Waterston RH, Chinwalla A, Wallis J, et al. A physical map of the human genome. *Nature*. 2001;409(6822):934-41.
62. Consortium IHGS. Finishing the euchromatic sequence of the human genome. *Nature*. 2004;431(7011):931-45.
63. Sana J, Faltejskova P, Svoboda M, Slaby O. Novel classes of non-coding RNAs and cancer. *J Transl Med*. 2012;10:103.
64. Bohnsack MT, Czaplinski K, Gorlich D. Exportin 5 is a RanGTP-dependent dsRNA-binding protein that mediates nuclear export of pre-miRNAs. *RNA*. 2004;10(2):185-91.
65. Kim VN. MicroRNA precursors in motion: exportin-5 mediates their nuclear export. *Trends Cell Biol*. 2004;14(4):156-9.
66. Hutvágner G, McLachlan J, Pasquinelli AE, Bálint E, Tuschl T, Zamore PD. A cellular function for the RNA-interference enzyme Dicer in the maturation of the let-7 small temporal RNA. *Science*. 2001;293(5531):834-8.
67. Ketting RF, Fischer SE, Bernstein E, Sijen T, Hannon GJ, Plasterk RH. Dicer functions in RNA interference and in synthesis of small RNA involved in developmental timing in *C. elegans*. *Genes Dev*. 2001;15(20):2654-9.
68. Merritt WM, Bar-Eli M, Sood AK. The dicey role of Dicer: implications for RNAi therapy. *Cancer Res*. 2010;70(7):2571-4.
69. Song JJ, Liu J, Tolia NH, Schneiderman J, Smith SK, Martienssen RA, et al. The crystal structure of the Argonaute2 PAZ domain reveals an RNA binding motif in RNAi effector complexes. *Nat Struct Biol*. 2003;10(12):1026-32.
70. Inada T, Makino S. Novel roles of the multi-functional CCR4-NOT complex in post-transcriptional regulation. *Front Genet*. 2014;5:135.
71. Li S, Wang L, Fu B, Berman MA, Diallo A, Dorf ME. TRIM65 regulates microRNA activity by ubiquitination of TNRC6. *Proc Natl Acad Sci U S A*. 2014;111(19):6970-5.
72. .
73. Gregory RI, Chendrimada TP, Shiekhattar R. MicroRNA biogenesis: isolation and characterization of the microprocessor complex. *Methods Mol Biol*. 2006;342:33-47.
74. Varol N, Konac E, Gurocak OS, Sozen S. The realm of microRNAs in cancers. *Mol Biol Rep*. 2011;38(2):1079-89.
75. Guo L, Zhao Y, Zhang H, Yang S, Chen F. Integrated evolutionary analysis of human miRNA gene clusters and families implicates evolutionary relationships. *Gene*. 2014;534(1):24-32.
76. Lewis BP, Burge CB, Bartel DP. Conserved seed pairing, often flanked by adenosines, indicates that thousands of human genes are microRNA targets. *Cell*. 2005;120(1):15-20.
77. Friedman RC, Farh KK, Burge CB, Bartel DP. Most mammalian mRNAs are conserved targets of microRNAs. *Genome Res*. 2009;19(1):92-105.
78. Sun G, Yan J, Noltner K, Feng J, Li H, Sarkis DA, et al. SNPs in human miRNA genes affect biogenesis and function. *RNA*. 2009;15(9):1640-51.
79. Mishra PJ, Bertino JR. MicroRNA polymorphisms: the future of pharmacogenomics, molecular epidemiology and individualized medicine. *Pharmacogenomics*. 2009;10(3):399-416.
80. Kumar MS, Lu J, Mercer KL, Golub TR, Jacks T. Impaired microRNA processing enhances cellular transformation and tumorigenesis. *Nat Genet*. 2007;39(5):673-7.
81. Huang JT, Wang J, Srivastava V, Sen S, Liu SM. MicroRNA Machinery Genes as Novel Biomarkers for Cancer. *Front Oncol*. 2014;4:113.
82. Melo SA, Esteller M. Disruption of microRNA nuclear transport in human cancer. *Semin Cancer Biol*. 2014;27C:46-51.
83. Melo SA, Ropero S, Moutinho C, Aaltonen LA, Yamamoto H, Calin GA, et al. A TARBP2 mutation in human cancer impairs microRNA processing and DICER1 function. *Nat Genet*. 2009;41(3):365-70.

84. Iliou MS, da Silva-Diz V, Carmona FJ, Ramalho-Carvalho J, Heyn H, Villanueva A, et al. Impaired DICER1 function promotes stemness and metastasis in colon cancer. *Oncogene*. 2013.
85. Wu S, Yu W, Qu X, Wang R, Xu J, Zhang Q, et al. Argonaute 2 promotes myeloma angiogenesis via microRNA dysregulation. *J Hematol Oncol*. 2014;7(1):40.
86. Rotunno M, Zhao Y, Bergen AW, Koshiol J, Burdette L, Rubagotti M, et al. Inherited polymorphisms in the RNA-mediated interference machinery affect microRNA expression and lung cancer survival. *Br J Cancer*. 2010;103(12):1870-4.
87. Gutierrez-Camino A, Lopez-Lopez E, Martin-Guerrero I, Piñan MA, Garcia-Miguel P, Sanchez-Toledo J, et al. Noncoding RNA-related polymorphisms in pediatric acute lymphoblastic leukemia susceptibility. *Pediatr Res*. 2014;75(6):767-73.
88. Liu S, An J, Lin J, Liu Y, Bao L, Zhang W, et al. Single nucleotide polymorphisms of microRNA processing machinery genes and outcome of hepatocellular carcinoma. *PLoS One*. 2014;9(3):e92791.
89. .
90. Kim JS, Choi YY, Jin G, Kang HG, Choi JE, Jeon HS, et al. Association of a common AGO1 variant with lung cancer risk: a two-stage case-control study. *Mol Carcinog*. 2010;49(10):913-21.
91. Jiang Y, Chen J, Wu J, Hu Z, Qin Z, Liu X, et al. Evaluation of genetic variants in microRNA biosynthesis genes and risk of breast cancer in Chinese women. *Int J Cancer*. 2013;133(9):2216-24.
92. . !!! INVALID CITATION !!!
93. Yang H, Dinney CP, Ye Y, Zhu Y, Grossman HB, Wu X. Evaluation of genetic variants in microRNA-related genes and risk of bladder cancer. *Cancer Res*. 2008;68(7):2530-7.
94. Horikawa Y, Wood CG, Yang H, Zhao H, Ye Y, Gu J, et al. Single nucleotide polymorphisms of microRNA machinery genes modify the risk of renal cell carcinoma. *Clin Cancer Res*. 2008;14(23):7956-62.
95. Liu J, Wei M, He Y, Liao B, Liao G, Li H, et al. Genetic variants in the microRNA machinery gene GEMIN4 are associated with risk of prostate cancer: a case-control study of the Chinese Han population. *DNA Cell Biol*. 2012;31(7):1296-302.
96. Liang D, Meyer L, Chang DW, Lin J, Pu X, Ye Y, et al. Genetic variants in MicroRNA biosynthesis pathways and binding sites modify ovarian cancer risk, survival, and treatment response. *Cancer Res*. 2010;70(23):9765-76.
97. Palanichamy JK, Rao DS. miRNA dysregulation in cancer: towards a mechanistic understanding. *Front Genet*. 2014;5:54.
98. Di Leva G, Garofalo M, Croce CM. MicroRNAs in cancer. *Annu Rev Pathol*. 2014;9:287-314.
99. Kong YW, Ferland-McCollough D, Jackson TJ, Bushell M. microRNAs in cancer management. *Lancet Oncol*. 2012;13(6):e249-58.
100. Law PT, Wong N. Emerging roles of microRNA in the intracellular signaling networks of hepatocellular carcinoma. *J Gastroenterol Hepatol*. 2011;26(3):437-49.
101. Maire G, Martin JW, Yoshimoto M, Chilton-MacNeill S, Zielenska M, Squire JA. Analysis of miRNA-gene expression-genomic profiles reveals complex mechanisms of microRNA deregulation in osteosarcoma. *Cancer Genet*. 2011;204(3):138-46.
102. Jones KB, Salah Z, Del Mare S, Galasso M, Gaudio E, Nuovo GJ, et al. miRNA signatures associate with pathogenesis and progression of osteosarcoma. *Cancer Res*. 2012;72(7):1865-77.
103. Kobayashi E, Hornicek FJ, Duan Z. MicroRNA Involvement in Osteosarcoma. *Sarcoma*. 2012;2012:359739.
104. van Wijnen AJ, van de Peppel J, van Leeuwen JP, Lian JB, Stein GS, Westendorf JJ, et al. MicroRNA functions in osteogenesis and dysfunctions in osteoporosis. *Curr Osteoporos Rep*. 2013;11(2):72-82.

105. Bae Y, Yang T, Zeng HC, Campeau PM, Chen Y, Bertin T, et al. miRNA-34c regulates Notch signaling during bone development. *Hum Mol Genet*. 2012;21(13):2991-3000.
106. Kelly AD, Haibe-Kains B, Janeway KA, Hill KE, Howe E, Goldsmith J, et al. MicroRNA paraffin-based studies in osteosarcoma reveal reproducible independent prognostic profiles at 14q32. *Genome Med*. 2013;5(1):2.
107. Xia L, Ren Y, Fang X, Yin Z, Li X, Wu W, et al. Prognostic role of common microRNA polymorphisms in cancers: evidence from a meta-analysis. *PLoS One*. 2014;9(10):e106799.
108. Srivastava K, Srivastava A. Comprehensive review of genetic association studies and meta-analyses on miRNA polymorphisms and cancer risk. *PLoS One*. 2012;7(11):e50966.
109. Tian Q, Jia J, Ling S, Liu Y, Yang S, Shao Z. A causal role for circulating miR-34b in osteosarcoma. *Eur J Surg Oncol*. 2014;40(1):67-72.
110. Lv H, Pei J, Liu H, Wang H, Liu J. A polymorphism site in the pre-miR-34a coding region reduces miR-34a expression and promotes osteosarcoma cell proliferation and migration. *Mol Med Rep*. 2014;10(6):2912-6.
111. Gu F, Pfeiffer RM, Bhattacharjee S, Han SS, Taylor PR, Berndt S, et al. Common genetic variants in the 9p21 region and their associations with multiple tumours. *Br J Cancer*. 2013;108(6):1378-86.
112. He ML, Wu Y, Zhao JM, Wang Z, Chen YB. PIK3CA and AKT gene polymorphisms in susceptibility to osteosarcoma in a Chinese population. *Asian Pac J Cancer Prev*. 2013;14(9):5117-22.
113. Zhao J, Xu H, He M, Wang Z, Wu Y. Rho GTPase-activating protein 35 rs1052667 polymorphism and osteosarcoma risk and prognosis. *Biomed Res Int*. 2014;2014:396947.
114. Mirabello L, Berndt SI, Seratti GF, Burdett L, Yeager M, Chowdhury S, et al. Genetic variation at chromosome 8q24 in osteosarcoma cases and controls. *Carcinogenesis*. 2010;31(8):1400-4.
115. Wang W, Song H, Liu J, Song B, Cao X. CD86 + 1057G/A polymorphism and susceptibility to osteosarcoma. *DNA Cell Biol*. 2011;30(11):925-9.
116. Liu S, Geng P, Cai X, Wang J. Comprehensive evaluation of the cytotoxic T-lymphocyte antigen-4 gene polymorphisms in risk of bone sarcoma. *Genet Test Mol Biomarkers*. 2014;18(8):574-9.
117. Biason P, Hattinger CM, Innocenti F, Talamini R, Alberghini M, Scotlandi K, et al. Nucleotide excision repair gene variants and association with survival in osteosarcoma patients treated with neoadjuvant chemotherapy. *Pharmacogenomics J*. 2012;12(6):476-83.
118. Koshkina NV, Kleinerman ES, Li G, Zhao CC, Wei Q, Sturgis EM. Exploratory analysis of Fas gene polymorphisms in pediatric osteosarcoma patients. *J Pediatr Hematol Oncol*. 2007;29(12):815-21.
119. Jiang C, Chen H, Shao L, Dong Y. GRM4 gene polymorphism is associated with susceptibility and prognosis of osteosarcoma in a Chinese Han population. *Med Oncol*. 2014;31(7):50.
120. Lu XF, Yang WL, Wan ZH, Li J, Bi ZG. Glutathione S-transferase polymorphisms and bone tumor risk in China. *Asian Pac J Cancer Prev*. 2011;12(12):3357-60.
121. Oliveira ID, Petrilli AS, Tavela MH, Zago MA, de Toledo SR. TNF-alpha, TNF-beta, IL-6, IL-10, PECAM-1 and the MPO inflammatory gene polymorphisms in osteosarcoma. *J Pediatr Hematol Oncol*. 2007;29(5):293-7.
122. Wang J, Nong L, Wei Y, Qin S, Zhou Y, Tang Y. Association of interleukin-12 polymorphisms and serum IL-12p40 levels with osteosarcoma risk. *DNA Cell Biol*. 2013;32(10):605-10.
123. He Y, Liang X, Meng C, Shao Z, Gao Y, Wu Q, et al. Genetic polymorphisms of interleukin-1 beta and osteosarcoma risk. *Int Orthop*. 2014;38(8):1671-6.
124. Tang YJ, Wang JL, Nong LG, Lan CG, Zha ZG, Liao PH. Associations of IL-27 polymorphisms and serum IL-27p28 levels with osteosarcoma risk. *Medicine (Baltimore)*. 2014;93(10):e56.

125. Yang W, He M, Zhao J, Wang Z. Association of ITGA3 gene polymorphisms with susceptibility and clinicopathological characteristics of osteosarcoma. *Med Oncol*. 2014;31(2):826.
126. Liu Y, Lv B, He Z, Zhou Y, Han C, Shi G, et al. Lysyl oxidase polymorphisms and susceptibility to osteosarcoma. *PLoS One*. 2012;7(7):e41610.
127. Ozger H, Kilicoglu O, Yilmaz H, Ergen HA, Yaylim I, Zeybek U, et al. Methylenetetrahydrofolate reductase C677T gene polymorphism in osteosarcoma and chondrosarcoma patients. *Folia Biol (Praha)*. 2008;54(2):53-7.
128. Ergen A, Kilicoglu O, Ozger H, Agachan B, Isbir T. Paraoxonase 1 192 and 55 polymorphisms in osteosarcoma. *Mol Biol Rep*. 2011;38(6):4181-4.
129. Hu YS, Pan Y, Li WH, Zhang Y, Li J, Ma BA. Association between TGFB1\*6A and osteosarcoma: a Chinese case-control study. *BMC Cancer*. 2010;10:169.
130. Patio-Garcia A, Sotillo-Pieiro E, Modesto C, Sierrases-Maga L. Analysis of the human tumour necrosis factor-alpha (TNFalpha) gene promoter polymorphisms in children with bone cancer. *J Med Genet*. 2000;37(10):789-92.
131. Wang Z, Wen P, Luo X, Fang X, Wang Q, Ma F, et al. Association of the vascular endothelial growth factor (VEGF) gene single-nucleotide polymorphisms with osteosarcoma susceptibility in a Chinese population. *Tumour Biol*. 2014;35(4):3605-10.
132. Guo J, Jin M, Zhang M, Chen K. A genetic variant in miR-196a2 increased digestive system cancer risks: a meta-analysis of 15 case-control studies. *PLoS One*. 2012;7(1):e30585.
133. Li K, Tie H, Hu N, Chen H, Yin X, Peng C, et al. Association of two polymorphisms rs2910164 in miRNA-146a and rs3746444 in miRNA-499 with rheumatoid arthritis: a meta-analysis. *Hum Immunol*. 2014;75(7):602-8.
134. MANTEL N, HAENSZEL W. Statistical aspects of the analysis of data from retrospective studies of disease. *J Natl Cancer Inst*. 1959;22(4):719-48.
135. Dickersin K, Min YI. Publication bias: the problem that won't go away. *Ann N Y Acad Sci*. 1993;703:135-46; discussion 46-8.
136. Easterbrook PJ, Berlin JA, Gopalan R, Matthews DR. Publication bias in clinical research. *Lancet*. 1991;337(8746):867-72.
137. Simes RJ. Confronting publication bias: a cohort design for meta-analysis. *Stat Med*. 1987;6(1):11-29.
138. Egger M, Smith GD. Misleading meta-analysis. *BMJ*. 1995;310(6982):752-4.
139. Breving K, Esquela-Kerscher A. The complexities of microRNA regulation: mirandering around the rules. *Int J Biochem Cell Biol*. 2010;42(8):1316-29.
140. Livak KJ. Allelic discrimination using fluorogenic probes and the 5' nuclease assay. *Genet Anal*. 1999;14(5-6):143-9.
141. Slaby O, Bienertova-Vasku J, Svoboda M, Vyzula R. Genetic polymorphisms and microRNAs: new direction in molecular epidemiology of solid cancer. *J Cell Mol Med*. 2012;16(1):8-21.
142. Iniesta R, Guinó E, Moreno V. [Statistical analysis of genetic polymorphisms in epidemiological studies]. *Gac Sanit*. 2005;19(4):333-41.
143. Rice TK, Schork NJ, Rao DC. *Genetic Dissection of Complex Traits*. 2 ed: Academic Press; 2008.
144. Sambrook J RD. Molecular cloning: A laboratory manual. 3 ed. USA: CSHL Press; 2001. 4–12 p.
145. Clague J, Lippman SM, Yang H, Hildebrandt MA, Ye Y, Lee JJ, et al. Genetic variation in MicroRNA genes and risk of oral premalignant lesions. *Mol Carcinog*. 2010;49(2):183-9.
146. Lee HC, Kim JG, Chae YS, Sohn SK, Kang BW, Moon JH, et al. Prognostic impact of microRNA-related gene polymorphisms on survival of patients with colorectal cancer. *J Cancer Res Clin Oncol*. 2010;136(7):1073-8.

147. Wilker EH, Baccarelli A, Suh H, Vokonas P, Wright RO, Schwartz J. Black carbon exposures, blood pressure, and interactions with single nucleotide polymorphisms in MicroRNA processing genes. *Environ Health Perspect.* 2010;118(7):943-8.
148. Ye Y, Wang KK, Gu J, Yang H, Lin J, Ajani JA, et al. Genetic variations in microRNA-related genes are novel susceptibility loci for esophageal cancer risk. *Cancer Prev Res (Phila).* 2008;1(6):460-9.
149. Tian Z, Guo B, Yu M, Wang C, Zhang H, Liang Q, et al. Upregulation of micro-ribonucleic acid-128 cooperating with downregulation of PTEN confers metastatic potential and unfavorable prognosis in patients with primary osteosarcoma. *Onco Targets Ther.* 2014;7:1601-8.
150. Zhang X, Yang H, Lee JJ, Kim E, Lippman SM, Khuri FR, et al. MicroRNA-related genetic variations as predictors for risk of second primary tumor and/or recurrence in patients with early-stage head and neck cancer. *Carcinogenesis.* 2010;31(12):2118-23.
151. Wang L, Liu Z, Jing P, Shao L, Chen L, He X, et al. Effects of murine double minute 2 polymorphisms on the risk and survival of osteosarcoma: a systemic review and meta-analysis. *Tumour Biol.* 2013.
152. Bohlman S, Manfredi JJ. p53-independent effects of Mdm2. *Subcell Biochem.* 2014;85:235-46.
153. Ramírez-Bello J, Vargas-Alarcón G, Tovilla-Zárate C, Fragoso JM. [Single nucleotide polymorphisms (SNPs): functional implications of regulatory-SNP (rSNP) and structural RNA (srSNPs) in complex diseases]. *Gac Med Mex.* 2013;149(2):220-8.
154. Vucic D, Dixit VM, Wertz IE. Ubiquitylation in apoptosis: a post-translational modification at the edge of life and death. *Nat Rev Mol Cell Biol.* 2011;12(7):439-52.
155. Liu G, Xu W, Hao Y, Xu Z. Letter regarding Wang et al. entitled "Effects of murine double minute 2 polymorphisms on the risk and survival of osteosarcoma: a systemic review and meta-analysis". *Tumour Biol.* 2014;35(4):3943-4.
156. Teft WA, Kirchhof MG, Madrenas J. A molecular perspective of CTLA-4 function. *Annu Rev Immunol.* 2006;24:65-97.
157. Wang L, Jing F, Su D, Zhang T, Yang B, Jiao S, et al. Association between CTLA-4 rs231775 polymorphism and risk of colorectal cancer: a meta analysis. *Int J Clin Exp Med.* 2015;8(1):650-7.
158. Antczak A, Pastuszak-Lewandoska D, Górski P, Domańska D, Migdalska-Sęk M, Czarnecka K, et al. Ctla-4 expression and polymorphisms in lung tissue of patients with diagnosed non-small-cell lung cancer. *Biomed Res Int.* 2013;2013:576486.
159. Gokhale P, Kerkar S, Tongaonkar H, Salvi V, Mania-Pramanik J. CTLA-4 gene polymorphism at position +49 A>G in exon 1: a risk factor for cervical cancer in Indian women. *Cancer Genet.* 2013;206(5):154-61.
160. Yan Q, Chen P, Lu A, Zhao P, Gu A. Association between CTLA-4 60G/A and -1661A/G polymorphisms and the risk of cancers: a meta-analysis. *PLoS One.* 2013;8(12):e83710.
161. Contardi E, Palmisano GL, Tazzari PL, Martelli AM, Falà F, Fabbi M, et al. CTLA-4 is constitutively expressed on tumor cells and can trigger apoptosis upon ligand interaction. *Int J Cancer.* 2005;117(4):538-50.
162. Liu J, Wang J, Jiang W, Tang Y. Effect of cytotoxic T-lymphocyte antigen-4, TNF-alpha polymorphisms on osteosarcoma: evidences from a meta-analysis. *Chin J Cancer Res.* 2013;25(6):671-8.
163. Chang Z, Song R, Xu S, Xu M, Yu X. CD 152 gene polymorphisms and risk of osteosarcoma in Chinese population. *Tumour Biol.* 2014;35(7):6809-14.
164. Feng D, Yang X, Li S, Liu T, Wu Z, Song Y, et al. Cytotoxic T-lymphocyte antigen-4 genetic variants and risk of Ewing's sarcoma. *Genet Test Mol Biomarkers.* 2013;17(6):458-63.
165. Yang S, Wang C, Zhou Y, Sun G, Zhu D, Gao S. Cytotoxic T-lymphocyte antigen-4 polymorphisms and susceptibility to Ewing's sarcoma. *Genet Test Mol Biomarkers.* 2012;16(10):1236-40.

166. Hu L, Liu J, Chen X, Zhang Y, Liu L, Zhu J, et al. CTLA-4 gene polymorphism +49 A/G contributes to genetic susceptibility to two infection-related cancers-hepatocellular carcinoma and cervical cancer. *Hum Immunol.* 2010;71(9):888-91.
167. Bouqbis L, Izaabel H, Akhayat O, Pérez-Lezaun A, Calafell F, Bertranpetti J, et al. Association of the CTLA4 promoter region (-1661G allele) with type 1 diabetes in the South Moroccan population. *Genes Immun.* 2003;4(2):132-7.
168. Petit AP, Wohlbold L, Bawankar P, Huntzinger E, Schmidt S, Izaurralde E, et al. The structural basis for the interaction between the CAF1 nuclease and the NOT1 scaffold of the human CCR4-NOT deadenylase complex. *Nucleic Acids Res.* 2012;40(21):11058-72.
169. Lau NC, Kolkman A, van Schaik FM, Mulder KW, Pijnappel WW, Heck AJ, et al. Human Ccr4-Not complexes contain variable deadenylase subunits. *Biochem J.* 2009;422(3):443-53.
170. Lee PH, Shatkay H. F-SNP: computationally predicted functional SNPs for disease association studies. *Nucleic Acids Res.* 2008;36(Database issue):D820-4.
171. Edwards NC, Hing ZA, Perry A, Blaisdell A, Kopelman DB, Fathke R, et al. Characterization of coding synonymous and non-synonymous variants in ADAMTS13 using ex vivo and in silico approaches. *PLoS One.* 2012;7(6):e38864.
172. Yang TP, Beazley C, Montgomery SB, Dimas AS, Gutierrez-Arcelus M, Stranger BE, et al. Genevar: a database and Java application for the analysis and visualization of SNP-gene associations in eQTL studies. *Bioinformatics.* 2010;26(19):2474-6.
173. Piao X, Zhang X, Wu L, Belasco JG. CCR4-NOT deadenylates mRNA associated with RNA-induced silencing complexes in human cells. *Mol Cell Biol.* 2010;30(6):1486-94.
174. Caudy AA, Ketting RF, Hammond SM, Denli AM, Bathoorn AM, Tops BB, et al. A micrococcal nuclease homologue in RNAi effector complexes. *Nature.* 2003;425(6956):411-4.
175. Li S, Lian SL, Moser JJ, Fritzler ML, Fritzler MJ, Satoh M, et al. Identification of GW182 and its novel isoform TNGW1 as translational repressors in Ago2-mediated silencing. *J Cell Sci.* 2008;121(Pt 24):4134-44.
176. Yoo BK, Santhekadur PK, Gredler R, Chen D, Emdad L, Bhutia S, et al. Increased RNA-induced silencing complex (RISC) activity contributes to hepatocellular carcinoma. *Hepatology.* 2011;53(5):1538-48.
177. Sand M, Skrygan M, Georgas D, Sand D, Gambichler T, Altmeyer P, et al. The miRNA machinery in primary cutaneous malignant melanoma, cutaneous malignant melanoma metastases and benign melanocytic nevi. *Cell Tissue Res.* 2012;350(1):119-26.
178. Heinrich EM, Wagner J, Krüger M, John D, Uchida S, Weigand JE, et al. Regulation of miR-17-92a cluster processing by the microRNA binding protein SND1. *FEBS Lett.* 2013;587(15):2405-11.
179. Li X, Yang H, Tian Q, Liu Y, Weng Y. Upregulation of microRNA-17-92 cluster associates with tumor progression and prognosis in osteosarcoma. *Neoplasma.* 2014;61(4):453-60.
180. Wilczynska A, Bushell M. The complexity of miRNA-mediated repression. *Cell Death Differ.* 2015;22(1):22-33.
181. Eulalio A, Helms S, Fritzsch C, Fauser M, Izaurralde E. A C-terminal silencing domain in GW182 is essential for miRNA function. *RNA.* 2009;15(6):1067-77.
182. Zhou Y, Chen L, Barlogie B, Stephens O, Wu X, Williams DR, et al. High-risk myeloma is associated with global elevation of miRNAs and overexpression of EIF2C2/AGO2. *Proc Natl Acad Sci U S A.* 2010;107(17):7904-9.
183. Weng Y, Chen Y, Chen J, Liu Y, Bao T. Common genetic variants in microRNA processing machinery genes are associated with risk and survival in patients with osteosarcoma. *Mol Genet Genomics.* 2015.
184. Thayanithy V, Sarver AL, Kartha RV, Li L, Angstadt AY, Breen M, et al. Perturbation of 14q32 miRNAs-cMYC gene network in osteosarcoma. *Bone.* 2012;50(1):171-81.
185. Shimizu T, Ishikawa T, Sugihara E, Kuninaka S, Miyamoto T, Mabuchi Y, et al. c-MYC overexpression with loss of Ink4a/Arf transforms bone marrow stromal cells into osteosarcoma accompanied by loss of adipogenesis. *Oncogene.* 2010;29(42):5687-99.

186. Dweep H, Sticht C, Pandey P, Gretz N. miRWALK--database: prediction of possible miRNA binding sites by "walking" the genes of three genomes. *J Biomed Inform.* 2011;44(5):839-47.
187. Kerns SL, Ostrer H, Stock R, Li W, Moore J, Pearlman A, et al. Genome-wide association study to identify single nucleotide polymorphisms (SNPs) associated with the development of erectile dysfunction in African-American men after radiotherapy for prostate cancer. *Int J Radiat Oncol Biol Phys.* 2010;78(5):1292-300.
188. Shi Y, Zhao H, Cao Y, Yang D, Li Z, Zhang B, et al. Genome-wide association study identifies eight new risk loci for polycystic ovary syndrome. *Nat Genet.* 2012;44(9):1020-5.
189. Won KY, Kim YW, Kim HS, Lee SK, Jung WW, Park YK. MicroRNA-199b-5p is involved in the Notch signaling pathway in osteosarcoma. *Hum Pathol.* 2013;44(8):1648-55.
190. Sarver AL, Phalak R, Thayanthi V, Subramanian S. S-MED: sarcoma microRNA expression database. *Lab Invest.* 2010;90(5):753-61.
191. Leaner VD, Chick JF, Donninger H, Linniola I, Mendoza A, Khanna C, et al. Inhibition of AP-1 transcriptional activity blocks the migration, invasion, and experimental metastasis of murine osteosarcoma. *Am J Pathol.* 2009;174(1):265-75.
192. Jiang J, Zhang Y, Yu C, Li Z, Pan Y, Sun C. MicroRNA-492 expression promotes the progression of hepatic cancer by targeting PTEN. *Cancer Cell Int.* 2014;14(1):95.
193. Chalhoub N, Baker SJ. PTEN and the PI3-kinase pathway in cancer. *Annu Rev Pathol.* 2009;4:127-50.
194. Shen L, Chen XD, Zhang YH. MicroRNA-128 promotes proliferation in osteosarcoma cells by downregulating PTEN. *Tumour Biol.* 2014;35(3):2069-74.
195. Gao Y, Luo LH, Li S, Yang C. miR-17 inhibitor suppressed osteosarcoma tumor growth and metastasis via increasing PTEN expression. *Biochem Biophys Res Commun.* 2014;444(2):230-4.
196. Hu Y, Xu S, Jin W, Yi Q, Wei W. Effect of the PTEN gene on adhesion, invasion and metastasis of osteosarcoma cells. *Oncol Rep.* 2014;32(4):1741-7.
197. Beuten J, Gelfond JA, Martinez-Fierro ML, Weldon KS, Crandall AC, Rojas-Martinez A, et al. Association of chromosome 8q variants with prostate cancer risk in Caucasian and Hispanic men. *Carcinogenesis.* 2009;30(8):1372-9.
198. Shou J, Gu S, Gu W. Identification of dysregulated miRNAs and their regulatory signature in glioma patients using the partial least squares method. *Exp Ther Med.* 2015;9(1):167-71.
199. Fairman-Williams ME, Guenther UP, Jankowsky E. SF1 and SF2 helicases: family matters. *Curr Opin Struct Biol.* 2010;20(3):313-24.
200. Tedder TF, Tuscano J, Sato S, Kehrl JH. CD22, a B lymphocyte-specific adhesion molecule that regulates antigen receptor signaling. *Annu Rev Immunol.* 1997;15:481-504.
201. Markiewicz K, Zeman K, Kozar A, Gołębierska-Wawrzyniak M, Woźniak W. [Evaluation of selected parameters of cellular immunity in children with osteosarcoma at diagnosis]. *Med Wieku Rozwoj.* 2012;16(3):212-21.
202. Zhao H, Li M, Li L, Yang X, Lan G, Zhang Y. MiR-133b is down-regulated in human osteosarcoma and inhibits osteosarcoma cells proliferation, migration and invasion, and promotes apoptosis. *PLoS One.* 2013;8(12):e83571.
203. Novello C, Pazzaglia L, Cingolani C, Conti A, Quattrini I, Manara MC, et al. miRNA expression profile in human osteosarcoma: role of miR-1 and miR-133b in proliferation and cell cycle control. *Int J Oncol.* 2013;42(2):667-75.
204. Fountzilas E, Kelly AD, Perez-Atayde AR, Goldsmith J, Konstantinopoulos PA, Francoeur N, et al. A microRNA activity map of human mesenchymal tumors: connections to oncogenic pathways; an integrative transcriptomic study. *BMC Genomics.* 2012;13:332.
205. You L, Gu W, Chen L, Pan L, Chen J, Peng Y. MiR-378 overexpression attenuates high glucose-suppressed osteogenic differentiation through targeting CASP3 and activating PI3K/Akt signaling pathway. *Int J Clin Exp Pathol.* 2014;7(10):7249-61.

206. Hupkes M, Sotoca AM, Hendriks JM, van Zoelen EJ, Dechering KJ. MicroRNA miR-378 promotes BMP2-induced osteogenic differentiation of mesenchymal progenitor cells. *BMC Mol Biol.* 2014;15:1.
207. Kahai S, Lee SC, Lee DY, Yang J, Li M, Wang CH, et al. MicroRNA miR-378 regulates nephronectin expression modulating osteoblast differentiation by targeting GalNT-7. *PLoS One.* 2009;4(10):e7535.
208. Rogers MB, Shah TA, Shaikh NN. Turning Bone Morphogenetic Protein 2 (BMP2) On and Off in Mesenchymal Cells. *J Cell Biochem.* 2015.
209. Takahashi H, Nishimura J, Kagawa Y, Kano Y, Takahashi Y, Wu X, et al. Significance of polypyrimidine tract binding protein 1 expression in colorectal cancer. *Mol Cancer Ther.* 2015.
210. Ferrarese R, Harsh GR, Yadav AK, Bug E, Maticzka D, Reichardt W, et al. Lineage-specific splicing of a brain-enriched alternative exon promotes glioblastoma progression. *J Clin Invest.* 2014;124(7):2861-76.
211. Cheung HC, Hai T, Zhu W, Baggerly KA, Tsavachidis S, Krahe R, et al. Splicing factors PTBP1 and PTBP2 promote proliferation and migration of glioma cell lines. *Brain.* 2009;132(Pt 8):2277-88.
212. David CJ, Chen M, Assanah M, Canoll P, Manley JL. HnRNP proteins controlled by c-Myc deregulate pyruvate kinase mRNA splicing in cancer. *Nature.* 2010;463(7279):364-8.
213. Yang X, Feng M, Jiang X, Wu Z, Li Z, Aau M, et al. miR-449a and miR-449b are direct transcriptional targets of E2F1 and negatively regulate pRb-E2F1 activity through a feedback loop by targeting CDK6 and CDC25A. *Genes Dev.* 2009;23(20):2388-93.
214. .
215. Kondo Y, Hanai A, Nakai W, Katoh Y, Nakayama K, Shin HW. ARF1 and ARF3 are required for the integrity of recycling endosomes and the recycling pathway. *Cell Struct Funct.* 2012;37(2):141-54.
216. Boulay PL, Schlienger S, Lewis-Saravalli S, Vitale N, Ferbeyre G, Claing A. ARF1 controls proliferation of breast cancer cells by regulating the retinoblastoma protein. *Oncogene.* 2011;30(36):3846-61.
217. Uehara R, Nozawa RS, Tomioka A, Petry S, Vale RD, Obuse C, et al. The augmin complex plays a critical role in spindle microtubule generation for mitotic progression and cytokinesis in human cells. *Proc Natl Acad Sci U S A.* 2009;106(17):6998-7003.
218. Valadi H, Ekström K, Bossios A, Sjöstrand M, Lee JJ, Lötvall JO. Exosome-mediated transfer of mRNAs and microRNAs is a novel mechanism of genetic exchange between cells. *Nat Cell Biol.* 2007;9(6):654-9.
219. Vlassov AV, Magdaleno S, Setterquist R, Conrad R. Exosomes: current knowledge of their composition, biological functions, and diagnostic and therapeutic potentials. *Biochim Biophys Acta.* 2012;1820(7):940-8.
220. Diao CY, Guo HB, Ouyang YR, Zhang HC, Liu LH, Bu J, et al. Screening for metastatic osteosarcoma biomarkers with a DNA microarray. *Asian Pac J Cancer Prev.* 2014;15(4):1817-22.
221. Kim WH, Min KT, Jeon YJ, Kwon CI, Ko KH, Park PW, et al. Association study of microRNA polymorphisms with hepatocellular carcinoma in Korean population. *Gene.* 2012;504(1):92-7.
222. Ahn DH, Rah H, Choi YK, Jeon YJ, Min KT, Kwack K, et al. Association of the miR-146aC>G, miR-149T>C, miR-196a2T>C, and miR-499A>G polymorphisms with gastric cancer risk and survival in the Korean population. *Mol Carcinog.* 2013;52 Suppl 1:E39-51.
223. Vinci S, Gelmini S, Mancini I, Malentacchi F, Pazzaglia M, Beltrami C, et al. Genetic and epigenetic factors in regulation of microRNA in colorectal cancers. *Methods.* 2013;59(1):138-46.
224. Xiang Y, Fan S, Cao J, Huang S, Zhang LP. Association of the microRNA-499 variants with susceptibility to hepatocellular carcinoma in a Chinese population. *Mol Biol Rep.* 2012;39(6):7019-23.

225. Alshatwi AA, Shafi G, Hasan TN, Syed NA, Al-Hazzani AA, Alsaif MA, et al. Differential expression profile and genetic variants of microRNAs sequences in breast cancer patients. *PLoS One*. 2012;7(2):e30049.
226. Qiu MT, Hu JW, Ding XX, Yang X, Zhang Z, Yin R, et al. Hsa-miR-499 rs3746444 polymorphism contributes to cancer risk: a meta-analysis of 12 studies. *PLoS One*. 2012;7(12):e50887.
227. Fan C, Chen C, Wu D. The association between common genetic variant of microRNA-499 and cancer susceptibility: a meta-analysis. *Mol Biol Rep*. 2013;40(4):3389-94.
228. Peng Q, Li S, Lao X, Chen Z, Li R, Deng Y, et al. The association of common functional polymorphisms in mir-146a and mir-196a2 and hepatocellular carcinoma risk: evidence from a meta-analysis. *Medicine (Baltimore)*. 2014;93(29):e252.
229. Fu B, Song P, Lu M, Wang B, Zhao Q. The association between miR-146a gene rs2910164 polymorphism and gastric cancer risk: a meta-analysis. *Biomed Pharmacother*. 2014;68(8):923-8.
230. Xu Z, Zhang L, Cao H, Bai B. MiR-146a rs2910164 G/C polymorphism and gastric cancer susceptibility: a meta-analysis. *BMC Med Genet*. 2014;15(1):117.
231. Jazdzewski K, Liyanarachchi S, Swierniak M, Pachucki J, Ringel MD, Jarzab B, et al. Polymorphic mature microRNAs from passenger strand of pre-miR-146a contribute to thyroid cancer. *Proc Natl Acad Sci U S A*. 2009;106(5):1502-5.
232. Meng Q, Zheng M, Liu H, Song C, Zhang W, Yan J, et al. TRAF6 regulates proliferation, apoptosis, and invasion of osteosarcoma cell. *Mol Cell Biochem*. 2012;371(1-2):177-86.
233. López-Álvarez MR, Jones DC, Jiang W, Traherne JA, Trowsdale J. Copy number and nucleotide variation of the LILR family of myelomonocytic cell activating and inhibitory receptors. *Immunogenetics*. 2014;66(2):73-83.
234. Atiye J, Wolf M, Kaur S, Monni O, Böhling T, Kivioja A, et al. Gene amplifications in osteosarcoma-CGH microarray analysis. *Genes Chromosomes Cancer*. 2005;42(2):158-63.
235. Bridge JA, Nelson M, McComb E, McGuire MH, Rosenthal H, Vergara G, et al. Cytogenetic findings in 73 osteosarcoma specimens and a review of the literature. *Cancer Genet Cytogenet*. 1997;95(1):74-87.
236. Hoogerwerf WA, Hawkins AL, Perlman EJ, Griffin CA. Chromosome analysis of nine osteosarcomas. *Genes Chromosomes Cancer*. 1994;9(2):88-92.
237. Sanz G, Leray I, Dewaele A, Sobilo J, Lerondel S, Bouet S, et al. Promotion of cancer cell invasiveness and metastasis emergence caused by olfactory receptor stimulation. *PLoS One*. 2014;9(1):e85110.
238. Evers BM, Ishizuka J, Townsend CM, Thompson JC. The human carcinoid cell line, BON. A model system for the study of carcinoid tumors. *Ann N Y Acad Sci*. 1994;733:393-406.
239. Weng J, Wang J, Cai Y, Stafford LJ, Mitchell D, Ittmann M, et al. Increased expression of prostate-specific G-protein-coupled receptor in human prostate intraepithelial neoplasia and prostate cancers. *Int J Cancer*. 2005;113(5):811-8.
240. Cui T, Tsolakis AV, Li SC, Cunningham JL, Lind T, Öberg K, et al. Olfactory receptor 51E1 protein as a potential novel tissue biomarker for small intestine neuroendocrine carcinomas. *Eur J Endocrinol*. 2013;168(2):253-61.

